

泊発電所3号炉 DB基準適合性 比較表

実線・・設計方針又は設備構成等の相違  
波線・・記載表現、設備名称の相違（実質的な相違なし）

第5条 津波による損傷の防止

女川原子力発電所2号炉	島根原子力発電所2号炉	泊発電所3号炉	相違理由
		<p>※2:津波高さの観点では基本ケース(全18ケース)を対象とし、津波高さ以外の観点では基本津波に加え、最大津波に着目したケース(波線)ケースを対象とする。      ※3:基本ケース(想定される地形変化を考慮しないケース(波線)、防波堤の準備を除く)及び想定される地形変化をそれぞれ考慮した場合の(津波水位等を算出し、その最大値を確認する)。      ※4:津波における、「基本ケースと比較して津波の度合いが最も大きい」地形変化を、入力津波絶対の影響要因として設定する。      ※5:基礎実験等による海上解析の結果、(波線)にて最大値が認められたケースと「評価項目、津波及び地形モデル」がすべて同一の場合において、基本ケースよりも評価項目の数が増加している地形変化を抽出する。</p>	<p>【女川、島根】記載方針の相違</p> <ul style="list-style-type: none"> <li>泊では、敷地及び敷地周辺の特徴を踏まえ、入力津波に影響を与える可能性のある要因を網羅する観点で、検討フロー及び検討対象と影響要因として検討する地形変化を整理した一覧表を示す。</li> </ul>

図 2.1-1 地震及び津波による地形変化・標高変化の検討フロー

表 2.1-1 検討対象と影響要因として検討する地形変化の項目

検討対象	影響要因として検討する地形変化の項目	検討区分
敷地及び敷地周辺の特徴的な地形と標高	地震による斜面崩壊	①定性的評価 ②定量的評価
	河川流路の変化	①定性的評価
	地形変化※1及び地震による崩壊	①定性的評価 ②定量的評価
	地震による地盤変状	①定性的評価 ②定量的評価
敷地沿岸域の海底地形	地震による地盤変状※2	①定性的評価 ②定量的評価
伝搬経路上の人工構造物	地震による人口構造物の損傷	①定性的評価 ②定量的評価

※1: 土捨場の地形変化は入力津波への影響が不明であるため、地形変化を反映した地形での層上解析によって影響を検討する。

※2: 海域の地盤変状(沈下)は津波水位を低くする可能性があり、考慮しない方が保守的と考えられるものの、地震による地盤変状が入力津波の設定に与える影響について検討する。

泊発電所 3号炉 DB基準適合性 比較表

実線・・・設計方針又は設備構成等の相違  
波線・・・記載表現、設備名称の相違（実質的な相違なし）

## 第5条 津波による損傷の防止

女川原子力発電所 2号炉	島根原子力発電所 2号炉	泊発電所 3号炉	相違理由
<u>3. 敷地周辺斜面の崩壊について</u>	<u>2. 敷地周辺斜面の崩壊に関する検討</u>	<u>a. 敷地周辺斜面の崩壊に関する検討</u> 基準地震動及び基準津波による斜面崩壊の有無等を検討し、崩壊が想定される場合には入力津波を設定する際の影響要因として設定する。	<u>【女川、島根】記載方針の相違</u> ・泊では、「基準津波及び耐津波設計方針に係る審査ガイド」との対応を明確にするため、同ガイド「3.2.2 地震・津波による地形等の変化に係る評価」の(1)～(4)に対応する章項目を設けていることから、資料構成が異なる(目次参照)。
		<u>(a) 対象とする斜面</u> <u>「1. 敷地周辺の海上・浸水域の評価」</u> にて整理した表 <u>1.1.a-1</u> の地形モデルに反映した敷地周辺斜面のうち、海上波の敷地到達の障壁となっている斜面の抽出結果を表 <u>2.1.a.a-1</u> に示す。	<u>【女川、島根】記載方針の相違</u> ・泊では、敷地及び敷地周辺の特徴を踏まえ、入力津波に影響を与える可能性のある要因を網羅する観点で、敷地周辺斜面のうち、海上波の敷地到達の障壁となっている斜面の抽出結果を明示する。
	<p>検討に当たっては、防波壁（東端部）及び防波壁（西端部）は双方とも地山斜面（岩盤）に擦り付き、これらの地山が津波の敷地への地上部からの到達に対して障壁となっていることから、地山の耐震、耐津波設計上の位置付けも整理したうえで、基準地震動及び基準津波に対する健全性の確保について確認する。</p>	<p>検討に当たっては、防潮堤は、地山斜面（茶津側）及び地山斜面（堀株側）に擦り付き、これらの地山が津波の敷地への地面上部からの到達に対して障壁となっていることから、地山の耐震、耐津波設計上の位置付けも整理したうえで、基準地震動及び基準津波に対する健全性の確保について確認する。</p>	<u>【島根】抽出結果の相違</u> ・発電所立地及び施設構成の相違により、防潮堤に擦り付く地山が異なる。
		<u>表 2.1.a.a-1 海上波の敷地到達の障壁となっている斜面の抽出結果</u>	<u>【島根】記載方針の相違</u> ・泊では、敷地及び敷地周辺の特徴を踏まえ、入力津波に影響を与える可能性のある要因を網羅する観点で、敷地周辺斜面のうち、海上波の敷地到達の障壁となっている斜面の抽出結果を明示する。

## 泊発電所3号炉 DB基準適合性 比較表

実線・・設計方針又は設備構成等の相違  
波線・・記載表現、設備名称の相違（実質的な相違なし）

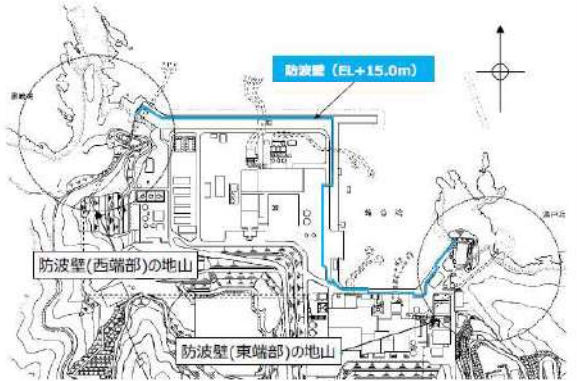
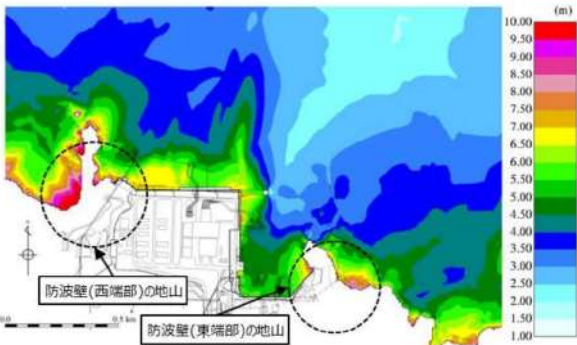
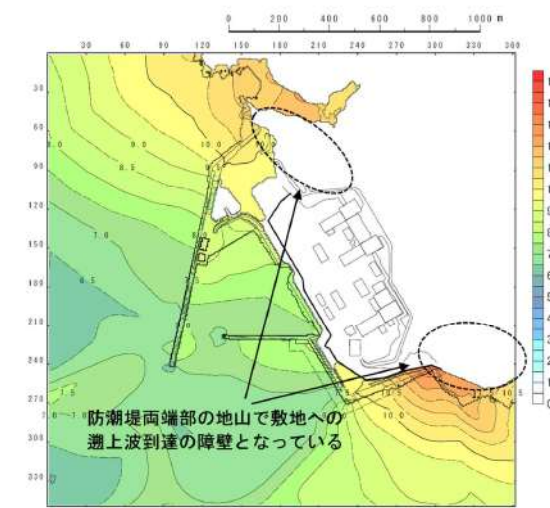
## 第5条 津波による損傷の防止

女川原子力発電所2号炉	島根原子力発電所2号炉	泊発電所3号炉	相違理由
	<p>(1) 津波遇上高の分布を踏まえた津波防護上の地山範囲の特定について</p> <p>敷地は E L. +15.0m の防波壁に取り囲まれており、その両端部は地山に擦り付き、その地山は津波防護上の障壁となっている（図 2-1）。</p> <p>津波防護上の地山範囲は、設計基準対象施設の津波防護対象設備を内包する建物が敷地 E L. +8.5m 盤にあることを踏まえ、水位上昇側の基準津波の中で、防波壁（東端部）付近及び防波壁（西端部）付近において水位 E L. +8.5m 以上が広範囲に分布する基準津波 1（防波堤有り及び無し）の最大水位上昇量分布を基に検討する。</p> <p>水位上昇側の基準津波である基準津波 1（防波堤有り及び無し）、基準津波 2（防波堤有り）及び基準津波 5（防波堤無し）の最大水位上昇量分布図を図 2-2 に示す。</p> <p>設計基準対象施設の津波防護対象設備を内包する建物が敷地 E L. +8.5m 盤にあることを踏まえ、防波壁（東端部）及び防波壁（西端部）における敷地への遇上の可能性のある水位 E L. +8.5m 以上の最大水位上昇量分布を図 2-3 に示す。</p> <p>基準津波 1（防波堤有り及び無し）の最大水位上昇量分布を踏まえ、津波防護上の地山範囲を図 2-4 に示すとおり特定した。</p> <p>津波防護上の地山範囲における地形断面図を図 2-5 に示す。</p> <p>防波壁（東端部）の地山は、南東側の標高が高く、幅が広くなっている。A-A' 断面（高さ：26m、幅：63m）は、B-B' 断面（高さ：44m、幅：145m）及びC-C' 断面（高さ：69m、幅：396m）と比較して標高が低く、幅が狭いことから、津波防護の観点で最も厳しい断面と考え、津波防護を担保する地山斜面の検討対象は A-A' 断面付近の範囲とする。津波防護を担保する地山斜面の検討対象（A-A' 断面付近）は、防波壁等に影響するおそれのある周辺斜面（赤枠）に概ね対応する。</p> <p>防波壁（西端部）の地山は、幅が広く、南西側の標高が高い。D-D' 断面（高さ：27m、幅：139m）は、E-E' 断面（高さ：56m、幅：208m）及びF-F' 断面（高さ：77m、幅：185m）と比較して標高が低く、幅が狭いことから、津波防護の観点で最も厳しい断面と考え、津波防護を担保する地山斜面の検討対象は D-D' 断面付近の範囲とする。津波防護を担保する地山斜面の検討対象（D-D' 断面付近）は、防波壁等に影響するおそれのある斜面（赤枠）に概ね対応する。D-D' 断面の西方の岬部分は、津波の敷地への到達に対して直接的な障</p>	<p>(b) 津波遇上高の分布を踏まえた津波防護上の地山範囲の特定について</p> <p>敷地は T.P. 19.0m の防潮堤に取り囲まれており、その両端部は地山に擦り付き、その地山は津波防護上の障壁となっている（図 2-1.a.b-1）。</p> <p>津波防護上の地山範囲は、設計基準対象施設の津波防護対象設備を内包する建物が敷地 T.P. 10.0m 盤にあることを踏まえ、基準津波（波源 A：防波堤損傷なし、波源 D：北及び南防波堤損傷）の最大水位上昇量分布に基づき検討する。</p> <p>基準津波（波源 A、防波堤損傷なし）の最大水位上昇量分布を図 2-1.a.b-2 に示す。</p> <p>設計基準対象施設の津波防護対象設備を内包する建物が敷地 T.P. 10.0m 盤にあることを踏まえ、防潮堤（茶津側）及び防潮堤（堀株側）における敷地への遇上の可能性のある水位 T.P. 10.0m 以上の最大水位上昇量分布を図 2-1.a.b-3 に示す。</p> <p>なお、基準津波は審査中であり、図 2-1.a.b-2 及び図 2-1.a.b-3 に示す最大水位上昇量分布は今後変更となる可能性がある。</p> <p>基準津波（波源 A、防波堤損傷なし）の最大水位上昇量分布を踏まえ、津波防護上の地山範囲を図 2-1.a.b-4 に示すとおり特定した。</p> <p>津波防護上の地山範囲における地形断面図を図 2-1.a.b-5 に示す。</p> <p>防潮堤（茶津側）の地山は、基部では段丘が分布する台地状の地形と北西に向かって伸長する尾根地形が分布し、先端に向かって標高を減じ幅も狭くなっている。基部西側の海岸に面する箇所では段丘が認められ、防潮堤はその海食崖に擦り付く構造となっている。</p> <p>津波防護を担保する障壁となる地山について、防潮堤擦り付け部の法線に沿った地山斜面が防潮堤へ与える影響が大きいと考え A-A' 断面（高さ：51m、幅：293m）を選定し、地震・津波に対する地山斜面の検討を行う。</p> <p>防潮堤（堀株側）の地山は、南西方向に張り出した段丘地形が分布し、標高 50m 程度の平坦面を形成している。</p> <p>津波防護を担保する障壁となる地山について、防潮堤擦り付け部に沿った地山斜面が防潮堤へ与える影響が大きいと考え B-B' 断面（高さ：41m、幅：124m）を選定し、地震・津波に対する地山斜面の検討を行う。</p>	<p>【島根】防潮堤設計の相違</p> <p>【島根】発電所立地の相違</p> <p>【島根】基準津波の相違</p> <p>【島根】基準津波の相違</p> <p>【島根】発電所立地の相違</p> <p>【島根】防潮堤設計の相違</p> <p>【島根】基準津波の相違</p> <p>【島根】設計方針の相違</p> <ul style="list-style-type: none"> <li>泊では、防潮堤の地山について、標高や幅のばらつきが小さいため、「防潮堤へ与える影響が大きいと考えられる断面」を選定し、地山斜面の検討を実施する。</li> <li>島根では、防波壁の地山について、標高や幅ばらつきがあるため、津波防護の観点で最も厳しい断面「標高が低く幅の狭い断面」を選定し、地山斜面の検討を実施する。</li> </ul>

泊発電所 3号炉 DB基準適合性 比較表

実線・・設計方針又は設備構成等の相違  
波線・・記載表現、設備名称の相違（実質的な相違なし）

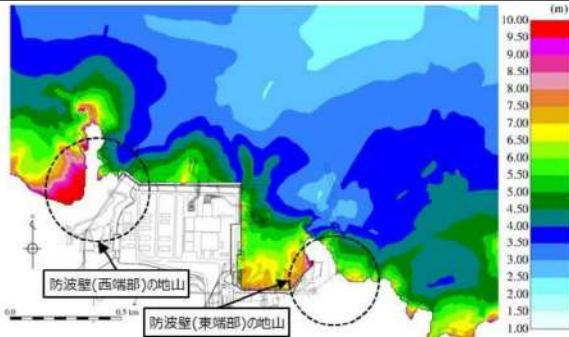
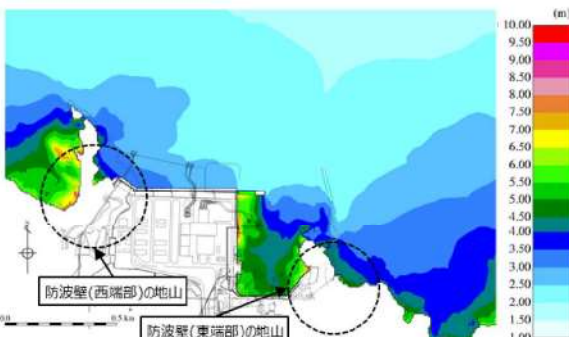
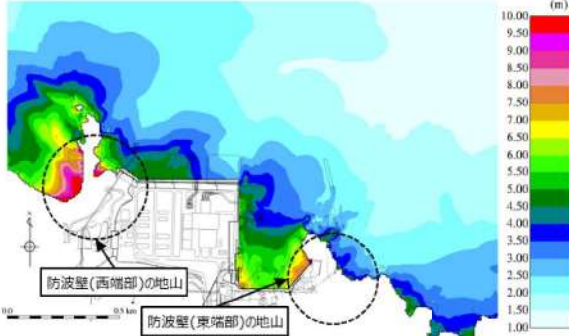
第5条 津波による損傷の防止

女川原子力発電所 2号炉	島根原子力発電所 2号炉	泊発電所 3号炉	相違理由
	<p>壁となっていないことから、津波防護を担保する地山斜面の検討対象外とし、岬の東側付根の入り江以東を検討対象とする。なお、この断面は、表層の一部を厚さ約2m撤去する方針を示しているため、撤去する範囲を考慮し、以降の検討を実施する。</p>  <p>図 2-1 地山位置図</p>	 <p>図 2.1.a.b-1 地山位置図</p>	
	 <p>図 2-2 (1) 最大水位上昇量分布図 (基準津波 1 : 防波堤有り)</p>	 <p>図 2.1.a.b-2 最大水位上昇量分布図 (基準津波 : 波源A, 防波堤損傷なし)</p>	【島根】基準津波の相違

## 泊発電所3号炉 DB基準適合性 比較表

実線・・設計方針又は設備構成等の相違  
 波線・・記載表現、設備名称の相違（実質的な相違なし）

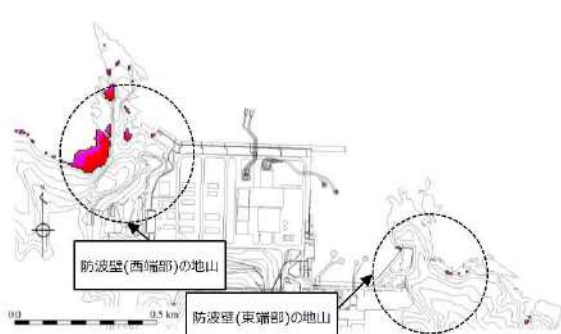
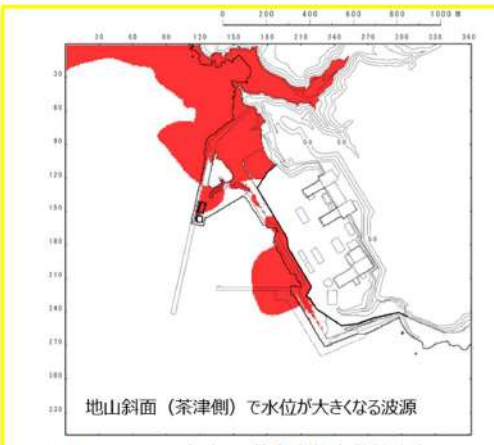
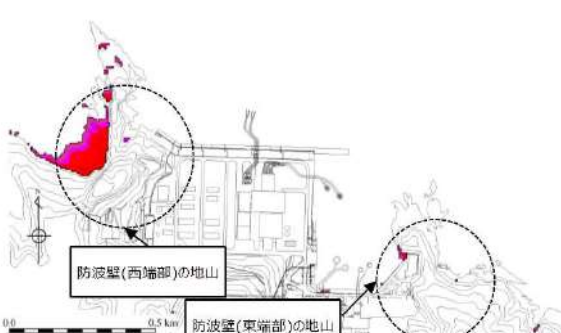
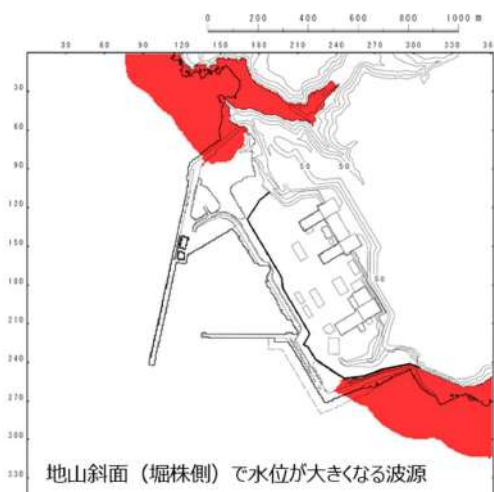
## 第5条 津波による損傷の防止

女川原子力発電所2号炉	島根原子力発電所2号炉	泊発電所3号炉	相違理由
	 <p>図2-2(2) 最大水位上昇量分布図 (基準津波1：防波堤無し)</p>		【島根】基準津波の相違
	 <p>図2-2(3) 最大水位上昇量分布図 (基準津波2：防波堤有り)</p>		【島根】基準津波の相違
	 <p>図2-2(4) 最大水位上昇量分布図 (基準津波5：防波堤無し)</p>		【島根】基準津波の相違

泊発電所3号炉 DB基準適合性 比較表

実線・・設計方針又は設備構成等の相違  
波線・・記載表現、設備名称の相違（実質的な相違なし）

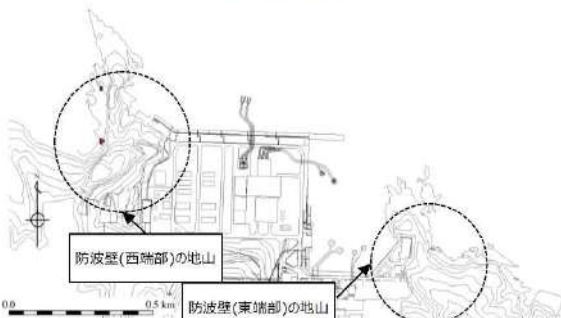
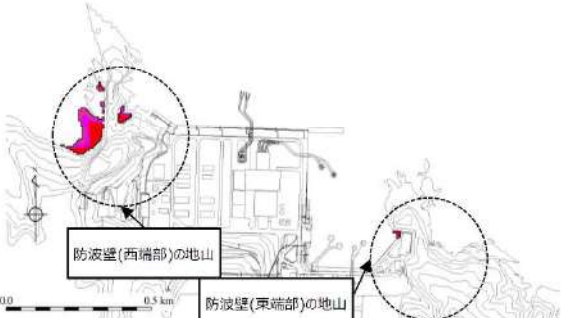
第5条 津波による損傷の防止

女川原子力発電所2号炉	島根原子力発電所2号炉	泊発電所3号炉	相違理由
	 <p>図2-3(1) 最大水位上昇量分布図 (基準津波1：防波堤有り) (EL.+8.5m以上表示)</p>	 <p>図2.1.a,b-3(1) 最大水位上昇量分布図 (基準津波：波源J, 北及び南防波堤損傷) (■T.P.10.0m以上表示)</p>	<p>【島根】基準津波の相違 【島根】発電所立地の相違</p>
	 <p>図2-3(2) 最大水位上昇量分布図 (基準津波1：防波堤無し) (EL.+8.5m以上表示)</p>	 <p>図2.1.a,b-3(2) 最大水位上昇量分布図 (基準津波：波源A, 防波堤損傷なし) (■T.P.10.0m以上表示)</p>	<p>【島根】基準津波の相違 【島根】発電所立地の相違</p>

## 泊発電所3号炉 DB基準適合性 比較表

実線・・設計方針又は設備構成等の相違  
 波線・・記載表現、設備名称の相違（実質的な相違なし）

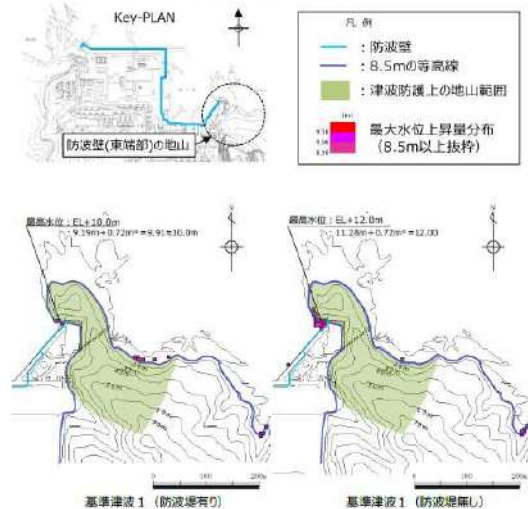
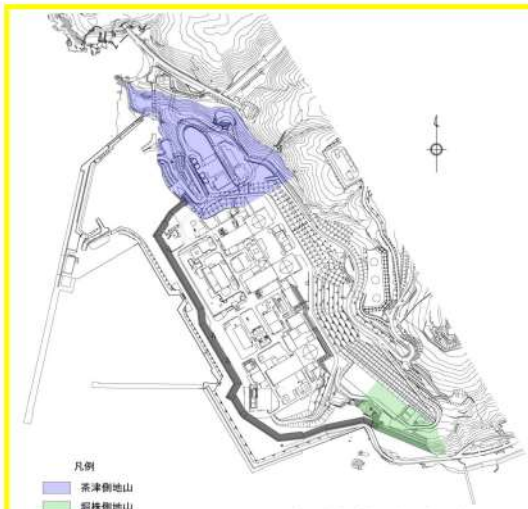
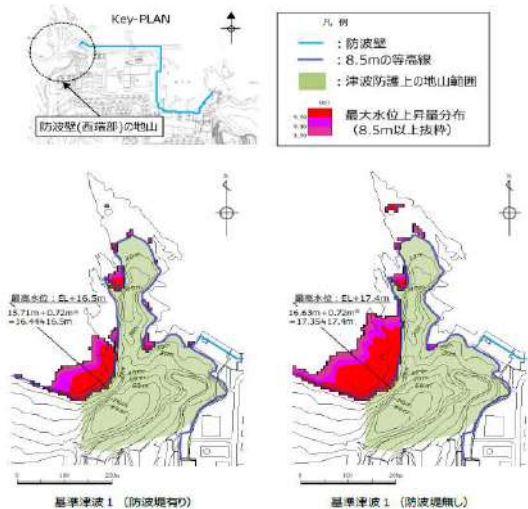
## 第5条 津波による損傷の防止

女川原子力発電所2号炉	島根原子力発電所2号炉	泊発電所3号炉	相違理由
	 <p>図2-3(3) 最大水位上昇量分布図    (基準津波2:防波堤有り) (EL. +8.5m以上表示)</p>		<p>【島根】基準津波の相違    【島根】発電所立地の相違</p>
	 <p>図2-3(4) 最大水位上昇量分布図    (基準津波5:防波堤無し) (EL. +8.5m以上表示)</p>		<p>【島根】基準津波の相違    【島根】発電所立地の相違</p>

泊発電所3号炉 DB基準適合性 比較表

実線・・設計方針又は設備構成等の相違  
波線・・記載表現、設備名称の相違（実質的な相違なし）

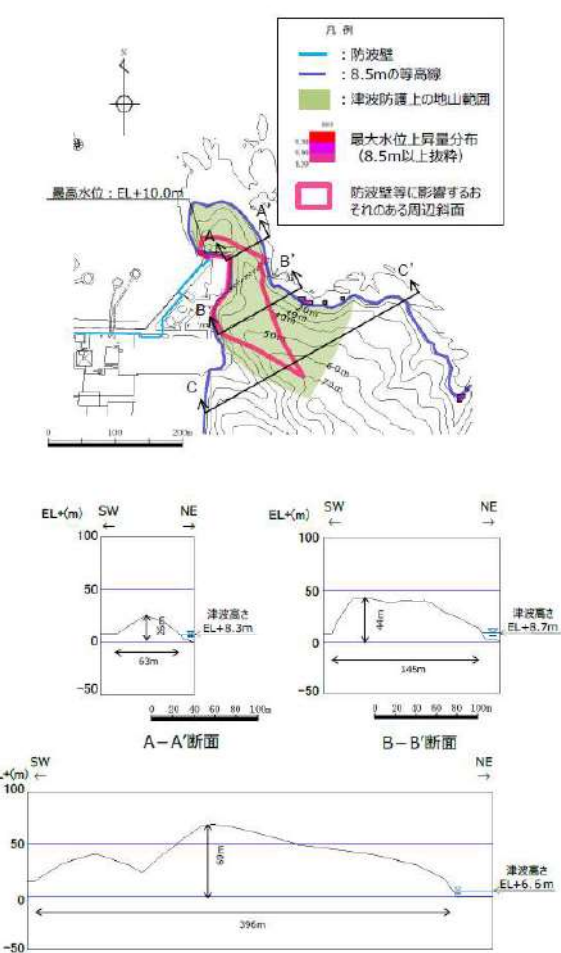
第5条 津波による損傷の防止

女川原子力発電所2号炉	島根原子力発電所2号炉	泊発電所3号炉	相違理由
	 <p>Key-PLAN 防波壁(東端部)の地山</p> <p>凡例 防波壁 8.5mの等高線 津波防護上の地山範囲 最大水位上昇量分布(8.5m以上抜粋)</p> <p>最高水位: EL+10.0m <math>9.390 + 0.720 = 9.91 \approx 10.00</math></p> <p>最高水位: EL+12.0m <math>11.280 + 0.720 = 12.00</math></p> <p>基準津波1 (防波堤有り) ※ 基準平均海面位+0.58m、潮位のばらつき0.14mを併せて+0.72mを考慮。</p> <p>基準津波1 (防波堤無し)</p> <p>図 2-4 (1) 防波壁(東端部)の地山 : 基準津波1 (左 防波堤有り、右 防波堤無し)</p>	 <p>Key-PLAN 防波壁(茶津側)の地山</p> <p>凡例 茶津側地山 船株側地山</p> <p>図 2-1.a.b-4 防潮堤(茶津側)及び防潮堤(堀株側)の地山</p>	<p>【島根】発電所立地の相違 【島根】防潮堤設計の相違</p>
	 <p>Key-PLAN 防波壁(西端部)の地山</p> <p>凡例 防波壁 8.5mの等高線 津波防護上の地山範囲 最大水位上昇量分布(8.5m以上抜粋)</p> <p>最高水位: EL+15.5m <math>15.710 + 0.720 = 16.43 \approx 15.50</math></p> <p>最高水位: EL+17.0m <math>16.830 + 0.720 = 17.35 \approx 17.00</math></p> <p>基準津波1 (防波堤有り) ※ 基準平均海面位+0.58m、潮位のばらつき0.14mを併せて+0.72mを考慮。</p> <p>基準津波1 (防波堤無し)</p> <p>図 2-4 (2) 防波壁(西端部)の地山 : 基準津波1 (左 防波堤有り、右 防波堤無し)</p>		<p>【島根】発電所立地の相違 【島根】防潮堤設計の相違</p>

泊発電所 3号炉 DB基準適合性 比較表

実線・・・設計方針又は設備構成等の相違  
波線・・記載表現、設備名称の相違（実質的な相違なし）

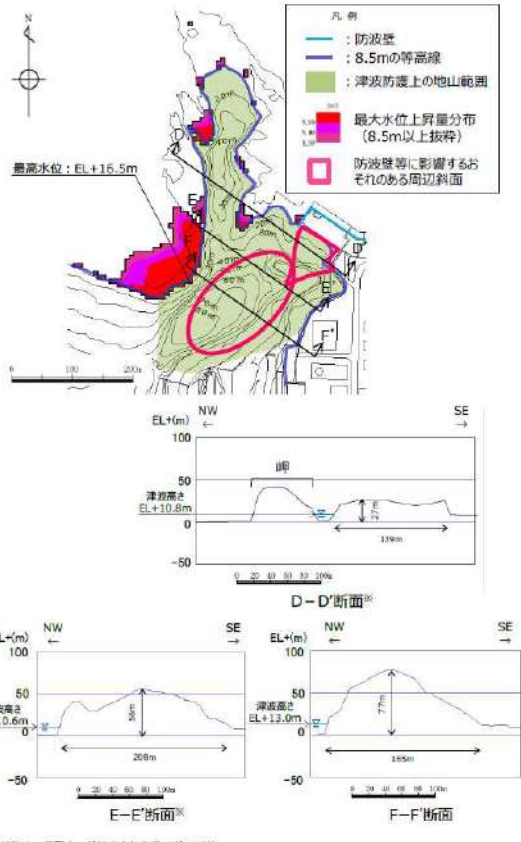
第5条 津波による損傷の防止

女川原子力発電所 2号炉	島根原子力発電所 2号炉	泊発電所 3号炉	相違理由
	 <p>図 2-5 (1) 防波壁(東端部)の地形断面図</p>	 <p>図 2.1.a.b-5 (1) 防潮堤(茶津側)の地形断面図</p>	【島根】発電所立地の相違

泊発電所 3号炉 DB基準適合性 比較表

実線・・設計方針又は設備構成等の相違  
波線・・記載表現、設備名称の相違（実質的な相違なし）

第5条 津波による損傷の防止

女川原子力発電所 2号炉	島根原子力発電所 2号炉	泊発電所 3号炉	相違理由
	 <p>島根原子力発電所 2号炉</p> <p>凡例</p> <ul style="list-style-type: none"> <li>防波壁</li> <li>8.5mの等高線</li> <li>津波防護上の地山範囲</li> <li>最大水位上昇量分布 (8.5m以上抜粋)</li> <li>防波壁等に影響するおそれのある周辺斜面</li> </ul> <p>最高水位: EL + 16.5m</p> <p>EL+(m) NW SE</p> <p>津波高さ: EL + 10.8m</p> <p>D-D'断面</p> <p>E-E'断面</p> <p>F-F'断面</p> <p>※ 地形形状は、繊貫土・砂性土を切り取る前の形状。</p> <p>図 2-5 (2) 防波壁(西端部)の地形断面図</p>	 <p>泊発電所 3号炉</p> <p>断面位置図</p> <p>凡例</p> <ul style="list-style-type: none"> <li>防潮堤</li> <li>津波防護上の地山範囲</li> </ul> <p>B-B' 断面</p> <p>T.P. (m) SSW NNE</p> <p>124m</p> <p>41m</p> <p>図 2-1.a,b-5 (2) 防潮堤(堀株側)の地形断面図</p>	<p>【島根】発電所立地の相違</p>

## 泊発電所3号炉 DB基準適合性 比較表

実線・・設計方針又は設備構成等の相違  
 波線・・記載表現、設備名称の相違（実質的な相違なし）

## 第5条 津波による損傷の防止

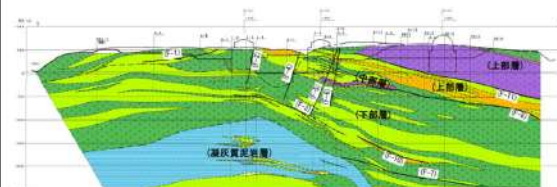
女川原子力発電所2号炉	島根原子力発電所2号炉	泊発電所3号炉	相違理由
	<p>(2) 地山の地質構造、防波壁擦り付け部の構造・仕様</p> <p>津波防護上の地山の地質構造について述べるとともに、防波壁端部の擦り付け部の構造及び防波壁の仕様について、以下に示す。</p> <p>a. 敷地内の地質・地質構造</p> <p>島根原子力発電所の敷地内の地質図を図2-6に示す。</p> <p>敷地内の地質は、新第三紀中新世の堆積岩類からなる成相寺層と貫入岩類及びそれらを覆う第四系の崖錐堆積物等から構成される。敷地に分布する成相寺層は、下位より下部頁岩部層、火碎岩部層、上部頁岩部層の3つの部層に区分される。</p> <p>防波壁（東端部）の地山においては、主として凝灰岩、凝灰角礫岩よりなる「火碎岩部層」及び黒色頁岩よりなる「上部頁岩部層」が分布し、安山岩の貫入が認められる。防波壁（西端部）の地山においては、「火碎岩部層」が分布する。</p>	<p>(c) 地山の地質構造、防潮堤擦り付け部の構造・仕様</p> <p>津波防護上の地山の地質構造について述べるとともに、防潮堤端部の擦り付け部の構造及び防潮堤の仕様について、以下に示す。</p> <p>1. 敷地内の地質・地質構造</p> <p>泊発電所の敷地内の地質平面図を図2.1.a.c-1に、地質断面図を図2.1.a.c-2に示す。</p> <p>敷地の基盤をなす地層は、新第三系後期中新世の神恵内層である。神恵内層は、岩相の特徴から凝灰質泥岩層と火碎岩層に大別される。火碎岩層は、凝灰角礫岩から火山礫凝灰岩、さらに砂質凝灰岩へと粒径が細粒化するサイクルや地層を構成する礫種の特徴及び地質構造から、下部、中部及び上部層に大別される。神恵内層を覆って第四紀中期更新世以前の海成堆積物、後期更新世の段丘堆積物及び崖錐I堆積物、完新世の崖錐II堆積物及び沖積層が分布する。</p> <p>防潮堤が擦り付く、防潮堤（茶津側）及び防潮堤（堀株側）の地山においては、神恵内層上部層が分布し、防潮堤（茶津側）では主として凝灰角礫岩、凝灰岩よりなり、防潮堤（堀株側）においては、凝灰角礫岩、角礫質安山岩及び安山岩が分布する。</p>	<p>【島根】記載方針の相違</p> <ul style="list-style-type: none"> <li>島根では、図2-6内に地質平面図及び断面図をまとめて記載している。</li> </ul> <p>【島根】発電所立地の相違</p>

泊発電所3号炉 DB基準適合性 比較表

実線・・設計方針又は設備構成等の相違  
波線・・記載表現、設備名称の相違（実質的な相違なし）

第5条 津波による損傷の防止

女川原子力発電所2号炉	島根原子力発電所2号炉	泊発電所3号炉	相違理由
	<p>図 2-6 島根原子力発電所敷地内地質図</p>	<p>図 2.1.a, c-1 泊発電所敷地内地質平面図 (令和3年7月2日審査会合資料一部修正)</p>	<p>【島根】記載方針の相違</p> <ul style="list-style-type: none"> <li>島根では、図2-6内に地質平面図及び断面図をまとめて記載している。</li> </ul>



泊発電所3号炉 DB基準適合性 比較表

実線・・設計方針又は設備構成等の相違  
波線・・記載表現、設備名称の相違（実質的な相違なし）

第5条 津波による損傷の防止

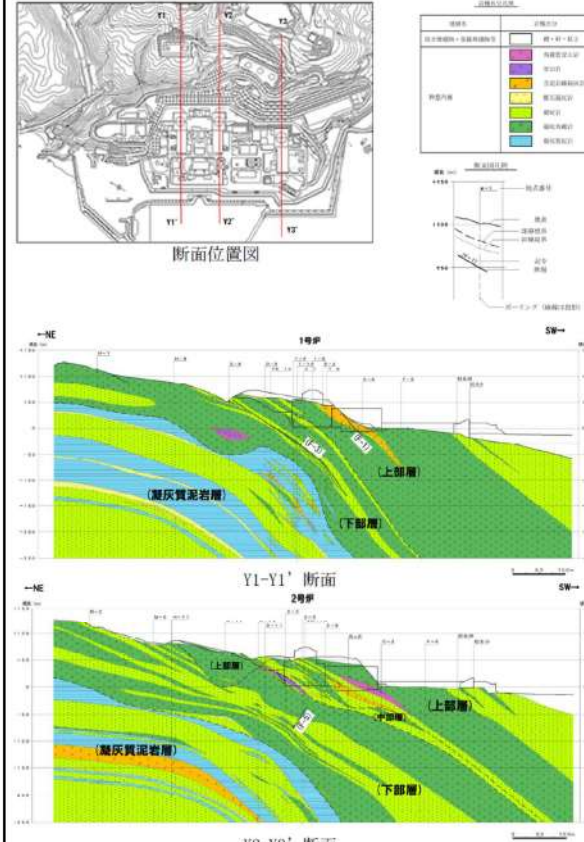
女川原子力発電所2号炉	島根原子力発電所2号炉	泊発電所3号炉	相違理由
		 <p>断面位置図</p> <p>Y1-Y1' 断面 2号炉</p> <p>Y2-Y2' 断面</p> <p>【島根】記載方針の相違</p> <ul style="list-style-type: none"> <li>島根では、図2-6内に地質平面図及び断面図をまとめて記載している。</li> </ul>	<p>【島根】記載方針の相違</p> <ul style="list-style-type: none"> <li>島根では、図2-6内に地質平面図及び断面図をまとめて記載している。</li> </ul>

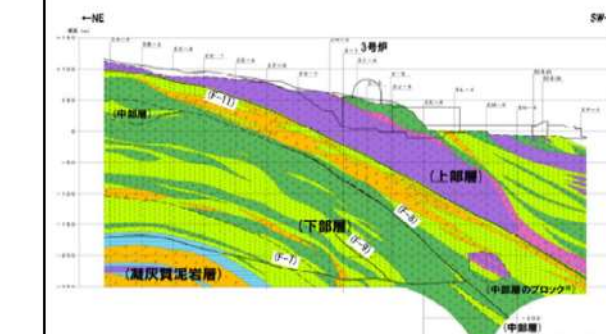
図2.1.a.c-2(2) 泊発電所敷地内地質断面図

(Y1-Y1', Y2-Y2' 断面 令和3年7月2日審査会合資料一部修正)

## 泊発電所3号炉 DB基準適合性 比較表

実線・・設計方針又は設備構成等の相違  
 波線・・記載表現、設備名称の相違（実質的な相違なし）

## 第5条 津波による損傷の防止

女川原子力発電所2号炉	島根原子力発電所2号炉	泊発電所3号炉	相違理由
		 <p>Y3-Y3' 断面</p> <p>図 2.1. a.c-2 (3) 泊発電所敷地内地質断面図      (Y3-Y3' 断面 令和3年7月2日審査会合資料一部修正)</p>	<p>【島根】記載方針の相違</p> <ul style="list-style-type: none"> <li>島根では、図2-6内に地質平面図及び断面図をまとめて記載している。</li> </ul>

## 泊発電所3号炉 DB基準適合性 比較表

実線・・設計方針又は設備構成等の相違  
波線・・記載表現、設備名称の相違（実質的な相違なし）

## 第5条 津波による損傷の防止

女川原子力発電所2号炉	島根原子力発電所2号炉	泊発電所3号炉	相違理由
	<p>b. 防波壁（東端部）周辺の地質構造</p> <p>防波壁（東端部）周辺のルートマップを図2-7に、露頭状況写真を図2-8に示す。なおルートマップは平成8年の調査で作成したものである。</p> <p>防波壁（東端部）は、最高標高約35mの岬の一部を開削した法面に擦り付けている。この岬の海岸線沿いは全面露頭となつておらず、輪谷湾に面して高さ15m程度のほぼ垂直な崖が形成されている。地山は西北西走向、緩く北東に傾斜する火山礫凝灰岩及び黒色頁岩の互層からなり、北東走向の安山岩脈が認められ、露頭において断層構造や顕著な割れ目は認められない。岩盤表面は変質により褐色を呈する。岩質は堅硬であり、C<sub>u</sub>～C<sub>h</sub>級である。</p> <p>防波壁（東端部）の地山は、黒色頁岩及び凝灰岩が西北西走向、北東緩傾斜の互層をなす単斜構造からなり、ここに北西傾斜の安山岩が貫入する。尾根部では表層風化によりD～C<sub>u</sub>級を呈するが、地山のほとんどがC<sub>h</sub>級である。この斜面において、褶曲や断層といった地質構造は認められず、シームは認められない。また、地滑り地形も認められない。</p> <p>比較のため、直後の段落と記載順序を入れ替え</p> <p>防波壁（東端部）周辺では、ボーリング調査を8本（No.142, 143, 161, 162, 164, 166, 602, 19E3）及び地表地質踏査を実施している。これらを踏まえて作成した防波壁（東端部）の全体的な地質・地質構造を示す地質断面図及び岩盤分類図を図2-9に示す。</p>	<p>旦、防潮堤（茶津側）周辺の地質・地質構造</p> <p>防潮堤（茶津側）周辺のルートマップを図2.1.a.c-3に、露頭状況及びボーリングコア写真を図2.1.a.c-4に示す（ルートマップは令和4年度調査で作成）。</p> <p>防潮堤（茶津側）は、標高約31mの海食崖を開削した地山の法面に擦り付く構造としている（P1, P2）。防潮堤（茶津側）から北側には管理用道路の盛り立て区間があり、その先の地山（P3, P4）には露頭が認められる。さらに北西側には海食崖を含む岬があり、海岸線沿いの西側では部分的に露頭が認められ（P5～P7）、岬先端部では海食崖基部に全面露頭（P8, P9）が認められる。岬の敷地側では、部分的に露頭（P10～P14）が認められ、茶津側沿いでは表土の覆われる急斜面で局所的に露頭（P15～P18）が認められる。</p> <p>防潮堤（茶津側）の地山は、凝灰角礫岩及び凝灰岩が南北～北西～南東走向、西傾斜の同斜構造からなる。尾根及び斜面部の表層では風化によるD～E級が認められるが、地山のほとんどがA～C級である。また、地滑り地形は認められない。</p> <p>防潮堤（茶津側）の擦り付け部は、ほぼ南北～北西～南東走向、西に40～50°で傾斜する凝灰角礫岩及び凝灰岩からなり、露頭において断層構造や裂かは認められない。岩質は堅硬でB～C級が分布する。</p> <p>防潮堤（茶津側）周辺では、ボーリング調査（確認-1, 2, 3, R1敷地-1, 2, 3）及び地表地質踏査を実施している。これらを踏まえて作成した防潮堤（茶津側）の地質・地質構造を示す地質断面図及び岩盤分類図を図2.1.a.c-5に示す。</p>	<p>【島根】記載方針の相違  ・泊では、地質についても明らかにする観点から、露頭状況に加えボーリングコア写真を示す。  【島根】発電所立地の相違</p> <p>【島根】発電所立地の相違</p> <p>【島根】発電所立地の相違</p>

泊発電所 3号炉 DB基準適合性 比較表

実線・・・設計方針又は設備構成等の相違  
波線・・・記載表現、設備名称の相違（実質的な相違なし）

## 第5条 津波による損傷の防止

女川原子力発電所 2号炉	島根原子力発電所 2号炉	泊発電所 3号炉	相違理由
	<p>図 2-7 防波壁（東端部）周辺のルートマップ</p>	<p>図 2.1, a. c-3 防潮堤（茶津側）周辺のルートマップ</p>	
			【島根】発電所立地の相違

泊発電所3号炉 DB基準適合性 比較表

実線・・設計方針又は設備構成等の相違  
波線・・記載表現、設備名称の相違（実質的な相違なし）

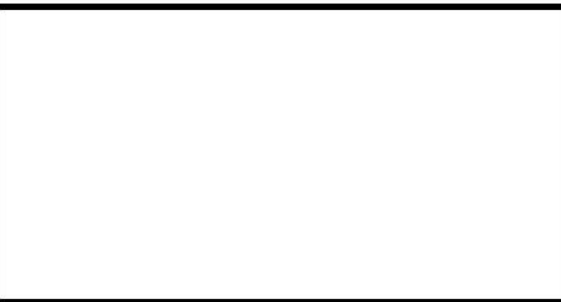
第5条 津波による損傷の防止

女川原子力発電所2号炉	島根原子力発電所2号炉	泊発電所3号炉	相違理由
	 <p>図2-8 (1) 防波壁（東端部）露頭状況 P1 防波壁（東端部）全景 岩着部は尾根の先端を開削した法面に位置する。</p> <div style="border: 1px solid black; height: 300px; width: 100%;"></div> <p>図2-8 (2) 防波壁（東端部）露頭状況 P2 防波壁岩着部 火山礫凝灰岩（Lp）及び安山岩（An）、C<sub>4</sub>～C<sub>5</sub>級岩盤からなる。</p> <div style="border: 1px solid black; height: 300px; width: 100%;"></div> <p>図2-8 (3) 防波壁（東端部）露頭状況 P3 防波壁（東端部）全景（1号炉放水口側）</p> <div style="border: 1px solid black; height: 100px; width: 100%;"></div> <p>本資料のうち、枠囲みの内容は機密に係る事項のため公開できません。</p>	 <p>図2.1.a.c-4 (1) 防潮堤（茶津側）露頭状況 P1 防潮堤擦り付け部全景 擦付け部は海食崖に位置し、凝灰角礫岩及び凝灰岩（砂質凝灰岩）が分布する。</p> <div style="border: 1px solid black; height: 300px; width: 100%;"></div> <p>図2.1.a.c-4 (2) 防潮堤（茶津側）露頭状況 P2 防潮堤擦り付け部近景（P1拡大） 凝灰角礫岩が分布し、C級からなる。</p> <div style="border: 1px solid black; height: 300px; width: 100%;"></div> <p>図2.1.a.c-4 (3) 防潮堤（茶津側）露頭状況 P3 地山（海側） 凝灰角礫岩が分布する。</p> <div style="border: 1px solid black; height: 100px; width: 100%;"></div>	<p>【島根】発電所立地の相違</p>

泊発電所 3号炉 DB基準適合性 比較表

実線・・設計方針又は設備構成等の相違  
波線・・記載表現、設備名称の相違（実質的な相違なし）

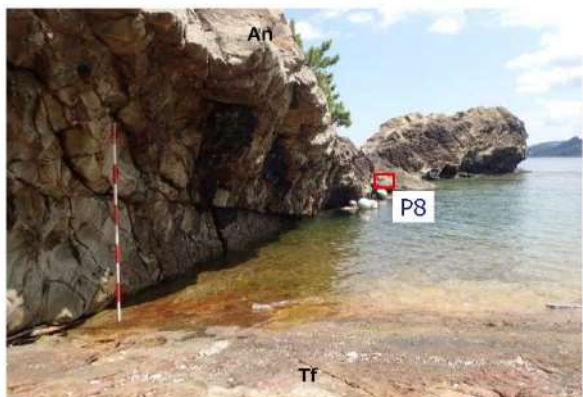
第5条 津波による損傷の防止

女川原子力発電所 2号炉	島根原子力発電所 2号炉	泊発電所 3号炉	相違理由
	 <p>図 2-8 (4) 防波壁（東端部）露頭状況 P4 斜面部 斜面部は黒色頁岩・凝灰岩の互層からなり、岩盤は直立し C<sub>M</sub>～C<sub>H</sub>級岩盤である。凝灰岩の細粒部が漚択性侵食を受け、凹凸組織を呈する。</p>  <p>図 2-8 (5) 防波壁（東端部）露頭状況 P5 斜面端部 斜面端部は黒色頁岩・凝灰岩の互層、C<sub>H</sub>級である。</p>  <p>図 2-8 (6) 防波壁（東端部）露頭状況 P6 安山岩岩脈 (An) 安山岩は黒色頁岩 (Sh)・凝灰岩 (Tf) に比べ侵食に対する強抵抗性を示し、海面から突出した地形をなす。</p>	 <p>図 2.1.a.c-4 (4) 防潮堤（茶津側）露頭状況 P4 地山（海側）(P3 拡大) 凝灰角礫岩が分布し、B級からなる。</p>  <p>【島根】発電所立地の相違</p>	
		 <p>図 2.1.a.c-4 (5) 防潮堤（茶津側）露頭状況 P5 岬の全景（海側） 斜面に凝灰角礫岩の露頭が分布する。</p>	<p>【島根】発電所立地の相違</p>
		 <p>図 2.1.a.c-4 (6) 防潮堤（茶津側）露頭状況 P6 岬の近景（海側）(P5 拡大) 主に凝灰角礫岩が分布する。</p> <p>■ 拝囲みの内容は機密情報に属しますので公開できません。</p>	<p>【島根】発電所立地の相違</p>

## 泊発電所3号炉 DB基準適合性 比較表

実線・・設計方針又は設備構成等の相違  
 波線・・記載表現、設備名称の相違（実質的な相違なし）

## 第5条 津波による損傷の防止

女川原子力発電所2号炉	島根原子力発電所2号炉	泊発電所3号炉	相違理由
	 <p>図2-8 (7) 防波壁（東端部）露頭状況    P7 安山岩岩脈下盤境界全景  <u>貫入境界下盤側の母岩（黒色頁岩・凝灰岩）は侵食により削剥されている。</u></p>	 <p>図2.1.a.c-4 (7) 防潮堤（茶津側）露頭状況    P7 嶺の近景（海側）(P6 拡大)  <u>下位が礫径の大きい凝灰角礫岩、上位に小径の凝灰角礫岩が分布し、B級からなる。</u></p>  <p>P7 拡大</p>	<p>【島根】発電所立地の相違</p>

## 第5条 津波による損傷の防止

女川原子力発電所2号炉	島根原子力発電所2号炉	泊発電所3号炉	相違理由
	<p>図 2-8 (8) 防波壁（東端部）露頭状況      P8 安山岩岩脈下盤境界拡大</p> <p>貫入境界（N40E 56N）は黒色頁岩・凝灰岩の層理面に斜交し、密着する。安山岩側に急冷縁あり。貫入境界付近に破碎構造は認められない。</p>	<p>図 2.1.a.c-4 (8) 防潮堤（茶津側）露頭状況      P8 岬突端部</p> <p>凝灰角礫岩中に凝灰岩（砂質凝灰岩）が挟在し、凝灰角礫岩はB級、砂質凝灰岩はC級からなる。</p>	【島根】発電所立地の相違
	<p>図 2-8 (9) 防波壁（東端部）露頭状況      P9 安山岩岩脈（An）上盤境界</p> <p>貫入境界（N48E 42N）は火山礫凝灰岩（Lp）に密着する。</p>	<p>図 2.1.a.c-4 (9) 防潮堤（茶津側）露頭状況      P9 岬突端部（P8 拡大）</p> <p>凝灰角礫岩中に凝灰岩（砂質凝灰岩）（T=40～60cm, N30° W/50E）が挟在し、凝灰角礫岩はB級、凝灰岩（砂質凝灰岩）はC級からなる。</p>	【島根】発電所立地の相違

## 泊発電所3号炉 DB基準適合性 比較表

実線・・設計方針又は設備構成等の相違  
波線・・記載表現、設備名称の相違（実質的な相違なし）

## 第5条 津波による損傷の防止

女川原子力発電所2号炉	島根原子力発電所2号炉	泊発電所3号炉	相違理由
	 <p>図2-8 (10) 防波壁（東端部）露頭状況 P10 貫入境界拡大 安山岩側に急冷縁あり。</p>		【島根】発電所立地の相違
	 <p>図2-8 (11) 防波壁（東端部）露頭状況 P11 防波壁岩着部</p>	 <p>図2-8 (12) 防波壁（東端部）露頭状況 P12 安山岩岩脈（An）上盤境界 みかけ水平な層理の明瞭な火山礫凝灰岩（Lp）に貫入境界が斜交する。火山礫凝灰岩の層理は整然としており、境界付近に破碎構造は認められない。</p>	【島根】発電所立地の相違
		 <p>図2-1.a.c-4 (10) 防潮堤（茶津側）露頭状況 P10 岬の全景（山側） 凝灰角礫岩主体の露頭が分布する。</p> <p>図2-1.a.c-4 (11) 防潮堤（茶津側）露頭状況 P11 岬の近景（山側）(P10拡大) 凝灰角礫岩が分布し、C級からなる。</p>	【島根】発電所立地の相違

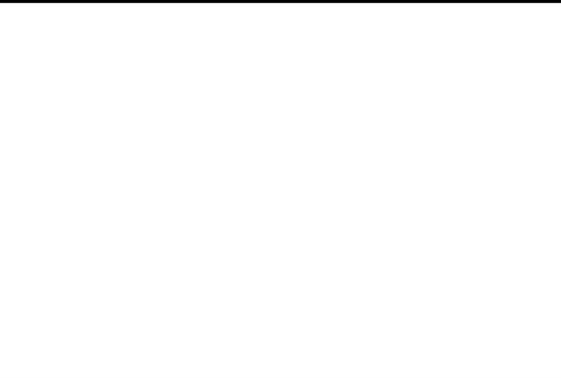
本資料のうち、枠囲みの内容は機密に係る事項のため公開できません。

枠囲みの内容は機密情報に属しますので公開できません。

泊発電所 3号炉 DB基準適合性 比較表

実線・・設計方針又は設備構成等の相違  
波線・・記載表現、設備名称の相違（実質的な相違なし）

第5条 津波による損傷の防止

女川原子力発電所 2号炉	島根原子力発電所 2号炉	泊発電所 3号炉	相違理由
	 <p>図 2-8 (13) 防波壁（東端部）露頭状況 P13 安山岩岩脈上盤境界 貫入境界は火山礫凝灰岩に密着し、安山岩側に急冷縁あり。</p>		<p>【島根】発電所立地の相違</p>
	 <p>図 2-8 (14) 防波壁（東端部）露頭状況 P14 防波壁岩着部</p> <p>本資料のうち、枠囲みの内容は機密に係る事項のため公開できません。</p>	 <p>図 2.1.a.c-4 (13) 防潮堤（茶津側）露頭状況 P13 茶津川沿いの地山斜面中腹（P12 拡大） 凝灰角礫岩の露頭が分布する。</p>	<p>【島根】発電所立地の相違</p>

泊発電所 3号炉 DB基準適合性 比較表

実線・・設計方針又は設備構成等の相違  
波線・・記載表現、設備名称の相違（実質的な相違なし）

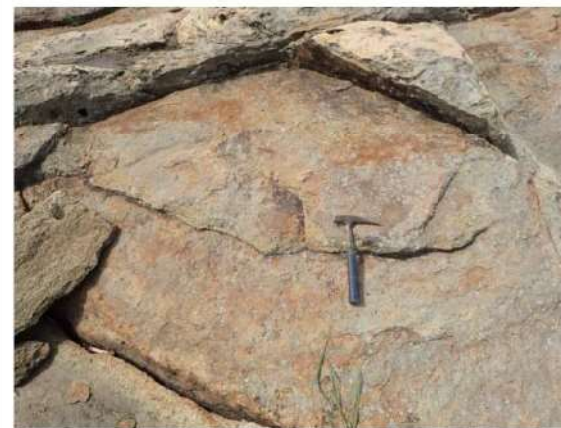
第5条 津波による損傷の防止

女川原子力発電所 2号炉	島根原子力発電所 2号炉	泊発電所 3号炉	相違理由
	 <p>図 2-8 (15) 防波壁（東端部）露頭状況 P15 安山岩岩脈（An）下盤境界 貫入境界は火山礫凝灰岩（Lp）に密着する。</p>		<p>【島根】発電所立地の相違</p>
	 <p>図 2-8 (16) 防波壁（東端部）露頭状況 P16 地山北端部 堅硬な火山礫凝灰岩が広く露出する。</p>	 <p>図 2.1.a.c-4 (15) 防潮堤（茶津側）露頭状況 P15 茶津川沿いの地山斜面下部（P12 拡大） 凝灰角礫岩の露頭が分布する。</p>	<p>【島根】発電所立地の相違</p>

## 泊発電所3号炉 DB基準適合性 比較表

実線・・設計方針又は設備構成等の相違  
 波線・・記載表現、設備名称の相違（実質的な相違なし）

## 第5条 津波による損傷の防止

女川原子力発電所2号炉	島根原子力発電所2号炉	泊発電所3号炉	相違理由
	 <p>図2-8 (17) 防波壁（東端部）露頭状況      P17 地山北端部      火山礫凝灰岩 C<sub>H</sub>級</p>  <p>図2-8 (18) 防波壁（東端部）露頭状況      P18 火山礫凝灰岩 C<sub>H</sub>級</p>	 <p>図2.1.a.c-4 (17) 防潮堤（茶津側）露頭状況      P17 茶津川沿いの地山斜面下部      凝灰角礫岩の露頭が分布する。</p>  <p>図2.1.a.c-4 (18) 防潮堤（茶津側）露頭状況      P18 茶津川沿いの地山斜面下部 (P17拡大)      凝灰角礫岩が分布し、B級からなる。</p>	【島根】発電所立地の相違
			【島根】発電所立地の相違

## 泊発電所3号炉 DB基準適合性 比較表

実線・・設計方針又は設備構成等の相違  
 波線・・記載表現、設備名称の相違（実質的な相違なし）

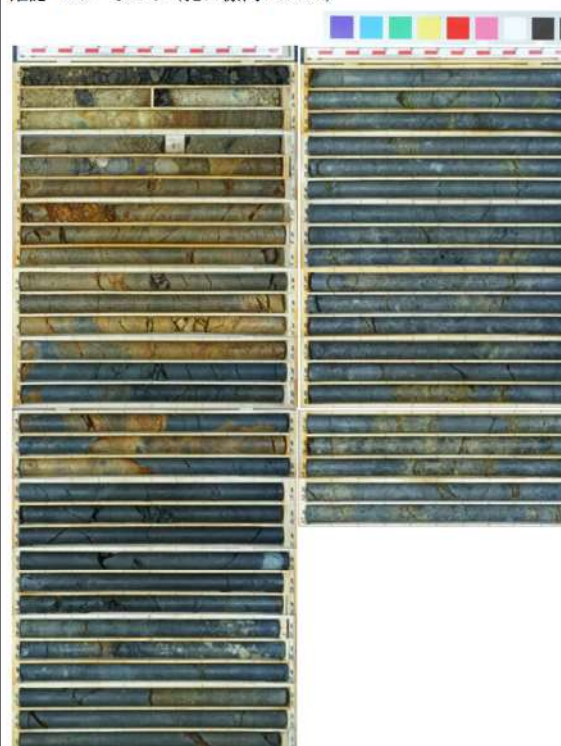
## 第5条 津波による損傷の防止

女川原子力発電所2号炉	島根原子力発電所2号炉	泊発電所3号炉	相違理由
			
	<p>図2-8 (19) 防波壁（東端部）露頭状況  <u>P19 防波扉北側岩着部拡大</u>  <u>岩盤に崩壊するような緩みや高角度亀裂等の顕著な変状は認められない。</u></p>	<p>図2.1.a.c-4 (19) 防潮堤（茶津側）露頭状況  <u>P19 茶津川支流の溪床</u>  <u>凝灰岩（火山疊凝灰岩）が分布する。</u></p>	<p>【島根】発電所立地の相違</p>

## 泊発電所3号炉 DB基準適合性 比較表

実線・・設計方針又は設備構成等の相違  
 波線・・記載表現、設備名称の相違（実質的な相違なし）

## 第5条 津波による損傷の防止

女川原子力発電所2号炉	島根原子力発電所2号炉	泊発電所3号炉	相違理由
		<p>確認-1 ポーリング(孔口標高 48.50m)</p>  <p>図2.1.a.c-4 (21) 防潮堤(茶津側) ポーリングコア写真      確認-1 ポーリング (L=50m)      (令和2年4月16日審査会合資料)      上位より砂質凝灰岩、火山礫凝灰岩の互層から凝灰角礫岩が      分布し、表層ではD級、5m以深ではB~C級からなる。</p>	<p>【島根】記載方針の相違</p> <ul style="list-style-type: none"> <li>泊では、地質についても明らかにする観点から、露頭状況に加えポーリングコア写真を示す。</li> </ul>

泊発電所3号炉 DB基準適合性 比較表

実線・・設計方針又は設備構成等の相違  
波線・・記載表現、設備名称の相違（実質的な相違なし）

第5条 津波による損傷の防止

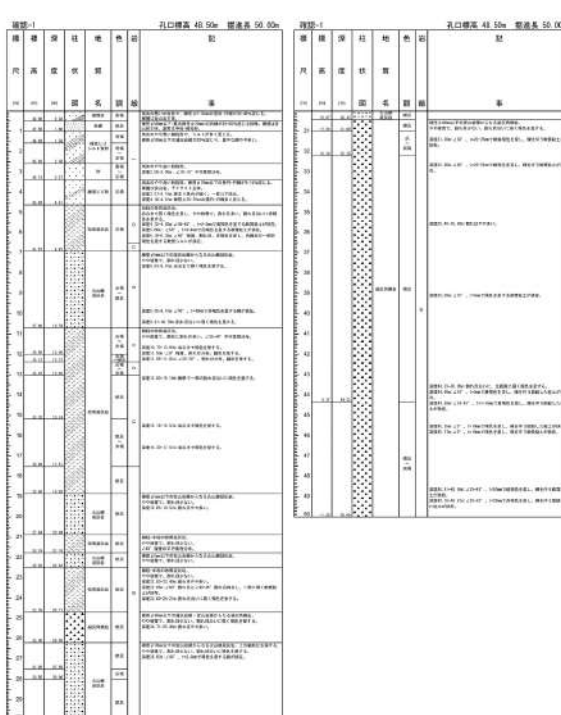
女川原子力発電所2号炉	島根原子力発電所2号炉	泊発電所3号炉	相違理由
			<p>【島根】記載方針の相違</p> <ul style="list-style-type: none"> <li>泊では、地質についても明らかにする観点から、露頭状況に加えボーリングコア写真を示す。</li> </ul>

図 2.1.a, c-4 (22) 防潮堤（茶津側）ボーリング柱状図

確認-1 ボーリング (L=50m)

(令和2年4月16日審査会合資料に岩級を追記)

## 泊発電所3号炉 DB基準適合性 比較表

実線・・設計方針又は設備構成等の相違  
 波線・・記載表現、設備名称の相違（実質的な相違なし）

## 第5条 津波による損傷の防止

女川原子力発電所2号炉	島根原子力発電所2号炉	泊発電所3号炉	相違理由
		<p>確認-2 ポーリング(孔口標高 48.70m)</p>  <p>図2.1.a.c-4 (23) 防潮堤（茶津側）ポーリングコア写真    確認-2 ポーリング (L=50m)    (令和2年4月16日審査会合資料)    上位より凝灰岩（砂質凝灰岩、火山礫凝灰岩の互層）及び凝灰角礫岩が分布し、B～C級となる。</p>	<p>【島根】記載方針の相違</p> <ul style="list-style-type: none"> <li>泊では、地質についても明らかにする観点から、露頭状況に加えポーリングコア写真を示す。</li> </ul>

泊発電所3号炉 DB基準適合性 比較表

実線・・設計方針又は設備構成等の相違  
波線・・記載表現、設備名称の相違（実質的な相違なし）

第5条 津波による損傷の防止

女川原子力発電所2号炉	島根原子力発電所2号炉	泊発電所3号炉	相違理由
			<p>【島根】記載方針の相違</p> <ul style="list-style-type: none"> <li>泊では、地質についても明らかにする観点から、露頭状況に加えボーリングコア写真を示す。</li> </ul>

図 2.1.a.c-4 (24) 防潮堤(茶津側) ボーリング柱状図  
確認-2 ボーリング (L=50m)  
(令和2年4月16日審査会合資料に岩級を追記)

## 泊発電所3号炉 DB基準適合性 比較表

実線・・設計方針又は設備構成等の相違  
 波線・・記載表現、設備名称の相違（実質的な相違なし）

## 第5条 津波による損傷の防止

女川原子力発電所2号炉	島根原子力発電所2号炉	泊発電所3号炉	相違理由
		<p>確認-3 ポーリング(孔口標高 47.70m)</p>  <p>図 2.1.a.c-4 (25) 防潮堤（茶津側）ポーリングコア写真      確認-3 ポーリング (L=50m)      (令和2年4月16日審査会合資料)      上位より凝灰岩（砂質凝灰岩、火山礫凝灰岩の互層）が分布し、B～C級からなる。</p>	<p>【島根】記載方針の相違</p> <ul style="list-style-type: none"> <li>泊では、地質についても明らかにする観点から、露頭状況に加えポーリングコア写真を示す。</li> </ul>

泊発電所3号炉 DB基準適合性 比較表

実線・・設計方針又は設備構成等の相違  
波線・・記載表現、設備名称の相違（実質的な相違なし）

第5条 津波による損傷の防止

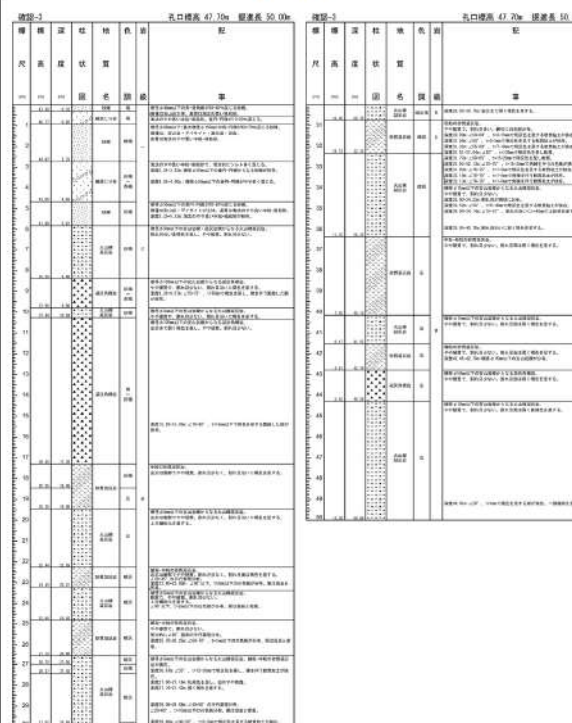
女川原子力発電所2号炉	島根原子力発電所2号炉	泊発電所3号炉	相違理由
		 <p>【島根】記載方針の相違</p> <ul style="list-style-type: none"> <li>泊では、地質についても明らかにする観点から、露頭状況に加えボーリングコア写真を示す。</li> </ul>	

図2.1.a.c-4(26)防潮堤(茶津側)ボーリング柱状図

確認-3ボーリング(L=50m)

(令和2年4月16日審査会合資料に岩級を追記)

## 泊発電所3号炉 DB基準適合性 比較表

実線・・設計方針又は設備構成等の相違  
 波線・・記載表現、設備名称の相違（実質的な相違なし）

## 第5条 津波による損傷の防止

女川原子力発電所2号炉	島根原子力発電所2号炉	泊発電所3号炉	相違理由
		<p>R1 敷地-1 ポーリング(孔口標高 48.00m)</p>  <p>図 2.1.a.c-4 (27) 防潮堤（茶津側）ポーリングコア写真      R1 敷地-1 ポーリング (L=40m)      (令和2年4月16日審査会合資料)      上位より凝灰岩（砂質凝灰岩、火山礫凝灰岩の互層）が分布し、B～C級からなる。</p>	<p>【島根】記載方針の相違</p> <ul style="list-style-type: none"> <li>泊では、地質についても明らかにする観点から、露頭状況に加えポーリングコア写真を示す。</li> </ul>

泊発電所3号炉 DB基準適合性 比較表

実線・・設計方針又は設備構成等の相違  
波線・・記載表現、設備名称の相違（実質的な相違なし）

第5条 津波による損傷の防止

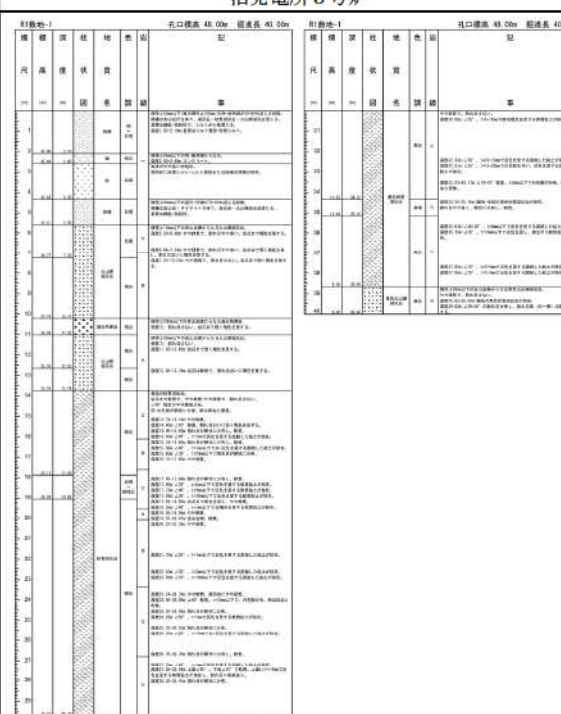
女川原子力発電所2号炉	島根原子力発電所2号炉	泊発電所3号炉	相違理由
			<p>【島根】記載方針の相違</p> <ul style="list-style-type: none"> <li>泊では、地質についても明らかにする観点から、露頭状況に加えボーリングコア写真を示す。</li> </ul>

図 2.1.a.c-4 (28) 防潮堤(茶津側) ボーリング柱状図

R1敷地-1 ボーリング (L=40m)

(令和2年4月16日審査会合資料に岩級を追記)

## 泊発電所3号炉 DB基準適合性 比較表

実線・・設計方針又は設備構成等の相違  
 波線・・記載表現、設備名称の相違（実質的な相違なし）

## 第5条 津波による損傷の防止

女川原子力発電所2号炉	島根原子力発電所2号炉	泊発電所3号炉	相違理由
		<p>R1 敷地-2 ポーリング(孔口標高 46.00m)</p>  <p>図 2.1.a.c-4 (29) 防潮堤（茶津側）ポーリングコア写真  <u>R1 敷地-2 ポーリング (L=30m)</u>  <u>(令和2年4月16日審査会合資料)</u>  <u>上位より凝灰岩（砂質凝灰岩、火山礫凝灰岩の互層）が分布し、B～C級からなる。</u></p>	<p>【島根】記載方針の相違</p> <ul style="list-style-type: none"> <li>泊では、地質についても明らかにする観点から、露頭状況に加えポーリングコア写真を示す。</li> </ul>

泊発電所3号炉 DB基準適合性 比較表

実線・・設計方針又は設備構成等の相違  
波線・・記載表現、設備名称の相違（実質的な相違なし）

第5条 津波による損傷の防止

女川原子力発電所2号炉	島根原子力発電所2号炉	泊発電所3号炉	相違理由
		<p style="text-align: center;">R1敷地-2 孔口標高 46.00m 捶進長 30.00m</p>	<p>【島根】記載方針の相違</p> <ul style="list-style-type: none"> <li>泊では、地質についても明らかにする観点から、露頭状況に加えボーリングコア写真を示す。</li> </ul>

図 2.1. a. c-4 (30) 防潮堤(茶津側) ポーリング柱状図

R1敷地-2 ポーリング (L=30m)

(令和2年4月16日審査会合資料に岩級を追記)

## 泊発電所3号炉 DB基準適合性 比較表

実線・・設計方針又は設備構成等の相違  
 波線・・記載表現、設備名称の相違（実質的な相違なし）

## 第5条 津波による損傷の防止

女川原子力発電所2号炉	島根原子力発電所2号炉	泊発電所3号炉	相違理由
		<p>R1 敷地-3 ポーリング(孔口標高 39.60m)</p>  <p>図 2.1.a.c-4 (31) 防潮堤（茶津側）ポーリングコア写真  <u>R1 敷地-3 ポーリング (L=30m)</u>  <u>(令和2年4月16日審査会合資料)</u>  <u>上位より凝灰岩（砂質凝灰岩、火山礫凝灰岩の互層）が分布し、B～C級からなる。</u></p>	<p>【島根】記載方針の相違</p> <ul style="list-style-type: none"> <li>泊では、地質についても明らかにする観点から、露頭状況に加えポーリングコア写真を示す。</li> </ul>

泊発電所3号炉 DB基準適合性 比較表

実線・・設計方針又は設備構成等の相違  
波線・・記載表現、設備名称の相違（実質的な相違なし）

第5条 津波による損傷の防止

女川原子力発電所2号炉	島根原子力発電所2号炉	泊発電所3号炉	相違理由
		<p style="text-align: center;">R1敷地-3 孔口標高 39.60m 捜査長 30.00m</p>	<p><b>【島根】記載方針の相違</b></p> <ul style="list-style-type: none"> <li>泊では、地質についても明らかにする観点から、露頭状況に加えボーリングコア写真を示す。</li> </ul>

図2.1.a.c-4(32)防潮堤(茶津側)ボーリング柱状図  
R1敷地-3ボーリング(L=30m)  
(令和2年4月16日審査会合資料に岩級を追記)

泊発電所 3号炉 DB基準適合性 比較表

実線・・設計方針又は設備構成等の相違  
波線・・記載表現、設備名称の相違（実質的な相違なし）

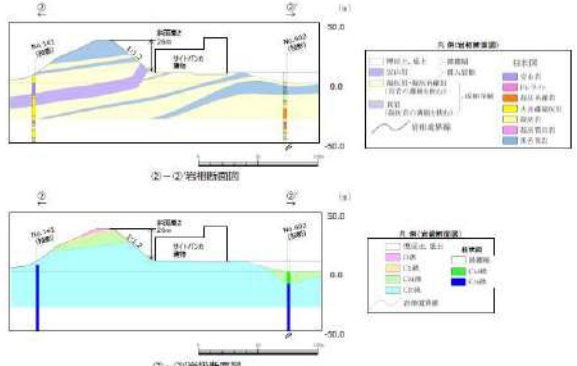
## 第5条 津波による損傷の防止

女川原子力発電所 2号炉	島根原子力発電所 2号炉	泊発電所 3号炉	相違理由
	<p>島根原子力発電所 2号炉 防波壁（東端部）位置図</p> <p>防波壁（東端部）地質断面図・岩盤分類図</p> <p>①-①' 岩相断面図</p> <p>①-①' 岩級断面図</p> <p>凡例（岩級断面図）</p> <p>凡例（岩相断面図）</p>	<p>泊発電所 3号炉 地質断面図 (A-A' 断面)</p> <p>泊発電所 3号炉 岩盤分類図 (A-A' 断面)</p>	<p>【島根】発電所立地の相違</p>

## 泊発電所3号炉 DB基準適合性 比較表

実線・・設計方針又は設備構成等の相違  
 波線・・記載表現、設備名称の相違（実質的な相違なし）

## 第5条 津波による損傷の防止

女川原子力発電所2号炉	島根原子力発電所2号炉	泊発電所3号炉	相違理由
	 <p>図2-9 (2) 防波壁(東端部) 地質断面図・岩級断面図    ②-②'断面</p>		【島根】発電所立地の相違

## 泊発電所3号炉 DB基準適合性 比較表

実線・・設計方針又は設備構成等の相違  
波線・・記載表現、設備名称の相違（実質的な相違なし）

## 第5条 津波による損傷の防止

女川原子力発電所2号炉	島根原子力発電所2号炉	泊発電所3号炉	相違理由
<p>防波壁（西端部）周辺の地質構造 防波壁（西端部）周辺のルートマップ（平成8年の調査により作成）を図2-10に示す。また、防波壁（西端部）周辺において、ボーリングコアや露頭の状況を整理し作成した詳細ルートマップ及び模式柱状図を図2-11に示す。</p> <p>防波壁（西端部）周辺は、凝灰岩及び火山礫凝灰岩を主体とし、凝灰角礫岩や黒色頁岩、ドレライトを挟む。西北西～北西走向、北東緩傾斜であり、局所的なスランプ褶曲が認められる。詳細ルートマップでは、複数箇所で確認される特徴的な岩相として、火山礫凝灰岩からなるKlpと黒色頁岩を主体とするKshを鍵層として扱い標記した。露頭状況写真を図2-12に示す。</p> <p>防波壁（西端部）は、緩く北東に傾斜する斜面の標高15m以下に擦り付いている。独立行政法人防災科学技術研究所（以下、「防災科研」）が作成した地すべり地形分布図（平成17年）では、防波壁（西端部）周辺に位置する地滑り地形が示されている（以下、「防災科研調査結果」）。地形判読の結果、独立行政法人防災科学技術研究所（以下、「防災科研」）の地滑り土塊とされる箇所に等高線の乱れが認められることから、表層すべりが想定される。</p> <p>現地調査の結果、防災科研調査の地滑り土塊とされる箇所の側方崖末端部においては、おおむね新鮮堅硬な岩盤が認められ、そこに断層構造や顕著な割れ目は認められず、また地滑り末端部付近に生じる層理面の乱れや圧縮構造は確認されない。図2-13及び図2-14に示すとおり、周辺のボーリング調査結果（No.201孔・No.303孔）及び2号炉放水路トンネル切羽面観察結果においても滑り面は認められない。</p> <p>また、防災科研調査の地滑り土塊とされる箇所の側面である開削面露頭では、凝灰岩を主体とし、最下部及び上部に黒色頁岩薄層、ほぼ中央に火山礫凝灰岩層が認められる。これらの岩相境界は明瞭で、ほぼ平滑な境界を有する。露頭最上部には粘性土及び礫質土が分布する。層理面は北へ緩く傾斜し、これに直交する高角度割れ目が認められる。露頭全体が弱変質により淡褐色を呈するが、堅硬な岩盤が認められ、シームや断層、褶曲、深層崩壊に伴う地滑り面は認められなかったが、開削面露頭上部で認められた礫質土及び粘性土（層厚：約2m）については、空中写真判読で認められた表層すべりに相当する可能性が考えられる。</p> <p>深層崩壊に伴う地滑り面は認められないことから、地滑り地形ではないと判断されるが、防災科研調査の地滑り地形付近において確認された礫質土及び粘性土については、過去の表層すべりの可能性が完全に否定できないことから、防波壁周辺斜面の安定性確保のため撤去する。また、標高40mより上方斜面に</p>	<p>△. 防潮堤（堀株側）周辺の地質・地質構造 防潮堤（堀株側）周辺のルートマップを図2.1.a.c-6に、露頭状況及びボーリングコア写真を図2.1.a.c-7に示す（ルートマップは令和4年調査で作成）。</p> <p>防潮堤（堀株側）は、張出した海食崖の基部に擦り付く構造としている（P1, P2）。海食崖の中段から基部において露頭が連続して認められる（P3～P7）。</p> <p>防潮堤（堀株側）の地山は、凝灰角礫岩、角礫質安山岩及び安山岩が北西-南東走向、西傾斜で分布する。表層付近では風化によるC～E級が認められるが、地山のほとんどがA, B, AⅠ～AⅢ級である。また、地滑り地形は認められない。</p>	<p>【島根】記載方針の相違 ・泊では、地質についても明らかにする観点から、露頭状況及びボーリングコア写真を示す。 ・島根では、露頭及びボーリングコアの状況を整理した、詳細ルートマップ及び模式柱状図のみを示す。</p> <p>【島根】発電所立地の相違</p> <p>【島根】発電所立地の相違</p> <p>【島根】発電所立地の相違 ・泊では、防潮堤（堀株側）の地山において、地滑り地形は認められない。 ・島根では、地滑り土塊とされ箇所において、表層すべりが想定されることから、詳細な考察結果を示している。</p>	

## 泊発電所3号炉 DB基準適合性 比較表

実線・・設計方針又は設備構成等の相違  
 波線・・記載表現、設備名称の相違（実質的な相違なし）

## 第5条 津波による損傷の防止

女川原子力発電所2号炉	島根原子力発電所2号炉	泊発電所3号炉	相違理由
	<p>おいても礫質土が認められたことから、ルートマップ（平成8年調査）に記載された「崩積土」の範囲について、岩盤まで礫質土を全て撤去する。斜面対策工の概要について図2-15に示す。</p> <p>防波壁（西端部）の地山は、黒色頁岩、凝灰質頁岩及び凝灰岩が西北西走向、北東緩傾斜の互層をなす単斜構造からなり。ここにシル状にドレライトと安山岩が貫入する。尾根部では表層風化によりD～C<sub>4</sub>級を呈するが、地山のほとんどがC<sub>4</sub>級である。この斜面において、褶曲や断層といった地質構造は認められず、シームは認められない。</p> <p style="border: 1px solid black; padding: 5px; text-align: center;">比較のため、直後の段落と記載順序を入れ替え</p>	<p>防潮堤（堀株側）の地山は、塊状の凝灰角礫岩からなり。擦り付け部を含む露頭全体において断層構造や裂かは認められない。岩質は表層で風化によりD級が認められるが、地山のほとんどでB～C級が分布する。</p>	【島根】発電所立地の相違
	<p>防波壁（西端部）周辺では、ボーリング調査を14本（No.101, 201, 202, 203, 204, 303, 304, 308, 19W1, 19W2, 19W3, 19W4, 19W5, 19W7）及び地表地質踏査を実施している。これらを踏まえて作成した防波壁（西端部）の全般的な地質・地質構造を示す地質断面図及び岩盤分類図を図2-16に示す。</p>	<p>防潮堤（堀株側）周辺では、ボーリング調査を1本（R2-B-51）及び地表地質踏査を実施している。これらを踏まえて作成した防潮堤（堀株側）周辺の地質・地質構造を示す地質断面図及び岩盤分類図を図2.1.a.c-8に示す。</p>	【島根】発電所立地の相違

泊発電所 3号炉 DB基準適合性 比較表

実線・・・設計方針又は設備構成等の相違  
波線・・・記載表現、設備名称の相違（実質的な相違なし）

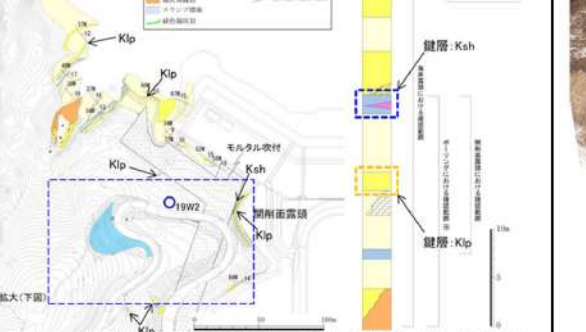
第5条 津波による損傷の防止

女川原子力発電所 2号炉	島根原子力発電所 2号炉	泊発電所 3号炉	相違理由																																																			
	<p>地質区分及び凡例</p> <table border="1"> <thead> <tr> <th>地質区分</th> <th>特徴</th> </tr> </thead> <tbody> <tr><td>1. 岩質地盤</td><td>岩質地盤</td></tr> <tr><td>2. 砂質地盤</td><td>砂質地盤</td></tr> <tr><td>3. 泥質地盤</td><td>泥質地盤</td></tr> <tr><td>4. 腐泥質地盤</td><td>腐泥質地盤</td></tr> <tr><td>5. 水成り地盤</td><td>水成り地盤</td></tr> <tr><td>6. 混合地盤</td><td>混合地盤</td></tr> <tr><td>7. 人工地盤</td><td>人工地盤</td></tr> <tr><td>8. 地下水</td><td>地下水</td></tr> <tr><td>9. 地震断層</td><td>地震断層</td></tr> <tr><td>10. 地震堆積物</td><td>地震堆積物</td></tr> <tr><td>11. 地震堆積物</td><td>地震堆積物</td></tr> <tr><td>12. 地震堆積物</td><td>地震堆積物</td></tr> <tr><td>13. 地震堆積物</td><td>地震堆積物</td></tr> <tr><td>14. 地震堆積物</td><td>地震堆積物</td></tr> <tr><td>15. 地震堆積物</td><td>地震堆積物</td></tr> <tr><td>16. 地震堆積物</td><td>地震堆積物</td></tr> <tr><td>17. 地震堆積物</td><td>地震堆積物</td></tr> <tr><td>18. 地震堆積物</td><td>地震堆積物</td></tr> <tr><td>19. 地震堆積物</td><td>地震堆積物</td></tr> <tr><td>20. 地震堆積物</td><td>地震堆積物</td></tr> <tr><td>21. 地震堆積物</td><td>地震堆積物</td></tr> <tr><td>22. 地震堆積物</td><td>地震堆積物</td></tr> <tr><td>23. 地震堆積物</td><td>地震堆積物</td></tr> <tr><td>24. 地震堆積物</td><td>地震堆積物</td></tr> <tr><td>25. 地震堆積物</td><td>地震堆積物</td></tr> </tbody> </table> <p>Key-PLAN</p> <p>ルートマップに示した符号</p> <ul style="list-style-type: none"> <li>a: 防波壁</li> <li>b: 岩山</li> <li>c: 地盤外縫合</li> <li>d: 地盤内縫合</li> <li>e: 地盤の上・側面</li> <li>f: 地盤の上・側面</li> <li>g: 地盤の上・側面</li> <li>h: 地盤の上・側面</li> <li>i: 地盤の上・側面</li> <li>j: 地盤の上・側面</li> <li>k: 地盤の上・側面</li> <li>l: 地盤の上・側面</li> <li>m: 地盤の上・側面</li> <li>n: 地盤の上・側面</li> <li>o: 地盤の上・側面</li> <li>p: 地盤の上・側面</li> <li>q: 地盤の上・側面</li> <li>r: 地盤の上・側面</li> <li>s: 地盤の上・側面</li> <li>t: 地盤の上・側面</li> <li>u: 地盤の上・側面</li> <li>v: 地盤の上・側面</li> <li>w: 地盤の上・側面</li> <li>x: 地盤の上・側面</li> <li>y: 地盤の上・側面</li> <li>z: 地盤の上・側面</li> </ul>	地質区分	特徴	1. 岩質地盤	岩質地盤	2. 砂質地盤	砂質地盤	3. 泥質地盤	泥質地盤	4. 腐泥質地盤	腐泥質地盤	5. 水成り地盤	水成り地盤	6. 混合地盤	混合地盤	7. 人工地盤	人工地盤	8. 地下水	地下水	9. 地震断層	地震断層	10. 地震堆積物	地震堆積物	11. 地震堆積物	地震堆積物	12. 地震堆積物	地震堆積物	13. 地震堆積物	地震堆積物	14. 地震堆積物	地震堆積物	15. 地震堆積物	地震堆積物	16. 地震堆積物	地震堆積物	17. 地震堆積物	地震堆積物	18. 地震堆積物	地震堆積物	19. 地震堆積物	地震堆積物	20. 地震堆積物	地震堆積物	21. 地震堆積物	地震堆積物	22. 地震堆積物	地震堆積物	23. 地震堆積物	地震堆積物	24. 地震堆積物	地震堆積物	25. 地震堆積物	地震堆積物	<p>【島根】記載方針の相違</p> <ul style="list-style-type: none"> <li>泊では、地質についても明らかにする観点から、露頭状況及びボーリングコア写真を示す。</li> <li>島根では、露頭及びボーリングコアの状況を整理した、詳細ルートマップ及び模式柱状図のみを示す。</li> </ul>
地質区分	特徴																																																					
1. 岩質地盤	岩質地盤																																																					
2. 砂質地盤	砂質地盤																																																					
3. 泥質地盤	泥質地盤																																																					
4. 腐泥質地盤	腐泥質地盤																																																					
5. 水成り地盤	水成り地盤																																																					
6. 混合地盤	混合地盤																																																					
7. 人工地盤	人工地盤																																																					
8. 地下水	地下水																																																					
9. 地震断層	地震断層																																																					
10. 地震堆積物	地震堆積物																																																					
11. 地震堆積物	地震堆積物																																																					
12. 地震堆積物	地震堆積物																																																					
13. 地震堆積物	地震堆積物																																																					
14. 地震堆積物	地震堆積物																																																					
15. 地震堆積物	地震堆積物																																																					
16. 地震堆積物	地震堆積物																																																					
17. 地震堆積物	地震堆積物																																																					
18. 地震堆積物	地震堆積物																																																					
19. 地震堆積物	地震堆積物																																																					
20. 地震堆積物	地震堆積物																																																					
21. 地震堆積物	地震堆積物																																																					
22. 地震堆積物	地震堆積物																																																					
23. 地震堆積物	地震堆積物																																																					
24. 地震堆積物	地震堆積物																																																					
25. 地震堆積物	地震堆積物																																																					

図 2-10 防波壁（西端部）周辺のルートマップ

図 2.1.a.c-6 防潮堤（堀株側）周辺のルートマップ

## 第5条 津波による損傷の防止

女川原子力発電所 2号炉	島根原子力発電所 2号炉	泊発電所 3号炉	相違理由
	 <p>防波壁（西端部）周辺 詳細ルートマップ</p> <p>防波壁（西端部）周辺 模式柱状図</p> <p>図 2-11 防波壁（西端部）周辺の詳細ルートマップ及び模式柱状図</p>	 <p>図 2.1.a.c-7 (1) 防潮堤（堀株側）露頭状況 P1 防潮堤擦り付け部全景 露頭全面に凝灰角礫岩が分布する。</p>	<p>【島根】記載方針の相違</p> <ul style="list-style-type: none"> <li>泊では、地質についても明らかにする観点から、露頭状況及びボーリングコア写真を示す。</li> <li>島根では、露頭及びボーリングコアの状況を整理した、詳細ルートマップ及び模式柱状図のみを示す。</li> </ul>
		 <p>図 2.1.a.c-7 (2) 防潮堤（堀株側）露頭状況 P2 防潮堤擦り付け部（P1 拡大） 凝灰角礫岩が分布し、B級からなる。</p>	

## 泊発電所3号炉 DB基準適合性 比較表

実線・・設計方針又は設備構成等の相違  
 波線・・記載表現、設備名称の相違（実質的な相違なし）

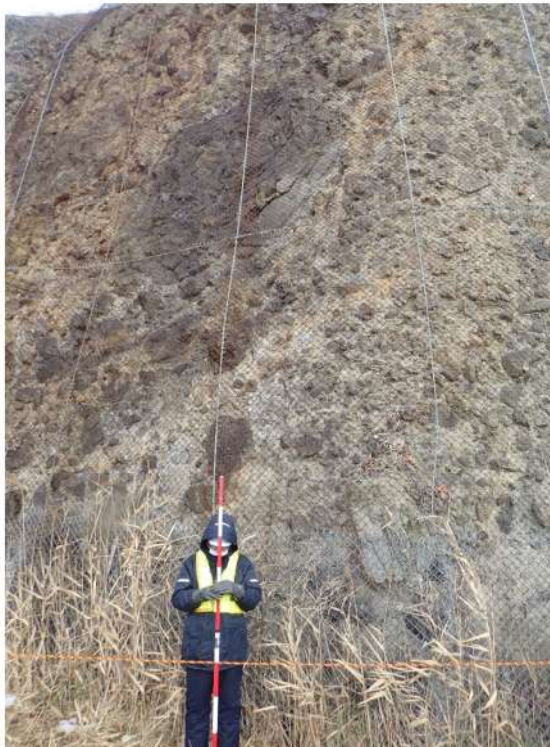
## 第5条 津波による損傷の防止

女川原子力発電所2号炉	島根原子力発電所2号炉	泊発電所3号炉	相違理由
			【島根】記載方針の相違 <ul style="list-style-type: none"> <li>泊では、地質についても明らかにする観点から、露頭状況及びボーリングコア写真を示す。</li> <li>島根では、露頭及びボーリングコアの状況を整理した、詳細ルートマップ及び模式柱状図のみを示す。</li> </ul>
		<p>図2.1.a.c-7(3) 防潮堤（堀株側）露頭状況  <u>P3 防潮堤擦り付け部周辺全景</u>  <u>露頭全面に凝灰角礫岩が分布する。</u></p> 	
		<p>図2.1.a.c-7(4) 防潮堤（堀株側）露頭状況  <u>P4 防潮堤擦り付け部周辺 (P3拡大)</u>  <u>凝灰角礫岩が分布し、B級からなる。</u></p>	
		<p>図2.1.a.c-7(5) 防潮堤（堀株側）露頭状況  <u>P5 防潮堤擦り付け部周辺</u>  <u>露頭全面に凝灰角礫岩が分布する。</u></p> <p>■枠囲みの内容は機密情報に属しますので公開できません。</p>	

## 泊発電所3号炉 DB基準適合性 比較表

実線・・設計方針又は設備構成等の相違  
 波線・・記載表現、設備名称の相違（実質的な相違なし）

## 第5条 津波による損傷の防止

女川原子力発電所2号炉	島根原子力発電所2号炉	泊発電所3号炉	相違理由
		 <p>図2.1.a.c-7(6) 防潮堤（堀株側）露頭状況  <u>P6 防潮堤擦り付け部周辺 (P5拡大)</u>      露頭全面に凝灰角礫岩が分布する。</p>	<p>【島根】記載方針の相違</p> <ul style="list-style-type: none"> <li>泊では、地質についても明らかにする観点から、露頭状況及びボーリングコア写真を示す。</li> <li>島根では、露頭及びボーリングコアの状況を整理した、詳細ルートマップ及び模式柱状図のみを示す。</li> </ul>
		 <p>図2.1.a.c-7(7) 防潮堤（堀株側）露頭状況  <u>P7 防潮堤擦り付け部周辺 (P6拡大)</u>      凝灰角礫岩が分布し、B級からなる。</p>	

## 泊発電所3号炉 DB基準適合性 比較表

実線・・設計方針又は設備構成等の相違  
 波線・・記載表現、設備名称の相違（実質的な相違なし）

## 第5条 津波による損傷の防止

女川原子力発電所2号炉	島根原子力発電所2号炉	泊発電所3号炉	相違理由
		<p>R2-B-51 ポーリング(孔口標高 47.1m)</p>  <p>図 2.1.a.c-7 (8) 防潮堤（堀株側）ポーリングコア写真      鉛直ポーリング (L=40m)      上位より凝灰角礫岩、角礫質安山岩、安山岩が分布し、表層 80cm      は E 級、2.3m 以深では A～C 級、A I～A II 級からなる。</p>	<p>【島根】記載方針の相違</p> <ul style="list-style-type: none"> <li>泊では、地質についても明らかにする観点から、露頭状況及びポーリングコア写真を示す。</li> <li>島根では、露頭及びポーリングコアの状況を整理した、詳細ルートマップ及び模式柱状図のみを示す。</li> </ul>

## 泊発電所3号炉 DB基準適合性 比較表

実線・・設計方針又は設備構成等の相違  
 波線・・記載表現、設備名称の相違（実質的な相違なし）

## 第5条 津波による損傷の防止

女川原子力発電所2号炉	島根原子力発電所2号炉	泊発電所3号炉	相違理由
		<p>【島根】記載方針の相違</p> <ul style="list-style-type: none"> <li>泊では、地質についても明らかにする観点から、露頭状況及びボーリングコア写真を示す。</li> <li>島根では、露頭及びボーリングコアの状況を整理した、詳細ルートマップ及び模式柱状図のみを示す。</li> </ul>	

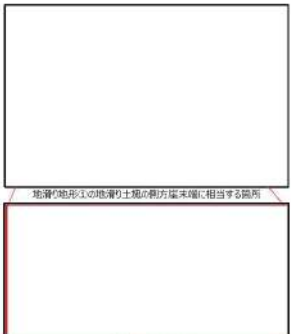
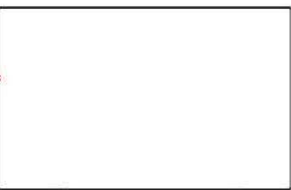
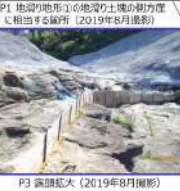
図 2.1.a.c-7 (9) 防潮堤（堀株側）ボーリング柱状図

R2-B-51 ボーリング (L=40m)

## 泊発電所3号炉 DB基準適合性 比較表

実線・・設計方針又は設備構成等の相違  
 波線・・記載表現、設備名称の相違（実質的な相違なし）

## 第5条 津波による損傷の防止

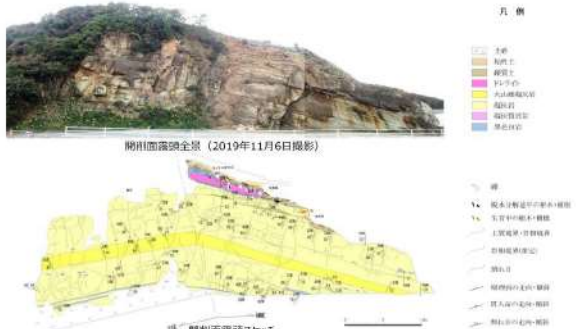
女川原子力発電所2号炉	島根原子力発電所2号炉	泊発電所3号炉	相違理由
	  <p>段差地形 肩張り地 地滑り地形①の地滑り土塊の側方崖末端に相当する箇所</p> <p>図2-12(1) 防波壁(西端部)露頭状況</p>		<p>【島根】発電所立地の相違</p> <ul style="list-style-type: none"> <li>泊では、防潮堤（堀株側）の地山において、地滑り地形は認められない。</li> <li>島根では、地滑り土塊とされ箇所において、表層すべりが想定されることから、詳細な考察結果を示している。</li> </ul>
	   <p>P1 地滑り地形①の地滑り土塊の側方崖に相当する箇所 (2019年8月撮影)      P2 肩張り地 (2019年3月撮影)      P3 肩張り地 (2019年8月撮影)</p> <p>図2-12(2) 防波壁(西端部)露頭状況</p> <p>地滑り地形①の地滑り土塊の側方崖末端に相当する箇所</p>		

本資料のうち、枠組みの内容は機密に係る事項のため公開できません。

泊発電所3号炉 DB基準適合性 比較表

実線・・設計方針又は設備構成等の相違  
波線・・記載表現、設備名称の相違（実質的な相違なし）

第5条 津波による損傷の防止

女川原子力発電所2号炉	島根原子力発電所2号炉	泊発電所3号炉	相違理由
	 <p>開削面露頭全景 (2019年11月6日撮影)</p> <p>開削面露頭スケッチ</p> <p>図 2-12 (3) 防波壁(西端部)露頭状況 開削面露頭全景</p>		<p>【島根】発電所立地の相違</p> <ul style="list-style-type: none"> <li>・泊では、防潮堤（堀株側）の地山において、地滑り地形は認められない。</li> <li>・島根では、地滑り土塊とされ箇所において、表層すべりが想定されることから、詳細な考察結果を示している。</li> </ul>
	 <p>上部露頭 開削面露頭上部写真 (2019年7月10日撮影)</p> <p>露頭上部拡大写真 (2019年9月20日撮影)</p> <p>開削面露頭上部スケッチ</p> <p>図 2-12 (4) 防波壁(西端部)露頭状況 開削面露頭上部</p>		

## 泊発電所3号炉 DB基準適合性 比較表

実線・・設計方針又は設備構成等の相違  
 波線・・記載表現、設備名称の相違（実質的な相違なし）

## 第5条 津波による損傷の防止

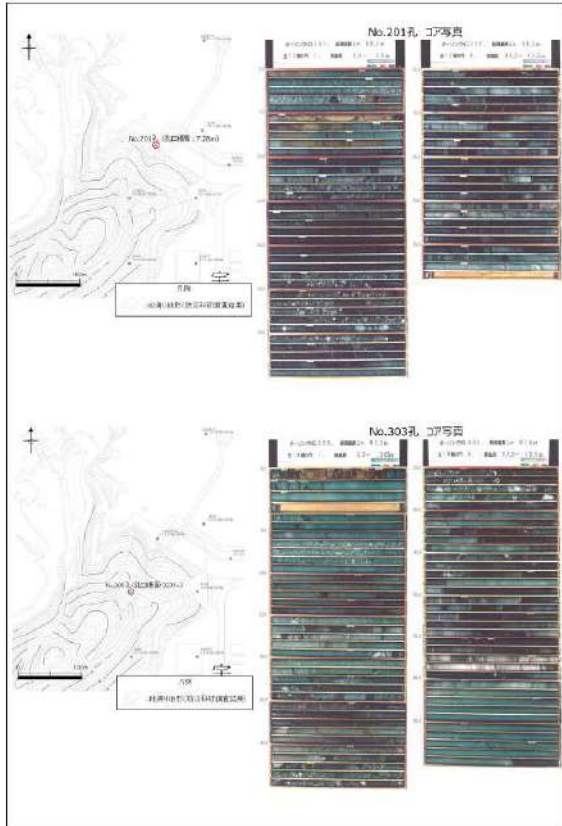
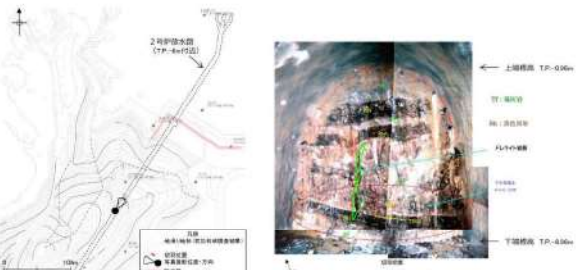
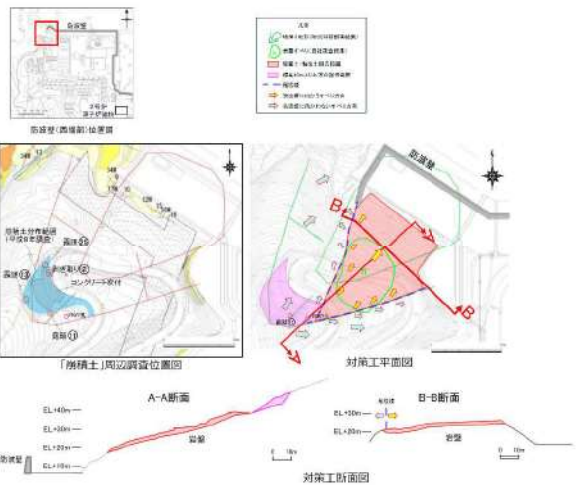
女川原子力発電所2号炉	島根原子力発電所2号炉	泊発電所3号炉	相違理由
			<p>【島根】発電所立地の相違</p> <ul style="list-style-type: none"> <li>・泊では、防潮堤（堀株側）の地山において、地滑り地形は認められない。</li> <li>・島根では、地滑り土塊とされ箇所において、表層すべりが想定されることから、詳細な考察結果を示している。</li> </ul>

図2-13 地滑り地形①近傍で掘削されたボーリングコア写真

## 泊発電所3号炉 DB基準適合性 比較表

実線・・設計方針又は設備構成等の相違  
 波線・・記載表現、設備名称の相違（実質的な相違なし）

## 第5条 津波による損傷の防止

女川原子力発電所2号炉	島根原子力発電所2号炉	泊発電所3号炉	相違理由
	 <p>図2-14 2号炉放水路（直径約6m）の切羽面観察結果</p>		<p>【島根】発電所立地の相違</p> <ul style="list-style-type: none"> <li>泊では、防潮堤（堀株側）の地山において、地滑り地形は認められない。</li> <li>島根では、地滑り土塊とされ箇所において、表層すべりが想定されることから、詳細な考察結果を示している。</li> </ul>
	 <p>図2-15 防波壁（西端部）斜面对策工</p>		

泊発電所 3号炉 DB基準適合性 比較表

実線 - - 設計方針又は設備構成等の相違  
波線 - - 記載表現、設備名称の相違（実質的な相違なし）

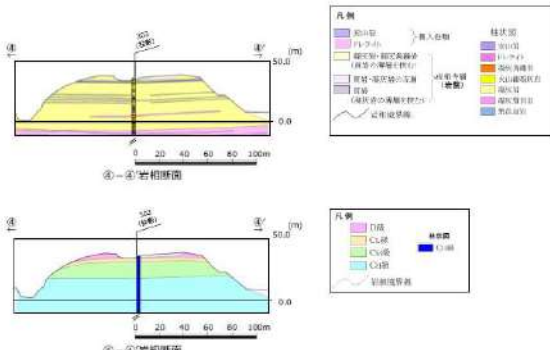
## 第5条 津波による損傷の防止

女川原子力発電所 2号炉	島根原子力発電所 2号炉	泊発電所 3号炉	相違理由
			<p>【島根】発電所立地の相違</p>

## 泊発電所3号炉 DB基準適合性 比較表

実線・・設計方針又は設備構成等の相違  
 波線・・記載表現、設備名称の相違（実質的な相違なし）

## 第5条 津波による損傷の防止

女川原子力発電所2号炉	島根原子力発電所2号炉	泊発電所3号炉	相違理由
	 <p>図2-16(2) 防波壁（西端部）地質断面図・岩級断面図 ④-④' 断面</p>		【島根】発電所立地の相違

## 泊発電所3号炉 DB基準適合性 比較表

実線・・設計方針又は設備構成等の相違  
 波線・・記載表現、設備名称の相違（実質的な相違なし）

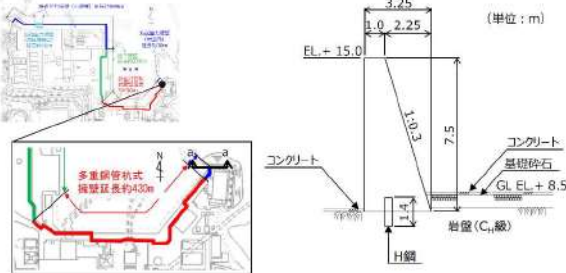
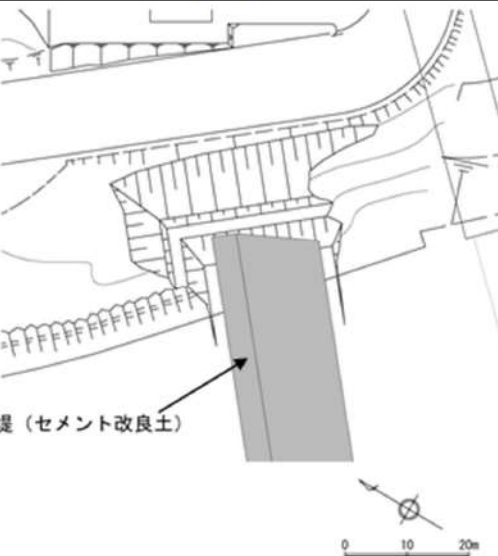
## 第5条 津波による損傷の防止

女川原子力発電所2号炉	島根原子力発電所2号炉	泊発電所3号炉	相違理由
	<p>d. 防波壁端部の擦り付け部の構造及び防波壁の仕様  <u>防波壁（東端部）及び防波壁（西端部）の擦り付け部の構造図及び状況写真を図2-17～22に示す。</u>  <u>防波壁（波返重力擁壁）東端部（a-a断面）については、地震及び津波による沈下やずれを生じさせないため、岩盤を露出させ、H鋼（H-350×350×12×19）を1m間隔で打設し、重力擁壁を堅硬な地山に直接設置する設計とした。また、防波壁の前面及び背面において、露出した岩盤を保護する目的でコンクリートで被覆した。</u>  <u>防波壁（波返重力擁壁）西端部（b-b断面）については、東端部同様、地震及び津波による沈下やずれを生じさせないため、岩盤を露出させ、H鋼（H-350×350×12×19）を1m間隔で打設し、重力擁壁を堅硬な地山に直接設置する設計とした。また、防波壁の前面及び背面において、露出した岩盤を保護する目的でコンクリートで被覆した。</u></p>	<p>三. 防潮堤端部の擦り付け部の構造及び<u>防潮堤の仕様</u>  <u>防潮堤（茶津側）及び防潮堤（堀株側）の擦り付け部の構造図及び状況写真を図2.1.a.c-9～2.1.a.c-12に示す。</u>  <u>茶津側及び堀株側とともに、地震及び津波による沈下やずれを生じさせないため、岩盤を掘削して露出させ、防潮堤を堅硬な地山に直接設置する設計とした。</u></p>	【島根】防潮堤設計の相違

泊発電所3号炉 DB基準適合性 比較表

実線・・設計方針又は設備構成等の相違  
波線・・記載表現、設備名称の相違（実質的な相違なし）

第5条 津波による損傷の防止

女川原子力発電所2号炉	島根原子力発電所2号炉	泊発電所3号炉	相違理由
	 <p>図2-17 防波壁（波返重力擁壁）東端部（a-a断面） 断面図</p>	 <p>図2.1.a.c-9 防潮堤（茶津側）端部の擦り付け構造</p>	
	 <p>図2-20 防波壁（波返重力擁壁）西端部（b-b断面） 断面図</p> <p>比較のため、図2-18,19と記載順序を入れ替え</p>	 <p>図2.1.a.c-10 防潮堤（堀株側）端部の擦り付け構造</p> <p>追而 (防潮堤端部構造の検討を踏まえて記載)</p>	

## 泊発電所3号炉 DB基準適合性 比較表

実線・・設計方針又は設備構成等の相違  
 波線・・記載表現、設備名称の相違（実質的な相違なし）

## 第5条 津波による損傷の防止

女川原子力発電所2号炉	島根原子力発電所2号炉	泊発電所3号炉	相違理由
	 <b>図2-18 防波壁東端部 状況写真</b>  <b>図2-19 防波壁東端部 岩盤露出状況</b>	 <b>図2.1.a.c-11 防潮堤（茶津側）端部の状況写真（掘削前）</b> <div style="background-color: black; color: white; padding: 2px;">■</div> 桁組みの内容は機密情報に属しますので公開できません。	
	<div style="border: 1px solid black; padding: 2px; width: fit-content;">           本資料のうち、枠組みの内容は機密に係る事項のため公開できません。         </div>		

## 泊発電所 3号炉 DB基準適合性 比較表

実線・・設計方針又は設備構成等の相違  
 波線・・記載表現、設備名称の相違（実質的な相違なし）

## 第5条 津波による損傷の防止

女川原子力発電所 2号炉	島根原子力発電所 2号炉	泊発電所 3号炉	相違理由
	 <p>図 2-21 防波壁西端部 状況写真</p>		
	 <p>図 2-22 防波壁西端部 岩盤露出状況</p> <p>本資料のうち、枠固みの内容は機密に係る事項のため公開できません。</p>	 <p>図 2.1.a.c-12 防潮堤（堀株側）端部の状況写真（掘削前）</p> <p>■ 枠固みの内容は機密情報に属しますので公開できません。</p>	

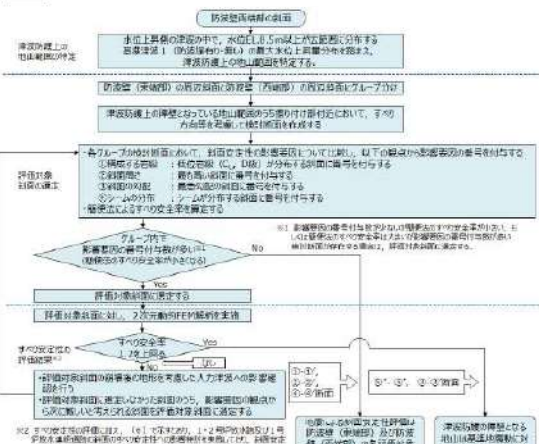
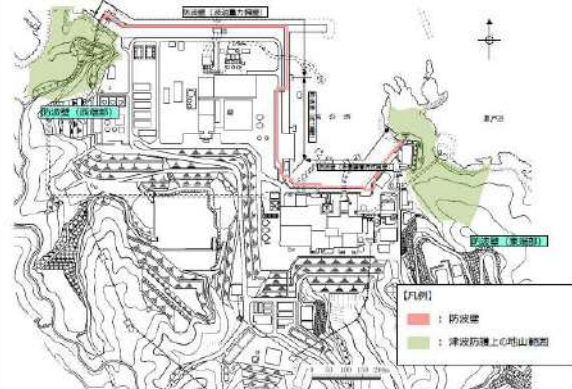
## 泊発電所3号炉 DB基準適合性 比較表

実線・・設計方針又は設備構成等の相違  
波線・・記載表現、設備名称の相違（実質的な相違なし）

## 第5条 津波による損傷の防止

女川原子力発電所2号炉	島根原子力発電所2号炉	泊発電所3号炉	相違理由																								
	<p>(3) 地山の耐震、耐津波設計上の位置付け 防波壁両端部の地山について、耐震、耐津波設計上の位置付けを表2-1に整理した。これを踏まえ、以下の検討を行う。</p> <ul style="list-style-type: none"> <li>・検討1：津波防護施設と同等の機能を有する斜面において、基準地震動 <math>S_s</math> による地山のすべり安定性評価を行い、基準地震動に対する健全性を確保していることを説明する。</li> <li>・検討2：津波防護施設同等の機能を有する斜面において、波力による侵食及び洗掘に対する抵抗性の確認及び基準津波による地山の安定性評価を行い、基準津波に対する健全性を確保していることを説明する。</li> </ul> <p>このほかに、当該地山については、防波壁の支持地盤としての地山及び防波壁の周辺斜面としての役割もあるため、耐震、耐津波設計上の位置付けを整理した。</p> <p>表2-1 防波壁両端部の地山の耐震、耐津波設計上の位置付け</p> <table border="1"> <thead> <tr> <th>設計上の役割</th> <th>耐震設計上の位置付け</th> <th>耐津波設計上の位置付け</th> </tr> </thead> <tbody> <tr> <td>①津波防護壁を担保する地山斜面(5条)</td> <td>・津波防護施設と同等の機能を有する地山斜面は、並行地盤帶による地盤力に対して、要求される津波防護機能を保証できるようにする。【検討1】</td> <td>・津波防護施設と同等の機能を有する地山斜面は、並行地盤帶による侵食及び洗掘に対する抵抗性の確認を行い、基準津波に対する健全性を確保できるようする。【検討2】</td> </tr> <tr> <td>②防波壁の支持地盤としての地山(3条)</td> <td>・防波壁と地山との擦り付け部は、液状化及び盛り込み沈下等の周辺地盤の変状を考慮しても、施設の安全機能が損なわれるおそれがないようにする。 ⇒「(2) ⅱ. 防波壁端部の擦り付け部の構造及び防波壁の仕様」に示すとおり、堅硬な岩盤に支持されていることから、液状化及び盛り込み沈下等の周辺地盤の変状は発生しない。</td> <td>・防波壁と地山との擦り付け部は、構造不連続による相対変位、すれ等が構造健全性、安定性、止水性や水密性に影響を及ぼさないようにする。 ⇒「(2) ⅱ. 防波壁端部の擦り付け部の構造及び防波壁の仕様」に示すとおり、岩盤を露出させ、ⅱ側を打設し、重力擁壁を堅硬な岩盤に直接設置していることから、構造不連続による相対変位、すれ等は発生しない。</td> </tr> <tr> <td>③防波壁の周辺斜面(4条)</td> <td>・防波壁の周辺斜面(①(1)津波遇上高の分布を踏まえた津波防護上の地山範囲の検定について(参照))は、想定される地盤動の地盤力により崩壊し、当該施設の安全機能が重大な影響を受けないようにする。</td> <td>—</td> </tr> </tbody> </table>	設計上の役割	耐震設計上の位置付け	耐津波設計上の位置付け	①津波防護壁を担保する地山斜面(5条)	・津波防護施設と同等の機能を有する地山斜面は、並行地盤帶による地盤力に対して、要求される津波防護機能を保証できるようにする。【検討1】	・津波防護施設と同等の機能を有する地山斜面は、並行地盤帶による侵食及び洗掘に対する抵抗性の確認を行い、基準津波に対する健全性を確保できるようする。【検討2】	②防波壁の支持地盤としての地山(3条)	・防波壁と地山との擦り付け部は、液状化及び盛り込み沈下等の周辺地盤の変状を考慮しても、施設の安全機能が損なわれるおそれがないようにする。 ⇒「(2) ⅱ. 防波壁端部の擦り付け部の構造及び防波壁の仕様」に示すとおり、堅硬な岩盤に支持されていることから、液状化及び盛り込み沈下等の周辺地盤の変状は発生しない。	・防波壁と地山との擦り付け部は、構造不連続による相対変位、すれ等が構造健全性、安定性、止水性や水密性に影響を及ぼさないようにする。 ⇒「(2) ⅱ. 防波壁端部の擦り付け部の構造及び防波壁の仕様」に示すとおり、岩盤を露出させ、ⅱ側を打設し、重力擁壁を堅硬な岩盤に直接設置していることから、構造不連続による相対変位、すれ等は発生しない。	③防波壁の周辺斜面(4条)	・防波壁の周辺斜面(①(1)津波遇上高の分布を踏まえた津波防護上の地山範囲の検定について(参照))は、想定される地盤動の地盤力により崩壊し、当該施設の安全機能が重大な影響を受けないようにする。	—	<p>(d) 地山の耐震、耐津波設計上の位置付け 防潮堤両端部の地山について、耐震、耐津波設計上の位置付けを表 2.1. a. d-1 に整理した。これを踏まえ、以下の検討を行う。</p> <ul style="list-style-type: none"> <li>・検討1：津波防護施設と同等の機能を有する斜面において、基準地震動による地山のすべり安定性評価を行い、基準地震動に対する健全性を確保していることを説明する。</li> <li>・検討2：津波防護施設同等の機能を有する斜面において、波力による侵食及び洗掘に対する抵抗性の確認及び基準津波による地山の安定性評価を行い、基準津波に対する健全性を確保していることを説明する。</li> </ul> <p>このほかに、当該地山については、防潮堤の支持地盤としての地山及び防潮堤の周辺斜面としての役割もあるため、耐震、耐津波設計上の位置付けを整理した。</p> <p>表 2.1. a. d-1 防潮堤両端部の地山の耐震・耐津波設計上の位置付け</p> <table border="1"> <thead> <tr> <th>設計上の役割</th> <th>耐震設計上の位置付け</th> <th>耐津波設計上の位置付け</th> </tr> </thead> <tbody> <tr> <td>①津波防護壁を担保する地山斜面(5条)</td> <td>・津波防護施設と同等の機能を有する地山斜面は、基準地震動による地盤力に対して、要求される津波防護機能を保持できるようする。 【検討1】</td> <td>・津波防護施設と同等の機能を有する地山斜面は、波力による侵食・洗掘に対する抵抗性並びにオマリ及び転倒に対する安定性を評価し、入力津波に対する健全性が保持できるようにする。 【検討2】</td> </tr> <tr> <td>②防潮堤の支持地盤としての地山(3条)</td> <td>—</td> <td>防潮堤の周辺斜面(4条) —</td> </tr> <tr> <td>③防潮堤の周辺斜面(4条)</td> <td>—</td> <td>防潮堤の周辺斜面(4条) —</td> </tr> </tbody> </table>	設計上の役割	耐震設計上の位置付け	耐津波設計上の位置付け	①津波防護壁を担保する地山斜面(5条)	・津波防護施設と同等の機能を有する地山斜面は、基準地震動による地盤力に対して、要求される津波防護機能を保持できるようする。 【検討1】	・津波防護施設と同等の機能を有する地山斜面は、波力による侵食・洗掘に対する抵抗性並びにオマリ及び転倒に対する安定性を評価し、入力津波に対する健全性が保持できるようにする。 【検討2】	②防潮堤の支持地盤としての地山(3条)	—	防潮堤の周辺斜面(4条) —	③防潮堤の周辺斜面(4条)	—	防潮堤の周辺斜面(4条) —	
設計上の役割	耐震設計上の位置付け	耐津波設計上の位置付け																									
①津波防護壁を担保する地山斜面(5条)	・津波防護施設と同等の機能を有する地山斜面は、並行地盤帶による地盤力に対して、要求される津波防護機能を保証できるようにする。【検討1】	・津波防護施設と同等の機能を有する地山斜面は、並行地盤帶による侵食及び洗掘に対する抵抗性の確認を行い、基準津波に対する健全性を確保できるようする。【検討2】																									
②防波壁の支持地盤としての地山(3条)	・防波壁と地山との擦り付け部は、液状化及び盛り込み沈下等の周辺地盤の変状を考慮しても、施設の安全機能が損なわれるおそれがないようにする。 ⇒「(2) ⅱ. 防波壁端部の擦り付け部の構造及び防波壁の仕様」に示すとおり、堅硬な岩盤に支持されていることから、液状化及び盛り込み沈下等の周辺地盤の変状は発生しない。	・防波壁と地山との擦り付け部は、構造不連続による相対変位、すれ等が構造健全性、安定性、止水性や水密性に影響を及ぼさないようにする。 ⇒「(2) ⅱ. 防波壁端部の擦り付け部の構造及び防波壁の仕様」に示すとおり、岩盤を露出させ、ⅱ側を打設し、重力擁壁を堅硬な岩盤に直接設置していることから、構造不連続による相対変位、すれ等は発生しない。																									
③防波壁の周辺斜面(4条)	・防波壁の周辺斜面(①(1)津波遇上高の分布を踏まえた津波防護上の地山範囲の検定について(参照))は、想定される地盤動の地盤力により崩壊し、当該施設の安全機能が重大な影響を受けないようにする。	—																									
設計上の役割	耐震設計上の位置付け	耐津波設計上の位置付け																									
①津波防護壁を担保する地山斜面(5条)	・津波防護施設と同等の機能を有する地山斜面は、基準地震動による地盤力に対して、要求される津波防護機能を保持できるようする。 【検討1】	・津波防護施設と同等の機能を有する地山斜面は、波力による侵食・洗掘に対する抵抗性並びにオマリ及び転倒に対する安定性を評価し、入力津波に対する健全性が保持できるようにする。 【検討2】																									
②防潮堤の支持地盤としての地山(3条)	—	防潮堤の周辺斜面(4条) —																									
③防潮堤の周辺斜面(4条)	—	防潮堤の周辺斜面(4条) —																									

## 第5条 津波による損傷の防止

女川原子力発電所2号炉	島根原子力発電所2号炉	泊発電所3号炉	相違理由
	<p>(4) 基準地震動に対する健全性確保の見通し</p> <p>a. 評価方針</p> <p>検討1の基準地震動に対する健全性確保として、津波防護を担保する地山の安定性評価を実施する。地山の地震による安定性評価について、基準地震動に対する健全性確保の見通しを説明する。</p> <p><u>検討に当たっては、図2-23の検討フローに基づいて実施する。</u></p>  <p><b>図2-23 検討フロー</b></p> <p>b. 防波壁端部地山のグループ分け</p> <p>津波防護上の地山範囲について、図2-24のとおり防波壁(東端部)と防波壁(西端部)にグループ分けし、それぞれで評価対象斜面を選定する。</p>  <p><b>図2-24 防波壁端部地山のグループ分け</b></p>	<p>(e) 基準地震動に対する健全性確保の見通し</p> <p>検討1の基準地震動に対する健全性確保として、津波防護を担保する地山の安定性評価を実施する。地山の地震による安定性評価について、基準地震動に対する健全性確保の見通しを説明する。</p>	

追而  
(地山の評価結果を踏まえて記載する)

## 第5条 津波による損傷の防止

女川原子力発電所2号炉	島根原子力発電所2号炉	泊発電所3号炉	相違理由
	<p>c. 評価方法</p> <p>評価対象斜面の選定は、図2-25に示す影響要因及び簡便法のすべり安全率を踏まえて行う。</p> <p>簡便法及び2次元動的FEM解析に用いる解析用物性値及び解析手法は、周辺斜面の安定性評価で使用したもの用いる。</p> <p>図2-25 評価対象斜面の選定に用いる影響要因等</p> <p>d. 評価対象斜面の選定</p> <p>(a) 防波壁(東端部)の評価対象斜面の選定</p> <p>防波壁(東端部)の津波防護上の地山範囲のうち擦り付け部付近において、すべり方向等を考慮して以下のとおり①-①'断面、②-②'断面及び⑤-⑤'断面の検討断面を作成し、この中から評価対象斜面を選定する。</p> <ul style="list-style-type: none"> <li>①-①'断面は、防波壁東側斜面の斜面幅が最も狭い箇所通り、地形が急勾配となる方向に設定した。</li> <li>②-②'断面は、防波壁北側斜面の頂部を通り、風化層が厚くなる尾根部を通るように設定した。</li> <li>⑤-⑤'断面は、防波壁東側斜面の斜面幅が狭い箇所通り、尾根を境に海側・陸側にそれぞれ地形が最急勾配となる方向に設定した。</li> </ul> <p>図2-26 評価対象断面の選定 検討断面位置図</p>		<p>泊発電所3号炉</p> <p>追面 (地山の評価結果を踏まえて記載する)</p>

泊発電所 3号炉 DB基準適合性 比較表

実線・・・設計方針又は設備構成等の相違  
波線・・・記載表現、設備名称の相違（実質的な相違なし）

## 第5条 津波による損傷の防止

女川原子力発電所 2号炉

島根原子力発電所 2号炉

泊発電所3号炉

相違理由

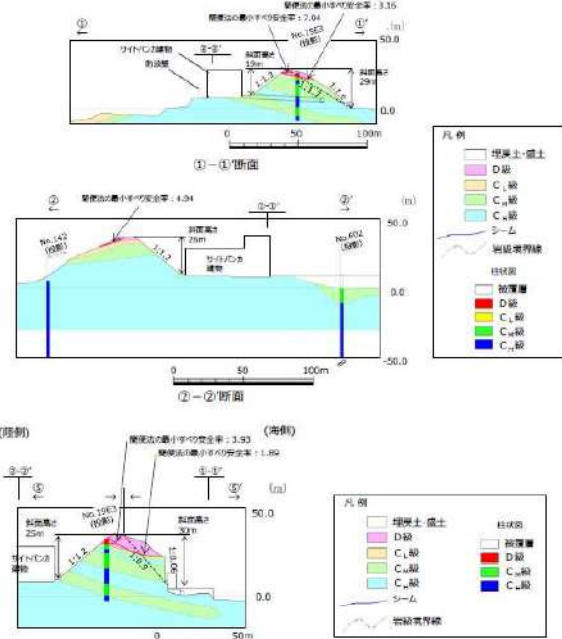


図 2-27 評価対象断面の選定 検討断面 地質鉛直断面図  
(岩級 シーム)

①-①' 断面、②-②' 断面及び⑤-⑤' 断面について表2-2のとおり比較を行った結果、⑤-⑤' 断面のうち海側の斜面を2次元動的FEM解析の評価対象斜面に選定した。

表2-2 防波壁（東端部） 評価対象斜面の選定結果

### 追而

## 泊発電所3号炉 DB基準適合性 比較表

実線・・設計方針又は設備構成等の相違  
波線・・記載表現、設備名称の相違（実質的な相違なし）

## 第5条 津波による損傷の防止

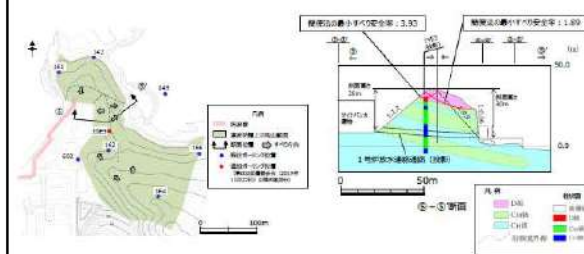
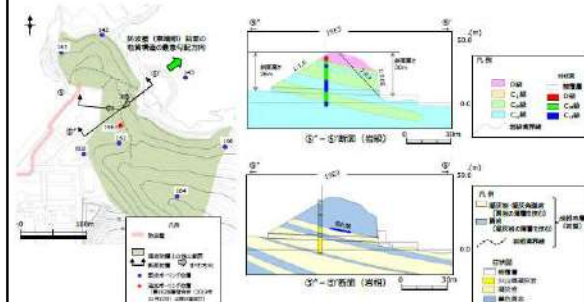
女川原子力発電所2号炉	島根原子力発電所2号炉	泊発電所3号炉	相違理由
	<p><b>【①-①' 断面の比較結果】</b></p> <p>⑤-⑤' 断面に比べ、平均勾配は緩いこと、表層のD級岩盤は薄いこと、斜面高さが19m・29mと低いこと、及び簡便法の最小すべり安全率が3.16・7.04と大きいことから、⑤-⑤' 断面の評価に代表させる。</p> <p>当該斜面には1号炉放水連絡通路が存在するが、(6)で示すとおり、斜面安定性に影響がないことを確認している。</p> <p>図2-28 ①-①' 断面の比較結果</p> <p><b>【②-②' 断面の比較結果】</b></p> <p>⑤-⑤' 断面に比べ、平均勾配は緩いこと、表層のD級岩盤は薄いこと、斜面高さが26mと低いこと、及び簡便法の最小すべり安全率が4.94と大きいことから、⑤-⑤' 断面の評価に代表させる。</p> <p>②"-②' 断面については、海側斜面の勾配が②"-②' 断面と同等であることから、②"-②' 断面に代表させた。</p> <p>図2-29 ②-②' 断面の比較結果</p>		
			<p>追而 (地山の評価結果を踏まえて記載する)</p>

## 泊発電所3号炉 DB基準適合性 比較表

実線・・設計方針又は設備構成等の相違

波線・・記載表現、設備名称の相違（実質的な相違なし）

## 第5条 津波による損傷の防止

女川原子力発電所2号炉	島根原子力発電所2号炉	泊発電所3号炉	相違理由
	<p><b>【⑤-⑤' 断面の比較結果】</b></p> <p>陸側すべりの斜面は、当該断面の海側すべりに比べ、平均勾配は緩く、表層のD級岩盤は薄いこと、斜面高さが25mと低いこと、及び簡便法の最小すべり安全率が3.93と大きいことから、当該断面の海側すべりの評価に代表させる。</p> <p>海側すべりの斜面は、斜面全体はC<sub>M</sub>～C<sub>H</sub>級主体の堅硬な岩盤で構成されるが、表層にD級が厚く分布すること、海側付近で1:0.06の勾配のほぼ直立した斜面が存在すること、海側の方向に流れ盤となっていること、及び簡便法の最小すべり安全率が1.89と小さいことから、評価対象斜面に選定する。</p> <p>当該斜面には1号炉放水連絡通路が存在するが、(6)で示すとおり、斜面安定性に影響がないことを確認している。</p>  <p>図2-30 ⑤-⑤' 断面の比較結果</p> <p><b>【⑤-⑤' 断面の解析断面位置】</b></p> <p>動的FEM解析の実施に当たり、山体の地震時の挙動を適切に解析に反映するため、⑤-⑤' 断面について、直線状の断面となるように、北東-南西方向に⑤''-⑤' 断面の地質断面図及び解析モデルを作成し、安定性評価を行うこととした。</p>  <p>図2-31 ⑤-⑤' 断面の解析断面位置</p>		
			追而 (地山の評価結果を踏まえて記載する)

## 泊発電所3号炉 DB基準適合性 比較表

実線・・設計方針又は設備構成等の相違  
波線・記載表現、設備名称の相違（実質的な相違なし）

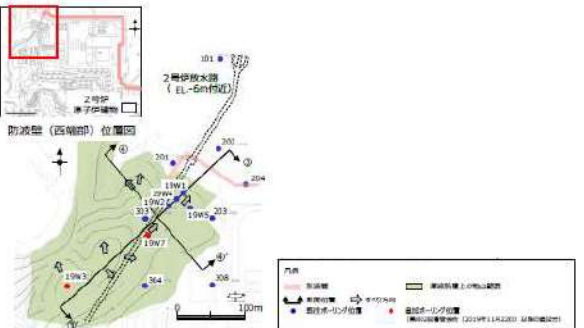
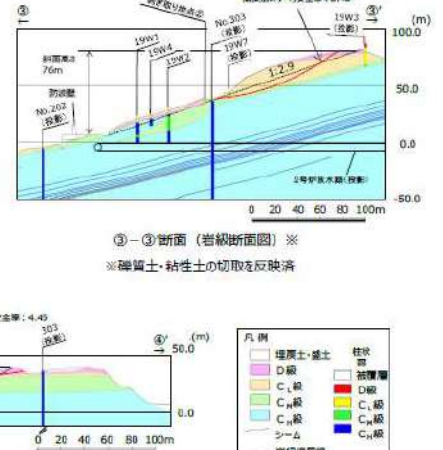
## 第5条 津波による損傷の防止

女川原子力発電所2号炉	島根原子力発電所2号炉	泊発電所3号炉	相違理由
	<p><b>【⑤-⑤' 断面のモデル化】</b></p> <p><u>防波壁（東端部）の⑤”-⑤' 断面の解析モデルについて</u>は、地質断面図を踏まえて作成する。</p> <p>表層にはD級岩盤（頁岩）及びD級岩盤（凝灰岩）が分布するが、保守的にせん断強度の低いD級岩盤（凝灰岩）でモデル化する。</p> <p>図2-32 ⑤-⑤' 断面のモデル化</p>	<p>追而 (地山の評価結果を踏まえて記載する)</p>	

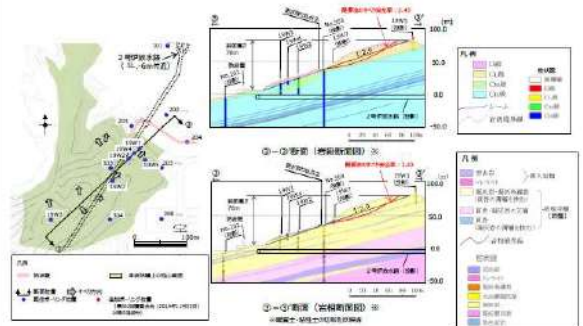
泊発電所3号炉 DB基準適合性 比較表

実線・・設計方針又は設備構成等の相違  
波線・・記載表現、設備名称の相違（実質的な相違なし）

第5条 津波による損傷の防止

女川原子力発電所2号炉	島根原子力発電所2号炉	泊発電所3号炉	相違理由
	<p>(b) 防波壁（西端部）の評価対象斜面の選定</p> <p>防波壁（西端部）の津波護岸上の地山範囲のうち擦り付け部付近において、すべり方向等を考慮し、以下のとおり③-③'断面及び④-④'断面の検討断面を作成し、この中から評価対象斜面を選定する。</p> <ul style="list-style-type: none"> <li>③-③'断面は、防波壁南側斜面の頂部付近を通り、地形及び地層の最急勾配方向に流れ盤になるように設定した。 んしょ</li> <li>④-④'断面は、防波壁南側の斜面幅が最も狭い箇所通り、地形が急勾配となる方向に設定した。</li> </ul>  <p>図2-33 防波壁（西端部）の評価対象斜面の選定 検討断面位置図</p>  <p>図2-34 評価対象断面の選定 検討断面 地質鉛直断面図（岩級、シーム）</p>	<p>泊発電所3号炉</p> <p>追而 (地山の評価結果を踏まえて記載する)</p>	

## 第5条 津波による損傷の防止

女川原子力発電所2号炉	島根原子力発電所2号炉	泊発電所3号炉	相違理由																							
	<p>③-③' 断面及び④-④' 断面について表2-3のとおり比較を行った結果、③-③' 断面を2次元動的FEM解析の評価対象斜面に選定した。</p> <p><u>表2-3 防波壁(西端部) 評価対象斜面の選定結果</u></p> <table border="1"> <thead> <tr> <th>断面種別 評価対象斜面</th><th>表層岩盤 (C<sub>L</sub>, C<sub>U</sub>, C<sub>D</sub>)</th><th>高さ[m]</th><th>傾斜率 (H:W)</th><th>有効高さ[m]</th><th>簡便法 最小すべり 安全率</th><th>評価対象 斜面</th></tr> </thead> <tbody> <tr> <td>③-③'</td><td>C<sub>L</sub>, C<sub>U</sub>, C<sub>D</sub></td><td>7.6m</td><td>1:2.8</td><td>なし</td><td>G<sub>1</sub>, G<sub>2</sub></td><td>2.43</td><td>・背景C<sub>L</sub>, D級が付与され、斜面高さが低いこと、背景の地盤上に厚い岩盤の分布がないこと、傾斜率が大きいこと、簡便法の安全率が大きいこと、評価対象斜面に選定する。</td></tr> <tr> <td>④-④'</td><td>C<sub>L</sub>, C<sub>U</sub>, C<sub>D</sub></td><td>3.7m</td><td>1:1.6</td><td>なし</td><td>G<sub>1</sub>, G<sub>2</sub></td><td>4.85</td><td>・S-0断面より、背景の地盤上にC<sub>L</sub>~C<sub>D</sub>級の岩盤が存在するが、C<sub>L</sub>~C<sub>D</sub>級の岩盤が存在するが、G<sub>1</sub>-G<sub>2</sub>断面の背後でC<sub>L</sub>~C<sub>D</sub>級の岩盤が存在する。</td></tr> </tbody> </table> <p>■：最も多くある岩盤層 ■：岩盤層が最も多くない(岩盤層のうち最も多い) □：最も多くある岩盤層</p> <p><u>【③-③' 断面の比較結果】</u>  当該斜面は、表層にC<sub>L</sub>, D級が分布すること、斜面高さが76mと高いこと、標高40m付近にD級岩盤の薄層が分布すること、流れ盤であること、及び簡便法の最小すべり安全率が2.43と小さいことから、評価対象斜面に選定する。  当該斜面には2号炉放水路が存在するが、(6)で示すとおり、斜面安定性に影響がないことを確認している。</p>  <p>図2-35 ③-③' 断面の比較結果</p> <p>追而 (地山の評価結果を踏まえて記載する)</p>	断面種別 評価対象斜面	表層岩盤 (C <sub>L</sub> , C <sub>U</sub> , C <sub>D</sub> )	高さ[m]	傾斜率 (H:W)	有効高さ[m]	簡便法 最小すべり 安全率	評価対象 斜面	③-③'	C <sub>L</sub> , C <sub>U</sub> , C <sub>D</sub>	7.6m	1:2.8	なし	G <sub>1</sub> , G <sub>2</sub>	2.43	・背景C <sub>L</sub> , D級が付与され、斜面高さが低いこと、背景の地盤上に厚い岩盤の分布がないこと、傾斜率が大きいこと、簡便法の安全率が大きいこと、評価対象斜面に選定する。	④-④'	C <sub>L</sub> , C <sub>U</sub> , C <sub>D</sub>	3.7m	1:1.6	なし	G <sub>1</sub> , G <sub>2</sub>	4.85	・S-0断面より、背景の地盤上にC <sub>L</sub> ~C <sub>D</sub> 級の岩盤が存在するが、C <sub>L</sub> ~C <sub>D</sub> 級の岩盤が存在するが、G <sub>1</sub> -G <sub>2</sub> 断面の背後でC <sub>L</sub> ~C <sub>D</sub> 級の岩盤が存在する。		
断面種別 評価対象斜面	表層岩盤 (C <sub>L</sub> , C <sub>U</sub> , C <sub>D</sub> )	高さ[m]	傾斜率 (H:W)	有効高さ[m]	簡便法 最小すべり 安全率	評価対象 斜面																				
③-③'	C <sub>L</sub> , C <sub>U</sub> , C <sub>D</sub>	7.6m	1:2.8	なし	G <sub>1</sub> , G <sub>2</sub>	2.43	・背景C <sub>L</sub> , D級が付与され、斜面高さが低いこと、背景の地盤上に厚い岩盤の分布がないこと、傾斜率が大きいこと、簡便法の安全率が大きいこと、評価対象斜面に選定する。																			
④-④'	C <sub>L</sub> , C <sub>U</sub> , C <sub>D</sub>	3.7m	1:1.6	なし	G <sub>1</sub> , G <sub>2</sub>	4.85	・S-0断面より、背景の地盤上にC <sub>L</sub> ~C <sub>D</sub> 級の岩盤が存在するが、C <sub>L</sub> ~C <sub>D</sub> 級の岩盤が存在するが、G <sub>1</sub> -G <sub>2</sub> 断面の背後でC <sub>L</sub> ~C <sub>D</sub> 級の岩盤が存在する。																			

## 第5条 津波による損傷の防止

## 泊発電所3号炉 DB基準適合性 比較表

実線・・設計方針又は設備構成等の相違  
波線・・記載表現、設備名称の相違（実質的な相違なし）

## 第5条 津波による損傷の防止

女川原子力発電所2号炉	島根原子力発電所2号炉	泊発電所3号炉	相違理由																																															
	<p>e. 評価結果</p> <p>防波壁（東端部）の評価対象斜面である⑤”一⑤’断面を対象に、基準地震動に対する2次元動的FEM解析を実施した結果、すべり安全率は1.2を上回ることから、津波防護の障壁となる地山について、基準地震動に対する健全性確保の見通しを確認できた。</p> <table border="1"> <thead> <tr> <th>すべり面番号</th> <th>すべり面形状</th> <th>基準地震動<sup>※1</sup></th> <th>すべり安全率【平均強度】<sup>※2</sup></th> <th>すべり安全率【ばらつきを考慮した強度】<sup>※3</sup></th> </tr> </thead> <tbody> <tr> <td>1</td> <td></td> <td>Ss-D (+,+)</td> <td>1.55 (13.24)</td> <td>1.30 (13.24)</td> </tr> </tbody> </table> <p>補便法で設定したすべり面</p> <table border="1"> <thead> <tr> <th rowspan="2">すべり面番号</th> <th colspan="8">すべり安全率</th> </tr> <tr> <th colspan="2">Ss-D</th> <th colspan="2">Ss-N1</th> <th colspan="2">Ss-N2</th> <th colspan="2">Ss-F1 Ss-F2</th> </tr> <tr> <th>(+,-)</th> <th>(-,+)</th> <th>(+,-)</th> <th>(-,+)</th> <th>(+,-)</th> <th>(-,+)</th> <th>(+,-)</th> <th>(-,+)</th> </tr> </thead> <tbody> <tr> <td>1</td> <td>1.59</td> <td>1.00</td> <td>1.55</td> <td>1.70</td> <td>1.56</td> <td>1.93</td> <td>2.11</td> <td>1.61</td> <td>1.84</td> <td>1.59</td> <td>1.84</td> </tr> </tbody> </table> <p>※1 基準地震動(+)は反転なし。(-)は水平反転。(-)は水平反転かつ鉛直反転を示す。 ※2 ( )は発生時間(秒)を示す。</p> <p>※3 ( )は、 【凡例】 ○：直面 △：C級直面 □：C級側面 ■：D級直面 ■：D級側面 ●：MWH —：すべり面</p> <p>図2-38 防波壁（東端部）の基準地震動に対する2次元動的FEM解析結果</p> <p>防波壁（西端部）の評価対象斜面である③一③’断面を対象に、基準地震動に対する2次元動的FEM解析を実施した結果、すべり安全率は1.2を上回ることから、津波防護の障壁となる地山について、基準地震動に対する健全性確保の見通しを確認できた。</p>	すべり面番号	すべり面形状	基準地震動 <sup>※1</sup>	すべり安全率【平均強度】 <sup>※2</sup>	すべり安全率【ばらつきを考慮した強度】 <sup>※3</sup>	1		Ss-D (+,+)	1.55 (13.24)	1.30 (13.24)	すべり面番号	すべり安全率								Ss-D		Ss-N1		Ss-N2		Ss-F1 Ss-F2		(+,-)	(-,+)	(+,-)	(-,+)	(+,-)	(-,+)	(+,-)	(-,+)	1	1.59	1.00	1.55	1.70	1.56	1.93	2.11	1.61	1.84	1.59	1.84		
すべり面番号	すべり面形状	基準地震動 <sup>※1</sup>	すべり安全率【平均強度】 <sup>※2</sup>	すべり安全率【ばらつきを考慮した強度】 <sup>※3</sup>																																														
1		Ss-D (+,+)	1.55 (13.24)	1.30 (13.24)																																														
すべり面番号	すべり安全率																																																	
	Ss-D		Ss-N1		Ss-N2		Ss-F1 Ss-F2																																											
(+,-)	(-,+)	(+,-)	(-,+)	(+,-)	(-,+)	(+,-)	(-,+)																																											
1	1.59	1.00	1.55	1.70	1.56	1.93	2.11	1.61	1.84	1.59	1.84																																							
			追而 (地山の評価結果を踏まえて記載する)																																															

泊発電所 3号炉 DB基準適合性 比較表

実線・・設計方針又は設備構成等の相違  
波線・・記載表現、設備名称の相違（実質的な相違なし）

## 第5条 津波による損傷の防止

図 2-39(1) 防波壁（西端部）の基準地震動に対する  
2 次元動的 FEM 解析結果

泊発電所3号炉 DB基準適合性 比較表

実線・・設計方針又は設備構成等の相違  
波線・・記載表現、設備名称の相違（実質的な相違なし）

第5条 津波による損傷の防止

女川原子力発電所2号炉		島根原子力発電所2号炉		泊発電所3号炉		相違理由
すべり面番号	すべり面形状	基礎地盤	すべり安全率	最小すべり安全率	相違理由	
1		基礎地盤 Ss-N2 水平NS (+,+) D線の滑動を通過すべき面	すべり安全率 [平均強度] 2.86 (24.39)	最小すべり安全率 [ばらつきを考慮した強度] 2.86	—	
1		基礎地盤 Ss-N2 水平NS (-,+) D線の滑動を通過すべき面	すべり安全率 [平均強度] 2.97 (24.00)	最小すべり安全率 [ばらつきを考慮した強度] 2.97	—	
1		基礎地盤 Ss-N2 水平EW (+,+) D線の滑動を通過すべき面	すべり安全率 [平均強度] 2.66 (24.43)	最小すべり安全率 [ばらつきを考慮した強度] 2.66	—	
1		基礎地盤 Sc-N2 水平EW (-,+) D線の滑動を通過すべき面	すべり安全率 [平均強度] 2.69 (26.07)	最小すべり安全率 [ばらつきを考慮した強度] 2.69	—	
1		基礎地盤 Sc-F1 D線の滑動を通過すべき面	すべり安全率 [平均強度] 2.67 (8.10)	最小すべり安全率 [ばらつきを考慮した強度] 2.67	—	
1		基礎地盤 Sc-F2 D線の滑動を通過すべき面	すべり安全率 [平均強度] 2.98 (16.53)	最小すべり安全率 [ばらつきを考慮した強度] 2.98	—	
<p>※1 基準地震動(+)は反転なし、(-)は水平反転、(--)は鉛直反転。      例2 (+)は水平反転かつ鉛直反転を示す。</p> <p>※2 (+)は、先生時間(秒)を示す。</p>						
<p>図2-39(2) 防波壁(西端部)の基準地震動に対する 2次元動的FEM解析結果</p>						
すべり面番号	すべり面形状	基礎地盤	すべり安全率	すべり安全率 [ばらつきを考慮した強度]	相違理由	
2		基礎地盤 Ss-D (+,-) 複数法で算定したすべり面	すべり安全率 [平均強度] 2.935 (8.61)	最小すべり安全率 [ばらつきを考慮した強度] 2.931 (8.61)	—	
すべり面番号	すべり面形状	基礎地盤	すべり安全率	相違理由		
2		基礎地盤 Ss-D (+,-) Ss-K1 (+,-) Ss-N2 (+,-) Ss-EW (+,-) Ss-F1 (+,-) Ss-F2 (+,-)	すべり安全率 [平均強度] Ss-D 2.935 (8.61) Ss-K1 3.18 (8.61) Ss-N2 2.95 (8.61) Ss-EW 3.21 (8.61) Ss-F1 3.09 (8.61) Ss-F2 3.37 (8.61)	最小すべり安全率 [ばらつきを考慮した強度] Ss-D 2.931 (8.61) Ss-K1 3.18 (8.61) Ss-N2 2.95 (8.61) Ss-EW 3.21 (8.61) Ss-F1 3.09 (8.61) Ss-F2 3.37 (8.61)	追而 (地山の評価結果を踏まえて記載する)	
<p>※1 基準地震動(+)は反転なしを示す。      例2 (+)は先生時間(秒)を示す。</p> <p>※3 (+)は、先生時間(秒)を示す。</p>						
<p>図2-39(3) 防波壁(西端部)の基準地震動に対する 2次元動的FEM解析結果</p>						

## 泊発電所3号炉 DB基準適合性 比較表

実線・・設計方針又は設備構成等の相違  
 波線・・記載表現、設備名称の相違（実質的な相違なし）

## 第5条 津波による損傷の防止

女川原子力発電所2号炉	島根原子力発電所2号炉	泊発電所3号炉	相違理由
	<p>(5) 基準津波に対する健全性確保の見通し</p> <p>検討2の基準津波に対する健全性確保として、(1)波力による侵食及び洗掘に対する抵抗性の確認及び(2)基準津波による地山の安定性評価を行った。</p> <p>a. 波力による侵食及び洗掘に対する抵抗性の確認</p> <p><u>津波防護上の地山は、図2-40及び図2-41に示すとおり岩盤から構成され一部はコンクリートに覆われていることから、波力による侵食及び洗掘による地形変化は生じない。</u></p>  <p>図2-40 防波壁（東端部）地山状況</p>  <p>図2-41 防波壁（西端部）地山状況</p>	<p>(上) 基準津波に対する健全性確保の見通し</p> <p>検討2の基準津波に対する健全性確保として、(1)波力による侵食及び洗掘に対する抵抗性の確認及び(2)基準津波による地山の安定性評価を行った。</p>	<p>追面 (地山の評価結果を踏まえて記載する)</p>

## 泊発電所3号炉 DB基準適合性 比較表

実線・・設計方針又は設備構成等の相違  
波線・・記載表現、設備名称の相違（実質的な相違なし）

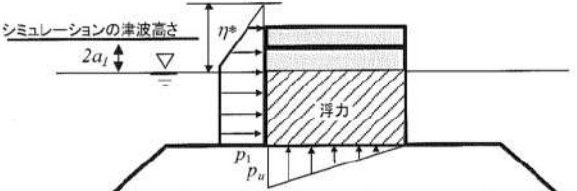
## 第5条 津波による損傷の防止

女川原子力発電所2号炉	島根原子力発電所2号炉	泊発電所3号炉	相違理由
	<p><b>b. 基準津波に対する地山の安定性評価</b></p> <p><u>基準津波に対する地山の安定性評価は、地山を津波防護施設と考え、直立の構造物に作用する力を保守的に津波波力として設定し、地山のせん断抵抗力と比較することで、基準津波に対する健全性確保の見通しを確認する。</u></p> <p><u>津波波力を算出するにあたり、防波壁（東端部）は擦り付け部で水位が最大となる基準津波1（防波堤無し）、防波壁（西端部）は擦り付け部で水位が最大となる基準津波1（防波堤有り）を対象とする。</u></p> <p><u>津波高さは、防波壁（東端部）については図2-42右に示すE L.+12.0m、防波壁（西端部）については図2-42左に示すE L.+10.7mと設定した。</u></p> <p><u>地山のせん断面は、防波壁の擦り付け部から断面長さが最小となる位置を設定した。防波壁（東端部）については図2-42右に示す地山のE L.+8.5m位置における最小幅である約95m、防波壁（西端部）については図2-42左に示す地山のE L.+8.5m位置における最小幅である約80mと設定した。</u></p>  <p>図2-42 津波高さ及び地山のせん断面検討位置</p>	<p>泊発電所3号炉</p> <p>追而 (地山の評価結果を踏まえて記載する)</p>	

## 泊発電所3号炉 DB基準適合性 比較表

実線・・設計方針又は設備構成等の相違  
波線・・記載表現、設備名称の相違（実質的な相違なし）

## 第5条 津波による損傷の防止

女川原子力発電所2号炉	島根原子力発電所2号炉	泊発電所3号炉	相違理由
	<p>基準津波の波力は、「防波堤の耐津波設計ガイドライン（平成27年12月一部改訂）」に示される谷本式に基づき、波力を算定する。</p> <p>谷本式は式2-1、式2-2と示される。ここでは、地山に作用する波力を等変分布荷重とし、これを式2-3と表す。</p> $\eta^* = 3.0a_1 \quad \text{式2-1}$ $P_1 = 2.2 \rho_0 g a_1 \quad \text{式2-2}$ $P = P_1 \times \eta^* \times (1/2) \quad \text{式2-3}$ <p>ここで、</p> <p><math>\eta^*</math> : 静水面上の波圧作用高さ  <math>a_1</math> : 入射津波の静水面上の高さ(振幅)  <math>\rho_0 g</math> : 海水の単位体積重量(10.1kN/m<sup>3</sup>)  <math>P_1</math> : 静水面における波圧強度  <math>P</math> : 地山に作用する波力</p>  <p>図2-43 地山に作用する波力等の分布図</p> <p>基準津波による波力の計算を以下に示す。計算に用いた津波高さを表2-4に示す。</p> <p>・防波壁</p> $\eta^* = 3.0a_1 = 3.0 \times 6.5m = 19.5m$ $P_1 = 2.2 \rho_0 g a_1 = 2.2 \times 10.1kN/m^3 \times 6.5m = 144.43kN/m^2 \approx 145kN/m^2$ $P = P_1 \times \eta^* \times (1/2) = 145kN/m^2 \times 19.5m \times (1/2) = 1,501.5kN/m \approx 1,502kN/m$	<p>泊発電所3号炉</p> <p>追面 (地山の評価結果を踏まえて記載する)</p>	

## 泊発電所3号炉 DB基準適合性 比較表

実線・・設計方針又は設備構成等の相違

波線・・記載表現、設備名称の相違（実質的な相違なし）

## 第5条 津波による損傷の防止

女川原子力発電所2号炉	島根原子力発電所2号炉	泊発電所3号炉	相違理由															
	<p>地山のせん断強度は、防波壁端部の地山の大部分を構成するC<sub>st</sub>級岩盤を対象にブロックせん断試験より求めた値（地山のせん断強度：1,140kN/m<sup>2</sup>）を設定した。</p> <p>地山のせん断抵抗力は下記計算で算出される。</p> <ul style="list-style-type: none"> <li>防波壁（東端部）の地山のせん断抵抗力  <math display="block">1,140\text{kN/m}^2 \text{ (地山のせん断強度)} \times 95\text{m} \text{ (地山の最小幅)} \\ = 108,300\text{kN/m}</math> </li> <li>防波壁（西端部）の地山のせん断抵抗力  <math display="block">1,140\text{kN/m}^2 \text{ (地山のせん断強度)} \times 80\text{m} \text{ (地山の最小幅)} \\ = 91,200\text{kN/m}</math> </li> </ul> <p>算出した結果を表2-4に示す。地山に作用する波力は、防波壁で1,502kN/mとなった。また、地山のせん断抵抗力は防波壁（東端部）で108,300kN/m、防波壁（西端部）で91,200kN/mとなり、地山のせん断抵抗力は波力と比較して十分に大きいため（図2-44）、基準津波に対する健全性を確認した。</p> <p>表2-4 地山に作用する波力及び地山のせん断抵抗力</p> <table border="1"> <thead> <tr> <th></th> <th>シミュレーションによる津波高さ<sup>※</sup> (2a<sub>1</sub>)</th> <th>振幅 (a<sub>1</sub>)</th> <th>地山に作用する波力</th> <th>地山のせん断抵抗力</th> </tr> </thead> <tbody> <tr> <td>防波壁（東端部）</td> <td>13m[12.64m]</td> <td>6.5m</td> <td>1,502kN/m</td> <td>108,300kN/m</td> </tr> <tr> <td>防波壁（西端部）</td> <td></td> <td></td> <td></td> <td>91,200kN/m</td> </tr> </tbody> </table> <p>※防波壁擦り付け部の最高水位12.0mに、参照する裕度0.6倍を考慮し、保守的に設定</p> <p>図2-44 波力と地山のせん断抵抗力の比較計算に関するイメージ</p>		シミュレーションによる津波高さ <sup>※</sup> (2a <sub>1</sub> )	振幅 (a <sub>1</sub> )	地山に作用する波力	地山のせん断抵抗力	防波壁（東端部）	13m[12.64m]	6.5m	1,502kN/m	108,300kN/m	防波壁（西端部）				91,200kN/m	泊発電所3号炉	追而 (地山の評価結果を踏まえて記載する)
	シミュレーションによる津波高さ <sup>※</sup> (2a <sub>1</sub> )	振幅 (a <sub>1</sub> )	地山に作用する波力	地山のせん断抵抗力														
防波壁（東端部）	13m[12.64m]	6.5m	1,502kN/m	108,300kN/m														
防波壁（西端部）				91,200kN/m														

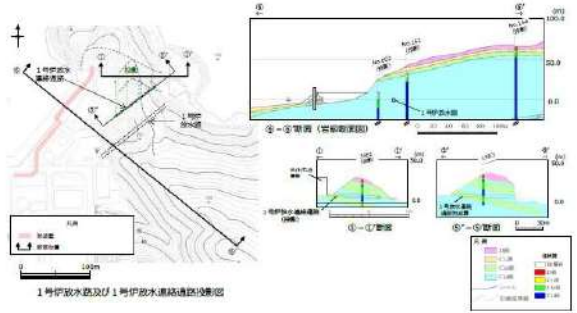
## 第5条 津波による損傷の防止

女川原子力発電所2号炉	島根原子力発電所2号炉	泊発電所3号炉	相違理由				
	<p>(6) 1号炉放水連絡通路の存在による影響</p> <p>防波壁（東端部）及び防波壁（西端部）には、1号炉放水連絡通路の他に、1・2号炉放水路も存在することから、両者の斜面のすべり安定性への影響について、下表の観点から確認した。</p> <p>表2-5 トンネルの斜面すべり安定性への影響</p> <table border="1"> <thead> <tr> <th>項目</th><th>確認方法</th></tr> </thead> <tbody> <tr> <td>1・2号炉放水路及び1号伊吹水連絡通路の有無による稳定性への影響</td><td> <ul style="list-style-type: none"> <li>防波壁（東端部）及び防波壁（西端部）の斜面のすべり方向を考慮して選定した各断面に左側地盤の断面を投影し、想定すべり面との位置関係を確認する。</li> <li>側面断面におけるすべり面上のひだみ層分りを確認する。</li> <li>静的震度については、JMA601-2015に基づき、斜面位置における基準地震動5%に対する一次元地震応答解析により算出する。なお、水平震度と鉛直震度については、保守的に安全側を選択しての最大震度を組み合わせる。</li> <li>想定すべり面及びトンネルを通るすべり面について、すべり面の形状を円弧と仮定し、中心と半径を変化させ、すべり安全率が最小となるすべり面を網羅的に探索している。</li> </ul> </td></tr> </tbody> </table> <p>図2-45 トンネル平面位置図</p> <p style="text-align: right;">追面 (地山の評価結果を踏まえて記載する)</p>	項目	確認方法	1・2号炉放水路及び1号伊吹水連絡通路の有無による稳定性への影響	<ul style="list-style-type: none"> <li>防波壁（東端部）及び防波壁（西端部）の斜面のすべり方向を考慮して選定した各断面に左側地盤の断面を投影し、想定すべり面との位置関係を確認する。</li> <li>側面断面におけるすべり面上のひだみ層分りを確認する。</li> <li>静的震度については、JMA601-2015に基づき、斜面位置における基準地震動5%に対する一次元地震応答解析により算出する。なお、水平震度と鉛直震度については、保守的に安全側を選択しての最大震度を組み合わせる。</li> <li>想定すべり面及びトンネルを通るすべり面について、すべり面の形状を円弧と仮定し、中心と半径を変化させ、すべり安全率が最小となるすべり面を網羅的に探索している。</li> </ul>		
項目	確認方法						
1・2号炉放水路及び1号伊吹水連絡通路の有無による稳定性への影響	<ul style="list-style-type: none"> <li>防波壁（東端部）及び防波壁（西端部）の斜面のすべり方向を考慮して選定した各断面に左側地盤の断面を投影し、想定すべり面との位置関係を確認する。</li> <li>側面断面におけるすべり面上のひだみ層分りを確認する。</li> <li>静的震度については、JMA601-2015に基づき、斜面位置における基準地震動5%に対する一次元地震応答解析により算出する。なお、水平震度と鉛直震度については、保守的に安全側を選択しての最大震度を組み合わせる。</li> <li>想定すべり面及びトンネルを通るすべり面について、すべり面の形状を円弧と仮定し、中心と半径を変化させ、すべり安全率が最小となるすべり面を網羅的に探索している。</li> </ul>						

## 泊発電所3号炉 DB基準適合性 比較表

実線・・設計方針又は設備構成等の相違  
波線・・記載表現、設備名称の相違（実質的な相違なし）

## 第5条 津波による損傷の防止

女川原子力発電所2号炉	島根原子力発電所2号炉	泊発電所3号炉	相違理由
	<p>a. 防波壁（東端部）</p> <p>⑥-⑥' 断面に1号炉放水路を投影した結果、①-①' 断面に投影した1号炉放水連絡通路に比べ、斜面に占めるトンネル面積の割合が小さいこと、及び土被り厚が大きいことから、斜面のすべり安定性への影響は連絡通路より小さいと考えられるため、1号炉放水連絡通路の影響検討に代表させる。</p> <p>①-①' 断面と⑤"-⑤' 断面は地形・地質が同様であるため、1号炉放水連絡通路の影響検討は①-①' 断面及び⑤"-⑤' 断面において実施する。</p>  <p>図 2-46 防波壁（東端部）のトンネルの代表性</p>	<p>追面 (地山の評価結果を踏まえて記載する)</p>	

## 泊発電所3号炉 DB基準適合性 比較表

実線・・設計方針又は設備構成等の相違  
波線・・記載表現、設備名称の相違（実質的な相違なし）

## 第5条 津波による損傷の防止

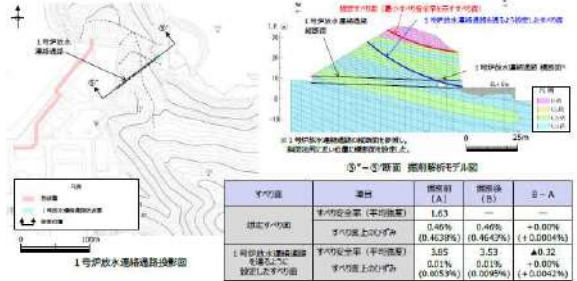
女川原子力発電所2号炉	島根原子力発電所2号炉	泊発電所3号炉	相違理由																										
	<p>(a) ①-①' 断面</p> <p>①-①' 断面に1号炉放水連絡通路を投影した結果、想定すべり面（最小すべり安全率を示すすべり面）は、連絡通路に重ならないことを確認した。</p> <p>連絡通路を通るすべり面を仮定し、連絡通路掘削前のすべり安全率を算定した結果、掘削前の安全率は3.93であった。連絡通路掘削後のすべり安全率を算定した結果、掘削後のすべり安全率は3.69（▲0.24）であり、影響は軽微であることを確認した。</p> <p>掘削解析により、連絡通路の有無における想定すべり面上のひずみ増分を計算した結果、最大で0.0046%であり、影響は軽微であることを確認した。</p> <table border="1"> <thead> <tr> <th>すべり面</th> <th>場所</th> <th>すべり面率 (A)</th> <th>すべり量 (B)</th> <th>B/A</th> </tr> </thead> <tbody> <tr> <td>地盤すべり面</td> <td>すべり面率 (平均断面)</td> <td>1.63</td> <td>—</td> <td>—</td> </tr> <tr> <td>1号炉放水連絡通路を考慮したすべり面</td> <td>すべり面率 (平均断面)</td> <td>0.46% (0.4619%)</td> <td>0.46% (0.4647%)</td> <td>+0.00%</td> </tr> <tr> <td>1号炉放水連絡通路を考慮したすべり面</td> <td>すべり面率 (平均断面) すべり面上のひずみ</td> <td>3.85</td> <td>3.53</td> <td>▲0.32</td> </tr> <tr> <td>1号炉放水連絡通路を考慮したすべり面</td> <td>すべり面率 (平均断面) すべり面上のひずみ</td> <td>0.91% (0.093%)</td> <td>0.01% (0.0095%)</td> <td>▲0.90%</td> </tr> </tbody> </table> <p>図 2-47 ①-①' 断面における1号炉放水連絡通路の影響検討結果</p>	すべり面	場所	すべり面率 (A)	すべり量 (B)	B/A	地盤すべり面	すべり面率 (平均断面)	1.63	—	—	1号炉放水連絡通路を考慮したすべり面	すべり面率 (平均断面)	0.46% (0.4619%)	0.46% (0.4647%)	+0.00%	1号炉放水連絡通路を考慮したすべり面	すべり面率 (平均断面) すべり面上のひずみ	3.85	3.53	▲0.32	1号炉放水連絡通路を考慮したすべり面	すべり面率 (平均断面) すべり面上のひずみ	0.91% (0.093%)	0.01% (0.0095%)	▲0.90%		泊発電所3号炉	
すべり面	場所	すべり面率 (A)	すべり量 (B)	B/A																									
地盤すべり面	すべり面率 (平均断面)	1.63	—	—																									
1号炉放水連絡通路を考慮したすべり面	すべり面率 (平均断面)	0.46% (0.4619%)	0.46% (0.4647%)	+0.00%																									
1号炉放水連絡通路を考慮したすべり面	すべり面率 (平均断面) すべり面上のひずみ	3.85	3.53	▲0.32																									
1号炉放水連絡通路を考慮したすべり面	すべり面率 (平均断面) すべり面上のひずみ	0.91% (0.093%)	0.01% (0.0095%)	▲0.90%																									

追而  
(地山の評価結果を踏まえて記載する)

## 泊発電所3号炉 DB基準適合性 比較表

実線・・設計方針又は設備構成等の相違  
波線・・記載表現、設備名称の相違（実質的な相違なし）

## 第5条 津波による損傷の防止

女川原子力発電所2号炉	島根原子力発電所2号炉	泊発電所3号炉	相違理由																										
	<p>(b) ⑤” - ⑤’ 断面（トンネル横断面）</p> <p>⑤” - ⑤’ 断面に1号炉放水連絡通路を投影した結果、想定すべり面（最小すべり安全率を示すすべり面）は、連絡通路に重ならないことを確認した。</p> <p>連絡通路を通るすべり面を仮定し、連絡通路掘削前のすべり安全率を算定した結果、掘削前の安全率は3.85であった。連絡通路掘削後のすべり安全率を算定した結果、掘削後のすべり安全率は3.53（▲0.32）であり、影響は軽微であることを確認した。</p> <p>掘削解析により、連絡通路の有無における想定すべり面上のひずみ増分を計算した結果、最大で0.0042%であり、影響は軽微であることを確認した。</p>  <table border="1" data-bbox="893 706 1268 817"> <thead> <tr> <th>すべり面</th> <th>道筋</th> <th>すべり安全率(平均地盤)</th> <th>掘削後(B)</th> <th>△ - A</th> </tr> </thead> <tbody> <tr> <td>掘削すべき面</td> <td>すべり面上(ひずみ)</td> <td>0.46%</td> <td>0.46%</td> <td>-0.0%</td> </tr> <tr> <td>1号炉放水連絡通路を考慮して修正したすべき面</td> <td>すべり安全率(平均地盤)</td> <td>3.85</td> <td>3.53</td> <td>▲0.32</td> </tr> <tr> <td></td> <td>すべり面上(ひずみ)</td> <td>0.01%</td> <td>0.01%</td> <td>+0.0%</td> </tr> <tr> <td></td> <td></td> <td>(0.005%)</td> <td>(0.005%)</td> <td>(+0.0042%)</td> </tr> </tbody> </table> <p>図2-48 ⑤” - ⑤’ 断面における1号炉放水連絡通路の影響検討結果</p>	すべり面	道筋	すべり安全率(平均地盤)	掘削後(B)	△ - A	掘削すべき面	すべり面上(ひずみ)	0.46%	0.46%	-0.0%	1号炉放水連絡通路を考慮して修正したすべき面	すべり安全率(平均地盤)	3.85	3.53	▲0.32		すべり面上(ひずみ)	0.01%	0.01%	+0.0%			(0.005%)	(0.005%)	(+0.0042%)		泊発電所3号炉	
すべり面	道筋	すべり安全率(平均地盤)	掘削後(B)	△ - A																									
掘削すべき面	すべり面上(ひずみ)	0.46%	0.46%	-0.0%																									
1号炉放水連絡通路を考慮して修正したすべき面	すべり安全率(平均地盤)	3.85	3.53	▲0.32																									
	すべり面上(ひずみ)	0.01%	0.01%	+0.0%																									
		(0.005%)	(0.005%)	(+0.0042%)																									

追而  
(地山の評価結果を踏まえて記載する)

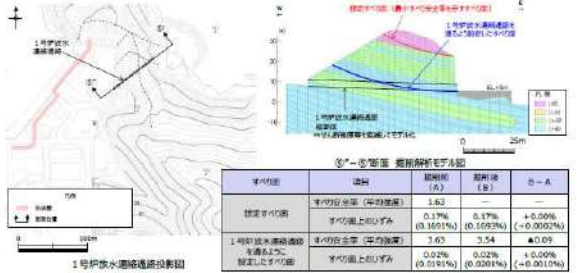
## 第5条 津波による損傷の防止

女川原子力発電所2号炉	島根原子力発電所2号炉	泊発電所3号炉	相違理由
	<p>(c) ⑤” - ⑤’ 断面（トンネル縦断面）</p> <p>⑤” - ⑤’ 断面は1号炉放水連絡通路を縦断方向に通過する断面であることから、連絡通路掘削後のFEM解析において、連絡通路の縦断面部のせん断強度等を低減してモデル化した検討も実施した。</p> <p>⑤” - ⑤’ 断面に1号炉放水連絡通路をモデル化する際は、断面奥行方向の斜面に対する連絡通路の占める割合を考慮し、岩盤の単位体積重量、せん断強度及び静弾性係数を低減することとした。モデル化の手順は以下のとおり。</p> <p>(1) 連絡通路の掘削により発生する可能性のある想定すべりを検討する。連絡通路を通ってすべり安全率が最小となるすべり面を網羅的に探索する。</p> <p>(2) 上記により設定した連絡通路を通る想定すべり面からすべり長さを求める。高速道路調査会（1985）に基づき、すべり長さからすべり幅を求める。</p> <p>(3) すべり幅に対する連絡通路の外形幅の割合を求め、トンネル縦断部における岩盤の単位体積重量、せん断強度及び静弾性係数を低減する。</p> <p>図2-49 連絡通路の縦断面部のせん断強度等を低減する モデル化方法</p>		<p>追面 (地山の評価結果を踏まえて記載する)</p>

## 泊発電所3号炉 DB基準適合性 比較表

実線・・設計方針又は設備構成等の相違  
波線・・記載表現、設備名称の相違（実質的な相違なし）

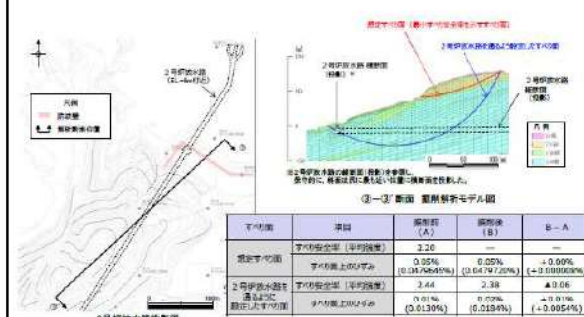
## 第5条 津波による損傷の防止

女川原子力発電所2号炉	島根原子力発電所2号炉	泊発電所3号炉	相違理由																								
	<p><u>連絡通路を通るすべり面を仮定し、連絡通路掘削前のすべり安全率を算定した結果、掘削前の安全率は3.63であった。連絡通路掘削後のすべり安全率を算定した結果、掘削後のすべり安全率は3.54 (<math>\Delta 0.09</math>) であり、影響は軽微であることを確認した。</u></p> <p><u>掘削解析により、連絡通路の有無における想定すべり面上のひずみ増分を計算した結果、最大で0.0010%であり、影響は軽微であることを確認した。</u></p>  <table border="1" data-bbox="691 595 1268 698"> <thead> <tr> <th>すべり面</th> <th>場所</th> <th>掘削前 (m)</th> <th>掘削後 (m)</th> <th>B-A</th> </tr> </thead> <tbody> <tr> <td>指定すべり面</td> <td>すべり面(平均傾斜)</td> <td>3.63</td> <td>—</td> <td>—</td> </tr> <tr> <td></td> <td>すべり面上のひずみ (0.1691%) (0.1693%) (+0.0002%)</td> <td>0.17%</td> <td>0.17%</td> <td>+0.00%</td> </tr> <tr> <td>1号炉放水連絡通路 を造るべく 削除したすべり面</td> <td>すべり面(平均傾斜)</td> <td>3.63</td> <td>3.54 <math>\Delta 0.09</math></td> <td></td> </tr> <tr> <td></td> <td>すべり面上のひずみ (0.0191%) (0.0201%) (+0.0010%)</td> <td>0.02%</td> <td>0.02%</td> <td>+0.00%</td> </tr> </tbody> </table> <p>図2-50 ⑤”-⑤’ 断面における1号炉放水連絡通路の影響検討結果</p>	すべり面	場所	掘削前 (m)	掘削後 (m)	B-A	指定すべり面	すべり面(平均傾斜)	3.63	—	—		すべり面上のひずみ (0.1691%) (0.1693%) (+0.0002%)	0.17%	0.17%	+0.00%	1号炉放水連絡通路 を造るべく 削除したすべり面	すべり面(平均傾斜)	3.63	3.54 $\Delta 0.09$			すべり面上のひずみ (0.0191%) (0.0201%) (+0.0010%)	0.02%	0.02%	+0.00%	<p>追面 (地山の評価結果を踏まえて記載する)</p>
すべり面	場所	掘削前 (m)	掘削後 (m)	B-A																							
指定すべり面	すべり面(平均傾斜)	3.63	—	—																							
	すべり面上のひずみ (0.1691%) (0.1693%) (+0.0002%)	0.17%	0.17%	+0.00%																							
1号炉放水連絡通路 を造るべく 削除したすべり面	すべり面(平均傾斜)	3.63	3.54 $\Delta 0.09$																								
	すべり面上のひずみ (0.0191%) (0.0201%) (+0.0010%)	0.02%	0.02%	+0.00%																							

## 泊発電所3号炉 DB基準適合性 比較表

実線・・設計方針又は設備構成等の相違  
波線・・記載表現、設備名称の相違（実質的な相違なし）

## 第5条 津波による損傷の防止

女川原子力発電所2号炉	島根原子力発電所2号炉	泊発電所3号炉	相違理由																											
b. 防波壁（西端部） <p>③-③' 断面に2号炉放水路を投影した結果、想定すべり面（最小すべり安全率を示すすべり面）は、放水路に重ならないことを確認した。</p> <p>放水路を通るすべり面を仮定し、放水路掘削前のすべり安全率を算定した結果、掘削前の安全率は2.44であった。放水路掘削後のすべり安全率を算定した結果、掘削後のすべり安全率は2.38（▲0.06）であり、影響は軽微であることを確認した。</p> <p>掘削解析により、放水路の有無における想定すべり面上のひずみ増分を計算した結果、最大で0.0054%であり、影響は軽微であることを確認した。</p>  <table border="1"> <thead> <tr> <th>すべり面</th> <th>測定</th> <th>掘削前 (A)</th> <th>掘削後 (B)</th> <th>B-A</th> </tr> </thead> <tbody> <tr> <td>想定すべり面</td> <td>すべり安全率(平均強度)</td> <td>3.20</td> <td>-</td> <td>-</td> </tr> <tr> <td></td> <td>すべり面上のひずみ</td> <td>0.35%</td> <td>0.02%</td> <td>+0.33%</td> </tr> <tr> <td>2号炉放水路 改設すべき面</td> <td>すべり安全率(平均強度)</td> <td>2.44</td> <td>2.38 ▲0.06</td> <td>-</td> </tr> <tr> <td></td> <td>ひずみ増分</td> <td>(0.01%)</td> <td>0.02%</td> <td>+0.01%</td> </tr> <tr> <td></td> <td>タケダ法(ひずみ)</td> <td>(0.0130%)</td> <td>(0.0194%)</td> <td>(+0.0064%)</td> </tr> </tbody> </table> <p>図2-51 ③-③' 断面における2号炉放水路の影響検討結果</p> <p>(7) まとめ      防波壁両端部の津波防護上の障壁となっている地山に対して、基準地震動及び基準津波に対する健全性を確保していることを確認した。</p> <p>以上のことから、防波壁両端部の地山斜面の崩壊は、入力津波を設定する際の影響要因として設定しない。</p>	すべり面	測定	掘削前 (A)	掘削後 (B)	B-A	想定すべり面	すべり安全率(平均強度)	3.20	-	-		すべり面上のひずみ	0.35%	0.02%	+0.33%	2号炉放水路 改設すべき面	すべり安全率(平均強度)	2.44	2.38 ▲0.06	-		ひずみ増分	(0.01%)	0.02%	+0.01%		タケダ法(ひずみ)	(0.0130%)	(0.0194%)	(+0.0064%)
すべり面	測定	掘削前 (A)	掘削後 (B)	B-A																										
想定すべり面	すべり安全率(平均強度)	3.20	-	-																										
	すべり面上のひずみ	0.35%	0.02%	+0.33%																										
2号炉放水路 改設すべき面	すべり安全率(平均強度)	2.44	2.38 ▲0.06	-																										
	ひずみ増分	(0.01%)	0.02%	+0.01%																										
	タケダ法(ひずみ)	(0.0130%)	(0.0194%)	(+0.0064%)																										

## 泊発電所3号炉 DB基準適合性 比較表

実線・・設計方針又は設備構成等の相違  
波線・・記載表現、設備名称の相違（実質的な相違なし）

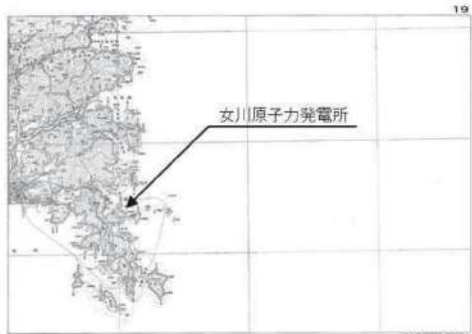
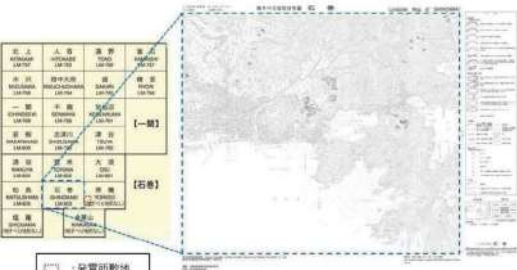
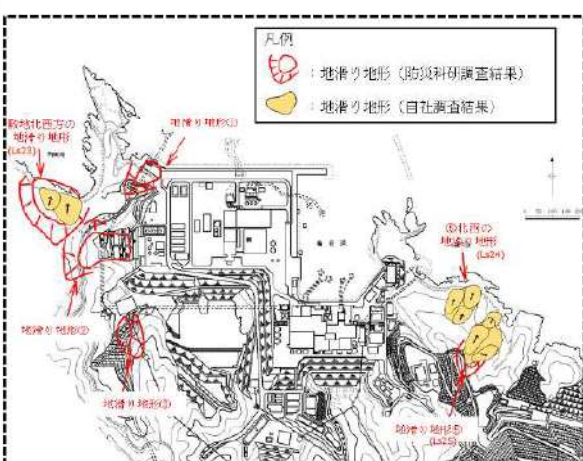
## 第5条 津波による損傷の防止

女川原子力発電所2号炉	島根原子力発電所2号炉	泊発電所3号炉	相違理由
<p><u>3. 敷地周辺斜面の崩壊について</u></p> <p>比較のため、2.と記載順序を入れ替え（3.全体）</p> <p>日本地すべり学会東北支部（1992）及び防災科学技術研究所（2009）では、敷地に地すべりの記載ではなく、空中写真判読の結果からも地すべり地形の存在は認められない。</p> <p>日本地すべり学会東北支部（1992）による記載を図19、防災科学技術研究所（2009）による記載を図20に示す。</p>	<p><u>(8) 敷地周辺斜面の崩壊に関する検討</u></p> <p>防波壁両端部の地山以外に、入力津波の設定に影響する地形変化を生じさせる敷地周辺斜面として、<u>地すべり地形</u>が判読されている地山の斜面崩壊についても検討する。（地滑り地形の評価については「第6条：外部からの衝撃による損傷の防止（外部事象の考慮について）参照」）</p> <p>検討に当たっては、地すべり土塊が海側に突入する可能性を考えられる「敷地北西方の地滑り地形(Ls23)」、「(5)北西の地滑り地形(Ls24)」、「地滑り地形⑤(Ls25)」の斜面を対象にする。（図2-52、図2-53参照）</p>	<p><u>b. 地滑り地形の崩壊に関する検討</u></p> <p>防潮堤両端部の地山以外に、入力津波の設定に影響する地形変化を生じさせる敷地周辺斜面として、<u>地滑り地形</u>が判読されている地山の斜面崩壊についても検討する。（地滑り地形の評価については「第6条：外部からの衝撃による損傷の防止（外部事象の考慮について）参照」）</p> <p><u>(a) 対象とする地滑り</u></p> <p><u>イ 選定方針</u></p> <p>「1. 敷地周辺の週上・浸水域の評価」にて整理した表1.1.a-1の地形モデルに反映した敷地周辺の特徴的な地形に想定される地滑り地形について、基準津波による敷地近傍の週上範囲内で地震によるすべりに伴う地形変化が生じることが予想される場合、防潮堤前面等の津波水位が変化することで、週上波が敷地へ到達する可能性が生じる。そのため、防潮堤両端部の地山以外に、地滑り地形の斜面崩壊による入力津波への影響の有無を検討する。</p> <p>検討に当たっては、全国の地滑り地形分布状況を調査した文献として、独立行政法人防災科学技術研究所（以下、「防災科研」という。）が作成した地すべり地形分布図（平成22年、清水ほか「岩内」（2010））がある。この地すべり地形分布図では、泊発電所周辺に位置する地滑り地形が示されている（以下、「防災科研調査結果」という。）。</p> <p>泊発電所の入力津波評価への影響を及ぼす可能性のある敷地周辺の斜面の抽出結果を表2.1.b.a-1に示す。</p> <p>敷地周辺の斜面のうち、地滑り地形の崩壊により入力津波への影響を及ぼす可能性が考えられる斜面として発電所背後の斜面を対象とした。（図2.1.b.a-1）。</p> <p>なお、「第6条：外部からの衝撃による損傷の防止（外部事象の考慮について）」における地滑り地形の評価として、当社調査結果及び防災科研調査結果に関する知見等を踏まえた再評価を実施している。入力津波への影響検討は、第6条における検討を踏まえ、当社が地滑り地形と評価した図2.1.b.a-2の「地滑り地形（地滑り調査結果）」の範囲を対象とする。地滑り地形②については当社が地滑り地形と評価していないが、基準地震動による崩壊が認められる場合は、入力津波への影響検討の対象とする。</p>	<p><u>【女川、島根】記載方針の相違</u></p> <ul style="list-style-type: none"> <li>泊では、「基準津波及び耐津波設計方針に係る審査ガイド」との対応を明確にするため、同ガイド「3.2.2 地震・津波による地形等の変化に係る評価」の(1)～(4)に対応する章項目を設けていることから、資料構成が異なる（目次参照）。</li> </ul> <p><u>【女川、島根】記載の充実</u></p> <ul style="list-style-type: none"> <li>泊では、「基準津波及び耐津波設計方針に係る審査ガイド」のうち「3.2 基準津波による敷地周辺の週上・浸水域」への対応を網羅的に示すため、同ガイド「3.2.1 敷地周辺の週上・浸水域の評価」への対応を1.に整理していることから、当該整理結果を踏まえた資料構成とする。</li> </ul> <p><u>【女川】発電所立地の相違</u></p> <p><u>【女川、島根】記載方針の相違</u></p> <ul style="list-style-type: none"> <li>泊では、敷地及び敷地周辺の特徴を踏まえ、入力津波に影響を与える可能性のある要因を網羅する観点で、敷地周辺の斜面の抽出結果を一覧表で示す。</li> </ul> <p><u>【女川、島根】発電所立地の相違</u></p> <p><u>【女川、島根】記載の充実</u></p> <ul style="list-style-type: none"> <li>泊では、分かりやすさの観点で、「第6条：外部からの衝撃による損傷の防止」での説明内容を、本資料にも記載する。</li> </ul>

泊発電所3号炉 DB基準適合性 比較表

実線・・設計方針又は設備構成等の相違  
波線・・記載表現、設備名称の相違（実質的な相違なし）

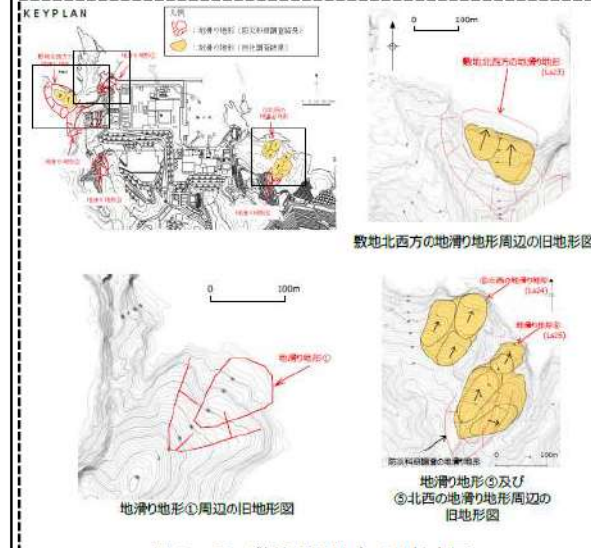
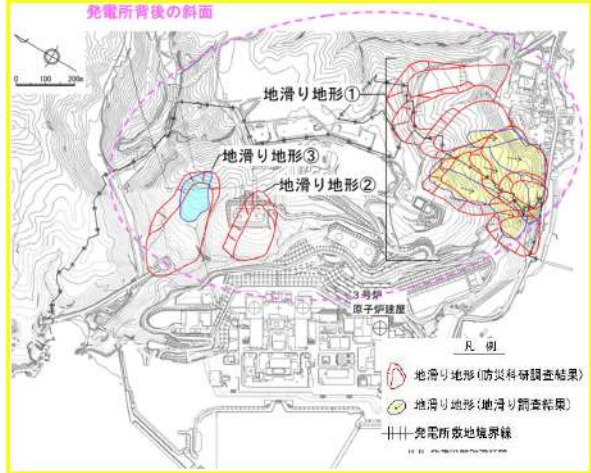
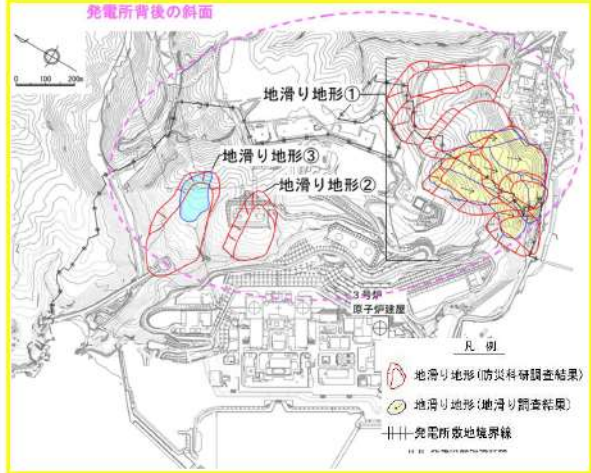
第5条 津波による損傷の防止

女川原子力発電所2号炉	島根原子力発電所2号炉	泊発電所3号炉	相違理由																																		
 <p>図19 地すべり学会東北支部（1992） 「東北の地すべり・地すべり地形」（一部加筆）</p>  <p>図20 防災科学技術研究所（2009） 「地すべり地形分布図」データベースHP（一部加筆）</p>	 <p>図2-52 敷地周辺地すべり位置図 比較のため、(8)内で文章と図表の記載順序を入れ替え</p>	<p>表2.1.b.a-1 入力津波評価への影響を及ぼす可能性のある敷地周辺の斜面の抽出結果</p> <table border="1"> <thead> <tr> <th rowspan="2">敷地周辺地すべり地形の形状・人・構造物</th> <th rowspan="2">調査と既往の資料の有無</th> <th colspan="2">定性的評価</th> </tr> <tr> <th>既往調査に与える影響</th> <th>定量的評価（API）</th> </tr> </thead> <tbody> <tr> <td>①発煙からカーブ形斜面がある斜面</td> <td>+</td> <td>既往調査の際に既往の斜面が存在する場合、既往から過去に既往調査、アカシカルトマトメアシ、既往調査の際に既往の斜面がある場合、既往調査を及ぼすため、入力津波評価に影響を与えて考慮しない。</td> <td>-</td> </tr> <tr> <td>②カーブ形から直線形がある斜面</td> <td>+</td> <td>既往の既往の直線形に地すべり地形がある場合、既往の既往の直線形に地すべり地形がある場合、既往調査を及ぼすため、入力津波評価に影響を与えて考慮しない。</td> <td>-</td> </tr> <tr> <td>③五角形から直線形がある斜面</td> <td>+</td> <td>既往の既往の直線形に地すべり地形がある場合、既往の既往の直線形に地すべり地形がある場合、既往調査を及ぼすため、入力津波評価に影響を与えて考慮しない。</td> <td>-</td> </tr> <tr> <td>④直線形から直線形がある斜面</td> <td>+</td> <td>既往の既往の直線形に地すべり地形がある場合、既往の既往の直線形に地すべり地形がある場合、既往調査を及ぼすため、入力津波評価に影響を与えて考慮しない。</td> <td>-</td> </tr> <tr> <td>地すべり地形①</td> <td>+</td> <td>既往の既往の直線形に地すべり地形がある場合、既往の既往の直線形に地すべり地形がある場合、既往調査を及ぼすため、入力津波評価に影響を与えて考慮しない。</td> <td>-</td> </tr> <tr> <td>地すべり地形②</td> <td>+</td> <td>既往の既往の直線形に地すべり地形がある場合、既往の既往の直線形に地すべり地形がある場合、既往調査を及ぼすため、入力津波評価に影響を与えて考慮しない。</td> <td>-</td> </tr> <tr> <td>地すべり地形③</td> <td>+</td> <td>既往の既往の直線形に地すべり地形がある場合、既往の既往の直線形に地すべり地形がある場合、既往調査を及ぼすため、入力津波評価に影響を与えて考慮しない。</td> <td>-</td> </tr> </tbody> </table>  <p>図2.1.b.a-1 泊発電所周辺の地すべり地形位置図 ※ 防災科学技術研究所「地震ハザードステーション」に一部加筆 2022年10月確認</p>	敷地周辺地すべり地形の形状・人・構造物	調査と既往の資料の有無	定性的評価		既往調査に与える影響	定量的評価（API）	①発煙からカーブ形斜面がある斜面	+	既往調査の際に既往の斜面が存在する場合、既往から過去に既往調査、アカシカルトマトメアシ、既往調査の際に既往の斜面がある場合、既往調査を及ぼすため、入力津波評価に影響を与えて考慮しない。	-	②カーブ形から直線形がある斜面	+	既往の既往の直線形に地すべり地形がある場合、既往の既往の直線形に地すべり地形がある場合、既往調査を及ぼすため、入力津波評価に影響を与えて考慮しない。	-	③五角形から直線形がある斜面	+	既往の既往の直線形に地すべり地形がある場合、既往の既往の直線形に地すべり地形がある場合、既往調査を及ぼすため、入力津波評価に影響を与えて考慮しない。	-	④直線形から直線形がある斜面	+	既往の既往の直線形に地すべり地形がある場合、既往の既往の直線形に地すべり地形がある場合、既往調査を及ぼすため、入力津波評価に影響を与えて考慮しない。	-	地すべり地形①	+	既往の既往の直線形に地すべり地形がある場合、既往の既往の直線形に地すべり地形がある場合、既往調査を及ぼすため、入力津波評価に影響を与えて考慮しない。	-	地すべり地形②	+	既往の既往の直線形に地すべり地形がある場合、既往の既往の直線形に地すべり地形がある場合、既往調査を及ぼすため、入力津波評価に影響を与えて考慮しない。	-	地すべり地形③	+	既往の既往の直線形に地すべり地形がある場合、既往の既往の直線形に地すべり地形がある場合、既往調査を及ぼすため、入力津波評価に影響を与えて考慮しない。	-	<p>【女川、島根】記載方針の相違</p> <ul style="list-style-type: none"> <li>泊では、敷地及び敷地周辺の特徴を踏まえ、入力津波に影響を与える可能性のある要因を網羅する観点で、敷地周辺の斜面の抽出結果を一覧表で示す。</li> </ul> <p>【女川】発電所立地の相違</p> <p>【女川】発電所立地の相違</p>
敷地周辺地すべり地形の形状・人・構造物	調査と既往の資料の有無	定性的評価																																			
		既往調査に与える影響	定量的評価（API）																																		
①発煙からカーブ形斜面がある斜面	+	既往調査の際に既往の斜面が存在する場合、既往から過去に既往調査、アカシカルトマトメアシ、既往調査の際に既往の斜面がある場合、既往調査を及ぼすため、入力津波評価に影響を与えて考慮しない。	-																																		
②カーブ形から直線形がある斜面	+	既往の既往の直線形に地すべり地形がある場合、既往の既往の直線形に地すべり地形がある場合、既往調査を及ぼすため、入力津波評価に影響を与えて考慮しない。	-																																		
③五角形から直線形がある斜面	+	既往の既往の直線形に地すべり地形がある場合、既往の既往の直線形に地すべり地形がある場合、既往調査を及ぼすため、入力津波評価に影響を与えて考慮しない。	-																																		
④直線形から直線形がある斜面	+	既往の既往の直線形に地すべり地形がある場合、既往の既往の直線形に地すべり地形がある場合、既往調査を及ぼすため、入力津波評価に影響を与えて考慮しない。	-																																		
地すべり地形①	+	既往の既往の直線形に地すべり地形がある場合、既往の既往の直線形に地すべり地形がある場合、既往調査を及ぼすため、入力津波評価に影響を与えて考慮しない。	-																																		
地すべり地形②	+	既往の既往の直線形に地すべり地形がある場合、既往の既往の直線形に地すべり地形がある場合、既往調査を及ぼすため、入力津波評価に影響を与えて考慮しない。	-																																		
地すべり地形③	+	既往の既往の直線形に地すべり地形がある場合、既往の既往の直線形に地すべり地形がある場合、既往調査を及ぼすため、入力津波評価に影響を与えて考慮しない。	-																																		

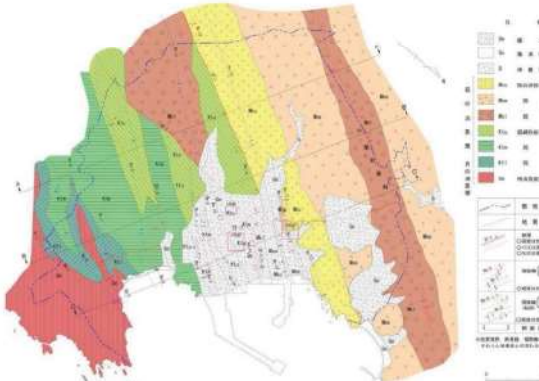
泊発電所3号炉 DB基準適合性 比較表

実線・・設計方針又は設備構成等の相違  
波線・・記載表現、設備名称の相違（実質的な相違なし）

第5条 津波による損傷の防止

女川原子力発電所2号炉	島根原子力発電所2号炉	泊発電所3号炉	相違理由
<p>女川原子力発電所2号炉</p>  <p>図 2-53 敷地周辺地すべり拡大図</p> <p>比較のため、(8)内で文章と図表の記載順序を入れ替え</p>	<p>島根原子力発電所2号炉</p>  <p>図 2.1.b.a-2 発電所背後の斜面に見られる地滑り地形位置図 「第6条：外部からの衝撃による損傷の防止（外部事象の考慮について）」（一部修正）</p>	<p>泊発電所3号炉</p> 	<p>【女川、島根】記載の充実 ・泊では、分かりやすさの観点で、「第6条：外部からの衝撃による損傷の防止」での説明内容を、本資料にも記載する。</p>

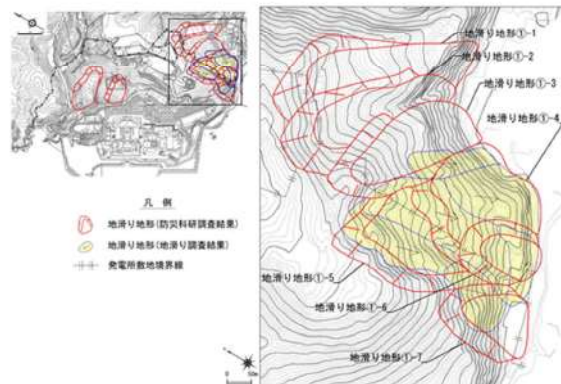
## 第5条 津波による損傷の防止

女川原子力発電所2号炉	島根原子力発電所2号炉	泊発電所3号炉	相違理由																				
<p>また、敷地の地質は、中生界ジュラ系の牡鹿層群、萩の浜累層の砂岩、頁岩、砂岩頁岩互層が分布しており、顕著な褶曲構造（NNE-SSW～NE-SW方向）と断層で特徴づけられる。図21に敷地の地質平面図を示す。</p> <p>女川原子力発電所構内の岩盤斜面は、基準地震動Ssに対する安定性が確認されている。津波週上域の斜面についても女川原子力発電所構内と同様な岩盤斜面であり、基準地震動Ssにより崩壊する可能性は小さいと考えられることから、津波評価に考慮する地形変化として斜面崩壊は考慮しない。</p> <p>比較のため、図21と記載順序を入れ替え</p>	<p>敷地周辺の地形のうち、地すべりLs23、Ls24及びLs25の地すべり地形の概略の土塊量を表2-6に示す。</p> <p>地すべりの土塊量はLs25の地すべりが大きいことから、Ls25の地すべりを対象に検討する。検討にあたっては、Ls25の近くにLs24が位置することから、これらの地すべりが同時崩壊することを仮定し、保守的にLs24+25の地すべりが崩壊した後の地形を対象に津波評価を実施する。</p>	<p>□ 地すべり調査結果 防災科研調査結果及び地すべり地形判読によって確認された地すべり地形を対象に、地形、地質及び湧水等の水文的な観点に基づく現地調査を実施し、地すべりの特徴が認められる場合は、地すべりが発生する場合を想定し、地すべりの範囲、規模等を評価した。図2.1.b.a-2に防災科研調査結果（地すべり地形①～③）と当社地すべり調査結果を示す。</p> <p>調査結果を踏まえ、入力津波への影響評価の対象となる地すべり地形は、地すべり地形①の一部及び③の一部とする。</p>	<p>【島根】記載の充実 ・泊では、分かりやすさの観点で、「第6条：外部からの衝撃による損傷の防止」での説明内容を、本資料にも記載する。</p> <p>【女川、島根】設計方針の相違 ・泊では、地すべり地形の調査結果に基づき、地すべり地形①の一部と③の一部それを、網羅的に対象として選定する。 ・女川では、敷地周辺に地すべり地形は認められない。 ・島根では、複数の地すべり地形が想定されることを踏まえ、土塊量の観点で対象を絞り込んでいる。</p>																				
 <p>図21 敷地の地質平面図</p>	<p>表2-6 敷地周辺地すべりの規模の比較</p> <table border="1"> <thead> <tr> <th>地すべり</th> <th>長さ L(m)</th> <th>幅 b(m)</th> <th>厚さ t(m)</th> <th>土塊量 vs(m³)</th> </tr> </thead> <tbody> <tr> <td>Ls23</td> <td>125</td> <td>170</td> <td>25</td> <td>531,250</td> </tr> <tr> <td>Ls24</td> <td>172</td> <td>80</td> <td>16</td> <td>220,160</td> </tr> <tr> <td>Ls25</td> <td>265</td> <td>140</td> <td>20</td> <td>742,000</td> </tr> </tbody> </table> <p>比較のため、(8)内で文章と図表の記載順序を入れ替え</p>	地すべり	長さ L(m)	幅 b(m)	厚さ t(m)	土塊量 vs(m³)	Ls23	125	170	25	531,250	Ls24	172	80	16	220,160	Ls25	265	140	20	742,000		
地すべり	長さ L(m)	幅 b(m)	厚さ t(m)	土塊量 vs(m³)																			
Ls23	125	170	25	531,250																			
Ls24	172	80	16	220,160																			
Ls25	265	140	20	742,000																			

## 泊発電所3号炉 DB基準適合性 比較表

実線・・設計方針又は設備構成等の相違  
 波線・・記載表現、設備名称の相違（実質的な相違なし）

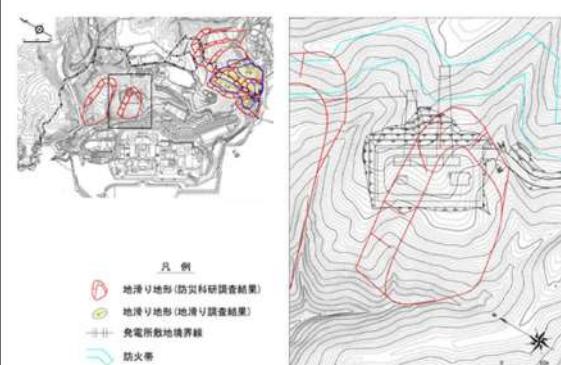
## 第5条 津波による損傷の防止

女川原子力発電所2号炉	島根原子力発電所2号炉	泊発電所3号炉	相違理由
		<p>(イ) 地滑り地形①</p> <p>当社の地滑り評価対象である敷地南側の堀株(地区)における地滑り地形①について、図2.1.b.a-3に「防災科研調査結果」及び当社地滑り調査結果を示す。</p> <p>地滑り地形①は、防災科研調査によって7ユニットの地滑り地形が隣接して分布しているとされる(地滑り地形①-1～地滑り地形①-7)。地形判読の結果、地滑り地形①-1～3の範囲付近においては、地滑りを示唆する地形的特徴は認められないが、地滑り地形①-4～7の範囲付近においては、地滑り地形の特徴である多丘形凹状台地状地形が認められる。</p> <p>現地調査の結果、地滑り地形①-1～3の範囲付近においては地滑りを示唆する地形的特徴、地質的特徴及び水文的特徴は認められない。地滑り地形①-4～7の範囲付近は、湧水等の地滑りを示唆する水文的な特徴は認められないが、滑落崖及び地滑り土塊の存在が示唆される地形的特徴が認められ、地形判読で認められた多丘形凹状台地状地形の特徴と合致する。</p> <p>以上から、地滑り地形①のうち地滑り地形①-4～7の範囲付近は地滑り地形と判断されることから、入力津波への影響検討の対象となる。</p>  <p>図2.1.b.a-3 地滑り地形①分布図    「第6条：外部からの衝撃による損傷の防止（外部事象の考慮について）」（一部修正）    （防災科研調査結果及び当社地滑り調査結果）</p>	<p>【女川、島根】記載の充実</p> <p>・泊では、分かりやすさの観点で、「第6条：外部からの衝撃による損傷の防止」での説明内容を、本資料にも記載する。</p>

## 泊発電所3号炉 DB基準適合性 比較表

実線・・設計方針又は設備構成等の相違  
 波線・・記載表現、設備名称の相違（実質的な相違なし）

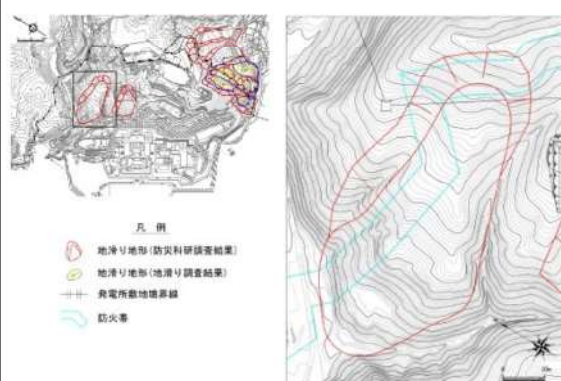
## 第5条 津波による損傷の防止

女川原子力発電所2号炉	島根原子力発電所2号炉	泊発電所3号炉	相違理由
		<p>(口) 地滑り地形②</p> <p>図2.1.b.a-4に地滑り地形②の分布図を示す。</p> <p>地形判読の結果、地滑りを示唆する地形的特徴は認められない。現地調査の結果、地滑りを示唆する地形的特徴、地質的特徴及び水文的特徴は認められないことから、地滑り地形ではないと判断される（参考資料5参照）。</p> <p>なお、本箇所は、開閉所造成のための人工改変により、切取法面となっている。現地調査の結果、法面及び開閉所周回道路に地滑りを示唆するような変状は認められない。</p> <p>以上より、地滑り地形②については防災科研調査結果に示されるような地滑り地形は認められないことから、基準地震動に上り崩壊しないことを示すことにより、入力津波への影響検討の対象外とする。</p> <div style="border: 1px solid black; padding: 5px; margin-top: 10px;"> <p>追而 (基準地震動による評価結果を踏まえて記載する)</p> </div>  <p>図2.1.b.a-4 地滑り地形②分布図    「第6条：外部からの衝撃による損傷の防止（外部事象の考慮について）」（一部修正）    （防災科研調査結果及び当社地滑り調査結果（地滑り地形なし））</p>	<p>【女川、島根】記載の充実</p> <ul style="list-style-type: none"> <li>泊では、分かりやすさの観点で、「第6条：外部からの衝撃による損傷の防止」での説明内容を、本資料にも記載する。</li> </ul>

## 泊発電所3号炉 DB基準適合性 比較表

実線・・設計方針又は設備構成等の相違  
 波線・・記載表現、設備名称の相違（実質的な相違なし）

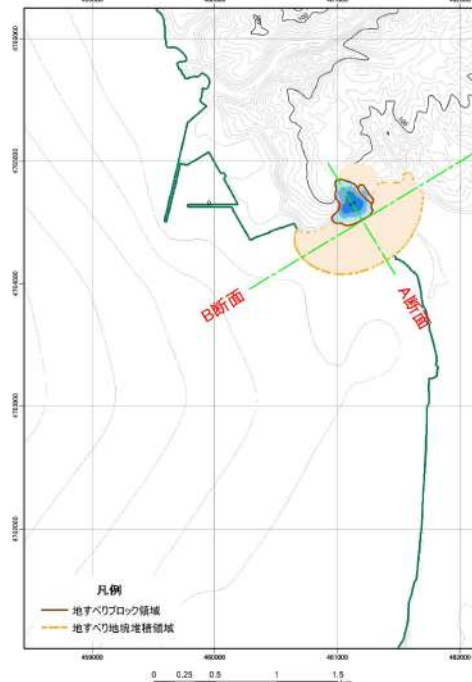
## 第5条 津波による損傷の防止

女川原子力発電所2号炉	島根原子力発電所2号炉	泊発電所3号炉	相違理由
		<p>(ハ) 地滑り地形③</p> <p>当社の地滑り評価対象である発電所背後における地滑り地形③について、図2.1.b.a-5に防災科研調査結果を示す。</p> <p>対象範囲における地形判読の結果、地滑りを示唆する地形的特徴は認められない。また、現地調査の結果、地滑りを示唆する地形的特徴、地質的特徴及び水文的特徴は認められないことから、地滑り地形ではないと判断される。</p> <p>なお、本箇所の一部は防火帯となっている。現地調査の結果、防火帶に地滑りを示唆する変状は認められない。</p> <p>また、当該箇所において実施した既往のトレンチ調査において、岩盤及び主にシルト・砂・礫からなる堆積物を確認している。</p> <p>これらのことと踏まえ、防災科研調査結果に示されるような地滑り地形は認められないものの、既往のトレンチ調査で確認されている主にシルト・砂・礫からなる堆積物については、基準地震動による崩壊の可能性を否定できないことから、入力津波への影響検討の対象とする。</p> <div style="border: 1px solid black; padding: 5px; margin-top: 10px;"> <p>追而 (岩盤の地質確認結果を踏まえて記載する)</p> </div>  <p>図2.1.b.a-5 地滑り地形③分布図      「第6条：外部からの衝撃による損傷の防止（外部事象の考慮について）」（一部修正）（防災科研調査結果）</p>	<p>【女川、島根】記載の充実</p> <ul style="list-style-type: none"> <li>泊では、分かりやすさの観点で、「第6条：外部からの衝撃による損傷の防止」での説明内容を、本資料にも記載する。</li> </ul>

## 泊発電所3号炉 DB基準適合性 比較表

実線・・設計方針又は設備構成等の相違  
 波線・・記載表現、設備名称の相違（実質的な相違なし）

## 第5条 津波による損傷の防止

女川原子力発電所2号炉	島根原子力発電所2号炉	泊発電所3号炉	相違理由
	<p>地すべりが崩壊した後の地形については、津波評価の陸上地すべりの検討で実施した<u>二層流モデル</u>を用いて決定する。</p> <p>地すべり発生前後の地形断面図を図2-54に示す。</p>	<p>(b) 解析条件</p> <p>当社が地滑り地形と評価した地滑り地形①の一部及び③の一部の主にシルト・砂・礫からなる堆積物が崩壊した後の地形については、津波評価の陸上地滑りの検討で実施した<u>地滑りシミュレーション (TITAN2D)</u>を用いて決定する（図2.1.b-b-1及び図2.1.b-b-3）。</p> <p>地滑り発生前後の地形断面図を図2.1.b-b-2及び図2.1.b-b-4に示す。</p>  <p>図2.1.b-b-1 地滑りシミュレーション (TITAN2D) の結果    (地滑り地形①)</p>	<p>【島根】記載方針の相違</p> <ul style="list-style-type: none"> <li>泊では、分かりやすさの観点で、(b)を分けて記載するとともに、あらためて(b)の冒頭で主語を明確化する。</li> </ul> <p>【島根】設計方針の相違</p> <ul style="list-style-type: none"> <li>津波評価の陸上地滑りの検討で実施した手法の相違。</li> </ul>

泊発電所3号炉 DB基準適合性 比較表

実線・・設計方針又は設備構成等の相違  
波線・・記載表現、設備名称の相違（実質的な相違なし）

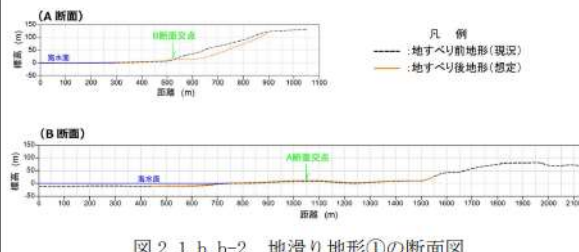
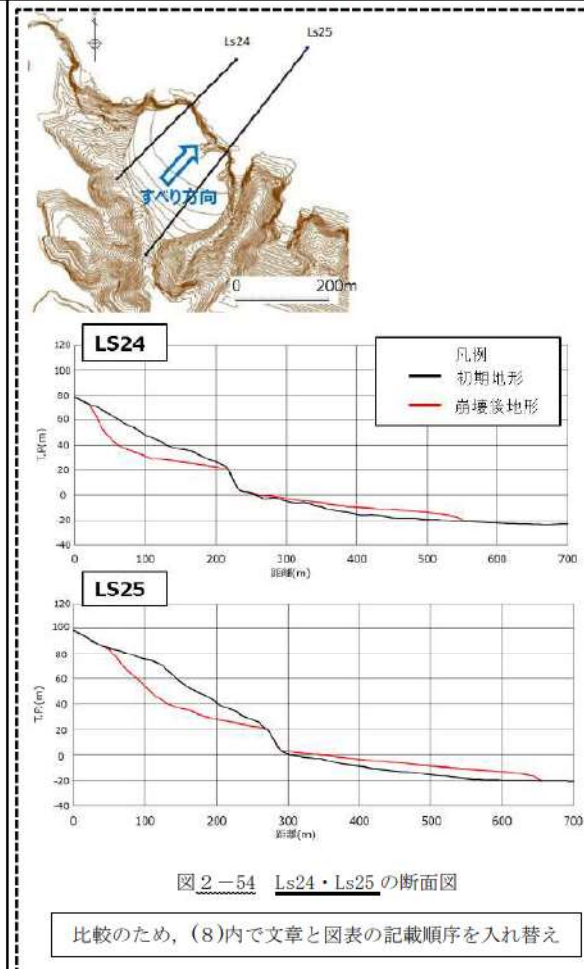
第5条 津波による損傷の防止

女川原子力発電所2号炉

島根原子力発電所2号炉

泊発電所3号炉

相違理由

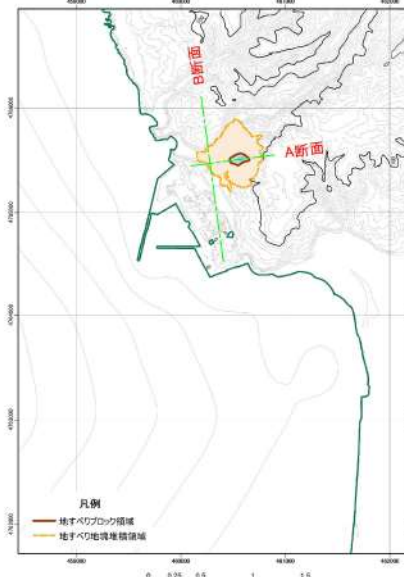
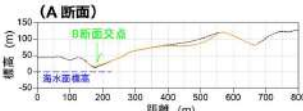
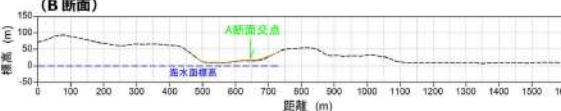


【島根】発電所立地の相違

## 泊発電所3号炉 DB基準適合性 比較表

実線・・設計方針又は設備構成等の相違  
 波線・・記載表現、設備名称の相違（実質的な相違なし）

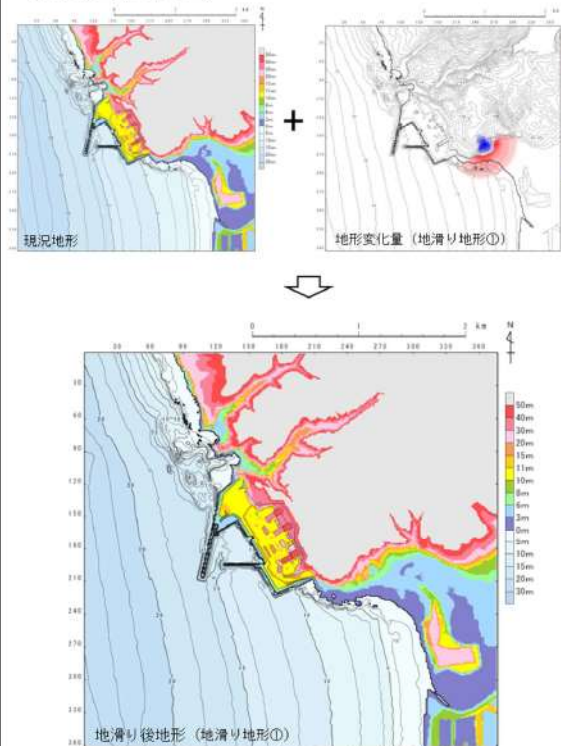
## 第5条 津波による損傷の防止

女川原子力発電所2号炉	島根原子力発電所2号炉	泊発電所3号炉	相違理由
		 <p>図2.1,b,b-3 地滑りシミュレーション (TITAN2D) の結果      (地滑り地形③)</p> <p>(A断面)</p>  <p>凡例      ——:地すべり前地形(現況)      - - - :地すべり後地形(想定)</p> <p>(B断面)</p>  <p>凡例      ——:地すべり前地形(現況)      - - - :地すべり後地形(想定)</p>	<p>【島根】設計方針の相違      ・津波評価の陸上地滑りの検討で実施した手法の相違。</p> <p>【島根】発電所立地の相違</p>

## 泊発電所3号炉 DB基準適合性 比較表

実線・・設計方針又は設備構成等の相違  
 波線・・記載表現、設備名称の相違（実質的な相違なし）

## 第5条 津波による損傷の防止

女川原子力発電所2号炉	島根原子力発電所2号炉	泊発電所3号炉	相違理由
		<p>地滑りシミュレーション（TITAN2D）結果から得られた地形変化量分布を反映した地形モデル図を図 2.1.b.b-5 及び図 2.1.b.b-6 に示す。</p>  <p>図 2.1.b.b-5 地滑りシミュレーション結果を反映した地形 モデル (地滑り地形①)</p>	<p>【島根】設計方針の相違</p> <ul style="list-style-type: none"> <li>・津波評価の陸上地滑りの検討で実施した手法の相違。</li> </ul>

泊発電所3号炉 DB基準適合性 比較表

実線・・設計方針又は設備構成等の相違  
波線・・記載表現、設備名称の相違（実質的な相違なし）

第5条 津波による損傷の防止

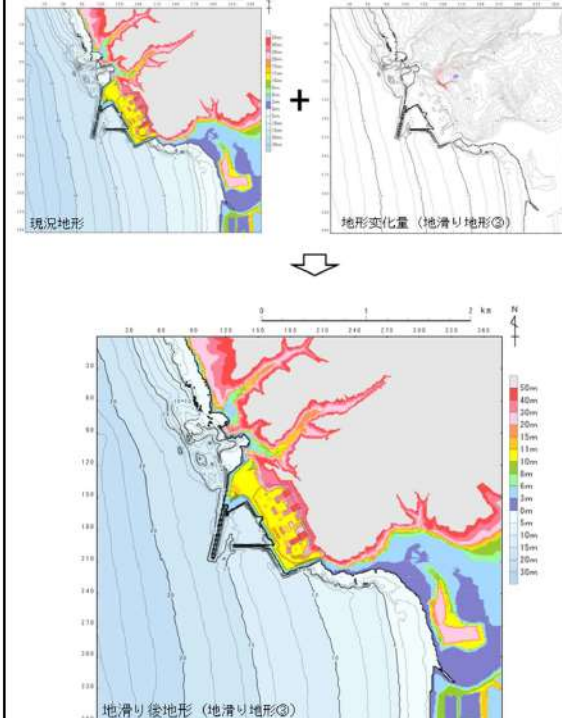
女川原子力発電所2号炉	島根原子力発電所2号炉	泊発電所3号炉	相違理由
		 <p>【島根】設計方針の相違 ・津波評価の陸上地滑りの検討で実施した手法の相違。</p>	<p>【島根】設計方針の相違 ・津波評価の陸上地滑りの検討で実施した手法の相違。</p>

図2.1.b.b-6 地滑りシミュレーション結果を反映した地形  
モデル  
(地滑り地形③)

## 泊発電所3号炉 DB基準適合性 比較表

実線・・設計方針又は設備構成等の相違  
波線・・記載表現、設備名称の相違（実質的な相違なし）

## 第5条 津波による損傷の防止

女川原子力発電所2号炉	島根原子力発電所2号炉	泊発電所3号炉	相違理由
	<p>検討ケースの評価水位を表2-7に、検討ケースの最大水位上昇量分布図又は最大水位下降量分布図を図2-55に示す。</p> <p>津波解析の結果、斜面崩壊させた場合、水位上昇側の施設護岸又は防波壁の水位は、どのケースについても基本ケースと同じもしくは基本ケースの方が大きい。</p> <p>一方、水位下降側の2号炉取水口の水位については、一部、基準津波3で斜面崩壊有りの方が水位が低下しているが、この差は僅か(-0.03m)であり、大半は、基本ケースの方が斜面崩壊有りのケースに対して水位が低下している。</p> <p>以上より、地震による地形変化（斜面崩壊）は入力津波を設定する際の影響要因として考慮しない。</p>	<p>(c) 地滑り地形の斜面崩壊を考慮した津波解析 以上を踏まえ、地滑り地形①の一部及び③の一部の斜面崩壊を考慮し、週上解釈を実施した。すべての基準津波を対象に、斜面崩壊のないケース（基本ケース）と斜面崩壊させたケースを比較し、その差異を表2.1.b.c-1及び表2.1.b.c-2に示す。また、最大水位上昇量分布、最大水位下降量分布、水位時刻歴波形及び最大流速分布を図2.1.b.c-1及び図2.1.b.c-2に示す。</p> <p>イ. 津波解析の結果（津波高さ） 津波解析の結果、地滑り地形①の一部を斜面崩壊させた場合、水位上昇側の防潮堤前面、3号炉取水口、1、2号炉取水口及び放水口の水位上昇量は、どの基準津波についても基本ケースと同程度であった。 また、水位下降側の「貯留堰を下回る時間」については、どの基準津波についても基本ケースと同程度であった。ただし、1、2号炉取水口における水位上昇側の最大値である12.78mが認められた。 また、地滑り地形③の一部を斜面崩壊させた場合、水位上昇側の防潮堤前面、3号炉取水口、1、2号炉取水口及び放水口の水位上昇量は、どの基準津波についても基本ケースと同じ値となつた。また、水位下降側の「貯留堰を下回る時間」については、どの基準津波についても基本ケースと同程度であった。 以上より、地滑り地形①の斜面崩壊は、1、2号炉取水口における津波高さに影響を与えることが定量的に確認されたことから、1、2号炉取水口の津波高さ（水位上昇側）に係る入力津波を設定する際の影響要因として考慮する。</p> <p>ロ. 津波解析の結果（津波高さ以外） 津波解析の結果、最大流速及び流況（流向・流速）については、どの基準津波についても基本ケースと同程度であった。 以上より、地滑り地形①及び③の斜面崩壊は、津波高さ以外（最大流速及び流況）に係る入力津波を設定する際の影響要因として考慮しない。</p>	<p>【島根】記載方針の相違 ・泊では、分かりやすさの観点で、(c)を分けて記載するとともに、(c)の冒頭で解析概要を明確化する。</p> <p>【島根】発電所立地の相違</p> <p>【島根】発電所立地の相違</p> <p>【島根】発電所立地の相違</p> <p>【島根】発電所立地の相違</p> <p>【島根】発電所立地の相違</p>

## 泊発電所3号炉 DB基準適合性 比較表

実線・・ 設計方針又は設備構成等の相違  
波線・・ 記載表現、設備名称の相違（実質的な相違なし）

## 第5条 津波による損傷の防止

女川原子力発電所2号炉	島根原子力発電所2号炉	泊発電所3号炉	相違理由																																																																																																																																																								
	<p style="text-align: center;"><b>表2-7 斜面崩壊(Ls24+Ls25)の有無による水位比較</b></p> <table border="1" style="width: 100%; border-collapse: collapse; text-align: center;"> <thead> <tr> <th colspan="2">【水位上昇側】防波堤損傷なし又は防波堤倒壊なし</th> <th colspan="2">【水位下降側】2号炉排水口 (東) [東]</th> </tr> <tr> <th>基本ケース (A)</th> <th>斜面崩壊有り (B)</th> <th>差異 (B-A)</th> <th>基本ケース (A)</th> <th>斜面崩壊有り (B)</th> <th>差異 (B-A)</th> </tr> </thead> <tbody> <tr> <td>+10.7m (+10.5m)</td> <td>+10.7m (+10.5m)</td> <td>0.0m</td> <td>-5.2m (-5.1m)</td> <td>-5.0m (-4.9m)</td> <td>+0.2m (+0.3m)</td> </tr> <tr> <td>+10.5m (+10.5m)</td> <td>+11.3m (+11.0m)</td> <td>+0.8m</td> <td>-5.1m (-6.01m)</td> <td>-5.0m (-5.79m)</td> <td>+0.22m (+0.22m)</td> </tr> <tr> <td>+9.0m (+8.9m)</td> <td>+8.9m (+8.9m)</td> <td>-0.1m</td> <td>-4.7m (-4.53m)</td> <td>-4.7m (-4.26m)</td> <td>0m (-0.02m)</td> </tr> <tr> <td>+9.0m (+8.9m)</td> <td></td> <td></td> <td>-4.1m (-4.04m)</td> <td>-4.1m (-4.04m)</td> <td>0m (0.00m)</td> </tr> <tr> <td>+9.0m (+8.9m)</td> <td></td> <td></td> <td>-4.2m (-4.25m)</td> <td>-4.2m (-4.24m)</td> <td>0m (+0.01m)</td> </tr> <tr> <td>+11.5m (+11.45m)</td> <td>+11.3m (+11.29m)</td> <td>-0.2m (-0.16m)</td> <td>-5.0m (-5.09m)</td> <td>-6.0m (-5.98m)</td> <td>+0.1m (+0.09m)</td> </tr> <tr> <td colspan="6">※1. 防波堤平均高さ: +0.50m、津波水位: +0.1m、津波高さ: +0.72mを考慮。※2. 防波堤平均高さ: +0.50m、津波水位: +0.1m、津波高さ: +0.72mを考慮。</td> </tr> </tbody> </table>	【水位上昇側】防波堤損傷なし又は防波堤倒壊なし		【水位下降側】2号炉排水口 (東) [東]		基本ケース (A)	斜面崩壊有り (B)	差異 (B-A)	基本ケース (A)	斜面崩壊有り (B)	差異 (B-A)	+10.7m (+10.5m)	+10.7m (+10.5m)	0.0m	-5.2m (-5.1m)	-5.0m (-4.9m)	+0.2m (+0.3m)	+10.5m (+10.5m)	+11.3m (+11.0m)	+0.8m	-5.1m (-6.01m)	-5.0m (-5.79m)	+0.22m (+0.22m)	+9.0m (+8.9m)	+8.9m (+8.9m)	-0.1m	-4.7m (-4.53m)	-4.7m (-4.26m)	0m (-0.02m)	+9.0m (+8.9m)			-4.1m (-4.04m)	-4.1m (-4.04m)	0m (0.00m)	+9.0m (+8.9m)			-4.2m (-4.25m)	-4.2m (-4.24m)	0m (+0.01m)	+11.5m (+11.45m)	+11.3m (+11.29m)	-0.2m (-0.16m)	-5.0m (-5.09m)	-6.0m (-5.98m)	+0.1m (+0.09m)	※1. 防波堤平均高さ: +0.50m、津波水位: +0.1m、津波高さ: +0.72mを考慮。※2. 防波堤平均高さ: +0.50m、津波水位: +0.1m、津波高さ: +0.72mを考慮。						<p style="text-align: center;"><b>表2.1.b.c-1 (1) 基本ケースと地滑り地形①の斜面崩壊を考慮したケースにおける水位変動量の比較 (水位上昇側)</b></p> <table border="1" style="width: 100%; border-collapse: collapse; text-align: center;"> <thead> <tr> <th>評価項目</th> <th>波源</th> <th>地形モデル</th> <th>基本ケース(a)</th> <th>地滑り地形①(b)</th> <th>差分(b-a)</th> </tr> </thead> <tbody> <tr> <td rowspan="4">水位上昇量</td> <td>波源A</td> <td>防波堤損傷なし</td> <td>13.4m</td> <td>13.29m</td> <td>-0.15m</td> </tr> <tr> <td>波源B</td> <td>北及び南防波堤損傷</td> <td>15.85m</td> <td>15.82m</td> <td>-0.03m</td> </tr> <tr> <td>波源E</td> <td>南防波堤損傷</td> <td>14.98m</td> <td>14.95m</td> <td>-0.03m</td> </tr> <tr> <td>波源F</td> <td>北防波堤損傷</td> <td>15.88m</td> <td>15.87m</td> <td>-0.01m</td> </tr> <tr> <td rowspan="4">水位上昇量</td> <td>波源</td> <td>地形モデル</td> <td>基本ケース(a)</td> <td>地滑り地形①(b)</td> <td>差分(b-a)</td> </tr> <tr> <td>波源B</td> <td>防波堤損傷なし</td> <td>10.45m</td> <td>10.45m</td> <td>0.00m</td> </tr> <tr> <td>波源F</td> <td>北及び南防波堤損傷</td> <td>13.14m</td> <td>13.10m</td> <td>-0.04m</td> </tr> <tr> <td>波源E</td> <td>南防波堤損傷</td> <td>11.88m</td> <td>11.77m</td> <td>-0.09m</td> </tr> <tr> <td rowspan="4">水位上昇量</td> <td>波源B</td> <td>北防波堤損傷</td> <td>12.88m</td> <td>12.88m</td> <td>0.00m</td> </tr> <tr> <td>波源</td> <td>地形モデル</td> <td>基本ケース(a)</td> <td>地滑り地形①(b)</td> <td>差分(b-a)</td> </tr> <tr> <td>波源C</td> <td>防波堤損傷なし</td> <td>9.34m</td> <td>9.39m</td> <td>0.05m</td> </tr> <tr> <td>波源E</td> <td>北及び南防波堤損傷</td> <td>12.74m</td> <td>12.75m</td> <td>0.04m</td> </tr> <tr> <td rowspan="4">水位上昇量</td> <td>波源G</td> <td>南防波堤損傷</td> <td>12.01m</td> <td>12.02m</td> <td>0.01m</td> </tr> <tr> <td>波源H</td> <td>北防波堤損傷</td> <td>11.50m</td> <td>11.52m</td> <td>0.02m</td> </tr> <tr> <td>波源D</td> <td>防波堤損傷なし</td> <td>10.81m</td> <td>10.80m</td> <td>-0.01m</td> </tr> <tr> <td>波源D</td> <td>北及び南防波堤損傷</td> <td>10.84m</td> <td>10.84m</td> <td>0.00m</td> </tr> <tr> <td rowspan="4">水位上昇量</td> <td>波源D</td> <td>南防波堤損傷</td> <td>10.85m</td> <td>10.83m</td> <td>-0.02m</td> </tr> <tr> <td>波源D</td> <td>北防波堤損傷</td> <td>10.69m</td> <td>10.67m</td> <td>-0.01m</td> </tr> </tbody> </table> <div style="text-align: center; padding: 10px; margin-top: 10px;"> <p>追加 (茶津入構トンネル及びアクセスルートトンネルに係る波源の取り扱いを検討中)</p> </div>	評価項目	波源	地形モデル	基本ケース(a)	地滑り地形①(b)	差分(b-a)	水位上昇量	波源A	防波堤損傷なし	13.4m	13.29m	-0.15m	波源B	北及び南防波堤損傷	15.85m	15.82m	-0.03m	波源E	南防波堤損傷	14.98m	14.95m	-0.03m	波源F	北防波堤損傷	15.88m	15.87m	-0.01m	水位上昇量	波源	地形モデル	基本ケース(a)	地滑り地形①(b)	差分(b-a)	波源B	防波堤損傷なし	10.45m	10.45m	0.00m	波源F	北及び南防波堤損傷	13.14m	13.10m	-0.04m	波源E	南防波堤損傷	11.88m	11.77m	-0.09m	水位上昇量	波源B	北防波堤損傷	12.88m	12.88m	0.00m	波源	地形モデル	基本ケース(a)	地滑り地形①(b)	差分(b-a)	波源C	防波堤損傷なし	9.34m	9.39m	0.05m	波源E	北及び南防波堤損傷	12.74m	12.75m	0.04m	水位上昇量	波源G	南防波堤損傷	12.01m	12.02m	0.01m	波源H	北防波堤損傷	11.50m	11.52m	0.02m	波源D	防波堤損傷なし	10.81m	10.80m	-0.01m	波源D	北及び南防波堤損傷	10.84m	10.84m	0.00m	水位上昇量	波源D	南防波堤損傷	10.85m	10.83m	-0.02m	波源D	北防波堤損傷	10.69m	10.67m	-0.01m
【水位上昇側】防波堤損傷なし又は防波堤倒壊なし		【水位下降側】2号炉排水口 (東) [東]																																																																																																																																																									
基本ケース (A)	斜面崩壊有り (B)	差異 (B-A)	基本ケース (A)	斜面崩壊有り (B)	差異 (B-A)																																																																																																																																																						
+10.7m (+10.5m)	+10.7m (+10.5m)	0.0m	-5.2m (-5.1m)	-5.0m (-4.9m)	+0.2m (+0.3m)																																																																																																																																																						
+10.5m (+10.5m)	+11.3m (+11.0m)	+0.8m	-5.1m (-6.01m)	-5.0m (-5.79m)	+0.22m (+0.22m)																																																																																																																																																						
+9.0m (+8.9m)	+8.9m (+8.9m)	-0.1m	-4.7m (-4.53m)	-4.7m (-4.26m)	0m (-0.02m)																																																																																																																																																						
+9.0m (+8.9m)			-4.1m (-4.04m)	-4.1m (-4.04m)	0m (0.00m)																																																																																																																																																						
+9.0m (+8.9m)			-4.2m (-4.25m)	-4.2m (-4.24m)	0m (+0.01m)																																																																																																																																																						
+11.5m (+11.45m)	+11.3m (+11.29m)	-0.2m (-0.16m)	-5.0m (-5.09m)	-6.0m (-5.98m)	+0.1m (+0.09m)																																																																																																																																																						
※1. 防波堤平均高さ: +0.50m、津波水位: +0.1m、津波高さ: +0.72mを考慮。※2. 防波堤平均高さ: +0.50m、津波水位: +0.1m、津波高さ: +0.72mを考慮。																																																																																																																																																											
評価項目	波源	地形モデル	基本ケース(a)	地滑り地形①(b)	差分(b-a)																																																																																																																																																						
水位上昇量	波源A	防波堤損傷なし	13.4m	13.29m	-0.15m																																																																																																																																																						
	波源B	北及び南防波堤損傷	15.85m	15.82m	-0.03m																																																																																																																																																						
	波源E	南防波堤損傷	14.98m	14.95m	-0.03m																																																																																																																																																						
	波源F	北防波堤損傷	15.88m	15.87m	-0.01m																																																																																																																																																						
水位上昇量	波源	地形モデル	基本ケース(a)	地滑り地形①(b)	差分(b-a)																																																																																																																																																						
	波源B	防波堤損傷なし	10.45m	10.45m	0.00m																																																																																																																																																						
	波源F	北及び南防波堤損傷	13.14m	13.10m	-0.04m																																																																																																																																																						
	波源E	南防波堤損傷	11.88m	11.77m	-0.09m																																																																																																																																																						
水位上昇量	波源B	北防波堤損傷	12.88m	12.88m	0.00m																																																																																																																																																						
	波源	地形モデル	基本ケース(a)	地滑り地形①(b)	差分(b-a)																																																																																																																																																						
	波源C	防波堤損傷なし	9.34m	9.39m	0.05m																																																																																																																																																						
	波源E	北及び南防波堤損傷	12.74m	12.75m	0.04m																																																																																																																																																						
水位上昇量	波源G	南防波堤損傷	12.01m	12.02m	0.01m																																																																																																																																																						
	波源H	北防波堤損傷	11.50m	11.52m	0.02m																																																																																																																																																						
	波源D	防波堤損傷なし	10.81m	10.80m	-0.01m																																																																																																																																																						
	波源D	北及び南防波堤損傷	10.84m	10.84m	0.00m																																																																																																																																																						
水位上昇量	波源D	南防波堤損傷	10.85m	10.83m	-0.02m																																																																																																																																																						
	波源D	北防波堤損傷	10.69m	10.67m	-0.01m																																																																																																																																																						

## 泊発電所3号炉 DB基準適合性 比較表

実線・・ 設計方針又は設備構成等の相違  
 波線・・ 記載表現、設備名称の相違（実質的な相違なし）

## 第5条 津波による損傷の防止

女川原子力発電所2号炉	島根原子力発電所2号炉	泊発電所3号炉	相違理由																																																																																																																																												
		<p>表 2.1.b. c-1 (2) 基本ケースと地滑り地形①の斜面崩壊を考慮したケースにおける貯留堰を下回る時間の比較（水位下降側）</p> <table border="1"> <thead> <tr> <th>評価項目</th><th>波源</th><th>地形モデル</th><th>基本ケース(a)</th><th>地滑り地形①(b)</th><th>差分(b-a)</th></tr> </thead> <tbody> <tr> <td rowspan="4">貯留堰を下回る時間</td><td>波源I</td><td>防波堤損傷なし</td><td>721s</td><td>731s</td><td>10s</td></tr> <tr><td>波源J</td><td>北及び南防波堤損傷</td><td>698s</td><td>699s</td><td>1s</td></tr> <tr><td>波源K</td><td>南防波堤損傷</td><td>743s</td><td>744s</td><td>1s</td></tr> <tr><td>波源L</td><td>北防波堤損傷</td><td>863s</td><td>862s</td><td>-1s</td></tr> </tbody> </table> <p>※ 現時点における最大ケース</p> <p>表 2.1.b. c-1 (3) 基本ケースと地滑り地形①の斜面崩壊を考慮したケースにおける最大流速の比較</p> <table border="1"> <thead> <tr> <th>評価項目</th><th>波源</th><th>地形モデル</th><th>基本ケース(a)</th><th>地滑り地形①(b)</th><th>差分(b-a)</th></tr> </thead> <tbody> <tr> <td rowspan="14">最大流速</td><td>波源A</td><td>防波堤損傷なし</td><td>13.81m/s</td><td>13.87m/s</td><td>0.06m/s</td></tr> <tr><td>波源B</td><td>防波堤損傷なし</td><td>17.28m/s</td><td>17.24m/s</td><td>-0.04m/s</td></tr> <tr><td>波源B</td><td>北防波堤損傷</td><td>13.60m/s</td><td>13.61m/s</td><td>0.01m/s</td></tr> <tr><td>波源C</td><td>防波堤損傷なし</td><td>13.95m/s</td><td>13.93m/s</td><td>-0.02m/s</td></tr> <tr><td>波源D</td><td>防波堤損傷なし</td><td>17.57m/s</td><td>17.66m/s</td><td>0.09m/s</td></tr> <tr><td>波源D</td><td>北及び南防波堤損傷</td><td>13.19m/s</td><td>13.19m/s</td><td>0.00m/s</td></tr> <tr><td>波源D</td><td>南防波堤損傷</td><td>18.77m/s</td><td>18.76m/s</td><td>-0.01m/s</td></tr> <tr><td>波源D</td><td>北防波堤損傷</td><td>14.60m/s</td><td>14.60m/s</td><td>0.00m/s</td></tr> <tr><td>波源E</td><td>北及び南防波堤損傷</td><td>12.56m/s</td><td>12.56m/s</td><td>0.00m/s</td></tr> <tr><td>波源E</td><td>南防波堤損傷</td><td>18.58m/s</td><td>18.53m/s</td><td>-0.05m/s</td></tr> <tr><td>波源F</td><td>北及び南防波堤損傷</td><td>12.31m/s</td><td>12.31m/s</td><td>0.00m/s</td></tr> <tr><td>波源F</td><td>北防波堤損傷</td><td>13.72m/s</td><td>13.73m/s</td><td>0.01m/s</td></tr> <tr><td>波源G</td><td>南防波堤損傷</td><td>15.27m/s</td><td>15.25m/s</td><td>-0.02m/s</td></tr> <tr><td>波源H</td><td>北防波堤損傷</td><td>14.13m/s</td><td>14.13m/s</td><td>0.00m/s</td></tr> <tr> <td colspan="2">波源I<sup>※1</sup></td><td>防波堤損傷なし</td><td>13.70m/s</td><td>13.70m/s</td><td>0.00m/s</td></tr> <tr> <td colspan="2">波源J<sup>※1</sup></td><td>北及び南防波堤損傷</td><td>12.94m/s</td><td>12.95m/s</td><td>0.01m/s</td></tr> <tr> <td colspan="2">波源K<sup>※1</sup></td><td>南防波堤損傷</td><td>16.90m/s</td><td>16.93m/s</td><td>0.03m/s</td></tr> <tr> <td colspan="2">波源L<sup>※1</sup></td><td>北防波堤損傷</td><td>12.14m/s</td><td>12.09m/s</td><td>-0.05m/s</td></tr> <tr> <td colspan="2">波源M<sup>※2</sup></td><td>防波堤損傷なし</td><td>17.63m/s</td><td>17.64m/s</td><td>0.01m/s</td></tr> <tr> <td colspan="2">波源N<sup>※2</sup></td><td>北及び南防波堤損傷</td><td>13.54m/s</td><td>13.54m/s</td><td>0.00m/s</td></tr> </tbody> </table> <p>※1：現時点における最大ケース    ※2：基準津波ではないが最大流速の観点から追加</p> <p>【島根】発電所立地の相違</p>	評価項目	波源	地形モデル	基本ケース(a)	地滑り地形①(b)	差分(b-a)	貯留堰を下回る時間	波源I	防波堤損傷なし	721s	731s	10s	波源J	北及び南防波堤損傷	698s	699s	1s	波源K	南防波堤損傷	743s	744s	1s	波源L	北防波堤損傷	863s	862s	-1s	評価項目	波源	地形モデル	基本ケース(a)	地滑り地形①(b)	差分(b-a)	最大流速	波源A	防波堤損傷なし	13.81m/s	13.87m/s	0.06m/s	波源B	防波堤損傷なし	17.28m/s	17.24m/s	-0.04m/s	波源B	北防波堤損傷	13.60m/s	13.61m/s	0.01m/s	波源C	防波堤損傷なし	13.95m/s	13.93m/s	-0.02m/s	波源D	防波堤損傷なし	17.57m/s	17.66m/s	0.09m/s	波源D	北及び南防波堤損傷	13.19m/s	13.19m/s	0.00m/s	波源D	南防波堤損傷	18.77m/s	18.76m/s	-0.01m/s	波源D	北防波堤損傷	14.60m/s	14.60m/s	0.00m/s	波源E	北及び南防波堤損傷	12.56m/s	12.56m/s	0.00m/s	波源E	南防波堤損傷	18.58m/s	18.53m/s	-0.05m/s	波源F	北及び南防波堤損傷	12.31m/s	12.31m/s	0.00m/s	波源F	北防波堤損傷	13.72m/s	13.73m/s	0.01m/s	波源G	南防波堤損傷	15.27m/s	15.25m/s	-0.02m/s	波源H	北防波堤損傷	14.13m/s	14.13m/s	0.00m/s	波源I <sup>※1</sup>		防波堤損傷なし	13.70m/s	13.70m/s	0.00m/s	波源J <sup>※1</sup>		北及び南防波堤損傷	12.94m/s	12.95m/s	0.01m/s	波源K <sup>※1</sup>		南防波堤損傷	16.90m/s	16.93m/s	0.03m/s	波源L <sup>※1</sup>		北防波堤損傷	12.14m/s	12.09m/s	-0.05m/s	波源M <sup>※2</sup>		防波堤損傷なし	17.63m/s	17.64m/s	0.01m/s	波源N <sup>※2</sup>		北及び南防波堤損傷	13.54m/s	13.54m/s	0.00m/s	
評価項目	波源	地形モデル	基本ケース(a)	地滑り地形①(b)	差分(b-a)																																																																																																																																										
貯留堰を下回る時間	波源I	防波堤損傷なし	721s	731s	10s																																																																																																																																										
	波源J	北及び南防波堤損傷	698s	699s	1s																																																																																																																																										
	波源K	南防波堤損傷	743s	744s	1s																																																																																																																																										
	波源L	北防波堤損傷	863s	862s	-1s																																																																																																																																										
評価項目	波源	地形モデル	基本ケース(a)	地滑り地形①(b)	差分(b-a)																																																																																																																																										
最大流速	波源A	防波堤損傷なし	13.81m/s	13.87m/s	0.06m/s																																																																																																																																										
	波源B	防波堤損傷なし	17.28m/s	17.24m/s	-0.04m/s																																																																																																																																										
	波源B	北防波堤損傷	13.60m/s	13.61m/s	0.01m/s																																																																																																																																										
	波源C	防波堤損傷なし	13.95m/s	13.93m/s	-0.02m/s																																																																																																																																										
	波源D	防波堤損傷なし	17.57m/s	17.66m/s	0.09m/s																																																																																																																																										
	波源D	北及び南防波堤損傷	13.19m/s	13.19m/s	0.00m/s																																																																																																																																										
	波源D	南防波堤損傷	18.77m/s	18.76m/s	-0.01m/s																																																																																																																																										
	波源D	北防波堤損傷	14.60m/s	14.60m/s	0.00m/s																																																																																																																																										
	波源E	北及び南防波堤損傷	12.56m/s	12.56m/s	0.00m/s																																																																																																																																										
	波源E	南防波堤損傷	18.58m/s	18.53m/s	-0.05m/s																																																																																																																																										
	波源F	北及び南防波堤損傷	12.31m/s	12.31m/s	0.00m/s																																																																																																																																										
	波源F	北防波堤損傷	13.72m/s	13.73m/s	0.01m/s																																																																																																																																										
	波源G	南防波堤損傷	15.27m/s	15.25m/s	-0.02m/s																																																																																																																																										
	波源H	北防波堤損傷	14.13m/s	14.13m/s	0.00m/s																																																																																																																																										
波源I <sup>※1</sup>		防波堤損傷なし	13.70m/s	13.70m/s	0.00m/s																																																																																																																																										
波源J <sup>※1</sup>		北及び南防波堤損傷	12.94m/s	12.95m/s	0.01m/s																																																																																																																																										
波源K <sup>※1</sup>		南防波堤損傷	16.90m/s	16.93m/s	0.03m/s																																																																																																																																										
波源L <sup>※1</sup>		北防波堤損傷	12.14m/s	12.09m/s	-0.05m/s																																																																																																																																										
波源M <sup>※2</sup>		防波堤損傷なし	17.63m/s	17.64m/s	0.01m/s																																																																																																																																										
波源N <sup>※2</sup>		北及び南防波堤損傷	13.54m/s	13.54m/s	0.00m/s																																																																																																																																										

泊発電所3号炉 DB基準適合性 比較表

実線・・設計方針又は設備構成等の相違  
波線・・記載表現、設備名称の相違（実質的な相違なし）

第5条 津波による損傷の防止

女川原子力発電所2号炉	島根原子力発電所2号炉	泊発電所3号炉	相違理由
	<p>Figure 2-55(1) shows two sets of maps comparing maximum water level rise distributions for Tsunami Reference Wave 1. The top row shows results for 'Ls24 + Ls25 (without slope collapse)' and 'Ls24 + Ls25 (with slope collapse)', with values of 10.67m and 10.70m respectively. The bottom row shows results for 'Ls24 + Ls25 (without slope collapse)' and 'Ls24 + Ls25 (with slope collapse)', with values of 11.08m and 11.10m respectively. A note indicates a difference of 0.14m between the reference water level and the actual water level.</p> <p>※ 基準平均海面位+0.58m、浸位のうち0.14mを併せて+0.72mを考慮</p> <p>図2-55(1) 斜面崩壊(Ls24+Ls25)の有無による 最大水位上昇量分布の比較 (基準津波1(防波堤有り) 及び基準津波1(防波堤無し))</p>		<p>【島根】記載方針の相違</p> <ul style="list-style-type: none"> <li>泊では、検討ケース数が多いことから、「3. 各地形変化によるデータ集」として纏めて記載している。なお、図の比較についてはプラント特有の評価結果であることから省略する。</li> </ul> <p>泊は3. 項にて記載。</p>
	<p>Figure 2-55(2) shows two sets of maps comparing maximum water level rise distributions for Tsunami Reference Wave 2 and Tsunami Reference Wave 5. The top row shows results for 'Ls24 + Ls25 (without slope collapse)' and 'Ls24 + Ls25 (with slope collapse)', with values of 8.89m and 8.90m respectively. The bottom row shows results for 'Ls24 + Ls25 (without slope collapse)' and 'Ls24 + Ls25 (with slope collapse)', with values of 11.29m and 11.30m respectively. A note indicates a difference of 0.14m between the reference water level and the actual water level.</p> <p>※ 基準平均海面位+1.58m、浸位のうち0.14mを併せて+0.72mを考慮</p> <p>図2-55(2) 斜面崩壊(Ls24+Ls25)の有無による 最大水位上昇量分布の比較 (基準津波2(防波堤有り) 及び基準津波5(防波堤無し))</p>		

泊発電所3号炉 DB基準適合性 比較表

実線・・設計方針又は設備構成等の相違  
波線・・記載表現、設備名称の相違（実質的な相違なし）

第5条 津波による損傷の防止

女川原子力発電所2号炉	島根原子力発電所2号炉	泊発電所3号炉	相違理由
	<p>図2-55(3) 斜面崩壊(Ls24+Ls25)の有無による 最大水位下降量分布の比較 (基準津波1(防波堤有り) 及び基準津波1(防波堤無し))</p>		<p>【島根】記載方針の相違</p> <ul style="list-style-type: none"> <li>泊では、検討ケース数が多いことから、「3. 各地形変化によるデータ集」として纏めて記載している。なお、図の比較についてはプラント特有の評価結果であることから省略する。</li> </ul> <p>泊は3. 項にて記載。</p>
	<p>図2-55(4) 斜面崩壊(Ls24+Ls25)の有無による 最大水位下降量分布の比較 (基準津波3(防波堤有り) 及び基準津波6(防波堤無し))</p>		

泊発電所3号炉 DB基準適合性 比較表

実線・・設計方針又は設備構成等の相違  
波線・・記載表現、設備名称の相違（実質的な相違なし）

第5条 津波による損傷の防止

女川原子力発電所2号炉	島根原子力発電所2号炉	泊発電所3号炉	相違理由
		<p>泊は3.項にて記載。</p>	<p>【島根】記載方針の相違 ・泊では、検討ケース数が多いことから、「3. 各地形変化によるデータ集」として纏めて記載している。なお、図の比較についてはプラント特有の評価結果であることから省略する。</p>

図2-55(5) 斜面崩壊(Ls24+Ls25)の有無による  
最大水位下降量分布の比較  
(基準津波4(防波堤有り) 及び基準津波4(防波堤無し))

第5条 津波による損傷の防止

女川原子力発電所2号炉	島根原子力発電所2号炉	泊発電所3号炉	相違理由																																																																																																										
	<p><b>表2-7 斜面崩壊 (Ls24+Ls25) の有無による水位比較</b></p> <table border="1"> <thead> <tr> <th colspan="3">【市街化調整区域又は防波堤】</th> <th colspan="3">【市街化調整区域又は防波堤】</th> </tr> <tr> <th>基本ケース</th> <th>斜面崩壊有り</th> <th>差分 (b-a)</th> <th>基本ケース</th> <th>斜面崩壊有り</th> <th>差分 (b-a)</th> </tr> </thead> <tbody> <tr> <td>+0.7m (+10.67m)</td> <td>+0.7m (+10.67m)</td> <td>0.0m</td> <td>-0.2m (-5.13m)</td> <td>-0.2m (-4.90m)</td> <td>+0.2m (+0.15m)</td> </tr> <tr> <td>+1.0m (+11.05m)</td> <td>+1.1m (+11.08m)</td> <td>-0.1m</td> <td>-0.1m (-5.27m)</td> <td>-0.0m (-5.00m)</td> <td>+0.1m (+0.22m)</td> </tr> <tr> <td>+0.7m (+9.17m)</td> <td>+0.7m (+8.82m)</td> <td>-0.1m</td> <td>-0.2m (-5.20m)</td> <td>-0.1m (-4.95m)</td> <td>+0.1m (+0.25m)</td> </tr> <tr> <td colspan="6">※1 基本ケース: +0.58m、斜面崩壊: +0.14m、波高: +0.12m(参考: ±2.5%誤差)、津波半周期: -0.02m、津波減衰率: 1.0%減衰率</td> </tr> </tbody> </table> <p style="text-align: center;">比較のため、前述の内容を再掲</p>	【市街化調整区域又は防波堤】			【市街化調整区域又は防波堤】			基本ケース	斜面崩壊有り	差分 (b-a)	基本ケース	斜面崩壊有り	差分 (b-a)	+0.7m (+10.67m)	+0.7m (+10.67m)	0.0m	-0.2m (-5.13m)	-0.2m (-4.90m)	+0.2m (+0.15m)	+1.0m (+11.05m)	+1.1m (+11.08m)	-0.1m	-0.1m (-5.27m)	-0.0m (-5.00m)	+0.1m (+0.22m)	+0.7m (+9.17m)	+0.7m (+8.82m)	-0.1m	-0.2m (-5.20m)	-0.1m (-4.95m)	+0.1m (+0.25m)	※1 基本ケース: +0.58m、斜面崩壊: +0.14m、波高: +0.12m(参考: ±2.5%誤差)、津波半周期: -0.02m、津波減衰率: 1.0%減衰率																																																																													
【市街化調整区域又は防波堤】			【市街化調整区域又は防波堤】																																																																																																										
基本ケース	斜面崩壊有り	差分 (b-a)	基本ケース	斜面崩壊有り	差分 (b-a)																																																																																																								
+0.7m (+10.67m)	+0.7m (+10.67m)	0.0m	-0.2m (-5.13m)	-0.2m (-4.90m)	+0.2m (+0.15m)																																																																																																								
+1.0m (+11.05m)	+1.1m (+11.08m)	-0.1m	-0.1m (-5.27m)	-0.0m (-5.00m)	+0.1m (+0.22m)																																																																																																								
+0.7m (+9.17m)	+0.7m (+8.82m)	-0.1m	-0.2m (-5.20m)	-0.1m (-4.95m)	+0.1m (+0.25m)																																																																																																								
※1 基本ケース: +0.58m、斜面崩壊: +0.14m、波高: +0.12m(参考: ±2.5%誤差)、津波半周期: -0.02m、津波減衰率: 1.0%減衰率																																																																																																													
		<p><b>表2.1.b.c-2 (1) 基本ケースと地滑り地形③の斜面崩壊を考慮したケースにおける水位変動量の比較 (水位上昇側)</b></p> <table border="1"> <thead> <tr> <th>評価項目</th> <th>波源</th> <th>地形モデル</th> <th>基本ケース(a)</th> <th>地滑り地形③( b )</th> <th>差分(b-a)</th> </tr> </thead> <tbody> <tr> <td rowspan="4">水位上昇量</td> <td>波源A</td> <td>防波堤損傷なし</td> <td>13.4m</td> <td>13.44m</td> <td>0.04m</td> </tr> <tr> <td>波源B</td> <td>北及び南防波堤損傷</td> <td>15.85m</td> <td>15.85m</td> <td>0.00m</td> </tr> <tr> <td>波源E</td> <td>南防波堤損傷</td> <td>14.98m</td> <td>14.98m</td> <td>0.00m</td> </tr> <tr> <td>波源F</td> <td>北防波堤損傷</td> <td>15.68m</td> <td>15.68m</td> <td>0.00m</td> </tr> <tr> <td rowspan="4">評価項目</td> <td>波源</td> <td>地形モデル</td> <td>基本ケース(a)</td> <td>地滑り地形③( b )</td> <td>差分(b-a)</td> </tr> <tr> <td>波源B</td> <td>防波堤損傷なし</td> <td>10.45m</td> <td>10.45m</td> <td>0.00m</td> </tr> <tr> <td>波源F</td> <td>北及び南防波堤損傷</td> <td>13.14m</td> <td>13.14m</td> <td>0.00m</td> </tr> <tr> <td>波源E</td> <td>南防波堤損傷</td> <td>11.88m</td> <td>11.88m</td> <td>0.00m</td> </tr> <tr> <td rowspan="4">評価項目</td> <td>波源</td> <td>地形モデル</td> <td>基本ケース(a)</td> <td>地滑り地形③( b )</td> <td>差分(b-a)</td> </tr> <tr> <td>波源C</td> <td>防波堤損傷なし</td> <td>9.34m</td> <td>9.34m</td> <td>0.00m</td> </tr> <tr> <td>波源B</td> <td>北及び南防波堤損傷</td> <td>12.74m</td> <td>12.74m</td> <td>0.00m</td> </tr> <tr> <td>波源G</td> <td>南防波堤損傷</td> <td>12.01m</td> <td>12.01m</td> <td>0.00m</td> </tr> <tr> <td rowspan="4">評価項目</td> <td>波源</td> <td>地形モデル</td> <td>基本ケース(a)</td> <td>地滑り地形③( b )</td> <td>差分(b-a)</td> </tr> <tr> <td>波源D</td> <td>防波堤損傷なし</td> <td>10.81m</td> <td>10.81m</td> <td>0.00m</td> </tr> <tr> <td>波源D</td> <td>北及び南防波堤損傷</td> <td>10.84m</td> <td>10.84m</td> <td>0.00m</td> </tr> <tr> <td>波源D</td> <td>南防波堤損傷</td> <td>10.85m</td> <td>10.85m</td> <td>0.00m</td> </tr> <tr> <td rowspan="4">評価項目</td> <td>波源</td> <td>地形モデル</td> <td>基本ケース(a)</td> <td>地滑り地形③( b )</td> <td>差分(b-a)</td> </tr> <tr> <td>波源D</td> <td>北防波堤損傷</td> <td>10.68m</td> <td>10.68m</td> <td>0.00m</td> </tr> <tr> <td></td> <td></td> <td></td> <td></td> <td></td> </tr> </tbody> </table> <p style="text-align: center;">追加 (茶津入構トンネル及びアクセスルートトンネルに係る波源の取り扱いを検討中)</p>	評価項目	波源	地形モデル	基本ケース(a)	地滑り地形③( b )	差分(b-a)	水位上昇量	波源A	防波堤損傷なし	13.4m	13.44m	0.04m	波源B	北及び南防波堤損傷	15.85m	15.85m	0.00m	波源E	南防波堤損傷	14.98m	14.98m	0.00m	波源F	北防波堤損傷	15.68m	15.68m	0.00m	評価項目	波源	地形モデル	基本ケース(a)	地滑り地形③( b )	差分(b-a)	波源B	防波堤損傷なし	10.45m	10.45m	0.00m	波源F	北及び南防波堤損傷	13.14m	13.14m	0.00m	波源E	南防波堤損傷	11.88m	11.88m	0.00m	評価項目	波源	地形モデル	基本ケース(a)	地滑り地形③( b )	差分(b-a)	波源C	防波堤損傷なし	9.34m	9.34m	0.00m	波源B	北及び南防波堤損傷	12.74m	12.74m	0.00m	波源G	南防波堤損傷	12.01m	12.01m	0.00m	評価項目	波源	地形モデル	基本ケース(a)	地滑り地形③( b )	差分(b-a)	波源D	防波堤損傷なし	10.81m	10.81m	0.00m	波源D	北及び南防波堤損傷	10.84m	10.84m	0.00m	波源D	南防波堤損傷	10.85m	10.85m	0.00m	評価項目	波源	地形モデル	基本ケース(a)	地滑り地形③( b )	差分(b-a)	波源D	北防波堤損傷	10.68m	10.68m	0.00m						【島根】発電所立地の相違
評価項目	波源	地形モデル	基本ケース(a)	地滑り地形③( b )	差分(b-a)																																																																																																								
水位上昇量	波源A	防波堤損傷なし	13.4m	13.44m	0.04m																																																																																																								
	波源B	北及び南防波堤損傷	15.85m	15.85m	0.00m																																																																																																								
	波源E	南防波堤損傷	14.98m	14.98m	0.00m																																																																																																								
	波源F	北防波堤損傷	15.68m	15.68m	0.00m																																																																																																								
評価項目	波源	地形モデル	基本ケース(a)	地滑り地形③( b )	差分(b-a)																																																																																																								
	波源B	防波堤損傷なし	10.45m	10.45m	0.00m																																																																																																								
	波源F	北及び南防波堤損傷	13.14m	13.14m	0.00m																																																																																																								
	波源E	南防波堤損傷	11.88m	11.88m	0.00m																																																																																																								
評価項目	波源	地形モデル	基本ケース(a)	地滑り地形③( b )	差分(b-a)																																																																																																								
	波源C	防波堤損傷なし	9.34m	9.34m	0.00m																																																																																																								
	波源B	北及び南防波堤損傷	12.74m	12.74m	0.00m																																																																																																								
	波源G	南防波堤損傷	12.01m	12.01m	0.00m																																																																																																								
評価項目	波源	地形モデル	基本ケース(a)	地滑り地形③( b )	差分(b-a)																																																																																																								
	波源D	防波堤損傷なし	10.81m	10.81m	0.00m																																																																																																								
	波源D	北及び南防波堤損傷	10.84m	10.84m	0.00m																																																																																																								
	波源D	南防波堤損傷	10.85m	10.85m	0.00m																																																																																																								
評価項目	波源	地形モデル	基本ケース(a)	地滑り地形③( b )	差分(b-a)																																																																																																								
	波源D	北防波堤損傷	10.68m	10.68m	0.00m																																																																																																								
			<p><b>表2.1.b.c-2 (2) 基本ケースと地滑り地形③の斜面崩壊を考慮したケースにおける貯留堰を下回る時間の比較 (水位下降側)</b></p> <table border="1"> <thead> <tr> <th>評価項目</th> <th>波源</th> <th>地形モデル</th> <th>基本ケース(a)</th> <th>地滑り地形③( b )</th> <th>差分(b-a)</th> </tr> </thead> <tbody> <tr> <td rowspan="4">貯留堰を下回る時間</td> <td>波源I</td> <td>防波堤損傷なし</td> <td>721s</td> <td>721s</td> <td>0s</td> </tr> <tr> <td>波源J</td> <td>北及び南防波堤損傷</td> <td>698s</td> <td>698s</td> <td>0s</td> </tr> <tr> <td>波源K</td> <td>南防波堤損傷</td> <td>743s</td> <td>744s</td> <td>1s</td> </tr> <tr> <td>波源L</td> <td>北防波堤損傷</td> <td>863s</td> <td>863s</td> <td>0s</td> </tr> </tbody> </table> <p style="text-align: center;">※ 現時点における最大ケース</p>	評価項目	波源	地形モデル	基本ケース(a)	地滑り地形③( b )	差分(b-a)	貯留堰を下回る時間	波源I	防波堤損傷なし	721s	721s	0s	波源J	北及び南防波堤損傷	698s	698s	0s	波源K	南防波堤損傷	743s	744s	1s	波源L	北防波堤損傷	863s	863s	0s	【島根】発電所立地の相違																																																																														
評価項目	波源	地形モデル	基本ケース(a)	地滑り地形③( b )	差分(b-a)																																																																																																								
貯留堰を下回る時間	波源I	防波堤損傷なし	721s	721s	0s																																																																																																								
	波源J	北及び南防波堤損傷	698s	698s	0s																																																																																																								
	波源K	南防波堤損傷	743s	744s	1s																																																																																																								
	波源L	北防波堤損傷	863s	863s	0s																																																																																																								

## 泊発電所3号炉 DB基準適合性 比較表

実線・・ 設計方針又は設備構成等の相違  
 波線・・ 記載表現、設備名称の相違（実質的な相違なし）

## 第5条 津波による損傷の防止

女川原子力発電所2号炉	島根原子力発電所2号炉	泊発電所3号炉	相違理由																																																																																																											
		<p style="text-align: center;"><u>表 2.1.b.c-2 (3) 基本ケースと地滑り地形③の斜面崩壊を考慮したケースにおける最大流速の比較</u></p> <table border="1" style="width: 100%; border-collapse: collapse; text-align: center;"> <thead> <tr> <th>評価項目</th><th>波源</th><th>地形モデル</th><th>基本ケース(a)</th><th>地滑り地形③(b)</th><th>差分(b-a)</th></tr> </thead> <tbody> <tr><td rowspan="18" style="vertical-align: middle; text-align: center;">最大流速</td><td>波源A</td><td>防波堤損傷なし</td><td>13.81m/s</td><td>13.81m/s</td><td>0.00m/s</td></tr> <tr><td>波源B</td><td>防波堤損傷なし</td><td>17.28m/s</td><td>17.28m/s</td><td>0.00m/s</td></tr> <tr><td>波源B</td><td>北防波堤損傷</td><td>13.80m/s</td><td>13.80m/s</td><td>0.00m/s</td></tr> <tr><td>波源C</td><td>防波堤損傷なし</td><td>13.95m/s</td><td>13.95m/s</td><td>0.00m/s</td></tr> <tr><td>波源D</td><td>防波堤損傷なし</td><td>17.57m/s</td><td>17.84m/s</td><td>0.07m/s</td></tr> <tr><td>波源D</td><td>北及び南防波堤損傷</td><td>13.19m/s</td><td>13.19m/s</td><td>0.00m/s</td></tr> <tr><td>波源D</td><td>南防波堤損傷</td><td>18.77m/s</td><td>18.77m/s</td><td>0.00m/s</td></tr> <tr><td>波源D</td><td>北防波堤損傷</td><td>14.80m/s</td><td>14.81m/s</td><td>0.01m/s</td></tr> <tr><td>波源E</td><td>北及び南防波堤損傷</td><td>12.58m/s</td><td>12.58m/s</td><td>0.00m/s</td></tr> <tr><td>波源E</td><td>南防波堤損傷</td><td>18.58m/s</td><td>18.58m/s</td><td>0.00m/s</td></tr> <tr><td>波源F</td><td>北及び南防波堤損傷</td><td>12.31m/s</td><td>12.31m/s</td><td>0.00m/s</td></tr> <tr><td>波源F</td><td>北防波堤損傷</td><td>13.72m/s</td><td>13.72m/s</td><td>0.00m/s</td></tr> <tr><td>波源G</td><td>南防波堤損傷</td><td>15.27m/s</td><td>15.27m/s</td><td>0.00m/s</td></tr> <tr><td>波源H</td><td>北防波堤損傷</td><td>14.13m/s</td><td>14.13m/s</td><td>0.00m/s</td></tr> <tr><td>波源I<sup>※1</sup></td><td>防波堤損傷なし</td><td>13.70m/s</td><td>13.70m/s</td><td>0.00m/s</td></tr> <tr><td>波源J<sup>※1</sup></td><td>北及び南防波堤損傷</td><td>12.84m/s</td><td>12.84m/s</td><td>0.00m/s</td></tr> <tr><td>波源K<sup>※1</sup></td><td>南防波堤損傷</td><td>16.98m/s</td><td>16.98m/s</td><td>0.00m/s</td></tr> <tr><td>波源L<sup>※1</sup></td><td>北防波堤損傷</td><td>12.14m/s</td><td>12.14m/s</td><td>0.00m/s</td></tr> <tr><td>波源K<sup>※2</sup></td><td>防波堤損傷なし</td><td>17.63m/s</td><td>17.63m/s</td><td>-0.01m/s</td></tr> <tr><td>波源K<sup>※2</sup></td><td>北及び南防波堤損傷</td><td>13.54m/s</td><td>13.53m/s</td><td>-0.01m/s</td></tr> </tbody> </table>	評価項目	波源	地形モデル	基本ケース(a)	地滑り地形③(b)	差分(b-a)	最大流速	波源A	防波堤損傷なし	13.81m/s	13.81m/s	0.00m/s	波源B	防波堤損傷なし	17.28m/s	17.28m/s	0.00m/s	波源B	北防波堤損傷	13.80m/s	13.80m/s	0.00m/s	波源C	防波堤損傷なし	13.95m/s	13.95m/s	0.00m/s	波源D	防波堤損傷なし	17.57m/s	17.84m/s	0.07m/s	波源D	北及び南防波堤損傷	13.19m/s	13.19m/s	0.00m/s	波源D	南防波堤損傷	18.77m/s	18.77m/s	0.00m/s	波源D	北防波堤損傷	14.80m/s	14.81m/s	0.01m/s	波源E	北及び南防波堤損傷	12.58m/s	12.58m/s	0.00m/s	波源E	南防波堤損傷	18.58m/s	18.58m/s	0.00m/s	波源F	北及び南防波堤損傷	12.31m/s	12.31m/s	0.00m/s	波源F	北防波堤損傷	13.72m/s	13.72m/s	0.00m/s	波源G	南防波堤損傷	15.27m/s	15.27m/s	0.00m/s	波源H	北防波堤損傷	14.13m/s	14.13m/s	0.00m/s	波源I <sup>※1</sup>	防波堤損傷なし	13.70m/s	13.70m/s	0.00m/s	波源J <sup>※1</sup>	北及び南防波堤損傷	12.84m/s	12.84m/s	0.00m/s	波源K <sup>※1</sup>	南防波堤損傷	16.98m/s	16.98m/s	0.00m/s	波源L <sup>※1</sup>	北防波堤損傷	12.14m/s	12.14m/s	0.00m/s	波源K <sup>※2</sup>	防波堤損傷なし	17.63m/s	17.63m/s	-0.01m/s	波源K <sup>※2</sup>	北及び南防波堤損傷	13.54m/s	13.53m/s	-0.01m/s	【島根】発電所立地の相違
評価項目	波源	地形モデル	基本ケース(a)	地滑り地形③(b)	差分(b-a)																																																																																																									
最大流速	波源A	防波堤損傷なし	13.81m/s	13.81m/s	0.00m/s																																																																																																									
	波源B	防波堤損傷なし	17.28m/s	17.28m/s	0.00m/s																																																																																																									
	波源B	北防波堤損傷	13.80m/s	13.80m/s	0.00m/s																																																																																																									
	波源C	防波堤損傷なし	13.95m/s	13.95m/s	0.00m/s																																																																																																									
	波源D	防波堤損傷なし	17.57m/s	17.84m/s	0.07m/s																																																																																																									
	波源D	北及び南防波堤損傷	13.19m/s	13.19m/s	0.00m/s																																																																																																									
	波源D	南防波堤損傷	18.77m/s	18.77m/s	0.00m/s																																																																																																									
	波源D	北防波堤損傷	14.80m/s	14.81m/s	0.01m/s																																																																																																									
	波源E	北及び南防波堤損傷	12.58m/s	12.58m/s	0.00m/s																																																																																																									
	波源E	南防波堤損傷	18.58m/s	18.58m/s	0.00m/s																																																																																																									
	波源F	北及び南防波堤損傷	12.31m/s	12.31m/s	0.00m/s																																																																																																									
	波源F	北防波堤損傷	13.72m/s	13.72m/s	0.00m/s																																																																																																									
	波源G	南防波堤損傷	15.27m/s	15.27m/s	0.00m/s																																																																																																									
	波源H	北防波堤損傷	14.13m/s	14.13m/s	0.00m/s																																																																																																									
	波源I <sup>※1</sup>	防波堤損傷なし	13.70m/s	13.70m/s	0.00m/s																																																																																																									
	波源J <sup>※1</sup>	北及び南防波堤損傷	12.84m/s	12.84m/s	0.00m/s																																																																																																									
	波源K <sup>※1</sup>	南防波堤損傷	16.98m/s	16.98m/s	0.00m/s																																																																																																									
	波源L <sup>※1</sup>	北防波堤損傷	12.14m/s	12.14m/s	0.00m/s																																																																																																									
波源K <sup>※2</sup>	防波堤損傷なし	17.63m/s	17.63m/s	-0.01m/s																																																																																																										
波源K <sup>※2</sup>	北及び南防波堤損傷	13.54m/s	13.53m/s	-0.01m/s																																																																																																										

※1：現時点における最大ケース

※2：基準津波ではないが最大流速の観点から追加

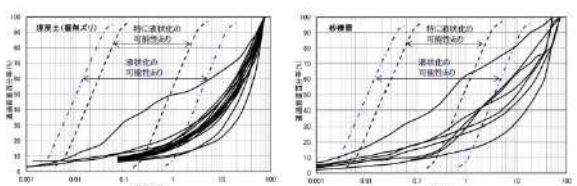
## 泊発電所3号炉 DB基準適合性 比較表

実線・・設計方針又は設備構成等の相違  
波線・・記載表現、設備名称の相違（実質的な相違なし）

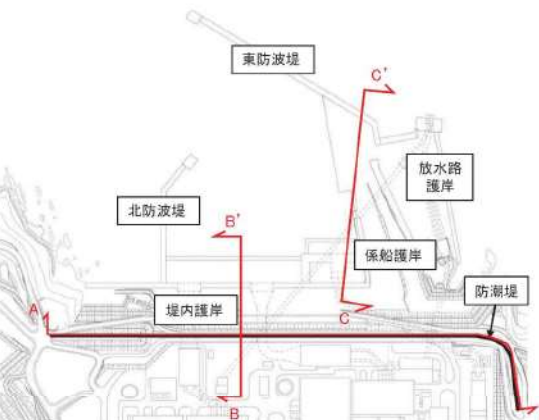
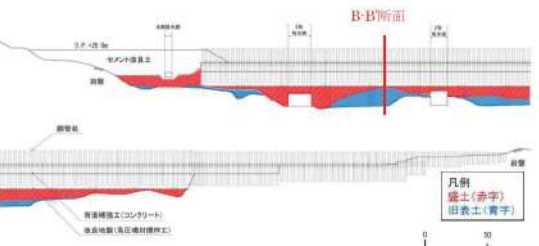
## 第5条 津波による損傷の防止

女川原子力発電所2号炉	島根原子力発電所2号炉	泊発電所3号炉	相違理由																					
2. 敷地の沈下量設定	3. 敷地の地盤変状に関する検討	<p><u>c. 敷地の地盤変状に関する検討</u></p> <p><u>基準地震動や基準津波による洗掘によって生じる地盤変状として、陸域及び海域の沈下を想定し、入力津波への影響の有無を確認した結果を踏まえ、入力津波評価への影響要因として設定する。</u></p> <p>(a) 対象とする地形・構造物</p> <p><u>「1. 敷地周辺の地上・浸水域の評価」にて整理した表1.1.a-1 及び表1.1.e-1 の地形モデルに反映した敷地周辺の地形・構造物のうち、表2.1.c.a-1 に示すように入力津波評価への影響を評価した上で、地震による地盤変状を考慮する地形・構造物を抽出した。</u></p> <p><b>表2.1.c.a-1 敷地周辺地盤の入力津波評価への影響</b></p> <table border="1"> <thead> <tr> <th>地盤及び敷地周辺の地形・人の結び物</th> <th>地上面の地盤 河川の地盤</th> <th>被定められた 地盤の地盤</th> <th>津波評価に与える影響</th> <th>実質的評価 (OK)</th> </tr> </thead> <tbody> <tr> <td rowspan="2">周囲及び敷地 周辺の地盤の 地盤土質調査</td> <td rowspan="2">河床充填 (現状) 川岸の土質アノトキニアリヨウ</td> <td>※ 地盤 による 地盤変形</td> <td>地盤変動の地盤変形により、洗削洗削、アカシマーティンゲート面、河岸侵食による地盤変形が想定される。既存の地盤では、<u>津波評価</u>で考慮する。</td> <td>既存・新津八郎十才キルメシタツア地盤の地盤変形(既存リムル及び海側斜面の既存地盤)に対する、地盤変形による地盤変動による沈下を考慮し、沈下量を算出。日本水工規範第1部第3章第3節(既存地盤)第3-17項参照。 ・既存の地盤では、<u>津波評価</u>として考慮する。 ・既存の地盤では、<u>津波評価</u>として考慮しない。</td> </tr> <tr> <td>※ 洗削</td> <td>地盤について、アカシマーティンゲート面で洗削洗削が想定される。既存の地盤では、既存の地盤では、<u>津波評価</u>として考慮する。</td> <td>-</td> </tr> <tr> <td rowspan="2">周辺山地の 海岸地形</td> <td rowspan="2">既存の地盤変形 (現状)</td> <td>※ 地盤 による 地盤変形</td> <td>既存の山地の地盤変形の地盤変形により、洗削洗削、アカシマーティンゲート面、河岸侵食による地盤変形が想定される。既存が最も多く地盤変形(既存リムル)による地盤変動が想定される。既存の地盤では、既存の地盤では、<u>津波評価</u>として考慮する。</td> <td>既存の山地の地盤変形の地盤変形(既存リムル)による地盤変動に対する、地盤変形による沈下を考慮する。既存リムルの地盤変形を考慮し、入力津波の地盤変形に影響を与える場合には、<u>津波評価</u>として考慮する。 ・既存リムルの地盤変形を考慮し、入力津波の地盤変形に影響を与えない場合には、<u>津波評価</u>として考慮しない。</td> </tr> <tr> <td>※ 洗削</td> <td>既存の山地の地盤変形(既存リムル)による地盤変動に対する、地盤変形による沈下を考慮する。既存リムルの地盤変形を考慮し、入力津波の地盤変形に影響を与えない場合には、<u>津波評価</u>として考慮しない。</td> <td>■</td> </tr> </tbody> </table>	地盤及び敷地周辺の地形・人の結び物	地上面の地盤 河川の地盤	被定められた 地盤の地盤	津波評価に与える影響	実質的評価 (OK)	周囲及び敷地 周辺の地盤の 地盤土質調査	河床充填 (現状) 川岸の土質アノトキニアリヨウ	※ 地盤 による 地盤変形	地盤変動の地盤変形により、洗削洗削、アカシマーティンゲート面、河岸侵食による地盤変形が想定される。既存の地盤では、 <u>津波評価</u> で考慮する。	既存・新津八郎十才キルメシタツア地盤の地盤変形(既存リムル及び海側斜面の既存地盤)に対する、地盤変形による地盤変動による沈下を考慮し、沈下量を算出。日本水工規範第1部第3章第3節(既存地盤)第3-17項参照。 ・既存の地盤では、 <u>津波評価</u> として考慮する。 ・既存の地盤では、 <u>津波評価</u> として考慮しない。	※ 洗削	地盤について、アカシマーティンゲート面で洗削洗削が想定される。既存の地盤では、既存の地盤では、 <u>津波評価</u> として考慮する。	-	周辺山地の 海岸地形	既存の地盤変形 (現状)	※ 地盤 による 地盤変形	既存の山地の地盤変形の地盤変形により、洗削洗削、アカシマーティンゲート面、河岸侵食による地盤変形が想定される。既存が最も多く地盤変形(既存リムル)による地盤変動が想定される。既存の地盤では、既存の地盤では、 <u>津波評価</u> として考慮する。	既存の山地の地盤変形の地盤変形(既存リムル)による地盤変動に対する、地盤変形による沈下を考慮する。既存リムルの地盤変形を考慮し、入力津波の地盤変形に影響を与える場合には、 <u>津波評価</u> として考慮する。 ・既存リムルの地盤変形を考慮し、入力津波の地盤変形に影響を与えない場合には、 <u>津波評価</u> として考慮しない。	※ 洗削	既存の山地の地盤変形(既存リムル)による地盤変動に対する、地盤変形による沈下を考慮する。既存リムルの地盤変形を考慮し、入力津波の地盤変形に影響を与えない場合には、 <u>津波評価</u> として考慮しない。	■	<p>【女川、島根】記載方針の相違</p> <ul style="list-style-type: none"> <li>泊では、「基準津波及び耐津波設計方針に係る審査ガイド」との対応を明確にするため、同ガイド「3.2.2 地震・津波による地形等の変化に係る評価」の(1)～(4)に対応する章項目を設けていることから、資料構成が異なる(目次参照)。</li> </ul> <p>【女川、島根】記載方針の相違</p> <ul style="list-style-type: none"> <li>泊は敷地及び敷地周辺の特徴を踏まえ、入力津波に影響を与える可能性のある要因を網羅する観点で、敷地の地盤変状の検討対象を一覧表で示す。</li> </ul>
地盤及び敷地周辺の地形・人の結び物	地上面の地盤 河川の地盤	被定められた 地盤の地盤	津波評価に与える影響	実質的評価 (OK)																				
周囲及び敷地 周辺の地盤の 地盤土質調査	河床充填 (現状) 川岸の土質アノトキニアリヨウ	※ 地盤 による 地盤変形	地盤変動の地盤変形により、洗削洗削、アカシマーティンゲート面、河岸侵食による地盤変形が想定される。既存の地盤では、 <u>津波評価</u> で考慮する。	既存・新津八郎十才キルメシタツア地盤の地盤変形(既存リムル及び海側斜面の既存地盤)に対する、地盤変形による地盤変動による沈下を考慮し、沈下量を算出。日本水工規範第1部第3章第3節(既存地盤)第3-17項参照。 ・既存の地盤では、 <u>津波評価</u> として考慮する。 ・既存の地盤では、 <u>津波評価</u> として考慮しない。																				
		※ 洗削	地盤について、アカシマーティンゲート面で洗削洗削が想定される。既存の地盤では、既存の地盤では、 <u>津波評価</u> として考慮する。	-																				
周辺山地の 海岸地形	既存の地盤変形 (現状)	※ 地盤 による 地盤変形	既存の山地の地盤変形の地盤変形により、洗削洗削、アカシマーティンゲート面、河岸侵食による地盤変形が想定される。既存が最も多く地盤変形(既存リムル)による地盤変動が想定される。既存の地盤では、既存の地盤では、 <u>津波評価</u> として考慮する。	既存の山地の地盤変形の地盤変形(既存リムル)による地盤変動に対する、地盤変形による沈下を考慮する。既存リムルの地盤変形を考慮し、入力津波の地盤変形に影響を与える場合には、 <u>津波評価</u> として考慮する。 ・既存リムルの地盤変形を考慮し、入力津波の地盤変形に影響を与えない場合には、 <u>津波評価</u> として考慮しない。																				
		※ 洗削	既存の山地の地盤変形(既存リムル)による地盤変動に対する、地盤変形による沈下を考慮する。既存リムルの地盤変形を考慮し、入力津波の地盤変形に影響を与えない場合には、 <u>津波評価</u> として考慮しない。	■																				

## 第5条 津波による損傷の防止

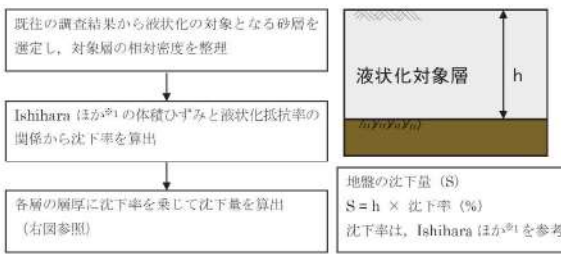
女川原子力発電所2号炉	島根原子力発電所2号炉	泊発電所3号炉	相違理由											
<p>(1) 沈下量設定方法について 護岸付近の地盤及び敷地は、搖すり込み及び液状化に伴う地盤の沈下が想定されることから、沈下量を算定して地形モデルに反映する沈下量を設定する。</p> <p>防波壁は、堅固な岩盤（一部、改良地盤）に支持されていることから、地震に伴う沈下は発生しない。一方、防波壁前面に存在する埋戻土（掘削ズリ）及び砂礫層は、地震時の液状化による沈下及び搖すり込みによる沈下が発生する可能性があるため、防波壁前面の沈下量算定の対象層とする。</p> <p>埋戻土（掘削ズリ）及び砂礫層の土質区分を図3-1に示す。埋戻土（掘削ズリ）は、粒径10mm以上の礫が主体であるが、粒径2mm未満の砂も含む土層である。砂礫層は、50%粒径が10mm以下、かつ10%粒径が1mm以下であり、細粒分含有率が35%以下の土層である。</p> <p>また、護岸に使用している基礎捨石及び埋戻土（粘性土）については液状化評価対象層ではないが、入力津波の設定における影響要因の検討の際には保守的に沈下量算定の対象層とする。</p> <p>津波解析にあたっては、沈下量を算定し、地形モデルに反映する。なお、沈下量は、液状化及び搖すり込みに伴う沈下並びに液状化に伴う側方流動による沈下に分けて算出し、これらを合わせて設定する。</p>  <table border="1"> <thead> <tr> <th>地盤名</th> <th>50%粒径 (平均) (mm)</th> <th>10%粒径 (平均) (mm)</th> <th>細粒分含有率 (平均) (%)</th> </tr> </thead> <tbody> <tr> <td>埋戻土 (掘削ズリ)</td> <td>16.5</td> <td>-</td> <td>-</td> </tr> <tr> <td>砂礫層</td> <td>9.1</td> <td>0.0651</td> <td>15.6</td> </tr> </tbody> </table> <p>図3-1 埋戻土（掘削ズリ）及び砂礫層の土質区分</p>	地盤名	50%粒径 (平均) (mm)	10%粒径 (平均) (mm)	細粒分含有率 (平均) (%)	埋戻土 (掘削ズリ)	16.5	-	-	砂礫層	9.1	0.0651	15.6	<p>(b) 敷地地盤の地盤変状について イ. 沈下量設定方法について 敷地は、搖すり込み及び液状化に伴う地盤の沈下が想定されることから、地表面沈下量を算定して地形モデルに反映する沈下量を設定する。</p> <p>日本道路協会(2002, V耐震設計偏)に基づき、液状化検討対象層として地下水位以深の1, 2号埋戻土、3号埋戻土、砂層(As1層及びAs2層)及び砂礫層(Ag層)を選定した。1, 2号埋戻土、3号埋戻土及び砂礫層(Ag層)は、粒度分布により非液状化層と判定されるものもあるが、保守的に評価対象とする。砂層(As1層及びAs2層)及び砂礫層(Ag層)は、20m以深に分布する範囲についても保守的に評価対象とする。</p> <p>一方、粘土・シルト層(Ac層)については、日本道路協会(2002, V耐震設計偏)に基づき、「細粒分含有率FC&gt;35%、かづ塑性指数IP&gt;15」を満足しているとともに、建築基礎構造設計指針及び鉄道構造物等設計標準・同解説 耐震設計(平成24年9月)に基づき、「粘土分含有率Pc&gt;10%」及び「粘土分含有率Pc&gt;15%」を満足しているため、液状化検討の対象外とした。</p> <p>搖すり込みに伴う沈下量の算定は、不飽和地盤の搖すり込みによる沈下量を算定する。液状化に伴う沈下量の算定は、飽和地盤（飽和埋戻土及び飽和砂）における過剰間隙水圧の消散に伴う沈下と、液状化に伴う側方流動による沈下に分けて算定する。地震による沈下量は、地下水位以深の飽和地盤である埋戻土及び砂層の液状化に伴う側方流動による沈下量及び過剰間隙水圧消散による沈下量、地下水位以浅の埋戻土の搖すり込み沈下量の合計で算定する。なお、「別添1.1.3(1)b. 敷地周辺の週上・浸水域の把握」において把握した基準津波の週上域のうち、敷地の地盤について沈下量の設定を行うこととする。</p>	<p>【島根】設計方針の相違 ・泊では、4条まとめ資料「別紙9 施設の耐震評価に用いる地盤の液状化の評価方針」にて、日本道路協会(2002, V耐震設計偏)に基づき、液状化検討対象層を抽出している。</p> <p>【女川、島根】記載方針の相違 ・女川・島根と同様に、液状化に伴う側方流動による変形量と過剰間隙水圧消散による沈下量又は地下水位以浅の搖すり込み沈下量の合計で最終沈下量を算定している設計方針に相違はない。</p>
地盤名	50%粒径 (平均) (mm)	10%粒径 (平均) (mm)	細粒分含有率 (平均) (%)											
埋戻土 (掘削ズリ)	16.5	-	-											
砂礫層	9.1	0.0651	15.6											

## 第5条 津波による損傷の防止

女川原子力発電所2号炉	島根原子力発電所2号炉	泊発電所3号炉	相違理由
<p>(2) 沈下量算定断面について</p> <p>敷地前面における平面図及び各測線における地質断面図を図1～4に示す。</p> <p>地震による剛性低下により沈下量が大きくなると想定される敷地前面については、旧表土が最も厚く堆積している断面（図2、A-A'断面）により沈下量を算定することとする。</p> <p>この断面により算定した沈下量を敷地前面に一様に適用し、津波遇上解析を行うこととする。</p>  <p>図1 敷地前面平面図</p>  <p>図2 A-A' 断面</p>			<p>【女川】記載方針の相違</p> <ul style="list-style-type: none"> <li>泊では、「ロ. (ハ) 不飽和地盤における搖すり込み及び飽和地盤における過剰間隙水圧消散に伴う沈下量」において、沈下量算定断面について記載する（島根と同様）。</li> </ul>

## 第5条 津波による損傷の防止

## 第5条 津波による損傷の防止

女川原子力発電所2号炉	島根原子力発電所2号炉	泊発電所3号炉	相違理由
<p>(3) 不飽和地盤における揺すり込み及び飽和地盤における過剰間隙水圧消散に伴う沈下</p> <p>a. 検討概要</p> <p>護岸付近及び防潮堤内敷地の地盤は、岩盤（孤崎部層及び牧の浜部層）、盛土、旧表土等から構成されている。</p> <p>飽和地盤（飽和盛土、飽和旧表土）における沈下量は、図5に示す算定フローにしたがって、地質断面図により算定した。</p>  <p>既往の調査結果から液状化の対象となる砂層を選定し、対象層の相対密度を整理 ↓ Ishihara (ほか) の体積ひずみと液状化抵抗率の関係から沈下率を算出 ↓ 各層の層厚に沈下率を乗じて沈下量を算出 (右図参照)</p> <p>既往の調査結果から液状化及び揺すり込み沈下の対象となる地層を選定し、対象層の平均相対密度を参考 ↓ Ishihara et al. (1992) の最大せん断ひずみと体積ひずみの関係から沈下率を算出 ↓ 各層の層厚に沈下率を乗じて沈下量を算出</p> <p>地盤の沈下量 (S) <math>S = h \times \text{沈下率} (\%)</math> 沈下率は、Ishihara (ほか) を参考</p> <p>地盤の沈下量 (S) <math>S = h \times \text{沈下率} (\%)</math> 沈下率は、Ishihara et al. (1992) を参考</p> <p>図5 飽和地盤における過剰間隙水圧消散に伴う沈下量の算定フロー</p>	<p>(1) 液状化及び揺すり込みに伴う沈下</p> <p>①検討概要</p> <p>敷地の地質は、新第三紀中新世の堆積岩類からなる成相寺層及び貫入岩類、並びにそれらを覆う被覆層から構成される。成相寺層は海成層で、下位より下部頁岩部層、火碎岩部層及び上部頁岩部層に区分される。被覆層は、崖錐・海底堆積物及び盛土からなる。崖錐・海底堆積物は主に疊混じり砂質土及び疊混じり粘性土からなる。敷地の被覆層である盛土は、埋戻土（掘削ズリ）と埋戻土（粘性土）に分類している。敷地の被覆層である崖錐・海底堆積物は、砂礫層として分類している。</p> <p>液状化及び揺すり込みに伴う沈下量は、図3-2に示す流れに従って、地質断面図により算定した。</p> <p>相対密度は、図3-3のとおり、港湾基準に基づき、マイヤホフにより提案されたN値と相対密度の関係式を用いて算出する。</p> <p>既往の調査結果から液状化及び揺すり込み沈下の対象となる地層を選定し、対象層の平均相対密度を参考 ↓ Ishihara et al. (1992) の最大せん断ひずみと体積ひずみの関係から沈下率を算出 ↓ 各層の層厚に沈下率を乗じて沈下量を算出</p> <p>地盤の沈下量 (S) <math>S = h \times \text{沈下率} (\%)</math> 沈下率は、Ishihara et al. (1992) を参考</p> <p>図3-2 液状化及び揺すり込みに伴う沈下量の算定フロー</p>	<p>口、不飽和地盤における揺すり込み及び飽和地盤における過剰間隙水圧消散に伴う沈下</p> <p>(イ) 検討概要</p> <p>敷地の地盤は、岩盤（神恵内層）、埋戻土、砂層等から構成されている。</p> <p>飽和地盤（飽和埋戻土及び飽和砂）の沈下量は、図2.1.c.b-1に示す流れに従って、地質断面図により算定した。</p> <p>既往の調査結果から液状化の対象となる埋戻土層、砂層を選定し、対象層の相対密度を整理 ↓ Ishihara et al. (1992) の体積ひずみと最大せん断ひずみの関係から沈下率を算出 ↓ 各層の層厚に沈下率を乗じて沈下量を算出 (右図参照)</p> <p>地盤の沈下量 (S) <math>S = h \times \text{沈下率} (\%)</math> 沈下率は、Ishihara et al. (1992) を参考</p> <p>図2.1.c.b-1 飽和地盤における過剰間隙水圧消散に伴う沈下量の算定フロー</p>	<p>【島根】設計方針の相違</p> <ul style="list-style-type: none"> <li>泊では、対象層の密度を直接測定し、相対密度を整理している（女川と同様）。</li> <li>島根では、マイヤホフより提案されたN値と相対密度の関係式から算出（推定）しているため、算出方法を補足している。</li> </ul> <p>【島根】記載方針の相違</p> <ul style="list-style-type: none"> <li>泊は揺すり込み沈下量の沈下率の算定方法を記載している（女川と同様）。</li> </ul>

なお、不飽和地盤の揺すり込み沈下量は、飽和地盤が完全に液状化した後の再圧密による体積収縮量と等しいと仮定し算定する。

これは海野ほか<sup>2)</sup>による、繰返せん断による体積収縮量は応力履歴に依存せず、せん断ひずみ履歴により決定され、同一のせん断ひずみ履歴を与えると不飽和地盤と飽和地盤の体積収縮量は等しくなることが示されているという知見を援用したものである。

$$Dr = 21 \cdot \left( \frac{100 \cdot N}{\sigma'_{v0} + 70} \right)$$

Dr: 相対密度 (%)  
N: 標準貫入試験値  
 $\sigma'_{v0}$ : 標準貫入試験値を測定した深度における有効土被り圧 ( $-y \times h$ ) ( $kN/m^2$ )  
 $y$ : 単位体積重量 ( $kN/m^3$ )  
h: 標準貫入試験値を測定した深度

図3-3 マイヤホフにより提案されたN値と相対密度の関係式

なお、不飽和地盤の揺すり込み沈下量は、飽和地盤が完全に液状化した後の再圧密による体積収縮量と等しいと仮定し算定する。

これは海野ほか<sup>(2006)</sup>による、繰返せん断による体積収縮量は応力履歴に依存せず、せん断ひずみ履歴により決定され、同一のせん断ひずみ履歴を与えると不飽和地盤と飽和地盤の体積収縮量は等しくなることが示されているという知見を援用したものである。

## 泊発電所3号炉 DB基準適合性 比較表

実線・・設計方針又は設備構成等の相違  
波線・・記載表現、設備名称の相違（実質的な相違なし）

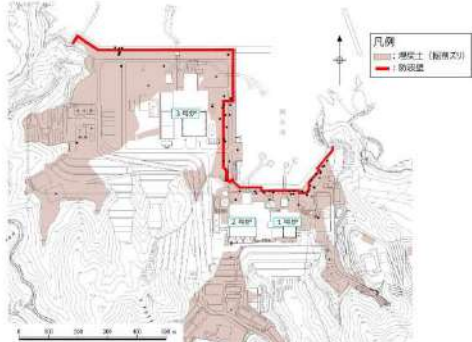
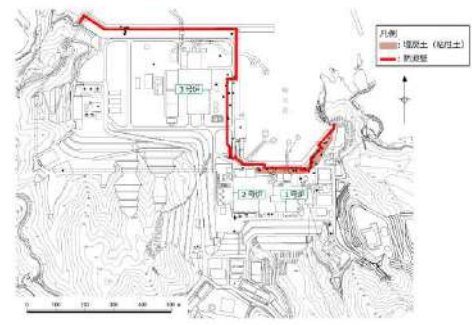
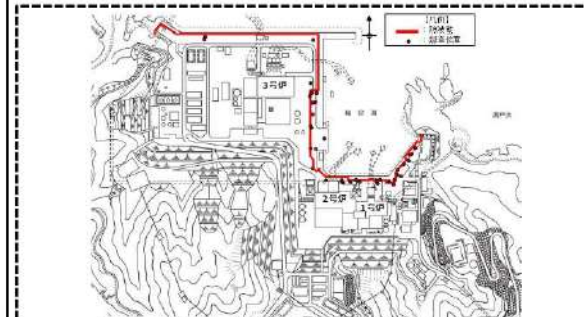
## 第5条 津波による損傷の防止

女川原子力発電所2号炉	島根原子力発電所2号炉	泊発電所3号炉	相違理由
<p>b. 評価対象層の選定及び相対密度の設定 過剰隙間水圧消散及び搔き込みによる沈下量算定の対象層として、<u>盛土・旧表土</u>を選定した。</p> <p>各層の沈下率は、図6に示す Ishihara ほか<sup>*1</sup> の地盤の相対密度に応じた体積ひずみと液状化抵抗率の関係から算出する。</p> <p>盛土の相対密度の調査位置及び調査結果を図7及び表1に示す。</p> <p>調査結果から沈下率の算出に用いる盛土の相対密度は保守的に90%とする。</p> <p>旧表土の相対密度の調査位置及び調査結果を図8及び表1に示す。</p> <p>調査結果から沈下率の算出に用いる旧表土の相対密度は保守的に60%とする。</p>	<p>②評価対象層の選定及び相対密度の設定 沈下量算定の対象層としては、埋戻土（掘削ズリ）、埋戻土（粘性土）及び砂礫層を選定した。 なお、埋戻土（粘性土）は、粘性土のため液状化しないが、保守的に埋戻土（掘削ズリ）に置き換えて沈下量を算出する。砂礫層は、粒径加積曲線が埋戻土（掘削ズリ）と同様な傾向を示すから、埋戻土（掘削ズリ）に置き換えて沈下量を算出する。埋戻土（掘削ズリ）、埋戻土（粘性土）及び砂礫層の分布を図3-4に示す。</p> <p>沈下率は、Ishihara et al. (1992) の地盤の相対密度に応じた最大せん断ひずみと体積ひずみ（沈下率）の関係から設定した。</p> <p>相対密度は、図3-5に示す位置において調査を実施し、図3-6に示すとおり平均で71.3%となり、ばらつきを考慮すると54.1%となる。</p> <p>Ishihara et al. (1992)の関係については、細粒分及び粗粒分が少なく粒径が比較的揃った液状化し易いきれいな砂による沈下率を示しており、埋戻土（掘削ズリ）と比較すると沈下率が大きくなると判断できるため、埋戻土（掘削ズリ）の沈下率を Ishihara et al. の関係より算定することにより保守的な評価を実施する。</p>	<p>(ロ) 評価対象層の選定及び相対密度の設定 沈下量算定の対象層としては、埋戻土及び砂層を選定した。</p> <p>沈下率は、Ishihara et al. (1992) の地盤の相対密度に応じた最大せん断ひずみと体積ひずみ（沈下率）の関係から設定した。</p> <p>埋戻土の相対密度の調査位置及び調査結果を図2.1.c.b-2及び図2.1.c.b-3並びに表2.1.c.b-1に示す。図2.1.c.b-2及び図2.1.c.b-3の調査位置図より、埋戻土が分布する範囲で網羅的に試験を実施している。</p> <p>調査結果に基づき沈下率の算出に用いる1,2号埋戻土及び3号埋戻土の相対密度は保守的に80%とする。</p> <p>砂層の相対密度の調査位置及び調査結果を図2.1.c.b-4及び図2.1.c.b-5並びに表2.1.c.b-1に示す。図2.1.c.b-4及び図2.1.c.b-5の調査位置図より、砂層が分布する範囲で網羅的に試験を実施している。</p> <p>調査結果に基づき沈下率の算出に用いるAs1層の相対密度は保守的に40%とし、As2層の相対密度は保守的に50%とする。</p> <p>Ishihara et al. (1992)の関係については、細粒分及び粗粒分が少なく粒径が比較的揃った液状化し易いきれいな砂による沈下率を示しており、埋戻土と比較すると沈下率が大きくなると判断できるため、埋戻土の沈下率を Ishihara et al. の関係より算定することにより保守的な評価を実施する。</p>	<p>【女川、島根】発電所立地の相違</p> <p>【島根】設計方針の相違</p> <ul style="list-style-type: none"> <li>泊では、対象層ごとの相対密度を網羅的に設定する（女川と同様）。</li> <li>島根では、埋戻土（粘性土）及び砂礫層の相対密度は、埋戻土（掘削ズリ）に置き換えて算出している。</li> </ul> <p>【女川】設計方針の相違</p> <ul style="list-style-type: none"> <li>泊では、地盤の相対密度に応じた最大せん断ひずみと体積ひずみ（沈下率）の関係から、沈下率を設定する（島根と同様）。</li> </ul> <p>【女川、島根】記載方針の相違</p> <ul style="list-style-type: none"> <li>泊では、調査位置の網羅性を示すため、対象層の分布と相対密度調査位置を1つの図にまとめて記載する。</li> </ul> <p>【女川、島根】発電所立地の相違</p> <p>【女川、島根】記載方針の相違</p> <ul style="list-style-type: none"> <li>泊では、調査位置の網羅性を示すため、対象層の分布と相対密度調査位置を1つの図にまとめて記載する。</li> </ul> <p>【女川、島根】発電所立地の相違</p>

泊発電所 3号炉 DB基準適合性 比較表

実線・・設計方針又は設備構成等の相違  
波線・・記載表現、設備名称の相違（実質的な相違なし）

第5条 津波による損傷の防止

女川原子力発電所 2号炉	島根原子力発電所 2号炉	泊発電所 3号炉	相違理由
	 <p>図 3-4 (1) 埋戻土（掘削ズリ）分布図</p>		<p>【女川、島根】記載方針の相違</p> <ul style="list-style-type: none"> <li>泊では、調査位置の網羅性を示すため、対象層の分布と相対密度調査位置を1つの図にまとめて記載する。</li> </ul>
	 <p>図 3-4 (2) 埋戻土（粘性土）分布図</p>		
 <p>図 7 盛土の相対密度調査位置図及び調査結果</p> <p>比較のため、図 3-4(2)と記載順序を入れ替え</p>	 <p>図 3-5 相対密度の調査位置</p>	 <p>図 2.1.c.b-2 埋戻土の相対密度調査位置図及び調査結果</p>	

## 泊発電所3号炉 DB基準適合性 比較表

実線・・設計方針又は設備構成等の相違

波線・・記載表現、設備名称の相違（実質的な相違なし）

## 第5条 津波による損傷の防止

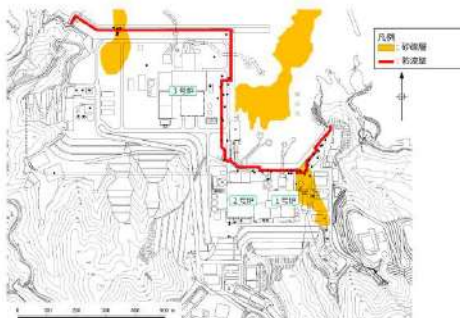
女川原子力発電所2号炉	島根原子力発電所2号炉	泊発電所3号炉	相違理由
			<p>【女川、島根】記載方針の相違 ・泊では、調査位置の網羅性を示すため、相対密度調査位置について、深度分布も記載する。</p>

図 2.1.c.b-3 埋戻土の相対密度調査位置（深度分布）

泊発電所3号炉 DB基準適合性 比較表

実線・・設計方針又は設備構成等の相違  
波線・記載表現、設備名称の相違（実質的な相違なし）

第5条 津波による損傷の防止

女川原子力発電所2号炉	島根原子力発電所2号炉	泊発電所3号炉	相違理由
	 <p>図3-4(3) 砂礫層分布図</p>		<p>【女川、島根】記載方針の相違</p> <ul style="list-style-type: none"> <li>泊では、調査位置の網羅性を示すため、対象層の分布と相対密度調査位置を1つの図にまとめ記載する。</li> </ul>
 <p>図8 旧表土の相対密度調査位置図及び調査結果</p>	 <p>図3-5 相対密度の調査位置</p> <p>比較のため、再掲</p>	 <p>図2.1.c.b-4 砂層の相対密度調査位置図及び調査結果</p>	<p>【女川、島根】記載方針の相違</p> <ul style="list-style-type: none"> <li>泊では、調査位置の網羅性を示すため、相対密度調査位置について、深度分布も記載する。</li> </ul>

## 泊発電所3号炉 DB基準適合性 比較表

実線・・設計方針又は設備構成等の相違

波線・・記載表現、設備名称の相違（実質的な相違なし）

## 第5条 津波による損傷の防止

女川原子力発電所2号炉	島根原子力発電所2号炉	泊発電所3号炉	相違理由						
	<p>図3-6 埋戻土(掘削ズリ)の相対密度</p> <table border="1"> <caption>相対密度Dr(%)</caption> <thead> <tr> <th>層別</th> <th>平均</th> <th>平均-1σ</th> </tr> </thead> <tbody> <tr> <td>埋戻土(掘削ズリ)</td> <td>71.3</td> <td>54.1</td> </tr> </tbody> </table>	層別	平均	平均-1σ	埋戻土(掘削ズリ)	71.3	54.1		<p>【島根】設計方針の相違</p> <ul style="list-style-type: none"> <li>泊では、対象層ごとの相対密度を網羅的に設定する（女川と同様）。</li> <li>島根では、埋戻土(粘性土)及び砂礫層の相対密度を、埋戻土(掘削ズリ)に置き換えて算出している。</li> </ul>
層別	平均	平均-1σ							
埋戻土(掘削ズリ)	71.3	54.1							

表1 盛土及び旧表土の相対密度の調査結果

地層	相対密度(%)	
	平均値	平均値- $\sigma$
盛土	121.2	95.5
旧表土	92.6	69.1

図3-6 埋戻土(掘削ズリ)の相対密度

表2.1.c.b-1 埋戻土及び砂層の相対密度の調査結果

地層	相対密度(%)	
	平均値	平均値- $\sigma$
1,2号埋戻土	106.0	89.3
3号埋戻土	101.1	82.2
As1層	64.0	45.1
As2層	67.2	58.1

## 第5条 津波による損傷の防止

女川原子力発電所2号炉	島根原子力発電所2号炉	泊発電所3号炉	相違理由
<p>体積ひずみと液状化抵抗率の関係において、体積ひずみが最大となっている領域の飽和土は、完全に液状化した後の再圧密によって、粒子が再配列され間隙が最も小さくなつた状態を示しており、地震時のせん断ひずみ履歴による体積圧縮の最大値を示していると考えられる。飽和地盤の沈下率は、液状化判定によらずこの完全に液状化した状態を想定し、盛土は1.4%、旧表土は2.8%とする。</p> <p>なお、体積ひずみと液状化抵抗率の関係から算出した沈下率は、東北地方太平洋沖地震における女川原子力発電所の沈下実績（最大沈下率推定1.28%）を包含している。</p> <p>※1 Kenji Ishihara and Mitsutoshi Yoshimine (1992) : Evaluation Of Settlements In Sand Deposits Following Liquefaction During Earthquakes , Soils and Foundations Vol.32</p> <p>※2 海野寿康、風間基樹、渕岡良介、仙頭紀明 (2006) : 同一繰返せん断履歴における乾燥砂と飽和砂の体積収縮量の関係、土木学会論文集C, Vol.62</p>	<p>沈下率は図3-7に示すとおり、保守的に地震時の最大せん断ひずみを考慮せず、相対密度の平均値71.3%をもとに2.5%となるが、ばらつきを考慮し算出した相対密度54.1%をもとに、保守的に3.5%と評価する。</p> <p>比較のため、図3-4,5と記載順序を入れ替え</p>	<p>体積ひずみと最大せん断ひずみの関係を図2.1.c.b-6に示す。体積ひずみと最大せん断ひずみの関係において、体積ひずみが最大となっている領域の飽和土は、完全に液状化した後の再圧密によって、粒子が再配列され間隙が最も小さくなつた状態を示しており、地震時のせん断ひずみ履歴による体積圧縮の最大値を示していると考えられる。飽和地盤の沈下率は、液状化判定によらずこの完全に液状化した状態を想定し、1,2号埋戻土、3号埋戻土は1.7%，As1層は4.5%，As2層は3.5%とする。</p>	<p>【女川】設計方針の相違 ・泊では、地盤の相対密度に応じた最大せん断ひずみと体積ひずみ（沈下率）の関係から、沈下率を設定する（島根と同様）。</p> <p>【島根】設計方針の相違 ・泊では、飽和地盤の沈下率を保守的に設定するため、液状化判定によらず完全に液状化したを想定し、沈下量を設定する（女川と同様）。</p> <p>【女川】記載方針の相違 ・島根実績の反映。</p> <p>【女川】記載方針の相違 ・泊では卷末に参考文献を記載している。</p>

図6 体積ひずみと液状化抵抗率の関係  
(Ishiharaほか(1992)に加筆)

図3-7 Ishihara et al. (1992) の地盤の最大せん断ひずみと体積ひずみの関係から設定した沈下率

図2.1.c.b-6 体積ひずみと最大せん断ひずみの関係  
(Ishihara et al. (1992) に一部加筆)

## 泊発電所3号炉 DB基準適合性 比較表

実線・・設計方針又は設備構成等の相違  
波線・・記載表現、設備名称の相違（実質的な相違なし）

## 第5条 津波による損傷の防止

女川原子力発電所2号炉	島根原子力発電所2号炉	泊発電所3号炉	相違理由
		<p>また、埋戻土の調査位置の代表性を確認することを目的として、図2.1.c.b-7に示す「敷地（陸域）」の地盤変状として沈下を考慮する範囲内における埋戻土の相対密度を用いて沈下率を算出した。</p> <p>その結果、1,2号埋戻土及び3号埋戻土の相対密度は保守的に80%、沈下率は1.7%となり、すべての調査位置の相対密度から算出した結果と変わらないことから、現状の調査位置が代表性を有していることを確認した。</p> <p>「敷地（陸域）」の地盤変状として沈下を考慮する範囲内における埋戻土の相対密度の調査位置及び調査結果を図2.1.c.b-7及び表2.1.c.b-2に示す。</p>	<p>【女川、島根】設計方針の相違</p> <ul style="list-style-type: none"> <li>泊では、調査位置の代表性を確認するために、埋戻土の相対密度を用いた沈下率を算出し、すべての調査位置から算出した結果と比較する。</li> </ul>

図2.1.c.b-7 敷地（陸域）の地盤変状として沈下を考慮する範囲における埋戻土の相対密度調査位置図及び調査結果

表2.1.c.b-2 敷地（陸域）の地盤変状として沈下を考慮する範囲における埋戻土の相対密度の調査結果

地層	相対密度 (%)	
	平均値	平均値 - σ
1,2号埋戻土	106.7	89.3
3号埋戻土	101.1	82.1

## 第5条 津波による損傷の防止

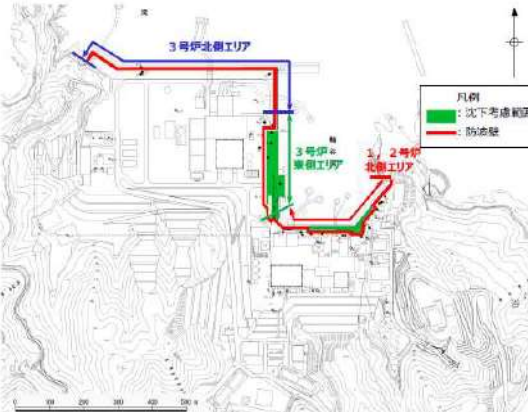
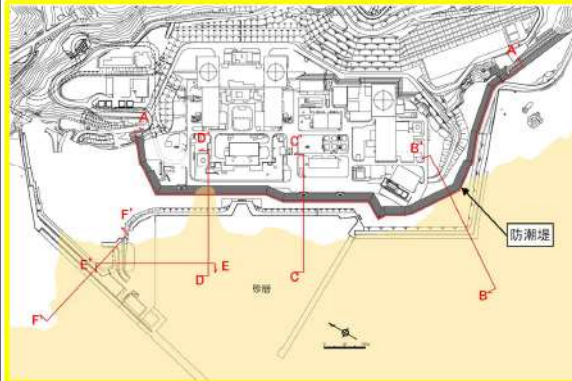
女川原子力発電所2号炉	島根原子力発電所2号炉	泊発電所3号炉	相違理由
<p>c. 護岸付近の地盤の沈下量</p> <p>護岸付近の不飽和地盤における揺すり込み及び飽和地盤における過剰間隙水圧消散に伴う沈下量は、護岸付近の防潮堤を縦断・直交する地質断面図に基づき算定した。</p> <p>平面図及び地質断面図を図9、10に示す。</p> <p>沈下量を算出する断面は、岩盤が深い位置にあり（盛土・旧表土が厚く堆積）、かつ沈下率が大きい旧表土が厚く分布する断面（②-②'断面）を抽出した。各層の層厚と沈下率から算出した沈下量の分布を図11に示す。</p> <p>平均沈下量は0.51m、最大沈下量は0.52mとなった。</p>	<p>③沈下量</p> <p>防波壁前面の沈下量は、防波壁前面に沈下量算定の対象層が存在する3号炉東側エリア及び1、2号炉北側エリアの地質断面図に基づき算定した。</p> <p>敷地平面図を図3-8に、沈下量算定の対象層が防波壁前面に分布する3号炉東側エリア及び1、2号炉北側エリアの地質断面図を図3-9に示す。</p> <p>図3-9に示すとおり、3号炉東側エリアには、沈下量算定の対象層である埋戻土（掘削ズリ）がEL.+8.5mからEL.-9.6mに存在する。1、2号炉北側エリアには、沈下量算定の対象層がEL.+8.5mからEL.-14.1mに存在する。なお、1、2号炉北側エリアの防波壁前面の砂礫層地盤改良範囲を考慮した液状化層厚は、地盤改良部において17.1m、施設護岸部において14.4mとなる。</p> <p>1、2号炉北側エリアの断面図を図3-10に示す。1、2号炉北側エリアに存在する砂礫層は地盤改良（①地盤改良部）されているが、防波壁前面において一部地盤改良されていない範囲（②施設護岸部）があるため、沈下量を算定する層厚を算定した。その結果、1、2号炉北側エリアにおける防波壁前面の沈下量を算定する層厚は地盤改良部において17.1m、施設護岸部において14.4mとなり、3号炉東側エリアにおける層厚18.1mを上回らないことを確認した。</p> <p>以上より、層厚が最大となるようEL.+8.5mからEL.-9.6mを考慮し、沈下量を算定するための層厚は18.1mとした。</p> <p>沈下量は、上記層厚及びIshihara et al. (1992) の関係を用いて相対密度の平均値にばらつきを考慮して保守的に設定した沈下率3.5%より0.65m*を保守的に考慮する。</p> <p>* 層厚18.1m×沈下率3.5%＝沈下量0.65m</p>	<p>(ハ) 不飽和地盤における揺すり込み及び飽和地盤における過剰間隙水圧消散に伴う沈下量</p> <p>沈下量が大きくなると想定される敷地の不飽和地盤における揺すり込み及び飽和地盤における過剰間隙水圧消散に伴う沈下量は、防潮堤沿線から砂層が分布するエリアや荷揚岸壁周辺エリアを選定することとし、護岸仕様、埋戻土及び砂層の厚さ、岩盤傾斜に着目した地質断面図に基づき算定した。</p> <p>敷地における平面図及び各断面における地質断面図を図2.1.c.b-8～2.1.c.b-14に示す。</p> <p>沈下量を算出する代表断面は、表2.1.c.b-3より、埋戻土及び砂層がより厚く岩盤が急傾斜である断面（B-B'断面）を抽出した。B-B'断面の各層の層厚と沈下率からした沈下量の分布を図2.1.c.b-15に示す。</p> <p>図2.1.c.b-15に示すとおり、防潮堤前面には、自然地盤の砂層であるAs1層とAs2層、粘性土層のAc層が分布しており、自然地盤の上に埋戻土が分布している。自然地盤の上面はT.P.-11m程度で平坦で、埋戻土の厚さは防潮堤から海側の護岸にかけて約21m～17mであり、層厚に沈下率1.7%を乗じて沈下量を算出した。</p> <p>As1層とAs2層は、全体の層厚は、防潮堤から海側の護岸にかけて約4m～38mであり、As1層の全層厚に沈下率4.5%を、As2層の全層厚に沈下率3.5%を乗じて沈下量を算出した。</p>	<p>【女川、島根】発電所立地の相違</p> <p>【女川、島根】記載方針の相違</p> <ul style="list-style-type: none"> <li>泊では、沈下量を算出する代表断面の妥当性を明確にするため、一覧表にて候補となる断面を網羅的に示したうえで、代表断面の抽出理由を示す。</li> </ul> <p>【島根】記載方針の相違</p> <ul style="list-style-type: none"> <li>泊では、沈下量設定の妥当性を明確にするため、代表断面における沈下量の分布を図示する（女川と同様）。</li> </ul> <p>【女川、島根】発電所立地の相違</p>

泊発電所3号炉 DB基準適合性 比較表

実線・・設計方針又は設備構成等の相違

波線・・記載表現、設備名称の相違（実質的な相違なし）

第5条 津波による損傷の防止

女川原子力発電所2号炉	島根原子力発電所2号炉	泊発電所3号炉	相違理由																																				
 <b>図9 平面図</b>	 <b>図3-8 敷地平面図</b>	<p><b>表 2.1.c.b-3 地表面沈下量を適用する代表断面設定</b></p> <table border="1"> <thead> <tr> <th>断面</th> <th>護岸仕様 形式 基礎</th> <th>埋戻土厚さ</th> <th>護岸直下の 砂層厚さ</th> <th>岩盤傾斜</th> <th>評価</th> </tr> </thead> <tbody> <tr> <td>B-B'</td> <td>ケーブル 砂層</td> <td>全体：約22m程度 地下水位以深 ：約12m程度</td> <td>55m程度</td> <td>山側は急傾斜で 護岸直下より海側 は緩やか。</td> <td>防潮堤海側の砂層が 最も厚く岩盤が急傾 斜である：○*</td> </tr> <tr> <td>C-C'</td> <td>捨石 傾斜</td> <td>全体：約20m程度 地下水位以深 ：約10m程度</td> <td>無し</td> <td>ほぼ平坦</td> <td>護岸は岩着し砂層は 防潮堤から護岸の間 に存在しない：△*</td> </tr> <tr> <td>D-D'</td> <td>捨石 傾斜</td> <td>全体：約25m程度 地下水位以深 ：約15m程度</td> <td>20m程度</td> <td>緩やか</td> <td>B-B' 断面よりも砂層 は薄く岩盤は緩やか (平坦・逆傾斜) で、埋戻土厚さが大き な差はない (E-E' 断面は小さい)：○*</td> </tr> <tr> <td>E-E'</td> <td>ケーブル 砂層</td> <td>全体：約14m程度 地下水位以深 ：約10m程度</td> <td>25m程度</td> <td>ほぼ平坦</td> <td></td> </tr> <tr> <td>F-F'</td> <td>ケーブル 砂層</td> <td>全体：約25m程度 地下水位以深 ：約15m程度</td> <td>25m程度</td> <td>谷形状で 海側に逆傾斜</td> <td></td> </tr> </tbody> </table> <p>※沈下量の大きさ ○：大、○：中、△：小</p>  <b>図2.1.c.b-8 敷地平面図</b>	断面	護岸仕様 形式 基礎	埋戻土厚さ	護岸直下の 砂層厚さ	岩盤傾斜	評価	B-B'	ケーブル 砂層	全体：約22m程度 地下水位以深 ：約12m程度	55m程度	山側は急傾斜で 護岸直下より海側 は緩やか。	防潮堤海側の砂層が 最も厚く岩盤が急傾 斜である：○*	C-C'	捨石 傾斜	全体：約20m程度 地下水位以深 ：約10m程度	無し	ほぼ平坦	護岸は岩着し砂層は 防潮堤から護岸の間 に存在しない：△*	D-D'	捨石 傾斜	全体：約25m程度 地下水位以深 ：約15m程度	20m程度	緩やか	B-B' 断面よりも砂層 は薄く岩盤は緩やか (平坦・逆傾斜) で、埋戻土厚さが大き な差はない (E-E' 断面は小さい)：○*	E-E'	ケーブル 砂層	全体：約14m程度 地下水位以深 ：約10m程度	25m程度	ほぼ平坦		F-F'	ケーブル 砂層	全体：約25m程度 地下水位以深 ：約15m程度	25m程度	谷形状で 海側に逆傾斜		<p><b>【女川、島根】記載方針の相違</b></p> <ul style="list-style-type: none"> <li>泊では、沈下量を算出する代表断面の妥当性を明確にするため、一覧表にて候補となる断面を網羅的に示したうえで、代表断面の抽出理由を示す。</li> </ul>
断面	護岸仕様 形式 基礎	埋戻土厚さ	護岸直下の 砂層厚さ	岩盤傾斜	評価																																		
B-B'	ケーブル 砂層	全体：約22m程度 地下水位以深 ：約12m程度	55m程度	山側は急傾斜で 護岸直下より海側 は緩やか。	防潮堤海側の砂層が 最も厚く岩盤が急傾 斜である：○*																																		
C-C'	捨石 傾斜	全体：約20m程度 地下水位以深 ：約10m程度	無し	ほぼ平坦	護岸は岩着し砂層は 防潮堤から護岸の間 に存在しない：△*																																		
D-D'	捨石 傾斜	全体：約25m程度 地下水位以深 ：約15m程度	20m程度	緩やか	B-B' 断面よりも砂層 は薄く岩盤は緩やか (平坦・逆傾斜) で、埋戻土厚さが大き な差はない (E-E' 断面は小さい)：○*																																		
E-E'	ケーブル 砂層	全体：約14m程度 地下水位以深 ：約10m程度	25m程度	ほぼ平坦																																			
F-F'	ケーブル 砂層	全体：約25m程度 地下水位以深 ：約15m程度	25m程度	谷形状で 海側に逆傾斜																																			

泊発電所3号炉 DB基準適合性 比較表

実線・・設計方針又は設備構成等の相違

波線・・記載表現、設備名称の相違（実質的な相違なし）

第5条 津波による損傷の防止

女川原子力発電所2号炉	島根原子力発電所2号炉	泊発電所3号炉	相違理由

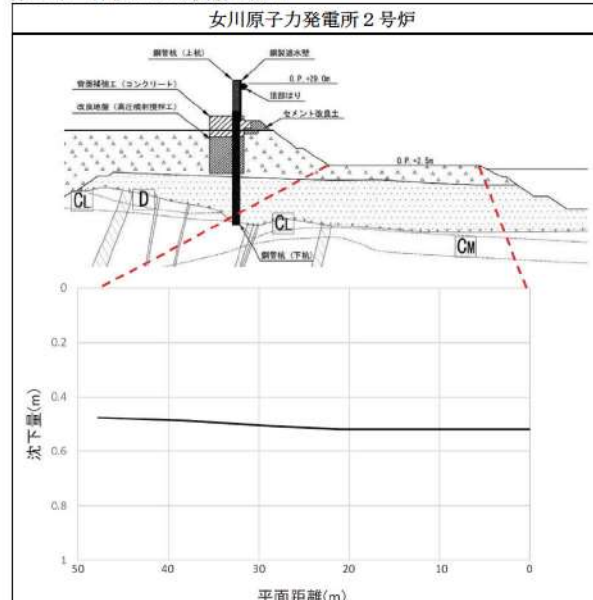
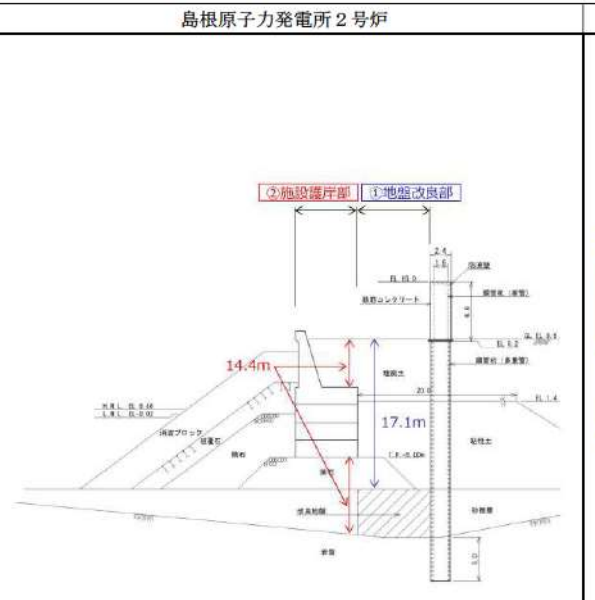
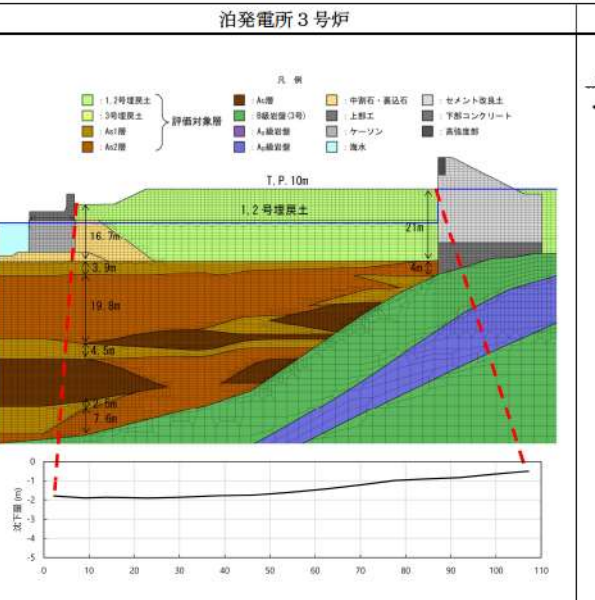
## 泊発電所3号炉 DB基準適合性 比較表

実線・・設計方針又は設備構成等の相違  
波線・・記載表現、設備名称の相違（実質的な相違なし）

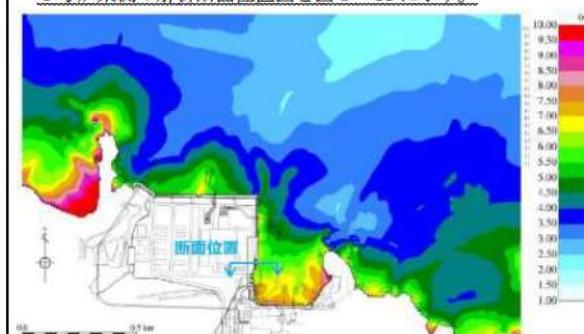
## 第5条 津波による損傷の防止

女川原子力発電所2号炉	島根原子力発電所2号炉	泊発電所3号炉	相違理由
			【女川、島根】発電所立地の相違
			【女川、島根】発電所立地の相違
			【女川、島根】発電所立地の相違

## 第5条 津波による損傷の防止

女川原子力発電所2号炉	島根原子力発電所2号炉	泊発電所3号炉	相違理由
 <p>図 11 護岸付近の不飽和地盤における挿すり込み及び飽和地盤における過剰間隙水圧消散に伴う沈下量 (②-②' 断面)</p>	 <p>図 3-10 断面図 (1, 2号炉北側エリア)</p>	 <p>図 2.1.c, b-15 不飽和地盤における挿すり込み及び飽和地盤における過剰間隙水圧消散に伴う沈下量 (B-B' 断面)</p>	<p><b>【島根】記載方針の相違</b></p> <ul style="list-style-type: none"> <li>泊では、沈下量設定の妥当性を明確にするため、代表断面における沈下量の分布を図示する（女川と同様）。</li> </ul>

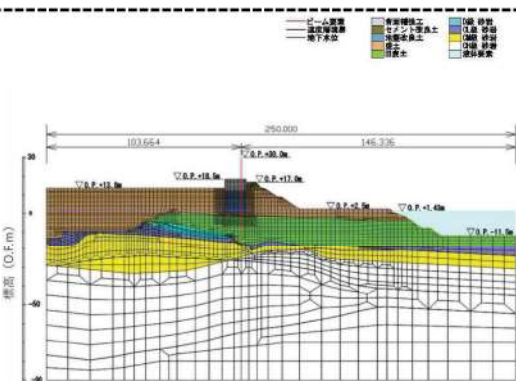
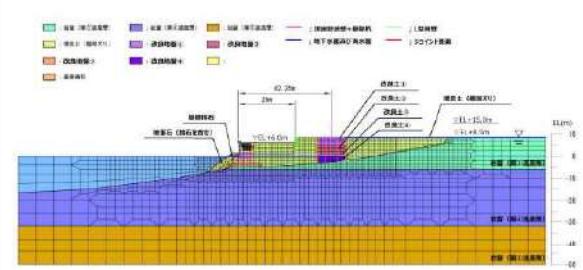
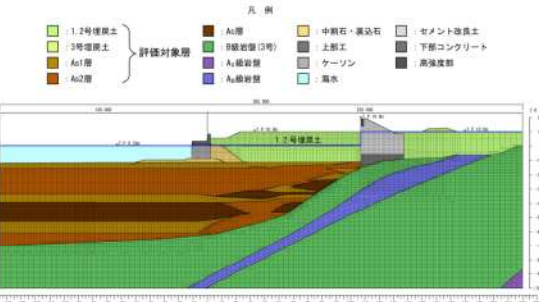
## 第5条 津波による損傷の防止

女川原子力発電所2号炉	島根原子力発電所2号炉	泊発電所3号炉	相違理由
<p>(4) 基準地震動 Ss に対する残留変形量（沈下量）</p> <p>a. 評価方針</p> <p>護岸付近の地盤については、基準地震動 Ss 時の地盤の液状化による側方流動に伴う沈下が想定されることから、二次元有効応力解析（解析コード「FLIP Ver. 7.1.9」）により沈下量を算定した。評価を行う解析断面は、2. (1) と同様の断面を選定した（図 12）。</p> <p>FLIP による沈下量は、地盤改良を実施しない箇所にも適用するため、算定に当たっては、盛土及び旧表土に対する追加の地盤改良（防潮堤直下及び前面）を考慮しない評価を行う。</p>  <p>図 12 評価断面位置</p> <p>b. 解析条件</p> <p>解析モデル図を図 13 に示す。地盤は、地質区分に基づき平面ひずみ要素でモデル化し、鋼管杭ははり要素でモデル化した。</p> <p>防潮堤の設置により、防潮堤よりも山側の敷地には基準津波による週上波を地上部から到達させない設計としている。津波週上解析においては、防潮堤の鋼製遮水壁の箇所で全反射する条件となるため、入力津波の算定に影響するのは防潮堤よりも海側の敷地の沈下のみである。</p>	<p>(2) 液状化に伴う側方流動による沈下</p> <p>①評価方針</p> <p>地震時の地盤の液状化に伴う側方流動が想定されることから、二次元有効応力解析（解析コード「FLIP Ver. 7.1.9」）により側方流動による沈下量を算定する。評価を行う解析断面は、以下の観点から 3 号炉東側エリアの沈下による週上の影響が大きいと判断し、3 号炉東側エリアを対象として、有効応力解析を実施する。</p> <ul style="list-style-type: none"> <li>・ 1. 2 号炉北側エリアと比較して埋戻土（掘削ズリ）の分布が広範囲かつ層厚が厚いこと</li> <li>・ 1. 2 号炉北側エリアと比較して基準津波週上範囲が広いこと</li> </ul> <p>3 号炉東側の解析断面位置図を図 3-11 に示す。</p>  <p>図 3-11 解析断面位置図</p> <p>②解析条件</p> <p>3 号炉東側断面の解析モデル図を図 3-12 に示す。地盤は、地質区分に基づき平面ひずみ要素でモデル化し、防波壁は、線形はり要素でモデル化した。</p>	<p>ハ. 液状化に伴う側方流動による沈下量</p> <p>(イ) 評価方針</p> <p>地震時の地盤の液状化に伴う側方流動が想定されることから、二次元有効応力解析（解析コード「FLIP Ver. 7.2.3.4」）により側方流動による沈下量を算定する。評価を行う解析断面は、c. (b) ロ (ハ) に示すとおり、B-B' 断面（図 2.1.c.b-8 及び図 2.1.c.b-10）を対象として、有効応力解析を実施する。</p> <p>【島根】設計方針の相違</p> <ul style="list-style-type: none"> <li>・ 泊では、側方流動による沈下量を算定する断面についても、不飽和地盤における搔り込み及び飽和地盤における過剰間隙水圧消散に伴う沈下量を算定する断面と同様に選定する（女川と同様）。</li> </ul> <p>【女川】設計方針の相違</p> <ul style="list-style-type: none"> <li>・ 女川では、防潮堤直下及び前面を追加で地盤改良することとしているため、当該箇所の FLIP における扱いを示している。</li> </ul> <p>【女川、島根】記載方針の相違</p> <ul style="list-style-type: none"> <li>・ 泊では、側方流動による沈下量を算定する断面についても、不飽和地盤における搔り込み及び飽和地盤における過剰間隙水圧消散に伴う沈下量を算定する断面と同様に選定するため、前述の図を呼び込む。</li> </ul> <p>【女川、島根】発電所立地の相違</p> <p>【女川、島根】防潮堤設計の相違</p> <p>【女川】記載方針の相違</p> <ul style="list-style-type: none"> <li>・ 島根実績の反映</li> </ul>	<p>【島根】設計方針の相違</p> <ul style="list-style-type: none"> <li>・ 泊では、側方流動による沈下量を算定する断面についても、不飽和地盤における搔り込み及び飽和地盤における過剰間隙水圧消散に伴う沈下量を算定する断面と同様に選定する（女川と同様）。</li> </ul> <p>【女川】設計方針の相違</p> <ul style="list-style-type: none"> <li>・ 女川では、防潮堤直下及び前面を追加で地盤改良することとしているため、当該箇所の FLIP における扱いを示している。</li> </ul> <p>【女川、島根】記載方針の相違</p> <ul style="list-style-type: none"> <li>・ 泊では、側方流動による沈下量を算定する断面についても、不飽和地盤における搔り込み及び飽和地盤における過剰間隙水圧消散に伴う沈下量を算定する断面と同様に選定するため、前述の図を呼び込む。</li> </ul> <p>【女川、島根】発電所立地の相違</p> <p>【女川、島根】防潮堤設計の相違</p> <p>【女川】記載方針の相違</p> <ul style="list-style-type: none"> <li>・ 島根実績の反映</li> </ul>

泊発電所3号炉 DB基準適合性 比較表

実線・・設計方針又は設備構成等の相違  
波線・・記載表現、設備名称の相違（実質的な相違なし）

第5条 津波による損傷の防止

女川原子力発電所2号炉	島根原子力発電所2号炉	泊発電所3号炉	相違理由
<p>防潮堤の下方は改良地盤及び置換コンクリートにより地下水位を遮断する形になるため、防潮堤より海側の敷地には地下水位低下設備の影響は及ばず、入力津波の算定に考慮する敷地の沈下の影響検討に用いる地下水位は朔望平均満潮位0.P.+1.43mとし、地下水位低下設備の効果を考慮しない設計とする。</p> <p>入力地震動は、盛土・旧表土の過剰間隙水圧上昇に伴う剛性低下の影響を考慮し、基準地震動 Ss のうち継続時間が最も長く、剛性低下に伴う残留変形が大きくなると考えられる Ss-D1 を代表波として採用し、一次元波動論によって解析モデル下端位置で評価した波形を用いた。</p> <p>※ L.W.L.EL.-0.02m+1/3 × (H.W.L.EL.+0.46m-L.W.L.EL.-0.02m)=EL.+0.14m</p>  <p>図 13 解析モデル図</p> <p>比較のため、直後の文章と記載順序を入れ替え</p>	<p>地下水位は、防波壁周辺の朔望平均満潮位 (E.L.+0.58m) 前後であることから、港湾基準に準じて E.L.+0.14m※とする。</p> <p>入力地震動は、表 3-1 に示すとおり、基準地震動のうち、繰返し応力及び繰返し回数に着目し、水平加速度が大きく、継続時間が長い地震動が液化評価において最も厳しいと考えられることから、Ss-D を選定する。したがって、基準地震動 Ss-D を、一次元波動論によって解析モデル下端位置で評価した波形を用いた。</p> <p>※ L.W.L.EL.-0.02m+1/3 × (H.W.L.EL.+0.46m-L.W.L.EL.-0.02m)=EL.+0.14m</p>  <p>図 3-12 解析モデル図 (3号炉東側断面)</p>	<p>防潮堤により地下水を遮断する形になるため、防潮堤より海側の敷地には山側の地下水の影響が及ばないことから、防潮堤より海側の地下水位は朔望平均満潮位 T.P. 0.26m とする。</p> <p>入力地震動は、基準地震動のうち、繰返し応力及び繰返し回数に着目し、水平加速度が大きく継続時間が長い地震動が液化評価において最も厳しいと考えられることから、基準地震動 Ss1 を選定する。したがって、基準地震動 Ss1 を、一次元波動論によって解析モデル下端位置で評価した波形を用いた。</p>  <p>図 2.1.c.b-16 解析モデル図 (B-B' 断面)</p>	<p>【島根】設計方針の相違</p> <ul style="list-style-type: none"> <li>泊では、防潮堤より海側の地下水位について、保守的な設定となるよう朔望平均満潮位とする（女川と同様）。</li> </ul> <p>【女川、島根】基準地震動の相違</p> <p>【女川、島根】発電所立地の相違</p>

## 泊発電所3号炉 DB基準適合性 比較表

実線・・設計方針又は設備構成等の相違  
波線・・記載表現、設備名称の相違（実質的な相違なし）

## 第5条 津波による損傷の防止

女川原子力発電所2号炉	島根原子力発電所2号炉	泊発電所3号炉	相違理由
<p>液状化の評価対象として取り扱う<u>盛土</u>、<u>旧表土</u>の有効応力解析に用いる液状化パラメータは、液状化試験結果に基づいて、<u>地盤のばらつき等を考慮し</u>、保守的に設定した。</p> <p><u>盛土</u>、<u>旧表土</u>の液状化試験結果から設定した<u>解析上の液状化強度曲線</u>を図14、15に示す。</p>	<p>地盤の物性値は、「<u>島根原子力発電所2号炉設計基準対象施設について 第4条：地震による損傷の防止 別紙-11 液状化影響の検討方針について</u>」の検討方針に基づき設定した。</p> <p>液状化の評価対象として取り扱う<u>埋戻土</u>（<u>掘削ズリ</u>）及び<u>砂礫層</u>の有効応力解析に用いる液状化パラメータは、液状化試験結果（<u>繰返し非排水せん断試験結果</u>）に基づき、<u>地盤のばらつき等を考慮し</u>、保守的に<u>簡易設定法</u>により設定した。</p> <p>試験結果等から設定した解析上の液状化強度曲線を図3-13に示す。</p> <p>解析用地盤物性値を表3-2に示す。</p>	<p>地盤の物性値は、「<u>泊発電所3号炉設置許可基準規則等への適合状況について（設計基準対象施設等） 第4条：地震による損傷の防止 別紙-9 施設の耐震評価に用いる地盤の液状化の評価方針</u>」の検討方針に基づき設定した。</p> <p>液状化の評価対象として取り扱う<u>埋戻土</u>、<u>砂層</u>の有効応力解析に用いる液状化パラメータは、液状化試験結果（<u>繰返し非排水三軸試験結果</u>）に基づき、保守的に設定した。</p> <p>埋戻土及び<u>砂層</u>の液状化試験結果から設定した解析上の液状化強度曲線を図2.1.c.b-17に示す。</p> <p>なお、図2.1.c.b-16に示すB-B'断面は3号埋戻土エリアであるが、1、2号埋戻土は、3号埋戻土と比較してせん断強度が小さく<u>地震時の受働抵抗が小さく沈下が発生しやすい</u>と考えられることから、1、2号埋戻土の物性値及び液状化パラメータを採用し、保守的な条件を設定している。</p>	<p>【女川、島根】発電所立地の相違 【島根】液状化試験方法の相違 ・女川、泊は繰返し非排水三軸試験を採用する。 ・島根は繰返し非排水せん断試験を採用する。 【女川、島根】設計方針の相違 ・泊は保守的に繰返し非排水三軸試験結果から下限値で液状化パラメータを設定していることから、ばらつきは考慮していない。また、1,2号埋戻土の物性値及び液状化パラメータを設定している。</p> <p>【女川、島根】評価条件の相違 ・泊は、算定断面（B-B'断面）における埋戻土の物性値及び液状化パラメータを、より沈下が発生しやすいと考えられる1,2号埋戻土の条件を適用し、保守的に設定している。</p>

泊発電所 3号炉 DB基準適合性 比較表

実線・・設計方針又は設備構成等の相違  
波線・・記載表現、設備名称の相違（実質的な相違なし）

第5条 津波による損傷の防止

女川原子力発電所 2号炉	島根原子力発電所 2号炉	泊発電所 3号炉	相違理由
<p>図 14 液状化強度曲線(盛土)</p>	<p>図 3-13 液状化強度曲線</p>	<p>(1, 2号埋戻土)</p> <p>(3号埋戻土)</p> <p>図 2.1.c.b-17 (1) 液状化強度曲線(1/2)</p>	<p>【女川、島根】評価結果の相違</p> <ul style="list-style-type: none"> <li>地質、液状化試験方法の相違により、各サイトで液状化強度曲線が異なる。</li> </ul>

## 第5条 津波による損傷の防止

女川原子力発電所 2号炉

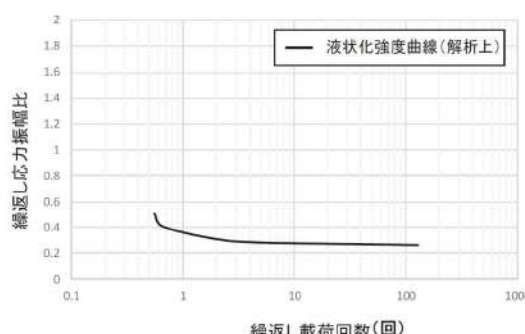
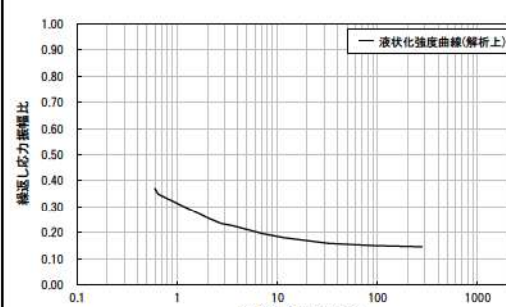


図 15 液状化強度曲線（旧表土）

島根原子力発電所 2号炉



(As1層)

(As<sub>2</sub> 層)

図 2.1.c.b-17 (2) 液状化強度曲線 (2/2)

表 3-2 解析用地盤物性值

【女川、島根】評価結果の相違  
 ・地質、液状化試験方法の相違により、各サイトで液状化強度曲線が異なる。

【女川、島根】評価結果の相違  
・地質、液状化試験方法の相違により、各サイトで液状化強度曲線が異なる。

## 泊発電所3号炉 DB基準適合性 比較表

実線・・設計方針又は設備構成等の相違  
波線・・記載表現、設備名称の相違（実質的な相違なし）

## 第5条 津波による損傷の防止

女川原子力発電所2号炉	島根原子力発電所2号炉	泊発電所3号炉	相違理由
<p>c. 評価結果</p> <p>残留沈下量（変形量）を図16に示す。 防潮堤海側の護岸付近については、護岸の海側への変位に伴い、局所的に1m程度の変位が生じているものの、おおむね0.07m以下の沈下量であり、側方流動による沈下への影響は小さい（平均沈下量0.07m）。</p>	<p>③評価結果</p> <p>基準地震動 S s-D による3号炉東側の最終変形量を図3-14に示す。防波壁より海側では、L型擁壁までのE L.+8.5m盤において、防波壁直下の改良地盤と埋戻土（掘削ズリ）の境界部を中心とした比較的大きな沈下が確認される。これは、地震によるL型擁壁の海側への傾きに伴い、埋戻土（掘削ズリ）が自立する改良地盤から海側へ側方流動したことによるものである。</p> <p>なお、解析条件については、以下のとおり保守的に設定する。</p> <ul style="list-style-type: none"> <li>敷地内の地下水位については、防波壁より海側の地下水位を海水位に、防波壁より陸側の地下水位を地表面に設定する。</li> <li>埋戻土（掘削ズリ）の液状化強度特性は敷地全体のN値に基づく簡易設定法<sup>*</sup>により設定する。</li> </ul> <p>津波が浸水するE L.+6.0m盤における沈下量は0.04m程度であるが、海岸線から離れたE L.+8.5m盤では改良地盤近傍で局所的に1~2m程度の沈下が生じている。このため、側方流動によるE L.+6.0m盤からE L.+8.5m盤全体の沈下量としては、E L.+6.0m盤からE L.+8.5m盤の埋戻土（掘削ズリ）の各節点における沈下量を節点数で割った平均沈下量（0.33m程度）を考慮し、保守的に0.35mとする。</p> <p><sup>*</sup>簡易設定法による液状化強度特性は、埋戻土（掘削ズリ）の液状化試験結果（ロータリー式三重管サンプラー及び表層試料採取）による液状化強度特性よりも十分保守的である。</p>	<p>(ハ) 評価結果</p> <p>液状化に伴う側方流動による沈下量を図2.1.c.b-18に示す。</p> <p>二次元有効応力解析により算出した液状化に伴う側方流動による沈下量は、防潮堤前面の防潮堤と埋戻土の境界部で局所的に4m程度、海側の護岸までの範囲は1.0m~2.5m程度の沈下量である。</p>	<p>【女川、島根】評価結果の相違</p> <ul style="list-style-type: none"> <li>評価方針及び解析条件の相違により、各サイトで沈下量の評価結果が異なる。</li> </ul>

泊発電所 3号炉 DB基準適合性 比較表

実線・・設計方針又は設備構成等の相違  
波線・・記載表現、設備名称の相違（実質的な相違なし）

第5条 津波による損傷の防止

女川原子力発電所 2号炉	島根原子力発電所 2号炉	泊発電所 3号炉	相違理由
<p>図 16 残留沈下量（変形量）</p>	<p>図 3-14 基準地震動の Ss-D による地表面最終変形量（3号炉東側断面）</p>	<p>図 2.1.c.b-18 液状化に伴う側方流動による沈下量（B-B' 断面）</p>	<p>【女川、島根】評価結果の相違</p> <ul style="list-style-type: none"> <li>・発電所立地地域の相違により、各サイトで残留沈下量の評価結果が異なる。</li> </ul>

## 泊発電所3号炉 DB基準適合性 比較表

実線・・設計方針又は設備構成等の相違  
波線・・記載表現、設備名称の相違（実質的な相違なし）

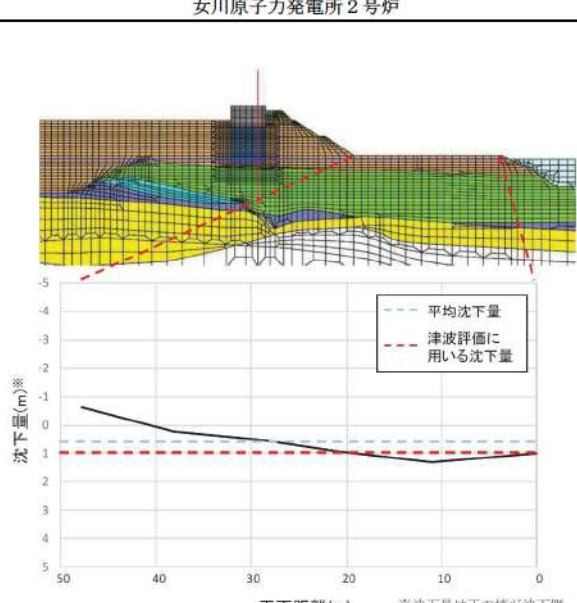
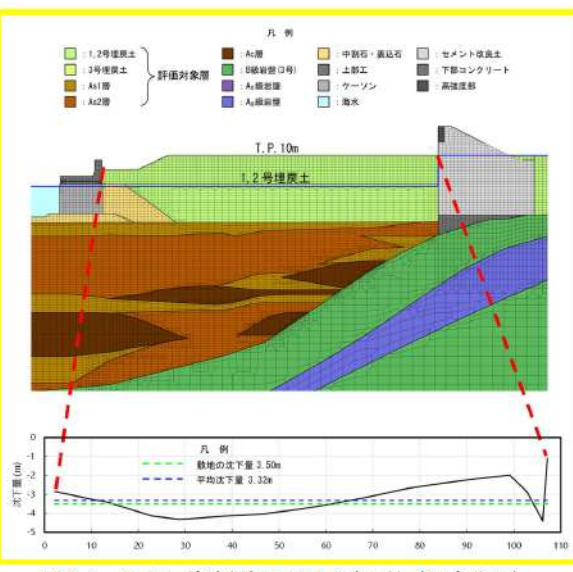
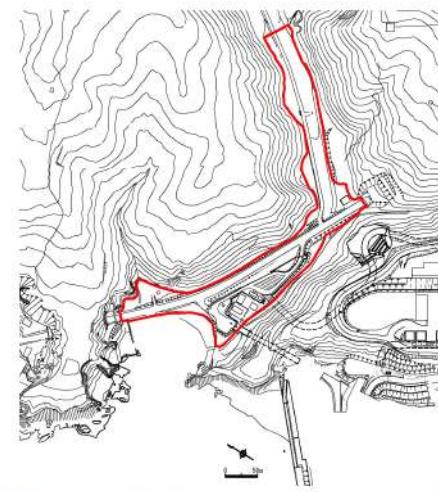
## 第5条 津波による損傷の防止

女川原子力発電所2号炉	島根原子力発電所2号炉	泊発電所3号炉	相違理由
<p>(5) 津波評価における沈下量の設定</p> <p>基準地震動 <math>S_s</math> による残留沈下量に、揺すり込み及び飽和地盤における過剰間隙水圧消散に伴う沈下量を加えた地表面沈下量を図 17 に示す。</p> <p>護岸付近の一部で局的に 1m を超える沈下が生じているものの、地表面沈下量はおおむね 1m 以内である（平均沈下量 0.57m）。</p> <p>上記より、津波週上解析における敷地前面の沈下量について、すべての範囲を 1m に設定し津波評価の地形モデルとして反映する。</p> <p>沈下を考慮する範囲を図 18 に示す。</p>	<p>(3) 津波評価における沈下量の設定</p> <p>津波評価における沈下は、沈下考慮範囲を対象とする（図 3-15）。また、荷揚場は一部岩着し、沈下しない範囲もあるが、本検討では、保守的に荷揚場全体が沈下する前提で検討を行い、護岸のパラペットについてもモデル化を行わないこととする。なお、防波壁周辺については、地盤改良を実施していることから、沈下しないこととする。</p> <p>液状化及び揺すり込みに伴う沈下量を相対密度の平均値から求まる沈下率（2.5%）による 0.5m としていたが、保守的にばらつきを考慮した相対密度から求まる沈下率（3.5%）による 0.65m を採用し、側方流動による沈下量 0.35m を加え、1m とした。</p>	<p>二、津波評価における沈下量の設定</p> <p>基準地震動による液状化に伴う側方流動による沈下量に、不飽和地盤における揺すり込み及び飽和地盤における過剰間隙水圧消散に伴う沈下量を加えた沈下量を図 2.1.c.b-19 に示す。</p> <p>敷地 T.P. 10m 盤の法肩付近と防潮堤前面の一部で局的に 3.5m を超える沈下（最大 4.39 ～ 4.50m）が生じているものの、沈下量は概ね 3.5m 以内である（平均沈下量 3.32m）。</p> <p>また、側方流動等による水平変位は 4m 程度であり、敷地周辺の計算格子間隔 5m よりも小さいことから週上解析結果に与える影響は軽微であると考えられる。</p> <p>上記より、週上解析における敷地の沈下量について、3.5m に設定し津波評価の地形モデルとして反映する。</p> <p>ここで、沈下を考慮する範囲のうち図 2.1.c.b-20 に示す茶津入構トンネル前面エリアは、発電所構内の敷地の B-B' 断面の地質区分と同様に埋戻土と砂層（As1・As2）及び粘性土層の堆積層で構成され、その層厚は B-B' 断面より薄い。よって、茶津入構トンネル前面エリアの沈下量は、B-B' 断面で設定した沈下量よりも小さいと評価できるが、保守的に B-B' 断面と同様に設定する。</p> <p>また、3.5m 沈下の評価の妥当性を確認するため、局的な最大沈下量を参考に、敷地の沈下量を保守的に 5.0m に設定し津波評価の地形モデルに反映した解析を実施し、影響確認を行う。</p> <p>埋戻土の相対密度及び液状化強度については、「泊発電所3号炉設置許可基準規則等への適合状況について（設計基準対象施設等） 第4条：地震による損傷の防止 別紙一 施設の耐震評価に用いる地盤の液状化の評価方針」において説明したとおり追加調査を実施予定であり、その調査結果に基づき計算した沈下量が今回設定した沈下量から変更となる場合、その変更が評価に与える影響の有無を検討し、必要に応じて入力津波の設定を見直しする。</p> <p>沈下を考慮する範囲を図 2.1.c.b-21 に、地盤変状（陸域）による沈下量を反映した地形モデルを図 2.1.c.b-22 に示す。</p>	<p>【女川、島根】評価結果の相違</p> <ul style="list-style-type: none"> <li>・発電所立地地域の相違により、各サイトで沈下量設定の考え方方が異なる。</li> </ul> <p>【女川、島根】記載方針の相違</p> <ul style="list-style-type: none"> <li>・泊では、水平変位による週上解析結果への影響を記載している。</li> <li>・泊では分かりやすさの観点で、地盤変状による沈下量を反映した地形モデルを示している。</li> </ul> <p>【女川、島根】評価方針の相違</p> <ul style="list-style-type: none"> <li>・泊では、局的な沈下量に基づく解析も実施することで、沈下量設定の妥当性を確認している。</li> </ul>

泊発電所 3号炉 DB基準適合性 比較表

実線・・設計方針又は設備構成等の相違  
波線・・記載表現、設備名称の相違（実質的な相違なし）

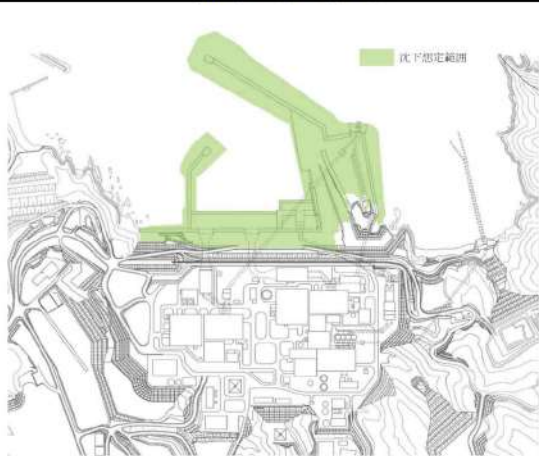
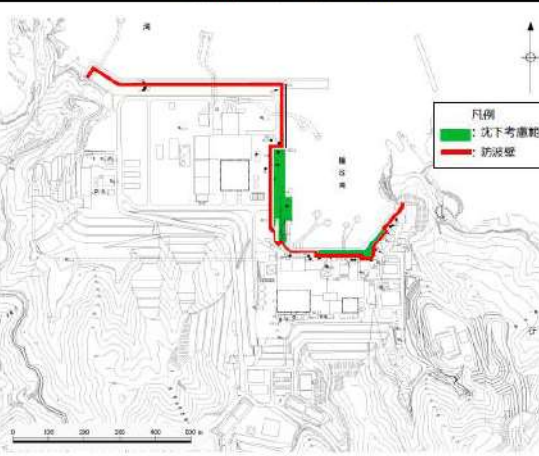
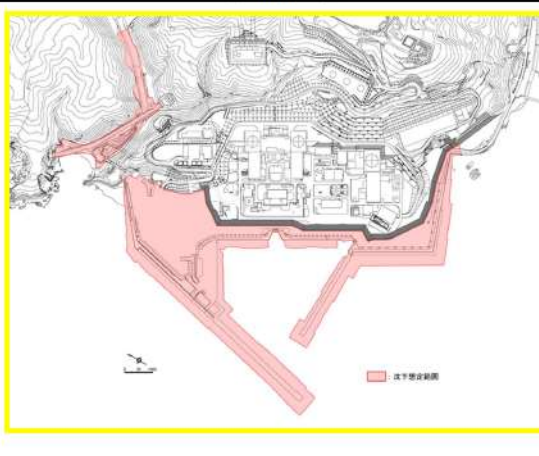
第5条 津波による損傷の防止

女川原子力発電所 2号炉	島根原子力発電所 2号炉	泊発電所 3号炉	相違理由
 <p>図 17 地表面沈下量</p>		 <p>図 2.1.c.b-19 津波評価における沈下量 (B-B' 断面)</p>	<p>【女川、島根】評価結果の相違</p> <ul style="list-style-type: none"> <li>・発電所立地の相違により、各サイトで沈下量が異なる。</li> </ul>
		 <p>図 2.1.c.b-20 茶津入構トンネル前面エリアの地盤変状として沈下を考慮する範囲</p>	

泊発電所 3号炉 DB基準適合性 比較表

実線・・設計方針又は設備構成等の相違  
波線・・記載表現、設備名称の相違（実質的な相違なし）

第5条 津波による損傷の防止

女川原子力発電所 2号炉	島根原子力発電所 2号炉	泊発電所 3号炉	相違理由
 <p>図 18 津波評価において沈下を考慮する範囲</p>	 <p>図 3-15 津波評価において沈下を考慮する範囲</p>	 <p>図 2.1.c.b-21 敷地（陸域）の地盤変状として沈下を考慮する範囲</p>	<p>【女川、島根】評価方針の相違</p> <ul style="list-style-type: none"> <li>・発電所立地の相違により、各サイトで沈下を考慮する範囲が異なる。</li> <li>・泊は地盤変状による沈下量を反映した地形モデルを示している。</li> </ul>

## 泊発電所3号炉 DB基準適合性 比較表

実線・・設計方針又は設備構成等の相違  
波線・・記載表現、設備名称の相違（実質的な相違なし）

## 第5条 津波による損傷の防止

女川原子力発電所2号炉	島根原子力発電所2号炉	泊発電所3号炉	相違理由
		<p>The figure consists of three maps of the Iwaki Nuclear Power Plant site. The top-left map shows '現況地形' (Current Topography) with contour lines and a color scale from blue (low elevation) to red (high elevation). The top-right map shows '地盤変状に伴う地形変化量 (陸域)' (Topographic change due to ground subsidence (land area)) with a color scale from blue to red, overlaid on the current topography. The bottom map shows '地盤変状後 (陸域) の地形' (Topography after ground subsidence (land area)) with a color scale from blue to red, overlaid on the current topography. A legend on the right indicates elevation changes in meters: 50m, 40m, 30m, 20m, 15m, 11m, 10m, 8m, 6m, 3m, 0m, -5m, -10m, -15m, -20m, -30m.</p>	

図2.1.c.b-22(1) 陸域の地盤変状による沈下量を反映した地形モデル (3.5m沈下)

泊発電所3号炉 DB基準適合性 比較表

実線・・設計方針又は設備構成等の相違  
波線・・記載表現、設備名称の相違（実質的な相違なし）

第5条 津波による損傷の防止

女川原子力発電所2号炉	島根原子力発電所2号炉	泊発電所3号炉	相違理由

図 2.1.c. b-22 (2) 陸域の地盤変状による沈下量を反映した地形モデル (5.0m 沈下)

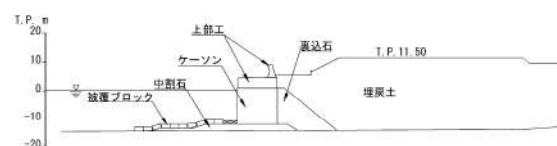


図 2.1.c. b-22 (3) A-A' 断面図

## 第5条 津波による損傷の防止

女川原子力発電所2号炉	島根原子力発電所2号炉	泊発電所3号炉	相違理由
<p>沈下の有無に対する最大水位上昇量分布の比較を図25に、2号炉取水口前面における水位時刻歴波形の比較を図26に示す。図25、26より、沈下の有無による最大水位上昇量分布、水位時刻歴波形に僅かな変化が認められ、上昇側水位へ影響を与えることが確認された。</p> <p>比較のため、5.(2)項の内容を再掲</p> <p>沈下の有無に対する最大水位下降量分布の比較を図29に、2号炉取水口前面における水位時刻歴波形の比較を図30に示す。図29、30より、沈下の有無による最大水位下降量分布及び水位時刻歴波形に有意な差は認められない。</p> <p>比較のため、5.(3)項の内容を再掲</p>	<p>(4) 地盤変状を考慮した津波解析</p> <p>(1)～(3)を踏まえ、沈下量を保守的に1mと設定し、津波解析を実施した。</p> <p>基準津波1～6のケースを対象に基本ケース及び1m沈下させたケースを比較し、その差異を表3-3に示す。また、最大水位上昇量分布を図3-16に示す。</p> <p>津波解析の結果、1m沈下させた場合、水位上昇側の施設護岸又は防波壁の水位は、どのケースについても基本ケースと同じもしくは基本ケースの方が大きい。また、水位下降側の2号炉取水口の水位については全ケースで同じ水位となつた。</p>	<p>ホ、敷地地盤の地盤変状を考慮した週上解析</p> <p>イ、～ニ、を踏まえ、沈下量を保守的に3.5m及び5.0mと設定し、週上解析を実施した。</p> <p>すべての基準津波を対象に沈下を考慮しないケース（基本ケース）と3.5m及び5.0m沈下させたケースを比較し、その差異を表2.1.c.b-4及び2.1.c.b-5に示す。また、最大水位上昇量分布、最大水位下降量分布、水位時刻歴波形及び最大流速分布を図2.1.c.b-22及び2.1.c.b-23に示す。</p> <p>(イ) 津波解析の結果（津波高さ）          (3.5m沈下させた場合)</p> <ul style="list-style-type: none"> <li>水位上昇側の防潮堤前面、3号炉取水口の水位上昇量は、3.5m沈下させた方が大きいケースが認められた。</li> <li>1、2号炉取水口の水位上昇量は、基本ケースと同程度若しくは基本ケースの方が大きかった。</li> <li>放水口の水位上昇量は、どの基準津波についても基本ケースの方が大きかった。</li> <li>水位下降側の「貯留堰を下回る時間」は、基本ケースと同程度若しくは基本ケースの方が大きかった。</li> </ul> <p>(5.0m沈下させた場合)</p> <ul style="list-style-type: none"> <li>水位上昇側の防潮堤前面、3号炉取水口の水位上昇量は、5.0m沈下させた方が大きいケースが認められた。</li> <li>1、2号炉取水口の水位上昇量は、基本ケースと同程度であった。</li> <li>放水口の水位上昇量は、基本ケースの方が大きかった。</li> <li>水位下降側の「貯留堰を下回る時間」は、基本ケースと同程度若しくは基本ケースの方が大きかった。</li> </ul> <p>(ロ) 津波解析の結果（津波高さ以外）</p> <p>津波解析の結果、最大流速は、基本ケースと同程度若しくは基本ケースの方が大きく、流況（流向・流速）は、基本ケースと同程度となった。</p> <p>(ハ) 敷地地盤の地盤変状を考慮する際の代表ケース</p> <p>敷地沈下量として3.5m沈下及び5.0m沈下の評価をそれぞれ実施したが、これらの地形変化は同時には発生しない。そのため、これらの影響度合いについて比較を行った。水位増加が確認された防潮堤前面及び3号炉取水口における最大水位上昇量にて比較を行った結果、防潮堤前面における最大水位上昇量は、5.0m沈下において基準津波（波源E、南防波堤損傷）で15.96mとなり3.5m沈下における基準津波（波源F、北防波堤損傷）の15.88mよりも大きい値となった。</p>	<p>【女川】記載方針の相違          ・島根実績の反映。</p> <p>【島根】評価結果の相違          ・発電所立地地域の相違により、考慮する敷地地盤の沈下量が異なる。</p> <p>【島根】基準津波の相違</p> <p>【島根】評価結果の相違          ・発電所立地の相違により、考慮する敷地地盤の沈下量が異なる。</p> <p>【女川、島根】評価結果の相違          ・発電所立地の相違により、週上解析結果が異なる。</p> <p>【島根】評価結果の相違          ・発電所立地の相違により、入力津波を設定する際の考慮方針が異なる。</p> <p>【島根】評価結果の相違          ・発電所立地の相違により、入力津波を設定する際の考慮方針が異なる。</p>

## 泊発電所3号炉 DB基準適合性 比較表

実線・・設計方針又は設備構成等の相違  
波線・・記載表現、設備名称の相違（実質的な相違なし）

## 第5条 津波による損傷の防止

女川原子力発電所2号炉			島根原子力発電所2号炉			泊発電所3号炉			相違理由

## 泊発電所3号炉 DB基準適合性 比較表

実線・・設計方針又は設備構成等の相違  
波線・・記載表現、設備名称の相違（実質的な相違なし）

## 第5条 津波による損傷の防止

女川原子力発電所2号炉	島根原子力発電所2号炉	泊発電所3号炉	相違理由																																																																																																																																							
		<p><b>表2.1.c.b-4 (2) 基本ケースと敷地（陸域）の地盤変状（3.5m沈下）を考慮したケースにおける貯留堰を下回る時間の比較（水位下降低）</b></p> <table border="1"> <thead> <tr> <th>評価項目</th><th>波源</th><th>地形モデル</th><th>基本ケース(a)</th><th>敷地地盤(陸域) 3.5m沈下(b)</th><th>差分(b-a)</th></tr> </thead> <tbody> <tr> <td rowspan="2">貯留堰を下回る</td><td>波源I</td><td>防波堤損傷なし</td><td>721s</td><td>482s</td><td>-239s</td></tr> <tr> <td>波源J</td><td>北及び南防波堤損傷</td><td>890s</td><td>710s</td><td>12s</td></tr> <tr> <td rowspan="2">貯留堰</td><td>波源K</td><td>南防波堤損傷</td><td>743s</td><td>728s</td><td>-15s</td></tr> <tr> <td>波源L</td><td>北防波堤損傷</td><td>863s</td><td>846s</td><td>-17s</td></tr> </tbody> </table> <p>※ 現時点における最大ケース</p> <p><b>表2.1.c.b-4 (3) 基本ケースと敷地（陸域）の地盤変状（3.5m沈下）を考慮したケースにおける最大流速の比較</b></p> <table border="1"> <thead> <tr> <th>評価項目</th><th>波源</th><th>地形モデル</th><th>基本ケース(a)</th><th>敷地地盤(陸域) 3.5m沈下(b)</th><th>差分(b-a)</th></tr> </thead> <tbody> <tr> <td rowspan="18">最大流速</td><td>波源A</td><td>防波堤損傷なし</td><td>13.81m/s</td><td>12.86m/s</td><td>-1.15m/s</td></tr> <tr> <td>波源B</td><td>防波堤損傷なし</td><td>17.32m/s</td><td>14.32m/s</td><td>-3.00m/s</td></tr> <tr> <td>波源B</td><td>北防波堤損傷</td><td>13.90m/s</td><td>11.54m/s</td><td>-2.36m/s</td></tr> <tr> <td>波源C</td><td>防波堤損傷なし</td><td>13.95m/s</td><td>11.22m/s</td><td>-2.73m/s</td></tr> <tr> <td>波源D</td><td>防波堤損傷なし</td><td>17.57m/s</td><td>14.57m/s</td><td>-3.00m/s</td></tr> <tr> <td>波源D</td><td>北及び南防波堤損傷</td><td>13.19m/s</td><td>13.21m/s</td><td>0.02m/s</td></tr> <tr> <td>波源D</td><td>南防波堤損傷</td><td>16.77m/s</td><td>13.84m/s</td><td>-2.93m/s</td></tr> <tr> <td>波源D</td><td>北防波堤損傷</td><td>14.80m/s</td><td>12.03m/s</td><td>-2.57m/s</td></tr> <tr> <td>波源E</td><td>北及び南防波堤損傷</td><td>12.50m/s</td><td>12.48m/s</td><td>-0.02m/s</td></tr> <tr> <td>波源E</td><td>南防波堤損傷</td><td>18.50m/s</td><td>13.84m/s</td><td>-2.72m/s</td></tr> <tr> <td>波源F</td><td>北及び南防波堤損傷</td><td>12.31m/s</td><td>12.24m/s</td><td>-0.07m/s</td></tr> <tr> <td>波源F</td><td>北防波堤損傷</td><td>13.72m/s</td><td>11.43m/s</td><td>-2.29m/s</td></tr> <tr> <td>波源G</td><td>南防波堤損傷</td><td>15.27m/s</td><td>13.07m/s</td><td>-2.20m/s</td></tr> <tr> <td>波源H</td><td>北防波堤損傷</td><td>14.13m/s</td><td>11.50m/s</td><td>-2.63m/s</td></tr> <tr> <td>波源I<sup>※1</sup></td><td>防波堤損傷なし</td><td>13.70m/s</td><td>11.10m/s</td><td>-2.60m/s</td></tr> <tr> <td>波源J<sup>※1</sup></td><td>北及び南防波堤損傷</td><td>12.94m/s</td><td>11.17m/s</td><td>-1.77m/s</td></tr> <tr> <td>波源K<sup>※1</sup></td><td>南防波堤損傷</td><td>16.90m/s</td><td>14.17m/s</td><td>-2.73m/s</td></tr> <tr> <td>波源L<sup>※1</sup></td><td>北防波堤損傷</td><td>12.14m/s</td><td>12.27m/s</td><td>0.13m/s</td></tr> <tr> <td>波源L<sup>※2</sup></td><td>防波堤損傷なし</td><td>17.83m/s</td><td>15.02m/s</td><td>-2.81m/s</td></tr> <tr> <td>波源K<sup>※2</sup></td><td>北及び南防波堤損傷</td><td>13.54m/s</td><td>13.57m/s</td><td>0.03m/s</td></tr> </tbody> </table> <p>※1：現時点における最大ケース ※2：基礎建物ではないが最大流速の観点から追加</p>	評価項目	波源	地形モデル	基本ケース(a)	敷地地盤(陸域) 3.5m沈下(b)	差分(b-a)	貯留堰を下回る	波源I	防波堤損傷なし	721s	482s	-239s	波源J	北及び南防波堤損傷	890s	710s	12s	貯留堰	波源K	南防波堤損傷	743s	728s	-15s	波源L	北防波堤損傷	863s	846s	-17s	評価項目	波源	地形モデル	基本ケース(a)	敷地地盤(陸域) 3.5m沈下(b)	差分(b-a)	最大流速	波源A	防波堤損傷なし	13.81m/s	12.86m/s	-1.15m/s	波源B	防波堤損傷なし	17.32m/s	14.32m/s	-3.00m/s	波源B	北防波堤損傷	13.90m/s	11.54m/s	-2.36m/s	波源C	防波堤損傷なし	13.95m/s	11.22m/s	-2.73m/s	波源D	防波堤損傷なし	17.57m/s	14.57m/s	-3.00m/s	波源D	北及び南防波堤損傷	13.19m/s	13.21m/s	0.02m/s	波源D	南防波堤損傷	16.77m/s	13.84m/s	-2.93m/s	波源D	北防波堤損傷	14.80m/s	12.03m/s	-2.57m/s	波源E	北及び南防波堤損傷	12.50m/s	12.48m/s	-0.02m/s	波源E	南防波堤損傷	18.50m/s	13.84m/s	-2.72m/s	波源F	北及び南防波堤損傷	12.31m/s	12.24m/s	-0.07m/s	波源F	北防波堤損傷	13.72m/s	11.43m/s	-2.29m/s	波源G	南防波堤損傷	15.27m/s	13.07m/s	-2.20m/s	波源H	北防波堤損傷	14.13m/s	11.50m/s	-2.63m/s	波源I <sup>※1</sup>	防波堤損傷なし	13.70m/s	11.10m/s	-2.60m/s	波源J <sup>※1</sup>	北及び南防波堤損傷	12.94m/s	11.17m/s	-1.77m/s	波源K <sup>※1</sup>	南防波堤損傷	16.90m/s	14.17m/s	-2.73m/s	波源L <sup>※1</sup>	北防波堤損傷	12.14m/s	12.27m/s	0.13m/s	波源L <sup>※2</sup>	防波堤損傷なし	17.83m/s	15.02m/s	-2.81m/s	波源K <sup>※2</sup>	北及び南防波堤損傷	13.54m/s	13.57m/s	0.03m/s	<p>【島根】発電所立地の相違 【島根】基準津波の相違</p> <p>【島根】発電所立地の相違 【島根】基準津波の相違</p>
評価項目	波源	地形モデル	基本ケース(a)	敷地地盤(陸域) 3.5m沈下(b)	差分(b-a)																																																																																																																																					
貯留堰を下回る	波源I	防波堤損傷なし	721s	482s	-239s																																																																																																																																					
	波源J	北及び南防波堤損傷	890s	710s	12s																																																																																																																																					
貯留堰	波源K	南防波堤損傷	743s	728s	-15s																																																																																																																																					
	波源L	北防波堤損傷	863s	846s	-17s																																																																																																																																					
評価項目	波源	地形モデル	基本ケース(a)	敷地地盤(陸域) 3.5m沈下(b)	差分(b-a)																																																																																																																																					
最大流速	波源A	防波堤損傷なし	13.81m/s	12.86m/s	-1.15m/s																																																																																																																																					
	波源B	防波堤損傷なし	17.32m/s	14.32m/s	-3.00m/s																																																																																																																																					
	波源B	北防波堤損傷	13.90m/s	11.54m/s	-2.36m/s																																																																																																																																					
	波源C	防波堤損傷なし	13.95m/s	11.22m/s	-2.73m/s																																																																																																																																					
	波源D	防波堤損傷なし	17.57m/s	14.57m/s	-3.00m/s																																																																																																																																					
	波源D	北及び南防波堤損傷	13.19m/s	13.21m/s	0.02m/s																																																																																																																																					
	波源D	南防波堤損傷	16.77m/s	13.84m/s	-2.93m/s																																																																																																																																					
	波源D	北防波堤損傷	14.80m/s	12.03m/s	-2.57m/s																																																																																																																																					
	波源E	北及び南防波堤損傷	12.50m/s	12.48m/s	-0.02m/s																																																																																																																																					
	波源E	南防波堤損傷	18.50m/s	13.84m/s	-2.72m/s																																																																																																																																					
	波源F	北及び南防波堤損傷	12.31m/s	12.24m/s	-0.07m/s																																																																																																																																					
	波源F	北防波堤損傷	13.72m/s	11.43m/s	-2.29m/s																																																																																																																																					
	波源G	南防波堤損傷	15.27m/s	13.07m/s	-2.20m/s																																																																																																																																					
	波源H	北防波堤損傷	14.13m/s	11.50m/s	-2.63m/s																																																																																																																																					
	波源I <sup>※1</sup>	防波堤損傷なし	13.70m/s	11.10m/s	-2.60m/s																																																																																																																																					
	波源J <sup>※1</sup>	北及び南防波堤損傷	12.94m/s	11.17m/s	-1.77m/s																																																																																																																																					
	波源K <sup>※1</sup>	南防波堤損傷	16.90m/s	14.17m/s	-2.73m/s																																																																																																																																					
	波源L <sup>※1</sup>	北防波堤損傷	12.14m/s	12.27m/s	0.13m/s																																																																																																																																					
波源L <sup>※2</sup>	防波堤損傷なし	17.83m/s	15.02m/s	-2.81m/s																																																																																																																																						
波源K <sup>※2</sup>	北及び南防波堤損傷	13.54m/s	13.57m/s	0.03m/s																																																																																																																																						

泊発電所 3号炉 DB基準適合性 比較表

実線・・設計方針又は設備構成等の相違  
波線・・記載表現、設備名称の相違（実質的な相違なし）

第5条 津波による損傷の防止

女川原子力発電所 2号炉	島根原子力発電所 2号炉	泊発電所 3号炉	相違理由
			<p>【島根】記載方針の相違</p> <ul style="list-style-type: none"> <li>泊では、検討ケース数が多いことから、「3. 各地形変化によるデータ集」として纏めて記載している。なお、図の比較についてはプラント特有の評価結果であることから省略する。</li> </ul> <p>泊は3. 項にて記載。</p>

## 泊発電所3号炉 DB基準適合性 比較表

実線・・設計方針又は設備構成等の相違  
波線・・記載表現、設備名称の相違（実質的な相違なし）

## 第5条 津波による損傷の防止

女川原子力発電所2号炉	島根原子力発電所2号炉	泊発電所3号炉	相違理由
	<p>Figure 3-16(3) shows four maps comparing maximum water level drop distributions for two scenarios: 'with breakwater' (left) and 'without breakwater' (right) under 'Basic Tsunami 1'. The top row shows 'Maximum Water Level Drop Distribution (Breakwater Present/Not Present)' with values ranging from -4.94m to -5.13m. The bottom row shows 'Maximum Water Level Drop Distribution (Breakwater Present/Not Present)' with values ranging from -5.82m to -6.1m. Both rows include a color scale from -4 to -6 meters and a note at the bottom right indicating a difference of 0.19m.</p>		<p>【島根】記載方針の相違</p> <ul style="list-style-type: none"> <li>泊では、検討ケース数が多いことから、「3. 各地形変化によるデータ集」として纏めて記載している。なお、図の比較についてはプラント特有の評価結果であることから省略する。</li> </ul> <p style="border: 1px solid yellow; padding: 2px;">泊は3. 項にて記載。</p>
	<p>Figure 3-16(4) shows four maps comparing maximum water level drop distributions for two scenarios: 'with breakwater' (left) and 'without breakwater' (right) under 'Basic Tsunami 3' and 'Basic Tsunami 6'. The top row shows 'Maximum Water Level Drop Distribution (Breakwater Present/Not Present)' with values ranging from -4.44m to -4.63m. The bottom row shows 'Maximum Water Level Drop Distribution (Breakwater Present/Not Present)' with values ranging from -5.89m to -6.08m. Both rows include a color scale from -4 to -6 meters and a note at the bottom right indicating a difference of 0.19m.</p>		

## 泊発電所 3号炉 DB基準適合性 比較表

実線・・設計方針又は設備構成等の相違  
波線・・記載表現、設備名称の相違（実質的な相違なし）

## 第5条 津波による損傷の防止

女川原子力発電所 2号炉	島根原子力発電所 2号炉	泊発電所 3号炉	相違理由
	<p>図 3-16(5) 地盤変状の有無による最大水位下降量分布の比較 (基準津波4(防波堤有り) 及び基準津波4(防波堤無し))</p>	<p>泊は3.項にて記載。</p>	<p>【島根】記載方針の相違</p> <ul style="list-style-type: none"> <li>泊では、検討ケース数が多いことから、「3. 各地形変化によるデータ集」として纏めて記載している。なお、図の比較についてはプラント特有の評価結果であることから省略する。</li> </ul>

## 泊発電所3号炉 DB基準適合性 比較表

実線・・設計方針又は設備構成等の相違  
波線・・記載表現、設備名称の相違（実質的な相違なし）

## 第5条 津波による損傷の防止

女川原子力発電所2号炉	島根原子力発電所2号炉	泊発電所3号炉	相違理由																																																																																																																																													
		<p align="center"><b>表 2.1.c. b-5 (1) 基本ケースと敷地（陸域）の地盤変状 (5.0m沈下) を考慮したケースにおける水位変動量の比較 (水位上昇側)</b></p> <table border="1"> <thead> <tr> <th>評価項目</th> <th>波源</th> <th>地形モデル</th> <th>基本ケース(a)</th> <th>敷地地盤(陸域) 5.0m沈下(b)</th> <th>差分(b-a)</th> </tr> </thead> <tbody> <tr> <td rowspan="4">水位 上昇量 前面 防潮堤</td> <td>波源A</td> <td>防波堤損傷なし</td> <td>19.44m</td> <td>19.19m</td> <td>-0.25m</td> </tr> <tr> <td>波源E</td> <td>北及び南防波堤損傷</td> <td>15.85m</td> <td>15.81m</td> <td>-0.04m</td> </tr> <tr> <td>波源E</td> <td>南防波堤損傷</td> <td>14.38m</td> <td>15.36m</td> <td>0.98m</td> </tr> <tr> <td>波源F</td> <td>北防波堤損傷</td> <td>15.68m</td> <td>15.54m</td> <td>-0.14m</td> </tr> <tr> <td align="center" colspan="6"><b>評価項目</b></td> </tr> <tr> <td rowspan="4">水位 上昇量 3号 取水口</td> <td>波源B</td> <td>地形モデル</td> <td>基本ケース(a)</td> <td>敷地地盤(陸域) 5.0m沈下(b)</td> <td>差分(b-a)</td> </tr> <tr> <td>波源B</td> <td>防波堤損傷なし</td> <td>10.45m</td> <td>10.20m</td> <td>2.75m</td> </tr> <tr> <td>波源F</td> <td>北及び南防波堤損傷</td> <td>13.14m</td> <td>13.62m</td> <td>0.48m</td> </tr> <tr> <td>波源E</td> <td>南防波堤損傷</td> <td>11.88m</td> <td>12.98m</td> <td>1.10m</td> </tr> <tr> <td align="center" colspan="6"><b>評価項目</b></td> </tr> <tr> <td rowspan="4">水位 上昇量 1,2号 取水口</td> <td>波源B</td> <td>地形モデル</td> <td>基本ケース(a)</td> <td>敷地地盤(陸域) 5.0m沈下(b)</td> <td>差分(b-a)</td> </tr> <tr> <td>波源C</td> <td>防波堤損傷なし</td> <td>9.34m</td> <td>9.05m</td> <td>-0.29m</td> </tr> <tr> <td>波源E</td> <td>北及び南防波堤損傷</td> <td>12.74m</td> <td>12.78m</td> <td>0.02m</td> </tr> <tr> <td>波源G</td> <td>南防波堤損傷</td> <td>12.01m</td> <td>11.87m</td> <td>-0.14m</td> </tr> <tr> <td align="center" colspan="6"><b>評価項目</b></td> </tr> <tr> <td rowspan="4">水位 上昇量 放水口</td> <td>波源H</td> <td>地形モデル</td> <td>基本ケース(a)</td> <td>敷地地盤(陸域) 5.0m沈下(b)</td> <td>差分(b-a)</td> </tr> <tr> <td>波源D</td> <td>防波堤損傷なし</td> <td>10.81m</td> <td>9.45m</td> <td>-1.46m</td> </tr> <tr> <td>波源D</td> <td>北及び南防波堤損傷</td> <td>10.84m</td> <td>9.54m</td> <td>-1.30m</td> </tr> <tr> <td>波源D</td> <td>南防波堤損傷</td> <td>10.85m</td> <td>9.58m</td> <td>-1.23m</td> </tr> <tr> <td>波源D</td> <td>北防波堤損傷</td> <td>10.86m</td> <td>9.47m</td> <td>-1.19m</td> </tr> </tbody></table> <p align="center">追加 (茅津入構トンネル及びアクセスルートトンネルに係る波源の取り扱いを検討中)</p> <p align="center"><b>表 2.1.c. b-5 (2) 基本ケースと敷地（陸域）の地盤変状 (5.0m沈下) を考慮したケースにおける貯留堰を下回る時間の比較 (水位下降側)</b></p> <table border="1"> <thead> <tr> <th>評価項目</th> <th>波源</th> <th>地形モデル</th> <th>基本ケース(a)</th> <th>敷地地盤(陸域) 5.0m沈下(b)</th> <th>差分(b-a)</th> </tr> </thead> <tbody> <tr> <td rowspan="3">貯留堰を 下回る 時間</td> <td>波源I</td> <td>防波堤損傷なし</td> <td>721s</td> <td>479s</td> <td>-242s</td> </tr> <tr> <td>波源J</td> <td>北及び南防波堤損傷</td> <td>898s</td> <td>712s</td> <td>146s</td> </tr> <tr> <td>波源K</td> <td>南防波堤損傷</td> <td>743s</td> <td>734s</td> <td>-9s</td> </tr> <tr> <td align="center" colspan="6"><b>※ 観測点における最大ケース</b></td> </tr> </tbody> </table>	評価項目	波源	地形モデル	基本ケース(a)	敷地地盤(陸域) 5.0m沈下(b)	差分(b-a)	水位 上昇量 前面 防潮堤	波源A	防波堤損傷なし	19.44m	19.19m	-0.25m	波源E	北及び南防波堤損傷	15.85m	15.81m	-0.04m	波源E	南防波堤損傷	14.38m	15.36m	0.98m	波源F	北防波堤損傷	15.68m	15.54m	-0.14m	<b>評価項目</b>						水位 上昇量 3号 取水口	波源B	地形モデル	基本ケース(a)	敷地地盤(陸域) 5.0m沈下(b)	差分(b-a)	波源B	防波堤損傷なし	10.45m	10.20m	2.75m	波源F	北及び南防波堤損傷	13.14m	13.62m	0.48m	波源E	南防波堤損傷	11.88m	12.98m	1.10m	<b>評価項目</b>						水位 上昇量 1,2号 取水口	波源B	地形モデル	基本ケース(a)	敷地地盤(陸域) 5.0m沈下(b)	差分(b-a)	波源C	防波堤損傷なし	9.34m	9.05m	-0.29m	波源E	北及び南防波堤損傷	12.74m	12.78m	0.02m	波源G	南防波堤損傷	12.01m	11.87m	-0.14m	<b>評価項目</b>						水位 上昇量 放水口	波源H	地形モデル	基本ケース(a)	敷地地盤(陸域) 5.0m沈下(b)	差分(b-a)	波源D	防波堤損傷なし	10.81m	9.45m	-1.46m	波源D	北及び南防波堤損傷	10.84m	9.54m	-1.30m	波源D	南防波堤損傷	10.85m	9.58m	-1.23m	波源D	北防波堤損傷	10.86m	9.47m	-1.19m	評価項目	波源	地形モデル	基本ケース(a)	敷地地盤(陸域) 5.0m沈下(b)	差分(b-a)	貯留堰を 下回る 時間	波源I	防波堤損傷なし	721s	479s	-242s	波源J	北及び南防波堤損傷	898s	712s	146s	波源K	南防波堤損傷	743s	734s	-9s	<b>※ 観測点における最大ケース</b>						<p>【女川、島根】評価方針の相違 ・泊では、局所的な沈下量に基づく解析も実施することで、沈下量設定の妥当性を確認している。</p> <p>【島根】発電所立地の相違 【島根】基準津波の相違</p> <p>【島根】発電所立地の相違</p>
評価項目	波源	地形モデル	基本ケース(a)	敷地地盤(陸域) 5.0m沈下(b)	差分(b-a)																																																																																																																																											
水位 上昇量 前面 防潮堤	波源A	防波堤損傷なし	19.44m	19.19m	-0.25m																																																																																																																																											
	波源E	北及び南防波堤損傷	15.85m	15.81m	-0.04m																																																																																																																																											
	波源E	南防波堤損傷	14.38m	15.36m	0.98m																																																																																																																																											
	波源F	北防波堤損傷	15.68m	15.54m	-0.14m																																																																																																																																											
<b>評価項目</b>																																																																																																																																																
水位 上昇量 3号 取水口	波源B	地形モデル	基本ケース(a)	敷地地盤(陸域) 5.0m沈下(b)	差分(b-a)																																																																																																																																											
	波源B	防波堤損傷なし	10.45m	10.20m	2.75m																																																																																																																																											
	波源F	北及び南防波堤損傷	13.14m	13.62m	0.48m																																																																																																																																											
	波源E	南防波堤損傷	11.88m	12.98m	1.10m																																																																																																																																											
<b>評価項目</b>																																																																																																																																																
水位 上昇量 1,2号 取水口	波源B	地形モデル	基本ケース(a)	敷地地盤(陸域) 5.0m沈下(b)	差分(b-a)																																																																																																																																											
	波源C	防波堤損傷なし	9.34m	9.05m	-0.29m																																																																																																																																											
	波源E	北及び南防波堤損傷	12.74m	12.78m	0.02m																																																																																																																																											
	波源G	南防波堤損傷	12.01m	11.87m	-0.14m																																																																																																																																											
<b>評価項目</b>																																																																																																																																																
水位 上昇量 放水口	波源H	地形モデル	基本ケース(a)	敷地地盤(陸域) 5.0m沈下(b)	差分(b-a)																																																																																																																																											
	波源D	防波堤損傷なし	10.81m	9.45m	-1.46m																																																																																																																																											
	波源D	北及び南防波堤損傷	10.84m	9.54m	-1.30m																																																																																																																																											
	波源D	南防波堤損傷	10.85m	9.58m	-1.23m																																																																																																																																											
波源D	北防波堤損傷	10.86m	9.47m	-1.19m																																																																																																																																												
評価項目	波源	地形モデル	基本ケース(a)	敷地地盤(陸域) 5.0m沈下(b)	差分(b-a)																																																																																																																																											
貯留堰を 下回る 時間	波源I	防波堤損傷なし	721s	479s	-242s																																																																																																																																											
	波源J	北及び南防波堤損傷	898s	712s	146s																																																																																																																																											
	波源K	南防波堤損傷	743s	734s	-9s																																																																																																																																											
<b>※ 観測点における最大ケース</b>																																																																																																																																																

## 泊発電所3号炉 DB基準適合性 比較表

実線・・設計方針又は設備構成等の相違  
波線・・記載表現、設備名称の相違（実質的な相違なし）

## 第5条 津波による損傷の防止

女川原子力発電所2号炉	島根原子力発電所2号炉	泊発電所3号炉	相違理由																																																																																																											
		<p>表 2.1.c.b-5 (3) 基本ケースと敷地（陸域）の地盤変状(5.0m沈下)を考慮したケースにおける最大流速の比較</p> <table border="1"> <thead> <tr> <th>詳細項目</th><th>波源</th><th>地形モデル</th><th>基本ケース(a)</th><th>敷地地盤(陸域) 5.0m沈下(b)</th><th>差分(b-a)</th></tr> </thead> <tbody> <tr><td rowspan="18">最大流速</td><td>波源A</td><td>防波堤構築なし</td><td>13.81m/s</td><td>11.74m/s</td><td>-2.07m/s</td></tr> <tr><td>波源B</td><td>防波堤構築なし</td><td>17.28m/s</td><td>13.91m/s</td><td>-3.37m/s</td></tr> <tr><td>波源B</td><td>北防波堤構築</td><td>13.80m/s</td><td>13.05m/s</td><td>-0.55m/s</td></tr> <tr><td>波源C</td><td>防波堤構築なし</td><td>13.85m/s</td><td>12.18m/s</td><td>-1.78m/s</td></tr> <tr><td>波源D</td><td>防波堤構築なし</td><td>17.57m/s</td><td>14.18m/s</td><td>-3.39m/s</td></tr> <tr><td>波源D</td><td>北及び南防波堤構築</td><td>13.19m/s</td><td>13.24m/s</td><td>0.05m/s</td></tr> <tr><td>波源D</td><td>南防波堤構築</td><td>16.77m/s</td><td>13.40m/s</td><td>-3.37m/s</td></tr> <tr><td>波源D</td><td>北防波堤構築</td><td>14.60m/s</td><td>12.58m/s</td><td>-2.02m/s</td></tr> <tr><td>波源E</td><td>北及び南防波堤構築</td><td>12.56m/s</td><td>13.25m/s</td><td>0.69m/s</td></tr> <tr><td>波源E</td><td>南防波堤構築</td><td>18.59m/s</td><td>13.50m/s</td><td>-3.09m/s</td></tr> <tr><td>波源F</td><td>北及び南防波堤構築</td><td>12.31m/s</td><td>13.16m/s</td><td>0.84m/s</td></tr> <tr><td>波源F</td><td>北防波堤構築</td><td>18.72m/s</td><td>12.88m/s</td><td>-5.83m/s</td></tr> <tr><td>波源G</td><td>南防波堤構築</td><td>15.27m/s</td><td>12.84m/s</td><td>-2.43m/s</td></tr> <tr><td>波源H</td><td>北防波堤構築</td><td>14.13m/s</td><td>12.98m/s</td><td>-1.17m/s</td></tr> <tr><td>波源I<sup>(a)</sup></td><td>防波堤構築なし</td><td>13.70m/s</td><td>11.49m/s</td><td>-2.21m/s</td></tr> <tr><td>波源J<sup>(a)</sup></td><td>北及び南防波堤構築</td><td>12.84m/s</td><td>11.60m/s</td><td>-1.34m/s</td></tr> <tr><td>波源K<sup>(a)</sup></td><td>南防波堤構築</td><td>18.98m/s</td><td>13.79m/s</td><td>-5.19m/s</td></tr> <tr><td>波源L<sup>(a)</sup></td><td>北防波堤構築</td><td>12.34m/s</td><td>12.27m/s</td><td>0.13m/s</td></tr> <tr><td>波源M<sup>(a)</sup></td><td>防波堤構築なし</td><td>17.03m/s</td><td>14.65m/s</td><td>-2.38m/s</td></tr> <tr><td>波源N<sup>(a)</sup></td><td>北及び南防波堤構築</td><td>13.54m/s</td><td>13.59m/s</td><td>0.04m/s</td></tr> </tbody> </table> <p>※1：現時点における最大ケース ※2：基準津波ではないが最大流速の観点から追加</p>	詳細項目	波源	地形モデル	基本ケース(a)	敷地地盤(陸域) 5.0m沈下(b)	差分(b-a)	最大流速	波源A	防波堤構築なし	13.81m/s	11.74m/s	-2.07m/s	波源B	防波堤構築なし	17.28m/s	13.91m/s	-3.37m/s	波源B	北防波堤構築	13.80m/s	13.05m/s	-0.55m/s	波源C	防波堤構築なし	13.85m/s	12.18m/s	-1.78m/s	波源D	防波堤構築なし	17.57m/s	14.18m/s	-3.39m/s	波源D	北及び南防波堤構築	13.19m/s	13.24m/s	0.05m/s	波源D	南防波堤構築	16.77m/s	13.40m/s	-3.37m/s	波源D	北防波堤構築	14.60m/s	12.58m/s	-2.02m/s	波源E	北及び南防波堤構築	12.56m/s	13.25m/s	0.69m/s	波源E	南防波堤構築	18.59m/s	13.50m/s	-3.09m/s	波源F	北及び南防波堤構築	12.31m/s	13.16m/s	0.84m/s	波源F	北防波堤構築	18.72m/s	12.88m/s	-5.83m/s	波源G	南防波堤構築	15.27m/s	12.84m/s	-2.43m/s	波源H	北防波堤構築	14.13m/s	12.98m/s	-1.17m/s	波源I <sup>(a)</sup>	防波堤構築なし	13.70m/s	11.49m/s	-2.21m/s	波源J <sup>(a)</sup>	北及び南防波堤構築	12.84m/s	11.60m/s	-1.34m/s	波源K <sup>(a)</sup>	南防波堤構築	18.98m/s	13.79m/s	-5.19m/s	波源L <sup>(a)</sup>	北防波堤構築	12.34m/s	12.27m/s	0.13m/s	波源M <sup>(a)</sup>	防波堤構築なし	17.03m/s	14.65m/s	-2.38m/s	波源N <sup>(a)</sup>	北及び南防波堤構築	13.54m/s	13.59m/s	0.04m/s	【島根】基準津波の相違
詳細項目	波源	地形モデル	基本ケース(a)	敷地地盤(陸域) 5.0m沈下(b)	差分(b-a)																																																																																																									
最大流速	波源A	防波堤構築なし	13.81m/s	11.74m/s	-2.07m/s																																																																																																									
	波源B	防波堤構築なし	17.28m/s	13.91m/s	-3.37m/s																																																																																																									
	波源B	北防波堤構築	13.80m/s	13.05m/s	-0.55m/s																																																																																																									
	波源C	防波堤構築なし	13.85m/s	12.18m/s	-1.78m/s																																																																																																									
	波源D	防波堤構築なし	17.57m/s	14.18m/s	-3.39m/s																																																																																																									
	波源D	北及び南防波堤構築	13.19m/s	13.24m/s	0.05m/s																																																																																																									
	波源D	南防波堤構築	16.77m/s	13.40m/s	-3.37m/s																																																																																																									
	波源D	北防波堤構築	14.60m/s	12.58m/s	-2.02m/s																																																																																																									
	波源E	北及び南防波堤構築	12.56m/s	13.25m/s	0.69m/s																																																																																																									
	波源E	南防波堤構築	18.59m/s	13.50m/s	-3.09m/s																																																																																																									
	波源F	北及び南防波堤構築	12.31m/s	13.16m/s	0.84m/s																																																																																																									
	波源F	北防波堤構築	18.72m/s	12.88m/s	-5.83m/s																																																																																																									
	波源G	南防波堤構築	15.27m/s	12.84m/s	-2.43m/s																																																																																																									
	波源H	北防波堤構築	14.13m/s	12.98m/s	-1.17m/s																																																																																																									
	波源I <sup>(a)</sup>	防波堤構築なし	13.70m/s	11.49m/s	-2.21m/s																																																																																																									
	波源J <sup>(a)</sup>	北及び南防波堤構築	12.84m/s	11.60m/s	-1.34m/s																																																																																																									
	波源K <sup>(a)</sup>	南防波堤構築	18.98m/s	13.79m/s	-5.19m/s																																																																																																									
	波源L <sup>(a)</sup>	北防波堤構築	12.34m/s	12.27m/s	0.13m/s																																																																																																									
波源M <sup>(a)</sup>	防波堤構築なし	17.03m/s	14.65m/s	-2.38m/s																																																																																																										
波源N <sup>(a)</sup>	北及び南防波堤構築	13.54m/s	13.59m/s	0.04m/s																																																																																																										

## 第5条 津波による損傷の防止

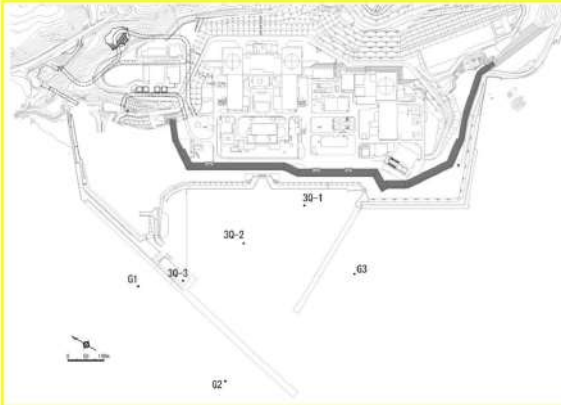
女川原子力発電所2号炉	島根原子力発電所2号炉	泊発電所3号炉	相違理由
		<p><u>(c) 敷地前面海底地盤の地盤変状について</u></p> <p><u>イ. 海域における液状化の発生について</u></p> <p>海底地盤の地震時における液状化の発生について、「ガスパイプライン安全基準検討会報告」では、海底敷設のガスパイプラインの設計において考慮する荷重条件として、<u>地震時の液状化に伴う地盤変状が挙げられており、海底地盤において液状化の発生が考慮されている構造物もあることから、入力津波の設定に当たって海域の地盤変状による影響について検討する。</u></p> <p><u>ロ. 海域における地盤変状の影響について</u></p> <p>一般的に、図2.1.c.c-1に示すように浅海域においては水深が深くなれば、水位が低くなることから、通常の検討においては海域の液状化による海底面の沈下は考慮しない方が保守的となる。</p> <p>K<sub>s</sub> : 浅水係数 H : 波高 H<sub>0</sub> : 沖波高 h : 水深 L<sub>0</sub> : 沖波波長</p> <p>図2.1.c.c-1 微小振幅波理論による波長、波速、浅水係数の算定図表※ ※土木学会(2018)に一部加筆</p>	<p>【女川、島根】設計方針の相違</p> <ul style="list-style-type: none"> <li>泊では、敷地前面海底地盤に存在する堆積層（沖積層及び洪積層）が、地震時の液状化により沈下する可能性があるため、敷地前面海底地盤の地盤変状について、入力津波への影響を検討する。（以下、本項における相違理由の記載を省略する。）</li> </ul>

## 泊発電所3号炉 DB基準適合性 比較表

実線・・設計方針又は設備構成等の相違

波線・・記載表現、設備名称の相違（実質的な相違なし）

## 第5条 津波による損傷の防止

女川原子力発電所2号炉	島根原子力発電所2号炉	泊発電所3号炉	相違理由
		<p>防潮堤前面・アクセスルートトンネル前面・茶津入構トンネル前面の津波水位に対し、上昇側は海域の液状化による海底面の沈下を考慮しない方が保守的と考えられるものの、下降側は専用港内に取水口が設置されていることから、海底面の沈下により取水性に影響を与える可能性がある。</p> <p>泊発電所周辺の海底地形は、敷地前面の港湾内から沖合にかけて沖積層及び堆積層の堆積層が分布しているため、液状化による海域の地盤変状が泊発電所周辺における下降側の津波水位に影響を及ぼし、入力津波評価へ影響を与える可能性が否定できないことから、海域の地盤変状による入力津波の設定に与える影響について評価する。</p> <p>ハ、海域の地盤変状の設定条件（範囲、沈下量）について      (イ) 敷地前面海域及び港湾内の海底地盤</p> <p>敷地前面海域及び港湾内のボーリング調査の結果より、海域の地盤変状範囲を設定する。敷地前面海域及び港湾内のボーリング調査位置図を図 2.1.c.c-2 に、柱状図を図 2.1.c.c-3 に示す。</p> <p>柱状図より、敷地前面海域 (G1~G3) 及び港湾内 (30-1~3) の液状化層は 3.4m~39.5m である。</p> <p>なお、液状化層は粘性土層を除く堆積層（砂、砂礫、安山岩礫）とする。</p>  <p>※30-3は3号炉放水池建設前に実施</p> <p>図 2.1.c.c-2 敷地前面及び港湾内のボーリング調査位置図</p>	

泊発電所3号炉 DB基準適合性 比較表

実線・・設計方針又は設備構成等の相違

波線・・記載表現、設備名称の相違（実質的な相違なし）

第5条 津波による損傷の防止

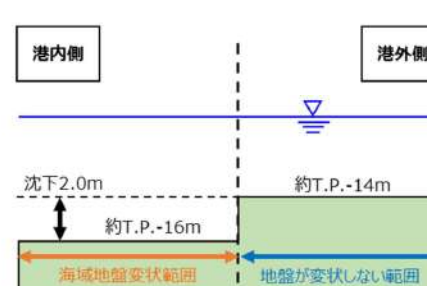
女川原子力発電所2号炉	島根原子力発電所2号炉	泊発電所3号炉	相違理由
		 30-1 P-10-00 30-2 P-18-00 30-3 P-11-12 G1 P-11-12 G2 P-16-00 G3 P-18-00	

図2.1.c.c-3 敷地前面及び港湾内のボーリング調査結果  
(柱状図)

## 泊発電所3号炉 DB基準適合性 比較表

実線・・設計方針又は設備構成等の相違  
波線・・記載表現、設備名称の相違（実質的な相違なし）

## 第5条 津波による損傷の防止

女川原子力発電所2号炉	島根原子力発電所2号炉	泊発電所3号炉	相違理由
		<p>(ロ) 地盤変状範囲及び沈下量の設定</p> <p>地盤変状範囲は図2.1.c.c-4に示すように3号炉取水口前面の防波堤で囲まれた専用港湾内を対象に設定した。</p> <p>海域の地盤変状により、水位又は流向・流速の大きな変化が認められ、港湾外に沈下範囲を拡大すると影響がより大きくなることが想定される<sup>*1</sup>場合は、その影響確認を実施する。</p> <p><sup>*1</sup>: 結果的に、敷地前面海底地盤の地盤変状により最大流速の最大値が認められたため、敷地前面海底地盤(海域)の沈下を入力津波の影響要因とするが、これは港湾内が沈下し港湾外との水位差が基本ケースより増加したことにより、防波堤先端部分を回り込む流速がわずかに速くなつたことによるものである。そのため、港湾外に沈下範囲を拡げても最大流速は下がり、影響は拡大しない(5条別添1-添付3-455参照)。</p>  <p>図2.1.c.c-4(1) 海域地盤の地盤変状範囲(港湾内)</p>  <p>図2.1.c.c-4(2) A-A'断面図</p>	

## 泊発電所3号炉 DB基準適合性 比較表

実線・・設計方針又は設備構成等の相違  
波線・・記載表現、設備名称の相違（実質的な相違なし）

## 第5条 津波による損傷の防止

女川原子力発電所2号炉	島根原子力発電所2号炉	泊発電所3号炉	相違理由
		<p><u>遷上解析を実施するまでの初期条件として、海域の地盤変状を反映するにあたり、図 2.1.c.c-3 のボーリング調査の結果に基づき海域の沈下量を設定する。海域の過剰間隙水圧消散による沈下量算定の対象層として、海底の堆積層である砂層と砂礫層を選定する。</u></p> <p><u>各層の沈下率は、図 2.1.c.b-6 で示す Ishihara et al. (1992) の地盤の相対密度に応じた体積ひずみと最大せん断ひずみの関係から算出する。</u></p> <p><u>砂層と砂礫層の相対密度は、陸域の調査結果より、両者ともに As2 層よりも小さい As1 層の相対密度の 40% とし、保守的に設定する。</u></p> <p><u>体積ひずみと最大せん断ひずみの関係において、体積ひずみが最大となっている領域の飽和土は、完全に液状化した後の再圧密によって、粒子が再配列され間隙が最も小さくなつた状態を示しており、地震時のせん断ひずみ履歴による体積圧縮の最大値を示していると考えられる。</u></p> <p><u>海底の飽和地盤である砂層及び砂礫層の沈下率は、液状化判定によらずこの完全に液状化した状態を想定し、両者ともに陸域で算出した As1 層の 4.5% とし、保守的に設定する。</u></p> <p><u>沈下率を乗じる砂層と砂礫層の層厚は、図 2.1.c.c-3 のボーリング調査の結果より G3 の層厚 39.5m ≈ 40m を採用し、図 2.1.c.c-4 の海域地盤の地盤変状範囲の層厚を一律 40m と設定して、沈下量を保守的に算出する。</u></p> <p><u>以上から、沈下量は 2.0m (40m × 4.5% = 1.8 ≈ 2.0m) と設定する<sup>*2</sup>。</u></p> <p><u>海域の地盤変状による沈下量を反映した地形モデルを図 2.1.c.c-5 に示す。</u></p> <p><u>※2 : 沈下想定範囲内外(港湾内外)の境界部に局所的な標高差が生じることで、津波が港湾内に流入する際の流速が大きくなる可能性があることから、最大流速に係る入力津波を保守的に設定する観点で、港湾内一様に 2.0m の沈下を想定した(断面図参照)。</u></p>	

## 泊発電所3号炉 DB基準適合性 比較表

実線・・設計方針又は設備構成等の相違  
波線・・記載表現、設備名称の相違（実質的な相違なし）

## 第5条 津波による損傷の防止

女川原子力発電所2号炉	島根原子力発電所2号炉	泊発電所3号炉	相違理由
		<p>The figure consists of three maps of the Iwaki Nuclear Power Plant site. The top-left map shows '現況地形' (Current Topography) with a color scale from blue (0m) to red (50m). The top-right map shows '地盤変状に伴う地形変化量(海域)' (Topographic change due to ground subsidence in the sea area) with a color scale from blue (-30m) to red (+50m). The bottom map shows '地盤変状後(海域)の地形' (Topography after ground subsidence in the sea area) with a color scale from blue (-30m) to red (+50m). All maps include a north arrow and a scale bar.</p>	

図2.1.c.c-5 海域の地盤変状による沈下量を反映した地形モデル

## 泊発電所3号炉 DB基準適合性 比較表

実線・・設計方針又は設備構成等の相違

波線・・記載表現、設備名称の相違（実質的な相違なし）

## 第5条 津波による損傷の防止

女川原子力発電所2号炉	島根原子力発電所2号炉	泊発電所3号炉	相違理由
		<p>二. 敷地前面海底地盤の地盤変状を考慮した溯上解析  <u>イ. ～ハ. を踏まえ、沈下量を保守的に2mと設定し、溯上解析を実施した。すべての基準津波を対象に沈下を考慮しない基本ケース及び2m沈下させたケースを比較し、その差異を表2.1.c.c-1に示す。また、最大水位上昇量分布、最大水位下降量分布、水位時刻歴波形及び最大流速分布を図2.1.c.c-6に示す。</u></p> <p>(イ) 津波解析の結果（津波高さ）  <u>津波解析の結果、水位上昇側の防潮堤前面、3号炉取水口、1、2号炉取水口及び放水口の水位上昇量は、基本ケースと同程度であった。また、水位下降側の「貯留堰を下回る時間」は、基本ケースと同程度若しくは基本ケースの方が大きかった。</u></p> <p>(ロ) 津波解析の結果（津波高さ以外）  <u>津波解析の結果、最大流速及び流況（流向・流速）は、基本ケースと同程度であった。</u></p>	

## 泊発電所3号炉 DB基準適合性 比較表

実線・・設計方針又は設備構成等の相違  
波線・・記載表現、設備名称の相違（実質的な相違なし）

## 第5条 津波による損傷の防止

女川原子力発電所2号炉	島根原子力発電所2号炉	泊発電所3号炉	相違理由																																																																																																												
		<p style="text-align: center;"><u>表2.1.c.c-1 (1) 基本ケースと敷地(海域)の地盤変状 (2.0m沈下)を考慮したケースにおける水位変動量の比較 (水位上昇側)</u></p> <table border="1" style="width: 100%; border-collapse: collapse;"> <thead> <tr> <th>評価項目</th> <th>波源</th> <th>地形モデル</th> <th>基本ケース(a)</th> <th>敷地剖面海底地盤 (海城)2.0m沈下(b)</th> <th>差分(b-a)</th> </tr> </thead> <tbody> <tr> <td rowspan="4">水位 上昇量</td> <td>波源A</td> <td>防波堤損傷なし</td> <td>13.44m</td> <td>13.45m</td> <td>0.01m</td> </tr> <tr> <td>波源E</td> <td>北及び南防波堤損傷</td> <td>15.85m</td> <td>15.55m</td> <td>-0.10m</td> </tr> <tr> <td>波源E</td> <td>南防波堤損傷</td> <td>14.98m</td> <td>14.77m</td> <td>-0.21m</td> </tr> <tr> <td>波源F</td> <td>北防波堤損傷</td> <td>15.88m</td> <td>15.85m</td> <td>-0.03m</td> </tr> <tr> <td>評価項目</td> <td>波源</td> <td>地形モデル</td> <td>基本ケース(a)</td> <td>敷地剖面海底地盤 (海城)2.0m沈下(b)</td> <td>差分(b-a)</td> </tr> <tr> <td rowspan="4">水位 上昇量</td> <td>波源B</td> <td>防波堤損傷なし</td> <td>10.45m</td> <td>10.83m</td> <td>0.18m</td> </tr> <tr> <td>波源F</td> <td>北及び南防波堤損傷</td> <td>13.14m</td> <td>13.19m</td> <td>0.05m</td> </tr> <tr> <td>波源E</td> <td>南防波堤損傷</td> <td>11.86m</td> <td>11.97m</td> <td>0.11m</td> </tr> <tr> <td>波源B</td> <td>北防波堤損傷</td> <td>12.89m</td> <td>12.93m</td> <td>0.10m</td> </tr> <tr> <td>評価項目</td> <td>波源</td> <td>地形モデル</td> <td>基本ケース(a)</td> <td>敷地剖面海底地盤 (海城)2.0m沈下(b)</td> <td>差分(b-a)</td> </tr> <tr> <td rowspan="4">水位 上昇量</td> <td>波源C</td> <td>防波堤損傷なし</td> <td>9.34m</td> <td>9.35m</td> <td>0.01m</td> </tr> <tr> <td>波源E</td> <td>北及び南防波堤損傷</td> <td>12.74m</td> <td>12.42m</td> <td>-0.32m</td> </tr> <tr> <td>波源G</td> <td>南防波堤損傷</td> <td>12.01m</td> <td>11.86m</td> <td>-0.21m</td> </tr> <tr> <td>波源H</td> <td>北防波堤損傷</td> <td>11.50m</td> <td>11.96m</td> <td>-0.14m</td> </tr> <tr> <td>評価項目</td> <td>波源</td> <td>地形モデル</td> <td>基本ケース(a)</td> <td>敷地剖面海底地盤 (海城)2.0m沈下(b)</td> <td>差分(b-a)</td> </tr> <tr> <td rowspan="4">水位 上昇量</td> <td>波源D</td> <td>防波堤損傷なし</td> <td>10.81m</td> <td>10.81m</td> <td>0.00m</td> </tr> <tr> <td>波源D</td> <td>北及び南防波堤損傷</td> <td>10.84m</td> <td>10.86m</td> <td>0.02m</td> </tr> <tr> <td>波源D</td> <td>南防波堤損傷</td> <td>10.85m</td> <td>10.84m</td> <td>-0.01m</td> </tr> <tr> <td>波源D</td> <td>北防波堤損傷</td> <td>10.86m</td> <td>10.86m</td> <td>0.00m</td> </tr> </tbody> </table> <p style="text-align: center;">追而 (茶津入構トンネル及びアクセスルートトンネルに係る波源の取り扱いを検討中)</p>	評価項目	波源	地形モデル	基本ケース(a)	敷地剖面海底地盤 (海城)2.0m沈下(b)	差分(b-a)	水位 上昇量	波源A	防波堤損傷なし	13.44m	13.45m	0.01m	波源E	北及び南防波堤損傷	15.85m	15.55m	-0.10m	波源E	南防波堤損傷	14.98m	14.77m	-0.21m	波源F	北防波堤損傷	15.88m	15.85m	-0.03m	評価項目	波源	地形モデル	基本ケース(a)	敷地剖面海底地盤 (海城)2.0m沈下(b)	差分(b-a)	水位 上昇量	波源B	防波堤損傷なし	10.45m	10.83m	0.18m	波源F	北及び南防波堤損傷	13.14m	13.19m	0.05m	波源E	南防波堤損傷	11.86m	11.97m	0.11m	波源B	北防波堤損傷	12.89m	12.93m	0.10m	評価項目	波源	地形モデル	基本ケース(a)	敷地剖面海底地盤 (海城)2.0m沈下(b)	差分(b-a)	水位 上昇量	波源C	防波堤損傷なし	9.34m	9.35m	0.01m	波源E	北及び南防波堤損傷	12.74m	12.42m	-0.32m	波源G	南防波堤損傷	12.01m	11.86m	-0.21m	波源H	北防波堤損傷	11.50m	11.96m	-0.14m	評価項目	波源	地形モデル	基本ケース(a)	敷地剖面海底地盤 (海城)2.0m沈下(b)	差分(b-a)	水位 上昇量	波源D	防波堤損傷なし	10.81m	10.81m	0.00m	波源D	北及び南防波堤損傷	10.84m	10.86m	0.02m	波源D	南防波堤損傷	10.85m	10.84m	-0.01m	波源D	北防波堤損傷	10.86m	10.86m	0.00m	
評価項目	波源	地形モデル	基本ケース(a)	敷地剖面海底地盤 (海城)2.0m沈下(b)	差分(b-a)																																																																																																										
水位 上昇量	波源A	防波堤損傷なし	13.44m	13.45m	0.01m																																																																																																										
	波源E	北及び南防波堤損傷	15.85m	15.55m	-0.10m																																																																																																										
	波源E	南防波堤損傷	14.98m	14.77m	-0.21m																																																																																																										
	波源F	北防波堤損傷	15.88m	15.85m	-0.03m																																																																																																										
評価項目	波源	地形モデル	基本ケース(a)	敷地剖面海底地盤 (海城)2.0m沈下(b)	差分(b-a)																																																																																																										
水位 上昇量	波源B	防波堤損傷なし	10.45m	10.83m	0.18m																																																																																																										
	波源F	北及び南防波堤損傷	13.14m	13.19m	0.05m																																																																																																										
	波源E	南防波堤損傷	11.86m	11.97m	0.11m																																																																																																										
	波源B	北防波堤損傷	12.89m	12.93m	0.10m																																																																																																										
評価項目	波源	地形モデル	基本ケース(a)	敷地剖面海底地盤 (海城)2.0m沈下(b)	差分(b-a)																																																																																																										
水位 上昇量	波源C	防波堤損傷なし	9.34m	9.35m	0.01m																																																																																																										
	波源E	北及び南防波堤損傷	12.74m	12.42m	-0.32m																																																																																																										
	波源G	南防波堤損傷	12.01m	11.86m	-0.21m																																																																																																										
	波源H	北防波堤損傷	11.50m	11.96m	-0.14m																																																																																																										
評価項目	波源	地形モデル	基本ケース(a)	敷地剖面海底地盤 (海城)2.0m沈下(b)	差分(b-a)																																																																																																										
水位 上昇量	波源D	防波堤損傷なし	10.81m	10.81m	0.00m																																																																																																										
	波源D	北及び南防波堤損傷	10.84m	10.86m	0.02m																																																																																																										
	波源D	南防波堤損傷	10.85m	10.84m	-0.01m																																																																																																										
	波源D	北防波堤損傷	10.86m	10.86m	0.00m																																																																																																										

## 泊発電所3号炉 DB基準適合性 比較表

実線・・設計方針又は設備構成等の相違  
波線・・記載表現、設備名称の相違（実質的な相違なし）

## 第5条 津波による損傷の防止

女川原子力発電所2号炉	島根原子力発電所2号炉	泊発電所3号炉	相違理由																																																																																																																							
		<p><b>表 2.1.c.c-1 (2) 基本ケースと敷地(海域)の地盤変状(2.0m沈下)を考慮したケースにおける貯留堰を下回る時間の比較(水位下降低)</b></p> <table border="1"> <thead> <tr> <th>評価項目</th><th>波源</th><th>地形モデル</th><th>基本ケース(a)</th><th>敷地前面海面地盤(海域)2.0m沈下(b)</th><th>差分(b-a)</th></tr> </thead> <tbody> <tr> <td>貯留堰を下回る時間</td><td>波源I 波源J 波源K 波源L</td><td>防波堤構築なし 北及び南防波堤構築 南防波堤構築 北防波堤構築</td><td>721s 692s 743s 803s</td><td>520s 691s 737s 811s</td><td>-201s -17s -6s -52s</td></tr> </tbody> </table> <p>※ 現時点における最大ケース</p> <p><b>表 2.1.c.c-1 (3) 基本ケースと敷地(海域)の地盤変状(2.0m沈下)を考慮したケースにおける最大流速の比較</b></p> <table border="1"> <thead> <tr> <th>評価項目</th><th>波源</th><th>地形モデル</th><th>基本ケース(a)</th><th>敷地前面海面地盤(海域)2.0m沈下(b)</th><th>差分(b-a)</th></tr> </thead> <tbody> <tr> <td rowspan="20">最大流速</td><td>波源A</td><td>防波堤構築なし</td><td>13.81m/s</td><td>13.85m/s</td><td>0.04m/s</td></tr> <tr> <td>波源B</td><td>防波堤構築なし</td><td>17.26m/s</td><td>17.16m/s</td><td>-0.10m/s</td></tr> <tr> <td>波源B</td><td>北防波堤構築</td><td>13.80m/s</td><td>13.73m/s</td><td>0.1m/s</td></tr> <tr> <td>波源C</td><td>防波堤構築なし</td><td>13.95m/s</td><td>13.98m/s</td><td>-0.03m/s</td></tr> <tr> <td>波源D</td><td>防波堤構築なし</td><td>17.57m/s</td><td>17.63m/s</td><td>0.12m/s</td></tr> <tr> <td>波源D</td><td>北及び南防波堤構築</td><td>13.13m/s</td><td>13.82m/s</td><td>0.63m/s</td></tr> <tr> <td>波源D</td><td>南防波堤構築</td><td>16.77m/s</td><td>16.87m/s</td><td>0.10m/s</td></tr> <tr> <td>波源D</td><td>北防波堤構築</td><td>14.80m/s</td><td>14.87m/s</td><td>0.07m/s</td></tr> <tr> <td>波源E</td><td>北及び南防波堤構築</td><td>12.50m/s</td><td>13.40m/s</td><td>0.90m/s</td></tr> <tr> <td>波源E</td><td>南防波堤構築</td><td>18.50m/s</td><td>18.87m/s</td><td>0.11m/s</td></tr> <tr> <td>波源F</td><td>北防波堤構築</td><td>13.72m/s</td><td>13.11m/s</td><td>-0.60m/s</td></tr> <tr> <td>波源F</td><td>北及び南防波堤構築</td><td>12.31m/s</td><td>13.11m/s</td><td>0.80m/s</td></tr> <tr> <td>波源G</td><td>南防波堤構築</td><td>15.27m/s</td><td>15.51m/s</td><td>0.24m/s</td></tr> <tr> <td>波源H</td><td>ALの防波堤構築</td><td>14.13m/s</td><td>14.12m/s</td><td>-0.01m/s</td></tr> <tr> <td>波源J<sup>※1</sup></td><td>防波堤構築なし</td><td>13.70m/s</td><td>13.10m/s</td><td>-0.60m/s</td></tr> <tr> <td>波源J<sup>※2</sup></td><td>北及び南防波堤構築</td><td>12.94m/s</td><td>13.12m/s</td><td>0.18m/s</td></tr> <tr> <td>波源K<sup>※1</sup></td><td>南防波堤構築</td><td>16.90m/s</td><td>17.18m/s</td><td>0.28m/s</td></tr> <tr> <td>波源K<sup>※2</sup></td><td>北防波堤構築</td><td>12.14m/s</td><td>13.02m/s</td><td>0.88m/s</td></tr> <tr> <td>波源L<sup>※2</sup></td><td>防波堤構築なし</td><td>17.83m/s</td><td>17.78m/s</td><td>0.15m/s</td></tr> <tr> <td>波源L<sup>※3</sup></td><td>北及び南防波堤構築</td><td>13.54m/s</td><td>14.88m/s</td><td>1.14m/s</td></tr> </tbody> </table> <p>※1：現時点における最大ケース ※2：基準達成ではないが最大流速の観点から追加</p>	評価項目	波源	地形モデル	基本ケース(a)	敷地前面海面地盤(海域)2.0m沈下(b)	差分(b-a)	貯留堰を下回る時間	波源I 波源J 波源K 波源L	防波堤構築なし 北及び南防波堤構築 南防波堤構築 北防波堤構築	721s 692s 743s 803s	520s 691s 737s 811s	-201s -17s -6s -52s	評価項目	波源	地形モデル	基本ケース(a)	敷地前面海面地盤(海域)2.0m沈下(b)	差分(b-a)	最大流速	波源A	防波堤構築なし	13.81m/s	13.85m/s	0.04m/s	波源B	防波堤構築なし	17.26m/s	17.16m/s	-0.10m/s	波源B	北防波堤構築	13.80m/s	13.73m/s	0.1m/s	波源C	防波堤構築なし	13.95m/s	13.98m/s	-0.03m/s	波源D	防波堤構築なし	17.57m/s	17.63m/s	0.12m/s	波源D	北及び南防波堤構築	13.13m/s	13.82m/s	0.63m/s	波源D	南防波堤構築	16.77m/s	16.87m/s	0.10m/s	波源D	北防波堤構築	14.80m/s	14.87m/s	0.07m/s	波源E	北及び南防波堤構築	12.50m/s	13.40m/s	0.90m/s	波源E	南防波堤構築	18.50m/s	18.87m/s	0.11m/s	波源F	北防波堤構築	13.72m/s	13.11m/s	-0.60m/s	波源F	北及び南防波堤構築	12.31m/s	13.11m/s	0.80m/s	波源G	南防波堤構築	15.27m/s	15.51m/s	0.24m/s	波源H	ALの防波堤構築	14.13m/s	14.12m/s	-0.01m/s	波源J <sup>※1</sup>	防波堤構築なし	13.70m/s	13.10m/s	-0.60m/s	波源J <sup>※2</sup>	北及び南防波堤構築	12.94m/s	13.12m/s	0.18m/s	波源K <sup>※1</sup>	南防波堤構築	16.90m/s	17.18m/s	0.28m/s	波源K <sup>※2</sup>	北防波堤構築	12.14m/s	13.02m/s	0.88m/s	波源L <sup>※2</sup>	防波堤構築なし	17.83m/s	17.78m/s	0.15m/s	波源L <sup>※3</sup>	北及び南防波堤構築	13.54m/s	14.88m/s	1.14m/s	
評価項目	波源	地形モデル	基本ケース(a)	敷地前面海面地盤(海域)2.0m沈下(b)	差分(b-a)																																																																																																																					
貯留堰を下回る時間	波源I 波源J 波源K 波源L	防波堤構築なし 北及び南防波堤構築 南防波堤構築 北防波堤構築	721s 692s 743s 803s	520s 691s 737s 811s	-201s -17s -6s -52s																																																																																																																					
評価項目	波源	地形モデル	基本ケース(a)	敷地前面海面地盤(海域)2.0m沈下(b)	差分(b-a)																																																																																																																					
最大流速	波源A	防波堤構築なし	13.81m/s	13.85m/s	0.04m/s																																																																																																																					
	波源B	防波堤構築なし	17.26m/s	17.16m/s	-0.10m/s																																																																																																																					
	波源B	北防波堤構築	13.80m/s	13.73m/s	0.1m/s																																																																																																																					
	波源C	防波堤構築なし	13.95m/s	13.98m/s	-0.03m/s																																																																																																																					
	波源D	防波堤構築なし	17.57m/s	17.63m/s	0.12m/s																																																																																																																					
	波源D	北及び南防波堤構築	13.13m/s	13.82m/s	0.63m/s																																																																																																																					
	波源D	南防波堤構築	16.77m/s	16.87m/s	0.10m/s																																																																																																																					
	波源D	北防波堤構築	14.80m/s	14.87m/s	0.07m/s																																																																																																																					
	波源E	北及び南防波堤構築	12.50m/s	13.40m/s	0.90m/s																																																																																																																					
	波源E	南防波堤構築	18.50m/s	18.87m/s	0.11m/s																																																																																																																					
	波源F	北防波堤構築	13.72m/s	13.11m/s	-0.60m/s																																																																																																																					
	波源F	北及び南防波堤構築	12.31m/s	13.11m/s	0.80m/s																																																																																																																					
	波源G	南防波堤構築	15.27m/s	15.51m/s	0.24m/s																																																																																																																					
	波源H	ALの防波堤構築	14.13m/s	14.12m/s	-0.01m/s																																																																																																																					
	波源J <sup>※1</sup>	防波堤構築なし	13.70m/s	13.10m/s	-0.60m/s																																																																																																																					
	波源J <sup>※2</sup>	北及び南防波堤構築	12.94m/s	13.12m/s	0.18m/s																																																																																																																					
	波源K <sup>※1</sup>	南防波堤構築	16.90m/s	17.18m/s	0.28m/s																																																																																																																					
	波源K <sup>※2</sup>	北防波堤構築	12.14m/s	13.02m/s	0.88m/s																																																																																																																					
	波源L <sup>※2</sup>	防波堤構築なし	17.83m/s	17.78m/s	0.15m/s																																																																																																																					
	波源L <sup>※3</sup>	北及び南防波堤構築	13.54m/s	14.88m/s	1.14m/s																																																																																																																					

## 泊発電所3号炉 DB基準適合性 比較表

実線・・設計方針又は設備構成等の相違  
波線・・記載表現、設備名称の相違（実質的な相違なし）

## 第5条 津波による損傷の防止

女川原子力発電所2号炉	島根原子力発電所2号炉	泊発電所3号炉	相違理由
	<p>4. 防波堤損傷に関する検討</p> <p>島根原子力発電所では、輪谷湾に防波堤及び東防波堤を設置しており、これら防波堤は、敷地周辺の地震により損傷する可能性は否定できないことから、防波堤の状態による入力津波への影響の有無を検討する。検討にあたっては、津波高さと津波高さ以外に区分して、実施する。</p> <p>(1) 検討結果</p> <p>①津波高さ</p> <p>基準津波策定の際に、防波堤の有無により津波高さに有意な差を与えることを確認した（表4-1、図4-1）。</p>	<p>d. 防波堤等の損傷に関する検討</p> <p>泊発電所では、北防波堤及び南防波堤を設置しており、これら防波堤は、敷地周辺の地震により損傷する可能性は否定できないことから、防波堤の状態による入力津波への影響の有無を検討する。検討にあたっては、津波高さと津波高さ以外に区分して、実施する。</p> <p>また、護岸も同様に、敷地周辺の地震により損傷する可能性は否定できないことから、護岸の損傷状態による入力津波への影響の有無を検討するため潮流解析を実施した。<sup>*</sup></p>	<p>【島根】施設構成の相違</p>
<p>防波堤の有無に対する最大水位上昇量分布の比較を図27に、 2号炉取水口前面における水位時刻歴波形の比較を図28に示す。図27、28より、防波堤の有無による最大水位上昇量分布、 水位時刻歴波形に僅かな変化が認められ、上昇側水位へ影響を与えることが確認された。なお、防波堤がある場合には、防波堤による渦状の流れが生じ、この流れにより局所的に津波水位が大きくなる範囲が生じる。一方、防波堤がない場合には、津波水位が一様に上昇し、局所的に津波水位が大きくなる範囲が生じないため、防波堤がある場合と比較して津波水位が低い。 (発電所前面海域における防波堤有無の水位変動・流向ベクトルを「別添1.2.5(2)e. 基準津波に伴う取水口付近の漂流物に対する通水性確保 図2.5-12及び図2.5-14」に記載)</p>	<p>(a) 検討結果</p> <p>①津波高さ</p> <p>基準津波策定の際に、防波堤の有無により津波高さに差を与えることを確認した（表2.1,d.a-1、図2.1,d.a-1）。</p>	<p>(a) 検討結果</p> <p>①津波高さ</p> <p>基準津波策定の際に、防波堤の有無により津波高さに差を与えることを確認した（表2.1,d.a-1、図2.1,d.a-1）。</p>	<p>【女川】設計方針の相違</p> <ul style="list-style-type: none"> <li>泊では、敷地及び敷地周辺の特徴を踏まえ、入力津波に影響を与える可能性のある要因を網羅する観点で、敷地護岸の損傷についても、地震による地形変化として考慮する。</li> </ul>
<p>比較のため、5.(2)項の内容を再掲</p> <p>防波堤の有無に対する最大水位下降量分布の比較を図31に、 2号炉取水口前面における水位時刻歴波形の比較を図32に示す。図31、32より、防波堤の有無による最大水位下降量分布に変化が認められ、下降側水位へ影響を与えることが確認された。また、表5に示す最低水位とのおり、2号炉取水口前面においては防波堤の損傷を考慮した時の水位が低くなっている。</p>	<p>②津波高さ以外（流況等）</p> <p>発電所沖合については、防波堤の有無により流況の変化が認められない（図4-2）。また、港湾内及び港湾外については、防波堤の有無により流況の変化が認められる。（図4-3）</p>	<p>②津波高さ以外（流況等）</p> <p>発電所沖合については、防波堤の有無により流況の変化が認められない（図2.1,d.a-2）。また、港湾内及び港湾外については、防波堤の有無により流況の変化及び最大流速に差が認められた。（表2.1,d.a-1、図2.1,d.a-3）</p>	<p>【女川】記載方針の相違</p> <ul style="list-style-type: none"> <li>島根実績の反映。</li> </ul>
<p>沈下の有無に対する最大流速分布の比較を図33に、防波堤の有無に対する最大流速分布の比較を図34に示す。 図33より、沈下の有無による最大流速分布に有意な差は認められないが、図34より防波堤の有無に対しては防波堤先端や上部で観測されていて最大流速が無くなるなど、流況・最大流速に変化が認められる。</p>	<p>比較のため、5.(4)項の内容を再掲</p>	<p>※護岸の損傷は、「2. (1) c. (b) 敷地地盤の地盤変状について」の地盤変状において考慮する。</p>	

泊発電所3号炉 DB基準適合性 比較表

実線・・設計方針又は設備構成等の相違  
波線・・記載表現、設備名称の相違（実質的な相違なし）

第5条 津波による損傷の防止

女川原子力発電所2号炉

表4 最高水位一覧

基準津波	地形	防波堤	敷地前面水位 <sup>a</sup> (O.P. m)	取水口前面水位 <sup>b</sup> (O.P. m)		放水口前面水位 <sup>b</sup> (O.P. m)		
				1号炉 <sup>c</sup>	2号炉 <sup>c</sup>	3号炉 <sup>c</sup>	1号炉 <sup>c</sup>	
水位上昇側	現地形	あり	21.58 (23.89)	18.85 (21.16)	19.50 (21.81)	19.60 (21.91)	10.46 (18.77)	17.16 (19.47)
		なし	20.64 (22.95)	18.80 (21.11)	19.27 (21.58)	19.84 (22.15)	17.81 (20.12)	17.25 (19.56)
		なし	22.03 (24.34)	18.60 (20.91)	19.44 (21.75)	19.61 (21.92)	16.77 (19.08)	17.33 (19.64)
	1m沈下	あり	21.19 (23.50)	18.67 (20.98)	19.04 (21.35)	19.58 (21.89)	17.72 (20.03)	17.35 (19.66)
		なし	-	-	-	-	-	-
		なし	-	-	-	-	-	-

※ ( ) の数値は、朝潮平均高潮位 (O.P.+1.43m)、潮位のばらつき (0.16m) 及び地盤変動量 (0.72m) を考慮した値

表5 最低水位一覧

基準津波	地形	防波堤	2号炉取水口前面水位 <sup>b</sup> (O.P. m)
水位下降側	現地形	あり	-10.38 (-10.62)
		なし	-11.35 (-11.59)
		なし	-
	1m沈下	あり	-10.36 (-10.60)
		なし	-11.32 (-11.56)
		なし	-

※ ( ) の数値は、朝潮平均干潮位 (O.P.-0.14m)、潮位のばらつき (-0.10m) を考慮した値

比較のため、5.(1)項の内容を再掲

島根原子力発電所2号炉

表4-1 防波堤の有無による最大水位上昇量の比較

検討対象 基準津波	防波堤	最大水位上昇量(m) 施設護岸又は防波壁	
		有り	+10.0
基準津波 1	無し	+11.2	

泊発電所3号炉

表2.1.d.a-1 (1) 防波堤の有無による最大水位上昇量及び最大流速の比較

検討対象 基準津波	地形モデル	最大水位上昇量 (m)				最大流速 (m/s)
		防波堤無し	3号炉排水口	1, 2号炉排水口	放水口	
普通津波 (波浪)	防波堤無し	13.44	7.34	7.41	7.71	11.6
	北沢川排水口有り	13.59	8.38	8.51	7.88	12.8
	防波堤有り	13.55	7.38	8.81	7.88	11.6
	北沢川排水口無り	13.55	8.21	8.51	7.75	11.6
	防波堤無し	13.35	10.48	8.15	8.44	12.2
	北沢川排水口有り	13.60	13.79	11.16	7.96	11.7
	防波堤有り	13.54	11.77	11.16	7.90	11.6
	北沢川排水口無り	13.54	12.58	11.16	7.95	11.6
	防波堤無し	13.45	9.09	8.48	7.48	11.8
	北沢川排水口有り	13.67	10.26	8.61	7.47	12.0
	防波堤有り	13.63	9.83	8.48	7.43	11.8
	北沢川排水口無り	13.67	10.24	9.27	7.47	12.0
	防波堤無し	13.52	8.48	8.87	[10.8]	11.5
	北沢川排水口有り	13.68	11.31	11.18	10.34	12.0
	防波堤有り	13.65	10.76	11.18	10.33	11.8
	北沢川排水口無り	13.68	11.34	10.98	10.89	12.0
	防波堤無し	13.59	10.91	8.79	8.36	11.8
	北沢川排水口有り	13.74	11.30	11.16	8.36	12.0
	防波堤有り	13.68	12.26	11.28	8.44	11.8
	北沢川排水口無り	13.71	12.26	11.28	8.44	11.8
	防波堤無し	13.51	13.79	11.43	8.09	12.0
	北沢川排水口有り	13.67	10.18	8.89	8.05	11.8
	防波堤有り	13.58	13.71	11.78	7.75	12.0
	北沢川排水口無り	13.58	13.71	11.78	7.75	12.0
	防波堤無し	13.58	12.89	11.58	8.16	11.8
	北沢川排水口有り	13.68	12.81	11.27	7.79	12.0
	防波堤有り	13.70	12.81	11.27	7.79	12.0
	北沢川排水口無り	13.70	12.81	11.27	7.79	12.0
	防波堤無し	13.59	10.95	11.03	8.34	11.8
	北沢川排水口有り	13.69	11.31	10.79	8.39	12.0
	防波堤有り	13.59	11.31	10.79	8.39	12.0

表2.1.d.a-1 (2) 防波堤の有無による最大水位上昇量及び最大流速の比較

検討対象 基準津波	地形モデル	最大水位上昇量 (m)				最大流速 (m/s)
		防波堤無し	3号炉排水口	1, 2号炉排水口	放水口	
普通津波 (波浪)	防波堤無し	11.37	11.22	8.98	8.44	11.34
	北沢川排水口有り	11.24	11.38	11.45	8.44	11.31
	防波堤有り	11.24	11.38	11.45	8.44	11.31
	北沢川排水口無り	11.35	11.30	11.39	8.44	11.32

(字達入集トシタル及びアセスメントトシタルに係る通達の取り扱いを図2-2)

## 泊発電所3号炉 DB基準適合性 比較表

実線・・設計方針又は設備構成等の相違  
 波線・・記載表現、設備名称の相違（実質的な相違なし）

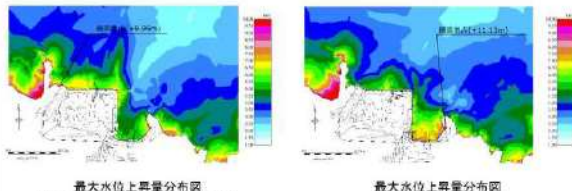
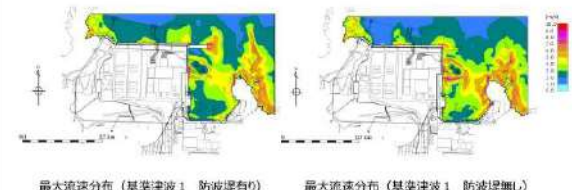
## 第5条 津波による損傷の防止

女川原子力発電所2号炉	島根原子力発電所2号炉	泊発電所3号炉	相違理由																																																								
		<p>表 2.1. d. a-1 (3) 防波堤の有無による貯留堰を下回る時間及び最大流速の比較</p> <table border="1"> <thead> <tr> <th>検討対象 基準津波</th><th>地形モデル</th><th>貯留堰を下回る時間 (s)</th><th>最大流速 (m/s)</th></tr> </thead> <tbody> <tr> <td rowspan="4">基準津波 （波源I）*</td><td>防波堤損傷なし</td><td>721</td><td>13.70</td></tr> <tr><td>北及び南防波堤損傷</td><td>666</td><td>13.30</td></tr> <tr><td>南防波堤損傷</td><td>695</td><td>14.66</td></tr> <tr><td>北防波堤損傷</td><td>412</td><td>13.62</td></tr> <tr> <td rowspan="4">基準津波 （波源J）*</td><td>防波堤損傷なし</td><td>681</td><td>12.93</td></tr> <tr><td>北及び南防波堤損傷</td><td>698</td><td>12.94</td></tr> <tr><td>南防波堤損傷</td><td>706</td><td>14.09</td></tr> <tr><td>北防波堤損傷</td><td>701</td><td>12.67</td></tr> <tr> <td rowspan="4">基準津波 （波源K）*</td><td>防波堤損傷なし</td><td>695</td><td>17.63</td></tr> <tr><td>北及び南防波堤損傷</td><td>425</td><td>13.54</td></tr> <tr><td>南防波堤損傷</td><td>743</td><td>16.96</td></tr> <tr><td>北防波堤損傷</td><td>816</td><td>14.45</td></tr> <tr> <td rowspan="4">基準津波 （波源L）*</td><td>防波堤損傷なし</td><td>585</td><td>17.17</td></tr> <tr><td>北及び南防波堤損傷</td><td>375</td><td>12.38</td></tr> <tr><td>南防波堤損傷</td><td>584</td><td>16.22</td></tr> <tr><td>北防波堤損傷</td><td>863</td><td>12.14</td></tr> </tbody> </table> <p>* 現時点における最大ケース</p>	検討対象 基準津波	地形モデル	貯留堰を下回る時間 (s)	最大流速 (m/s)	基準津波 （波源I）*	防波堤損傷なし	721	13.70	北及び南防波堤損傷	666	13.30	南防波堤損傷	695	14.66	北防波堤損傷	412	13.62	基準津波 （波源J）*	防波堤損傷なし	681	12.93	北及び南防波堤損傷	698	12.94	南防波堤損傷	706	14.09	北防波堤損傷	701	12.67	基準津波 （波源K）*	防波堤損傷なし	695	17.63	北及び南防波堤損傷	425	13.54	南防波堤損傷	743	16.96	北防波堤損傷	816	14.45	基準津波 （波源L）*	防波堤損傷なし	585	17.17	北及び南防波堤損傷	375	12.38	南防波堤損傷	584	16.22	北防波堤損傷	863	12.14	
検討対象 基準津波	地形モデル	貯留堰を下回る時間 (s)	最大流速 (m/s)																																																								
基準津波 （波源I）*	防波堤損傷なし	721	13.70																																																								
	北及び南防波堤損傷	666	13.30																																																								
	南防波堤損傷	695	14.66																																																								
	北防波堤損傷	412	13.62																																																								
基準津波 （波源J）*	防波堤損傷なし	681	12.93																																																								
	北及び南防波堤損傷	698	12.94																																																								
	南防波堤損傷	706	14.09																																																								
	北防波堤損傷	701	12.67																																																								
基準津波 （波源K）*	防波堤損傷なし	695	17.63																																																								
	北及び南防波堤損傷	425	13.54																																																								
	南防波堤損傷	743	16.96																																																								
	北防波堤損傷	816	14.45																																																								
基準津波 （波源L）*	防波堤損傷なし	585	17.17																																																								
	北及び南防波堤損傷	375	12.38																																																								
	南防波堤損傷	584	16.22																																																								
	北防波堤損傷	863	12.14																																																								

## 泊発電所3号炉 DB基準適合性 比較表

実線・・設計方針又は設備構成等の相違  
 波線・・記載表現、設備名称の相違（実質的な相違なし）

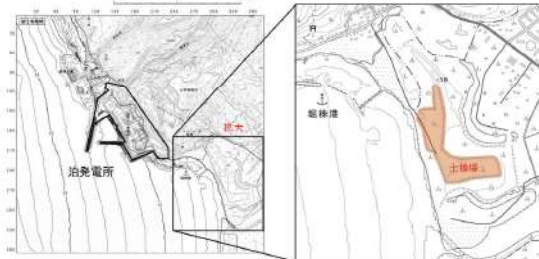
## 第5条 津波による損傷の防止

女川原子力発電所2号炉	島根原子力発電所2号炉	泊発電所3号炉	相違理由
	 <p>最大水位上昇量分布図 (防波堤有り最大ケース: 基準津波1)</p> <p>最大水位上昇量分布図 (防波堤無し最大ケース)</p>	<span style="border: 1px solid black; padding: 2px;">泊は3. 項にて記載。</span>	<b>【島根】記載方針の相違</b> • 泊では、検討ケース数が多いことから、「3. 各地形変化によるデータ集」として纏めて記載している。なお、図の比較についてはプラント特有の評価結果であることから省略する。
	 <p>最大流速分布（基準津波1 防波堤有り）</p> <p>最大流速分布（基準津波1 防波堤無し）</p>		
	 <p>最大流速分布（基準津波1 防波堤有り）</p> <p>最大流速分布（基準津波1 防波堤無し）</p>		

## 泊発電所3号炉 DB基準適合性 比較表

実線・・設計方針又は設備構成等の相違  
波線・・記載表現、設備名称の相違（実質的な相違なし）

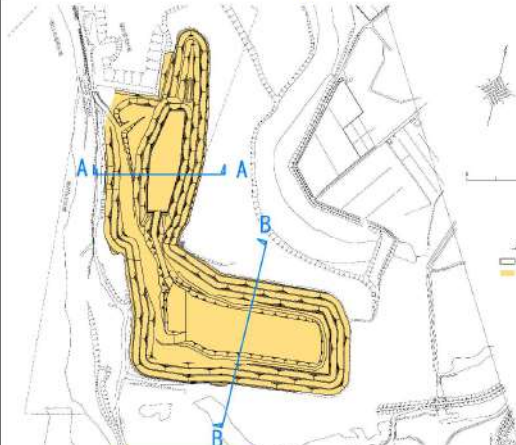
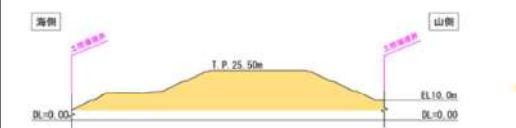
## 第5条 津波による損傷の防止

女川原子力発電所2号炉	島根原子力発電所2号炉	泊発電所3号炉	相違理由
		<p><b>e. 発電所周辺の地形改変に関する検討</b></p> <p><b>(a) はじめに</b></p> <p>表1.1.a-1にて整理した地形モデルに反映した敷地周辺の地形のうち、図2.1.e.a-1に示す土捨場について、新規制基準施行後の設置変更許可申請時（平成25年7月）における最新図に基づきモデル化している（以下、「現状評価の地形」という。）。</p> <p>この土捨場は、地形改変を伴う将来計画※があり、さらに、基準地震動により斜面崩壊する可能性を否定できないことから、将来計画を反映した地形（以下、「将来計画を反映した地形」という。）及び将来計画を反映した土捨場の基準地震動による斜面崩壊を考慮した地形（以下、「斜面崩壊を考慮した地形」）を用いた潮流解析を実施し、入力津波への影響について評価する。</p> <p><b>※将来計画の土捨場が最終形状になる時期は2023年12月頃の見込み（北海道からの聞き取り）</b></p>  <p><b>図2.1.e.a-1 土捨場位置図</b></p> <p><b>(b) 将来計画を反映した地形の検討</b></p> <p><b>イ. 将来計画を反映した地形データの作成</b></p> <p>図2.1.e.b-1に将来計画の土捨場形状及びこの形状を反映した潮流解析地形を示す。</p>	<p><b>【女川、島根】設計方針の相違</b></p> <ul style="list-style-type: none"> <li>泊では、敷地周辺の土捨場について、地形改変を伴う将来計画があり、基準地震動により斜面崩壊する可能性を否定できないため、本資料にて入力津波への影響を検討する。</li> </ul>

## 泊発電所3号炉 DB基準適合性 比較表

実線・・設計方針又は設備構成等の相違  
波線・・記載表現、設備名称の相違（実質的な相違なし）

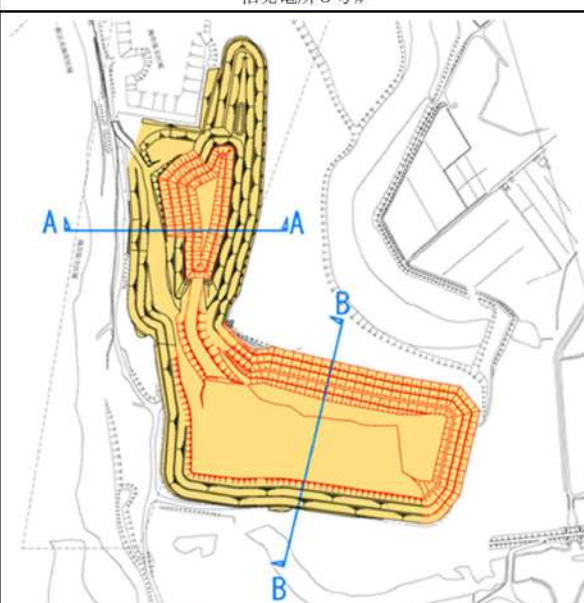
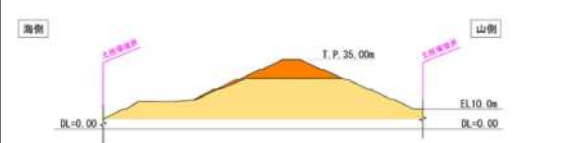
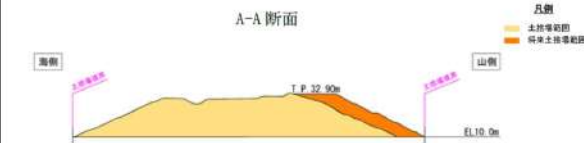
## 第5条 津波による損傷の防止

女川原子力発電所2号炉	島根原子力発電所2号炉	泊発電所3号炉	相違理由
		 <p>図 2.1.e.b-1 (1) 現況の土捨場形状</p>  <p>A-A 断面</p>  <p>B-B 断面</p> <p>図 2.1.e.b-1 (2) 現況の土捨場断面図</p>	<p>【女川、島根】設計方針の相違</p> <ul style="list-style-type: none"> <li>泊では、敷地周辺の土捨場について、地形改変を伴う将来計画があり、基準地震動により斜面崩壊する可能性を否定できないため、本資料にて入力津波への影響を検討する。</li> </ul>

## 泊発電所3号炉 DB基準適合性 比較表

実線・・設計方針又は設備構成等の相違  
波線・・記載表現、設備名称の相違（実質的な相違なし）

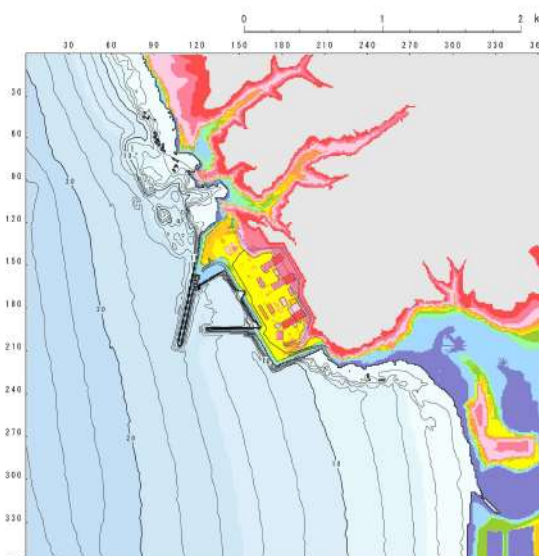
## 第5条 津波による損傷の防止

女川原子力発電所2号炉	島根原子力発電所2号炉	泊発電所3号炉	相違理由
		 <p>図2.1.e.b-1(3) 将来計画による土捨場形状</p>  <p>A-A断面</p>  <p>B-B断面</p> <p>図2.1.e.b-1(4) 将来計画による土捨場断面図</p>	<p>【女川、島根】設計方針の相違</p> <ul style="list-style-type: none"> <li>泊では、敷地周辺の土捨場について、地形改変を伴う将来計画があり、基準地震動により斜面崩壊する可能性を否定できないため、本資料にて入力津波への影響を検討する。</li> </ul>

## 泊発電所3号炉 DB基準適合性 比較表

実線・・設計方針又は設備構成等の相違  
 波線・・記載表現、設備名称の相違（実質的な相違なし）

## 第5条 津波による損傷の防止

女川原子力発電所2号炉	島根原子力発電所2号炉	泊発電所3号炉	相違理由
		 <p>図2.1.e.b-1(5) 将来計画による土捨場形状を反映した地形モデル</p>	<p>【女川、島根】設計方針の相違</p> <ul style="list-style-type: none"> <li>泊では、敷地周辺の土捨場について、地形改変を伴う将来計画があり、基準地震動により斜面崩壊する可能性を否定できないため、本資料にて入力津波への影響を検討する。</li> </ul>

## 泊発電所3号炉 DB基準適合性 比較表

実線・・設計方針又は設備構成等の相違  
波線・・記載表現、設備名称の相違（実質的な相違なし）

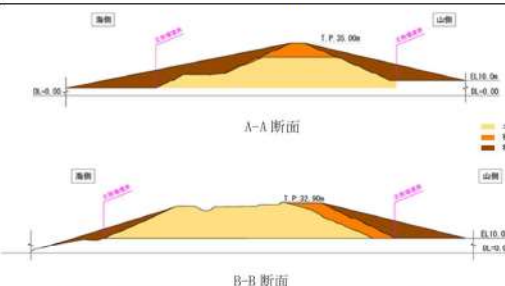
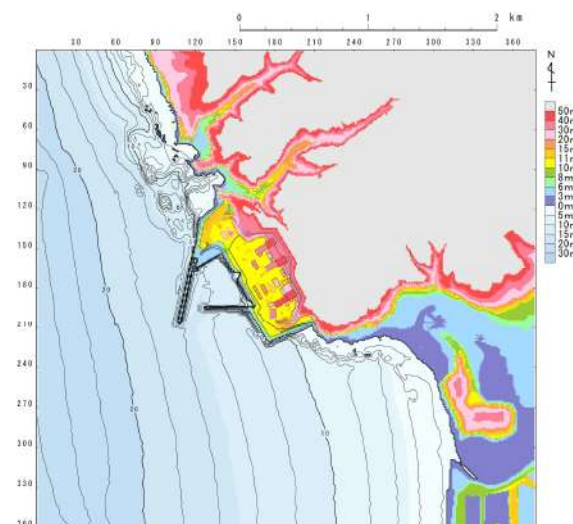
## 第5条 津波による損傷の防止

女川原子力発電所2号炉	島根原子力発電所2号炉	泊発電所3号炉	相違理由
		<p>(c) 斜面崩壊を考慮した地形の検討</p> <p>イ. 斜面崩壊を考慮した地形データの作成</p> <p>将来計画を反映した土捨場の盛土斜面は、基準地震動により斜面が崩壊する可能性を否定できないことから、斜面崩壊を考慮した地形モデルを作成した。斜面崩壊の範囲は、「宅地防災マニュアルの解説」より、斜面高さの2倍とする。崩壊した土砂の堆積形状については、斜面の形状を踏まえると崩壊後の斜面形状の法肩は崩壊前の法肩位置より低くなると想定されるものの、被害の不確実性を考慮して堆積土量が保守的な設定となるように、崩壊前の斜面形状の法肩位置を起点として、土砂到達範囲まで土砂が堆積する形状とする。図2.1.e.c-1に斜面崩壊による土砂の到達範囲を示す。</p> <p>図2.1.e.c-1 斜面崩壊による土砂の到達範囲</p> <p>図2.1.e.c-2に斜面崩壊を考慮した土捨場形状及びこの形状を反映した地上解析地形を示す。</p> <p>図2.1.e.c-2 (1) 斜面崩壊を考慮した土捨場形状</p>	<p>【女川、島根】設計方針の相違</p> <ul style="list-style-type: none"> <li>泊では、敷地周辺の土捨場について、地形改変を伴う将来計画があり、基準地震動により斜面崩壊する可能性を否定できないため、本資料にて入力津波への影響を検討する。</li> </ul>

## 泊発電所3号炉 DB基準適合性 比較表

実線・・・設計方針又は設備構成等の相違  
波線・・・記載表現、設備名称の相違（実質的な相違なし）

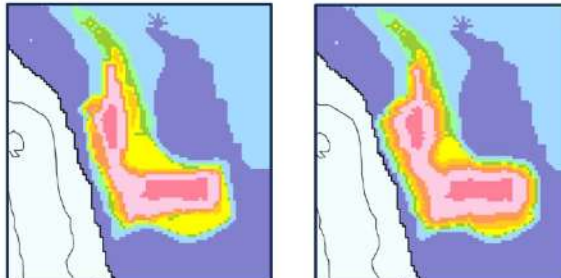
## 第5条 津波による損傷の防止

女川原子力発電所2号炉	島根原子力発電所2号炉	泊発電所3号炉	相違理由
		 <p>図 2.1.e.c-2 (2) 将来計画による土捨場断面図</p>  <p>図 2.1.e.c-2 (3) 斜面崩壊を考慮した土捨場形状を反映した地形モデル</p>	<p>【女川、島根】設計方針の相違</p> <ul style="list-style-type: none"> <li>泊では、敷地周辺の土捨場について、地形改変を伴う将来計画があり、基準地震動により斜面崩壊する可能性を否定できないため、本資料にて入力津波への影響を検討する。</li> </ul>

## 泊発電所3号炉 DB基準適合性 比較表

実線・・設計方針又は設備構成等の相違  
 波線・・記載表現、設備名称の相違（実質的な相違なし）

## 第5条 津波による損傷の防止

女川原子力発電所2号炉	島根原子力発電所2号炉	泊発電所3号炉	相違理由
		<p>図2.1.e.c-3に将来計画の土捨場と斜面崩壊を考慮した土捨場による地形モデルの比較図を示す。</p>  <p style="text-align: center;">将来計画                    斜面崩壊考慮</p> <p>図2.1.e.c-3 将来計画の土捨場と斜面崩壊を考慮した土捨場による地形モデルの比較</p> <p>(d) 想定される地形変化を初期地形に反映した溯上解析    (b), (c) を踏まえ、将来計画を反映した地形及び斜面崩壊を考慮した地形に対して、溯上解析を実施した。すべての基準津波を対象に基本ケースと将来計画を反映した地形及び斜面崩壊を考慮した地形を比較し、その差異を表2.1.e.d-1及び表2.1.e.d-2に示す。また、最大水位上昇量分布、最大水位下降量分布、水位時刻歴波形及び最大流速分布を図2.1.e.d-1及び図2.1.e.d-2に示す。</p> <p>イ. 津波解析の結果（津波高さ）    (将来計画を反映した地形)    津波解析の結果、将来計画を反映した場合、水位上昇側の防潮堤前面、3号炉取水口、1、2号炉取水口及び放水口の水位上昇量は、基本ケースと同程度であった。また、水位下降側の「貯留堰を下回る時間」は、基本ケースと同程度であった。</p> <p>(斜面崩壊を考慮した地形)    津波解析の結果、土捨場の斜面崩壊を考慮した場合、水位上昇側の防潮堤前面、3号炉取水口、1、2号炉取水口及び放水口の水位上昇量は、基本ケースと同程度であった。また、水位下降側の「貯留堰を下回る時間」は、基本ケースと同程度であった。</p> <p>ロ. 津波解析の結果（津波高さ以外）    (将来計画を反映した地形)    津波解析の結果、将来計画を反映した場合、最大流速及び流況（流向・流速）は、基本ケースと同程度であった。</p>	<p>【女川、島根】設計方針の相違</p> <ul style="list-style-type: none"> <li>泊では、敷地周辺の土捨場について、地形改変を伴う将来計画があり、基準地震動により斜面崩壊する可能性を否定できないため、本資料にて入力津波への影響を検討する。</li> </ul>

## 泊発電所3号炉 DB基準適合性 比較表

実線・・設計方針又は設備構成等の相違  
 波線・・記載表現、設備名称の相違（実質的な相違なし）

## 第5条 津波による損傷の防止

女川原子力発電所2号炉	島根原子力発電所2号炉	泊発電所3号炉	相違理由
		<p><b>(斜面崩壊を考慮した地形)</b>  <u>津波解析の結果、土捨場の斜面崩壊を考慮した場合、最大流速及び流況（流向・流速）は、基本ケースと同程度であった。</u></p> <p><b>ハ、発電所周辺の地形変更を考慮する際の代表ケース</b>  <u>土捨場の地形変化として、将来計画を反映した地形及び斜面崩壊を考慮した地形の評価を実施した。これらの地形変化は同時に発生することはないことから、入力津波を設定する際の地形変化の影響要因として考慮する場合には、いずれか一方のみを選定する必要がある。そのため、各評価項目における影響を評価する際には、将来計画を反映した地形及び斜面崩壊を考慮した地形の影響度合いを比較して、より保守的となる方を選定することとする。</u></p>	<p><b>【女川、島根】設計方針の相違</b></p> <ul style="list-style-type: none"> <li>泊では、敷地周辺の土捨場について、地形改変を伴う将来計画があり、基準地震動により斜面崩壊する可能性を否定できないため、本資料にて入力津波への影響を検討する。</li> </ul>

## 泊発電所3号炉 DB基準適合性 比較表

実線・・ 設計方針又は設備構成等の相違  
 波線・・ 記載表現、設備名称の相違（実質的な相違なし）

## 第5条 津波による損傷の防止

女川原子力発電所2号炉	島根原子力発電所2号炉	泊発電所3号炉	相違理由																																																																																																																											
		<p align="center"><b>表 2.1.e.d-1 (1) 基本ケースと土捨場の将来計画を反映した ケースにおける水位変動量の比較（水位上昇側）</b></p> <table border="1"> <thead> <tr> <th>評価項目</th> <th>波源</th> <th>地形モデル</th> <th>基本ケース(a)</th> <th>土捨場(将来計画の反映)(b)</th> <th>差分(b-a)</th> </tr> </thead> <tbody> <tr> <td rowspan="4">水位上昇量</td> <td rowspan="4">防波堤前面</td> <td>波源A 防波堤損傷なし</td> <td>13.44m</td> <td>13.44m</td> <td>0.00m</td> </tr> <tr> <td>波源E 北及び南防波堤損傷</td> <td>15.65m</td> <td>15.65m</td> <td>0.00m</td> </tr> <tr> <td>波源E 南防波堤損傷</td> <td>14.98m</td> <td>14.98m</td> <td>0.00m</td> </tr> <tr> <td>波源F 北防波堤損傷</td> <td>15.68m</td> <td>15.68m</td> <td>0.00m</td> </tr> <tr> <td align="center" colspan="6"><b>評価項目</b></td> </tr> <tr> <td rowspan="4">水位上昇量</td> <td rowspan="4">3号取水口</td> <td>波源B 防波堤損傷なし</td> <td>10.45m</td> <td>10.45m</td> <td>0.00m</td> </tr> <tr> <td>波源F 北及び南防波堤損傷</td> <td>13.14m</td> <td>13.15m</td> <td>0.01m</td> </tr> <tr> <td>波源E 南防波堤損傷</td> <td>11.86m</td> <td>11.86m</td> <td>0.00m</td> </tr> <tr> <td>波源B 北防波堤損傷</td> <td>12.89m</td> <td>12.89m</td> <td>0.00m</td> </tr> <tr> <td align="center" colspan="6"><b>評価項目</b></td> </tr> <tr> <td rowspan="4">水位上昇量</td> <td rowspan="4">1,2号取水口</td> <td>波源C 防波堤損傷なし</td> <td>9.34m</td> <td>9.34m</td> <td>0.00m</td> </tr> <tr> <td>波源E 北及び南防波堤損傷</td> <td>12.74m</td> <td>12.74m</td> <td>0.00m</td> </tr> <tr> <td>波源G 南防波堤損傷</td> <td>12.01m</td> <td>12.01m</td> <td>0.00m</td> </tr> <tr> <td>波源H 北防波堤損傷</td> <td>11.50m</td> <td>11.50m</td> <td>0.00m</td> </tr> <tr> <td align="center" colspan="6"><b>評価項目</b></td> </tr> <tr> <td rowspan="4">水位上昇量</td> <td rowspan="4">放水口</td> <td>波源D 防波堤損傷なし</td> <td>10.91m</td> <td>10.91m</td> <td>0.00m</td> </tr> <tr> <td>波源D 北及び南防波堤損傷</td> <td>10.84m</td> <td>10.84m</td> <td>0.00m</td> </tr> <tr> <td>波源D 南防波堤損傷</td> <td>10.85m</td> <td>10.85m</td> <td>0.00m</td> </tr> <tr> <td>波源D 北防波堤損傷</td> <td>10.86m</td> <td>10.86m</td> <td>0.00m</td> </tr> </tbody> </table> <p align="center">逆面 (茶津入構トンネル及びアクセスルートトンネルに係る波源の取り扱いを検討中)</p> <p align="center"><b>表 2.1.e.d-1 (2) 基本ケースと土捨場の将来計画を反映した ケースにおける貯留堰を下回る時間の比較（水位下降側）</b></p> <table border="1"> <thead> <tr> <th>評価項目</th> <th>波源</th> <th>地形モデル</th> <th>基本ケース(a)</th> <th>土捨場(将来計画の反映)(b)</th> <th>差分(b-a)</th> </tr> </thead> <tbody> <tr> <td rowspan="4">貯留堰を下回る時間</td> <td rowspan="4">波源I 防波堤損傷なし</td> <td>721s</td> <td>721s</td> <td>0s</td> <td></td> </tr> <tr> <td>波源J 北及び南防波堤損傷</td> <td>692s</td> <td>692s</td> <td>0s</td> <td></td> </tr> <tr> <td>波源K 南防波堤損傷</td> <td>743s</td> <td>744s</td> <td>1s</td> <td></td> </tr> <tr> <td>波源L 北防波堤損傷</td> <td>863s</td> <td>862s</td> <td>-1s</td> <td></td> </tr> </tbody> </table> <p align="center">※ 規時点における最大ケース</p>	評価項目	波源	地形モデル	基本ケース(a)	土捨場(将来計画の反映)(b)	差分(b-a)	水位上昇量	防波堤前面	波源A 防波堤損傷なし	13.44m	13.44m	0.00m	波源E 北及び南防波堤損傷	15.65m	15.65m	0.00m	波源E 南防波堤損傷	14.98m	14.98m	0.00m	波源F 北防波堤損傷	15.68m	15.68m	0.00m	<b>評価項目</b>						水位上昇量	3号取水口	波源B 防波堤損傷なし	10.45m	10.45m	0.00m	波源F 北及び南防波堤損傷	13.14m	13.15m	0.01m	波源E 南防波堤損傷	11.86m	11.86m	0.00m	波源B 北防波堤損傷	12.89m	12.89m	0.00m	<b>評価項目</b>						水位上昇量	1,2号取水口	波源C 防波堤損傷なし	9.34m	9.34m	0.00m	波源E 北及び南防波堤損傷	12.74m	12.74m	0.00m	波源G 南防波堤損傷	12.01m	12.01m	0.00m	波源H 北防波堤損傷	11.50m	11.50m	0.00m	<b>評価項目</b>						水位上昇量	放水口	波源D 防波堤損傷なし	10.91m	10.91m	0.00m	波源D 北及び南防波堤損傷	10.84m	10.84m	0.00m	波源D 南防波堤損傷	10.85m	10.85m	0.00m	波源D 北防波堤損傷	10.86m	10.86m	0.00m	評価項目	波源	地形モデル	基本ケース(a)	土捨場(将来計画の反映)(b)	差分(b-a)	貯留堰を下回る時間	波源I 防波堤損傷なし	721s	721s	0s		波源J 北及び南防波堤損傷	692s	692s	0s		波源K 南防波堤損傷	743s	744s	1s		波源L 北防波堤損傷	863s	862s	-1s		<p>【女川、島根】設計方針の相違</p> <ul style="list-style-type: none"> <li>泊では、敷地周辺の土捨場について、地形改変を伴う将来計画があり、基準地震動により斜面崩壊の可能性を否定できないため、本資料にて入力津波への影響を検討する。</li> </ul>
評価項目	波源	地形モデル	基本ケース(a)	土捨場(将来計画の反映)(b)	差分(b-a)																																																																																																																									
水位上昇量	防波堤前面	波源A 防波堤損傷なし	13.44m	13.44m	0.00m																																																																																																																									
		波源E 北及び南防波堤損傷	15.65m	15.65m	0.00m																																																																																																																									
		波源E 南防波堤損傷	14.98m	14.98m	0.00m																																																																																																																									
		波源F 北防波堤損傷	15.68m	15.68m	0.00m																																																																																																																									
<b>評価項目</b>																																																																																																																														
水位上昇量	3号取水口	波源B 防波堤損傷なし	10.45m	10.45m	0.00m																																																																																																																									
		波源F 北及び南防波堤損傷	13.14m	13.15m	0.01m																																																																																																																									
		波源E 南防波堤損傷	11.86m	11.86m	0.00m																																																																																																																									
		波源B 北防波堤損傷	12.89m	12.89m	0.00m																																																																																																																									
<b>評価項目</b>																																																																																																																														
水位上昇量	1,2号取水口	波源C 防波堤損傷なし	9.34m	9.34m	0.00m																																																																																																																									
		波源E 北及び南防波堤損傷	12.74m	12.74m	0.00m																																																																																																																									
		波源G 南防波堤損傷	12.01m	12.01m	0.00m																																																																																																																									
		波源H 北防波堤損傷	11.50m	11.50m	0.00m																																																																																																																									
<b>評価項目</b>																																																																																																																														
水位上昇量	放水口	波源D 防波堤損傷なし	10.91m	10.91m	0.00m																																																																																																																									
		波源D 北及び南防波堤損傷	10.84m	10.84m	0.00m																																																																																																																									
		波源D 南防波堤損傷	10.85m	10.85m	0.00m																																																																																																																									
		波源D 北防波堤損傷	10.86m	10.86m	0.00m																																																																																																																									
評価項目	波源	地形モデル	基本ケース(a)	土捨場(将来計画の反映)(b)	差分(b-a)																																																																																																																									
貯留堰を下回る時間	波源I 防波堤損傷なし	721s	721s	0s																																																																																																																										
		波源J 北及び南防波堤損傷	692s	692s	0s																																																																																																																									
		波源K 南防波堤損傷	743s	744s	1s																																																																																																																									
		波源L 北防波堤損傷	863s	862s	-1s																																																																																																																									

## 泊発電所3号炉 DB基準適合性 比較表

実線・・ 設計方針又は設備構成等の相違  
 波線・・ 記載表現、設備名称の相違（実質的な相違なし）

## 第5条 津波による損傷の防止

女川原子力発電所2号炉	島根原子力発電所2号炉	泊発電所3号炉	相違理由																																																																																																																																				
		<p align="center"><b>表2.1.e,d-1 (3) 基本ケースと土捨場の将来計画を反映した ケースにおける最大流速の比較</b></p> <table border="1" style="width: 100%; border-collapse: collapse; text-align: center;"> <thead> <tr> <th>詳細項目</th> <th>波源</th> <th>地形モデル</th> <th>基本ケース(a)</th> <th>土捨場(将来計画の反映)(b)</th> <th>差分(b-a)</th> </tr> </thead> <tbody> <tr> <td align="center" colspan="6"><b>最大流速</b></td></tr> <tr> <td></td><td>波源A</td><td>防波堤構築なし</td><td>13.81m/s</td><td>13.81m/s</td><td>0.00m/s</td></tr> <tr> <td></td><td>波源B</td><td>防波堤構築なし</td><td>17.20m/s</td><td>17.20m/s</td><td>0.00m/s</td></tr> <tr> <td></td><td>波源B</td><td>北防波堤構築</td><td>13.80m/s</td><td>13.80m/s</td><td>0.00m/s</td></tr> <tr> <td></td><td>波源C</td><td>防波堤構築なし</td><td>13.95m/s</td><td>13.95m/s</td><td>0.00m/s</td></tr> <tr> <td></td><td>波源D</td><td>防波堤構築なし</td><td>17.57m/s</td><td>17.81m/s</td><td>0.04m/s</td></tr> <tr> <td></td><td>波源D</td><td>北及び南防波堤構築</td><td>13.19m/s</td><td>13.19m/s</td><td>0.00m/s</td></tr> <tr> <td></td><td>波源D</td><td>南防波堤構築</td><td>16.77m/s</td><td>16.77m/s</td><td>0.00m/s</td></tr> <tr> <td></td><td>波源D</td><td>北防波堤構築</td><td>14.80m/s</td><td>14.80m/s</td><td>0.00m/s</td></tr> <tr> <td></td><td>波源E</td><td>北及び南防波堤構築</td><td>12.50m/s</td><td>12.50m/s</td><td>0.00m/s</td></tr> <tr> <td></td><td>波源E</td><td>南防波堤構築</td><td>16.50m/s</td><td>16.50m/s</td><td>0.00m/s</td></tr> <tr> <td></td><td>波源F</td><td>北及び南防波堤構築</td><td>12.31m/s</td><td>12.31m/s</td><td>0.00m/s</td></tr> <tr> <td></td><td>波源F</td><td>北防波堤構築</td><td>13.72m/s</td><td>13.72m/s</td><td>0.00m/s</td></tr> <tr> <td></td><td>波源G</td><td>南防波堤構築</td><td>15.27m/s</td><td>15.23m/s</td><td>0.01m/s</td></tr> <tr> <td></td><td>波源H</td><td>北防波堤構築</td><td>14.12m/s</td><td>14.13m/s</td><td>0.00m/s</td></tr> <tr> <td></td><td>波源I<sup>※1</sup></td><td>防波堤構築なし</td><td>13.70m/s</td><td>13.70m/s</td><td>0.00m/s</td></tr> <tr> <td></td><td>波源J<sup>※1</sup></td><td>北及び南防波堤構築</td><td>12.94m/s</td><td>12.94m/s</td><td>0.00m/s</td></tr> <tr> <td></td><td>波源K<sup>※1</sup></td><td>南防波堤構築</td><td>16.96m/s</td><td>16.96m/s</td><td>0.00m/s</td></tr> <tr> <td></td><td>波源L<sup>※1</sup></td><td>北防波堤構築</td><td>12.14m/s</td><td>12.14m/s</td><td>0.00m/s</td></tr> <tr> <td></td><td>波源K<sup>※2</sup></td><td>防波堤構築なし</td><td>17.03m/s</td><td>17.61m/s</td><td>-0.08m/s</td></tr> <tr> <td></td><td>波源K<sup>※2</sup></td><td>北及び南防波堤構築</td><td>13.54m/s</td><td>13.54m/s</td><td>0.00m/s</td></tr> </tbody> </table> <p align="center">※1：現時点における最大ケース    ※2：基準流速ではないが最大流速の観点から追加</p>	詳細項目	波源	地形モデル	基本ケース(a)	土捨場(将来計画の反映)(b)	差分(b-a)	<b>最大流速</b>							波源A	防波堤構築なし	13.81m/s	13.81m/s	0.00m/s		波源B	防波堤構築なし	17.20m/s	17.20m/s	0.00m/s		波源B	北防波堤構築	13.80m/s	13.80m/s	0.00m/s		波源C	防波堤構築なし	13.95m/s	13.95m/s	0.00m/s		波源D	防波堤構築なし	17.57m/s	17.81m/s	0.04m/s		波源D	北及び南防波堤構築	13.19m/s	13.19m/s	0.00m/s		波源D	南防波堤構築	16.77m/s	16.77m/s	0.00m/s		波源D	北防波堤構築	14.80m/s	14.80m/s	0.00m/s		波源E	北及び南防波堤構築	12.50m/s	12.50m/s	0.00m/s		波源E	南防波堤構築	16.50m/s	16.50m/s	0.00m/s		波源F	北及び南防波堤構築	12.31m/s	12.31m/s	0.00m/s		波源F	北防波堤構築	13.72m/s	13.72m/s	0.00m/s		波源G	南防波堤構築	15.27m/s	15.23m/s	0.01m/s		波源H	北防波堤構築	14.12m/s	14.13m/s	0.00m/s		波源I <sup>※1</sup>	防波堤構築なし	13.70m/s	13.70m/s	0.00m/s		波源J <sup>※1</sup>	北及び南防波堤構築	12.94m/s	12.94m/s	0.00m/s		波源K <sup>※1</sup>	南防波堤構築	16.96m/s	16.96m/s	0.00m/s		波源L <sup>※1</sup>	北防波堤構築	12.14m/s	12.14m/s	0.00m/s		波源K <sup>※2</sup>	防波堤構築なし	17.03m/s	17.61m/s	-0.08m/s		波源K <sup>※2</sup>	北及び南防波堤構築	13.54m/s	13.54m/s	0.00m/s	<p align="center"><b>【女川、島根】設計方針の相違</b></p> <ul style="list-style-type: none"> <li>泊では、敷地周辺の土捨場について、地形改変を伴う将来計画があり、基準地震動により斜面崩壊する可能性を否定できないため、本資料にて入力津波への影響を検討する。</li> </ul>
詳細項目	波源	地形モデル	基本ケース(a)	土捨場(将来計画の反映)(b)	差分(b-a)																																																																																																																																		
<b>最大流速</b>																																																																																																																																							
	波源A	防波堤構築なし	13.81m/s	13.81m/s	0.00m/s																																																																																																																																		
	波源B	防波堤構築なし	17.20m/s	17.20m/s	0.00m/s																																																																																																																																		
	波源B	北防波堤構築	13.80m/s	13.80m/s	0.00m/s																																																																																																																																		
	波源C	防波堤構築なし	13.95m/s	13.95m/s	0.00m/s																																																																																																																																		
	波源D	防波堤構築なし	17.57m/s	17.81m/s	0.04m/s																																																																																																																																		
	波源D	北及び南防波堤構築	13.19m/s	13.19m/s	0.00m/s																																																																																																																																		
	波源D	南防波堤構築	16.77m/s	16.77m/s	0.00m/s																																																																																																																																		
	波源D	北防波堤構築	14.80m/s	14.80m/s	0.00m/s																																																																																																																																		
	波源E	北及び南防波堤構築	12.50m/s	12.50m/s	0.00m/s																																																																																																																																		
	波源E	南防波堤構築	16.50m/s	16.50m/s	0.00m/s																																																																																																																																		
	波源F	北及び南防波堤構築	12.31m/s	12.31m/s	0.00m/s																																																																																																																																		
	波源F	北防波堤構築	13.72m/s	13.72m/s	0.00m/s																																																																																																																																		
	波源G	南防波堤構築	15.27m/s	15.23m/s	0.01m/s																																																																																																																																		
	波源H	北防波堤構築	14.12m/s	14.13m/s	0.00m/s																																																																																																																																		
	波源I <sup>※1</sup>	防波堤構築なし	13.70m/s	13.70m/s	0.00m/s																																																																																																																																		
	波源J <sup>※1</sup>	北及び南防波堤構築	12.94m/s	12.94m/s	0.00m/s																																																																																																																																		
	波源K <sup>※1</sup>	南防波堤構築	16.96m/s	16.96m/s	0.00m/s																																																																																																																																		
	波源L <sup>※1</sup>	北防波堤構築	12.14m/s	12.14m/s	0.00m/s																																																																																																																																		
	波源K <sup>※2</sup>	防波堤構築なし	17.03m/s	17.61m/s	-0.08m/s																																																																																																																																		
	波源K <sup>※2</sup>	北及び南防波堤構築	13.54m/s	13.54m/s	0.00m/s																																																																																																																																		

泊発電所3号炉 DB基準適合性 比較表

実線・・設計方針又は設備構成等の相違  
波線・・記載表現、設備名称の相違（実質的な相違なし）

第5条 津波による損傷の防止

女川原子力発電所2号炉	島根原子力発電所2号炉	泊発電所3号炉	相違理由																																																																																																																					
		<p><u>表 2.1.e, d-2 (1) 基本ケースと土捨場の斜面崩壊を考慮した ケースにおける水位変動量の比較（水位上昇側）</u></p> <table border="1"> <thead> <tr> <th>評価項目</th><th>波源</th><th>地形モデル</th><th>基本ケース(a)</th><th>土捨場(将来計画反 映後の斜面崩壊)(b)</th><th>差分(b-a)</th></tr> </thead> <tbody> <tr> <td rowspan="4">水位 上昇 量 防潮堤 封鎖</td><td>波源A</td><td>防潮堤損傷なし</td><td>13.44m</td><td>13.30m</td><td>-0.14m</td></tr> <tr><td>波源E</td><td>北及び南防波堤損傷</td><td>15.65m</td><td>15.65m</td><td>0.04m</td></tr> <tr><td>波源E</td><td>南防波堤損傷</td><td>14.98m</td><td>14.97m</td><td>-0.01m</td></tr> <tr><td>波源F</td><td>北防波堤損傷</td><td>15.68m</td><td>15.72m</td><td>0.04m</td></tr> <tr> <td rowspan="4">水位 上昇 量 3号 取水口</td><td>波源B</td><td>防潮堤損傷なし</td><td>10.45m</td><td>10.45m</td><td>0.00m</td></tr> <tr><td>波源F</td><td>北及び南防波堤損傷</td><td>13.14m</td><td>13.18m</td><td>0.04m</td></tr> <tr><td>波源E</td><td>南防波堤損傷</td><td>11.86m</td><td>11.86m</td><td>0.00m</td></tr> <tr><td>波源B</td><td>北防波堤損傷</td><td>12.89m</td><td>12.91m</td><td>0.02m</td></tr> <tr> <td rowspan="4">水位 上昇 量 1, 2号 取水口</td><td>波源C</td><td>防潮堤損傷なし</td><td>9.34m</td><td>9.29m</td><td>-0.05m</td></tr> <tr><td>波源E</td><td>北及び南防波堤損傷</td><td>12.74m</td><td>12.66m</td><td>-0.08m</td></tr> <tr><td>波源G</td><td>南防波堤損傷</td><td>12.01m</td><td>11.94m</td><td>-0.07m</td></tr> <tr><td>波源H</td><td>北防波堤損傷</td><td>11.50m</td><td>11.48m</td><td>-0.02m</td></tr> <tr> <td rowspan="4">水位 上昇 量 敷水口</td><td>波源D</td><td>防潮堤損傷なし</td><td>10.91m</td><td>10.93m</td><td>0.02m</td></tr> <tr><td>波源D</td><td>北及び南防波堤損傷</td><td>10.84m</td><td>10.84m</td><td>0.00m</td></tr> <tr><td>波源D</td><td>南防波堤損傷</td><td>10.85m</td><td>10.86m</td><td>0.01m</td></tr> <tr><td>波源D</td><td>北防波堤損傷</td><td>10.66m</td><td>10.66m</td><td>0.00m</td></tr> </tbody> </table> <p style="text-align: center;">降雨 (英津入槽トンネル及びアクセスルートトンネルに係る波浪の取り扱いを検討中)</p> <p><u>表 2.1.e, d-2 (2) 基本ケースと土捨場の斜面崩壊を考慮した ケースにおける貯留堰を下回る時間の比較（水位下降側）</u></p> <table border="1"> <thead> <tr> <th>評価項目</th><th>波源</th><th>地形モデル</th><th>基本ケース(a)</th><th>土捨場(将来計画反 映後の斜面崩壊)(b)</th><th>差分(b-a)</th></tr> </thead> <tbody> <tr> <td rowspan="4">貯留堰を 下回る</td><td>波源I</td><td>防波堤損傷なし</td><td>721s</td><td>722s</td><td>1s</td></tr> <tr><td>波源J</td><td>北及び南防波堤損傷</td><td>698s</td><td>699s</td><td>1s</td></tr> <tr><td>波源K</td><td>南防波堤損傷</td><td>743s</td><td>744s</td><td>1s</td></tr> <tr><td>波源L</td><td>北防波堤損傷</td><td>863s</td><td>862s</td><td>-1s</td></tr> </tbody> </table> <p>※ 貯留堰における最大ケース</p>	評価項目	波源	地形モデル	基本ケース(a)	土捨場(将来計画反 映後の斜面崩壊)(b)	差分(b-a)	水位 上昇 量 防潮堤 封鎖	波源A	防潮堤損傷なし	13.44m	13.30m	-0.14m	波源E	北及び南防波堤損傷	15.65m	15.65m	0.04m	波源E	南防波堤損傷	14.98m	14.97m	-0.01m	波源F	北防波堤損傷	15.68m	15.72m	0.04m	水位 上昇 量 3号 取水口	波源B	防潮堤損傷なし	10.45m	10.45m	0.00m	波源F	北及び南防波堤損傷	13.14m	13.18m	0.04m	波源E	南防波堤損傷	11.86m	11.86m	0.00m	波源B	北防波堤損傷	12.89m	12.91m	0.02m	水位 上昇 量 1, 2号 取水口	波源C	防潮堤損傷なし	9.34m	9.29m	-0.05m	波源E	北及び南防波堤損傷	12.74m	12.66m	-0.08m	波源G	南防波堤損傷	12.01m	11.94m	-0.07m	波源H	北防波堤損傷	11.50m	11.48m	-0.02m	水位 上昇 量 敷水口	波源D	防潮堤損傷なし	10.91m	10.93m	0.02m	波源D	北及び南防波堤損傷	10.84m	10.84m	0.00m	波源D	南防波堤損傷	10.85m	10.86m	0.01m	波源D	北防波堤損傷	10.66m	10.66m	0.00m	評価項目	波源	地形モデル	基本ケース(a)	土捨場(将来計画反 映後の斜面崩壊)(b)	差分(b-a)	貯留堰を 下回る	波源I	防波堤損傷なし	721s	722s	1s	波源J	北及び南防波堤損傷	698s	699s	1s	波源K	南防波堤損傷	743s	744s	1s	波源L	北防波堤損傷	863s	862s	-1s	
評価項目	波源	地形モデル	基本ケース(a)	土捨場(将来計画反 映後の斜面崩壊)(b)	差分(b-a)																																																																																																																			
水位 上昇 量 防潮堤 封鎖	波源A	防潮堤損傷なし	13.44m	13.30m	-0.14m																																																																																																																			
	波源E	北及び南防波堤損傷	15.65m	15.65m	0.04m																																																																																																																			
	波源E	南防波堤損傷	14.98m	14.97m	-0.01m																																																																																																																			
	波源F	北防波堤損傷	15.68m	15.72m	0.04m																																																																																																																			
水位 上昇 量 3号 取水口	波源B	防潮堤損傷なし	10.45m	10.45m	0.00m																																																																																																																			
	波源F	北及び南防波堤損傷	13.14m	13.18m	0.04m																																																																																																																			
	波源E	南防波堤損傷	11.86m	11.86m	0.00m																																																																																																																			
	波源B	北防波堤損傷	12.89m	12.91m	0.02m																																																																																																																			
水位 上昇 量 1, 2号 取水口	波源C	防潮堤損傷なし	9.34m	9.29m	-0.05m																																																																																																																			
	波源E	北及び南防波堤損傷	12.74m	12.66m	-0.08m																																																																																																																			
	波源G	南防波堤損傷	12.01m	11.94m	-0.07m																																																																																																																			
	波源H	北防波堤損傷	11.50m	11.48m	-0.02m																																																																																																																			
水位 上昇 量 敷水口	波源D	防潮堤損傷なし	10.91m	10.93m	0.02m																																																																																																																			
	波源D	北及び南防波堤損傷	10.84m	10.84m	0.00m																																																																																																																			
	波源D	南防波堤損傷	10.85m	10.86m	0.01m																																																																																																																			
	波源D	北防波堤損傷	10.66m	10.66m	0.00m																																																																																																																			
評価項目	波源	地形モデル	基本ケース(a)	土捨場(将来計画反 映後の斜面崩壊)(b)	差分(b-a)																																																																																																																			
貯留堰を 下回る	波源I	防波堤損傷なし	721s	722s	1s																																																																																																																			
	波源J	北及び南防波堤損傷	698s	699s	1s																																																																																																																			
	波源K	南防波堤損傷	743s	744s	1s																																																																																																																			
	波源L	北防波堤損傷	863s	862s	-1s																																																																																																																			

## 泊発電所3号炉 DB基準適合性 比較表

実線・・ 設計方針又は設備構成等の相違  
 波線・・ 記載表現、設備名称の相違（実質的な相違なし）

## 第5条 津波による損傷の防止

女川原子力発電所2号炉	島根原子力発電所2号炉	泊発電所3号炉	相違理由																																																																																																											
		<p align="center"><u>表 2.1.e. d-2 (3) 基本ケースと土捨場の斜面崩壊を考慮した ケースにおける最大流速の比較</u></p> <table border="1" style="width: 100%; border-collapse: collapse; text-align: center;"> <thead> <tr> <th>評価項目</th> <th>波源</th> <th>地形モデル</th> <th>基本ケース(a)</th> <th>土捨場(将来許容反響 後の斜面崩壊)(b)</th> <th>差分(b-a)</th> </tr> </thead> <tbody> <tr><td rowspan="16" style="vertical-align: middle; text-align: center;">最大流速</td><td>波源A</td><td>防波堤構築なし</td><td>13.81m/s</td><td>13.81m/s</td><td>0.00m/s</td></tr> <tr><td>波源B</td><td>防波堤構築なし</td><td>17.20m/s</td><td>17.20m/s</td><td>0.00m/s</td></tr> <tr><td>波源B</td><td>北防波堤構築</td><td>12.80m/s</td><td>12.80m/s</td><td>0.00m/s</td></tr> <tr><td>波源C</td><td>防波堤構築なし</td><td>13.85m/s</td><td>13.85m/s</td><td>0.00m/s</td></tr> <tr><td>波源D</td><td>防波堤構築なし</td><td>17.57m/s</td><td>17.80m/s</td><td>0.33m/s</td></tr> <tr><td>波源D</td><td>北及び南防波堤構築</td><td>13.19m/s</td><td>13.19m/s</td><td>-0.01m/s</td></tr> <tr><td>波源D</td><td>南防波堤構築</td><td>18.77m/s</td><td>18.77m/s</td><td>0.00m/s</td></tr> <tr><td>波源D</td><td>北防波堤構築</td><td>14.80m/s</td><td>14.80m/s</td><td>0.00m/s</td></tr> <tr><td>波源E</td><td>北及び南防波堤構築</td><td>12.58m/s</td><td>12.55m/s</td><td>-0.01m/s</td></tr> <tr><td>波源E</td><td>南防波堤構築</td><td>18.58m/s</td><td>18.55m/s</td><td>-0.01m/s</td></tr> <tr><td>波源F</td><td>北及び南防波堤構築</td><td>12.31m/s</td><td>12.31m/s</td><td>0.00m/s</td></tr> <tr><td>波源F</td><td>北防波堤構築</td><td>13.73m/s</td><td>13.73m/s</td><td>0.00m/s</td></tr> <tr><td>波源G</td><td>南防波堤構築</td><td>15.27m/s</td><td>15.27m/s</td><td>0.00m/s</td></tr> <tr><td>波源H</td><td>北防波堤構築</td><td>14.13m/s</td><td>14.13m/s</td><td>0.00m/s</td></tr> <tr><td>波源I<sup>*1</sup></td><td>防波堤構築なし</td><td>13.70m/s</td><td>13.89m/s</td><td>-0.01m/s</td></tr> <tr><td>波源J<sup>*1</sup></td><td>北及び南防波堤構築</td><td>12.94m/s</td><td>12.94m/s</td><td>0.00m/s</td></tr> <tr><td>波源K<sup>*1</sup></td><td>南防波堤構築</td><td>18.00m/s</td><td>18.04m/s</td><td>-0.04m/s</td></tr> <tr><td>波源L<sup>*1</sup></td><td>北防波堤構築</td><td>12.14m/s</td><td>12.13m/s</td><td>-0.01m/s</td></tr> <tr><td>波源M<sup>*2</sup></td><td>防波堤構築なし</td><td>17.63m/s</td><td>17.59m/s</td><td>-0.04m/s</td></tr> <tr><td>波源N<sup>*2</sup></td><td>北及び南防波堤構築</td><td>13.54m/s</td><td>13.53m/s</td><td>-0.01m/s</td></tr> </tbody> </table> <p align="center">※1：現時点における最大ケース    ※2：基本津波ではないが最大流速の観点から追加</p>	評価項目	波源	地形モデル	基本ケース(a)	土捨場(将来許容反響 後の斜面崩壊)(b)	差分(b-a)	最大流速	波源A	防波堤構築なし	13.81m/s	13.81m/s	0.00m/s	波源B	防波堤構築なし	17.20m/s	17.20m/s	0.00m/s	波源B	北防波堤構築	12.80m/s	12.80m/s	0.00m/s	波源C	防波堤構築なし	13.85m/s	13.85m/s	0.00m/s	波源D	防波堤構築なし	17.57m/s	17.80m/s	0.33m/s	波源D	北及び南防波堤構築	13.19m/s	13.19m/s	-0.01m/s	波源D	南防波堤構築	18.77m/s	18.77m/s	0.00m/s	波源D	北防波堤構築	14.80m/s	14.80m/s	0.00m/s	波源E	北及び南防波堤構築	12.58m/s	12.55m/s	-0.01m/s	波源E	南防波堤構築	18.58m/s	18.55m/s	-0.01m/s	波源F	北及び南防波堤構築	12.31m/s	12.31m/s	0.00m/s	波源F	北防波堤構築	13.73m/s	13.73m/s	0.00m/s	波源G	南防波堤構築	15.27m/s	15.27m/s	0.00m/s	波源H	北防波堤構築	14.13m/s	14.13m/s	0.00m/s	波源I <sup>*1</sup>	防波堤構築なし	13.70m/s	13.89m/s	-0.01m/s	波源J <sup>*1</sup>	北及び南防波堤構築	12.94m/s	12.94m/s	0.00m/s	波源K <sup>*1</sup>	南防波堤構築	18.00m/s	18.04m/s	-0.04m/s	波源L <sup>*1</sup>	北防波堤構築	12.14m/s	12.13m/s	-0.01m/s	波源M <sup>*2</sup>	防波堤構築なし	17.63m/s	17.59m/s	-0.04m/s	波源N <sup>*2</sup>	北及び南防波堤構築	13.54m/s	13.53m/s	-0.01m/s	
評価項目	波源	地形モデル	基本ケース(a)	土捨場(将来許容反響 後の斜面崩壊)(b)	差分(b-a)																																																																																																									
最大流速	波源A	防波堤構築なし	13.81m/s	13.81m/s	0.00m/s																																																																																																									
	波源B	防波堤構築なし	17.20m/s	17.20m/s	0.00m/s																																																																																																									
	波源B	北防波堤構築	12.80m/s	12.80m/s	0.00m/s																																																																																																									
	波源C	防波堤構築なし	13.85m/s	13.85m/s	0.00m/s																																																																																																									
	波源D	防波堤構築なし	17.57m/s	17.80m/s	0.33m/s																																																																																																									
	波源D	北及び南防波堤構築	13.19m/s	13.19m/s	-0.01m/s																																																																																																									
	波源D	南防波堤構築	18.77m/s	18.77m/s	0.00m/s																																																																																																									
	波源D	北防波堤構築	14.80m/s	14.80m/s	0.00m/s																																																																																																									
	波源E	北及び南防波堤構築	12.58m/s	12.55m/s	-0.01m/s																																																																																																									
	波源E	南防波堤構築	18.58m/s	18.55m/s	-0.01m/s																																																																																																									
	波源F	北及び南防波堤構築	12.31m/s	12.31m/s	0.00m/s																																																																																																									
	波源F	北防波堤構築	13.73m/s	13.73m/s	0.00m/s																																																																																																									
	波源G	南防波堤構築	15.27m/s	15.27m/s	0.00m/s																																																																																																									
	波源H	北防波堤構築	14.13m/s	14.13m/s	0.00m/s																																																																																																									
	波源I <sup>*1</sup>	防波堤構築なし	13.70m/s	13.89m/s	-0.01m/s																																																																																																									
	波源J <sup>*1</sup>	北及び南防波堤構築	12.94m/s	12.94m/s	0.00m/s																																																																																																									
波源K <sup>*1</sup>	南防波堤構築	18.00m/s	18.04m/s	-0.04m/s																																																																																																										
波源L <sup>*1</sup>	北防波堤構築	12.14m/s	12.13m/s	-0.01m/s																																																																																																										
波源M <sup>*2</sup>	防波堤構築なし	17.63m/s	17.59m/s	-0.04m/s																																																																																																										
波源N <sup>*2</sup>	北及び南防波堤構築	13.54m/s	13.53m/s	-0.01m/s																																																																																																										

泊発電所3号炉 DB基準適合性 比較表

実線・・設計方針又は設備構成等の相違  
波線・・記載表現、設備名称の相違（実質的な相違なし）

第5条 津波による損傷の防止

女川原子力発電所2号炉	島根原子力発電所2号炉	泊発電所3号炉	相違理由																																														
4. 津波評価条件	5. 津波評価条件	<p><b>I. 津波評価条件</b></p> <p>a. ~ e. にて確認した地震及び津波による地形変化の影響を踏まえ、入力津波設定における地形の条件を以下のとおり設定する。</p> <p>(a) 防潮堤前面における水位上昇量</p> <p>防潮堤前面における水位上昇量について、地震及び津波による地形変化を考慮した津波溯上解析の結果を表 2.1. f. a-1 に示す。防波堤の損傷有無のみを考慮した「基本ケース」に対し、「敷地地盤（陸域）5.0m沈下」の地形変化を考慮した場合に水位上昇量の最大値が認められた。その他の地形変化については最大値を更新する可能性が認められなかった。</p> <p>以上より、防潮堤前面の津波高さ（水位上昇側）に係る入力津波を設定する際の地形変化の影響要因としては「敷地地盤（陸域）5.0m沈下」を設定する。地震及び津波による地形変化の検討フローに基づく検討結果を図 2.1. f. a-1 に示す。</p> <p>表 2.1. f. a-1 地震及び津波による地形変化・標高変化の定量的評価結果（防潮堤前面における水位上昇量）</p> <table border="1"> <thead> <tr> <th>評価項目</th> <th>取扱</th> <th>地形モデル</th> <th>高さ マップ (m)</th> <th>地震り地盤(1) の初期 標高 (m)</th> <th>地震り地盤(2) の初期 標高 (m)</th> <th>敷地地盤(1) の初期 標高 (m)</th> <th>敷地地盤(2) の初期 標高 (m)</th> <th>上層部(1)未 計測(2)未 計測の 初期標高 (m)</th> <th>上層部(1)未 計測(2)計 測の 初期標高 (m)</th> </tr> </thead> <tbody> <tr> <td rowspan="4">表 2.1. f. a-1 評価結果 （防潮堤前面における水位上昇量）</td> <td>直限 A</td> <td>防波堤損傷なし</td> <td>15.4m (+0.15m)</td> <td>15.4m (+0.05m)</td> <td>15.4m (+0.25m)</td> <td>15.35m (+0.05m)</td> <td>15.35m (+0.05m)</td> <td>15.35m (+0.15m)</td> <td>15.35m (+0.15m)</td> </tr> <tr> <td>直限 B</td> <td>震源部 東及び南斜面削除</td> <td>15.0m (+0.05m)</td> <td>15.0m (+0.05m)</td> <td>15.0m (+0.25m)</td> <td>15.0m (+0.05m)</td> <td>15.0m (+0.05m)</td> <td>15.0m (+0.15m)</td> <td>15.0m (+0.15m)</td> </tr> <tr> <td>直限 C</td> <td>内斜面削除</td> <td>14.9m (+0.05m)</td> <td>14.9m (+0.05m)</td> <td>14.9m (+0.25m)</td> <td>14.9m (+0.05m)</td> <td>14.9m (+0.05m)</td> <td>14.9m (+0.15m)</td> <td>14.9m (+0.15m)</td> </tr> <tr> <td>直限 D</td> <td>毛干路地盤削除</td> <td>15.6m (+0.15m)</td> <td>15.6m (+0.15m)</td> <td>15.6m (+0.25m)</td> <td>15.6m (+0.15m)</td> <td>15.6m (+0.15m)</td> <td>15.6m (+0.25m)</td> <td>15.6m (+0.25m)</td> </tr> </tbody> </table> <p>括弧内の値は高さマップとの差分（y）- (a)を示す。赤枠は最大値が認められた健保を示す。</p> <p><b>図 2.1. f. a-1 地震及び津波による地形変化・標高変化の検討結果（防潮堤前面における水位上昇量）</b></p> <p>(b) 3号炉取水口における水位上昇量</p> <p>3号炉取水口における水位上昇量について、地震及び津波による地形変化を考慮した津波溯上解析の結果を表 2.1. f. b-1 に示す。防波堤の損傷有無のみを考慮した「基本ケース」に対し、「敷地地盤（陸域）5.0m沈下」の地形変化を考慮した場合に水位上昇量の最大値が認められた。その他の地形変化については「敷地前面海底地盤（海域）2.0m沈下」及び「土捨場（将来）</p>	評価項目	取扱	地形モデル	高さ マップ (m)	地震り地盤(1) の初期 標高 (m)	地震り地盤(2) の初期 標高 (m)	敷地地盤(1) の初期 標高 (m)	敷地地盤(2) の初期 標高 (m)	上層部(1)未 計測(2)未 計測の 初期標高 (m)	上層部(1)未 計測(2)計 測の 初期標高 (m)	表 2.1. f. a-1 評価結果 （防潮堤前面における水位上昇量）	直限 A	防波堤損傷なし	15.4m (+0.15m)	15.4m (+0.05m)	15.4m (+0.25m)	15.35m (+0.05m)	15.35m (+0.05m)	15.35m (+0.15m)	15.35m (+0.15m)	直限 B	震源部 東及び南斜面削除	15.0m (+0.05m)	15.0m (+0.05m)	15.0m (+0.25m)	15.0m (+0.05m)	15.0m (+0.05m)	15.0m (+0.15m)	15.0m (+0.15m)	直限 C	内斜面削除	14.9m (+0.05m)	14.9m (+0.05m)	14.9m (+0.25m)	14.9m (+0.05m)	14.9m (+0.05m)	14.9m (+0.15m)	14.9m (+0.15m)	直限 D	毛干路地盤削除	15.6m (+0.15m)	15.6m (+0.15m)	15.6m (+0.25m)	15.6m (+0.15m)	15.6m (+0.15m)	15.6m (+0.25m)	15.6m (+0.25m)
評価項目	取扱	地形モデル	高さ マップ (m)	地震り地盤(1) の初期 標高 (m)	地震り地盤(2) の初期 標高 (m)	敷地地盤(1) の初期 標高 (m)	敷地地盤(2) の初期 標高 (m)	上層部(1)未 計測(2)未 計測の 初期標高 (m)	上層部(1)未 計測(2)計 測の 初期標高 (m)																																								
表 2.1. f. a-1 評価結果 （防潮堤前面における水位上昇量）	直限 A	防波堤損傷なし	15.4m (+0.15m)	15.4m (+0.05m)	15.4m (+0.25m)	15.35m (+0.05m)	15.35m (+0.05m)	15.35m (+0.15m)	15.35m (+0.15m)																																								
	直限 B	震源部 東及び南斜面削除	15.0m (+0.05m)	15.0m (+0.05m)	15.0m (+0.25m)	15.0m (+0.05m)	15.0m (+0.05m)	15.0m (+0.15m)	15.0m (+0.15m)																																								
	直限 C	内斜面削除	14.9m (+0.05m)	14.9m (+0.05m)	14.9m (+0.25m)	14.9m (+0.05m)	14.9m (+0.05m)	14.9m (+0.15m)	14.9m (+0.15m)																																								
	直限 D	毛干路地盤削除	15.6m (+0.15m)	15.6m (+0.15m)	15.6m (+0.25m)	15.6m (+0.15m)	15.6m (+0.15m)	15.6m (+0.25m)	15.6m (+0.25m)																																								

泊発電所3号炉 DB基準適合性 比較表

実線・・設計方針又は設備構成等の相違  
波線・・記載表現、設備名称の相違（実質的な相違なし）

第5条 津波による損傷の防止

女川原子力発電所2号炉	島根原子力発電所2号炉	泊発電所3号炉	相違理由
		<p>「計画反映後の斜面崩壊」により最大値を更新する可能性が認められたことから、これら地形変化の組合せを考慮する。</p> <p>「敷地地盤（陸域）5.0m沈下」に「敷地前面海底地盤（海域）2.0m沈下」及び「土捨場（将来計画反映後の斜面崩壊）」を組み合せて潮流上解析を行った結果を表2.1.f.b-2に、最大水位上昇量分布図及び時刻歴波形を図2.1.f.b-1示す。結果として、「敷地地盤（陸域）5.0m沈下+敷地前面海底地盤（海域）2.0m沈下+土捨場（将来計画反映後の斜面崩壊）」の場合に水位上昇量の最大値が認められた。</p> <p>以上より、3号炉取水口の津波高さ（水位上昇側）に係る入力津波を設定する際の地形変化の影響要因としては、「敷地地盤（陸域）5.0m沈下+敷地前面海底地盤（海域）2.0m沈下+土捨場（将来計画反映後の斜面崩壊）」を設定する。地震及び津波による地形変化の検討フローに基づく検討結果を図2.1.f.b-2に示す。</p>	<p>【島根】設計方針の相違</p> <ul style="list-style-type: none"> <li>・発電所立地の相違により、入力津波設定における地形の条件が異なる。</li> </ul>

表2.1.f.b-1 想定される地形変化を踏まえた定量的評価結果  
(3号炉取水口における水位上昇量)

評価項目	沿岸	地形モデル	基本ケース	地盤変動(±)					
				埋立地盤(±)	堆積地盤(±)	堆積地盤(±)	敷地地盤(±)	敷地地盤(±)	土捨場(±)
水位上昇量	波浪A	防波堤無構造なし	10.4m	+0.0m (+0.0m)	-0.4m (-0.2m)	-0.4m (-0.2m)	+2.0m (+1.0m)	+2.0m (+1.0m)	+0.4m (+0.0m)
	波浪B	北丸ガラス防波堤構造	13.4m	+2.0m (+1.0m)	+2.0m (+1.0m)	+2.0m (+1.0m)	+2.0m (+1.0m)	+2.0m (+1.0m)	+2.0m (+1.0m)
	波浪C	南防護堤構造	11.8m	+1.7m (+0.9m)	+1.7m (+0.9m)	+1.7m (+0.9m)	+2.0m (+1.0m)	+2.0m (+1.0m)	+1.7m (+0.9m)
	波浪D	北防護堤構造	12.0m	+2.0m (+1.0m)	+2.0m (+1.0m)	+2.0m (+1.0m)	+2.0m (+1.0m)	+2.0m (+1.0m)	+2.0m (+1.0m)

括弧内の数値は基本ケースとの差分(b)-(a)を示す。赤字は想定され認められる増加、青字は最大値を更新する可能性がある地形を示す。

表2.1.f.b-2 地形変化の組合せを考慮した水位変動量の比較  
(3号炉取水口における水位上昇量)

評価項目	沿岸	地形モデル	地盤変動(±) (+/-沈下)	地形変動の組合せ		
				敷地地盤(±)	敷地地盤(±)	敷地地盤(±)
水位上昇量	波浪A	防波堤無構造なし	13.2m	13.2m	13.2m	13.2m
	波浪B	北丸ガラス防波堤構造	13.5m	13.7m	13.5m	13.7m
	波浪C	南防護堤構造	13.4m	13.5m	13.4m	13.5m
	波浪D	北防護堤構造	13.6m	13.7m	13.6m	13.7m

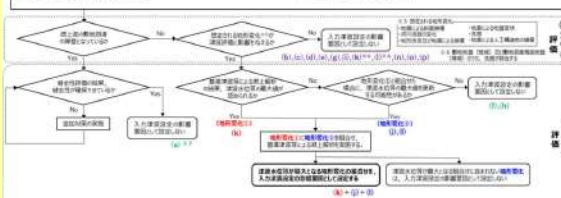


図2.1.f.b-2 地震及び津波による地形変化・標高変化の検討結果  
(3号炉取水口における水位上昇量)

## 泊発電所3号炉 DB基準適合性 比較表

実線・・ 設計方針又は設備構成等の相違  
波線・・ 記載表現、設備名称の相違（実質的な相違なし）

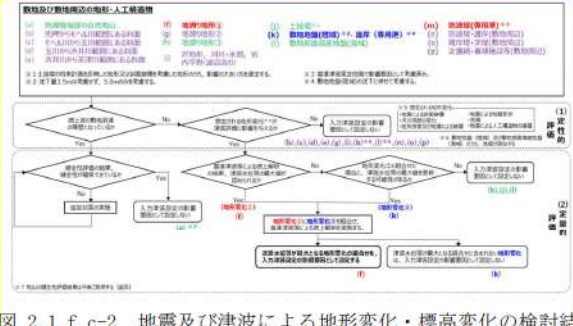
## 第5条 津波による損傷の防止

女川原子力発電所2号炉	島根原子力発電所2号炉	泊発電所3号炉	相違理由																																																															
		<p>(c) 1, 2号炉取水口における水位上昇量</p> <p>1, 2号炉取水口における水位上昇量について、地震及び津波による地形変化を考慮した津波溯上解析の結果を表2.1.f.c-1に示す。防波堤の損傷有無のみを考慮した「基本ケース」に対し、「地滑り地形①の崩壊」の地形変化を考慮した場合に水位上昇量の最大値が認められた。その他の地形変化については「敷地地盤(陸域)5.0m沈下」により最大値を更新する可能性が認められたことから、これら地形変化の組合せを考慮する。</p> <p>「地滑り地形①の崩壊」に「敷地地盤(陸域)5.0m沈下」を組み合せて溯上解析を行った結果を表2.1.f.c-2に、最大水位上昇量分布図及び時刻歴波形を図2.1.f.c-1示す。結果として、水位上昇量の最大値は更新されず、「地滑り地形①の崩壊」の場合に水位上昇量の最大値が認められた。</p> <p>以上より、1, 2号炉取水口の津波高さ（水位上昇側）に係る入力津波を設定する際の地形変化の影響要因としては、「地滑り地形①の崩壊」を設定する。地震及び津波による地形変化の検討フローに基づく検討結果を図2.1.f.c-2に示す。</p> <p><b>表2.1.f.c-1 想定される地形変化を踏まえた定量的評価結果 (1, 2号炉取水口における水位上昇量)</b></p> <table border="1"> <thead> <tr> <th rowspan="2">評価項目</th> <th rowspan="2">波源</th> <th rowspan="2">地形モデル</th> <th rowspan="2">基本ケース (a)</th> <th colspan="4">地形変化(%)</th> </tr> <tr> <th>地滑り地盤①の崩壊</th> <th>地滑り地盤②の崩壊</th> <th>敷地地盤(陸域) 5.0m沈下</th> <th>土壌構成(岩盤 付近)の変動</th> </tr> </thead> <tbody> <tr> <td rowspan="4">水位上昇量</td> <td>波源C 防波堤損傷なし</td> <td>0.30m (0.04m)</td> <td>0.30m (0.04m)</td> <td>12.74m (12.74m)</td> <td>12.77m (12.77m)</td> <td>12.74m (12.74m)</td> <td>9.30m (9.30m)</td> </tr> <tr> <td>1, 2号炉取水口 波源E 北及び南防波堤損傷</td> <td>12.74m (10.04m)</td> <td>12.74m (10.04m)</td> <td>12.74m (12.74m)</td> <td>12.77m (12.77m)</td> <td>12.74m (12.74m)</td> <td>12.78m (12.78m)</td> </tr> <tr> <td>波源G 南防波堤損傷</td> <td>12.01m (0.01m)</td> <td>12.01m (0.01m)</td> <td>12.01m (11.27m)</td> <td>12.01m (11.27m)</td> <td>12.01m (11.27m)</td> <td>11.27m (11.27m)</td> </tr> <tr> <td>波源H 北防波堤損傷</td> <td>11.50m (0.02m)</td> <td>11.50m (0.02m)</td> <td>11.50m (11.52m)</td> <td>11.50m (11.52m)</td> <td>11.50m (11.52m)</td> <td>11.45m (11.45m)</td> </tr> </tbody> </table> <p>括弧内の数値は基本ケースとの差分(b)-(a)を示す。赤字は最大値が認められる結果、青字は最大値と算出する可能性がある結果を示す。</p> <p><b>表2.1.f.c-2 地形変化の組合せを考慮した水位変動量の比較 (1, 2号炉取水口における水位上昇量)</b></p> <table border="1"> <thead> <tr> <th rowspan="2">評価項目</th> <th rowspan="2">波源</th> <th rowspan="2">地形モデル</th> <th rowspan="2">地滑り地形①の崩壊</th> <th colspan="2">地形変化の組合せ</th> </tr> <tr> <th colspan="2">地滑り地形①の崩壊 + 敷地地盤(陸域) 5.0m沈下</th> </tr> </thead> <tbody> <tr> <td rowspan="4">水位上昇量</td> <td rowspan="4">1, 2号炉取水口</td> <td>波源C 防波堤損傷なし</td> <td>0.30m</td> <td>0.02m</td> </tr> <tr> <td>波源E 北及び南防波堤損傷</td> <td>12.78m</td> <td>12.74m</td> </tr> <tr> <td>波源G 南防波堤損傷</td> <td>12.02m</td> <td>11.08m</td> </tr> <tr> <td>波源H 北防波堤損傷</td> <td>11.52m</td> <td>11.97m</td> </tr> </tbody> </table>	評価項目	波源	地形モデル	基本ケース (a)	地形変化(%)				地滑り地盤①の崩壊	地滑り地盤②の崩壊	敷地地盤(陸域) 5.0m沈下	土壌構成(岩盤 付近)の変動	水位上昇量	波源C 防波堤損傷なし	0.30m (0.04m)	0.30m (0.04m)	12.74m (12.74m)	12.77m (12.77m)	12.74m (12.74m)	9.30m (9.30m)	1, 2号炉取水口 波源E 北及び南防波堤損傷	12.74m (10.04m)	12.74m (10.04m)	12.74m (12.74m)	12.77m (12.77m)	12.74m (12.74m)	12.78m (12.78m)	波源G 南防波堤損傷	12.01m (0.01m)	12.01m (0.01m)	12.01m (11.27m)	12.01m (11.27m)	12.01m (11.27m)	11.27m (11.27m)	波源H 北防波堤損傷	11.50m (0.02m)	11.50m (0.02m)	11.50m (11.52m)	11.50m (11.52m)	11.50m (11.52m)	11.45m (11.45m)	評価項目	波源	地形モデル	地滑り地形①の崩壊	地形変化の組合せ		地滑り地形①の崩壊 + 敷地地盤(陸域) 5.0m沈下		水位上昇量	1, 2号炉取水口	波源C 防波堤損傷なし	0.30m	0.02m	波源E 北及び南防波堤損傷	12.78m	12.74m	波源G 南防波堤損傷	12.02m	11.08m	波源H 北防波堤損傷	11.52m	11.97m	<p>【島根】設計方針の相違</p> <ul style="list-style-type: none"> <li>・発電所立地の相違により、入力津波設定における地形の条件が異なる。</li> </ul>
評価項目	波源	地形モデル					基本ケース (a)	地形変化(%)																																																										
			地滑り地盤①の崩壊	地滑り地盤②の崩壊	敷地地盤(陸域) 5.0m沈下	土壌構成(岩盤 付近)の変動																																																												
水位上昇量	波源C 防波堤損傷なし	0.30m (0.04m)	0.30m (0.04m)	12.74m (12.74m)	12.77m (12.77m)	12.74m (12.74m)	9.30m (9.30m)																																																											
	1, 2号炉取水口 波源E 北及び南防波堤損傷	12.74m (10.04m)	12.74m (10.04m)	12.74m (12.74m)	12.77m (12.77m)	12.74m (12.74m)	12.78m (12.78m)																																																											
	波源G 南防波堤損傷	12.01m (0.01m)	12.01m (0.01m)	12.01m (11.27m)	12.01m (11.27m)	12.01m (11.27m)	11.27m (11.27m)																																																											
	波源H 北防波堤損傷	11.50m (0.02m)	11.50m (0.02m)	11.50m (11.52m)	11.50m (11.52m)	11.50m (11.52m)	11.45m (11.45m)																																																											
評価項目	波源	地形モデル	地滑り地形①の崩壊	地形変化の組合せ																																																														
				地滑り地形①の崩壊 + 敷地地盤(陸域) 5.0m沈下																																																														
水位上昇量	1, 2号炉取水口	波源C 防波堤損傷なし	0.30m	0.02m																																																														
		波源E 北及び南防波堤損傷	12.78m	12.74m																																																														
		波源G 南防波堤損傷	12.02m	11.08m																																																														
		波源H 北防波堤損傷	11.52m	11.97m																																																														

泊発電所3号炉 DB基準適合性 比較表

実線・・設計方針又は設備構成等の相違  
波線・・記載表現、設備名称の相違（実質的な相違なし）

第5条 津波による損傷の防止

女川原子力発電所2号炉	島根原子力発電所2号炉	泊発電所3号炉	相違理由																																																		
		 <p>図 2.1.f.c-2 地震及び津波による地形変化・標高変化の検討結果（1, 2号炉取水口における水位上昇量）</p> <p>(d) 放水口における水位上昇量</p> <p>放水口における水位上昇量について、地震及び津波による地形変化を考慮した津波潮上解析の結果を表 2.1.f.d-1 に示す。防波堤の損傷有無のみを考慮した「基本ケース」に対し、「土捨場(将来計画反映後の斜面崩壊)」の地形変化を考慮した場合に水位上昇量の最大値が認められた。その他の地形変化については最大値を更新する可能性が認められなかった。</p> <p>以上より、放水口の津波高さ（水位上昇側）に係る入力津波を設定する際の地形変化の影響要因としては、「土捨場(将来計画反映後の斜面崩壊)」を設定する。地震及び津波による地形変化の検討フローに基づく検討結果を図 2.1.f.d-1 に示す。</p> <p>表 2.1.f.d-1 想定される地形変化を踏まえた定量的評価結果 (放水口における水位上昇量)</p> <table border="1" data-bbox="1291 952 1864 1063"> <thead> <tr> <th>評価項目</th> <th>津波</th> <th>地形モデル</th> <th>基本ケース(%)</th> <th>地盤の地盤勾配</th> <th>地盤の地盤勾配</th> <th>敷地範囲内地盤勾配</th> <th>敷地範囲外地盤勾配</th> <th>土捨場(将来計画反映後の斜面崩壊)</th> <th>土捨場(将来計画反映後の斜面崩壊)</th> </tr> </thead> <tbody> <tr> <td>水位上昇量</td> <td>海溝D</td> <td>防波堤無構造なし</td> <td>10.0m</td> <td>10.0m (+0.0m)</td> <td>10.0m (+0.0m)</td> <td>10.0m (+0.0m)</td> <td>10.0m (+0.0m)</td> <td>10.0m (+0.0m)</td> <td>10.0m (+0.0m)</td> </tr> <tr> <td></td> <td>波浪D</td> <td>走行り放波堤構造</td> <td>10.84m</td> <td>10.34m (-0.66m)</td> <td>10.34m (-0.66m)</td> <td>10.34m (-0.66m)</td> <td>10.34m (-0.66m)</td> <td>10.34m (-0.66m)</td> <td>10.34m (-0.66m)</td> </tr> <tr> <td></td> <td>波浪D</td> <td>冲積堤構造</td> <td>10.25m</td> <td>10.35m (+0.10m)</td> <td>10.35m (+0.10m)</td> <td>10.35m (+0.10m)</td> <td>10.35m (+0.10m)</td> <td>10.35m (+0.10m)</td> <td>10.35m (+0.10m)</td> </tr> <tr> <td></td> <td>波浪D</td> <td>冲積堤構造</td> <td>13.9m</td> <td>13.9m (+0.0m)</td> <td>13.9m (+0.0m)</td> <td>13.9m (+0.0m)</td> <td>13.9m (+0.0m)</td> <td>13.9m (+0.0m)</td> <td>13.9m (+0.0m)</td> </tr> </tbody> </table> <p>括弧内の数値は基本ケースとの差異(%)を示す。赤字は最大値が認められたものである。</p>  <p>図 2.1.f.d-1 地震及び津波による地形変化・標高変化の検討結果(放水口における水位上昇量)</p>	評価項目	津波	地形モデル	基本ケース(%)	地盤の地盤勾配	地盤の地盤勾配	敷地範囲内地盤勾配	敷地範囲外地盤勾配	土捨場(将来計画反映後の斜面崩壊)	土捨場(将来計画反映後の斜面崩壊)	水位上昇量	海溝D	防波堤無構造なし	10.0m	10.0m (+0.0m)	10.0m (+0.0m)	10.0m (+0.0m)	10.0m (+0.0m)	10.0m (+0.0m)	10.0m (+0.0m)		波浪D	走行り放波堤構造	10.84m	10.34m (-0.66m)	10.34m (-0.66m)	10.34m (-0.66m)	10.34m (-0.66m)	10.34m (-0.66m)	10.34m (-0.66m)		波浪D	冲積堤構造	10.25m	10.35m (+0.10m)	10.35m (+0.10m)	10.35m (+0.10m)	10.35m (+0.10m)	10.35m (+0.10m)	10.35m (+0.10m)		波浪D	冲積堤構造	13.9m	13.9m (+0.0m)	13.9m (+0.0m)	13.9m (+0.0m)	13.9m (+0.0m)	13.9m (+0.0m)	13.9m (+0.0m)	<p>【島根】設計方針の相違</p> <ul style="list-style-type: none"> <li>・発電所立地の相違により、入力津波設定における地形の条件が異なる。</li> </ul>
評価項目	津波	地形モデル	基本ケース(%)	地盤の地盤勾配	地盤の地盤勾配	敷地範囲内地盤勾配	敷地範囲外地盤勾配	土捨場(将来計画反映後の斜面崩壊)	土捨場(将来計画反映後の斜面崩壊)																																												
水位上昇量	海溝D	防波堤無構造なし	10.0m	10.0m (+0.0m)	10.0m (+0.0m)	10.0m (+0.0m)	10.0m (+0.0m)	10.0m (+0.0m)	10.0m (+0.0m)																																												
	波浪D	走行り放波堤構造	10.84m	10.34m (-0.66m)	10.34m (-0.66m)	10.34m (-0.66m)	10.34m (-0.66m)	10.34m (-0.66m)	10.34m (-0.66m)																																												
	波浪D	冲積堤構造	10.25m	10.35m (+0.10m)	10.35m (+0.10m)	10.35m (+0.10m)	10.35m (+0.10m)	10.35m (+0.10m)	10.35m (+0.10m)																																												
	波浪D	冲積堤構造	13.9m	13.9m (+0.0m)	13.9m (+0.0m)	13.9m (+0.0m)	13.9m (+0.0m)	13.9m (+0.0m)	13.9m (+0.0m)																																												

## 泊発電所3号炉 DB基準適合性 比較表

実線・・設計方針又は設備構成等の相違  
 波線・・記載表現、設備名称の相違（実質的な相違なし）

## 第5条 津波による損傷の防止

女川原子力発電所2号炉	島根原子力発電所2号炉	泊発電所3号炉	相違理由
		<p>(e) 茶津入構トンネルにおける水位上昇量</p> <p>追而 (茶津入構トンネル及びアクセスルートトンネルに係る波源の取り扱いを検討中)</p> <p><u>表2.1.f.e-1 想定される地形変化を踏まえた定量的評価結果</u> (茶津入構トンネルにおける水位上昇量)</p> <p>追而 (茶津入構トンネル及びアクセスルートトンネルに係る波源の取り扱いを検討中)</p> <p><u>図2.1.f.e-1 地震及び津波による地形変化・標高変化の検討結果</u> (茶津入構トンネルにおける水位上昇量)</p> <p>(f) アクセスルートトンネルにおける水位上昇量</p> <p>追而 (茶津入構トンネル及びアクセスルートトンネルに係る波源の取り扱いを検討中)</p> <p><u>表2.1.f.f-1 想定される地形変化を踏まえた定量的評価結果</u> (アクセスルートトンネルにおける水位上昇量)</p> <p>追而 (茶津入構トンネル及びアクセスルートトンネルに係る波源の取り扱いを検討中)</p>	<p>【島根】設計方針の相違</p> <ul style="list-style-type: none"> <li>・発電所立地の相違により、入力津波設定における地形の条件が異なる。</li> </ul>

泊発電所 3号炉 DB基準適合性 比較表

実線：・設計方針又は設備構成等の相違  
波線：・記載表現、設備名称の相違（実質的な相違なし）

## 第5条 津波による損傷の防止

女川原子力発電所 2号炉	島根原子力発電所 2号炉	泊発電所 3号炉	相違理由
		<p style="text-align: center;">造面 (岸側入港トンネル及びアクセスホールにおける水位上昇量)</p>	<p>【島根】 設計方針の相違</p> <ul style="list-style-type: none"> <li>・発電所立地の相違により、入力津波設定における地形の条件が異なる。</li> </ul>

泊発電所 3号炉 DB基準適合性 比較表

実線・・・設計方針又は設備構成等の相違  
波線・・・記載表現、設備名称の相違（実質的な相違なし）

## 第5条 津波による損傷の防止

女川原子力発電所 2号炉	島根原子力発電所 2号炉	泊発電所 3号炉	相違理由
		<p>(h) 最大流速</p> <p>最大流速について、地震及び津波による地形変化を考慮した津波週上解析の結果を表 2.1. f. h-1 に示す。防波堤の損傷有無のみを考慮した「基本ケース」に対し、「地滑り地形①の崩壊」の地形変化を考慮した場合に最大流速の最大値が認められた。その他の地形変化については「敷地前面海底地盤(海域)2.0m沈下」により最大値を更新する可能性が認められたことから、これら地形変化の組合せを考慮する。</p> <p>「地滑り地形①の崩壊」に「敷地前面海底地盤(海域)2.0m沈下」を組み合せて週上解析を行った結果を表 2.1. f. h-2 に、最大流速分布図を図 2.1. f. h-1 示す。結果として、「地滑り地形①の崩壊+敷地前面海底地盤(海域)2.0m沈下」の場合に最大流速の最大値が認められた。</p> <p>以上より、最大流速に係る入力津波を設定する際の地形変化の影響要因としては、「地滑り地形①の崩壊+敷地前面海底地盤(海域)2.0m沈下」を設定する。地震及び津波による地形変化の検討フローに基づく検討結果を図 2.1. f. h-2 に示す。</p>	<p>【島根】設計方針の相違</p> <ul style="list-style-type: none"> <li>・発電所立地の相違により、入力津波設定における地形の条件が異なる。</li> </ul>

泊発電所3号炉 DB基準適合性 比較表

実線・・設計方針又は設備構成等の相違  
波線・・記載表現、設備名称の相違（実質的な相違なし）

第5条 津波による損傷の防止

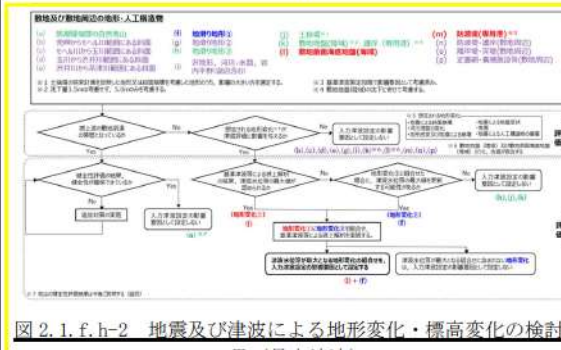
女川原子力発電所2号炉	島根原子力発電所2号炉	泊発電所3号炉	相違理由
		 <p>【島根】設計方針の相違</p> <ul style="list-style-type: none"> <li>・発電所立地の相違により、入力津波設定における地形の条件が異なる。</li> </ul>	

図 2.1.f, h-2 地震及び津波による地形変化・標高変化の検討結果（最大流速）

## 泊発電所3号炉 DB基準適合性 比較表

実線・・設計方針又は設備構成等の相違  
波線・・記載表現、設備名称の相違（実質的な相違なし）

## 第5条 津波による損傷の防止

女川原子力発電所2号炉	島根原子力発電所2号炉	泊発電所3号炉	相違理由
<p><b>(1) 概要</b></p> <p>敷地への週上及び流下経路上の地盤等について、「2. 敷地の沈下量設定」を踏まえ、以下に示す地震による地形等の変化を考慮した津波週上解析を実施し、敷地への週上経路に及ぼす影響及び入力津波の設定において考慮すべき地形変化について検討する。</p> <ul style="list-style-type: none"> <li>・基準地震動 <math>S_s</math> による損傷が想定される防波堤については、それらがない状態での津波評価を実施する。</li> <li>・護岸付近の敷地は、基準地震動 <math>S_s</math> による沈下を想定し、保守的に設定した沈下量1mを地形に反映して、津波評価を実施する。</li> </ul> <p><b>(2) 津波週上解析の検討条件</b></p> <p>検討に用いる基準津波の概要を表2に、上記検討方針に基づく検討ケースを表3に、各検討ケースで設定する敷地付近の護岸の沈下形状及び防波堤の損傷イメージを図22に示す。津波週上解析に用いる地形モデルの代表例を図23に示す。</p>	<p>地震による地形変化の影響の検討結果及びその結果を踏まえた入力津波設定における地形の条件は以下のとおり。</p> <ul style="list-style-type: none"> <li>・敷地周辺斜面の崩壊形状については、防波壁両端部の地山を対象に基準地震動 <math>S_s</math> により津波が敷地に週上するような崩壊は起こらないことを確認した。また、地すべり地形が判読されている地山の斜面崩壊についても検討し、敷地に与える影響がほとんどないことから、斜面崩壊の影響要因として考慮せず評価を行う。</li> <li>・防波壁は、堅固な岩盤（一部、地盤改良）に支持されていることから、地震時の液状化に伴う沈下は発生しない。一方、防波壁前面に存在する埋戻土は、地震時の液状化により沈下する可能性があるため、基準地震動 <math>S_s</math> による防波壁前面の沈下を考慮した津波解析を実施した結果、入力津波高さが変わらないこと等を確認したことから、地盤変状を影響要因として考慮せず評価を行う。</li> <li>・防波堤損傷に関する検討の結果、津波高さについては、防波堤の有無による差異が認められることから、影響要因として考慮する。また、津波高さ以外については、発電所沖</li> </ul>	<p><b>(i) 地震及び津波による地形変化の影響評価まとめ</b></p> <p>以上を踏まえ、各評価項目に係る入力津波を設定する際の影響要因として設定する地形変化を表2.1.f.i-1に示す。また、地震及び津波による地形変化の影響評価の結果は以下の通りであり、表2.1.f.i-2に整理してまとめる。</p> <ul style="list-style-type: none"> <li>・敷地周辺斜面の崩壊形状については、防波壁両端部の地山を対象に基準地震動により津波が敷地に週上するような崩壊は起こらないことを確認した。また、地すべり地形が判読されている地山の斜面崩壊についても検討し、地すべり地形①の斜面崩壊は、1、2号炉取水口における水位上昇量及び最大流速に影響を与えることが定量的に確認されたことから、1、2号炉取水口の津波高さ（水位上昇側）及び最大流速に係る入力津波を設定する際の影響要因として設定する。</li> <li>・防潮堤は、堅固な岩盤に支持されていることから、地震時の液状化に伴う沈下は発生しない。一方、防潮堤前面の敷地地盤に存在する埋戻土及び砂層は、地震時の液状化により沈下する可能性があるため、基準地震動による敷地地盤の沈下について、3.5m沈下及び5.0m沈下を考慮した津波解析を実施した。敷地地盤（陸域）の沈下は、防潮堤前面及び3号炉取水口における津波高さ（水位上昇側）に与える影響が大きく、その影響は3.5m沈下よりも5.0m沈下の方が大きいことが定量的に確認されたことから、防潮堤前面及び3号炉取水口の津波高さ（水位上昇側）に係る入力津波を設定する際の影響要因として敷地地盤（陸域）の沈下5.0mを設定する。</li> <li>・敷地前面海底地盤に存在する堆積層（沖積層及び洪積層）は、地震時の液状化により沈下する可能性があるため、基準地震動による敷地前面海底地盤の沈下を考慮した津波解析を実施した結果、3号炉取水口における水位上昇量及び最大流速に影響を与えることが定量的に確認されたことから、3号炉取水口に津波高さ（水位上昇側）及び最大流速に係る入力津波を設定する際の影響要因として設定する。</li> <li>・発電所周辺の土捨場について地形改変を伴う将来計画及び基準地震動による斜面崩壊を考慮した津波解析を実施した結果、3号炉取水口における水位上昇量及び放水口における水位上昇量に影響を与えることが定量的に確認されたことから、3号炉取水口に津波高さ（水位上昇側）及び放水口の津波高さ（水位上昇側）に係る入力津波を設定する際の影響要因として設定する。</li> <li>・防波堤損傷に関する検討の結果、津波高さについては、防波堤の有無による差異が認められることから、影響要因として設定する。また、津波高さ以外については、発電所沖</li> </ul>	<p><b>【女川、島根】記載方針の相違</b></p> <ul style="list-style-type: none"> <li>・泊では、敷地及び敷地周辺の特徴を踏まえ、入力津波に影響を与える可能性のある要因を網羅する観点で、入力津波設定における地形条件を一覧表を示す。</li> </ul> <p><b>【島根】設計方針の相違</b></p> <ul style="list-style-type: none"> <li>・発電所立地の相違により、入力津波設定における地形の条件が異なる。</li> </ul> <p><b>【島根】発電所立地の相違</b></p> <ul style="list-style-type: none"> <li>・発電所立地の相違により、地震によると地盤沈下量が異なる。その結果、入力津波として考慮する影響要因が異なる。</li> </ul>

## 泊発電所3号炉 DB基準適合性 比較表

実線・・設計方針又は設備構成等の相違  
波線・・記載表現、設備名称の相違（実質的な相違なし）

## 第5条 津波による損傷の防止

女川原子力発電所2号炉	島根原子力発電所2号炉	泊発電所3号炉	相違理由																							
	<p>合は防波堤の有無による最大流速分布に差異が認められないことから影響要因として考慮しない。一方、港湾内及び港湾外は最大流速分布に差異が認められることから、影響要因として考慮する。</p>	<p>合は防波堤の有無による最大流速分布に差異が認められないことから影響要因として設定しない。一方、港湾内及び港湾外は最大流速分布及び最大流速に差異が認められることがから、影響要因として設定する。</p> <p>表 2.1.f.i-1 各評価項目に係る入力津波の影響要因として設定する地形変化一覧</p> <table border="1"> <thead> <tr> <th colspan="2">評価項目</th><th>入力津波の影響要因とする地形変化</th></tr> </thead> <tbody> <tr> <td rowspan="5">津波高さ</td><td>防潮堤前面</td><td>敷地地盤(陸域)沈下(5.0m)</td></tr> <tr> <td></td><td>敷地地盤(陸域)沈下(5.0m) + 敷地前面海底地盤(海域)沈下(2.0m)</td></tr> <tr> <td>3号炉取水口</td><td>土捨場 (将来地形を反映した地形の崩壊)</td></tr> <tr> <td>1,2号炉取水口</td><td>地滑り地形①の崩壊</td></tr> <tr> <td>放水口</td><td>土捨場 (将来地形を反映した地形の崩壊)</td></tr> <tr> <td colspan="2">追面 (茶津入構トンネル及びアクセスルートトンネルに係る波源の取り扱いを検討中)</td></tr> <tr> <td rowspan="3">津波高さ以外</td><td>貯留堰を下回る時間</td><td>-</td></tr> <tr> <td>最大流速</td><td>敷地前面海底地盤(海域)沈下(2.0m) + 地滑り地形①の崩壊</td></tr> <tr> <td>流況</td><td>-</td></tr> </tbody> </table> <p>※防波堤の損傷については、基準津波の策定期階で考慮済みである。</p>	評価項目		入力津波の影響要因とする地形変化	津波高さ	防潮堤前面	敷地地盤(陸域)沈下(5.0m)		敷地地盤(陸域)沈下(5.0m) + 敷地前面海底地盤(海域)沈下(2.0m)	3号炉取水口	土捨場 (将来地形を反映した地形の崩壊)	1,2号炉取水口	地滑り地形①の崩壊	放水口	土捨場 (将来地形を反映した地形の崩壊)	追面 (茶津入構トンネル及びアクセスルートトンネルに係る波源の取り扱いを検討中)		津波高さ以外	貯留堰を下回る時間	-	最大流速	敷地前面海底地盤(海域)沈下(2.0m) + 地滑り地形①の崩壊	流況	-	
評価項目		入力津波の影響要因とする地形変化																								
津波高さ	防潮堤前面	敷地地盤(陸域)沈下(5.0m)																								
		敷地地盤(陸域)沈下(5.0m) + 敷地前面海底地盤(海域)沈下(2.0m)																								
	3号炉取水口	土捨場 (将来地形を反映した地形の崩壊)																								
	1,2号炉取水口	地滑り地形①の崩壊																								
	放水口	土捨場 (将来地形を反映した地形の崩壊)																								
追面 (茶津入構トンネル及びアクセスルートトンネルに係る波源の取り扱いを検討中)																										
津波高さ以外	貯留堰を下回る時間	-																								
	最大流速	敷地前面海底地盤(海域)沈下(2.0m) + 地滑り地形①の崩壊																								
	流況	-																								

泊発電所3号炉 DB基準適合性 比較表

実線・・・設計方針又は設備構成等の相違  
波線・・記載表現、設備名称の相違（実質的な相違なし）

第5条 津波による損傷の防止

女川原子力発電所2号炉	島根原子力発電所2号炉	泊発電所3号炉	相違理由																																						
		<p>表2.1.1-1 地震・津波による地形等の変化に係る評価表 (1.3)</p> <table border="1"> <thead> <tr> <th rowspan="2">敷地及び敷地周辺の地形・人工構造物 評価用評価基準</th> <th colspan="2">定性的評価</th> <th rowspan="2">定量的評価</th> </tr> <tr> <th>地上被 倒壊の 度合</th> <th>想定さ れる地 形変化 率</th> </tr> </thead> <tbody> <tr> <td>外海側海岸の自然地山</td> <td>○</td> <td>-</td> <td>海浜部海浜斜面付近に複数の砂嘴が併存する。また、これらは、主として、入力津波の津波位相依存性から、入力津波の影響を受けることとしている。</td> </tr> <tr> <td>里浜からモヘリ川裏面にある斜面</td> <td>x</td> <td>-</td> <td>斜面の標高の高い箇所に複数の砂嘴が見られる。他の箇所には津波位相依存性等を示さないため、入力津波の影響を受けていない。</td> </tr> <tr> <td>モヘリ川から玉川裏面にある斜面</td> <td>x</td> <td>-</td> <td>【参考事項】 1.2号炉門扉水口における津波高さとが並列的に記述されたことから、1.1、2号炉門扉水口の津波高さに対する影響範囲としている。 【参考事項】 「津波位相依存性」をもつて、津波位相依存性を示すものがある場合に留意する。</td> </tr> <tr> <td>玉川から佐川裏面にある斜面</td> <td>x</td> <td>-</td> <td>斜面の標高の高い箇所に複数の砂嘴が見られる。他の箇所には津波位相依存性等を示さないため、入力津波の影響を受けていない。</td> </tr> <tr> <td>佐井川から茶津裏面にある斜面</td> <td>x</td> <td>-</td> <td>【参考事項】 1.2号炉門扉水口における津波高さとが並列的に記述されたことから、1.1、2号炉門扉水口の津波高さに対する影響範囲としている。 【参考事項】 「津波位相依存性」をもつて、津波位相依存性を示すものがある場合に留意する。</td> </tr> <tr> <td>敷地北面の斜面</td> <td>x</td> <td>-</td> <td>地盤による斜面</td> </tr> <tr> <td>敷地東面の斜面</td> <td>x</td> <td>-</td> <td>地盤による斜面</td> </tr> <tr> <td>敷地及び敷地周辺の構造物の構造的・機能的評価</td> <td></td> <td></td> <td>【参考事項】 地盤による斜面と同程度であるため、津波高さに係る入力値を考慮する。 【参考事項】 「津波高さ以外」、「津波位相依存性」をもつて、津波位相依存性を示すものがある場合に留意する。</td> </tr> </tbody> </table>	敷地及び敷地周辺の地形・人工構造物 評価用評価基準	定性的評価		定量的評価	地上被 倒壊の 度合	想定さ れる地 形変化 率	外海側海岸の自然地山	○	-	海浜部海浜斜面付近に複数の砂嘴が併存する。また、これらは、主として、入力津波の津波位相依存性から、入力津波の影響を受けることとしている。	里浜からモヘリ川裏面にある斜面	x	-	斜面の標高の高い箇所に複数の砂嘴が見られる。他の箇所には津波位相依存性等を示さないため、入力津波の影響を受けていない。	モヘリ川から玉川裏面にある斜面	x	-	【参考事項】 1.2号炉門扉水口における津波高さとが並列的に記述されたことから、1.1、2号炉門扉水口の津波高さに対する影響範囲としている。 【参考事項】 「津波位相依存性」をもつて、津波位相依存性を示すものがある場合に留意する。	玉川から佐川裏面にある斜面	x	-	斜面の標高の高い箇所に複数の砂嘴が見られる。他の箇所には津波位相依存性等を示さないため、入力津波の影響を受けていない。	佐井川から茶津裏面にある斜面	x	-	【参考事項】 1.2号炉門扉水口における津波高さとが並列的に記述されたことから、1.1、2号炉門扉水口の津波高さに対する影響範囲としている。 【参考事項】 「津波位相依存性」をもつて、津波位相依存性を示すものがある場合に留意する。	敷地北面の斜面	x	-	地盤による斜面	敷地東面の斜面	x	-	地盤による斜面	敷地及び敷地周辺の構造物の構造的・機能的評価			【参考事項】 地盤による斜面と同程度であるため、津波高さに係る入力値を考慮する。 【参考事項】 「津波高さ以外」、「津波位相依存性」をもつて、津波位相依存性を示すものがある場合に留意する。	<p>【女川、島根】記載方針の相違</p> <ul style="list-style-type: none"> <li>泊では、敷地及び敷地周辺の特徴を踏まえ、入力津波に影響を与える可能性のある要因を網羅する観点で、入力津波設定における地形条件を一覧表を示す。</li> </ul>
敷地及び敷地周辺の地形・人工構造物 評価用評価基準	定性的評価			定量的評価																																					
	地上被 倒壊の 度合	想定さ れる地 形変化 率																																							
外海側海岸の自然地山	○	-	海浜部海浜斜面付近に複数の砂嘴が併存する。また、これらは、主として、入力津波の津波位相依存性から、入力津波の影響を受けることとしている。																																						
里浜からモヘリ川裏面にある斜面	x	-	斜面の標高の高い箇所に複数の砂嘴が見られる。他の箇所には津波位相依存性等を示さないため、入力津波の影響を受けていない。																																						
モヘリ川から玉川裏面にある斜面	x	-	【参考事項】 1.2号炉門扉水口における津波高さとが並列的に記述されたことから、1.1、2号炉門扉水口の津波高さに対する影響範囲としている。 【参考事項】 「津波位相依存性」をもつて、津波位相依存性を示すものがある場合に留意する。																																						
玉川から佐川裏面にある斜面	x	-	斜面の標高の高い箇所に複数の砂嘴が見られる。他の箇所には津波位相依存性等を示さないため、入力津波の影響を受けていない。																																						
佐井川から茶津裏面にある斜面	x	-	【参考事項】 1.2号炉門扉水口における津波高さとが並列的に記述されたことから、1.1、2号炉門扉水口の津波高さに対する影響範囲としている。 【参考事項】 「津波位相依存性」をもつて、津波位相依存性を示すものがある場合に留意する。																																						
敷地北面の斜面	x	-	地盤による斜面																																						
敷地東面の斜面	x	-	地盤による斜面																																						
敷地及び敷地周辺の構造物の構造的・機能的評価			【参考事項】 地盤による斜面と同程度であるため、津波高さに係る入力値を考慮する。 【参考事項】 「津波高さ以外」、「津波位相依存性」をもつて、津波位相依存性を示すものがある場合に留意する。																																						

泊発電所 3号炉 DB基準適合性 比較表

実線・・設計方針又は設備構成等の相違  
波線・・記載表現、設備名称の相違（実質的な相違なし）

## 第5条 津波による損傷の防止

泊発電所 3号炉 DB基準適合性 比較表

**実線** : 設計方針又は設備構成等の相違  
**波線** : 記載表現、設備名称の相違（実質的な相違なし）

## 第5条 津波による損傷の防止

女川原子力発電所 2号炉

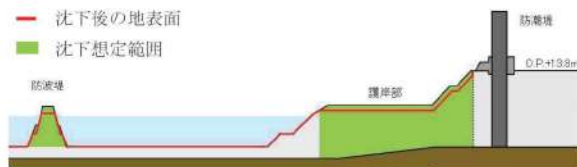
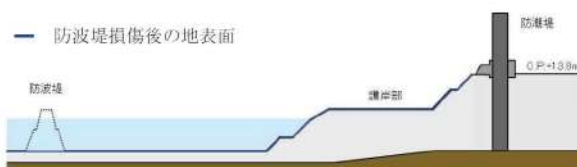
島根原子力発電所 2号炉

相違理由

表2.1.上 地震・津波による地形等の変化に係る評価まとめ(3/3)

被災地及び被災地周辺の地形・人工構造物	過る波 想定される現象 開発化	定性的評価		定量的評価
		津波詳細、与えられた影響	「津波面」	
新潟市 柏崎刈羽原発の津波等地形	津波 想定される現象 開発化	新潟市周辺は地盤変形により、防潮堤前面・アカモスルートンネル前面・津波侵食による現象が想定される。また、流入側となる河川の河床高さが低下する事で、河川水位が低下する。また、河川水位が低下する事で、河川の下流を走る道路が陥没する。また、河川の下流を走る道路が陥没すると考えられる。また、河川の下流を走る道路が陥没すると考えられる。また、河川の下流を走る道路が陥没すると考えられる。	津波面	新潟市周辺は地盤変形により、防潮堤前面・アカモスルートンネル前面・津波侵食による現象が想定される。また、流入側となる河川の河床高さが低下する事で、河川水位が低下する事で、河川の下流を走る道路が陥没する。また、河川の下流を走る道路が陥没すると考えられる。また、河川の下流を走る道路が陥没すると考えられる。また、河川の下流を走る道路が陥没すると考えられる。
新潟市 柏崎刈羽原発の津波等地形	津波 想定される現象 開発化	新潟市周辺は地盤変形により、防潮堤前面・アカモスルートンネル前面・津波侵食による現象が想定される。また、流入側となる河川の河床高さが低下する事で、河川水位が低下する事で、河川の下流を走る道路が陥没する。また、河川の下流を走る道路が陥没すると考えられる。また、河川の下流を走る道路が陥没すると考えられる。また、河川の下流を走る道路が陥没すると考えられる。	津波面	新潟市周辺は地盤変形により、防潮堤前面・アカモスルートンネル前面・津波侵食による現象が想定される。また、流入側となる河川の河床高さが低下する事で、河川水位が低下する事で、河川の下流を走る道路が陥没する。また、河川の下流を走る道路が陥没すると考えられる。また、河川の下流を走る道路が陥没すると考えられる。
新潟市 柏崎刈羽原発の津波等地形	津波 想定される現象 開発化	新潟市周辺は地盤変形により、防潮堤前面・アカモスルートンネル前面・津波侵食による現象が想定される。また、流入側となる河川の河床高さが低下する事で、河川水位が低下する事で、河川の下流を走る道路が陥没する。また、河川の下流を走る道路が陥没すると考えられる。また、河川の下流を走る道路が陥没すると考えられる。	津波面	新潟市周辺は地盤変形により、防潮堤前面・アカモスルートンネル前面・津波侵食による現象が想定される。また、流入側となる河川の河床高さが低下する事で、河川水位が低下する事で、河川の下流を走る道路が陥没する。また、河川の下流を走る道路が陥没すると考えられる。また、河川の下流を走る道路が陥没すると考えられる。
新潟市 柏崎刈羽原発の津波等地形	津波 想定される現象 開発化	新潟市周辺は地盤変形により、防潮堤前面・アカモスルートンネル前面・津波侵食による現象が想定される。また、流入側となる河川の河床高さが低下する事で、河川水位が低下する事で、河川の下流を走る道路が陥没する。また、河川の下流を走る道路が陥没すると考えられる。また、河川の下流を走る道路が陥没すると考えられる。	津波面	新潟市周辺は地盤変形により、防潮堤前面・アカモスルートンネル前面・津波侵食による現象が想定される。また、流入側となる河川の河床高さが低下する事で、河川水位が低下する事で、河川の下流を走る道路が陥没する。また、河川の下流を走る道路が陥没すると考えられる。また、河川の下流を走る道路が陥没すると考えられる。

## 第5条 津波による損傷の防止

女川原子力発電所2号炉				島根原子力発電所2号炉	泊発電所3号炉	相違理由
<u>表2 基準津波の概要</u>						
津波分類	波源	地形モデル	水位評価地点			【女川】記載方針の相違 ・島根実績の反映。
上昇側基準津波	東北地方太平洋沖型の地震 (海溝側強調モデル)	現地形 [防波堤あり]	敷地前面 (港湾内)			
下降側基準津波	東北地方太平洋沖型の地震 (すべり量割増モデル)	現地形 [防波堤あり]	敷地前面 (港湾内)			
<u>表3 検討ケース一覧</u>						
津波分類	防波堤	沈下				
上昇側基準津波	あり	なし				
下降側基準津波	なし	1m沈下				
						
<u>図22(1) 各検討ケースの沈下・防波堤損傷イメージ (1m沈下)</u>						
						
<u>図22(2) 各検討ケースの沈下・防波堤損傷イメージ (防波堤なし)</u>						
						
<u>図23 津波溯上解析の地形モデル</u>						

## 泊発電所3号炉 DB基準適合性 比較表

実線・・設計方針又は設備構成等の相違  
波線・・記載表現、設備名称の相違（実質的な相違なし）

## 第5条 津波による損傷の防止

女川原子力発電所2号炉		島根原子力発電所2号炉	泊発電所3号炉	相違理由																																									
5. 津波評価結果				【女川】記載方針の相違																																									
(1) 津波評価結果				・泊では、地形等の変化による津波評価結果を2項の「c. 敷地の地盤変状に関する検討」及び「d. 防波堤等の損傷に関する検討」に記載している（島根実績の反映）。																																									
津波評価結果として、上昇側基準津波における敷地前面及び各取水口前面の最高水位一覧を表4に、下降側基準津波における2号炉取水口前面の最低水位一覧を表5に示す。これらの水位は図24に示す範囲の最高・最低水位を抽出している。				・女川では、5項としてまとめて記載しているため、泊の記載箇所へ女川の記載を再掲することで、記載内容を比較する。																																									
表4 最高水位一覧																																													
<table border="1"> <thead> <tr> <th rowspan="2">基準津波</th> <th rowspan="2">地形</th> <th rowspan="2">防波堤</th> <th colspan="2">敷地前面水位<sup>a</sup> (O.P. m)</th> <th colspan="2">取水口前面水位<sup>b</sup> (O.P. m)</th> </tr> <tr> <th>1号炉</th> <th>2号炉</th> <th>3号炉</th> <th>1号炉</th> <th>2・3号炉</th> </tr> </thead> <tbody> <tr> <td rowspan="4">現地形</td> <td>あり</td> <td>21.58 (23.89)</td> <td>18.85 (21.16)</td> <td>19.50 (21.81)</td> <td>19.60 (21.91)</td> <td>16.46 (18.77)</td> <td>17.16 (19.47)</td> </tr> <tr> <td>なし</td> <td>20.64 (22.95)</td> <td>18.80 (21.11)</td> <td>19.27 (21.58)</td> <td>19.84 (22.15)</td> <td>17.81 (20.12)</td> <td>17.25 (19.56)</td> </tr> <tr> <td rowspan="2">1m沈下</td> <td>あり</td> <td>22.03 (24.34)</td> <td>18.60 (20.91)</td> <td>19.44 (21.75)</td> <td>19.61 (21.92)</td> <td>16.77 (19.68)</td> <td>17.33 (19.64)</td> </tr> <tr> <td>なし</td> <td>21.19 (23.50)</td> <td>18.67 (20.98)</td> <td>19.04 (21.35)</td> <td>19.58 (21.89)</td> <td>17.72 (20.03)</td> <td>17.35 (19.66)</td> </tr> </tbody> </table>		基準津波	地形	防波堤	敷地前面水位 <sup>a</sup> (O.P. m)		取水口前面水位 <sup>b</sup> (O.P. m)		1号炉	2号炉	3号炉	1号炉	2・3号炉	現地形	あり	21.58 (23.89)	18.85 (21.16)	19.50 (21.81)	19.60 (21.91)	16.46 (18.77)	17.16 (19.47)	なし	20.64 (22.95)	18.80 (21.11)	19.27 (21.58)	19.84 (22.15)	17.81 (20.12)	17.25 (19.56)	1m沈下	あり	22.03 (24.34)	18.60 (20.91)	19.44 (21.75)	19.61 (21.92)	16.77 (19.68)	17.33 (19.64)	なし	21.19 (23.50)	18.67 (20.98)	19.04 (21.35)	19.58 (21.89)	17.72 (20.03)	17.35 (19.66)		
基準津波	地形				防波堤	敷地前面水位 <sup>a</sup> (O.P. m)		取水口前面水位 <sup>b</sup> (O.P. m)																																					
		1号炉	2号炉	3号炉		1号炉	2・3号炉																																						
現地形	あり	21.58 (23.89)	18.85 (21.16)	19.50 (21.81)	19.60 (21.91)	16.46 (18.77)	17.16 (19.47)																																						
	なし	20.64 (22.95)	18.80 (21.11)	19.27 (21.58)	19.84 (22.15)	17.81 (20.12)	17.25 (19.56)																																						
	1m沈下	あり	22.03 (24.34)	18.60 (20.91)	19.44 (21.75)	19.61 (21.92)	16.77 (19.68)	17.33 (19.64)																																					
		なし	21.19 (23.50)	18.67 (20.98)	19.04 (21.35)	19.58 (21.89)	17.72 (20.03)	17.35 (19.66)																																					
※ ( ) の数値は、潮位平均干潮位 (O.P.+1.43m)、潮流のぼらつき (0.16m) 及び地盤変動量 (0.72m) を考慮した値																																													
表5 最低水位一覧																																													
<table border="1"> <thead> <tr> <th rowspan="2">基準津波</th> <th rowspan="2">地形</th> <th rowspan="2">防波堤</th> <th colspan="2">2号炉取水口前面水位<sup>b</sup> (O.P. m)</th> </tr> <tr> <th>現地形</th> <th>水位下降側</th> <th>あり</th> <th>-10.38 (-10.62)</th> </tr> </thead> <tbody> <tr> <td rowspan="4">水位下降側</td> <td>現地形</td> <td>なし</td> <td>-11.35 (-11.59)</td> <td>-10.36 (-10.60)</td> </tr> <tr> <td rowspan="2">1m沈下</td> <td>あり</td> <td>-11.32 (-11.56)</td> <td>-10.36 (-10.60)</td> </tr> <tr> <td>なし</td> <td>-11.32 (-11.56)</td> <td>-10.36 (-10.60)</td> </tr> </tbody> </table>		基準津波	地形	防波堤	2号炉取水口前面水位 <sup>b</sup> (O.P. m)		現地形	水位下降側	あり	-10.38 (-10.62)	水位下降側	現地形	なし	-11.35 (-11.59)	-10.36 (-10.60)	1m沈下	あり	-11.32 (-11.56)	-10.36 (-10.60)	なし	-11.32 (-11.56)	-10.36 (-10.60)																							
基準津波	地形				防波堤	2号炉取水口前面水位 <sup>b</sup> (O.P. m)																																							
		現地形	水位下降側	あり		-10.38 (-10.62)																																							
水位下降側	現地形	なし	-11.35 (-11.59)	-10.36 (-10.60)																																									
	1m沈下	あり	-11.32 (-11.56)	-10.36 (-10.60)																																									
		なし	-11.32 (-11.56)	-10.36 (-10.60)																																									
	※ ( ) の数値は、潮位平均干潮位 (O.P.-0.14m)、潮流のぼらつき (-0.10m) を考慮した値																																												
泊の2. c項、2. d項へ再掲して比較する。																																													
		<ul style="list-style-type: none"> <li>■: 敷地前面</li> <li>■: 1号炉取水口前面</li> <li>■: 2号炉取水口前面</li> <li>■: 3号炉取水口前面</li> <li>■: 1号炉放水口前面</li> <li>■: 2・3号炉放水口前面</li> </ul>																																											
図24 最高水位・最低水位の抽出範囲																																													

## 泊発電所3号炉 DB基準適合性 比較表

実線・・設計方針又は設備構成等の相違  
波線・・記載表現、設備名称の相違（実質的な相違なし）

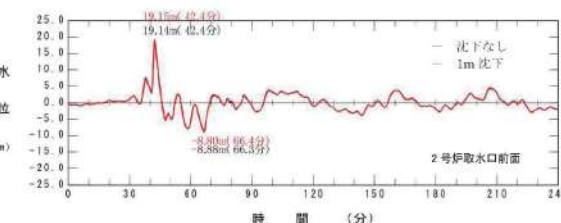
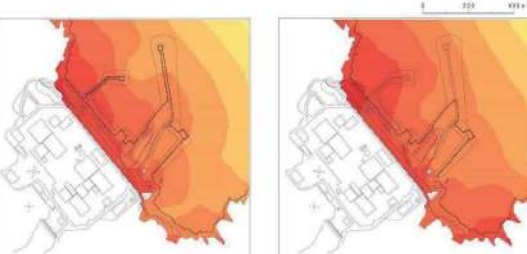
## 第5条 津波による損傷の防止

女川原子力発電所2号炉	島根原子力発電所2号炉	泊発電所3号炉	相違理由
<p>(2) 地震による地形等の変化による上昇側水位への影響について</p> <p>沈下の有無に対する最大水位上昇量分布の比較を図25に、2号炉取水口前面における水位時刻歴波形の比較を図26に示す。図25、26より、沈下の有無による最大水位上昇量分布、水位時刻歴波形に僅かな変化が認められ、上昇側水位へ影響を与えることが確認された。</p> <p>泊の2. c項へ再掲して比較する。</p> <p>防波堤の有無に対する最大水位上昇量分布の比較を図27に、2号炉取水口前面における水位時刻歴波形の比較を図28に示す。図27、28より、防波堤の有無による最大水位上昇量分布、水位時刻歴波形に僅かな変化が認められ、上昇側水位へ影響を与えることが確認された。なお、防波堤がある場合には、防波堤による渦状の流れが生じ、この流れにより局所的に津波水位が大きくなる範囲が生じる。一方、防波堤がない場合には、津波水位が一様に上昇し、局所的に津波水位が大きくなる範囲が生じないため、防波堤がある場合と比較して津波水位が低い。（発電所前面海域における防波堤有無の水位変動・流向ベクトルを「別添1 2.5(2)e. 基準津波に伴う取水口付近の漂流物に対する通水性確保 図2.5-12及び図2.5-14」に記載）</p> <p>泊の2. d項へ再掲して比較する。</p> <p>なお、いずれのケースも津波防護対象設備を内包する建屋及び区画への週上はない。</p>  <p>1) 水位分布（沈下なし）      2) 水位分布（1m沈下）</p> <p>図25 沈下の有無に対する最大水位上昇量分布の比較 (上昇側基準津波、防波堤あり)</p>			<p>【女川】記載方針の相違</p> <ul style="list-style-type: none"> <li>・女川は地形等の変化による津波評価結果を5項としてまとめて記載しているが、泊では、評価結果を2項の「c. 敷地の地盤変状に関する検討」及び「d. 防波堤等の損傷に関する検討」に記載している（島根実績の反映）。泊の記載箇所へ女川の記載を再掲することで比較する。</li> </ul>
		<p>泊は3. 項にて記載。</p>	<p>【女川】記載方針の相違</p> <ul style="list-style-type: none"> <li>・泊では、検討ケース数が多いことから、「3. 各地形変化によるデータ集」として纏めて記載している。なお、図の比較についてはプラント特有の評価結果であることから省略する。</li> </ul>

泊発電所3号炉 DB基準適合性 比較表

実線・・設計方針又は設備構成等の相違  
波線・・記載表現、設備名称の相違（実質的な相違なし）

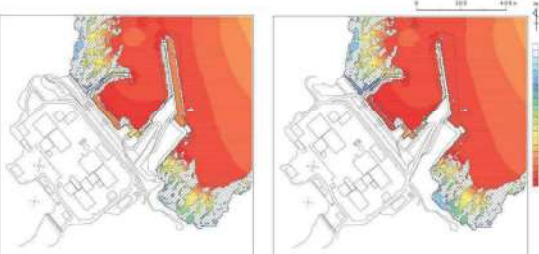
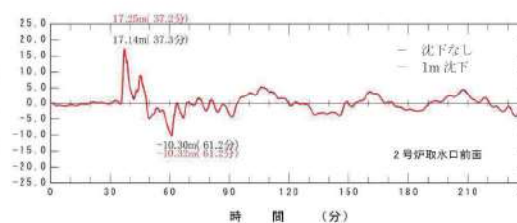
第5条 津波による損傷の防止

女川原子力発電所2号炉	島根原子力発電所2号炉	泊発電所3号炉	相違理由
 <p>図 26 沈下の有無に対する水位時刻歴波形の比較 (上昇側基準津波、防波堤あり)</p>		<div style="border: 1px solid black; padding: 5px; display: inline-block;">泊は3. 項にて記載。</div>	<p>【女川】記載方針の相違</p> <ul style="list-style-type: none"> <li>・女川は地形等の変化による津波評価結果を5項としてまとめて記載しているが、泊では、評価結果を2項の「c. 敷地の地盤変状に関する検討」及び「d. 防波堤等の損傷に関する検討」に記載している（島根実績の反映）。</li> <li>・泊では、検討ケース数が多いことから、「3. 各地形変化によるデータ集」として纏めて記載している。なお、図の比較についてはプラント特有の評価結果であることから省略する。</li> </ul>
 <p>図 27 防波堤の有無に対する最大水位上昇量分布の比較 (上昇側基準津波、沈下なし)</p>			

## 泊発電所3号炉 DB基準適合性 比較表

実線・・設計方針又は設備構成等の相違  
 波線・・記載表現、設備名称の相違（実質的な相違なし）

## 第5条 津波による損傷の防止

女川原子力発電所2号炉	島根原子力発電所2号炉	泊発電所3号炉	相違理由
<p>(3) 地震による地形等の変化による下降側水位への影響について</p> <p>沈下の有無に対する最大水位下降量分布の比較を図29に、2号炉取水口前面における水位時刻歴波形の比較を図30に示す。図29、30より、沈下の有無による最大水位下降量分布及び水位時刻歴波形に有意な差は認められない。</p> <p>泊の2. c項へ再掲して比較する。</p> <p>防波堤の有無に対する最大水位下降量分布の比較を図31に、2号炉取水口前面における水位時刻歴波形の比較を図32に示す。図31、32より、防波堤の有無による最大水位下降量分布に変化が認められ、下降側水位へ影響を与えることが確認された。また、表5に示す最低水位のとおり、2号炉取水口前面においては防波堤の損傷を考慮した時の水位が低くなっている。</p> <p>泊の2. d項へ再掲して比較する。</p>  <p>1) 水位分布（沈下なし） 2) 水位分布（沈下1m）</p> <p>図29 沈下の有無に対する最大水位下降量分布の比較 (下降側基準津波、防波堤あり)</p>  <p>水位 (m) 時間 (分)</p> <p>17.45m(37.3分) 17.14m(37.3分) -10.39m(61.2分) -10.35m(61.2分)</p> <p>2号炉取水口前面</p> <p>図30 沈下の有無に対する水位時刻歴波形の比較 (下降側基準津波、防波堤あり)</p>			<p>【女川】記載方針の相違</p> <ul style="list-style-type: none"> <li>・女川は地形等の変化による津波評価結果を5項としてまとめて記載しているが、泊では、評価結果を2項の「c. 敷地の地盤変状に関する検討」及び「d. 防波堤等の損傷に関する検討」に記載している（島根実績の反映）。泊の記載箇所へ女川の記載を再掲することで比較する。</li> </ul> <p>泊は3. 項にて記載。</p> <p>【女川】記載方針の相違</p> <ul style="list-style-type: none"> <li>・泊では、検討ケース数が多いことから、「3. 各地形変化によるデータ集」として纏めて記載している。なお、図の比較についてはプラント特有の評価結果であることから省略する。</li> </ul>

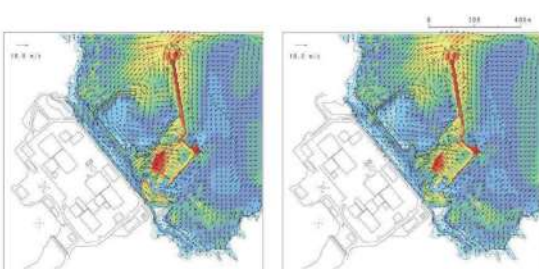
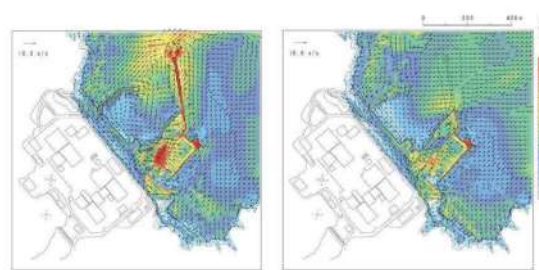
## 泊発電所3号炉 DB基準適合性 比較表

実線・・設計方針又は設備構成等の相違  
 波線・・記載表現、設備名称の相違（実質的な相違なし）

## 第5条 津波による損傷の防止

女川原子力発電所2号炉	島根原子力発電所2号炉	泊発電所3号炉	相違理由
<p>図 31 防波堤の有無に対する最大水位下降量分布の比較    (下降側基準津波、沈下なし)</p> <p>Figure 31 shows two maps comparing water level distributions. Map 1 (left) shows the distribution with a breakwater present, and Map 2 (right) shows it without a breakwater. A color scale indicates water level in meters, ranging from -10 to 10.</p> <p>1) 水位分布（防波堤あり） 2) 水位分布（防波堤なし）</p>		<p>泊は3. 項にて記載。</p>	<p>【女川】記載方針の相違</p> <ul style="list-style-type: none"> <li>・女川は地形等の変化による津波評価結果を5項としてまとめて記載しているが、泊では、評価結果を2項の「c. 敷地の地盤変状に関する検討」及び「d. 防波堤等の損傷に関する検討」に記載している（島根実績の反映）。</li> <li>・泊では、検討ケース数が多いことから、「3. 各地形変化によるデータ集」として纏めて記載している。なお、図の比較についてはプラント特有の評価結果であることから省略する。</li> </ul>

## 第5条 津波による損傷の防止

女川原子力発電所2号炉	島根原子力発電所2号炉	泊発電所3号炉	相違理由
<p>(4) 地震による地形等の変化による流況・流速への影響について</p> <p>沈下の有無に対する最大流速分布の比較を図33に、防波堤の有無に対する最大流速分布の比較を図34に示す。</p> <p>図33より、沈下の有無による最大流速分布に有意な差は認められないが、図34より防波堤の有無に対しては防波堤先端や上部で観測されていた最大流速が無くなるなど、流況・最大流速に変化が認められる。</p>  <p>1) 最大流速分布（沈下なし） 2) 最大流速分布（沈下1m）</p> <p>図33 沈下の有無に対する最大流速分布の比較      （上昇側基準津波、防波堤あり）</p>  <p>1) 最大流速分布（防波堤あり） 2) 最大流速分布（防波堤なし）</p> <p>図34 防波堤の有無に対する最大流速分布の比較      （上昇側基準津波、沈下なし）</p>			<p>【女川】記載方針の相違</p> <ul style="list-style-type: none"> <li>・女川は地形等の変化による津波評価結果を5項としてまとめて記載しているが、泊では、評価結果を2項の「c. 敷地の地盤変状に関する検討」及び「d. 防波堤等の損傷に関する検討」に記載している（島根実績の反映）。泊の記載箇所へ女川の記載を再掲することで比較する。</li> </ul> <p>泊は3. 項にて記載。</p> <p>・泊では、検討ケース数が多いことから、「3. 各地形変化によるデータ集」として纏めて記載している。なお、図の比較についてはプラント特有の評価結果であることから省略する。</p>

## 第5条 津波による損傷の防止

女川原子力発電所2号炉	島根原子力発電所2号炉	泊発電所3号炉	相違理由
<p><b>(5) 津波の週上経路に対する地形の影響について</b></p> <p>地形変化を考慮した津波評価を実施した結果、沈下の有無や防波堤の有無は水位分布や水位時刻歴波形に僅かな影響を与えるものの、津波防護対象設備を内包する建屋及び区画への週上ではなく、地形変化が敷地の週上経路へ影響を及ぼすことはない。(2)～(4)の検討を踏まえた入力津波の設定を以下に示す。また、耐津波設計における地形の考え方を表6に示す。</p> <ul style="list-style-type: none"> <li>敷地前面・各取放水口前面の水位上昇側について、沈下の有無及び防波堤の有無が最大水位上昇量分布及び2号炉取水口前面における水位時刻歴波形に与える影響を検討した結果、水位に影響を与えることを確認したことから、沈下の有無、防波堤の有無についてパラメータスタディを実施し、入力津波を設定する。</li> <li>取水口前面の水位下降側について、沈下の有無及び防波堤の有無が最大水位下降量及び2号炉取水口前面における水位時刻歴波形に与える影響について検討した結果、沈下の有無の影響はほとんど認められないものの、防波堤の有無が水位に影響を与えることを確認したことから、これについてパラメータスタディを実施するとともに、安全側に沈下の有無も検討して、入力津波を設定する。</li> <li>流況・流速を用いた評価について、沈下の有無による敷地前面流速分布に有意な差は認められないものの、防波堤の有無については防波堤をモデル化した方が明らかに大きな流速が確認されることから、敷地前面海域における流向・流速を用いた評価については、敷地前面護岸の沈下を考慮せず、防波堤をモデル化したケースを基本とする。</li> </ul>			<p><b>【女川】記載方針の相違</b></p> <ul style="list-style-type: none"> <li>女川は地形等の変化による津波評価結果を5項としてまとめて記載しているが、泊では、評価結果を2項の「c. 敷地の地盤変状に関する検討」及び「d. 防波堤等の損傷に関する検討」に記載している（島根実績の反映）。泊の記載箇所へ女川の記載を再掲することで比較する。</li> </ul>

表6 耐津波設計における地形の考え方

評価項目	沈下	防波堤	主な評価対象
取放水口前面・水路内最高水位 (水位上昇側)	あり なし	あり なし	・週上波の地上部からの到達・流入防止 ・取放水路等の経路からの津波流入防止
取水口前面・水路内最低水位 (水位下降側)	あり なし	あり なし	・非常用冷却系の取水性確保 (水位低下時の貯留量確保)
流況・流速 (波力、漂流物評価等)	なし	あり	・砂の移動・堆積に対する安全性評価 ・漂流物に対する安全性評価 ・津波防護施設、浸水防止設備の設計

## 泊発電所3号炉 DB基準適合性 比較表

実線・・設計方針又は設備構成等の相違  
波線・・記載表現、設備名称の相違（実質的な相違なし）

## 第5条 津波による損傷の防止

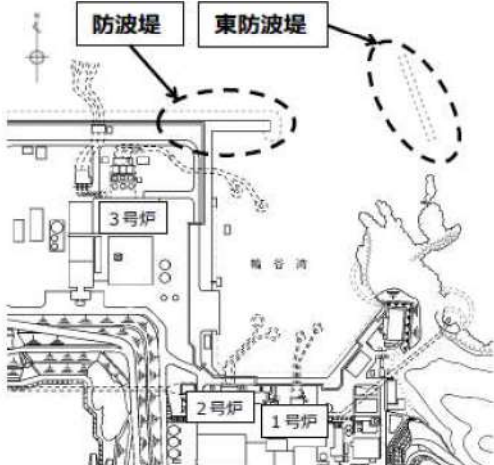
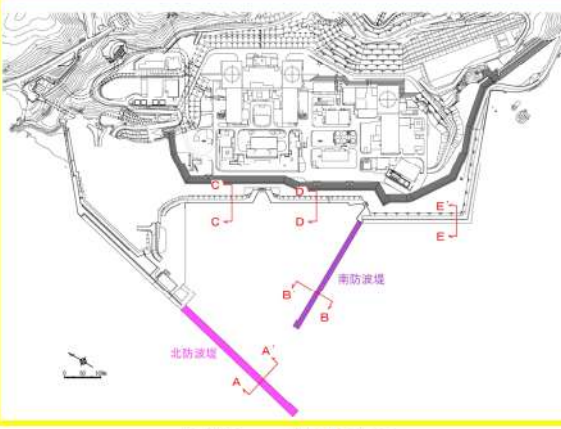
女川原子力発電所2号炉	島根原子力発電所2号炉	泊発電所3号炉	相違理由
		<p>(2) 敷地周辺の週上経路上の河川、水路の堤防等崩壊による流路の変化</p> <p>敷地周辺の河川として、敷地北側の茶津川は敷地と標高約 50m 以上の尾根で隔てられており、また、敷地東側の堀株川は敷地から 1km 以上離れており、さらに、敷地と標高約 100m の山（丘陵）で隔てられているため、それらを経由した津波の敷地への回り込みはない。</p> <p>なお、河川、水路と敷地との障壁となっている防潮堤両端部（茶津側及び堀株側）の地山については 2. (1) a. (a) ~ (f) で基準地震動・基準津波に対する安定性を確認している。</p> <p>(3) 基準地震動等による被害想定に基づく地形変化・標高変化</p> <p>「2. (1) a. 敷地周辺斜面の崩壊に関する検討」、「2. (1) b. 地滑り地形の崩壊に関する検討」、「2. (1) c. 敷地の地盤変状に関する検討」で基準地震動等による被害想定に基づく地形変化・標高変化を想定し、その想定される地形変化・標高変化を考慮した初期地形により週上解析を実施している。</p> <p>(4) 地震等による地盤変状、斜面崩落等の評価手法、及び条件並びに評価結果</p> <p>「2. (1) a. 敷地周辺斜面の崩壊に関する検討」、「2. (1) b. 地滑り地形の崩壊に関する検討」、「2. (1) c. 敷地の地盤変状に関する検討」で基準地震動等による被害想定に基づく地盤変状、斜面崩落等の評価を実施しており、その手法、データ及び条件並びに評価結果を示している。</p>	<p>【女川、島根】記載方針の相違</p> <ul style="list-style-type: none"> <li>泊は基準津波及び耐津波設計方針に係る審査ガイド 3.2.2 (2) の検討結果を示している。</li> </ul> <p>【女川、島根】記載方針の相違</p> <ul style="list-style-type: none"> <li>泊は基準津波及び耐津波設計方針に係る審査ガイド 3.2.2 (3) の検討結果を示している。</li> </ul> <p>【女川、島根】記載方針の相違</p> <ul style="list-style-type: none"> <li>泊は基準津波及び耐津波設計方針に係る審査ガイド 3.2.2 (4) の検討結果を示している。</li> </ul>

## 泊発電所3号炉 DB基準適合性 比較表

実線・・設計方針又は設備構成等の相違

波線・・記載表現、設備名称の相違（実質的な相違なし）

## 第5条 津波による損傷の防止

女川原子力発電所2号炉	島根原子力発電所2号炉	泊発電所3号炉	相違理由
	<p>【参考】防波堤の位置付け・モデル化</p> <p>(1) 防波堤の位置付け 島根原子力発電所では、輪谷湾に防波堤及び東防波堤を設置している（図5-1）。</p> <p>これら防波堤は、敷地周辺の地震により損傷する可能性は否定できないことから、津波影響軽減施設とせず、自主設備とする。</p> <p><u>基準津波5、6は自主設備である防波堤の有無が基準津波の選定に影響が有ることから選定した。</u></p>  <p>図5-1 防波堤位置</p>	<p>【参考資料1】 防波堤等の位置付け・モデル化</p> <p>(1) 防波堤の位置付け 泊発電所では、北防波堤、南防波堤及び護岸を設置している（参考図1-1～1-3）。</p> <p>これら防波堤は、敷地周辺の地震により損傷する可能性を否定できないことから、津波影響軽減施設とせず、自主設備とする。 <u>護岸は、基準地震動により損傷する可能性を否定できないことから、津波影響軽減施設とせず、自主設備とし、護岸の状態による入力津波への影響の有無を検討する。</u></p>  <p>参考図1-1 防波堤位置</p>	<p>【島根】設計方針の相違 ・泊では、敷地及び敷地周辺の特徴を踏まえ、入力津波に影響を与える可能性のある要因を網羅する観点で、敷地護岸の損傷も考慮する。</p> <p>【島根】設計方針の相違 ・泊では、敷地及び敷地周辺の特徴を踏まえ、入力津波に影響を与える可能性のある要因を網羅する観点で、敷地護岸の損傷も考慮する。</p> <p>【島根】基準津波の相違 ・泊では、敷地及び敷地周辺の特徴を踏まえ、入力津波に影響を与える可能性のある要因を網羅する観点で、敷地護岸の損傷も考慮する。</p>

## 泊発電所3号炉 DB基準適合性 比較表

実線・・設計方針又は設備構成等の相違

波線・・記載表現、設備名称の相違（実質的な相違なし）

## 第5条 津波による損傷の防止

女川原子力発電所2号炉	島根原子力発電所2号炉	泊発電所3号炉	相違理由
	<p>(2) 防波堤のモデル化</p> <p>防波堤の有無によるモデル化については、防波堤有り条件では、防波堤ケーソン、<u>捨石マウンド</u>をモデル化しており、防波堤無し条件では、防波堤ケーソン、<u>捨石マウンド</u>を全て取り除いた状態で実施している（図5-2）。</p> <p>なお、消波ブロック※は、透過性を有するため、防波堤有り条件においては、安全側の評価となるよう消波ブロックをモデル化しないものとしている。</p> <p>また、消波ブロックをモデル化した場合の津波への影響を検討するため、東防波堤のE.L.-4.9m～E.L.+1.8m区間の消波ブロックをモデル化し、消波ブロックの透過率を施工実績より算出し50%と設定し、防波堤有り条件のうち、施設護岸又は防波壁で最大水位上昇量を示した基準津波1を対象に実施した。その結果、消波ブロックをモデル化した場合、消波ブロックをモデル化しない場合と比較し、津波の敷地への影響は小さいことから、消波ブロックをモデル化しない津波解析は安全側の評価となることを確認した。水位の影響については、表5-1及び図5-3に示す。また、流向・流速の影響については、図5-4に示す。</p> <p>※ 一般に消波ブロックは短周期の波浪に対する軽減効果を持つとされており、土木学会(2016)においても構造物（消波ブロック）が無いものとして取り扱うことが多いと記載されている。</p>	<p>(2) 防波堤のモデル化</p> <p>防波堤の有無によるモデル化については、防波堤有り条件では、防波堤ケーソン、<u>被覆ブロック</u>、中割石をモデル化しており、防波堤無し条件では、防波堤ケーソン、<u>被覆ブロック</u>、中割石をすべて取り除いた状態で実施している（参考図1-2）。</p> <p>なお、<u>防波堤の基部にのみ部分的に消波ブロック※が存在する</u>が、<u>消波ブロック</u>は、透過性を有するため、防波堤有り条件においては、安全側の評価となるよう<u>津波の週上を阻害する消波ブロックはモデル化しないもの</u>としている。</p>	<p>【島根】設備構成の相違</p> <ul style="list-style-type: none"> <li>・防波堤の構成材の相違により、モデル化対象が異なる。</li> </ul> <p>【島根】設備構成の相違</p> <ul style="list-style-type: none"> <li>・島根では、防波堤全体に消波ブロックが存在するが、泊では、防波堤の基部にのみ部分的に消波ブロックが存在する。</li> </ul>

泊発電所3号炉 DB基準適合性 比較表

実線・・設計方針又は設備構成等の相違
波線・・記載表現、設備名称の相違（実質的な相違なし）

第5条 津波による損傷の防止

女川原子力発電所2号炉	島根原子力発電所2号炉	泊発電所3号炉	相違理由
	<p>図5-2 防波堤断面図</p>	<p>参考図1-2 防波堤断面図</p> <p>※1：緑線部は防波堤有り条件で5.0m沈下した場合の断面を示す。 防波堤無し条件で5.0m沈下した場合は青線部のまま断面に変更はない。</p>	

## 泊発電所3号炉 DB基準適合性 比較表

実線・・設計方針又は設備構成等の相違  
波線・・記載表現、設備名称の相違（実質的な相違なし）

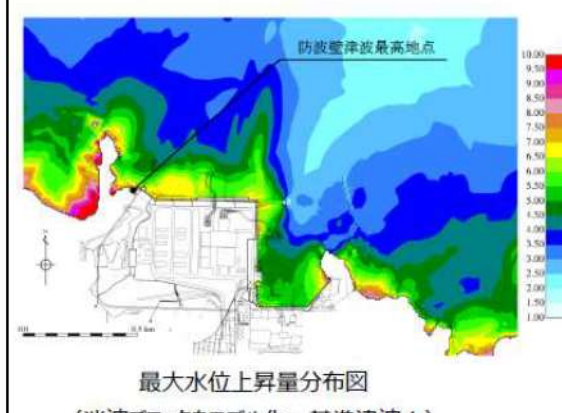
## 第5条 津波による損傷の防止

女川原子力発電所2号炉	島根原子力発電所2号炉	泊発電所3号炉	相違理由
		<p>【島根】設計方針の相違</p> <ul style="list-style-type: none"> <li>泊では、敷地及び敷地周辺の特徴を踏まえ、入力津波に影響を与える可能性のある要因を網羅する観点で、敷地護岸の損傷も考慮する。</li> </ul>	

泊発電所 3号炉 DB 基準適合性 比較表

実線・・設計方針又は設備構成等の相違
波線・・記載表現、設備名称の相違（実質的な相違なし）

第5条 津波による損傷の防止

女川原子力発電所 2号炉	島根原子力発電所 2号炉 表5-1 消波ブロックのモデル化検討結果	泊発電所 3号炉	相違理由																			
	<table border="1"> <thead> <tr> <th rowspan="2">基準津波</th> <th rowspan="2">消波ブロックの モデル化</th> <th colspan="2">評価水位 (m)</th> </tr> <tr> <th>上昇側</th> <th>下降側</th> </tr> </thead> <tbody> <tr> <td rowspan="2">基準津波 1 (防波堤有り)</td> <td>施設護岸又は 防波壁</td> <td>2号炉 取水口(東)</td> <td>2号炉 取水口(西)</td> </tr> <tr> <td>消波ブロックを モデル化</td> <td>+10.4</td> <td>-4.8</td> <td>-4.8</td> </tr> <tr> <td></td> <td>消波ブロックを モデル化しない</td> <td>+10.5</td> <td>-5.0</td> <td>-5.0</td> </tr> </tbody> </table>  <p>最大水位上昇量分布図 (消波ブロックをモデル化：基準津波 1)</p> <p>最大水位上昇量分布図 (消波ブロックをモデル化しない：基準津波 1)</p>	基準津波	消波ブロックの モデル化	評価水位 (m)		上昇側	下降側	基準津波 1 (防波堤有り)	施設護岸又は 防波壁	2号炉 取水口(東)	2号炉 取水口(西)	消波ブロックを モデル化	+10.4	-4.8	-4.8		消波ブロックを モデル化しない	+10.5	-5.0	-5.0		<p>【島根】設備構成の相違</p> <ul style="list-style-type: none"> <li>・島根では、防波堤全体に消波ブロックが存在するが、泊では、防波堤の基部にのみ部分的に消波ブロックが存在する。</li> </ul>
基準津波	消波ブロックの モデル化			評価水位 (m)																		
		上昇側	下降側																			
基準津波 1 (防波堤有り)	施設護岸又は 防波壁	2号炉 取水口(東)	2号炉 取水口(西)																			
	消波ブロックを モデル化	+10.4	-4.8	-4.8																		
	消波ブロックを モデル化しない	+10.5	-5.0	-5.0																		

## 泊発電所3号炉 DB基準適合性 比較表

実線・・設計方針又は設備構成等の相違  
 波線・・記載表現、設備名称の相違（実質的な相違なし）

## 第5条 津波による損傷の防止

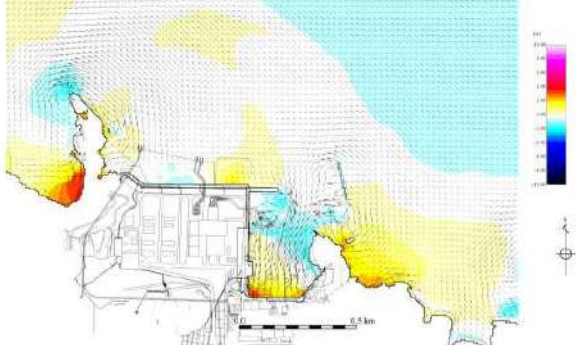
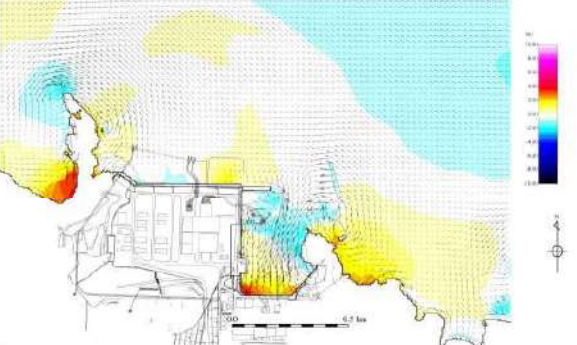
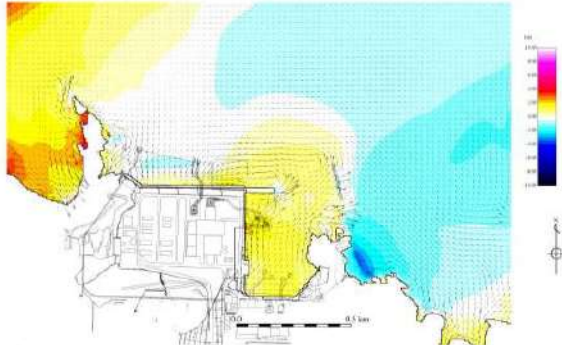
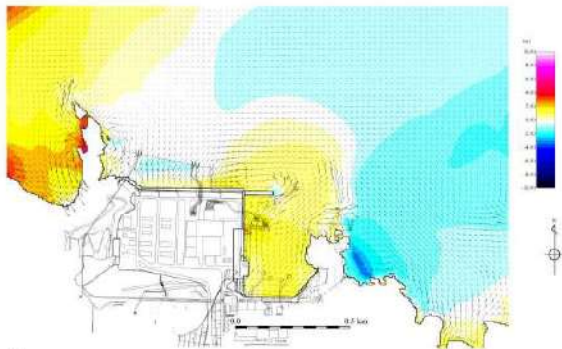
女川原子力発電所2号炉	島根原子力発電所2号炉	泊発電所3号炉	相違理由
	 <p>地震発生後190分（消波ブロックをモデル化）</p>  <p>地震発生後190分（消波ブロックをモデル化しない）</p>		<p>【島根】設備構成の相違</p> <ul style="list-style-type: none"> <li>・島根では、防波堤全体に消波ブロックが存在するが、泊では、防波堤の基部にのみ部分的に消波ブロックが存在する。</li> </ul>

図5-4(1) 流向・流速分布図比較

## 泊発電所3号炉 DB基準適合性 比較表

実線・・設計方針又は設備構成等の相違  
 波線・・記載表現、設備名称の相違（実質的な相違なし）

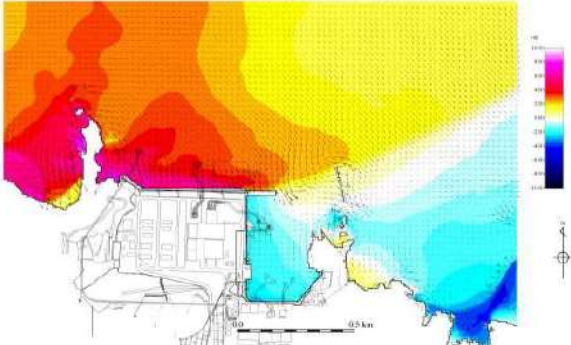
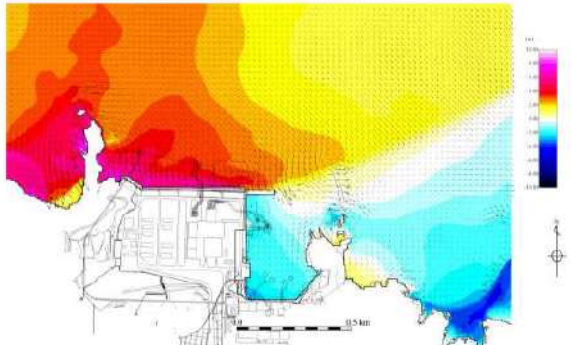
## 第5条 津波による損傷の防止

女川原子力発電所2号炉	島根原子力発電所2号炉	泊発電所3号炉	相違理由
	 <p>地震発生後191分（消波ブロックをモデル化）</p>  <p>地震発生後191分（消波ブロックをモデル化しない）</p> <p><u>図5-4(2) 流向・流速分布図比較</u></p>		<p>【島根】設備構成の相違</p> <ul style="list-style-type: none"> <li>・島根では、防波堤全体に消波ブロックが存在するが、泊では、防波堤の基部にのみ部分的に消波ブロックが存在する。</li> </ul>

## 泊発電所3号炉 DB基準適合性 比較表

実線・・設計方針又は設備構成等の相違  
 波線・・記載表現、設備名称の相違（実質的な相違なし）

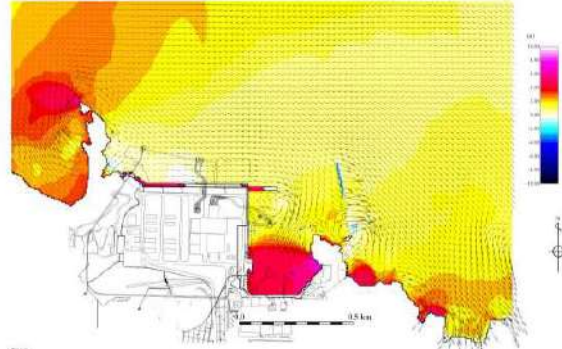
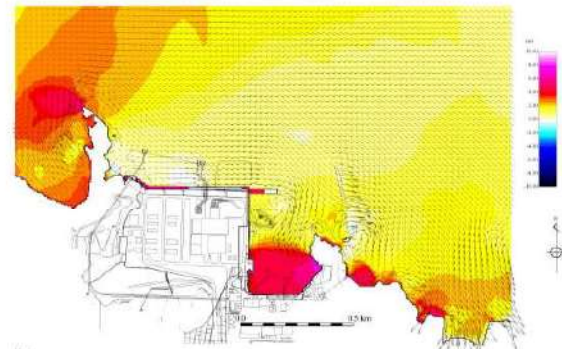
## 第5条 津波による損傷の防止

女川原子力発電所2号炉	島根原子力発電所2号炉	泊発電所3号炉	相違理由
	 <p>地震発生後192分（消波ブロックをモデル化）</p>  <p>地震発生後192分（消波ブロックをモデル化しない）</p> <p><u>図5-4(3) 流向・流速分布図比較</u></p>		<p>【島根】設備構成の相違</p> <ul style="list-style-type: none"> <li>・島根では、防波堤全体に消波ブロックが存在するが、泊では、防波堤の基部にのみ部分的に消波ブロックが存在する。</li> </ul>

## 泊発電所3号炉 DB基準適合性 比較表

実線・・設計方針又は設備構成等の相違  
 波線・・記載表現、設備名称の相違（実質的な相違なし）

## 第5条 津波による損傷の防止

女川原子力発電所2号炉	島根原子力発電所2号炉	泊発電所3号炉	相違理由
	 <p>地震発生後193分（消波ブロックをモデル化）</p>  <p>地震発生後193分（消波ブロックをモデル化しない）</p>		<p>【島根】設備構成の相違</p> <ul style="list-style-type: none"> <li>・島根では、防波堤全体に消波ブロックが存在するが、泊では、防波堤の基部にのみ部分的に消波ブロックが存在する。</li> </ul>

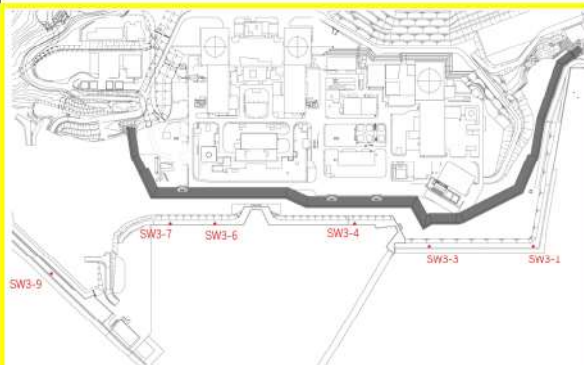
## 第5条 津波による損傷の防止

女川原子力発電所2号炉	島根原子力発電所2号炉	泊発電所3号炉	相違理由																														
		<p style="text-align: right;">(参考資料2)</p> <p><b>消波ブロック及び中割石等の解析用物性値と設定根拠について</b></p> <p><b>1. 解析用物性値（消波ブロック及び中割石等）の設定方針</b></p> <p>既設護岸は、中割石、裏込石、被覆ブロック、消波ブロックから構成されている。中割石、裏込石の物性値は、「港湾の施設の技術上の基準・同解説（公益社団法人日本港湾協会、平成19年）」（以降、「港湾基準」とする）、「埋立地の液状化ハンドブック（改訂版）（財）沿岸技術研究センター、平成9年）」（以降、「液状化ハンドブック」とする）及び「FLIP研究会14年間の検討結果のまとめ（事例編）（FLIP研究会）」（以降、「FLIP研究会検討結果（事例編）」とする）に基づき設定する。被覆ブロック、消波ブロックは重量のみを荷重として考慮している。</p> <p style="text-align: center;"><b>参考表 2-1 中割石、裏込石の物性値及び適用根拠</b></p> <table border="1" style="width: 100%; border-collapse: collapse;"> <thead> <tr> <th>項目</th> <th>物性値</th> <th>捨石のモデル化における推奨方法 (FLIP研究会検討結果(事例編))</th> <th>適用範囲</th> <th>出典</th> <th>泊における適用根拠</th> </tr> </thead> <tbody> <tr> <td>せん断強度定数</td> <td><math>c=20 \text{ (kN/m}^2\text{)}</math>, <math>\phi=35^\circ</math></td> <td><math>c=20 \text{ (kN/m}^2\text{)}</math>, <math>\phi=35^\circ</math></td> <td>一軸圧縮強度 <math>30 \text{ MN/m}^2</math> 以上</td> <td>「港湾の施設の技術上の基準・同解説（公益社団法人日本港湾協会、平成19年）」</td> <td>中割石の一軸圧縮強度が <math>30 \text{ MN/m}^2</math> 以上であることを確認した</td> </tr> <tr> <td>最大減衰定数</td> <td><math>h_{\max}=0.24</math></td> <td><math>h_{\max}=0.2 \sim 0.3</math></td> <td>—</td> <td>「FLIP研究会検討結果(事例編)」</td> <td>同設定値を用いた文献調査から、実測値と解析結果の差異が小さいことから、適用性があると判断した</td> </tr> <tr> <td>初期せん断剛性</td> <td><math>G_0=0.18 \times 10^3 \text{ (N/mm}^2\text{)}</math></td> <td>マウンド <math>V_p=200 \text{ (m/s)}</math> 裏込石 <math>V_s=225 \text{ (m/s)}</math></td> <td>せん断速度 <math>V_c=30 \text{ m/s}</math></td> <td>「埋立地の液状化对策ハンドブック（改訂版）（沿岸開発技術研究センター、平成9年）」</td> <td>中割石のせん断速度が <math>V_c=30 \text{ m/s}</math> であることを確認した</td> </tr> <tr> <td>間隙水の体積弾性係数</td> <td><math>K_f=2.22 \times 10^8 \text{ (kPa)}</math> (<math>&gt;22.20 \times 10^8 \text{ (kN/m}^2\text{)}</math>)</td> <td><math>K_f=2.22 \times 10^8 \text{ (kPa)}</math> 以下の小さな値</td> <td>—</td> <td>「FLIP研究会検討結果(事例編)」</td> <td>水の体積弾性係数 (<math>K_f=2.22 \times 10^8 \text{ (kPa)}</math>) の1%程度以下の値が採用されており、捨石の標準的なモデルとして採用了した</td> </tr> </tbody> </table> <p><b>中割石、裏込石の「せん断強度定数」は、「港湾基準」によると、母岩の一軸圧縮強さが <math>30 \text{ MN/m}^2</math> 以上の場合、粘着力 <math>C=20 \text{ kN/m}^2</math>、せん断抵抗角 <math>\phi=35^\circ</math> が標準値とされている。</b></p>	項目	物性値	捨石のモデル化における推奨方法 (FLIP研究会検討結果(事例編))	適用範囲	出典	泊における適用根拠	せん断強度定数	$c=20 \text{ (kN/m}^2\text{)}$ , $\phi=35^\circ$	$c=20 \text{ (kN/m}^2\text{)}$ , $\phi=35^\circ$	一軸圧縮強度 $30 \text{ MN/m}^2$ 以上	「港湾の施設の技術上の基準・同解説（公益社団法人日本港湾協会、平成19年）」	中割石の一軸圧縮強度が $30 \text{ MN/m}^2$ 以上であることを確認した	最大減衰定数	$h_{\max}=0.24$	$h_{\max}=0.2 \sim 0.3$	—	「FLIP研究会検討結果(事例編)」	同設定値を用いた文献調査から、実測値と解析結果の差異が小さいことから、適用性があると判断した	初期せん断剛性	$G_0=0.18 \times 10^3 \text{ (N/mm}^2\text{)}$	マウンド $V_p=200 \text{ (m/s)}$ 裏込石 $V_s=225 \text{ (m/s)}$	せん断速度 $V_c=30 \text{ m/s}$	「埋立地の液状化对策ハンドブック（改訂版）（沿岸開発技術研究センター、平成9年）」	中割石のせん断速度が $V_c=30 \text{ m/s}$ であることを確認した	間隙水の体積弾性係数	$K_f=2.22 \times 10^8 \text{ (kPa)}$ ( $>22.20 \times 10^8 \text{ (kN/m}^2\text{)}$ )	$K_f=2.22 \times 10^8 \text{ (kPa)}$ 以下の小さな値	—	「FLIP研究会検討結果(事例編)」	水の体積弾性係数 ( $K_f=2.22 \times 10^8 \text{ (kPa)}$ ) の1%程度以下の値が採用されており、捨石の標準的なモデルとして採用了した	<p>【女川、島根】設計方針の相違</p> <ul style="list-style-type: none"> <li>泊では、敷地及び敷地周辺の特徴を踏まえ、入力津波に影響を与える可能性のある要因を網羅する観点で、敷地護岸の損傷も考慮する。</li> </ul>
項目	物性値	捨石のモデル化における推奨方法 (FLIP研究会検討結果(事例編))	適用範囲	出典	泊における適用根拠																												
せん断強度定数	$c=20 \text{ (kN/m}^2\text{)}$ , $\phi=35^\circ$	$c=20 \text{ (kN/m}^2\text{)}$ , $\phi=35^\circ$	一軸圧縮強度 $30 \text{ MN/m}^2$ 以上	「港湾の施設の技術上の基準・同解説（公益社団法人日本港湾協会、平成19年）」	中割石の一軸圧縮強度が $30 \text{ MN/m}^2$ 以上であることを確認した																												
最大減衰定数	$h_{\max}=0.24$	$h_{\max}=0.2 \sim 0.3$	—	「FLIP研究会検討結果(事例編)」	同設定値を用いた文献調査から、実測値と解析結果の差異が小さいことから、適用性があると判断した																												
初期せん断剛性	$G_0=0.18 \times 10^3 \text{ (N/mm}^2\text{)}$	マウンド $V_p=200 \text{ (m/s)}$ 裏込石 $V_s=225 \text{ (m/s)}$	せん断速度 $V_c=30 \text{ m/s}$	「埋立地の液状化对策ハンドブック（改訂版）（沿岸開発技術研究センター、平成9年）」	中割石のせん断速度が $V_c=30 \text{ m/s}$ であることを確認した																												
間隙水の体積弾性係数	$K_f=2.22 \times 10^8 \text{ (kPa)}$ ( $>22.20 \times 10^8 \text{ (kN/m}^2\text{)}$ )	$K_f=2.22 \times 10^8 \text{ (kPa)}$ 以下の小さな値	—	「FLIP研究会検討結果(事例編)」	水の体積弾性係数 ( $K_f=2.22 \times 10^8 \text{ (kPa)}$ ) の1%程度以下の値が採用されており、捨石の標準的なモデルとして採用了した																												

## 泊発電所3号炉 DB基準適合性 比較表

実線・・設計方針又は設備構成等の相違  
波線・・記載表現、設備名称の相違（実質的な相違なし）

## 第5条 津波による損傷の防止

女川原子力発電所2号炉	島根原子力発電所2号炉	泊発電所3号炉	相違理由
		<p>(6) マウンド材及び基礎地盤の強度定数</p> <p>① マウンド材</p> <p>軸心経路した作用を受ける支持力の模型実験及び現地実験の結果によれば、三軸圧縮試験から求められた強度定数を用いてピショップ法による円筒引張試験を行えば精度の高い結果が得られることが明らかになっている<sup>9)</sup>。また、砂石の大型三軸圧縮試験から、粒径の大きい粒状体の強度定数は均等係数の等しい粗粒度の材料から求められる値にほぼ等しいことが確認されている<sup>10)</sup>。したがって、砕石の強度定数を正確に推定するには相似程度の試料を用いた三軸圧縮試験を実施することが望ましいが、強度試験を行わない場合には、一般に用いられている通常の砕石に対する標準的な強度定数として粘着力 <math>c_p=20kN/m^3</math>、せん断抵抗角 <math>\phi_p=35^\circ</math> の値が用いられている。実際の砕石においては実地での砕石の密度に対応して強度に相違が生じることが予想されるが、現地での砕石の状態を把握することは非常に困難であるので、標準的な強度定数の値が設定されている。</p> <p>標準値は砕石の大型三軸圧縮試験の結果からやや安全側に求めた値であり、既存防護堤及び係留施設の解析結果から、更安全な値である。なお、強度定数として粘着力 <math>c_p=20kN/m^3</math> としているが、これは砕石のせん断抵抗角 <math>\phi_p</math> の拘束圧による変化を考慮するための見掛けの粘着力である。図一-2.7 は各種の砕石に関する三軸試験結果をまとめたものである<sup>11)</sup>。拘束圧が大きくなるとともに粒子間隙によって、<math>\phi_p</math> が減少する。中に実線で示された値は見掛けの粘着力 <math>c_p=20kN/m^3</math>、<math>\phi_p=35^\circ</math> とした値であるが、見掛けの粘着力を考慮することによって <math>\phi_p</math> の拘束圧依存性が反映されている。母岩の一軸圧縮強さと強度定数の関係を調べた結果によると、これらの標準値が適用できるのは母岩の一軸圧縮強さが <math>30MN/m^2</math> 以上の石材である。母岩の強度が <math>30MN/m^2</math> 以下である弱い石材をマウンドの一部として用いる場合、強度定数はほぼ <math>c_p=20kN/m^3</math>、<math>\phi_p=30^\circ</math> となる<sup>12)</sup>。</p> <p>「港湾の施設の技術上の基準・同解説(公益社団法人日本港湾協会、平成19年)」より引用</p> <p>参考図 2-1 中割石、裏込石への適用条件(一軸圧縮強さ)</p> <p>泊発電所における中割石は、一軸圧縮強度試験の結果、一軸圧縮強度の最低値は <math>33.7MN/m^2</math> であり <math>30MN/m^2</math> 以上であることから適用性があると考える。</p>  <p>参考図 2-2 調査位置図 (一軸圧縮強さ)</p>	

## 泊発電所3号炉 DB基準適合性 比較表

実線・・設計方針又は設備構成等の相違  
 波線・・記載表現、設備名称の相違（実質的な相違なし）

## 第5条 津波による損傷の防止

女川原子力発電所2号炉	島根原子力発電所2号炉	泊発電所3号炉	相違理由																																														
		<p>参考表 2-2 一軸圧縮試験結果</p> <table border="1"> <thead> <tr> <th>試料番号</th> <th>一軸圧縮強度 <math>\sigma_c</math> (MN/m<sup>2</sup>)</th> </tr> </thead> <tbody> <tr><td>SW3-1-1</td><td>78.0</td></tr> <tr><td>SW3-1-2</td><td>90.7</td></tr> <tr><td>SW3-3-1</td><td>123.7</td></tr> <tr><td>SW3-3-2</td><td>178.4</td></tr> <tr><td>SW3-3-3</td><td>163.3</td></tr> <tr><td>SW3-4-1</td><td>151.4</td></tr> <tr><td>SW3-4-2</td><td>184.9</td></tr> <tr><td>SW3-4-3</td><td>204.3</td></tr> <tr><td>SW3-4-4</td><td>183.1</td></tr> <tr><td>SW3-6-1</td><td>205.0</td></tr> <tr><td>SW3-6-2</td><td>227.6</td></tr> <tr><td>SW3-6-3</td><td>270.3</td></tr> <tr><td>SW3-6-4</td><td>109.4</td></tr> <tr><td>SW3-6-5</td><td>93.5</td></tr> <tr><td>SW3-6-6</td><td>174.3</td></tr> <tr><td>SW3-7-1</td><td>130.4</td></tr> <tr><td>SW3-7-2</td><td>79.1</td></tr> <tr><td>SW3-9-1</td><td>33.7</td></tr> <tr><td>SW3-9-2</td><td>136.6</td></tr> <tr><td>SW3-9-3</td><td>187.2</td></tr> <tr><td>SW3-9-4</td><td>55.0</td></tr> <tr style="outline: 2px solid red;"><td>最低値</td><td>33.7</td></tr> </tbody> </table> <p>中割石、裏込石の最大減衰定数は、以下のとおり設定する。</p> <ul style="list-style-type: none"> <li>「FLIP 研究会検討結果(事例編)」では、標準的なモデル化案では解析結果への影響が小さいことから <math>h_{max}=0.2 \sim 0.3</math> が提案されている。</li> <li>また、「FLIP 研究会検討結果(事例編)」では、その内数である <math>h_{max}=0.24</math> が設定されている。</li> <li>以上のことから、<math>h_{max}=0.24</math> を採用する。</li> </ul> <p>中割石、裏込石の変形特性及び初期せん断剛性は、以下のとおり設定する。</p> <ul style="list-style-type: none"> <li>「液状化ハンドブック」では、せん断波速度 <math>V_s=300\text{m/s}</math> とし、せん断波速度から求められる初期せん断剛性 <math>G_0=0.18 \times 10^3\text{N/mm}^2</math> を標準の値としている。</li> <li>泊発電所における中割石を対象としてPS検層を行った結果、せん断波速度 <math>V_s</math> の平均値が <math>300\text{m/s}</math> 以上あることから適用性があると考える。</li> <li>以上のことから、せん断波速度 <math>V_s=300\text{m/s}</math>、初期せん断剛性 <math>G_0=0.18 \times 10^3\text{N/mm}^2</math> を採用する。</li> </ul> <p>中割石、裏込石の間隙水の体積弾性係数は、以下のとおり設定する。</p>	試料番号	一軸圧縮強度 $\sigma_c$ (MN/m <sup>2</sup> )	SW3-1-1	78.0	SW3-1-2	90.7	SW3-3-1	123.7	SW3-3-2	178.4	SW3-3-3	163.3	SW3-4-1	151.4	SW3-4-2	184.9	SW3-4-3	204.3	SW3-4-4	183.1	SW3-6-1	205.0	SW3-6-2	227.6	SW3-6-3	270.3	SW3-6-4	109.4	SW3-6-5	93.5	SW3-6-6	174.3	SW3-7-1	130.4	SW3-7-2	79.1	SW3-9-1	33.7	SW3-9-2	136.6	SW3-9-3	187.2	SW3-9-4	55.0	最低値	33.7	
試料番号	一軸圧縮強度 $\sigma_c$ (MN/m <sup>2</sup> )																																																
SW3-1-1	78.0																																																
SW3-1-2	90.7																																																
SW3-3-1	123.7																																																
SW3-3-2	178.4																																																
SW3-3-3	163.3																																																
SW3-4-1	151.4																																																
SW3-4-2	184.9																																																
SW3-4-3	204.3																																																
SW3-4-4	183.1																																																
SW3-6-1	205.0																																																
SW3-6-2	227.6																																																
SW3-6-3	270.3																																																
SW3-6-4	109.4																																																
SW3-6-5	93.5																																																
SW3-6-6	174.3																																																
SW3-7-1	130.4																																																
SW3-7-2	79.1																																																
SW3-9-1	33.7																																																
SW3-9-2	136.6																																																
SW3-9-3	187.2																																																
SW3-9-4	55.0																																																
最低値	33.7																																																

## 泊発電所3号炉 DB基準適合性 比較表

実線・・設計方針又は設備構成等の相違  
波線・・記載表現、設備名称の相違（実質的な相違なし）

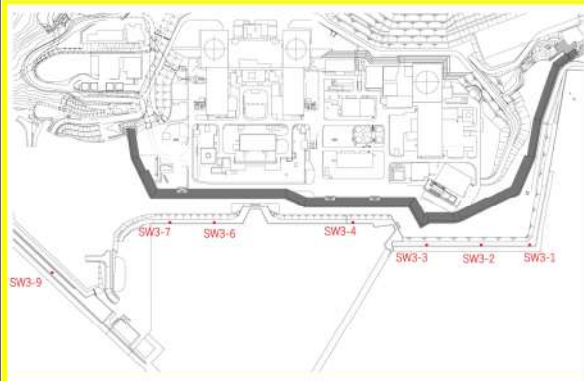
## 第5条 津波による損傷の防止

泊発電所3号炉	島根原子力発電所2号炉	泊発電所3号炉	相違理由
女川原子力発電所2号炉		<ul style="list-style-type: none"> <li>・地下水位又は海水位以下の中割石、裏込石以外の間隙水要素は、理科年表より一般値(<math>K_f=2.22 \times 10^4 \text{ kPa}</math>)を設定している。</li> <li>・捨石の間隙水の体積弾性係数は、標準的なモデル化案では非排水条件での解析を前提とするFLIPによる解析における工夫として、捨石の高透水性を再現するため、一般値の1%程度以下の値とすることが「FLIP研究会検討結果(事例編)」で提唱されている。</li> <li>・以上のことから、中割石、裏込石の間隙水の体積弾性係数は、一般値の1%である <math>K_f=2.22 \times 10^4 \text{ kPa}</math> を採用する。</li> </ul> <p style="border: 1px solid black; padding: 5px; margin-top: 10px;">以上の検討結果から推奨された物性は表2-5-1-6に示す。要点は、①せん断強度定数は、既往の試験結果を尊重し、c, φ同時に指定機能を用いるものとする。②高透水性に配慮し、負圧に抵抗しない条件の <math>\text{IGKSW} = 1</math> とする。③減衰定数は影響が小さいため <math>0.2 \sim 0.3</math> の値を設定する。④初期せん断波速度は従来通り <math>V_s = 300, 225(\text{m/sec})</math> を用いる。⑤水の体積弾性係数 <math>K_f</math> は、比較的挙動が同等となる <math>1\%</math>以下の小さい値を設定する。 「FLIP研究会検討結果(事例編)」より引用</p> <p style="border: 1px solid black; padding: 5px; margin-top: 10px;">マウンドの捨石や裏込めのせん断波速度の測定は非常に困難であり、実測例も数少ない。本ハンドブックでは、温咸防波堤における地震観測結果から得られた算定式<sup>23)</sup>により、水深-10m程度の大型岸壁における捨石および裏込め中のせん断波速度として次の値を用いる。 マウンド捨石のせん断波速度； <math>V_s = 300 \text{ m/s}</math> 「埋立地の液状化対策ハンドブック(改訂版)(沿岸開発技術研究センター、平成9年)」より引用</p> <p style="border: 1px solid black; padding: 5px; margin-top: 10px;">泊発電所における中割石を対象としたPS検層結果から、せん断波速度 <math>V_s</math> の最低値は <math>310 \text{ m/s}</math> であり、「液状化ハンドブック」に記載のマウンド捨石のせん断波速度(<math>300 \text{ m/s}</math>)と同等な値である。 以上のことから、せん断波速度から求められる初期せん断剛性は、泊発電所においても適用性があると考える。</p>	

## 泊発電所 3号炉 DB基準適合性 比較表

実線・・設計方針又は設備構成等の相違  
 波線・・記載表現、設備名称の相違（実質的な相違なし）

## 第5条 津波による損傷の防止

女川原子力発電所 2号炉	島根原子力発電所 2号炉	泊発電所 3号炉	相違理由																		
		 <p>参考図 2-5 調査位置図 (PS検層)</p> <p>参考表 2-3 PS検層結果</p> <table border="1"> <thead> <tr> <th>孔No.</th> <th>せん断波速度 Vs(m/s)</th> </tr> </thead> <tbody> <tr> <td>SW3-1</td> <td>310</td> </tr> <tr> <td>SW3-2</td> <td>320</td> </tr> <tr> <td>SW3-3</td> <td>380</td> </tr> <tr> <td>SW3-4</td> <td>380</td> </tr> <tr> <td>SW3-6</td> <td>390</td> </tr> <tr> <td>SW3-7</td> <td>440</td> </tr> <tr> <td>SW3-9</td> <td>430</td> </tr> <tr> <td><b>最低値</b></td> <td><b>310</b></td> </tr> </tbody> </table>	孔No.	せん断波速度 Vs(m/s)	SW3-1	310	SW3-2	320	SW3-3	380	SW3-4	380	SW3-6	390	SW3-7	440	SW3-9	430	<b>最低値</b>	<b>310</b>	
孔No.	せん断波速度 Vs(m/s)																				
SW3-1	310																				
SW3-2	320																				
SW3-3	380																				
SW3-4	380																				
SW3-6	390																				
SW3-7	440																				
SW3-9	430																				
<b>最低値</b>	<b>310</b>																				

## 泊発電所3号炉 DB基準適合性 比較表

実線・・設計方針又は設備構成等の相違

波線・・記載表現、設備名称の相違（実質的な相違なし）

## 第5条 津波による損傷の防止

女川原子力発電所2号炉	島根原子力発電所2号炉	泊発電所3号炉	相違理由
		<p>2. 解析用物性値（中割石、裏込石）の設定根拠      「港湾基準」の引用文献である「港湾技術研究所報告 捨石マウンドの支持力の新しい計算法（1987.6）（文献①）」では、捨石マウンド上に重力式構造物が設けられる場合における捨石の力学的特性の検討を目的とした実験が行われている。ここで、文献①では、直轄港湾工事に用いられる基礎捨石に対して質量～粒径換算を行い、それらと同程度の強度・比重を有する「碎石（Dmax=25mm～200mm：砂岩と花崗岩の2種類）」を対象に、試験条件として均等係数 <math>U_c</math>、拘束圧及び締固め程度を変化させた供試体を準備し、直径 60cm・高さ 120cm の供試体では中型三軸圧縮試験、直径 120cm・高さ 240cm の供試体では大型三軸圧縮試験をそれぞれ実施して捨石の力学特性を検討している。文献①の三軸圧縮実験ケース及び実験結果を参考図 2-6 に示す。</p> <p>上述の試験結果より、「捨石の強度定数は粘着力 <math>C=2</math> (tf/m<sup>2</sup>)、せん断抵抗角 <math>\Phi=35^\circ</math> を標準とする」とされている。</p> <p>なお、泊発電所の中割石は <math>D_{max}=80\text{mm} \sim 500\text{mm}</math> である。</p> <p style="text-align: center;"> </p> <p>参考図 2-6 文献①の三軸圧縮実験ケース及び実験結果</p> <p>文献①は、捨石マウンドにおける支持力の新しい計算方法の提案を目的に、捨石マウンド上の重力式構造物の安定性（静的）に関して現地実験（小名浜港：基礎捨石 50kg～800kg/個、被覆石 600kg～800kg/個（推定））が行われている。</p> <p>現地実験は、マウンド肩幅を 10m から 25m, 15m, 5m に変更した 4 ケースで行われており、実験ケーン（幅 22m × 奥行 15m）に油圧ジャッキで水平力を与えてマウンド及び基礎地盤に偏心傾斜荷重を加えることで、実験ケーンの回転角や水平変位が計測されている。</p> <p>現地実験から得られた最大水平力を用いた円形すべり計算結果によると、「捨石の三軸試験による強度定数 <math>C=2</math> (tf/m<sup>2</sup>)、<math>\Phi=35^\circ</math> を用いたビショップ法の結果が実験結果と良く一致する」とある。</p>	

泊発電所3号炉 DB基準適合性 比較表

実線・・設計方針又は設備構成等の相違

波線・・記載表現、設備名称の相違（実質的な相違なし）

第5条 津波による損傷の防止

女川原子力発電所2号炉	島根原子力発電所2号炉	泊発電所3号炉	相違理由
		<p>致する」とされている。          小名浜港の現地試験の概要図を参考図2-7に示す。</p> <p>(文獻①)「港湾技術研究所報告 捨石マウンドの支持力と新しい計算法 (1987.6)」より引用</p> <p>参考図2-7 小名浜港現地試験概要図</p> <p>引用文献「港湾技研資料 マウンド用石材の大型三軸試験による強度特性 (1991.3) (文献②)」では、「品質が劣ると考えられてきた石材の強度特性を明らかにする」ことを目的として、文献①で用いた比較的良質な花崗岩等よりも性質が劣る石灰岩及び軟質な砂岩等について、一軸圧縮強度に着目した分類で大型三軸圧縮試験（供試体寸法：直径30cm、高さ60cm）が行われている。（一軸圧縮強度との相関関係を得るために、幅広い範囲の一軸圧縮強度を持つ特殊モルタルも使用）</p> <p>大型三軸圧縮試験の結果、「母岩の一軸圧縮強度が300(kgf/cm²)以上であれば、文献①で報告された捨石の標準値であるC=2(tf/m²), Φ=35(°)をほぼ満足する」とされている。文献②の三軸圧縮実験ケース及び実験結果を参考図2-8に示す。</p> <p>なお、泊発電所の中割石は30kg～300kg/個である。</p> <p>参考図2-8 文献②の三軸圧縮実験ケース及び実験結果</p> <p>3. 先行プラントにおける審査実績          消波ブロック、中割石等の解析用物性値について、先行プラ</p>	

## 泊発電所3号炉 DB基準適合性 比較表

実線・・設計方針又は設備構成等の相違

波線・・記載表現、設備名称の相違（実質的な相違なし）

## 第5条 津波による損傷の防止

女川原子力発電所2号炉	島根原子力発電所2号炉	泊発電所3号炉	相違理由																																																
		<p>ントの審査実績と泊発電所の設定状況の比較を示す。</p> <p>(1) 消波ブロック、被覆ブロックの解析用物性値</p> <table border="1"> <tr> <td>島根原子力発電所 2号炉</td><td>泊発電所 3号炉</td></tr> <tr> <td>分布荷重で考慮</td><td>分布荷重で考慮</td></tr> </table> <p>(2) 中割石、裏込石の解析用物性値</p> <table border="1"> <thead> <tr> <th>高浜発電所 3・4号機</th><th>大飯発電所 3・4号機</th><th>島根原子力発電所 2号炉</th><th>泊発電所 3号炉</th></tr> </thead> <tbody> <tr> <td>・内部摩擦角 <math>\phi = 35^\circ</math></td><td>・単位体積重量 <math>\gamma_r = 20.0 \text{ kN/m}^3</math></td><td>・単位体積重量 <math>\gamma_r = 20.0 \text{ kN/m}^3</math></td><td>・単位体積重量 <math>\gamma_r = 20.0 \text{ kN/m}^3</math></td></tr> <tr> <td>・弾性波速度 <math>V_p = 300 \text{ m/s}</math></td><td>・せん断強度定数 <math>G = 20 \text{ kN/m}^2, \phi = 35^\circ</math></td><td>・せん断強度定数 <math>G = 0.04 \text{ kN/m}^2, \phi = 35^\circ</math></td><td>・せん断強度定数 <math>G = 20 \text{ kN/m}^2, \phi = 35^\circ</math></td></tr> <tr> <td>・最大震度定数</td><td>・最大震度定数</td><td>・最大震度定数</td><td>・最大震度定数</td></tr> <tr> <td>【不確定性考慮】</td><td><math>b_{eq} = 0.24</math></td><td><math>b_{eq} = 0.24</math></td><td><math>b_{eq} = 0.24</math></td></tr> <tr> <td>・内部摩擦角 <math>\phi = 30^\circ</math> 等</td><td>・初期せん断剛性 <math>G = 0.18 \times 10^6 \text{ N/m}^2</math></td><td>・初期せん断剛性 <math>G = 0.18 \times 10^6 \text{ N/m}^2</math></td><td>・初期せん断剛性 <math>G = 0.18 \times 10^6 \text{ N/m}^2</math></td></tr> <tr> <td>・弾性波速度 <math>V_p = 225 \text{ m/s}</math></td><td>・ボアソン比 <math>\nu = 0.33</math></td><td>・ボアソン比 <math>\nu = 0.33</math></td><td>・ボアソン比 <math>\nu = 0.33</math></td></tr> <tr> <td colspan="4">           備考:            備考1: 母材の強度が  <math>30 \text{ MN/m}^2</math> 以下である弱            い石材をマウンドの一部として用いる場合の            推奨値であり、各種碎石            に関する三軸試験結果            の関付け            備考2: 裏込石の弾性波速            度 <math>V_p</math> としての推奨値            (基礎指標の <math>V_p</math> を 2 倍値            減させた値に相当)         </td></tr> </tbody> </table> <p>(3) 中割石、裏込石の物性値の妥当性確認試験</p> <table border="1"> <tr> <td>島根原子力発電所 2号炉</td><td>泊発電所 3号炉</td></tr> <tr> <td>・一軸圧縮強度試験 (せん断強度定数の適用性確認)</td><td>・一軸圧縮強度試験 (せん断強度定数の適用性確認)</td></tr> <tr> <td>・安息角試験 (内部摩擦角 <math>\phi</math> の確認)</td><td>・PS 検層 (初期せん断剛性的確認)</td></tr> </table> <p>(4) 中割石、裏込石の物性値の妥当性確認文献</p> <table border="1"> <thead> <tr> <th>大飯発電所 3・4号機</th><th>島根原子力発電所 2号炉</th><th>泊発電所 3号炉</th></tr> </thead> <tbody> <tr> <td>・電力中央研究所報告 ロッ クフィルダムの物性値分布特性 および堤体の動的特性 (1987)</td><td>・港湾技術研究所報告 接石 マウンドの支持力の新しい計 算法(1987.8) ・港湾技研資料 マウンド用 石材の大型三軸試験による強 度特性(1981.3)</td><td>・港湾技術研究所報告 接石 マウンドの支持力の新しい計 算法(1987.6) ・港湾技研資料 マウンド用 石材の大型三軸試験による強 度特性(1981.3)</td></tr> </tbody> </table>	島根原子力発電所 2号炉	泊発電所 3号炉	分布荷重で考慮	分布荷重で考慮	高浜発電所 3・4号機	大飯発電所 3・4号機	島根原子力発電所 2号炉	泊発電所 3号炉	・内部摩擦角 $\phi = 35^\circ$	・単位体積重量 $\gamma_r = 20.0 \text{ kN/m}^3$	・単位体積重量 $\gamma_r = 20.0 \text{ kN/m}^3$	・単位体積重量 $\gamma_r = 20.0 \text{ kN/m}^3$	・弾性波速度 $V_p = 300 \text{ m/s}$	・せん断強度定数 $G = 20 \text{ kN/m}^2, \phi = 35^\circ$	・せん断強度定数 $G = 0.04 \text{ kN/m}^2, \phi = 35^\circ$	・せん断強度定数 $G = 20 \text{ kN/m}^2, \phi = 35^\circ$	・最大震度定数	・最大震度定数	・最大震度定数	・最大震度定数	【不確定性考慮】	$b_{eq} = 0.24$	$b_{eq} = 0.24$	$b_{eq} = 0.24$	・内部摩擦角 $\phi = 30^\circ$ 等	・初期せん断剛性 $G = 0.18 \times 10^6 \text{ N/m}^2$	・初期せん断剛性 $G = 0.18 \times 10^6 \text{ N/m}^2$	・初期せん断剛性 $G = 0.18 \times 10^6 \text{ N/m}^2$	・弾性波速度 $V_p = 225 \text{ m/s}$	・ボアソン比 $\nu = 0.33$	・ボアソン比 $\nu = 0.33$	・ボアソン比 $\nu = 0.33$	備考: 備考1: 母材の強度が $30 \text{ MN/m}^2$ 以下である弱 い石材をマウンドの一部として用いる場合の 推奨値であり、各種碎石 に関する三軸試験結果 の関付け 備考2: 裏込石の弾性波速 度 $V_p$ としての推奨値 (基礎指標の $V_p$ を 2 倍値 減させた値に相当)				島根原子力発電所 2号炉	泊発電所 3号炉	・一軸圧縮強度試験 (せん断強度定数の適用性確認)	・一軸圧縮強度試験 (せん断強度定数の適用性確認)	・安息角試験 (内部摩擦角 $\phi$ の確認)	・PS 検層 (初期せん断剛性的確認)	大飯発電所 3・4号機	島根原子力発電所 2号炉	泊発電所 3号炉	・電力中央研究所報告 ロッ クフィルダムの物性値分布特性 および堤体の動的特性 (1987)	・港湾技術研究所報告 接石 マウンドの支持力の新しい計 算法(1987.8) ・港湾技研資料 マウンド用 石材の大型三軸試験による強 度特性(1981.3)	・港湾技術研究所報告 接石 マウンドの支持力の新しい計 算法(1987.6) ・港湾技研資料 マウンド用 石材の大型三軸試験による強 度特性(1981.3)	
島根原子力発電所 2号炉	泊発電所 3号炉																																																		
分布荷重で考慮	分布荷重で考慮																																																		
高浜発電所 3・4号機	大飯発電所 3・4号機	島根原子力発電所 2号炉	泊発電所 3号炉																																																
・内部摩擦角 $\phi = 35^\circ$	・単位体積重量 $\gamma_r = 20.0 \text{ kN/m}^3$	・単位体積重量 $\gamma_r = 20.0 \text{ kN/m}^3$	・単位体積重量 $\gamma_r = 20.0 \text{ kN/m}^3$																																																
・弾性波速度 $V_p = 300 \text{ m/s}$	・せん断強度定数 $G = 20 \text{ kN/m}^2, \phi = 35^\circ$	・せん断強度定数 $G = 0.04 \text{ kN/m}^2, \phi = 35^\circ$	・せん断強度定数 $G = 20 \text{ kN/m}^2, \phi = 35^\circ$																																																
・最大震度定数	・最大震度定数	・最大震度定数	・最大震度定数																																																
【不確定性考慮】	$b_{eq} = 0.24$	$b_{eq} = 0.24$	$b_{eq} = 0.24$																																																
・内部摩擦角 $\phi = 30^\circ$ 等	・初期せん断剛性 $G = 0.18 \times 10^6 \text{ N/m}^2$	・初期せん断剛性 $G = 0.18 \times 10^6 \text{ N/m}^2$	・初期せん断剛性 $G = 0.18 \times 10^6 \text{ N/m}^2$																																																
・弾性波速度 $V_p = 225 \text{ m/s}$	・ボアソン比 $\nu = 0.33$	・ボアソン比 $\nu = 0.33$	・ボアソン比 $\nu = 0.33$																																																
備考: 備考1: 母材の強度が $30 \text{ MN/m}^2$ 以下である弱 い石材をマウンドの一部として用いる場合の 推奨値であり、各種碎石 に関する三軸試験結果 の関付け 備考2: 裏込石の弾性波速 度 $V_p$ としての推奨値 (基礎指標の $V_p$ を 2 倍値 減させた値に相当)																																																			
島根原子力発電所 2号炉	泊発電所 3号炉																																																		
・一軸圧縮強度試験 (せん断強度定数の適用性確認)	・一軸圧縮強度試験 (せん断強度定数の適用性確認)																																																		
・安息角試験 (内部摩擦角 $\phi$ の確認)	・PS 検層 (初期せん断剛性的確認)																																																		
大飯発電所 3・4号機	島根原子力発電所 2号炉	泊発電所 3号炉																																																	
・電力中央研究所報告 ロッ クフィルダムの物性値分布特性 および堤体の動的特性 (1987)	・港湾技術研究所報告 接石 マウンドの支持力の新しい計 算法(1987.8) ・港湾技研資料 マウンド用 石材の大型三軸試験による強 度特性(1981.3)	・港湾技術研究所報告 接石 マウンドの支持力の新しい計 算法(1987.6) ・港湾技研資料 マウンド用 石材の大型三軸試験による強 度特性(1981.3)																																																	

## 泊発電所3号炉 DB基準適合性 比較表

実線・・設計方針又は設備構成等の相違
波線・・記載表現、設備名称の相違（実質的な相違なし）

## 第5条 津波による損傷の防止

女川原子力発電所2号炉	島根原子力発電所2号炉	泊発電所3号炉	相違理由
		<p><b>4.まとめ</b></p> <p>(1) 解析用物性値の設定方針</p> <p>中割石、裏込石の物性値は、「港湾基準」、「液状化ハンドブック」、「FLIP研究会検討結果(事例編)」に基づき設定しており、一軸圧縮強度試験、PS検層を実施し、せん断強度定数及び初期せん断剛性の適用性の確認を行っている。</p> <p>(2) 解析用物性値の設定根拠</p> <p>文献①及び②から、「母岩の一軸圧縮強度が300 (kgf/cm<sup>2</sup>)以上であれば、文献①で報告されている捨石の標準値であるC=2 (tf/m<sup>2</sup>)、Φ=35 (°) をほぼ満足する」とされている。</p> <p>(3) 先行プラントにおける審査実績比較結果</p> <p>中割石、裏込石の物性値の設定に「港湾基準」、「液状化ハンドブック」を適用することの妥当性確認試験、文献確認を先行プラントと概ね同等に実施しており、その妥当性を確認している。</p> <p>なお、設定した物性値に一部相違する値があるが、妥当性確認試験の下限値が「港湾基準」、「液状化ハンドブック」が参考にしている文献値以上であるため、泊発電所においても保守性があると考える。</p> <p>(4) 設置許可段階における解析用物性値</p> <p>泊発電所の中割石、裏込石の解析用物性値は上述のとおり考えており、設置許可段階においては、C=20kN/m<sup>2</sup>、Φ=35 (°)、初期せん断剛性G<sub>0</sub>=0.18×10<sup>3</sup>N/mm<sup>2</sup>と設定した場合の評価を実施する。</p> <p>また、消波ブロック、被覆ブロックについては、先行プラン同様、重量のみを荷重として考慮する。</p>	

## 第5条 津波による損傷の防止

女川原子力発電所2号炉	島根原子力発電所2号炉	泊発電所3号炉	相違理由
		<p style="text-align: right;">(参考資料3)</p> <p><u>入力津波に対する地形変化の影響検討の検討対象について</u></p> <p><b>1. はじめに</b></p> <p>「基準津波及び耐津波設計方針に係る審査ガイド」に基づき、地震・津波による地形変化を考慮した津波解析を実施し、入力津波に影響を与えることが確認された地形変化については、入力津波を設定する際の影響要因として設定することとしている。</p> <p>基準津波の策定において、津波高さの観点から敷地に対して大きな影響を及ぼす波源を選定し、地形モデル（防波堤の損傷状態を考慮した4ケース）ごとに評価項目（水位上昇側の水位変動量（4地点）、水位下降側の貯留堰を下回る時間（1地点））が最大となるよう基準津波を策定している。</p> <p>よって、入力津波に対する地形変化の影響検討においても、防波堤の損傷状態を考慮した地形モデル及び評価項目ごとに確認を行うこととし、2項で設定する検討対象について、地形変化の有無による津波解析の結果を比較することにより、地形変化が入力津波に対して与える影響を確認する。（ただし、想定する地形変化のうち防波堤の損傷については基準津波の策定において考慮済みである。）</p> <p><b>2. 入力津波の検討対象の設定</b></p> <p>(1) 津波高さの観点</p> <p>前述のとおり、基準津波は津波高さの観点で防波堤の損傷状態を考慮した地形モデル及び評価項目ごとに最大となるよう策定していることから、入力津波に対する地形変化の影響検討にあたって、評価項目（水位変動量（上昇側）、貯留堰を下回る時間）ごとに、それぞれ地形モデル（防波堤の損傷状態を考慮した4ケース）を考慮した基準津波を津波高さの観点での検討対象とする。</p> <p>(2) 津波高さ以外（流況等）の観点</p> <p>基準津波策定の際に選定した波源は、津波高さの観点から選定したものであり、津波高さ以外（流況等）の観点で選定したものではない。そのため、選定されたすべての波源に対して、すべての地形モデル（防波堤の損傷状態を考慮した4ケース）との組合せで最大流速を確認し※、基準津波の波源に紐づかない地形モデルが各地形モデルにおける最大流速となるケースが認められた場合には、入力津波に対する地形変化の影響検討にあたって、すべての基準津波に加え、防波堤の損傷状態を考慮した地形モデルごとの最大流速が最大となるケースについても検討対象とする。</p> <p>※最大流速の確認結果は、「2. (1). d. 防波堤等の損傷に関する検討」参照</p>	<p>【女川、島根】設計方針の相違</p> <ul style="list-style-type: none"> <li>泊では、入力津波の設定にあたり地形変化の影響検討を地形モデル及び評価項目ごとに確認することとしており、その基本ケースの設定方針について補足する。</li> </ul>

## 泊発電所3号炉 DB基準適合性 比較表

実線・・設計方針又は設備構成等の相違

波線・・記載表現、設備名称の相違（実質的な相違なし）

## 第5条 津波による損傷の防止

女川原子力発電所2号炉	島根原子力発電所2号炉	泊発電所3号炉	相違理由																																																																								
		<p>(3) 入力津波の検討対象のまとめ</p> <p>津波高さ及び津波高さ以外の観点における入力津波の検討対象を参考表3-1に示す。参考表3-1に示す評価値と地形変化を考慮した津波解析により得られた評価値とを比較することで、地形変化が入力津波に対して与える影響を確認する。</p> <p>参考表3-1(1) 入力津波の基本ケース（津波高さ）</p> <table border="1"> <thead> <tr> <th>評価項目</th><th>波源</th><th>地形モデル</th><th>基本ケース</th></tr> </thead> <tbody> <tr> <td rowspan="4">防潮堤</td><td>波源A</td><td>防波堤損傷なし</td><td>13.44m</td></tr> <tr><td>波源E</td><td>北及び南防波堤損傷</td><td>15.85m</td></tr> <tr><td>波源E</td><td>南防波堤損傷</td><td>14.38m</td></tr> <tr><td>波源F</td><td>北防波堤損傷</td><td>15.68m</td></tr> <tr> <td rowspan="4">3号炉取水口</td><td>波源B</td><td>防波堤損傷なし</td><td>10.45m</td></tr> <tr><td>波源F</td><td>北及び南防波堤損傷</td><td>13.14m</td></tr> <tr><td>波源E</td><td>南防波堤損傷</td><td>11.88m</td></tr> <tr><td>波源B</td><td>北防波堤損傷</td><td>12.89m</td></tr> <tr> <td rowspan="4">1,2号炉取水口</td><td>波源C</td><td>防波堤損傷なし</td><td>9.34m</td></tr> <tr><td>波源E</td><td>北及び南防波堤損傷</td><td>12.74m</td></tr> <tr><td>波源G</td><td>南防波堤損傷</td><td>12.01m</td></tr> <tr><td>波源H</td><td>北防波堤損傷</td><td>11.50m</td></tr> <tr> <td rowspan="4">放水口</td><td>波源D</td><td>防波堤損傷なし</td><td>10.31m</td></tr> <tr><td>波源D</td><td>北及び南防波堤損傷</td><td>10.84m</td></tr> <tr><td>波源D</td><td>南防波堤損傷</td><td>10.85m</td></tr> <tr><td>波源D</td><td>北防波堤損傷</td><td>10.88m</td></tr> </tbody> </table> <p>追而 (茶津入構トンネル及びアクセスルートトンネルに係る波源の取り扱いを検討中)</p> <table border="1"> <thead> <tr> <th>貯留壁を下回る時間</th><th>波源I</th><th>防波堤損傷なし</th><th>721s</th></tr> </thead> <tbody> <tr> <td></td><td>波源J</td><td>北及び南防波堤損傷</td><td>698s</td></tr> <tr> <td></td><td>波源K</td><td>南防波堤損傷</td><td>743s</td></tr> <tr> <td></td><td>波源L</td><td>北防波堤損傷</td><td>863s</td></tr> </tbody> </table> <p>※1：現時点における最大ケース</p>	評価項目	波源	地形モデル	基本ケース	防潮堤	波源A	防波堤損傷なし	13.44m	波源E	北及び南防波堤損傷	15.85m	波源E	南防波堤損傷	14.38m	波源F	北防波堤損傷	15.68m	3号炉取水口	波源B	防波堤損傷なし	10.45m	波源F	北及び南防波堤損傷	13.14m	波源E	南防波堤損傷	11.88m	波源B	北防波堤損傷	12.89m	1,2号炉取水口	波源C	防波堤損傷なし	9.34m	波源E	北及び南防波堤損傷	12.74m	波源G	南防波堤損傷	12.01m	波源H	北防波堤損傷	11.50m	放水口	波源D	防波堤損傷なし	10.31m	波源D	北及び南防波堤損傷	10.84m	波源D	南防波堤損傷	10.85m	波源D	北防波堤損傷	10.88m	貯留壁を下回る時間	波源I	防波堤損傷なし	721s		波源J	北及び南防波堤損傷	698s		波源K	南防波堤損傷	743s		波源L	北防波堤損傷	863s	
評価項目	波源	地形モデル	基本ケース																																																																								
防潮堤	波源A	防波堤損傷なし	13.44m																																																																								
	波源E	北及び南防波堤損傷	15.85m																																																																								
	波源E	南防波堤損傷	14.38m																																																																								
	波源F	北防波堤損傷	15.68m																																																																								
3号炉取水口	波源B	防波堤損傷なし	10.45m																																																																								
	波源F	北及び南防波堤損傷	13.14m																																																																								
	波源E	南防波堤損傷	11.88m																																																																								
	波源B	北防波堤損傷	12.89m																																																																								
1,2号炉取水口	波源C	防波堤損傷なし	9.34m																																																																								
	波源E	北及び南防波堤損傷	12.74m																																																																								
	波源G	南防波堤損傷	12.01m																																																																								
	波源H	北防波堤損傷	11.50m																																																																								
放水口	波源D	防波堤損傷なし	10.31m																																																																								
	波源D	北及び南防波堤損傷	10.84m																																																																								
	波源D	南防波堤損傷	10.85m																																																																								
	波源D	北防波堤損傷	10.88m																																																																								
貯留壁を下回る時間	波源I	防波堤損傷なし	721s																																																																								
	波源J	北及び南防波堤損傷	698s																																																																								
	波源K	南防波堤損傷	743s																																																																								
	波源L	北防波堤損傷	863s																																																																								

## 泊発電所3号炉 DB基準適合性 比較表

実線・・設計方針又は設備構成等の相違
波線・・記載表現、設備名称の相違（実質的な相違なし）

## 第5条 津波による損傷の防止

女川原子力発電所2号炉	島根原子力発電所2号炉	泊発電所3号炉	相違理由																																																															
		<p>参考表3-1(2) 入力津波の基本ケース（津波高さ以外）</p> <table border="1"> <thead> <tr> <th>波源</th><th>地形モデル</th><th>基本ケース (最大流速)</th></tr> </thead> <tbody> <tr><td>波源A</td><td>防波堤損傷なし</td><td>13.81m/s</td></tr> <tr><td>波源B</td><td>防波堤損傷なし</td><td>17.28m/s</td></tr> <tr><td>波源B</td><td>南防波堤損傷</td><td>13.60m/s</td></tr> <tr><td>波源C</td><td>防波堤損傷なし</td><td>13.95m/s</td></tr> <tr><td>波源D</td><td>防波堤損傷なし</td><td>17.57m/s</td></tr> <tr><td>波源D</td><td>北及び南防波堤損傷</td><td>13.19m/s</td></tr> <tr><td>波源D</td><td>南防波堤損傷</td><td>18.77m/s</td></tr> <tr><td>波源D</td><td>北防波堤損傷</td><td>14.80m/s</td></tr> <tr><td>波源E</td><td>北及び南防波堤損傷</td><td>12.56m/s</td></tr> <tr><td>波源E</td><td>南防波堤損傷</td><td>18.58m/s</td></tr> <tr><td>波源F</td><td>北及び南防波堤損傷</td><td>12.31m/s</td></tr> <tr><td>波源F</td><td>北防波堤損傷</td><td>13.72m/s</td></tr> <tr><td>波源G</td><td>南防波堤損傷</td><td>15.27m/s</td></tr> <tr><td>波源H</td><td>北防波堤損傷</td><td>14.13m/s</td></tr> <tr><td>波源I<sup>※1</sup></td><td>防波堤損傷なし</td><td>13.70m/s</td></tr> <tr><td>波源J<sup>※1</sup></td><td>北及び南防波堤損傷</td><td>12.94m/s</td></tr> <tr><td>波源K<sup>※1</sup></td><td>南防波堤損傷</td><td>18.98m/s</td></tr> <tr><td>波源L<sup>※1</sup></td><td>北防波堤損傷</td><td>12.14m/s</td></tr> <tr><td>波源K<sup>※2</sup></td><td>防波堤損傷なし</td><td>17.63m/s</td></tr> <tr><td></td><td>北及び南防波堤損傷</td><td>13.54m/s</td></tr> </tbody> </table> <p>※1：現時点における最大ケース ※2：基準津波ではないが最大流速の観点から追加</p>	波源	地形モデル	基本ケース (最大流速)	波源A	防波堤損傷なし	13.81m/s	波源B	防波堤損傷なし	17.28m/s	波源B	南防波堤損傷	13.60m/s	波源C	防波堤損傷なし	13.95m/s	波源D	防波堤損傷なし	17.57m/s	波源D	北及び南防波堤損傷	13.19m/s	波源D	南防波堤損傷	18.77m/s	波源D	北防波堤損傷	14.80m/s	波源E	北及び南防波堤損傷	12.56m/s	波源E	南防波堤損傷	18.58m/s	波源F	北及び南防波堤損傷	12.31m/s	波源F	北防波堤損傷	13.72m/s	波源G	南防波堤損傷	15.27m/s	波源H	北防波堤損傷	14.13m/s	波源I <sup>※1</sup>	防波堤損傷なし	13.70m/s	波源J <sup>※1</sup>	北及び南防波堤損傷	12.94m/s	波源K <sup>※1</sup>	南防波堤損傷	18.98m/s	波源L <sup>※1</sup>	北防波堤損傷	12.14m/s	波源K <sup>※2</sup>	防波堤損傷なし	17.63m/s		北及び南防波堤損傷	13.54m/s	
波源	地形モデル	基本ケース (最大流速)																																																																
波源A	防波堤損傷なし	13.81m/s																																																																
波源B	防波堤損傷なし	17.28m/s																																																																
波源B	南防波堤損傷	13.60m/s																																																																
波源C	防波堤損傷なし	13.95m/s																																																																
波源D	防波堤損傷なし	17.57m/s																																																																
波源D	北及び南防波堤損傷	13.19m/s																																																																
波源D	南防波堤損傷	18.77m/s																																																																
波源D	北防波堤損傷	14.80m/s																																																																
波源E	北及び南防波堤損傷	12.56m/s																																																																
波源E	南防波堤損傷	18.58m/s																																																																
波源F	北及び南防波堤損傷	12.31m/s																																																																
波源F	北防波堤損傷	13.72m/s																																																																
波源G	南防波堤損傷	15.27m/s																																																																
波源H	北防波堤損傷	14.13m/s																																																																
波源I <sup>※1</sup>	防波堤損傷なし	13.70m/s																																																																
波源J <sup>※1</sup>	北及び南防波堤損傷	12.94m/s																																																																
波源K <sup>※1</sup>	南防波堤損傷	18.98m/s																																																																
波源L <sup>※1</sup>	北防波堤損傷	12.14m/s																																																																
波源K <sup>※2</sup>	防波堤損傷なし	17.63m/s																																																																
	北及び南防波堤損傷	13.54m/s																																																																

## 泊発電所3号炉 DB基準適合性 比較表

実線・・設計方針又は設備構成等の相違
波線・・記載表現、設備名称の相違（実質的な相違なし）

## 第5条 津波による損傷の防止

女川原子力発電所2号炉	島根原子力発電所2号炉	泊発電所3号炉	相違理由
		<p style="text-align: right;">(参考資料4)</p> <p>地形変化を考慮した週上解析における水位及び流速の変化に対する考察</p> <p>1. 概要 ここでは泊発電所の基準津波の特徴について整理し、その特徴を踏まえ、入力津波設定において、地形変化を考慮した津波週上解析（平面二次元津波解析）における水位及び流速の変化が大きかったケースを対象に考察を行う。</p> <p>2. 泊発電所の基準津波の特徴 (1) 泊発電所の基準津波の波源の特徴 水位上昇側波源について、アスペリティ位置、波源位置及び断層面上面深さは、津波週上に対し大きな影響を及ぼすような差異はなく、断層パターン及び陸上地滑り（川白）*との組合せの時間差が大きく影響する特徴がある。 ※地震以外の要因に伴う津波のうち、泊発電所に対する影響が最も大きい津波の波源</p> <p>&lt;基準津波の断層パターン及び組合せの時間差&gt;</p> <ul style="list-style-type: none"> <li>・断層パターンの分類：パターン6、パターン7</li> <li>・陸上地滑り（川白）との組合せの時間差の分類：85秒～135秒</li> </ul> <p>泊発電所の基準津波の最大水位上昇量は、陸上地滑り（川白）の第1波と岩内側から反射してきた地震に伴う津波の第2波のピークが敷地で重なることで生じる。この時の組合せの時間差は85秒～135秒の範囲であり、陸上地滑り（川白）の発生する時間が早いほど（組合せの時間差が短いほど）地震に伴う津波と岩内側（南側）で重なる。また、陸上地滑り（川白）の発生する時間が遅いほど（組合せの時間差が長いほど）敷地の北側で重なる。基準津波の断層パラメータを参考表4-1に示す。</p>	

## 泊発電所3号炉 DB基準適合性 比較表

実線・・設計方針又は設備構成等の相違  
波線・・記載表現、設備名称の相違（実質的な相違なし）

## 第5条 津波による損傷の防止

女川原子力発電所2号炉	島根原子力発電所2号炉	泊発電所3号炉	相違理由																																																																																																								
		<p style="text-align: center;">参考表 4-1 基準津波の断層パラメータ</p> <table border="1"> <thead> <tr> <th rowspan="2">波源</th> <th rowspan="2">マップ位置</th> <th rowspan="2">断層 パターーン</th> <th rowspan="2">波源位置</th> <th rowspan="2">断層面 上昇深さ</th> <th rowspan="2">組合せの 時間差</th> <th colspan="4">防波堤の損壊状態</th> <th rowspan="2">各評価地点における最大水位上昇量 (上昇側)</th> </tr> <tr> <th>北防波堤 (上昇側)</th> <th>南防波堤 (上昇側)</th> <th>3号炉 取水口 (上昇側)</th> <th>1,2号炉 取水口 (上昇側)</th> <th>放水口 (上昇側)</th> </tr> </thead> <tbody> <tr> <td>A de西～20km</td> <td>6</td> <td>&lt;の字モデル(車へ10km)</td> <td>5km</td> <td>115s</td> <td>健全</td> <td>健全</td> <td>13.44m</td> <td>-</td> <td>-</td> <td>-</td> </tr> <tr> <td>B de南～30km</td> <td>7</td> <td>矩形モデル(車へ15km)</td> <td>5km</td> <td>110s</td> <td>健全</td> <td>健全</td> <td>-</td> <td>10.45m</td> <td>-</td> <td>-</td> </tr> <tr> <td>C de南～20km</td> <td>6</td> <td>矩形モデル(車へ5km)</td> <td>5km</td> <td>135s</td> <td>健全</td> <td>健全</td> <td>-</td> <td>12.89m</td> <td>-</td> <td>-</td> </tr> <tr> <td>D de南～30km</td> <td>7</td> <td>矩形モデル(車へ15km)</td> <td>5km</td> <td>135s</td> <td>健全</td> <td>健全</td> <td>-</td> <td>-</td> <td>9.34m</td> <td>-</td> </tr> <tr> <td>E de南～20km</td> <td>7</td> <td>矩形モデル(車へ15km)</td> <td>5km</td> <td>115s</td> <td>健全</td> <td>健全</td> <td>-</td> <td>-</td> <td>-</td> <td>10.91m</td> </tr> <tr> <td>F de南～20km</td> <td>7</td> <td>矩形モデル(車へ15km)</td> <td>5km</td> <td>110s</td> <td>健全</td> <td>健全</td> <td>-</td> <td>-</td> <td>-</td> <td>10.84m</td> </tr> <tr> <td>G de南～20km</td> <td>7</td> <td>矩形モデル(車へ15km)</td> <td>5km</td> <td>85s</td> <td>健全</td> <td>健全</td> <td>-</td> <td>-</td> <td>-</td> <td>10.85m</td> </tr> <tr> <td>H de南～30km</td> <td>7</td> <td>矩形モデル(車へ15km)</td> <td>5km</td> <td>120s</td> <td>健全</td> <td>健全</td> <td>-</td> <td>-</td> <td>-</td> <td>10.66m</td> </tr> </tbody> </table>	波源	マップ位置	断層 パターーン	波源位置	断層面 上昇深さ	組合せの 時間差	防波堤の損壊状態				各評価地点における最大水位上昇量 (上昇側)	北防波堤 (上昇側)	南防波堤 (上昇側)	3号炉 取水口 (上昇側)	1,2号炉 取水口 (上昇側)	放水口 (上昇側)	A de西～20km	6	<の字モデル(車へ10km)	5km	115s	健全	健全	13.44m	-	-	-	B de南～30km	7	矩形モデル(車へ15km)	5km	110s	健全	健全	-	10.45m	-	-	C de南～20km	6	矩形モデル(車へ5km)	5km	135s	健全	健全	-	12.89m	-	-	D de南～30km	7	矩形モデル(車へ15km)	5km	135s	健全	健全	-	-	9.34m	-	E de南～20km	7	矩形モデル(車へ15km)	5km	115s	健全	健全	-	-	-	10.91m	F de南～20km	7	矩形モデル(車へ15km)	5km	110s	健全	健全	-	-	-	10.84m	G de南～20km	7	矩形モデル(車へ15km)	5km	85s	健全	健全	-	-	-	10.85m	H de南～30km	7	矩形モデル(車へ15km)	5km	120s	健全	健全	-	-	-	10.66m	
波源	マップ位置	断層 パターーン							波源位置	断層面 上昇深さ	組合せの 時間差	防波堤の損壊状態				各評価地点における最大水位上昇量 (上昇側)																																																																																											
			北防波堤 (上昇側)	南防波堤 (上昇側)	3号炉 取水口 (上昇側)	1,2号炉 取水口 (上昇側)	放水口 (上昇側)																																																																																																				
A de西～20km	6	<の字モデル(車へ10km)	5km	115s	健全	健全	13.44m	-	-	-																																																																																																	
B de南～30km	7	矩形モデル(車へ15km)	5km	110s	健全	健全	-	10.45m	-	-																																																																																																	
C de南～20km	6	矩形モデル(車へ5km)	5km	135s	健全	健全	-	12.89m	-	-																																																																																																	
D de南～30km	7	矩形モデル(車へ15km)	5km	135s	健全	健全	-	-	9.34m	-																																																																																																	
E de南～20km	7	矩形モデル(車へ15km)	5km	115s	健全	健全	-	-	-	10.91m																																																																																																	
F de南～20km	7	矩形モデル(車へ15km)	5km	110s	健全	健全	-	-	-	10.84m																																																																																																	
G de南～20km	7	矩形モデル(車へ15km)	5km	85s	健全	健全	-	-	-	10.85m																																																																																																	
H de南～30km	7	矩形モデル(車へ15km)	5km	120s	健全	健全	-	-	-	10.66m																																																																																																	

## 泊発電所3号炉 DB基準適合性 比較表

実線・・設計方針又は設備構成等の相違

波線・・記載表現、設備名称の相違（実質的な相違なし）

## 第5条 津波による損傷の防止

女川原子力発電所2号炉	島根原子力発電所2号炉	泊発電所3号炉	相違理由																														
		<p>(2) 波源毎の泊発電所における水位上昇の特徴</p> <p>泊発電所の基準津波の波源を断層パターンと陸上地滑り（川白）との組合せの時間差で分類し、それぞれの水位上昇の特徴について参考表 4-2 に示す。また、最大水位が発生するときの津波週上状況を参考表 4-3 に示す。</p> <p style="text-align: center;"><b>参考表 4-2 波源毎の水位上昇の特徴</b></p> <table border="1"> <thead> <tr> <th>波源</th> <th>断層 パターン</th> <th>組合せ の時間 差(秒)</th> <th>最大水位上昇量 が発生する評価 地点</th> <th>流脈の特徴</th> </tr> </thead> <tbody> <tr> <td>A</td> <td></td> <td>115</td> <td>防潮堤前</td> <td> <ul style="list-style-type: none"> <li>・陸上地滑り（川白）と地震に伴う津波の第2波が軌道南側で重なり、南端で最大水位が発生する。</li> <li>・最大水位発生位置が港外のため、北防波堤、南防波堤の相違有無の影響を受けない。</li> </ul> </td> </tr> <tr> <td>C</td> <td>6</td> <td>135 1. 2号取水口</td> <td></td> <td> <ul style="list-style-type: none"> <li>・陸上地滑り（川白）と地震に伴う津波の第2波が軌道南側で重なり、南端で最大水位が発生する。</li> <li>・最大水位の発生要因となる地震に伴う津波が敷地南側から流入するため、南防波堤が津波伝播の阻害要因となる。</li> <li>・また、北防波堤及び南防波堤がない場合、津波伝播が遮断されず北側に抜け流されるため、港内の水位が低下するとの指摘される。</li> </ul> </td> </tr> <tr> <td>G</td> <td></td> <td>65 1. 2号取水口</td> <td></td> <td> <ul style="list-style-type: none"> <li>・陸上地滑り（川白）と地震に伴う津波の第2波が軌道西側で重なり、西側の敷地南側から同時に到達し、1. 2号取水口から港内北側付近で最大水位が発生する。</li> <li>・最大水位の発生要因となる重なりあった津波が港外の敷地南側から港内に到達するため、北防波堤および南防波堤が津波伝播の阻害要因となる。</li> </ul> </td> </tr> <tr> <td>B, E, F,H</td> <td>7</td> <td>110～ 120 1. 2号取水口</td> <td>防潮堤前面、 3号取水口、 1. 2号取水口</td> <td> <ul style="list-style-type: none"> <li>・陸上地滑り（川白）と地震に伴う津波の第2波が軌道西側で重なり、地震に伴う津波の第2波が到達した後、敷地南側から陸上地滑り（川白）が到達し、3号取水口(=1. 2号取水口付近)で最大水位が発生する。</li> <li>・最大水位の発生要因となる陸上地滑り（川白）の津波が港外の敷地南側から港内に到達するため、北防波堤が津波伝播の阻害要因となる。</li> </ul> </td> </tr> <tr> <td>D</td> <td></td> <td>135 放水口</td> <td></td> <td> <ul style="list-style-type: none"> <li>・陸上地滑り（川白）と地震に伴う津波の第2波が軌道北側で重なり、放水口付近で最大水位が発生する。</li> <li>・最大水位発生位置が港外のため、北防波堤、南防波堤の相違有無の影響を受けない。</li> </ul> </td> </tr> </tbody> </table>	波源	断層 パターン	組合せ の時間 差(秒)	最大水位上昇量 が発生する評価 地点	流脈の特徴	A		115	防潮堤前	<ul style="list-style-type: none"> <li>・陸上地滑り（川白）と地震に伴う津波の第2波が軌道南側で重なり、南端で最大水位が発生する。</li> <li>・最大水位発生位置が港外のため、北防波堤、南防波堤の相違有無の影響を受けない。</li> </ul>	C	6	135 1. 2号取水口		<ul style="list-style-type: none"> <li>・陸上地滑り（川白）と地震に伴う津波の第2波が軌道南側で重なり、南端で最大水位が発生する。</li> <li>・最大水位の発生要因となる地震に伴う津波が敷地南側から流入するため、南防波堤が津波伝播の阻害要因となる。</li> <li>・また、北防波堤及び南防波堤がない場合、津波伝播が遮断されず北側に抜け流されるため、港内の水位が低下するとの指摘される。</li> </ul>	G		65 1. 2号取水口		<ul style="list-style-type: none"> <li>・陸上地滑り（川白）と地震に伴う津波の第2波が軌道西側で重なり、西側の敷地南側から同時に到達し、1. 2号取水口から港内北側付近で最大水位が発生する。</li> <li>・最大水位の発生要因となる重なりあった津波が港外の敷地南側から港内に到達するため、北防波堤および南防波堤が津波伝播の阻害要因となる。</li> </ul>	B, E, F,H	7	110～ 120 1. 2号取水口	防潮堤前面、 3号取水口、 1. 2号取水口	<ul style="list-style-type: none"> <li>・陸上地滑り（川白）と地震に伴う津波の第2波が軌道西側で重なり、地震に伴う津波の第2波が到達した後、敷地南側から陸上地滑り（川白）が到達し、3号取水口(=1. 2号取水口付近)で最大水位が発生する。</li> <li>・最大水位の発生要因となる陸上地滑り（川白）の津波が港外の敷地南側から港内に到達するため、北防波堤が津波伝播の阻害要因となる。</li> </ul>	D		135 放水口		<ul style="list-style-type: none"> <li>・陸上地滑り（川白）と地震に伴う津波の第2波が軌道北側で重なり、放水口付近で最大水位が発生する。</li> <li>・最大水位発生位置が港外のため、北防波堤、南防波堤の相違有無の影響を受けない。</li> </ul>	
波源	断層 パターン	組合せ の時間 差(秒)	最大水位上昇量 が発生する評価 地点	流脈の特徴																													
A		115	防潮堤前	<ul style="list-style-type: none"> <li>・陸上地滑り（川白）と地震に伴う津波の第2波が軌道南側で重なり、南端で最大水位が発生する。</li> <li>・最大水位発生位置が港外のため、北防波堤、南防波堤の相違有無の影響を受けない。</li> </ul>																													
C	6	135 1. 2号取水口		<ul style="list-style-type: none"> <li>・陸上地滑り（川白）と地震に伴う津波の第2波が軌道南側で重なり、南端で最大水位が発生する。</li> <li>・最大水位の発生要因となる地震に伴う津波が敷地南側から流入するため、南防波堤が津波伝播の阻害要因となる。</li> <li>・また、北防波堤及び南防波堤がない場合、津波伝播が遮断されず北側に抜け流されるため、港内の水位が低下するとの指摘される。</li> </ul>																													
G		65 1. 2号取水口		<ul style="list-style-type: none"> <li>・陸上地滑り（川白）と地震に伴う津波の第2波が軌道西側で重なり、西側の敷地南側から同時に到達し、1. 2号取水口から港内北側付近で最大水位が発生する。</li> <li>・最大水位の発生要因となる重なりあった津波が港外の敷地南側から港内に到達するため、北防波堤および南防波堤が津波伝播の阻害要因となる。</li> </ul>																													
B, E, F,H	7	110～ 120 1. 2号取水口	防潮堤前面、 3号取水口、 1. 2号取水口	<ul style="list-style-type: none"> <li>・陸上地滑り（川白）と地震に伴う津波の第2波が軌道西側で重なり、地震に伴う津波の第2波が到達した後、敷地南側から陸上地滑り（川白）が到達し、3号取水口(=1. 2号取水口付近)で最大水位が発生する。</li> <li>・最大水位の発生要因となる陸上地滑り（川白）の津波が港外の敷地南側から港内に到達するため、北防波堤が津波伝播の阻害要因となる。</li> </ul>																													
D		135 放水口		<ul style="list-style-type: none"> <li>・陸上地滑り（川白）と地震に伴う津波の第2波が軌道北側で重なり、放水口付近で最大水位が発生する。</li> <li>・最大水位発生位置が港外のため、北防波堤、南防波堤の相違有無の影響を受けない。</li> </ul>																													

## 泊発電所3号炉 DB基準適合性 比較表

実線・・設計方針又は設備構成等の相違  
波線・・記載表現、設備名称の相違（実質的な相違なし）

## 第5条 津波による損傷の防止

女川原子力発電所2号炉	島根原子力発電所2号炉	泊発電所3号炉	相違理由												
		<p><b>参考表 4-3 (1) 津波週上状況（波源A、防波堤損傷なし）</b></p> <table border="1"> <thead> <tr> <th colspan="2">波源A（防波堤損傷なし） 防潮堤前面（上昇側）</th> </tr> <tr> <th>最大水位上昇量分布</th> <th>敷地周辺の津波のスナップショット</th> </tr> </thead> <tbody> <tr> <td></td> <td></td> </tr> </tbody> </table> <p><b>【最大水位発生要因】</b> 敷地西側からの陸上地滑り（川白）及び岩内側（敷地南側）からの地震に伴う津波の第2波が港外の南側護岸付近で重なり、最大水位が発生。</p> <p><b>参考表 4-3 (2) 津波週上状況（波源C、防波堤損傷なし）</b></p> <table border="1"> <thead> <tr> <th colspan="2">波源C（防波堤損傷なし） 1,2号炉取水口（上昇側）</th> </tr> <tr> <th>最大水位上昇量分布</th> <th>敷地周辺の津波のスナップショット</th> </tr> </thead> <tbody> <tr> <td></td> <td></td> </tr> </tbody> </table> <p><b>【最大水位発生要因】</b> 敷地西側からの陸上地滑り（川白）の津波が到達した後、岩内側（敷地南側）からの地震に伴う津波の第2波が到達し、最大水位が発生。</p>	波源A（防波堤損傷なし） 防潮堤前面（上昇側）		最大水位上昇量分布	敷地周辺の津波のスナップショット			波源C（防波堤損傷なし） 1,2号炉取水口（上昇側）		最大水位上昇量分布	敷地周辺の津波のスナップショット			
波源A（防波堤損傷なし） 防潮堤前面（上昇側）															
最大水位上昇量分布	敷地周辺の津波のスナップショット														
波源C（防波堤損傷なし） 1,2号炉取水口（上昇側）															
最大水位上昇量分布	敷地周辺の津波のスナップショット														

泊発電所 3号炉 DB基準適合性 比較表

実線・・設計方針又は設備構成等の相違
波線・・記載表現、設備名称の相違（実質的な相違なし）

第5条 津波による損傷の防止

女川原子力発電所 2号炉	島根原子力発電所 2号炉	泊発電所 3号炉	相違理由								
		<p>参考表 4-3 (3) 津波週上状況（波源G、南防波堤損傷）</p> <table border="1"> <tr> <td>波源G（南防波堤損傷）</td> <td>1,2号炉取水口（上昇側）</td> </tr> <tr> <td>最大水位上昇量分布</td> <td>敷地周辺の津波のスナップショット</td> </tr> </table> <p>【最大水位発生要因】 敷地西側からの陸上地滑り（川白）及び岩内側（敷地南側）からの地震に伴う津波の第2波がほぼ同時に敷地に到達し最大水位が発生。</p> <p>参考表 4-3 (4) 津波週上状況（波源F、北防波堤損傷）※1</p> <table border="1"> <tr> <td>波源F（北防波堤損傷）</td> <td>防潮堤前面（上昇側）</td> </tr> <tr> <td>最大水位上昇量分布</td> <td>敷地周辺の津波のスナップショット</td> </tr> </table> <p>【最大水位発生要因】 岩内側（敷地南側）からの地震に伴う津波の第2波が到達した後、敷地西側からの陸上地滑り（川白）の津波が到達し、最大水位が発生。</p>	波源G（南防波堤損傷）	1,2号炉取水口（上昇側）	最大水位上昇量分布	敷地周辺の津波のスナップショット	波源F（北防波堤損傷）	防潮堤前面（上昇側）	最大水位上昇量分布	敷地周辺の津波のスナップショット	
波源G（南防波堤損傷）	1,2号炉取水口（上昇側）										
最大水位上昇量分布	敷地周辺の津波のスナップショット										
波源F（北防波堤損傷）	防潮堤前面（上昇側）										
最大水位上昇量分布	敷地周辺の津波のスナップショット										

## 泊発電所3号炉 DB基準適合性 比較表

実線・・設計方針又は設備構成等の相違  
 波線・・記載表現、設備名称の相違（実質的な相違なし）

## 第5条 津波による損傷の防止

女川原子力発電所2号炉	島根原子力発電所2号炉	泊発電所3号炉	相違理由								
		<p>参考表 4-3 (5) 津波週上状況（波源D、防波堤損傷なし）</p> <table border="1"> <thead> <tr> <th colspan="2">波源D（防波堤損傷なし） 放水口（上界側）</th> </tr> <tr> <th>最大水位上昇量分布</th> <th>敷地周辺の津波のスナップショット</th> </tr> </thead> <tbody> <tr> <td></td> <td></td> </tr> <tr> <td colspan="2"> <b>【最大水位発生要因】</b>            敷地西側からの陸上地滑り（川白）及び岩内側（敷地南側）地震に伴う津波の第2波がほぼ同時に放水口付近に到達し最大水位が発生。         </td> </tr> </tbody> </table>	波源D（防波堤損傷なし） 放水口（上界側）		最大水位上昇量分布	敷地周辺の津波のスナップショット			<b>【最大水位発生要因】</b> 敷地西側からの陸上地滑り（川白）及び岩内側（敷地南側）地震に伴う津波の第2波がほぼ同時に放水口付近に到達し最大水位が発生。		
波源D（防波堤損傷なし） 放水口（上界側）											
最大水位上昇量分布	敷地周辺の津波のスナップショット										
<b>【最大水位発生要因】</b> 敷地西側からの陸上地滑り（川白）及び岩内側（敷地南側）地震に伴う津波の第2波がほぼ同時に放水口付近に到達し最大水位が発生。											

泊発電所3号炉 DB基準適合性 比較表

実線・・設計方針又は設備構成等の相違

波線・・記載表現、設備名称の相違（実質的な相違なし）

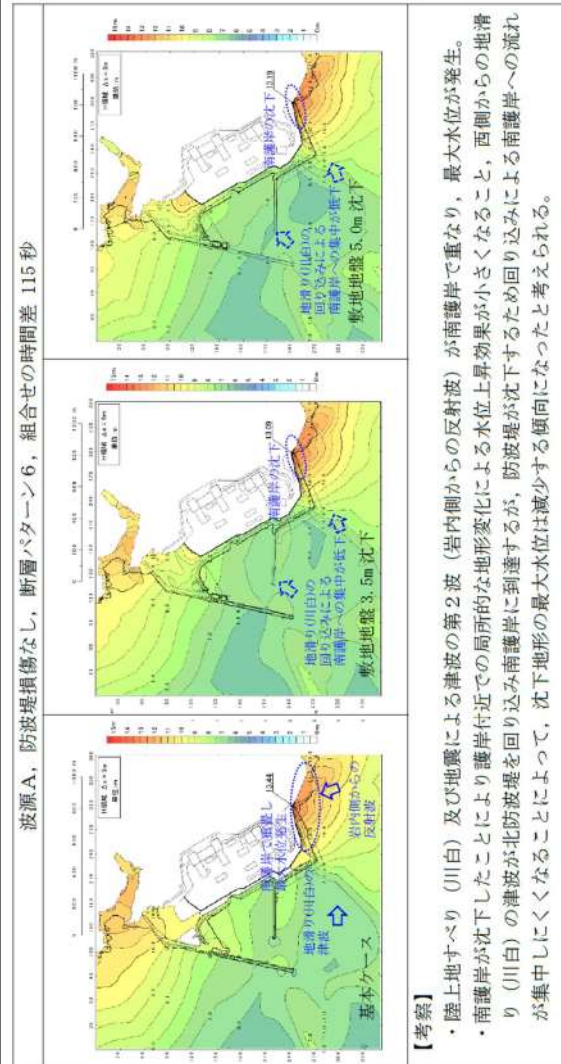
第5条 津波による損傷の防止

女川原子力発電所2号炉	島根原子力発電所2号炉	泊発電所3号炉	相違理由																																																																																																																													
		<p>3. 地形変化を考慮した遡上解析における基本ケースからの変化に対する考察</p> <p>(1) 地形変化を考慮した遡上解析結果（水位上昇側）</p> <p>審査ガイドに基づき、遡上波の敷地への到達（回り込みによるものも含む。）の可能性について確認するため、想定される各地形変化に対して遡上解析（平面二次元津波解析）を実施し、評価項目ごとに地形変化を考慮しない基本ケースと各地形変化を考慮したケースの水位上昇量を比較した。なお、検討対象は各評価項目に対応した基準津波とする。比較結果を参考表4-4に示す。</p> <p>比較の結果、敷地地盤（陸域）5m沈下において基本ケースに対し水位上昇量に大きな差が確認され、防潮堤前面及び3号取水口における影響が顕著であった。この要因について、遡上波の特徴を踏まえた考察を行った。（参考表4-5）</p> <p>参考表4-4 基本ケースと各地形変化を考慮したケースの水位上昇量比較結果</p> <table border="1"> <thead> <tr> <th rowspan="2">評価項目</th> <th rowspan="2">実線</th> <th rowspan="2">波線</th> <th rowspan="2">基準モデル（評価項目と対応する波線の色を示す） (a)</th> <th colspan="6">水位上昇量(△H)</th> </tr> <tr> <th>地盤高さ(△H) (△H&gt;0m)</th> <th>地盤高さ(△H) (△H=0m)</th> <th>地盤高さ(△H) (△H&lt;0m)</th> <th>地盤高さ(△H) (△H&gt;0m)</th> <th>地盤高さ(△H) (△H=0m)</th> <th>地盤高さ(△H) (△H&lt;0m)</th> </tr> </thead> <tbody> <tr> <td rowspan="4">3号取水口</td> <td>底盤A 底盤B 底盤C 底盤D</td> <td>13.44m 15.63m 14.82m 15.63m</td> <td>12.29m (-0.55m) 15.82m (-0.01m)</td> <td>12.49m (-0.65m) 15.65m (-0.32m)</td> <td>12.09m (-0.25m) 15.31m (-0.04m)</td> <td>12.39m (-0.25m) 15.61m (-0.11m)</td> <td>12.49m (-0.11m) 15.55m (-0.11m)</td> <td>12.44m (-0.05m) 15.49m (-0.05m)</td> <td>12.39m (-0.24m) 15.49m (-0.05m)</td> </tr> <tr> <td>底盤E 底盤F 底盤G 底盤H</td> <td>14.88m 15.67m 15.63m 15.67m</td> <td>14.82m (-0.01m) 15.60m (-0.11m) 15.60m (-0.11m)</td> <td>14.89m (-0.01m) 15.65m (-0.01m)</td> <td>15.74m (-0.01m) 15.96m (-0.01m)</td> <td>15.96m (-0.01m) 15.54m (-0.14m)</td> <td>14.77m (-0.11m) 15.65m (-0.01m)</td> <td>14.87m (-0.01m) 15.60m (-0.01m)</td> <td>14.87m (-0.01m) 15.60m (-0.01m)</td> </tr> <tr> <td>底盤I 底盤J 底盤K 底盤L</td> <td>15.67m 15.63m 15.63m 15.63m</td> <td>15.67m (-0.01m) 15.63m (-0.01m) 15.63m (-0.01m)</td> <td>15.69m (-0.01m) 15.63m (-0.01m)</td> <td>15.69m (-0.01m) 15.63m (-0.01m)</td> <td>15.69m (-0.01m) 15.54m (-0.14m)</td> <td>15.69m (-0.01m) 15.54m (-0.14m)</td> <td>15.69m (-0.01m) 15.55m (-0.11m)</td> <td>15.69m (-0.01m) 15.55m (-0.11m)</td> </tr> <tr> <td>底盤M 底盤N 底盤O 底盤P</td> <td>15.63m 15.63m 15.63m 15.63m</td> <td>15.63m (-0.01m) 15.63m (-0.01m) 15.63m (-0.01m)</td> <td>15.63m (-0.01m) 15.63m (-0.01m)</td> <td>15.63m (-0.01m) 15.63m (-0.01m)</td> <td>15.63m (-0.01m) 15.63m (-0.01m)</td> <td>15.63m (-0.01m) 15.63m (-0.01m)</td> <td>15.63m (-0.01m) 15.63m (-0.01m)</td> <td>15.63m (-0.01m) 15.63m (-0.01m)</td> </tr> <tr> <td rowspan="4">1, 2号取水口</td> <td>底盤Q 底盤R 底盤S 底盤T</td> <td>15.63m 15.63m 15.63m 15.63m</td> <td>15.63m (-0.01m) 15.63m (-0.01m) 15.63m (-0.01m)</td> <td>15.63m (-0.01m) 15.63m (-0.01m)</td> <td>15.63m (-0.01m) 15.63m (-0.01m)</td> <td>15.63m (-0.01m) 15.63m (-0.01m)</td> <td>15.63m (-0.01m) 15.63m (-0.01m)</td> <td>15.63m (-0.01m) 15.63m (-0.01m)</td> </tr> <tr> <td>底盤U 底盤V 底盤W 底盤X</td> <td>15.63m 15.63m 15.63m 15.63m</td> <td>15.63m (-0.01m) 15.63m (-0.01m) 15.63m (-0.01m)</td> <td>15.63m (-0.01m) 15.63m (-0.01m)</td> <td>15.63m (-0.01m) 15.63m (-0.01m)</td> <td>15.63m (-0.01m) 15.63m (-0.01m)</td> <td>15.63m (-0.01m) 15.63m (-0.01m)</td> <td>15.63m (-0.01m) 15.63m (-0.01m)</td> </tr> <tr> <td>底盤Y 底盤Z 底盤AA 底盤BB</td> <td>15.63m 15.63m 15.63m 15.63m</td> <td>15.63m (-0.01m) 15.63m (-0.01m) 15.63m (-0.01m)</td> <td>15.63m (-0.01m) 15.63m (-0.01m)</td> <td>15.63m (-0.01m) 15.63m (-0.01m)</td> <td>15.63m (-0.01m) 15.63m (-0.01m)</td> <td>15.63m (-0.01m) 15.63m (-0.01m)</td> <td>15.63m (-0.01m) 15.63m (-0.01m)</td> </tr> <tr> <td>底盤CC 底盤DD 底盤EE 底盤FF</td> <td>15.63m 15.63m 15.63m 15.63m</td> <td>15.63m (-0.01m) 15.63m (-0.01m) 15.63m (-0.01m)</td> <td>15.63m (-0.01m) 15.63m (-0.01m)</td> <td>15.63m (-0.01m) 15.63m (-0.01m)</td> <td>15.63m (-0.01m) 15.63m (-0.01m)</td> <td>15.63m (-0.01m) 15.63m (-0.01m)</td> <td>15.63m (-0.01m) 15.63m (-0.01m)</td> </tr> <tr> <td>底盤GG 底盤HH 底盤II 底盤JJ</td> <td>15.63m 15.63m 15.63m 15.63m</td> <td>15.63m (-0.01m) 15.63m (-0.01m) 15.63m (-0.01m)</td> <td>15.63m (-0.01m) 15.63m (-0.01m)</td> <td>15.63m (-0.01m) 15.63m (-0.01m)</td> <td>15.63m (-0.01m) 15.63m (-0.01m)</td> <td>15.63m (-0.01m) 15.63m (-0.01m)</td> <td>15.63m (-0.01m) 15.63m (-0.01m)</td> </tr> <tr> <td>底盤KK 底盤LL 底盤MM 底盤NN</td> <td>15.63m 15.63m 15.63m 15.63m</td> <td>15.63m (-0.01m) 15.63m (-0.01m) 15.63m (-0.01m)</td> <td>15.63m (-0.01m) 15.63m (-0.01m)</td> <td>15.63m (-0.01m) 15.63m (-0.01m)</td> <td>15.63m (-0.01m) 15.63m (-0.01m)</td> <td>15.63m (-0.01m) 15.63m (-0.01m)</td> <td>15.63m (-0.01m) 15.63m (-0.01m)</td> </tr> <tr> <td>底盤OO 底盤PP 底盤QQ 底盤RR</td> <td>15.63m 15.63m 15.63m 15.63m</td> <td>15.63m (-0.01m) 15.63m (-0.01m) 15.63m (-0.01m)</td> <td>15.63m (-0.01m) 15.63m (-0.01m)</td> <td>15.63m (-0.01m) 15.63m (-0.01m)</td> <td>15.63m (-0.01m) 15.63m (-0.01m)</td> <td>15.63m (-0.01m) 15.63m (-0.01m)</td> <td>15.63m (-0.01m) 15.63m (-0.01m)</td> </tr> <tr> <td>底盤SS 底盤TT 底盤UU 底盤VV</td> <td>15.63m 15.63m 15.63m 15.63m</td> <td>15.63m (-0.01m) 15.63m (-0.01m) 15.63m (-0.01m)</td> <td>15.63m (-0.01m) 15.63m (-0.01m)</td> <td>15.63m (-0.01m) 15.63m (-0.01m)</td> <td>15.63m (-0.01m) 15.63m (-0.01m)</td> <td>15.63m (-0.01m) 15.63m (-0.01m)</td> <td>15.63m (-0.01m) 15.63m (-0.01m)</td> </tr> <tr> <td>底盤WW 底盤XX 底盤YY 底盤ZZ</td> <td>15.63m 15.63m 15.63m 15.63m</td> <td>15.63m (-0.01m) 15.63m (-0.01m) 15.63m (-0.01m)</td> <td>15.63m (-0.01m) 15.63m (-0.01m)</td> <td>15.63m (-0.01m) 15.63m (-0.01m)</td> <td>15.63m (-0.01m) 15.63m (-0.01m)</td> <td>15.63m (-0.01m) 15.63m (-0.01m)</td> <td>15.63m (-0.01m) 15.63m (-0.01m)</td> </tr> </tbody> </table> <p>※赤枠は考察対象を示す</p>	評価項目	実線	波線	基準モデル（評価項目と対応する波線の色を示す） (a)	水位上昇量(△H)						地盤高さ(△H) (△H>0m)	地盤高さ(△H) (△H=0m)	地盤高さ(△H) (△H<0m)	地盤高さ(△H) (△H>0m)	地盤高さ(△H) (△H=0m)	地盤高さ(△H) (△H<0m)	3号取水口	底盤A 底盤B 底盤C 底盤D	13.44m 15.63m 14.82m 15.63m	12.29m (-0.55m) 15.82m (-0.01m)	12.49m (-0.65m) 15.65m (-0.32m)	12.09m (-0.25m) 15.31m (-0.04m)	12.39m (-0.25m) 15.61m (-0.11m)	12.49m (-0.11m) 15.55m (-0.11m)	12.44m (-0.05m) 15.49m (-0.05m)	12.39m (-0.24m) 15.49m (-0.05m)	底盤E 底盤F 底盤G 底盤H	14.88m 15.67m 15.63m 15.67m	14.82m (-0.01m) 15.60m (-0.11m) 15.60m (-0.11m)	14.89m (-0.01m) 15.65m (-0.01m)	15.74m (-0.01m) 15.96m (-0.01m)	15.96m (-0.01m) 15.54m (-0.14m)	14.77m (-0.11m) 15.65m (-0.01m)	14.87m (-0.01m) 15.60m (-0.01m)	14.87m (-0.01m) 15.60m (-0.01m)	底盤I 底盤J 底盤K 底盤L	15.67m 15.63m 15.63m 15.63m	15.67m (-0.01m) 15.63m (-0.01m) 15.63m (-0.01m)	15.69m (-0.01m) 15.63m (-0.01m)	15.69m (-0.01m) 15.63m (-0.01m)	15.69m (-0.01m) 15.54m (-0.14m)	15.69m (-0.01m) 15.54m (-0.14m)	15.69m (-0.01m) 15.55m (-0.11m)	15.69m (-0.01m) 15.55m (-0.11m)	底盤M 底盤N 底盤O 底盤P	15.63m 15.63m 15.63m 15.63m	15.63m (-0.01m) 15.63m (-0.01m) 15.63m (-0.01m)	15.63m (-0.01m) 15.63m (-0.01m)	15.63m (-0.01m) 15.63m (-0.01m)	15.63m (-0.01m) 15.63m (-0.01m)	15.63m (-0.01m) 15.63m (-0.01m)	15.63m (-0.01m) 15.63m (-0.01m)	15.63m (-0.01m) 15.63m (-0.01m)	1, 2号取水口	底盤Q 底盤R 底盤S 底盤T	15.63m 15.63m 15.63m 15.63m	15.63m (-0.01m) 15.63m (-0.01m) 15.63m (-0.01m)	15.63m (-0.01m) 15.63m (-0.01m)	15.63m (-0.01m) 15.63m (-0.01m)	15.63m (-0.01m) 15.63m (-0.01m)	15.63m (-0.01m) 15.63m (-0.01m)	15.63m (-0.01m) 15.63m (-0.01m)	底盤U 底盤V 底盤W 底盤X	15.63m 15.63m 15.63m 15.63m	15.63m (-0.01m) 15.63m (-0.01m) 15.63m (-0.01m)	15.63m (-0.01m) 15.63m (-0.01m)	15.63m (-0.01m) 15.63m (-0.01m)	15.63m (-0.01m) 15.63m (-0.01m)	15.63m (-0.01m) 15.63m (-0.01m)	15.63m (-0.01m) 15.63m (-0.01m)	底盤Y 底盤Z 底盤AA 底盤BB	15.63m 15.63m 15.63m 15.63m	15.63m (-0.01m) 15.63m (-0.01m) 15.63m (-0.01m)	15.63m (-0.01m) 15.63m (-0.01m)	15.63m (-0.01m) 15.63m (-0.01m)	15.63m (-0.01m) 15.63m (-0.01m)	15.63m (-0.01m) 15.63m (-0.01m)	15.63m (-0.01m) 15.63m (-0.01m)	底盤CC 底盤DD 底盤EE 底盤FF	15.63m 15.63m 15.63m 15.63m	15.63m (-0.01m) 15.63m (-0.01m) 15.63m (-0.01m)	15.63m (-0.01m) 15.63m (-0.01m)	15.63m (-0.01m) 15.63m (-0.01m)	15.63m (-0.01m) 15.63m (-0.01m)	15.63m (-0.01m) 15.63m (-0.01m)	15.63m (-0.01m) 15.63m (-0.01m)	底盤GG 底盤HH 底盤II 底盤JJ	15.63m 15.63m 15.63m 15.63m	15.63m (-0.01m) 15.63m (-0.01m) 15.63m (-0.01m)	15.63m (-0.01m) 15.63m (-0.01m)	15.63m (-0.01m) 15.63m (-0.01m)	15.63m (-0.01m) 15.63m (-0.01m)	15.63m (-0.01m) 15.63m (-0.01m)	15.63m (-0.01m) 15.63m (-0.01m)	底盤KK 底盤LL 底盤MM 底盤NN	15.63m 15.63m 15.63m 15.63m	15.63m (-0.01m) 15.63m (-0.01m) 15.63m (-0.01m)	15.63m (-0.01m) 15.63m (-0.01m)	15.63m (-0.01m) 15.63m (-0.01m)	15.63m (-0.01m) 15.63m (-0.01m)	15.63m (-0.01m) 15.63m (-0.01m)	15.63m (-0.01m) 15.63m (-0.01m)	底盤OO 底盤PP 底盤QQ 底盤RR	15.63m 15.63m 15.63m 15.63m	15.63m (-0.01m) 15.63m (-0.01m) 15.63m (-0.01m)	15.63m (-0.01m) 15.63m (-0.01m)	15.63m (-0.01m) 15.63m (-0.01m)	15.63m (-0.01m) 15.63m (-0.01m)	15.63m (-0.01m) 15.63m (-0.01m)	15.63m (-0.01m) 15.63m (-0.01m)	底盤SS 底盤TT 底盤UU 底盤VV	15.63m 15.63m 15.63m 15.63m	15.63m (-0.01m) 15.63m (-0.01m) 15.63m (-0.01m)	15.63m (-0.01m) 15.63m (-0.01m)	15.63m (-0.01m) 15.63m (-0.01m)	15.63m (-0.01m) 15.63m (-0.01m)	15.63m (-0.01m) 15.63m (-0.01m)	15.63m (-0.01m) 15.63m (-0.01m)	底盤WW 底盤XX 底盤YY 底盤ZZ	15.63m 15.63m 15.63m 15.63m	15.63m (-0.01m) 15.63m (-0.01m) 15.63m (-0.01m)	15.63m (-0.01m) 15.63m (-0.01m)	15.63m (-0.01m) 15.63m (-0.01m)	15.63m (-0.01m) 15.63m (-0.01m)	15.63m (-0.01m) 15.63m (-0.01m)	15.63m (-0.01m) 15.63m (-0.01m)
評価項目	実線	波線					基準モデル（評価項目と対応する波線の色を示す） (a)	水位上昇量(△H)																																																																																																																								
			地盤高さ(△H) (△H>0m)	地盤高さ(△H) (△H=0m)	地盤高さ(△H) (△H<0m)	地盤高さ(△H) (△H>0m)		地盤高さ(△H) (△H=0m)	地盤高さ(△H) (△H<0m)																																																																																																																							
3号取水口	底盤A 底盤B 底盤C 底盤D	13.44m 15.63m 14.82m 15.63m	12.29m (-0.55m) 15.82m (-0.01m)	12.49m (-0.65m) 15.65m (-0.32m)	12.09m (-0.25m) 15.31m (-0.04m)	12.39m (-0.25m) 15.61m (-0.11m)	12.49m (-0.11m) 15.55m (-0.11m)	12.44m (-0.05m) 15.49m (-0.05m)	12.39m (-0.24m) 15.49m (-0.05m)																																																																																																																							
	底盤E 底盤F 底盤G 底盤H	14.88m 15.67m 15.63m 15.67m	14.82m (-0.01m) 15.60m (-0.11m) 15.60m (-0.11m)	14.89m (-0.01m) 15.65m (-0.01m)	15.74m (-0.01m) 15.96m (-0.01m)	15.96m (-0.01m) 15.54m (-0.14m)	14.77m (-0.11m) 15.65m (-0.01m)	14.87m (-0.01m) 15.60m (-0.01m)	14.87m (-0.01m) 15.60m (-0.01m)																																																																																																																							
	底盤I 底盤J 底盤K 底盤L	15.67m 15.63m 15.63m 15.63m	15.67m (-0.01m) 15.63m (-0.01m) 15.63m (-0.01m)	15.69m (-0.01m) 15.63m (-0.01m)	15.69m (-0.01m) 15.63m (-0.01m)	15.69m (-0.01m) 15.54m (-0.14m)	15.69m (-0.01m) 15.54m (-0.14m)	15.69m (-0.01m) 15.55m (-0.11m)	15.69m (-0.01m) 15.55m (-0.11m)																																																																																																																							
	底盤M 底盤N 底盤O 底盤P	15.63m 15.63m 15.63m 15.63m	15.63m (-0.01m) 15.63m (-0.01m) 15.63m (-0.01m)	15.63m (-0.01m) 15.63m (-0.01m)	15.63m (-0.01m) 15.63m (-0.01m)	15.63m (-0.01m) 15.63m (-0.01m)	15.63m (-0.01m) 15.63m (-0.01m)	15.63m (-0.01m) 15.63m (-0.01m)	15.63m (-0.01m) 15.63m (-0.01m)																																																																																																																							
1, 2号取水口	底盤Q 底盤R 底盤S 底盤T	15.63m 15.63m 15.63m 15.63m	15.63m (-0.01m) 15.63m (-0.01m) 15.63m (-0.01m)	15.63m (-0.01m) 15.63m (-0.01m)	15.63m (-0.01m) 15.63m (-0.01m)	15.63m (-0.01m) 15.63m (-0.01m)	15.63m (-0.01m) 15.63m (-0.01m)	15.63m (-0.01m) 15.63m (-0.01m)																																																																																																																								
	底盤U 底盤V 底盤W 底盤X	15.63m 15.63m 15.63m 15.63m	15.63m (-0.01m) 15.63m (-0.01m) 15.63m (-0.01m)	15.63m (-0.01m) 15.63m (-0.01m)	15.63m (-0.01m) 15.63m (-0.01m)	15.63m (-0.01m) 15.63m (-0.01m)	15.63m (-0.01m) 15.63m (-0.01m)	15.63m (-0.01m) 15.63m (-0.01m)																																																																																																																								
	底盤Y 底盤Z 底盤AA 底盤BB	15.63m 15.63m 15.63m 15.63m	15.63m (-0.01m) 15.63m (-0.01m) 15.63m (-0.01m)	15.63m (-0.01m) 15.63m (-0.01m)	15.63m (-0.01m) 15.63m (-0.01m)	15.63m (-0.01m) 15.63m (-0.01m)	15.63m (-0.01m) 15.63m (-0.01m)	15.63m (-0.01m) 15.63m (-0.01m)																																																																																																																								
	底盤CC 底盤DD 底盤EE 底盤FF	15.63m 15.63m 15.63m 15.63m	15.63m (-0.01m) 15.63m (-0.01m) 15.63m (-0.01m)	15.63m (-0.01m) 15.63m (-0.01m)	15.63m (-0.01m) 15.63m (-0.01m)	15.63m (-0.01m) 15.63m (-0.01m)	15.63m (-0.01m) 15.63m (-0.01m)	15.63m (-0.01m) 15.63m (-0.01m)																																																																																																																								
底盤GG 底盤HH 底盤II 底盤JJ	15.63m 15.63m 15.63m 15.63m	15.63m (-0.01m) 15.63m (-0.01m) 15.63m (-0.01m)	15.63m (-0.01m) 15.63m (-0.01m)	15.63m (-0.01m) 15.63m (-0.01m)	15.63m (-0.01m) 15.63m (-0.01m)	15.63m (-0.01m) 15.63m (-0.01m)	15.63m (-0.01m) 15.63m (-0.01m)																																																																																																																									
底盤KK 底盤LL 底盤MM 底盤NN	15.63m 15.63m 15.63m 15.63m	15.63m (-0.01m) 15.63m (-0.01m) 15.63m (-0.01m)	15.63m (-0.01m) 15.63m (-0.01m)	15.63m (-0.01m) 15.63m (-0.01m)	15.63m (-0.01m) 15.63m (-0.01m)	15.63m (-0.01m) 15.63m (-0.01m)	15.63m (-0.01m) 15.63m (-0.01m)																																																																																																																									
底盤OO 底盤PP 底盤QQ 底盤RR	15.63m 15.63m 15.63m 15.63m	15.63m (-0.01m) 15.63m (-0.01m) 15.63m (-0.01m)	15.63m (-0.01m) 15.63m (-0.01m)	15.63m (-0.01m) 15.63m (-0.01m)	15.63m (-0.01m) 15.63m (-0.01m)	15.63m (-0.01m) 15.63m (-0.01m)	15.63m (-0.01m) 15.63m (-0.01m)																																																																																																																									
底盤SS 底盤TT 底盤UU 底盤VV	15.63m 15.63m 15.63m 15.63m	15.63m (-0.01m) 15.63m (-0.01m) 15.63m (-0.01m)	15.63m (-0.01m) 15.63m (-0.01m)	15.63m (-0.01m) 15.63m (-0.01m)	15.63m (-0.01m) 15.63m (-0.01m)	15.63m (-0.01m) 15.63m (-0.01m)	15.63m (-0.01m) 15.63m (-0.01m)																																																																																																																									
底盤WW 底盤XX 底盤YY 底盤ZZ	15.63m 15.63m 15.63m 15.63m	15.63m (-0.01m) 15.63m (-0.01m) 15.63m (-0.01m)	15.63m (-0.01m) 15.63m (-0.01m)	15.63m (-0.01m) 15.63m (-0.01m)	15.63m (-0.01m) 15.63m (-0.01m)	15.63m (-0.01m) 15.63m (-0.01m)	15.63m (-0.01m) 15.63m (-0.01m)																																																																																																																									

## 泊発電所3号炉 DB基準適合性 比較表

実線・・設計方針又は設備構成等の相違  
波線・・記載表現、設備名称の相違（実質的な相違なし）

## 第5条 津波による損傷の防止

女川原子力発電所2号炉	島根原子力発電所2号炉	泊発電所3号炉	相違理由
		<p>(a) 防潮堤前面 参考表 4-5 (1) 地形変化考慮による水位上昇量変化の考察 (波源A, 防波堤損傷なし)</p>  <p>【考察】</p> <ul style="list-style-type: none"> <li>陸上地すべり (JII白) 及び地震による津波の第2波 (岩内側からの反射波) が南護岸で重なり、最大水位が発生。</li> <li>南護岸が沈下したことにより護岸付近での局所的な地形変化による水位上昇効果が小さくなること、西側からの地滑り (JII白) の津波が北防波堤を回り込み南護岸に到達するが、防波堤が沈下するため回り込みによる南護岸への流れが集中しにくくなることによって、沈下地形の最大水位は減少する傾向になったと考えられる。</li> </ul>	

泊発電所3号炉 DB基準適合性 比較表

実線・・設計方針又は設備構成等の相違  
波線・・記載表現、設備名称の相違（実質的な相違なし）

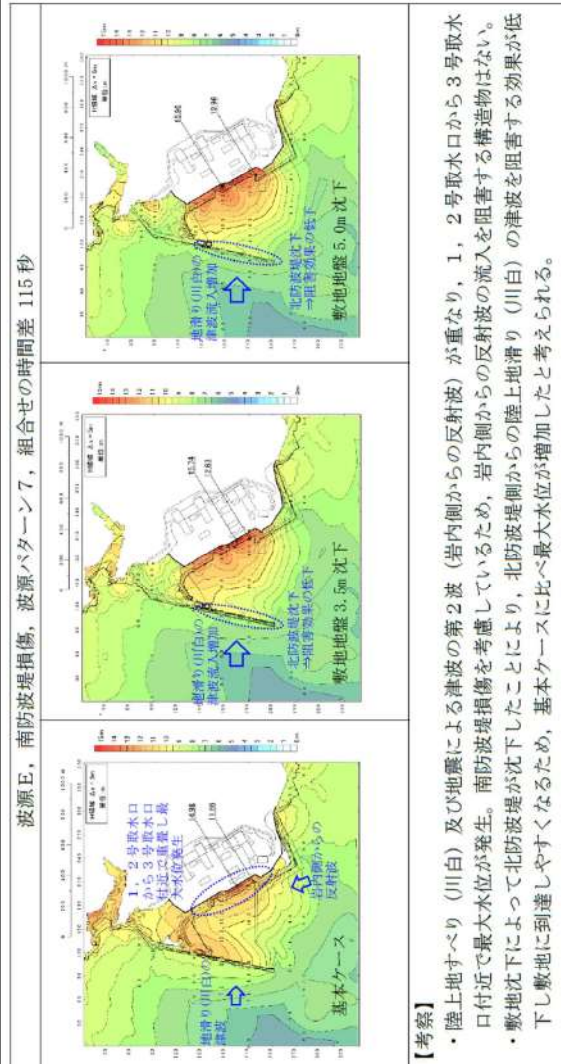
第5条 津波による損傷の防止

女川原子力発電所2号炉	島根原子力発電所2号炉	泊発電所3号炉	相違理由
		<p>参考表 4-5 (2) 地形変化考慮による水位上昇量変化の考察 (波源E, 北及び南防波堤損傷)</p> <p>波源E, 北及び南防波堤損傷, 断層バターン7, 組合せの時間差 115秒</p> <p>【考察】</p> <ul style="list-style-type: none"> <li>陸上地すべり（川白）及び地震による津波の第2波（岩内側からの反射波）が重なり、1, 2号取水口から3号取水口付近で最大水位が発生。</li> <li>西側からの陸上地滑り（川白）の津波が北防波堤の影響を受け直接到達し最大水位が増加すると考えられる。</li> </ul> <p>なお、基準津波（波源E, 北及び南防波堤損傷）は、元々北防波堤が存在しないため、沈下による影響は小さい。</p>	

泊発電所3号炉 DB基準適合性 比較表

実線・・設計方針又は設備構成等の相違  
波線・・記載表現、設備名称の相違（実質的な相違なし）

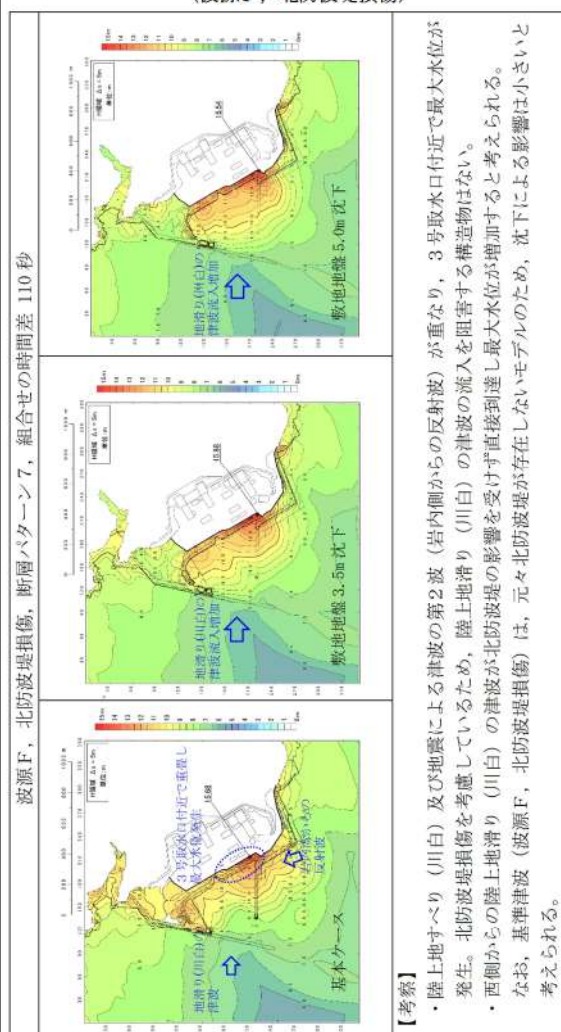
第5条 津波による損傷の防止

女川原子力発電所2号炉	島根原子力発電所2号炉	泊発電所3号炉	相違理由
		<p>参考表 4-5 (3) 地形変化考慮による水位上昇量変化の考察 (波源E, 南防波堤損傷)</p>  <p>【考察】</p> <ul style="list-style-type: none"> <li>陸上すべり（川白）及び地震による津波の第2波（岩内側からの反射波）が重なり、1, 2号取水口から3号取水口付近で最大水位が発生。南防波堤損傷を考えているため、岩内側からの反射波の流入を阻害する構造物はない。</li> <li>数地沈下によって北防波堤は沈下したことにより、北防波堤を阻害する効果が低下し敷地に到達しやすくなるため、基本ケースに比べ最大水位が増加したと考えられる。</li> </ul>	

泊発電所3号炉 DB基準適合性 比較表

実線・・設計方針又は設備構成等の相違  
波線・・記載表現、設備名称の相違（実質的な相違なし）

第5条 津波による損傷の防止

女川原子力発電所2号炉	島根原子力発電所2号炉	泊発電所3号炉	相違理由
		<p>参考表 4-5 (4) 地形変化考慮による水位上昇量変化の考察 (波源F, 北防波堤損傷)</p>  <p><b>【考察】</b></p> <ul style="list-style-type: none"> <li>陸上地すべり（川白）及び地震による津波の第2波（岩内側からの反射波）が重なり、3号取水口付近で最大水位が発生。北防波堤損傷を考慮しているため、陸上地滑り（川白）の津波の流入を阻害する構造物はない。</li> <li>西側からの陸上地滑り（川白）の津波が北防波堤の影響を受け直接到達し最大水位が増加すると考えられる。</li> <li>なお、基準津波（波源F, 北防波堤損傷）は、元々北防波堤が存在しないモデルのため、沈下による影響は小さいと考えられる。</li> </ul>	

泊発電所3号炉 DB基準適合性 比較表

実線・・設計方針又は設備構成等の相違  
波線・・記載表現、設備名称の相違（実質的な相違なし）

第5条 津波による損傷の防止

女川原子力発電所2号炉	島根原子力発電所2号炉	泊発電所3号炉	相違理由
		<p>(b) 3号取水口 参考表 4-5 (5) 地形変化考慮による水位上昇量変化の考察 (波源B, 防波堤損傷なし)</p> <p>波源B, 防波堤損傷なし, 断層バターン7, 組合せの時間差 110秒</p> <p>【考察】</p> <ul style="list-style-type: none"> <li>陸上地滑り (川白) 及び地震による津波の第2波 (岩内側からの反射波) が重なり, 3号取水口で最大水位が発生。</li> <li>北防波堤及び南防波堤が敷地沈下により沈下したことで, 防波堤による阻害効果が全体的に低下し, 南側から到達する岩内側からの反射波及び西側からの陸上地滑り (川白) の津波が敷地に到達しやすくなるため, 基本ケースに比べ最大水位が増加したと考えられる。</li> </ul>	

泊発電所 3号炉 DB基準適合性 比較表

実線・・設計方針又は設備構成等の相違

波線・・記載表現、設備名称の相違（実質的な相違なし）

## 第5条 津波による損傷の防止

女川原子力発電所 2 号炉	島根原子力発電所 2 号炉	泊発電所 3 号炉	相違理由
		<p>参考表 4-5 (6) 地形変化考慮による水位上昇量変化の考察 (波源 F, 北及び南防波堤損傷)</p>	<p>【考察】</p> <ul style="list-style-type: none"> <li>陸上地滑り (川白) 及び地震による津波の第 2 波 (岩内側からの反射波) が重なり、3 号取水口で最大水位が発生。</li> <li>南防波堤基部の護岸が敷地沈下により沈下したことと、南側から到達する岩内側からの反射波を阻害する効果が低下し、岩内側からの反射波が 3 号取水口に到達しやすくなるため、基本ケースに比べ最大水位が増加したと考えられる。</li> </ul>

泊発電所3号炉 DB基準適合性 比較表

実線・・設計方針又は設備構成等の相違  
波線・・記載表現、設備名称の相違（実質的な相違なし）

第5条 津波による損傷の防止

女川原子力発電所2号炉	島根原子力発電所2号炉	泊発電所3号炉	相違理由
		<p>参考表 4-5 (7) 地形変化考慮による水位上昇量変化の考察 (波源E, 南防波堤損傷)</p> <p>波源E, 南防波堤損傷, 断層バターン7, 組合せの時間差 115秒</p> <p>【考察】</p> <ul style="list-style-type: none"> <li>陸上地滑り（川白）及び地震による津波の第2波（岩内側からの反射波）が重なり、3号取水口から1、2号取水口付近で最大水位が発生。南防波堤損傷を考慮しているため、岩内港からの反射波の流入を阻害する構造物はない。</li> <li>北防波堤が敷地沈下により沈下したこと、北防波堤側からの陸上地滑り（川白）の津波を阻害する効果が低下し敷地に到達しやすくなるため、基本ケースに比べ最大水位が増加したと考えられる。</li> </ul>	

## 泊発電所3号炉 DB基準適合性 比較表

実線・・設計方針又は設備構成等の相違  
波線・・記載表現、設備名称の相違（実質的な相違なし）

## 第5条 津波による損傷の防止

女川原子力発電所2号炉	島根原子力発電所2号炉	泊発電所3号炉	相違理由
		<p>参考表 4-5 (8) 地形変化考慮による水位上昇量変化の考察 (波源B、北防波堤損傷)</p> <p>波源B、北防波堤損傷、断層パターン7、組合せの時間差 110秒</p>	<p>【考察】</p> <ul style="list-style-type: none"> <li>陸上地滑り（川白）及び地震による津波の第2波（岩内側からの反射波）が重なり、3号取水口で最大水位が発生。</li> <li>北防波堤損傷を考慮しているため、陸上地滑り（川白）からの津波の流入を阻害する構造物はない。</li> <li>南防波堤及び南防波堤基部の護岸が軟地盤により沈下したことにより沈下により地盤沈下が発生する効果が低下し敷地に到達しやすくなるため、基本ケースに比べ最大水位が増加したと考えられる。</li> </ul>

## 泊発電所3号炉 DB基準適合性 比較表

実線・・設計方針又は設備構成等の相違
波線・・記載表現、設備名称の相違（実質的な相違なし）

## 第5条 津波による損傷の防止

女川原子力発電所2号炉	島根原子力発電所2号炉	泊発電所3号炉	相違理由
		<p>(2) 地形変化を考慮した週上解析結果（水位下降側）</p> <p>審査ガイドに基づき、水位下降側の影響について確認するため、想定される各地形変化に対して週上解析（平面二次元津波解析）を実施し、地形変化を考慮しない基本ケースと各地形変化を考慮したケースの水位下降側評価として貯留堰を下回る時間について比較した。なお、検討対象は各評価項目に対応した基準津波とする。比較結果を参考表4-6に示す。</p> <p>比較の結果、各地形変化において、貯留堰を下回る時間は基本ケースに対し同程度あるいは基本ケースが大きい結果となつた。なお、波源I（防波堤損傷なし）について、敷地地盤（陸域）3.5m沈下及び5.0m沈下並び敷地前面海底地盤（海域）2.0m沈下では基本ケースに対し貯留堰を下回る時間が大きく低下する結果が確認された。この要因について考察を行った（参考図4-1）。</p>	

## 泊発電所3号炉 DB基準適合性 比較表

実線・・設計方針又は設備構成等の相違  
波線・・記載表現、設備名称の相違（実質的な相違なし）

## 第5条 津波による損傷の防止

女川原子力発電所2号炉		島根原子力発電所2号炉		泊発電所3号炉		相違理由																																															
				参考表 4-6 基本ケースと各地形変化を考慮したケースの水位下 降側 (貯留堰を下回る時間) 比較結果	<table border="1"> <thead> <tr> <th colspan="7">地形変化(B)</th> </tr> <tr> <th>評価項目</th> <th>波源</th> <th>地形モデル (防波堤の影響 状態を考慮)</th> <th>基本 ケース (A)</th> <th>地溝地形①</th> <th>敷地地盤 (陸域) 3.5m沈下</th> <th>敷地地盤 (海城) 5.0m沈下 2.0m沈下</th> </tr> </thead> <tbody> <tr> <td rowspan="2">波源1 波源</td> <td>防波堤損壊なし</td> <td>721s</td> <td>731s (10s)</td> <td>721s (0s)</td> <td>482s (-239s)</td> <td>479s (-242s)</td> </tr> <tr> <td>北及び南防波 堤損壊</td> <td>698s</td> <td>699s (1s)</td> <td>698s (0s)</td> <td>710s (12s)</td> <td>712s (14s)</td> </tr> <tr> <td rowspan="2">波源K 波源L</td> <td>南防波堤損壊</td> <td>743s</td> <td>744s (1s)</td> <td>744s (1s)</td> <td>738s (-5s)</td> <td>737s (-9s)</td> </tr> <tr> <td>北防波堤損壊</td> <td>863s</td> <td>862s (-1s)</td> <td>863s (0s)</td> <td>846s (-17s)</td> <td>834s (-29s)</td> </tr> <tr> <td></td><td></td><td></td><td></td><td></td><td>811s (-52s)</td><td>862s (-1s)</td> </tr> </tbody> </table> <p>※赤枠は考察対象を示す</p>	地形変化(B)							評価項目	波源	地形モデル (防波堤の影響 状態を考慮)	基本 ケース (A)	地溝地形①	敷地地盤 (陸域) 3.5m沈下	敷地地盤 (海城) 5.0m沈下 2.0m沈下	波源1 波源	防波堤損壊なし	721s	731s (10s)	721s (0s)	482s (-239s)	479s (-242s)	北及び南防波 堤損壊	698s	699s (1s)	698s (0s)	710s (12s)	712s (14s)	波源K 波源L	南防波堤損壊	743s	744s (1s)	744s (1s)	738s (-5s)	737s (-9s)	北防波堤損壊	863s	862s (-1s)	863s (0s)	846s (-17s)	834s (-29s)						811s (-52s)	862s (-1s)	
地形変化(B)																																																					
評価項目	波源	地形モデル (防波堤の影響 状態を考慮)	基本 ケース (A)	地溝地形①	敷地地盤 (陸域) 3.5m沈下	敷地地盤 (海城) 5.0m沈下 2.0m沈下																																															
波源1 波源	防波堤損壊なし	721s	731s (10s)	721s (0s)	482s (-239s)	479s (-242s)																																															
	北及び南防波 堤損壊	698s	699s (1s)	698s (0s)	710s (12s)	712s (14s)																																															
波源K 波源L	南防波堤損壊	743s	744s (1s)	744s (1s)	738s (-5s)	737s (-9s)																																															
	北防波堤損壊	863s	862s (-1s)	863s (0s)	846s (-17s)	834s (-29s)																																															
					811s (-52s)	862s (-1s)																																															

## 泊発電所3号炉 DB基準適合性 比較表

実線・・設計方針又は設備構成等の相違  
 波線・・記載表現、設備名称の相違（実質的な相違なし）

## 第5条 津波による損傷の防止

女川原子力発電所2号炉	島根原子力発電所2号炉	泊発電所3号炉	相違理由
		<p>参考図 4-1 基本ケース及び各地形変化における水位下降側時刻歴波形</p> <p>時刻歴波形を確認した結果、基本ケースでは地震発生から約31分後の水位低下によって貯留堰の天端高（T.P. -4.0m）をわずかに下回っているが、基本ケース以外では貯留堰の天端高を下回っていないため、基本ケースと比べ貯留堰を下回る時間が急減する原因となった。</p>	

泊発電所3号炉 DB基準適合性 比較表

実線・・設計方針又は設備構成等の相違

波線・・記載表現、設備名称の相違（実質的な相違なし）

第5条 津波による損傷の防止

女川原子力発電所2号炉

島根原子力発電所2号炉

泊発電所3号炉

相違理由

(3) 地形変化を考慮した週上解析結果（最大流速分布）

審査ガイドに基づき、最大流速への影響について確認するため、想定される各地形変化に対して週上解析（平面二次元津波解析）を実施し、地形変化を考慮しない基本ケースと各地形変化を考慮したケースの最大流速について比較した。なお、検討対象は各評価項目に対応した基準津波及び最大流速に着目した波源とする。比較結果を参考表4-7に示す。

比較の結果、敷地地盤（陸域）5.0m沈下及び敷地前面海底地盤（海域）2.0m沈下において基本ケースに対し最大流速の上昇が確認された。最大流速の上昇が確認された波源に対し、流速上昇の要因について、週上波の特徴を踏まえた考察を行った。

（参考表4-8）

参考表4-7 基本ケースと各地形変化を考慮したケースの  
最大流速比較結果

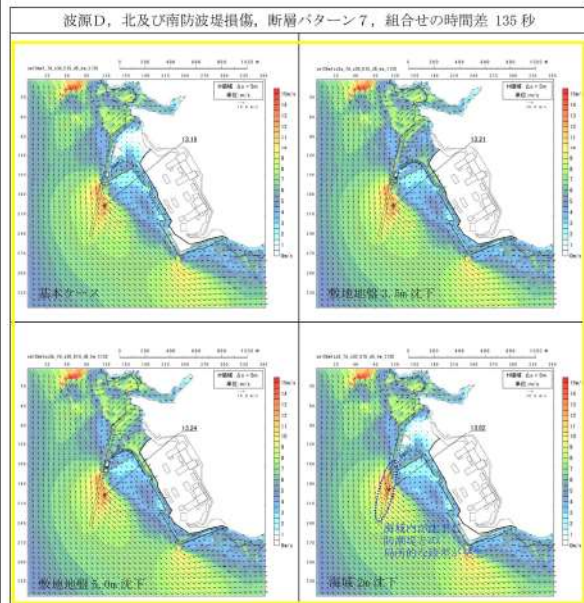
波源	地形モデル (防波堤/海岸線 不規則)	基本ケース (A)	地形変化(%)					
			地形変化(%)	地形変化(%)	地形変化(%)	地形変化(%)	地形変化(%)	地形変化(%)
波源A	防波堤直進型	13.81m/s (0.08m/s)	13.87m/s (0.08m/s)	13.81m/s (0.08m/s)	12.15m/s (-2.07%)	11.71m/s (-11.74%)	11.13m/s (-11.13%)	10.71m/s (-13.81%)
波源B	直進波直進型	17.29m/s (0.02m/s)	17.24m/s (0.02m/s)	17.25m/s (0.02m/s)	14.32m/s (-2.34%)	13.95m/s (-3.35%)	13.16m/s (-6.13%)	12.16m/s (-2.00%)
波源C	北西波直進型	13.60m/s (0.03m/s)	13.61m/s (0.03m/s)	13.60m/s (0.03m/s)	11.54m/s (-17.78%)	13.05m/s (+3.70%)	13.79m/s (+5.67%)	13.05m/s (0.00m/s)
波源D	直進波直進型	13.93m/s (0.03m/s)	13.92m/s (0.03m/s)	13.95m/s (0.03m/s)	11.23m/s (-2.73%)	12.16m/s (+7.70%)	13.86m/s (+6.03%)	13.93m/s (0.00m/s)
波源E	防波堤直進型	17.57m/s (0.07m/s)	17.66m/s (0.07m/s)	17.64m/s (0.07m/s)	14.18m/s (-2.73%)	14.18m/s (0.00m/s)	17.69m/s (+0.12%)	17.61m/s (-0.46%)
波源F	北西波直進型	13.19m/s (0.02m/s)	13.19m/s (0.02m/s)	13.21m/s (0.02m/s)	12.24m/s (-9.32%)	13.11m/s (0.03m/s)	13.11m/s (0.00m/s)	13.18m/s (+0.41m/s)
波源G	直進波直進型	16.77m/s (0.01m/s)	16.76m/s (0.01m/s)	16.77m/s (0.01m/s)	13.84m/s (-2.32%)	13.40m/s (-3.37%)	16.87m/s (0.10m/s)	16.77m/s (0.00m/s)
波源H	北東波直進型	14.60m/s (0.01m/s)	14.60m/s (0.01m/s)	14.60m/s (0.01m/s)	14.09m/s (-3.57%)	14.09m/s (-3.20%)	14.12m/s (0.03m/s)	14.12m/s (0.00m/s)
波源I	北東0°直進直進横振	12.56m/s (0.00m/s)	12.56m/s (0.00m/s)	12.56m/s (0.00m/s)	12.48m/s (-0.68%)	13.25m/s (+6.94%)	13.40m/s (+1.04%)	12.56m/s (0.00m/s)
波源J	南西波直進型	16.56m/s (0.01m/s)	16.53m/s (0.01m/s)	16.59m/s (0.01m/s)	13.50m/s (-2.46%)	13.50m/s (0.00m/s)	16.67m/s (+0.70%)	16.56m/s (0.00m/s)
波源K	北東0°直進直進横振	12.31m/s (0.00m/s)	12.31m/s (0.00m/s)	12.31m/s (0.00m/s)	12.11m/s (-1.54%)	13.15m/s (+8.04%)	13.11m/s (0.80m/s)	12.31m/s (0.00m/s)
波源L	北東波直進型	13.72m/s (0.00m/s)	13.72m/s (0.00m/s)	13.72m/s (0.00m/s)	11.43m/s (-2.29%)	12.89m/s (+1.93%)	13.70m/s (0.02m/s)	13.72m/s (0.00m/s)
波源M	南西波直進型	15.27m/s (0.05m/s)	15.27m/s (0.05m/s)	15.27m/s (0.05m/s)	13.03m/s (-17.00%)	12.90m/s (-1.03%)	13.51m/s (+4.01%)	13.03m/s (0.01m/s)
波源N	北東波直進型	14.13m/s (0.03m/s)	14.13m/s (0.03m/s)	14.13m/s (0.03m/s)	11.56m/s (-2.57%)	12.96m/s (+1.17%)	14.12m/s (0.61m/s)	14.13m/s (0.00m/s)
波源O	南西波直進型	12.70m/s (0.01m/s)	13.07m/s (0.01m/s)	13.07m/s (0.01m/s)	11.10m/s (-1.49%)	11.49m/s (+3.12%)	13.10m/s (+1.01m/s)	13.07m/s (0.01m/s)
波源P	北東0°半直進直進横振	12.94m/s (0.01m/s)	12.95m/s (0.01m/s)	12.94m/s (0.01m/s)	11.17m/s (-1.34%)	11.60m/s (+4.13%)	13.12m/s (0.10m/s)	12.94m/s (0.00m/s)
波源Q	南西波直進型	16.96m/s (0.01m/s)	16.93m/s (0.01m/s)	16.96m/s (0.01m/s)	14.11m/s (-17.43%)	13.88m/s (-2.27%)	17.19m/s (+2.72%)	16.96m/s (0.00m/s)
波源R	北東波直進型	17.63m/s (0.01m/s)	17.64m/s (0.01m/s)	17.62m/s (0.01m/s)	12.27m/s (-2.41%)	12.27m/s (0.13m/s)	12.14m/s (-0.85%)	12.13m/s (0.01m/s)
波源S	南西波直進型	13.54m/s (0.00m/s)	13.53m/s (0.00m/s)	13.53m/s (0.00m/s)	11.57m/s (-1.34%)	11.58m/s (0.01m/s)	12.13m/s (+5.07%)	12.50m/s (0.04m/s)
波源T	北東0°半直進直進横振	13.54m/s (0.00m/s)	13.53m/s (0.00m/s)	13.53m/s (0.00m/s)	11.57m/s (-1.34%)	11.58m/s (0.01m/s)	13.54m/s (0.00m/s)	13.53m/s (0.01m/s)

※赤枠は考察対象を示す

## 泊発電所3号炉 DB基準適合性 比較表

実線・・設計方針又は設備構成等の相違  
波線・・記載表現、設備名称の相違（実質的な相違なし）

## 第5条 津波による損傷の防止

女川原子力発電所2号炉	島根原子力発電所2号炉	泊発電所3号炉	相違理由
		<p>参考表4-8 (1) 地形変化考慮による最大流速変化の考察 (波源D、北及び南防波堤損傷)</p>  <p>【考察】</p> <ul style="list-style-type: none"> <li>基本ケースでは、北防波堤が存在していた中央部のやや港内側で最大流速が発生。</li> <li>敷地沈下地形では、海域および防波堤が存在していた部分の沈下がなく、海底面の標高差等も生じないため、最大流速は基本ケースと同程度であった。</li> <li>海城沈下地形では、港湾内が沈下するため防波堤が存在していた部分で局所的な標高差が生じ（防波堤が存在していた箇所の標高が局所的に高い）、防波堤があった場所を乗り越え港湾内に流入する際に流速が大きくなったと考えられる。</li> </ul>	

## 泊発電所3号炉 DB基準適合性 比較表

実線・・設計方針又は設備構成等の相違  
波線・・記載表現、設備名称の相違（実質的な相違なし）

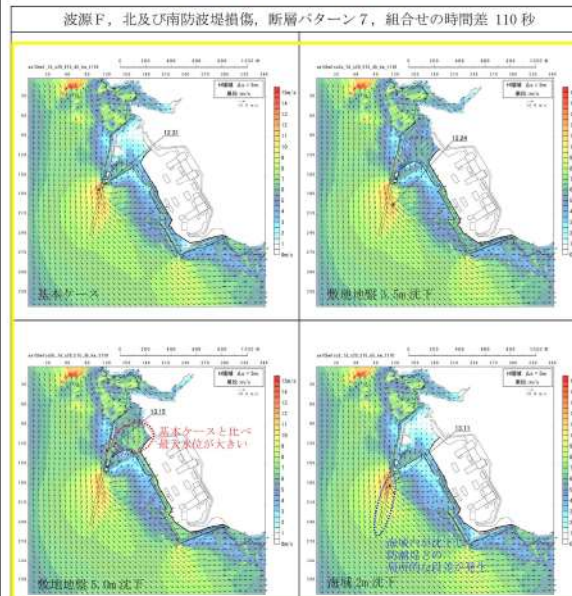
## 第5条 津波による損傷の防止

女川原子力発電所2号炉	島根原子力発電所2号炉	泊発電所3号炉	相違理由
		<p>参考表4-8 (2) 地形変化考慮による最大流速変化の考察 (波源E、北及び南防波堤損傷)</p> <p>波源E、北及び南防波堤損傷、断層パターン7、組合せの時間差 115秒</p> <p>【考察】</p> <ul style="list-style-type: none"> <li>・基本ケースでは、北防波堤が存在していた防波堤基部付近で最大流速が発生。</li> <li>・敷地地盤 3.5m 沈下では、海域および防波堤が存在していた部分の沈下がなく、海底面の標高差等も生じないため、基本ケースの最大発生地点付近の最大流速は同程度。</li> <li>・敷地地盤 5.0m 沈下では、敷地が沈下したことにより敷地北側への津波の流入量が増加するため、放水口付近の敷地から海域に流出する際に流速が大きくなつたと考えられる。</li> <li>・海域沈下地形では、港湾内が沈下するため防波堤が存在していた部分で局所的な標高差が生じ（防波堤が存在していた箇所の標高が局所的に高い）、防波堤があった場所を乗り越え港湾内に流入する際に流速が大きくなつたと考えられる。</li> </ul>	

## 泊発電所3号炉 DB基準適合性 比較表

実線・・設計方針又は設備構成等の相違  
波線・・記載表現、設備名称の相違（実質的な相違なし）

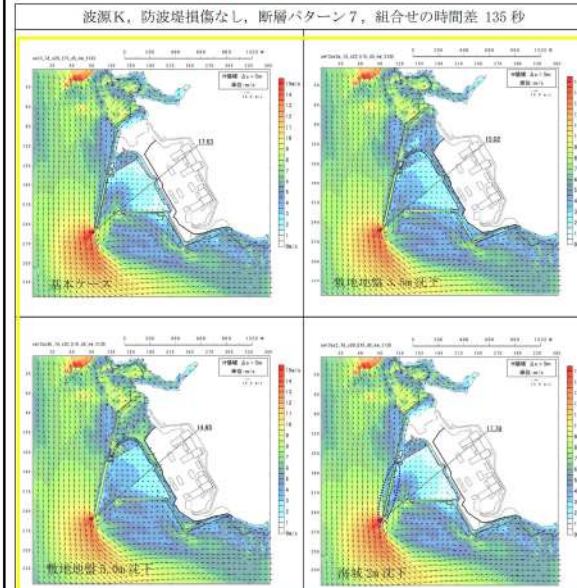
## 第5条 津波による損傷の防止

女川原子力発電所2号炉	島根原子力発電所2号炉	泊発電所3号炉	相違理由
		<p>参考表4-8 (3) 地形変化考慮による最大流速変化の考察 (波源F、北及び南防波堤損傷)</p>  <p>【考察】</p> <ul style="list-style-type: none"> <li>・基本ケースでは、北防波堤が存在していた防波堤基部付近で最大流速が発生。</li> <li>・敷地沈下3.5m沈下では、海城および防波堤が存在していた部分の沈下がなく、海底面の標高差等も生じないため、基本ケースの最大発生地点付近の最大流速は同程度。</li> <li>・敷地地盤5.0m沈下では、敷地が沈下したことにより敷地北側への津波の流入量が増加するため、放水口付近の敷地から海城に流出する際に流速が大きくなつたと考えられる。</li> <li>・海城沈下地形では、港湾内が沈下するため防波堤が存在していた部分で局所的な標高差が生じ（防波堤が存在していた箇所の標高が局所的に高い）、防波堤があった場所を乗り越え港湾内に流入する際に流速が大きくなつたと考えられる。</li> </ul>	

## 泊発電所3号炉 DB基準適合性 比較表

実線・・設計方針又は設備構成等の相違  
 波線・・記載表現、設備名称の相違（実質的な相違なし）

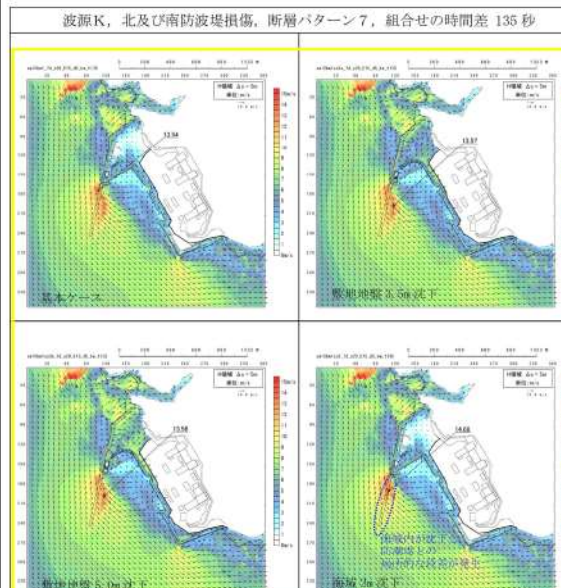
## 第5条 津波による損傷の防止

女川原子力発電所2号炉	島根原子力発電所2号炉	泊発電所3号炉	相違理由
		<p>参考表4-8 (4) 地形変化考慮による最大流速変化の考察          (波源K, 防波堤損傷なし)</p>  <p>波源K, 防波堤損傷なし, 断層パターン7, 組合せの時間差 135秒</p> <p>【考察】</p> <ul style="list-style-type: none"> <li>・基本ケースでは、防波堤が津波の流れを遮ることで、港湾の内外で水位差が生じ、津波が防波堤を回り込む際の流速が増加し、北防波堤先端部で最大流速が発生。</li> <li>・敷地沈下地形では防波堤が沈下するため、津波の流れを遮る効果が小さくなることで、港湾の内外の水位差が減少し、流速も小さくなつたと考えられる。</li> <li>・海城沈下地形では、基本ケースと同様に防波堤が津波の流れを遮ることで、港湾の内外で水位差が生じ、津波が防波堤を回り込む際の流速が増加し、北防波堤先端部で最大流速が発生。また、港湾内の沈下により、港湾内の水位低下及び港湾内外の水位差の増加が生じ、防波堤を回り込む際の流速もわずかに大きくなつたと考えられる。</li> </ul>	

## 泊発電所3号炉 DB基準適合性 比較表

実線・・設計方針又は設備構成等の相違  
 波線・・記載表現、設備名称の相違（実質的な相違なし）

## 第5条 津波による損傷の防止

女川原子力発電所2号炉	島根原子力発電所2号炉	泊発電所3号炉	相違理由
		<p>参考表4-8(5) 地形変化考慮による最大流速変化の考察          (波源K, 北及び南防波堤損傷)</p>  <p>【考察】</p> <ul style="list-style-type: none"> <li>基本ケースでは、北防波堤が存在していた防波堤基部付近で最大流速が発生。</li> <li>敷地沈下地形では、海域および防波堤が存在していた部分の沈下がなく、海底面の標高差等も生じないため、最大流速は基本ケースと同程度であった。</li> <li>海城沈下地形では、港湾内が沈下するため防波堤が存在していた部分で局所的な標高差が生じ（防波堤が存在していた箇所の標高が局所的に高い）、防波堤があった場所を乗り越え港湾内に流入する際に流速が大きくなったと考えられる。</li> </ul>	

## 泊発電所3号炉 DB基準適合性 比較表

実線・・設計方針又は設備構成等の相違
波線・・記載表現、設備名称の相違（実質的な相違なし）

## 第5条 津波による損傷の防止

女川原子力発電所2号炉	島根原子力発電所2号炉	泊発電所3号炉	相違理由
		<p>4. 考察まとめ及び影響要因の設定方針</p> <p>(1) 津波高さ</p> <p>a. 敷地地盤(陸域)5.0m沈下</p> <p>防潮堤前面においては「敷地地盤(陸域)5.0m沈下、波源E、南防波堤損傷、水位上昇量：15.96m」のケース、3号取水口においては「敷地地盤(陸域)5.0m沈下、波源F、北及び南防波堤損傷、水位上昇量：13.62m」のケースで、水位上昇量の最大値が認められた。特に、防潮堤前面における「敷地地盤(陸域)5.0m沈下、波源E、南防波堤損傷、水位上昇量：15.96m」は、「敷地地盤(陸域)5.0m沈下」を考慮することで基本ケースよりも水位上昇量が+0.98mと大きく増加しており、その結果、基本ケースにおいて水位上昇量が最大であった「基本ケース、波源F、北防波堤損傷、水位上昇量：15.68m」と入れ替わって、水位上昇量の最大値を示している。</p> <p>これは、敷地地盤(陸域)の沈下範囲に防波堤が含まれているため、敷地地盤(陸域)が沈下することで防波堤による津波の港内への流入抑制効果が低減したことが要因と考えられる。</p> <p>なお、防波堤の損傷状態が津波高さに影響することは、基準津波策定期階で確認しており、防波堤の損傷により水位変動量が+4m以上となるケースが存在することも明らかとなっていたことから、地形変化のうち防波堤損傷については、基準津波策定期に当たり影響要因として考慮済みである。</p> <p>以上を踏まえ、防潮堤前面及び3号取水口の津波高さに係る入力津波設定に当たっては、「敷地地盤(陸域)5.0m沈下」を影響要因として考慮することで、「各入力津波設定位置における最大の津波高さ」を設定できる。</p> <p>b. 敷地地盤(陸域)5.0m沈下以外の地形変化</p> <p>1、2号取水口においては「地滑り地形①崩壊、波源E、北及び南防波堤損傷、水位上昇量：12.78m」のケース、放水口においては「土捨場の崩壊、波源D、防波堤損傷なし、水位上昇量：10.93m」のケースで、水位上昇量の最大値が認められた。</p> <p>どちらも、地形変化を考慮することで基本ケースと比べて水位上昇量が数cm増加しており、その増加量は大きくないものの、基本ケースにおいて水位上昇量が最大であった「基本ケース、波源E、北及び南防波堤損傷、水位上昇量：12.74m」及び「基本ケース、波源D、防波堤損傷なし、水位上昇量：10.91m」から水位上昇量を更新することで、最大値を示している。</p> <p>したがって、1、2号取水口の津波高さに係る入力津波設定に当たっては「地滑り地形①」を、放水口の津波高さに係る入力津波設定に当たっては「土捨場の崩壊」を影響要因として考慮することで、「各入力津波設定位置における最大の</p>	

## 泊発電所3号炉 DB基準適合性 比較表

実線・・設計方針又は設備構成等の相違
波線・・記載表現、設備名称の相違（実質的な相違なし）

## 第5条 津波による損傷の防止

女川原子力発電所2号炉	島根原子力発電所2号炉	泊発電所3号炉	相違理由
		<p>「津波高さ」を設定できる。</p> <p>(2) 津波高さ以外（最大流速）</p> <p>a. 敷地地盤(陸域)5.0m沈下</p> <p>定量的評価の結果、流速の最大値は「津波が防波堤の先端部を回り込む際」に発生していることが明らかとなった。これは、防波堤が津波の流れを遮ることで、港湾の内外で水位差が生じ、津波が回り込む際の流速が増加したものと考えられる。前述のとおり、敷地地盤(陸域)の沈下範囲に防波堤が含まれているため、敷地地盤(陸域)の沈下により防波堤が津波を遮る効果が低下することから、「敷地地盤(陸域)5.0m沈下」により流速が速くなるとは考えられず、入力津波設定における影響要因として考慮しない。</p> <p>b. 敷地地盤(陸域)5.0m沈下以外の地形変化</p> <p>最大流速については「敷地前面海底地盤(海域)2.0m沈下、波源D、防波堤損傷なし、最大流速：17.69m/s」で最大値が認められた。これは、敷地前面海底地盤(海域)2.0m沈下を考慮することで基本ケースと比べて最大流速が0.12m/s増加しており、その増加量は大きくなきものの、基本ケースにおいて最大流速が最大であった「基本ケース、波源D、防波堤損傷なし、最大流速：17.57m/s」から最大流速を更新することで、最大値を示している。要因としては、敷地前面海底地盤(海域)の沈下により港湾内の標高が下がり、沈下範囲外との境界部において局所的な標高差が生じたことで、港湾内への流入時に流速がわずかに大きくなったものと考えられる。</p> <p>以上を踏まえ、入力津波設定に当たり「敷地前面海底地盤(海域)2.0m沈下」を影響要因として考慮することで、流速の最大値を設定できる。</p> <p>(3) 津波高さ以外（流況）</p> <p>定量的評価の結果、防波堤の損傷を除くすべての地形変化について、流況(流向・流速)への影響がないことが確認できたことから、流況に係る入力津波の設定に当たっては「防波堤の損傷」を除く地形変化は影響要因として考慮しない。</p>	

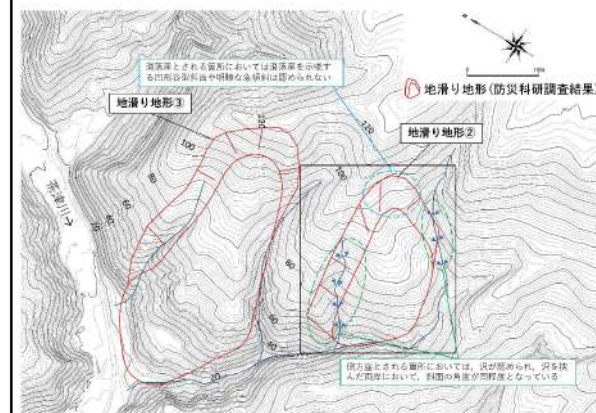
## 第5条 津波による損傷の防止

女川原子力発電所2号炉	島根原子力発電所2号炉	泊発電所3号炉	相違理由
		<p style="text-align: right;">(参考資料5)</p> <p>6条における地滑り地形②の調査結果について</p> <p>独立行政法人防災科学技術研究所（以下、「防災科研」）が作成した地すべり地形分布図（平成22年）では、泊発電所周辺に位置する地滑り地形が示されている（以下、「防災科研調査結果」）。抽出された地滑り地形及び防災科研調査の地滑り地形を合わせて参考図5-1に示す。</p> <p>ここでは、防災科研調査により抽出された地滑り地形②について、6条にて整理した机上調査及び現地調査による詳細検討の結果を示す。</p>  <p>参考図5-1 泊発電所周辺の地滑り地形位置図</p> <p>1. 地滑り地形②</p> <p>1.1 地形判読</p> <p>地滑り地形②周辺の、防災科研調査が判読に使用した空中写真（撮影縮尺4万分の1、1965年撮影）を参考図5-2に示す。地滑り調査で判読に使用した等高線図（原縮尺：2千分の1）を参考図5-3に、2種類の空中写真（「撮影縮尺：1万分の1、1976年撮影」及び「撮影縮尺：4万分の1、1947年撮影」）を参考図5-4及び参考図5-5に示す。</p> <p>地滑り地形②は、発電所北部にある西向き斜面で標高約50～100mの緩斜面をなす。周囲を沢に囲まれており、西向きの尾根からなる。</p> <p>地形判読の結果、地滑りを示唆する地形的特徴は認められない。</p> <p>また、防災科研調査において地滑り地形とされる範囲のうち、滑落崖とされる箇所においては滑落崖を示唆する凹形谷型斜面や明瞭な急傾斜は認められない（参考図5-3 青枠）。側方崖とされる箇所においては、沢が認められ、その沢を挟んだ両</p>	

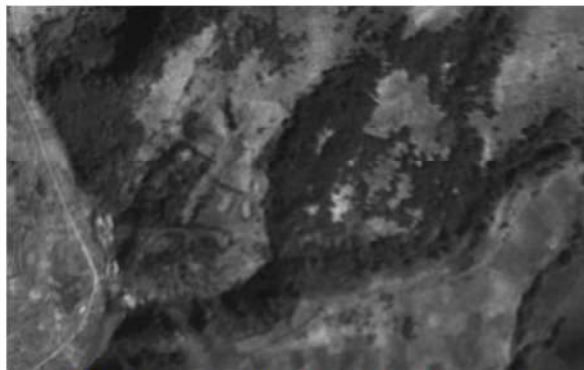
## 泊発電所3号炉 DB基準適合性 比較表

実線・・設計方針又は設備構成等の相違  
波線・・記載表現、設備名称の相違（実質的な相違なし）

## 第5条 津波による損傷の防止

女川原子力発電所2号炉	島根原子力発電所2号炉	泊発電所3号炉	相違理由
		<p>岸において、斜面の角度が同程度となっており、側方崖を示唆する特徴である、地滑り土塊とされる箇所に向かう明瞭な急傾斜は認められない（参考図5-3 緑枠）。</p>  <p>参考図5-2 防災科研調査が判読に用いた地滑り地形②周辺の空中写真 (撮影縮尺4万分の1, 1965年撮影)</p>  <p>参考図5-3 地滑り地形②周辺の等高線図 (原縮尺: 2千分の1)</p>	

## 第5条 津波による損傷の防止

女川原子力発電所2号炉	島根原子力発電所2号炉	泊発電所3号炉	相違理由
		 <p>参考図 5-4 地滑り地形②周辺の空中写真(撮影縮尺：1万分の1，1976年撮影)</p>  <p>参考図 5-5 地滑り地形②周辺の空中写真(撮影縮尺：4万分の1，1947年撮影)</p> <p>1.2 現地調査 地滑り地形②周辺の調査位置図及び状況写真を参考図 5-6 に示す。 現地調査の結果、防災科研調査において側方崖とされる箇所には西向きの沢が発達しており、沢を挟んだ両岸において、斜面の角度が同程度となっており、側方崖を示唆する特徴である、地滑り土塊とされる箇所に向かう明瞭な急傾斜は認められない（参考図 5-6 P1）。 防災科研調査において地滑り土塊とされる箇所は一様な斜面であり、地滑り土塊を示唆する凹凸に富む緩斜面は認められない（参考図 5-6 P2）。この斜面の西側端部付近には、北西向きの沢が分布している。この沢を挟んだ両岸において、斜面の角度が同程度であり、地滑り土塊末端部を示唆する先端部の押し</p>	

## 泊発電所3号炉 DB基準適合性 比較表

実線・・設計方針又は設備構成等の相違
波線・・記載表現、設備名称の相違（実質的な相違なし）

## 第5条 津波による損傷の防止

女川原子力発電所2号炉	島根原子力発電所2号炉	泊発電所3号炉	相違理由
		<p>出しは認められない（参考図 5-6 P3）。</p> <p>防災科研調査において地滑り土塊末端部とされる箇所及びその付近の沢においては、堅硬な岩盤が認められる（参考図 5-6 P4 及び P5）。</p> <p>防災科研調査において地滑り土塊とされる箇所の周囲に湧水は認められない。</p> <p>なお、防災科研調査において滑落崖とされる範囲及び地滑り土塊とされる範囲の上部は、開閉所造成のための人工改変により、切取法面となっている。現地調査の結果、法面及び開閉所周回道路に地滑りを示唆する変状（法面のはらみ出しや縁石及びフェンスのずれを伴うクラック）は認められない（参考図 5-6 P6）。</p>	

## 泊発電所3号炉 DB基準適合性 比較表

実線・・設計方針又は設備構成等の相違  
 波線・・記載表現、設備名称の相違（実質的な相違なし）

## 第5条 津波による損傷の防止

女川原子力発電所2号炉	島根原子力発電所2号炉	泊発電所3号炉	相違理由
		<p>P1 防災科研調査において側方崖とされる斜面の状況 沢を挟んだ両岸において、斜面の角度が同程度となっており、側方崖を示唆する特徴である。地滑り地盤とされる箇所に向かう明瞭な急傾斜は認められない。</p> <p>P2 防災科研調査において地滑り地盤とされる斜面の状況 一様な斜面であり、地滑り地盤を示唆する凹凸に富む緩斜面は認められない。</p> <p>P3 防災科研調査において地滑り地盤末端部とされる箇所の状況 沢を挟んだ両岸において斜面の角度が同程度であり、地滑り地盤末端部を示唆する先端部の押し出しが認められない。</p>	

参考図 5-6 地滑り地形②周辺の調査位置図及び状況写真

## 泊発電所3号炉 DB基準適合性 比較表

実線・・設計方針又は設備構成等の相違  
 波線・・記載表現、設備名称の相違（実質的な相違なし）

## 第5条 津波による損傷の防止

女川原子力発電所2号炉	島根原子力発電所2号炉	泊発電所3号炉	相違理由
		<p>P4 防災科研調査において地滑り土塊とされる箇所の露岩状況 堅硬な岩盤（凝灰角礫岩）が認められる。</p> <p>P5 防災科研調査において地滑り土塊末端部とされる箇所付近の沢の露岩状況 堅硬な岩盤（凝灰角礫岩）が認められる。</p> <p>P6 開削所周囲道路の状況 防災科研調査において示される側方崖と地滑り土塊の境界に当たる。 当該箇所付近に地滑りを示唆する要状（緑石及びフェンスのずれ）は認められない。</p> <p>参考図 5-6 (前頁からの続き) 地滑り地形②周辺の調査位置図及び状況写真</p> <p>1.3まとめ 地滑り地形②について地形判読及び現地調査の結果、地滑りを示唆する地形的特徴、地質的特徴及び水文的特徴が認められないことから、地滑り地形ではないと判断される。 なお、地滑り地形②は周囲を沢に囲まれていることから、沢の侵食によって形成された地形と考えられる。</p>	

## 泊発電所3号炉 DB基準適合性 比較表

実線・・設計方針又は設備構成等の相違  
波線・・記載表現、設備名称の相違（実質的な相違なし）

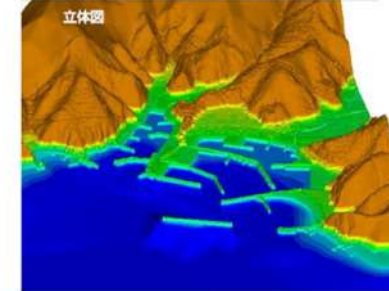
## 第5条 津波による損傷の防止

女川原子力発電所2号炉	島根原子力発電所2号炉	泊発電所3号炉	相違理由
		<p style="text-align: right;">(参考資料6)</p> <p style="text-align: center;"><b>津波に対する洗掘の影響について</b></p> <p>基準津波の敷地内の週上域を確認し、洗掘の可能性のある防潮堤前面の敷地を対象に、アスファルト混合物又はコンクリートで地表面を舗装する。</p> <p>「津波防災地域づくりに係る技術検討報告書（2012）」では、アスファルト部で8m/sの流速に対して洗掘の耐性があるとされており、また、「土木研究所資料 道路内の流水による舗装面の破壊－高規格堤防の水理設計のために(3)－（以下、文献①と記す。）」では、実物大の水理模型実験よりアスファルト舗装標準供試体において流速8m/sを20時間通水しても健全である結果を得ている。</p> <p>以上より、流速8m/s以下の敷地はアスファルト混合物で舗装する。</p> <p>流速8m/s以上が発生する敷地は、「河川砂防技術基準 設計編」より「高規格堤防の堤体は越流水による洗掘に対して耐えうる構造とする必要があり、越流水による洗掘破壊が生じないように、堤体上部に作用する越流水による洗掘に対し、必要なせん断抵抗力を有するように設計するものとする」とあり、これに準拠してせん断強度が大きいコンクリートを採用することとした。</p> <p>コンクリートのせん断強度は、「コンクリート標準示方書 ダムコンクリート編（2023）」より、設計基準強度（圧縮強度）の1/5として、<math>18N/mm^2 \div 5 = 3.6N/mm^2</math>である。</p> <p>一方、アスファルト混合物のせん断強度は、「表層舗装直後のアスファルト混合物層間のせん断強度」のせん断試験結果より読み取り値の最大値は0.28N/mm<sup>2</sup>程度である。</p> <p>上記より、コンクリートのせん断強度とアスファルト混合物のせん断強度を比較して、文献①の水理模型実験結果からコンクリートの洗掘に耐えうる流速を推定した。</p> <p>コンクリートとアスファルト混合物のせん断強度比は、アスファルトのせん断強度を保守的に0.28N/mm<sup>2</sup>と0.3N/mm<sup>2</sup>と設定して<math>3.6/0.3=12</math>倍であり、せん断力（掃流力）は速度の2乗に比例することから、少なくとも<math>12^{1/2}=3.46\approx 3</math>倍程度の流速（24m/s）に対してコンクリートは健全性を確保し洗掘は発生しないものと考える。以上より、流速8m/s以上の敷地はコンクリートで舗装する。</p>	<p>【島根・女川】記載方針の相違</p> <ul style="list-style-type: none"> <li>・泊では、説明性向上の観点で、津波に対する洗掘（陸域）の影響について補足する。</li> </ul>

## 泊発電所3号炉 DB基準適合性 比較表

実線・・設計方針又は設備構成等の相違  
波線・・記載表現、設備名称の相違（実質的な相違なし）

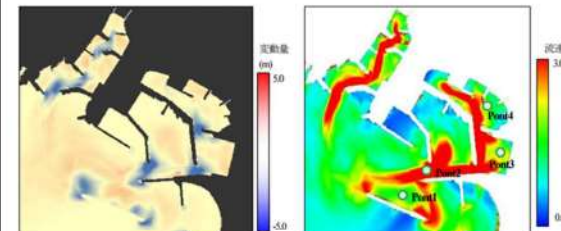
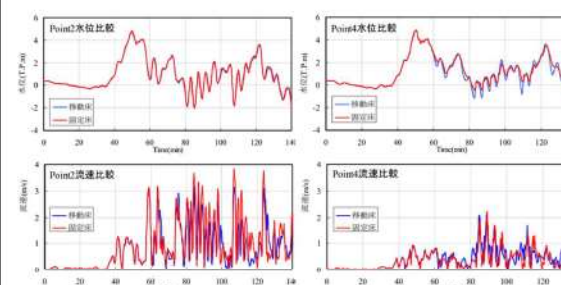
## 第5条 津波による損傷の防止

女川原子力発電所2号炉	島根原子力発電所2号炉	泊発電所3号炉	相違理由
		<p style="text-align: right;">(参考資料7)</p> <p><b>津波による洗掘・堆積に伴う海域の地形変化について</b></p> <p><b>1. 概要</b> 津波による地形等の変化に係る評価のうち、繰り返し来襲する津波による洗掘・堆積に伴う海域の地形変化について、津波水位及び流速を対象に固定床と移動床の比較をしている既往文献をレビューし、考慮の必要性について検討する。</p> <p><b>2. 文献のレビュー</b> (1) 森下・高橋(2014) 南海トラフ巨大地震モデル(2012年内閣府公表L2津波ケース3), 高橋ほか(1999)モデル(粒径0.3mm)を用いて、複雑な実港湾地形(参考図7-1, 7-2)を対象に固定床と移動床の水位および流速を比較している(参考図7-3)。 その結果、水位は、固定床の場合、移動床と全体的に一致している。また、最も評価が重要視される最大津波水位や最大浸水区域は第1波に依存することが多く、固定床と移動床の影響をほとんど受けないため、土砂移動条件が水位の評価に及ぼす影響は小さいといえるとしている。 流速は、固定床の場合、後続波において局所侵食箇所の流速を過大に評価する恐れがあるものの、安全側の評価となるため、実務面においては流速評価においても大きな支障はないといえるとしている。</p>  <p>参考図7-1 計算対象範囲の地形コンター(立体図) (森下・高橋(2014)より引用)</p>	<p>【島根・女川】記載方針の相違 ・泊では、説明性向上の観点で、 津波による洗掘・堆積に伴う海 域の地形変化について補足す る。</p>

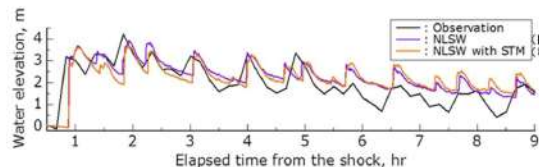
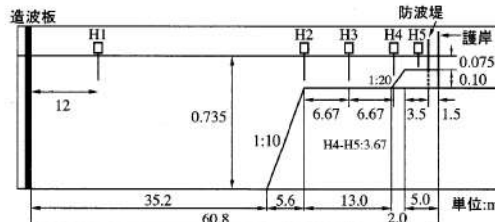
泊発電所3号炉 DB基準適合性 比較表

実線・・設計方針又は設備構成等の相違  
波線・・記載表現、設備名称の相違（実質的な相違なし）

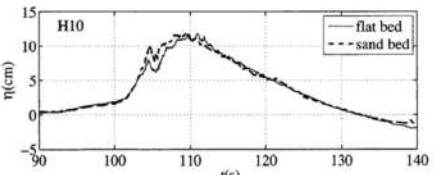
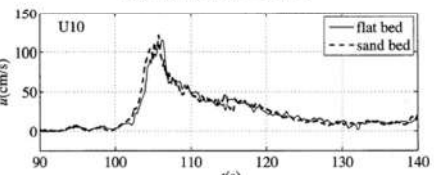
第5条 津波による損傷の防止

女川原子力発電所2号炉	島根原子力発電所2号炉	泊発電所3号炉	相違理由
		 <p>参考図 7-2 南海トラフL2津波前後の地形変動分布（左）及び最大流速分布（右） (森下・高橋(2014)より引用)</p>  <p>参考図 7-3 着目地点での移動床と固定床の水位・流速比較 (森下・高橋(2014)より引用, Point2 : 港口, Point4 : 港奥)</p> <p>(2) 今井ほか(2015) 高橋ほか(2011)に基づく粒径依存型モデル（粒径 0.267mm）の流砂量式及び交換砂量式、昔原ほか(2014)に基づく流況により変化するとした飽和浮遊砂濃度式を用いて、2011年東北地方太平洋沖地震津波による北上川河口部の大規模な地形変化について検討している。 北上川河口から 8.6km 地点の福地観測所では、地震発生から約 5 時間にわたり津波の河川遡上による 3 m を超える水位の高まりが観測されたとしている。参考図 7-4 に福地観測所における津波振幅の時刻歴を示す。固定床と移動床での比較においては、地震発生から 4 時間までは固定床の方が移動床による解析値より水位は若干ではあるが高い傾向にあるとしている。</p>	

## 第5条 津波による損傷の防止

女川原子力発電所2号炉	島根原子力発電所2号炉	泊発電所3号炉	相違理由
		 <p>参考図 7-4 福地観測所における津波振幅の時刻歴比較 (今井ほか(2015)より引用)</p> <p>(3) 柳山ほか(2008)</p> <p>固定床の水理模型実験を実施し、柳山ほか(2007)による移動床の水理模型実験の結果と比較をしている。実験は、参考図7-5に示す2次元造波水路を用いて、水路内に防波堤、港口部、護岸からなる単純な矩形の港湾模型（参考図7-6）を設置して行った。参考図7-7に、港内の侵食が著しかった領域の比較を示す。</p> <p>その結果、固定床上の水位変動は、時間 <math>t=103\text{s} \sim 110\text{s}</math> で移動床の時系列と若干差がみられるとしている。全測定点の比較を総合すると、比較場所の若干のずれの影響よりも地形変化の有無や底面粗度などの違いの影響が現れ、移動床と固定床とでは水位変動や流速は完全に一致はせず、その差は参考図7-7にみられる程度であり、流速より水位変動の差の方が明瞭であるとしている。</p>  <p>参考図 7-5 模型実験装置 (柳山ほか(2008)より引用)</p>	

## 第5条 津波による損傷の防止

女川原子力発電所2号炉	島根原子力発電所2号炉	泊発電所3号炉	相違理由
		 <p>参考図7-6 港湾模型と波高計・流速計アレイ (神山ほか(2008)より引用)</p> <div style="display: flex; justify-content: space-around;"> <div style="text-align: center;">  <p>(a) 水位変動の時系列</p> </div> <div style="text-align: center;">  <p>(b) 流速の時系列</p> </div> </div> <p>参考図7-7 模型実験における固定床と移動床の水位・流速比較 (神山ほか(2008)より引用)</p> <p>3. まとめ 文献レビューの結果、以下に示すことが確認された。</p> <ul style="list-style-type: none"> <li>津波水位は、数値シミュレーション及び水理模型実験による検討とともに、固定床と移動床とで全体的に一致している。</li> <li>流速は、水理模型実験の場合、固定床と移動床とで大きな差は見られず、数値シミュレーションの場合、森下・高橋(2014)の検討条件では固定床の方が安全側の評価となる。</li> </ul> <p>以上より、津波による地形等の変化に係る評価のうち、繰り返し来襲する津波による洗掘・堆積に伴う海域の地形変化を考慮する必要はないと考えられる。</p>	

## 泊発電所3号炉 DB基準適合性 比較表

実線・・設計方針又は設備構成等の相違  
 波線・・記載表現、設備名称の相違（実質的な相違なし）

## 第5条 津波による損傷の防止

女川原子力発電所2号炉	島根原子力発電所2号炉	泊発電所3号炉	相違理由
		<p style="text-align: right;">(参考資料8)</p> <p style="text-align: center;">側方流動等による水平変位の影響について</p>  <p style="text-align: right;">追而 (検討結果を踏まえて記載する)</p>	<p>【島根・女川】記載方針の相違</p> <ul style="list-style-type: none"> <li>・泊では、説明性向上の観点で、側方流動等による水平水位の影響について補足する。</li> </ul>

## 泊発電所3号炉 DB基準適合性 比較表

実線・・設計方針又は設備構成等の相違  
 波線・・記載表現、設備名称の相違（実質的な相違なし）

## 第5条 津波による損傷の防止

女川原子力発電所2号炉	島根原子力発電所2号炉	泊発電所3号炉	相違理由
		<p style="text-align: right;">(参考資料9)</p> <p style="color: yellow; text-align: center;">透過性を有する人工構造物のモデル化</p> <div style="border: 1px solid black; height: 150px; width: 100%;"></div> <p style="text-align: right;">追而 (検討結果を踏まえて記載する)</p>	<p>【島根・女川】記載方針の相違</p> <ul style="list-style-type: none"> <li>・泊では、説明性向上の観点で、透過性を有する人工構造物のモデル化の考え方について補足する。</li> </ul>

## 泊発電所 3号炉 DB基準適合性 比較表

実線・・設計方針又は設備構成等の相違
波線・・記載表現、設備名称の相違（実質的な相違なし）

## 第5条 津波による損傷の防止

女川原子力発電所 2号炉	島根原子力発電所 2号炉	泊発電所 3号炉	相違理由
		<p>追而 (検討結果を踏まえて記載する)</p>	

## 泊発電所3号炉 DB基準適合性 比較表

実線・・設計方針又は設備構成等の相違

波線・・記載表現、設備名称の相違（実質的な相違なし）

## 第5条 津波による損傷の防止

女川原子力発電所2号炉	島根原子力発電所2号炉	泊発電所3号炉	相違理由
		<p>【参考文献】</p> <p>1) 原子力規制委員会(2021) : 基準津波及び耐津波設計方針に係る審査ガイド, 原子力規制委員会, 平成25年6月.</p> <p>2) 土木学会(2016) : 原子力発電所の津波評価技術2016, 公益社団法人土木学会原子力土木委員会津波評価小委員会</p> <p>3) 原子力安全基盤機構(2014) : 確率論的手法に基づく基準津波算定手引き, p.84, 独立行政法人原子力安全基盤機構</p> <p>4) 国土交通省ほか(2012) : 津波浸水想定の設定の手引き, p.31, 国土交通省水管理・国土保全局海岸室ほか</p> <p>5) 羽鳥徳太郎(1994) : 1993北海道南西沖地震津波の規模および波源域, 地震第2輯, 第47巻, pp.1-7.</p> <p>6) 小谷美佐・今村文彦・首藤伸夫(1998) : GISを利用した津波遇上計算と被害推定法, 海岸工学論文集, 第45巻, pp.356-360.</p> <p>7) Mansinha,L. and Smalley,D.E. (1971) : The displacement fields of inclined faults, Bulletin of the Seismological Society of America, Vol.61, No.5, pp.1433-1440.</p> <p>8) Ishihara and Yoshimine (1992) : Evaluation Of Settlements In Sand Deposits Following Liquefaction During Earthquakes , Soils and Foundations Vol.32.</p> <p>9) 海野寿康・風間基樹・渦岡良介・仙頭紀明(2006) : 同一繰返しせん断履歴における乾燥砂と飽和砂の体積収縮量の関係, 土木学会論文集C, Vol.62.</p> <p>10) 土木学会(2018) : 水理公式集(2018年版), P605</p> <p>11) 防災科学研究所(2010) : 地すべり地形分布図 第45集「岩内」, 国立開発法人防災科学技術研究所</p> <p>12) 国土交通省(2012) : 津波防災地域づくりに係る技術検討報告書, 津波防災地域づくりに係る技術検討会, 平成24年1月27日.</p> <p>13) 宅地防災研究会:第三次改訂版宅地防災マニュアルの解説, 令和4年2月25日.</p> <p>14) 公益社団法人日本港湾協会: 港湾の施設の技術上の基準・同解説, 平成19年.</p> <p>15) FLIP研究会: FLIP研究会14年間の検討結果のまとめ(事例編).</p> <p>16) 沿岸開発技術研究センター: 埋立地の液状化対策ハンドブック(改訂版), 平成9年.</p> <p>17) コンクリート標準示方書 [ダムコンクリート編], 公益社団法人土木学会, 2023</p> <p>18) 表層舗設直後のアスファルト混合物層間のせん断強度, 坪川・河村・伊豆, 土木学会第74回年次学術講演会, 2019</p> <p>19) 「河川砂防技術基準 設計編」国土交通省</p> <p>(w e b)</p> <p>20) 地理院地図 GIS Maps : <a href="https://maps.gsi.go.jp/">https://maps.gsi.go.jp/</a></p>	<p>【女川、島根】記載方針の相違</p> <ul style="list-style-type: none"> <li>泊では巻末に参考文献を記載している。</li> </ul>

## 泊発電所3号炉 DB基準適合性 比較表

実線・・設計方針又は設備構成等の相違
波線・・記載表現、設備名称の相違（実質的な相違なし）

## 第5条 津波による損傷の防止

女川原子力発電所2号炉	島根原子力発電所2号炉	泊発電所3号炉	相違理由
		<p>2.1) ガスパイpline安全基準検討会報告、経済産業省:  <a href="https://www.meti.go.jp/policy/safety_security/industrial_safety/shingikai/700/3/700_3_index.html">https://www.meti.go.jp/policy/safety_security/industrial_safety/shingikai/700/3/700_3_index.html</a></p> <p>2.2) 防災科学技術研究所 地震ハザードステーション  <a href="https://www.j-shis.bosai.go.jp/">https://www.j-shis.bosai.go.jp/</a></p>	

## 第5条 津波による損傷の防止

女川原子力発電所 2号炉	島根原子力発電所 2号炉	泊発電所 3号炉 (10月31日時点)	相違理由																																																																																																																														
添付資料5	添付資料5	添付資料4	(プラント名の相違は識別しない)																																																																																																																														
港湾内の局所的な海面の励起について	港湾内の局所的な海面の励起について	港湾内の局所的な海面の励起について	・女川は泊との相違 ・島根は泊との相違 ・泊は島根との相違を識別する。																																																																																																																														
		<u>泊発電所における水位上昇側の基準津波を表1に示す。</u>	【女川、島根】設計方針の相違 ・泊では基準津波策定の段階で防波堤の損傷状態を考慮した地形モデルごとに各評価地点における津波の影響が大きくなるよう波源を選定していることから、評価対象として選定する基準津波が相違する。																																																																																																																														
		<u>表1 泊発電所における水位上昇側の基準津波</u>																																																																																																																															
		<table border="1" style="width: 100%; border-collapse: collapse;"> <thead> <tr> <th rowspan="2">成因</th> <th rowspan="2">防波堤の損傷状態</th> <th colspan="6">各評価地点における最大水位上昇量</th> </tr> <tr> <th>防潮堤前面 (上昇側)</th> <th>3号炉 取水口 (上昇側)</th> <th>1,2号炉 取水口 (上昇側)</th> <th>放水口 (上昇側)</th> <th>基津入渠 トンネル (上昇側)</th> <th>アクセス ルート トンネル (上昇側)</th> </tr> </thead> <tbody> <tr> <td>A</td> <td>防波堤損傷なし</td> <td>13.44m</td> <td>-</td> <td>-</td> <td>-</td> <td>-</td> <td>-</td> </tr> <tr> <td>B</td> <td>防波堤損傷なし</td> <td>-</td> <td>10.45m</td> <td>-</td> <td>-</td> <td>-</td> <td>-</td> </tr> <tr> <td></td> <td>北防波堤損傷</td> <td>-</td> <td>12.89m</td> <td>-</td> <td>-</td> <td>-</td> <td>-</td> </tr> <tr> <td>C</td> <td>防波堤損傷なし</td> <td>-</td> <td>-</td> <td>9.34m</td> <td>-</td> <td>-</td> <td>-</td> </tr> <tr> <td></td> <td>防波堤損傷なし</td> <td>-</td> <td>-</td> <td>-</td> <td>10.91m</td> <td>-</td> <td>-</td> </tr> <tr> <td>D</td> <td>北及び南防波堤損傷</td> <td>-</td> <td>-</td> <td>-</td> <td>10.84m</td> <td>-</td> <td>-</td> </tr> <tr> <td></td> <td>南防波堤損傷</td> <td>-</td> <td>-</td> <td>-</td> <td>10.85m</td> <td>-</td> <td>-</td> </tr> <tr> <td></td> <td>北防波堤損傷</td> <td>-</td> <td>-</td> <td>-</td> <td>10.66m</td> <td>-</td> <td>-</td> </tr> <tr> <td>E</td> <td>北及び南防波堤損傷</td> <td>15.65m</td> <td>-</td> <td>12.74m</td> <td>-</td> <td>-</td> <td>-</td> </tr> <tr> <td></td> <td>南防波堤損傷</td> <td>14.98m</td> <td>11.86m</td> <td>-</td> <td>-</td> <td>-</td> <td>-</td> </tr> <tr> <td>F</td> <td>北及び南防波堤損傷</td> <td>-</td> <td>13.14m</td> <td>-</td> <td>-</td> <td>-</td> <td>-</td> </tr> <tr> <td></td> <td>北防波堤損傷</td> <td>15.68m</td> <td>-</td> <td>-</td> <td>-</td> <td>-</td> <td>-</td> </tr> <tr> <td>G</td> <td>南防波堤損傷</td> <td>-</td> <td>-</td> <td>12.01m</td> <td>-</td> <td>-</td> <td>-</td> </tr> <tr> <td>H</td> <td>北防波堤損傷</td> <td>-</td> <td>-</td> <td>11.50m</td> <td>-</td> <td>-</td> <td>-</td> </tr> </tbody> </table> <p style="text-align: center;">追面 (基津入渠トンネル及びアクセスルートトンネルに係る渡渉の取り扱いを検討中)</p>	成因	防波堤の損傷状態	各評価地点における最大水位上昇量						防潮堤前面 (上昇側)	3号炉 取水口 (上昇側)	1,2号炉 取水口 (上昇側)	放水口 (上昇側)	基津入渠 トンネル (上昇側)	アクセス ルート トンネル (上昇側)	A	防波堤損傷なし	13.44m	-	-	-	-	-	B	防波堤損傷なし	-	10.45m	-	-	-	-		北防波堤損傷	-	12.89m	-	-	-	-	C	防波堤損傷なし	-	-	9.34m	-	-	-		防波堤損傷なし	-	-	-	10.91m	-	-	D	北及び南防波堤損傷	-	-	-	10.84m	-	-		南防波堤損傷	-	-	-	10.85m	-	-		北防波堤損傷	-	-	-	10.66m	-	-	E	北及び南防波堤損傷	15.65m	-	12.74m	-	-	-		南防波堤損傷	14.98m	11.86m	-	-	-	-	F	北及び南防波堤損傷	-	13.14m	-	-	-	-		北防波堤損傷	15.68m	-	-	-	-	-	G	南防波堤損傷	-	-	12.01m	-	-	-	H	北防波堤損傷	-	-	11.50m	-	-	-	
成因	防波堤の損傷状態	各評価地点における最大水位上昇量																																																																																																																															
		防潮堤前面 (上昇側)	3号炉 取水口 (上昇側)	1,2号炉 取水口 (上昇側)	放水口 (上昇側)	基津入渠 トンネル (上昇側)	アクセス ルート トンネル (上昇側)																																																																																																																										
A	防波堤損傷なし	13.44m	-	-	-	-	-																																																																																																																										
B	防波堤損傷なし	-	10.45m	-	-	-	-																																																																																																																										
	北防波堤損傷	-	12.89m	-	-	-	-																																																																																																																										
C	防波堤損傷なし	-	-	9.34m	-	-	-																																																																																																																										
	防波堤損傷なし	-	-	-	10.91m	-	-																																																																																																																										
D	北及び南防波堤損傷	-	-	-	10.84m	-	-																																																																																																																										
	南防波堤損傷	-	-	-	10.85m	-	-																																																																																																																										
	北防波堤損傷	-	-	-	10.66m	-	-																																																																																																																										
E	北及び南防波堤損傷	15.65m	-	12.74m	-	-	-																																																																																																																										
	南防波堤損傷	14.98m	11.86m	-	-	-	-																																																																																																																										
F	北及び南防波堤損傷	-	13.14m	-	-	-	-																																																																																																																										
	北防波堤損傷	15.68m	-	-	-	-	-																																																																																																																										
G	南防波堤損傷	-	-	12.01m	-	-	-																																																																																																																										
H	北防波堤損傷	-	-	11.50m	-	-	-																																																																																																																										
		<p>港湾内の局所的な海面の励起について、港湾の地形的な影響を考慮し、防波堤の損傷状態（防波堤損傷なし地形、北及び南防波堤損傷地形）及び港湾内の評価地点（防潮堤前面、3号炉取水口、1, 2号炉取水口）の組合せで水位が最大となる基準津波を評価対象とする。防波堤損傷なし地形において水位が最大となる基準津波は、防潮堤前面を評価地点とする波源Aによるものであるが、波源Aによる最高水位は港湾外で発生しており、港湾内の海面励起の影響を適切に評価できない可能性があるため、3号炉取水口の水位が最大となる波源Bについても評価対象とする。また、北及び南防波堤損傷地形における水位が最大となる基準津波は、防潮堤前面を評価地点とする波源Eによるものである。よって、基準津波のうち、波源A（防波堤損傷なし）、波源B（防波堤損傷なし）、波源E（北及び南防波堤損傷）を評価対象とし、これら基準津波による発電所周辺における最大水位上昇量分布を図1に、時刻歴波形の評価地点を図2に示す。</p>																																																																																																																															
基準津波策定位置を図1に、基準津波による発電所周辺における最大水位上昇量分布及び水位時刻歴波形の評価位置を図2に示す。	基準津波による発電所周辺における最高水位分布を図1に、時刻歴波形の評価地点を図2に示す。		<u>【女川】記載方針の相違</u> <ul style="list-style-type: none"> <li>・島根実績の反映</li> </ul> <u>【島根】設計方針の相違</u> <ul style="list-style-type: none"> <li>・解析上の初期潮位設定の相違 (島根 : E.L. ± 0.0m, 泊 : T.P. 0.21m)により、平面2次元解析の結果として得られる分布の位置づけが異なる。</li> </ul>																																																																																																																														

## 泊発電所3号炉 DB基準適合性 比較表

実線・・設計方針又は設備構成等の相違  
波線・・記載表現、設備名称の相違（実質的な相違なし）

## 第5条 津波による損傷の防止

女川原子力発電所2号炉	島根原子力発電所2号炉	泊発電所3号炉（10月31日時点）	相違理由
<u>基準津波策定位置、港口部及び港奥に位置する1～3号炉取水口前面における水位時刻歴波形を図3、図4に示す。</u>	<p>また、津波の伝播経路を考慮し、①湾口と②湾中央、②湾中央と③湾奥西、②湾中央と④湾奥東及び②湾中央と⑤2号炉取水口における基準津波<sub>1</sub>の水位をそれぞれ重ね合わせた水位時刻歴波形を図3に示す。</p> <p>図1より、湾の内外ともに水深が浅くなる沿岸部及び隅角部において、その付近での最高水位分布を示す傾向にあり、湾の内外で最高水位分布の傾向に大きな差異はない。港湾の固有周期が3分程度（図4参照）であり、時刻歴波形から読み取れる湾中央での基準津波の周期が3分程度であることから、港湾内の海面の固有振動による励起の発生の可能性も含め確認を行った。</p> <p>なお、図3に示すとおり、防波堤の有無による傾向に差がないことから、以降の考察は防波堤有り条件のケースに関して実施する。</p>	<p>また、津波の伝播経路を考慮し、①港口部と②港内中央、②港内中央と③1、2号炉取水口、②港内中央と④港内北側及び②港内中央と⑤3号炉取水口における基準津波の水位をそれぞれ重ね合わせた水位時刻歴波形を図3に示す。</p> <p>図1より、港湾の内外ともに水深が浅くなる沿岸部及び隅角部において、その付近での最大水位上昇量分布を示す傾向にあり、港湾の内外で最大水位上昇量分布の傾向に大きな差異はない。文献1)より求めた港湾の固有周期は3分程度であった。一方、図3の時刻歴波形から読み取れる港内中央での基準津波の周期は、地震発生後15分～40分頃に発生する周期の長い津波の中に、最大水位が生じる短周期の津波が含まれており、波源A（防波堤損傷なし）では25分及び12分程度、波源B（防波堤損傷なし）では26分及び8分程度、波源E（北及び南防波堤損傷）では26分及び6分程度であった。このため、基準津波の周期が港湾の固有周期と異なることから、港湾内の海面の固有振動による励起の発生の可能性は低いと考えられるものの、海面励起の影響も含め確認を行った。</p>	<p>【女川、島根】評価地点の相違</p> <ul style="list-style-type: none"><li>・発電所の港湾形状や設備位置の違いにより、水位時刻歴波形の評価地点が異なる。</li></ul>
<u>基準津波策定位置と港口の水位時刻歴波形（図3、図4）の比較から、局所的な海面の固有振動による励起は生じていない。</u>	<p>図3(1)より、①港口→②湾中央の波形については、上昇側のピーク値が伝播先で最大1.8m程度（②湾中央：3.61m-①港口：1.80m）、大きくなる傾向が確認できる。</p> <p>②湾中央→③湾奥西の波形については、上昇側のピーク値が伝播先で最大2.5m程度（③湾奥西：4.32m-②湾中央：1.82m）、大きくなる傾向が確認できる。</p> <p>②湾中央→④湾奥東の波形については、上昇側のピーク値が伝播先で最大4.9m程度（④湾奥東：6.92m-②湾中央：2.01m）、大きくなる傾向が確認できる。上昇が著しい時間帯としては、188分、191分、193分頃であり、いずれも上昇側のみピーク値の増加が顕著である。</p> <p>次に取水口位置における確認を行う。②湾中央→⑤2号炉取水口（東及び西）の波形については、上昇側のピーク値が伝播先で最大1.8m程度（⑤2号炉取水口：3.65m-②湾中央：1.82m）、大きくなる傾向が確認できる。この水位変動の傾向は、湾奥西（最大2.5m）、湾奥東（最大4.9m）に比較し小さい。</p>	<p>図3(1)より、波源A（防波堤損傷なし）では①港口部→②港内中央の波形については、上昇側のピーク値が伝播先で最大0.4m程度（②港内中央：7.56m-①港口部：7.17m）、大きくなる傾向が確認できる。</p> <p>②港内中央→③1、2号炉取水口の波形については、上昇側のピーク値が伝播先で最大0.3m程度（③1、2号取水口：7.83m-②港内中央：7.56m）、大きくなる傾向が確認できる。</p> <p>②港内中央→④港内北側の波形については、上昇側のピーク値が伝播先で最大0.8m程度（④港内北側：8.38m-②港内中央：7.56m）、大きくなる傾向が確認できる。</p> <p>②港内中央→⑤3号炉取水口の波形については、上昇側のピーク値が伝播先で僅かに（⑤3号炉取水口：7.54m-②港内中央：7.56m）減少している。</p>	<p>【島根】記載方針の相違</p> <ul style="list-style-type: none"><li>・泊では固有周期を既往審査資料で示していないことから文献を引用しているのに対し、島根は審査資料を引用している。</li></ul>
<u>発電所周辺の最大水位上昇量分布（図2）から、沖側から敷地に近づくほど最大水位上昇量が大きくなる傾向があるが、港口部と港奥で最大水位上昇量の分布に大きな差異や偏りはなく、局所的な水位の高まりも見られない。</u>		<p>図3(2)より、波源B（防波堤損傷なし）では①港口部→②港内中央の波形については、上昇側のピーク値が伝播先で僅かに（②港内中央：8.44m-①港口部：8.47m）減少している。</p> <p>②港内中央→③1、2号炉取水口の波形については、上昇側のピーク値が伝播先で最大0.6m程度（③1、2号取水口：9.00m-②港内中央：8.44m）、大きくなる傾向が確認できる。</p>	<p>【島根】設計方針の相違</p> <ul style="list-style-type: none"><li>・発電所港湾施設の形状の相違により、港湾内の周期が異なり泊では海面励起の発生の可能性が低い。</li></ul>
			<p>【島根】設計方針の相違</p> <ul style="list-style-type: none"><li>・泊では、地形モデルごとに選定した基準津波に対する考察を全て記載している。</li></ul>
			<p>【女川、島根】評価結果の相違</p> <ul style="list-style-type: none"><li>・発電所港湾施設の形状及び基準津波波源の相違により、各サイトで港湾内の局所的な励起の評価結果が異なる。</li></ul>

## 泊発電所3号炉 DB基準適合性 比較表

実線・・設計方針又は設備構成等の相違  
波線・・記載表現、設備名称の相違（実質的な相違なし）

## 第5条 津波による損傷の防止

女川原子力発電所2号炉	島根原子力発電所2号炉	泊発電所3号炉（10月31日時点）	相違理由
<p>また、発電所周辺における各地点の水位時刻歴波形（図4）の比較から、港口部に比べ港奥に位置する取水口前面の方が水位上昇量のピーク値が大きくなる傾向にあるものの、各評価地点により周期特性や時間経過に伴う減衰傾向に大きな差はない、港湾内の海面の固有振動による局所的な励起は生じていない。</p> <p>湾奥西及び取水口位置の水位変動については、水深が浅くなることによる増幅の影響及び湾の固有周期と湾中央での基準津波の周期が近いことから海面の固有振動による励起の影響と推察される。</p> <p>湾奥東の水位変動については、上記の湾奥西及び取水口位置における影響に加えて、水位変動は上昇側のみピーク値の増加が顕著に認められることから、隅角部における反射の影響による水位変動が支配的であると推察される。</p> <p>以上のことから、湾の伝搬先で水位のピーク値が大きくなる傾向は、伝搬先の水深が浅くなることによる増幅の影響及び海面の固有振動による励起の影響と推察される。また、一部地点（湾奥東）においては、上昇側のみピーク値の増加が顕著に認められることから、上記影響に加えて、隅角部における反射の影響が支配的であると考えられる。伝搬先の水深が浅くなることによる水位の増幅、海面の固有振動による励起及び隅角部における反射の影響は、津波数値シミュレーションにおいて適切に再現されている。</p> <p>なお、湾奥東の地点のように、ピーク値の増加が顕著に認められる地点があることから、入力津波の設定にあたっては、保守的な評価となるよう当該地点における最大の水位を一律に評価地点（施設護岸又は防波壁）の入力津波高さとして設定している。</p>	<p>以上のことから、港湾内では水深が浅くなることや隅角部護岸での反射等により、水位が増大する箇所はあるものの、津波による港湾内の局所的な海面の固有振動による励起は生じていない。</p>	<p>②港内中央→④港内北側の波形については、上昇側のピーク値が伝播先で最大 0.7m 程度（④港内北側：9.15m→②港内中央：8.44m）、大きくなる傾向が確認できる。</p> <p>②港内中央→⑤3号炉取水口の波形については、上昇側のピーク値が伝播先で最大 2.0m 程度（⑤3号炉取水口：10.45m→②港内中央：8.44m）、大きくなる傾向が確認できる。</p> <p>図3（3）より、波源E（北及び南防波堤損傷）では①港口部→②港内中央の波形については、上昇側のピーク値が伝播先で最大 1.8m 程度（②港内中央：10.02m→①港口部：8.21m）、大きくなる傾向が確認できる。</p> <p>②港内中央→③1、2号炉取水口の波形については、上昇側のピーク値が伝播先で最大 2.7m 程度（③1、2号取水口：12.72m→②港内中央：10.02m）、大きくなる傾向が確認できる。</p> <p>②港内中央→④港内北側の波形については、上昇側のピーク値が伝播先で最大 1.4m 程度（④港内北側：11.39m→②港内中央：10.02m）、大きくなる傾向が確認できる。</p> <p>②港内中央→⑤3号炉取水口の波形については、上昇側のピーク値が伝播先で最大 3.0m 程度（⑤3号炉取水口：13.04m→②港内中央：10.02m）、大きくなる傾向が確認できる。</p>	<p>【女川、島根】評価結果の相違</p> <ul style="list-style-type: none"> <li>・発電所港湾施設の形状及び基準津波波源の相違により、各サイトで港湾内の局所的な励起の評価結果が異なる。</li> </ul>

## 第5条 津波による損傷の防止

女川原子力発電所2号炉	島根原子力発電所2号炉	泊発電所3号炉（10月31日時点）	相違理由
<p>図1 基準津波策定位置</p>	<p>図1 (1) 最高水位分布（基準津波1（防波堤有り））</p>	<p>図1 (1) 最大水位上昇量分布（基準津波（波源A, 防波堤損傷なし））</p>	<p>【女川】記載方針の相違</p> <ul style="list-style-type: none"> <li>島根実績の反映</li> </ul>
<p>図2 最大水位上昇量分布及び水位時刻歴波形評価位置 (基準津波 (水位上昇側))</p>		<p>図1 (2) 最大水位上昇量分布（基準津波（波源B, 防波堤損傷なし））</p>	<p>【女川, 島根】設計方針の相違</p> <ul style="list-style-type: none"> <li>発電所港湾施設の形状及び基準津波波源の相違</li> </ul>

## 第5条 津波による損傷の防止

女川原子力発電所2号炉	島根原子力発電所2号炉	泊発電所3号炉（10月31日時点）	相違理由
			<p>【女川、島根】設計方針の相違</p> <ul style="list-style-type: none"> <li>・発電所港湾施設の形状及び基準津波波源の相違</li> </ul>
			<p>【女川、島根】評価地点の相違</p> <ul style="list-style-type: none"> <li>・発電所の港湾形状や設備位置の違いにより、水位時刻歴波形の評価地点が異なる。</li> </ul>

泊発電所3号炉 DB基準適合性 比較表

実線・・設計方針又は設備構成等の相違  
波線・・記載表現、設備名称の相違（実質的な相違なし）

第5条 津波による損傷の防止

女川原子力発電所2号炉	島根原子力発電所2号炉	泊発電所3号炉（10月31日時点）	相違理由
<p>図3 基準津波策定位置における水位時刻歴波形 (基準津波(水位上昇側))</p>	<p>図3 (1) 基準津波1(防波堤有り)の水位の時刻歴波形 (谷湾)</p>	<p>図3 (1) 基準津波(波源A, 防波堤損傷なし)の水位の時刻歴波形</p>	<p>【女川】記載方針の相違 ・島根実績の反映</p> <p>【女川、島根】設計方針の相違 ・発電所港湾施設の形状及び基準津波波源の相違により、各サイトで港湾内の局所的な励起の評価結果が異なる。</p>
<p>図4 各評価地点における水位時刻歴波形 (基準津波(水位上昇側))</p>			

## 泊発電所3号炉 DB基準適合性 比較表

実線・・設計方針又は設備構成等の相違  
波線・・記載表現、設備名称の相違（実質的な相違なし）

## 第5条 津波による損傷の防止

女川原子力発電所2号炉	島根原子力発電所2号炉	泊発電所3号炉（10月31日時点）	相違理由
			<p>【女川、島根】設計方針の相違</p> <ul style="list-style-type: none"> <li>発電所港湾施設の形状及び基準津波源の相違により、各サイトで港湾内の局所的な励起の評価結果が異なる。</li> </ul>

図3(2) 基準津波（波源B、防波堤損傷なし）の水位の時刻歴波形

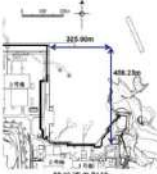
泊発電所3号炉 DB基準適合性 比較表

実線・・・設計方針又は設備構成等の相違  
波線・・記載表現、設備名称の相違（実質的な相違なし）

第5条 津波による損傷の防止

女川原子力発電所2号炉	島根原子力発電所2号炉	泊発電所3号炉（10月31日時点）	相違理由
	<p>① 湾口と② 湾中央との比較</p> <p>② 湾中央と③ 湾奥西との比較</p> <p>③ 湾中央と④ 湾奥東との比較</p> <p>④ 湾中央と⑤ 2号炉取水口(東)との比較</p> <p>⑤ 湾中央と⑥ 2号炉取水口(西)との比較</p> <p>図3 (2) 基準津波1 (防波堤無し) の水位の時刻歴波形 (輪谷湾)</p>	<p>① 港口部と② 港内中央</p> <p>② 港内中央と③ 2号炉取水口</p> <p>③ 港内中央と④ 港内北側</p> <p>④ 港内中央と⑤ 3号炉取水口</p> <p>図3 (3) 基準津波 (波源E, 北及び南防波堤損傷) の水位の時刻歴波形</p>	<p>【女川、島根】設計方針の相違</p> <ul style="list-style-type: none"> <li>・発電所港湾施設の形状及び基準津波波源の相違により、各サイトで港湾内の局所的な励起の評価結果が異なる。</li> </ul>

## 第5条 津波による損傷の防止

女川原子力発電所2号炉	島根原子力発電所2号炉	泊発電所3号炉（10月31日時点）	相違理由															
	<p>2.既往津波の検討 2-2 数値シミュレーション手法等 (1)数値シミュレーション手法 計算格子サイズの妥当性に係る検討 第675回審査会合 資料1-3 P19 再掲 20</p> <p>・「港口～港中头部」及び「港奥」について、土木学会による計算格子サイズの目安を満足しており、輪谷湾内の計算格子サイズは妥当であると考えられる。</p> <table border="1"> <thead> <tr> <th colspan="2">妥当性確認結果</th> <th colspan="2">妥当性確認に要するパラメーター表</th> </tr> <tr> <th>区分</th> <th>土木学会による計算格子サイズの目安</th> <th>輪谷湾内の計算格子サイズ</th> <th>備考</th> </tr> </thead> <tbody> <tr> <td>真口→L<sub>v</sub>の1/40 港中头部</td> <td>55.9m</td> <td>6.25m</td> <td></td> </tr> <tr> <td>港奥 L<sub>v</sub>の1/100 以下</td> <td>15.8m</td> <td>6.25m</td> <td></td> </tr> </tbody> </table>  <p>輪谷湾の形状</p> <p>図4 港湾の固有周期</p>	妥当性確認結果		妥当性確認に要するパラメーター表		区分	土木学会による計算格子サイズの目安	輪谷湾内の計算格子サイズ	備考	真口→L <sub>v</sub> の1/40 港中头部	55.9m	6.25m		港奥 L <sub>v</sub> の1/100 以下	15.8m	6.25m		<p>【島根】記載方針の相違</p> <ul style="list-style-type: none"> <li>泊では固有周期を既往審査資料で示していないことから文献を引用しているのに対し、島根は審査資料を引用している。</li> </ul> <p>【参考文献】      1) 服部 昌太郎 (1987) : 海岸工学, pp. 80-82</p>
妥当性確認結果		妥当性確認に要するパラメーター表																
区分	土木学会による計算格子サイズの目安	輪谷湾内の計算格子サイズ	備考															
真口→L <sub>v</sub> の1/40 港中头部	55.9m	6.25m																
港奥 L <sub>v</sub> の1/100 以下	15.8m	6.25m																

## 泊発電所3号炉 DB基準適合性 比較表

実線・・設計方針又は設備構成等の相違  
波線・・記載表現、設備名称の相違（実質的な相違なし）

## 第5条 津波による損傷の防止

女川原子力発電所2号炉	島根原子力発電所2号炉	泊発電所3号炉	相違理由
添付資料_6	添付資料_6	添付資料_5	(プラント名の相違は識別しない) ・女川は泊との相違 ・島根は泊との相違 ・泊は島根との相違 を識別する。 【女川】設計方針の相違 ・泊では、管路モデルにて管路解析を実施する（島根と同様）。 ・女川では、スロットモデルにて管路解析を実施しているため、資料構成全般が異なる。
<p>管路解析の詳細について</p> <p><b>1. 管路解析のモデルについて</b></p> <p>女川原子力発電所の取水設備（取水口～取水路～海水ポンプ室）及び放水設備（放水口～放水路～放水立坑）の構造について、図1に取放水路配置平面図、図2に各取放水路断面図、図3に各取放水路縦断図を示す。</p> <p>女川原子力発電所の各取放水路の流れ場は、各取放水設備の構造と基準津波による水位変動の関係から、開水路流れと管路流れ（満管状態）が共存する。この流れ場に適用可能な計算手法について、土木学会（2016）ではスロットモデルによる計算手法（例えば、大谷ほか（1998））を示していることから、同モデルが女川原子力発電所の各取放水設備に適用できることを確認した上で（詳細は参考2に記載）、同モデルを採用し、設備の水理特性を考慮した管路解析を実施した。</p> <p><b>2. 管路解析のパラメータスタディについて</b></p> <p>管路解析の解析条件を表7に、パラメータスタディにおいて考慮した項目を表8に示す。各海水ポンプ室の最高水位を表9に、海水熱交換器建屋取水立坑の最高水位を表10に、各放水立坑の最高水位を表11に示す。また、それらの詳細な結果及び時刻歴波形について、表12～17に示す。なお、1号炉取水路及び放水路については、津波防護施設として流路の一部を縮小することから、計算結果は断面の縮小を考慮したものとなっている。</p> <p>なお、海水ポンプ室及び放水立坑位置での水位については、水槽接続部の流入出量を境界条件として、水槽内部の水面面積を鉛直方向に積算した水位一容積関係を用いて、水槽に接続する水路の流入出量の合計値とポンプ流量を考慮した水位時刻歴波形として算出した。また、3号炉海水ポンプ室と海水熱交換器建屋取水立坑は非常用系水路で接続されているため、海水熱交換器建屋取水立坑水位については、非常用系水路の水頭損失を考慮した評価としている。</p> <p>比較のため、以降の図表と掲載順を入れ替え</p>	<p>管路計算の詳細について</p> <p><b>1. はじめに</b></p> <p>海洋から取水路及び放水路を経て各評価地点までの水路の水理特性を考慮した管路計算を基準津波1～6（水位上昇側：基準津波1, 2, 4, 5、水位下降側：基準津波1, 3, 4, 6）を入力波形として計算を実施した。</p> <p><b>2. 管路計算に基づく評価</b></p> <p>管路計算を行うまでの不確かさの考慮として、表1に示す各項目についてパラメータスタディを実施し、入力津波の選定及び津波水位への影響を確認した。</p> <p>管路計算の計算条件を表2に、貝付着を考慮する範囲を図1に示す。取水路及び放水路の構造図を図2に示す。また、基礎方程式等の数値計算手法は、「原子力発電所の津波評価技術2016（土木学会原子力土木委員会津波評価部会、2016）」に基づき次頁以降に示すとおりとする。</p> <p>取・放水経路は開水路区間と管路区間が混在するため、微小区間に分割した水路の各部分が、開水路状態か管路状態かを遂次判定し、管路区間はその上下流端の開水路区間の水位（自由水面の水位）を境界条件として流量計算を行い、開水路区間は、開水路の一次元不定流の式により流量・水位を計算する。また、水槽及び立坑部は、水面面積を鉛直方向に積算した水位一容積関係を用いて、水槽及び立坑部に接続する水路の流量合計値から水位を算定する。なお、解析には先行審査で実績のある解析コード「SURGE」を使用した。</p>	<p>管路解析の詳細について</p> <p><b>1. はじめに</b></p> <p>外海から取水路及び放水路を経て各評価地点までの水路の水理特性を考慮した管路解析を以下の基準津波を入力波形として計算を実施した。</p> <p>3号炉取水路（上昇側）：波源B、波源E、波源F 1, 2号取水路（上昇側）：波源C、波源E、波源G、波源H 放水路（上昇側）：波源D 3号炉放水路（下降側）：波源I、波源J、波源K、波源L</p> <p>追面</p> <p><b>2. 管路解析に基づく評価</b></p> <p>管路解析を行うまでの不確かさの考慮として、表1に示す各項目についてパラメータスタディを実施し、入力津波の選定及び津波水位への影響を確認した。</p> <p>管路解析の計算条件を表2に、貝付着を考慮する範囲を図1に示す。取水路及び放水路の構造図を図2-1～図2-10に示す。また、基礎方程式等の数値計算手法は、土木学会（2016）に基づき次頁以降に示すとおりとする。</p> <p>取水経路・放水経路は開水路区間と管路区間が混在するため、微小区間に分割した水路の各部分が、開水路状態か管路状態かを遂次判定し、管路区間はその上下流端の開水路区間の水位（自由水面の水位）を境界条件として流量計算を行い、開水路区間は、開水路の一次元不定流の式により流量・水位を計算する。また、水槽及び立坑部は、水面面積を鉛直方向に積算した水位一容積関係を用いて、水槽及び立坑部に接続する水路の流量合計値から水位を算定する。なお、解析には先行審査で実績のある解析コード「SURGE」を使用した。</p>	【島根】基準津波の相違

## 泊発電所3号炉 DB基準適合性 比較表

実線・・設計方針又は設備構成等の相違  
波線・・記載表現、設備名称の相違（実質的な相違なし）

## 第5条 津波による損傷の防止

女川原子力発電所2号炉	島根原子力発電所2号炉	泊発電所3号炉	相違理由
<p>※貝の付着した場合は、水位上昇側で0.05m、水位下降側で0.02mの損失水頭を考慮する。 貝の付着がない場合は、水位上昇側で0.02m、水位下降側で0.01mの損失水頭を考慮する。</p> <p>比較のため、以降の図表と掲載順を入れ替え</p>	<p>解析モデルについて、管路は管路延長・管路勾配・管径を考慮したモデル化とし、各管路モデルで摩擦による損失を考慮する。摩擦損失以外の損失は次頁以降の解析モデルに示す各節点において考慮する。また、水槽及び立坑部は、水槽及び立坑部の面積を鉛直方向の分布に応じて考慮し、次頁以降の解析モデル図に示す池としてモデル化を行い、池モデル内においては、保守的に損失水頭は生じないこととする。</p> <p>管路計算モデルを図3に示す。</p> <p>管路計算は、取・放水口における水位の時刻歴波形を入力条件、取・放水槽におけるポンプ取・放水量（另機毎にポンプ運転時・停止時の取・放水量を設定）を境界条件として実施する。</p>	<p>解析モデルについて、管路は管路延長・管路勾配・管径を考慮したモデル化とし、各管路モデルで摩擦による損失を考慮する。摩擦損失以外の損失は次頁以降の解析モデルに示す各節点において考慮する。また、水槽及び立坑部は、水槽及び立坑部の面積を鉛直方向の分布に応じて考慮し、次頁以降の解析モデル図に示す池としてモデル化を行うこととする。</p> <p>管路解析モデルを図3-1～図3-4、モデル設定の考え方を表3-1～表3-4に示す。</p> <p>管路解析は、取水口・放水口における水位の時刻歴波形を入力条件として実施する。</p> <p>なお、放水施設に関しては放水池周辺の津波水位が放水池天端を上回ることから、放水池周辺から放水池内への流入も考慮する。入力条件とする水位の抽出位置、放水池断面図を図4及び図5に示す。放水口及び放水池の評価範囲は、放水口及び放水池前面位置として設定し、3号炉取水口及び1、2号炉取水口の評価範囲は、最大水位下降量を評価できるよう、最大水位下降量よりも水深が深くなる範囲まで評価範囲としている。入力波形については、上記の評価範囲の中で最大の水位変動量となる波形を抽出している。</p>	<p>【島根】設計方針の相違</p> <ul style="list-style-type: none"> <li>泊では、立坑部の損失による影響が大きいため、鉛直方向の損失水頭を考慮する。</li> </ul> <p>【島根】設計方針の相違</p> <ul style="list-style-type: none"> <li>泊では、循環水ポンプを、気象庁から発信される大津波警報とともに、運転員が手動で停止する運用とするため、ポンプ稼働状態について、境界条件として考慮しない。</li> </ul> <p>【島根】設計方針の相違</p> <ul style="list-style-type: none"> <li>泊では、基準津波の週上高が放水池天端を上回ることから、港内から放水池への流入を考慮し、放水池の外側に水位境界条件として与える。</li> </ul> <p>【島根】記載方針の相違</p> <ul style="list-style-type: none"> <li>泊では、分かりやすさの観点で、損失水頭発生位置を図示する（女川と同様）。</li> </ul> <p>【島根】基準津波の相違</p> <ul style="list-style-type: none"> <li>島根では、津波波源となる断層</li> </ul>
<p>表1～5及び図4～7に管路解析モデルに用いた各損失を示す。また、表6及び図8に各取放水設備の損失水頭表の整理結果を示す。</p>	<p>表3-4及び図4～10に管路計算モデルに用いた各損失を示す。また、表5に各取放水施設の損失水頭表の整理結果を示す。</p>	<p>表4～表7及び図6～図10に管路解析モデルに用いた各損失を示す。また、表8-1～表8-4に各取放水施設の損失水頭表の整理結果、図11-1～図11-4に損失水頭発生位置を示す。</p>	<p>水位上昇側の評価結果を表6に、水位下降側の評価結果を表7に示す。また、日本海東縁部に想定される地震による津波の</p>
			5条-別添1-添付5-2

## 泊発電所3号炉 DB基準適合性 比較表

実線・・設計方針又は設備構成等の相違  
波線・・記載表現、設備名称の相違（実質的な相違なし）

## 第5条 津波による損傷の防止

女川原子力発電所2号炉	島根原子力発電所2号炉	泊発電所3号炉	相違理由
	各評価地点の最大の時刻歴波形をそれぞれ図11及び図12に、 海域活断層から想定される地震による津波の各評価地点の最大 の時刻歴波形をそれぞれ図13及び図14に示す。	の時刻歴波形をそれぞれ図12及び図13に示す。	として、日本海東縁部に加えて 島根近傍の海域活断層を抽出し ている。

泊発電所3号炉 DB基準適合性 比較表

実線・・設計方針又は設備構成等の相違  
波線・・記載表現、設備名称の相違（実質的な相違なし）

第5条 津波による損傷の防止

女川原子力発電所2号炉	島根原子力発電所2号炉	泊発電所3号炉	相違理由																																																																																														
<p><b>表8 条件設定</b></p> <table border="1"> <thead> <tr> <th colspan="2">計算条件</th> </tr> </thead> <tbody> <tr> <td>1 防波堤の有無</td><td></td></tr> <tr> <td>2 護岸付近の敷地の沈下</td><td></td></tr> <tr> <td>3 貝付着の有無</td><td></td></tr> <tr> <td>4 スクリーン損失の有無</td><td></td></tr> </tbody> </table> <p><b>表7 管路解析における解析条件（津波時）</b></p> <table border="1"> <tbody> <tr> <td>計算領域</td> <td>取水路：海水口～海水ポンプ室（1, 2号炉） 海水口～海水ポンプ室～海水熱交換器建屋（3号炉） 放水路：放水口～放水立坑</td> </tr> <tr> <td>計算時間間隔<math>\Delta t</math></td> <td>0.0001 秒</td> </tr> <tr> <td>潮流のばらつき</td> <td>+0.10m（上昇側）、-0.10m（下降側）</td> </tr> <tr> <td>地盤変動</td> <td>地盤沈下量（+0.72m）を考慮（上昇側）、既存の考慮しない（下降側）</td> </tr> <tr> <td>取水条件</td> <td>ポンプ稼働条件<sup>※1</sup> 1号炉：補機冷却系海水ポンプ通常運転（1台運転）: 1,920m<sup>3</sup>/hr 2号炉：補機冷却系海水ポンプ通常運転（4台運転）: 8,390m<sup>3</sup>/hr 3号炉：補機冷却系海水ポンプ通常運転（4台運転）: 7,800m<sup>3</sup>/hr ポンプ切り替え条件 1号炉：海水ポンプ室水位0.1P.-1.4m以下で停止（m<sup>3</sup>/hr） 2号炉：海水ポンプ室水位0.1P.-1.9m以下で2台運転（3,800m<sup>3</sup>/hr）に切替え 3号炉：海水ポンプ室水位0.1P.-2.125m以下で2台運転（3,800m<sup>3</sup>/hr）に切替え</td> </tr> <tr> <td>放水条件 (ポンプ流量)</td> <td>1, 3号炉：補機冷却系海水ポンプ流量がそのまま放水されるものとして設定 2号炉：0.010m<sup>3</sup>/hr（補機冷却系路途中にフランジゲートが設置されていることが ある。0m<sup>3</sup>/hrとする。）</td> </tr> <tr> <td>摩擦損失係数 (マニングの粗度係数)</td> <td><math>n=0.010m^{0.5}/s</math>（貝付着なし） <math>n=0.019m^{0.5}/s</math>（貝付着あり）</td> </tr> <tr> <td>貝の付着代</td> <td>取水路 -10cm（1号炉）、15cm（2, 3号炉） 放水路 -10cm（1, 2, 3号炉）</td> </tr> <tr> <td>局所損失係数</td> <td>電力土木技術協会(1995)：火力・原子力発電所土木構造物の設計・補修改訂版- 手引(1987)：発電水力演習 土木学会(1999)：水理公式集(平成11年版)による</td> </tr> <tr> <td>想定する潮位条件</td> <td>水位上昇側：朝望平均高潮位EL.-0.58mに潮位のばらつき+0.14mを考慮 水位下降側：朝望平均高潮位EL.-0.62mに潮位のばらつき-0.17mを考慮</td> </tr> <tr> <td>地盤変動条件</td> <td>海溝断層から想定される地震による津波について、0.34mの隆起を考慮 日本海東部に想定される地震による津波について、津波が起きる前の海溝断層による地盤変動として0.34mの隆起を考慮</td> </tr> <tr> <td>計算時間</td> <td>日本海東部に想定される地震による津波は地震発生後3時間まで 海溝断層から想定される地震による津波は地盤変動による0.34mの隆起を考慮</td> </tr> <tr> <td>考慮する潮位</td> <td>上昇側：朝望平均高潮位（0.P.+L-43m） 下降側：朝望平均高潮位（0.P.-0.14m）</td> </tr> <tr> <td>計算時間</td> <td>地震発生から4時間</td> </tr> </tbody> </table> <p>※1 泊波興利時にポンプは停止していることから、補機冷却系海水ポンプの運動のみ考慮する。</p> <p>比較のため、図表の掲載順序を入れ替え</p>	計算条件		1 防波堤の有無		2 護岸付近の敷地の沈下		3 貝付着の有無		4 スクリーン損失の有無		計算領域	取水路：海水口～海水ポンプ室（1, 2号炉） 海水口～海水ポンプ室～海水熱交換器建屋（3号炉） 放水路：放水口～放水立坑	計算時間間隔 $\Delta t$	0.0001 秒	潮流のばらつき	+0.10m（上昇側）、-0.10m（下降側）	地盤変動	地盤沈下量（+0.72m）を考慮（上昇側）、既存の考慮しない（下降側）	取水条件	ポンプ稼働条件 <sup>※1</sup> 1号炉：補機冷却系海水ポンプ通常運転（1台運転）: 1,920m <sup>3</sup> /hr 2号炉：補機冷却系海水ポンプ通常運転（4台運転）: 8,390m <sup>3</sup> /hr 3号炉：補機冷却系海水ポンプ通常運転（4台運転）: 7,800m <sup>3</sup> /hr ポンプ切り替え条件 1号炉：海水ポンプ室水位0.1P.-1.4m以下で停止（m <sup>3</sup> /hr） 2号炉：海水ポンプ室水位0.1P.-1.9m以下で2台運転（3,800m <sup>3</sup> /hr）に切替え 3号炉：海水ポンプ室水位0.1P.-2.125m以下で2台運転（3,800m <sup>3</sup> /hr）に切替え	放水条件 (ポンプ流量)	1, 3号炉：補機冷却系海水ポンプ流量がそのまま放水されるものとして設定 2号炉：0.010m <sup>3</sup> /hr（補機冷却系路途中にフランジゲートが設置されていることが ある。0m <sup>3</sup> /hrとする。）	摩擦損失係数 (マニングの粗度係数)	$n=0.010m^{0.5}/s$ （貝付着なし） $n=0.019m^{0.5}/s$ （貝付着あり）	貝の付着代	取水路 -10cm（1号炉）、15cm（2, 3号炉） 放水路 -10cm（1, 2, 3号炉）	局所損失係数	電力土木技術協会(1995)：火力・原子力発電所土木構造物の設計・補修改訂版- 手引(1987)：発電水力演習 土木学会(1999)：水理公式集(平成11年版)による	想定する潮位条件	水位上昇側：朝望平均高潮位EL.-0.58mに潮位のばらつき+0.14mを考慮 水位下降側：朝望平均高潮位EL.-0.62mに潮位のばらつき-0.17mを考慮	地盤変動条件	海溝断層から想定される地震による津波について、0.34mの隆起を考慮 日本海東部に想定される地震による津波について、津波が起きる前の海溝断層による地盤変動として0.34mの隆起を考慮	計算時間	日本海東部に想定される地震による津波は地震発生後3時間まで 海溝断層から想定される地震による津波は地盤変動による0.34mの隆起を考慮	考慮する潮位	上昇側：朝望平均高潮位（0.P.+L-43m） 下降側：朝望平均高潮位（0.P.-0.14m）	計算時間	地震発生から4時間	<p><b>表1 条件設定</b></p> <table border="1"> <thead> <tr> <th colspan="2">計算条件</th> </tr> </thead> <tbody> <tr> <td>1 貝付着の有無</td><td></td></tr> <tr> <td>2 循環水ポンプ稼働の有無</td><td></td></tr> </tbody> </table> <p><b>表2 管路計算における計算条件</b></p> <table border="1"> <tbody> <tr> <td>項目</td> <td>計算条件</td> </tr> <tr> <td>計算領域</td> <td>【取水施設】 1, 2号炉 取水口～取水管～取水槽 3号炉 取水口～取水管～取水槽 【放水施設】 放水口～放水路～放水槽</td> </tr> <tr> <td>計算時間間隔</td> <td>0.01秒</td> </tr> <tr> <td>取水槽境界条件 (ポンプ取水量)</td> <td>1号炉 流環水ポンプ停止時: <math>1.0m^3/s</math><sup>※1</sup> 2号炉 流環水ポンプ運転時: <math>50m^3/s</math>, 流環水ポンプ停止時: <math>2.3m^3/s</math> 3号炉 流環水ポンプ運転時: <math>90m^3/s</math><sup>※2</sup>, 流環水ポンプ停止時: <math>3m^3/s</math></td> </tr> <tr> <td>摩擦損失係数 (マニングの粗度係数)</td> <td>【取水施設】 (貝付着なし) 1・2号炉取水口<sup>※3</sup>, 1・2号炉取水管<sup>※4</sup>: <math>0.01m^{-1/2} \cdot s</math> 3号炉取水口<sup>※5</sup>, 3号炉取水管<sup>※6</sup>: <math>0.015m^{-1/2} \cdot s</math> (貝付着あり) 1・2号炉取水口<sup>※7</sup>, 1・2号炉取水管<sup>※8</sup>: 1・2号炉取水口<sup>※9</sup>, 1・2号炉取水管<sup>※10</sup>: <math>0.02 m^{-1/2} \cdot s</math> 【放水施設】 (貝付着なし) 1~3号炉放水口<sup>※11</sup>, 1~3号炉放水管<sup>※12</sup>: <math>0.01m^{-1/2} \cdot s</math> 1~3号炉放水口<sup>※13</sup>, 1~3号炉放水管<sup>※14</sup>: <math>0.015m^{-1/2} \cdot s</math> (貝付着あり) 1~3号炉放水口<sup>※15</sup>, 1~3号炉放水管<sup>※16</sup>: <math>0.02 m^{-1/2} \cdot s</math></td> </tr> <tr> <td>貝の付着代</td> <td>点機械車を踏まえ10mを考慮</td> </tr> <tr> <td>局所損失係数</td> <td>電力土木技術協会(1995)：火力・原子力発電所土木構造物の設計・補修改訂版- 手引(1987)：発電水力演習 土木学会(1999)：水理公式集(平成11年版)による</td> </tr> <tr> <td>想定する潮位条件</td> <td>水位上昇側：朝望平均高潮位EL.-0.58mに潮位のばらつき+0.14m、泊発電所と 若内港の潮位差+0.01mを考慮 水位下降側：朝望平均高潮位T.P.-0.14mに潮位のばらつき-0.19mを考慮</td> </tr> <tr> <td>地盤変動条件</td> <td>水位上昇側：基準地盤変動に伴う地盤変動による0.18mの沈降及び津波波浪の地 震動に伴う地盤変動による0.21mの沈降の合計である0.39mの沈降を考慮す る。 水位下降側：基準地盤変動に伴う地盤変動による0.07mの隆起及び余剰変動による0.12mの隆起の合計 である1.15mの隆起を考慮する。</td> </tr> <tr> <td>計算時間</td> <td>地震発生後3時間まで</td> </tr> </tbody> </table> <p>※1：1号及び2号炉取水路底部狭小工事を計画中であり、計算条件は、必要に応じて見直す。 ※2：1号及び2号炉放水路底部狭小工事を計画中であり、計算条件は、必要に応じて見直す。 ※3：電力土木技術協会(1995)：火力・原子力発電所土木構造物の設計・補修改訂版-に基づき設定。</p>	計算条件		1 貝付着の有無		2 循環水ポンプ稼働の有無		項目	計算条件	計算領域	【取水施設】 1, 2号炉 取水口～取水管～取水槽 3号炉 取水口～取水管～取水槽 【放水施設】 放水口～放水路～放水槽	計算時間間隔	0.01秒	取水槽境界条件 (ポンプ取水量)	1号炉 流環水ポンプ停止時: $1.0m^3/s$ <sup>※1</sup> 2号炉 流環水ポンプ運転時: $50m^3/s$ , 流環水ポンプ停止時: $2.3m^3/s$ 3号炉 流環水ポンプ運転時: $90m^3/s$ <sup>※2</sup> , 流環水ポンプ停止時: $3m^3/s$	摩擦損失係数 (マニングの粗度係数)	【取水施設】 (貝付着なし) 1・2号炉取水口 <sup>※3</sup> , 1・2号炉取水管 <sup>※4</sup> : $0.01m^{-1/2} \cdot s$ 3号炉取水口 <sup>※5</sup> , 3号炉取水管 <sup>※6</sup> : $0.015m^{-1/2} \cdot s$ (貝付着あり) 1・2号炉取水口 <sup>※7</sup> , 1・2号炉取水管 <sup>※8</sup> : 1・2号炉取水口 <sup>※9</sup> , 1・2号炉取水管 <sup>※10</sup> : $0.02 m^{-1/2} \cdot s$ 【放水施設】 (貝付着なし) 1~3号炉放水口 <sup>※11</sup> , 1~3号炉放水管 <sup>※12</sup> : $0.01m^{-1/2} \cdot s$ 1~3号炉放水口 <sup>※13</sup> , 1~3号炉放水管 <sup>※14</sup> : $0.015m^{-1/2} \cdot s$ (貝付着あり) 1~3号炉放水口 <sup>※15</sup> , 1~3号炉放水管 <sup>※16</sup> : $0.02 m^{-1/2} \cdot s$	貝の付着代	点機械車を踏まえ10mを考慮	局所損失係数	電力土木技術協会(1995)：火力・原子力発電所土木構造物の設計・補修改訂版- 手引(1987)：発電水力演習 土木学会(1999)：水理公式集(平成11年版)による	想定する潮位条件	水位上昇側：朝望平均高潮位EL.-0.58mに潮位のばらつき+0.14m、泊発電所と 若内港の潮位差+0.01mを考慮 水位下降側：朝望平均高潮位T.P.-0.14mに潮位のばらつき-0.19mを考慮	地盤変動条件	水位上昇側：基準地盤変動に伴う地盤変動による0.18mの沈降及び津波波浪の地 震動に伴う地盤変動による0.21mの沈降の合計である0.39mの沈降を考慮す る。 水位下降側：基準地盤変動に伴う地盤変動による0.07mの隆起及び余剰変動による0.12mの隆起の合計 である1.15mの隆起を考慮する。	計算時間	地震発生後3時間まで	<p><b>表1 条件設定</b></p> <table border="1"> <thead> <tr> <th colspan="2">計算条件</th> </tr> </thead> <tbody> <tr> <td>1 貝付着の有無</td><td></td></tr> <tr> <td>2 スクリーン損失の有無<sup>※</sup> ※取水施設のみを対象</td><td></td></tr> </tbody> </table> <p><b>表2 管路解析における計算条件</b></p> <table border="1"> <tbody> <tr> <td>項目</td> <td>計算条件</td> </tr> <tr> <td>計算領域</td> <td>【取水施設】 1号炉 取水口～取水管～取水ビット<sup>※1</sup> 3号炉 取水口～取水管～取水ビット 【放水施設】 1号炉 取水口～放水管～放水ビット<sup>※2</sup> 3号炉 放水口～放水管～放水ビット</td> </tr> <tr> <td>計算時間間隔</td> <td>0.005 秒</td> </tr> <tr> <td>取水ビット倒壊界条件 (ポンプ取水量)</td> <td>1号炉: 4.0m<sup>3</sup>/s (水路1連当たり 1.0m<sup>3</sup>/s)<sup>※1</sup> 3号炉: 2.0m<sup>3</sup>/s (水路1連当たり 1.0m<sup>3</sup>/s)</td> </tr> <tr> <td>放水ビット倒壊界条件 (ポンプ放流量)</td> <td>1号炉: 4.0m<sup>3</sup>/s 3号炉: 2.0m<sup>3</sup>/s</td> </tr> <tr> <td>【取水施設】 (貝付着なし) 【放水施設】 (貝付着なし)</td> <td>【取水施設】 (貝付着なし): <math>0.014m^{1/2} \cdot s^{1/3}</math> 【放水施設】 (貝付着なし): <math>0.020m^{1/2} \cdot s^{1/3}</math></td> </tr> <tr> <td>摩擦損失係数 (マニングの粗度係数)</td> <td>【取水施設】 (貝付着なし): <math>0.014m^{1/2} \cdot s^{1/3}</math> 【放水施設】 (貝付着なし): <math>0.020m^{1/2} \cdot s^{1/3}</math></td> </tr> <tr> <td>貝の付着代</td> <td>点機械車を踏まえ10mを考慮</td> </tr> <tr> <td>局所損失係数</td> <td>電力土木技術協会(1995)：火力・原子力発電所土木構造物の設計・補修改訂版- 手引(1987)：発電水力演習 土木学会(1999)：水理公式集(平成11年版)による</td> </tr> <tr> <td>想定する潮位条件</td> <td>水位上昇側：朝望平均高潮位T.P.-0.58mに潮位のばらつき+0.14m、泊発電所と 若内港の潮位差+0.01mを考慮 水位下降側：朝望平均高潮位T.P.-0.14mに潮位のばらつき-0.19mを考慮</td> </tr> <tr> <td>地盤変動条件</td> <td>水位上昇側：基準地盤変動に伴う地盤変動による0.18mの沈降及び津波波浪の地 震動に伴う地盤変動による0.21mの沈降の合計である0.39mの沈降を考慮す る。 水位下降側：基準地盤変動に伴う地盤変動による0.07mの隆起及び余剰変動による0.12mの隆起の合計 である1.15mの隆起を考慮する。</td> </tr> <tr> <td>計算時間</td> <td>地震発生後3時間まで</td> </tr> </tbody> </table> <p>※1：1号及び2号炉取水路底部狭小工事を計画中であり、計算条件は、必要に応じて見直す。 ※2：1号及び2号炉放水路底部狭小工事を計画中であり、計算条件は、必要に応じて見直す。</p>	計算条件		1 貝付着の有無		2 スクリーン損失の有無 <sup>※</sup> ※取水施設のみを対象		項目	計算条件	計算領域	【取水施設】 1号炉 取水口～取水管～取水ビット <sup>※1</sup> 3号炉 取水口～取水管～取水ビット 【放水施設】 1号炉 取水口～放水管～放水ビット <sup>※2</sup> 3号炉 放水口～放水管～放水ビット	計算時間間隔	0.005 秒	取水ビット倒壊界条件 (ポンプ取水量)	1号炉: 4.0m <sup>3</sup> /s (水路1連当たり 1.0m <sup>3</sup> /s) <sup>※1</sup> 3号炉: 2.0m <sup>3</sup> /s (水路1連当たり 1.0m <sup>3</sup> /s)	放水ビット倒壊界条件 (ポンプ放流量)	1号炉: 4.0m <sup>3</sup> /s 3号炉: 2.0m <sup>3</sup> /s	【取水施設】 (貝付着なし) 【放水施設】 (貝付着なし)	【取水施設】 (貝付着なし): $0.014m^{1/2} \cdot s^{1/3}$ 【放水施設】 (貝付着なし): $0.020m^{1/2} \cdot s^{1/3}$	摩擦損失係数 (マニングの粗度係数)	【取水施設】 (貝付着なし): $0.014m^{1/2} \cdot s^{1/3}$ 【放水施設】 (貝付着なし): $0.020m^{1/2} \cdot s^{1/3}$	貝の付着代	点機械車を踏まえ10mを考慮	局所損失係数	電力土木技術協会(1995)：火力・原子力発電所土木構造物の設計・補修改訂版- 手引(1987)：発電水力演習 土木学会(1999)：水理公式集(平成11年版)による	想定する潮位条件	水位上昇側：朝望平均高潮位T.P.-0.58mに潮位のばらつき+0.14m、泊発電所と 若内港の潮位差+0.01mを考慮 水位下降側：朝望平均高潮位T.P.-0.14mに潮位のばらつき-0.19mを考慮	地盤変動条件	水位上昇側：基準地盤変動に伴う地盤変動による0.18mの沈降及び津波波浪の地 震動に伴う地盤変動による0.21mの沈降の合計である0.39mの沈降を考慮す る。 水位下降側：基準地盤変動に伴う地盤変動による0.07mの隆起及び余剰変動による0.12mの隆起の合計 である1.15mの隆起を考慮する。	計算時間	地震発生後3時間まで	<p>【女川、島根】設計方針の相違</p> <ul style="list-style-type: none"> <li>発電所立地及びプラント設備の相違により、解析条件が異なる。</li> </ul>
計算条件																																																																																																	
1 防波堤の有無																																																																																																	
2 護岸付近の敷地の沈下																																																																																																	
3 貝付着の有無																																																																																																	
4 スクリーン損失の有無																																																																																																	
計算領域	取水路：海水口～海水ポンプ室（1, 2号炉） 海水口～海水ポンプ室～海水熱交換器建屋（3号炉） 放水路：放水口～放水立坑																																																																																																
計算時間間隔 $\Delta t$	0.0001 秒																																																																																																
潮流のばらつき	+0.10m（上昇側）、-0.10m（下降側）																																																																																																
地盤変動	地盤沈下量（+0.72m）を考慮（上昇側）、既存の考慮しない（下降側）																																																																																																
取水条件	ポンプ稼働条件 <sup>※1</sup> 1号炉：補機冷却系海水ポンプ通常運転（1台運転）: 1,920m <sup>3</sup> /hr 2号炉：補機冷却系海水ポンプ通常運転（4台運転）: 8,390m <sup>3</sup> /hr 3号炉：補機冷却系海水ポンプ通常運転（4台運転）: 7,800m <sup>3</sup> /hr ポンプ切り替え条件 1号炉：海水ポンプ室水位0.1P.-1.4m以下で停止（m <sup>3</sup> /hr） 2号炉：海水ポンプ室水位0.1P.-1.9m以下で2台運転（3,800m <sup>3</sup> /hr）に切替え 3号炉：海水ポンプ室水位0.1P.-2.125m以下で2台運転（3,800m <sup>3</sup> /hr）に切替え																																																																																																
放水条件 (ポンプ流量)	1, 3号炉：補機冷却系海水ポンプ流量がそのまま放水されるものとして設定 2号炉：0.010m <sup>3</sup> /hr（補機冷却系路途中にフランジゲートが設置されていることが ある。0m <sup>3</sup> /hrとする。）																																																																																																
摩擦損失係数 (マニングの粗度係数)	$n=0.010m^{0.5}/s$ （貝付着なし） $n=0.019m^{0.5}/s$ （貝付着あり）																																																																																																
貝の付着代	取水路 -10cm（1号炉）、15cm（2, 3号炉） 放水路 -10cm（1, 2, 3号炉）																																																																																																
局所損失係数	電力土木技術協会(1995)：火力・原子力発電所土木構造物の設計・補修改訂版- 手引(1987)：発電水力演習 土木学会(1999)：水理公式集(平成11年版)による																																																																																																
想定する潮位条件	水位上昇側：朝望平均高潮位EL.-0.58mに潮位のばらつき+0.14mを考慮 水位下降側：朝望平均高潮位EL.-0.62mに潮位のばらつき-0.17mを考慮																																																																																																
地盤変動条件	海溝断層から想定される地震による津波について、0.34mの隆起を考慮 日本海東部に想定される地震による津波について、津波が起きる前の海溝断層による地盤変動として0.34mの隆起を考慮																																																																																																
計算時間	日本海東部に想定される地震による津波は地震発生後3時間まで 海溝断層から想定される地震による津波は地盤変動による0.34mの隆起を考慮																																																																																																
考慮する潮位	上昇側：朝望平均高潮位（0.P.+L-43m） 下降側：朝望平均高潮位（0.P.-0.14m）																																																																																																
計算時間	地震発生から4時間																																																																																																
計算条件																																																																																																	
1 貝付着の有無																																																																																																	
2 循環水ポンプ稼働の有無																																																																																																	
項目	計算条件																																																																																																
計算領域	【取水施設】 1, 2号炉 取水口～取水管～取水槽 3号炉 取水口～取水管～取水槽 【放水施設】 放水口～放水路～放水槽																																																																																																
計算時間間隔	0.01秒																																																																																																
取水槽境界条件 (ポンプ取水量)	1号炉 流環水ポンプ停止時: $1.0m^3/s$ <sup>※1</sup> 2号炉 流環水ポンプ運転時: $50m^3/s$ , 流環水ポンプ停止時: $2.3m^3/s$ 3号炉 流環水ポンプ運転時: $90m^3/s$ <sup>※2</sup> , 流環水ポンプ停止時: $3m^3/s$																																																																																																
摩擦損失係数 (マニングの粗度係数)	【取水施設】 (貝付着なし) 1・2号炉取水口 <sup>※3</sup> , 1・2号炉取水管 <sup>※4</sup> : $0.01m^{-1/2} \cdot s$ 3号炉取水口 <sup>※5</sup> , 3号炉取水管 <sup>※6</sup> : $0.015m^{-1/2} \cdot s$ (貝付着あり) 1・2号炉取水口 <sup>※7</sup> , 1・2号炉取水管 <sup>※8</sup> : 1・2号炉取水口 <sup>※9</sup> , 1・2号炉取水管 <sup>※10</sup> : $0.02 m^{-1/2} \cdot s$ 【放水施設】 (貝付着なし) 1~3号炉放水口 <sup>※11</sup> , 1~3号炉放水管 <sup>※12</sup> : $0.01m^{-1/2} \cdot s$ 1~3号炉放水口 <sup>※13</sup> , 1~3号炉放水管 <sup>※14</sup> : $0.015m^{-1/2} \cdot s$ (貝付着あり) 1~3号炉放水口 <sup>※15</sup> , 1~3号炉放水管 <sup>※16</sup> : $0.02 m^{-1/2} \cdot s$																																																																																																
貝の付着代	点機械車を踏まえ10mを考慮																																																																																																
局所損失係数	電力土木技術協会(1995)：火力・原子力発電所土木構造物の設計・補修改訂版- 手引(1987)：発電水力演習 土木学会(1999)：水理公式集(平成11年版)による																																																																																																
想定する潮位条件	水位上昇側：朝望平均高潮位EL.-0.58mに潮位のばらつき+0.14m、泊発電所と 若内港の潮位差+0.01mを考慮 水位下降側：朝望平均高潮位T.P.-0.14mに潮位のばらつき-0.19mを考慮																																																																																																
地盤変動条件	水位上昇側：基準地盤変動に伴う地盤変動による0.18mの沈降及び津波波浪の地 震動に伴う地盤変動による0.21mの沈降の合計である0.39mの沈降を考慮す る。 水位下降側：基準地盤変動に伴う地盤変動による0.07mの隆起及び余剰変動による0.12mの隆起の合計 である1.15mの隆起を考慮する。																																																																																																
計算時間	地震発生後3時間まで																																																																																																
計算条件																																																																																																	
1 貝付着の有無																																																																																																	
2 スクリーン損失の有無 <sup>※</sup> ※取水施設のみを対象																																																																																																	
項目	計算条件																																																																																																
計算領域	【取水施設】 1号炉 取水口～取水管～取水ビット <sup>※1</sup> 3号炉 取水口～取水管～取水ビット 【放水施設】 1号炉 取水口～放水管～放水ビット <sup>※2</sup> 3号炉 放水口～放水管～放水ビット																																																																																																
計算時間間隔	0.005 秒																																																																																																
取水ビット倒壊界条件 (ポンプ取水量)	1号炉: 4.0m <sup>3</sup> /s (水路1連当たり 1.0m <sup>3</sup> /s) <sup>※1</sup> 3号炉: 2.0m <sup>3</sup> /s (水路1連当たり 1.0m <sup>3</sup> /s)																																																																																																
放水ビット倒壊界条件 (ポンプ放流量)	1号炉: 4.0m <sup>3</sup> /s 3号炉: 2.0m <sup>3</sup> /s																																																																																																
【取水施設】 (貝付着なし) 【放水施設】 (貝付着なし)	【取水施設】 (貝付着なし): $0.014m^{1/2} \cdot s^{1/3}$ 【放水施設】 (貝付着なし): $0.020m^{1/2} \cdot s^{1/3}$																																																																																																
摩擦損失係数 (マニングの粗度係数)	【取水施設】 (貝付着なし): $0.014m^{1/2} \cdot s^{1/3}$ 【放水施設】 (貝付着なし): $0.020m^{1/2} \cdot s^{1/3}$																																																																																																
貝の付着代	点機械車を踏まえ10mを考慮																																																																																																
局所損失係数	電力土木技術協会(1995)：火力・原子力発電所土木構造物の設計・補修改訂版- 手引(1987)：発電水力演習 土木学会(1999)：水理公式集(平成11年版)による																																																																																																
想定する潮位条件	水位上昇側：朝望平均高潮位T.P.-0.58mに潮位のばらつき+0.14m、泊発電所と 若内港の潮位差+0.01mを考慮 水位下降側：朝望平均高潮位T.P.-0.14mに潮位のばらつき-0.19mを考慮																																																																																																
地盤変動条件	水位上昇側：基準地盤変動に伴う地盤変動による0.18mの沈降及び津波波浪の地 震動に伴う地盤変動による0.21mの沈降の合計である0.39mの沈降を考慮す る。 水位下降側：基準地盤変動に伴う地盤変動による0.07mの隆起及び余剰変動による0.12mの隆起の合計 である1.15mの隆起を考慮する。																																																																																																
計算時間	地震発生後3時間まで																																																																																																

泊発電所3号炉 DB基準適合性 比較表

実線・・設計方針又は設備構成等の相違
波線・・記載表現、設備名称の相違（実質的な相違なし）

第5条 津波による損傷の防止

女川原子力発電所2号炉	島根原子力発電所2号炉	泊発電所3号炉	相違理由
<p>※基礎方程式 管路計算では、非定常の開水路及び管路流の連続式・運動方程式を用いた。</p> <p>【開水路】 ・運動方程式</p> $\frac{\partial Q}{\partial t} + \frac{\partial}{\partial x} \left( \frac{Q^2}{A} \right) + gA \frac{\partial H}{\partial x} + gA \left( \frac{n^2  v  v}{R^{4/3}} + \frac{1}{\Delta x} f \frac{ h  v}{2g} \right) = 0$ <p>・連続式</p> $\frac{\partial A}{\partial t} + \frac{\partial Q}{\partial x} = 0$ <p>【管路】 ・運動方程式</p> $\frac{\partial Q}{\partial t} + gA \frac{\partial H}{\partial x} + gA \left( \frac{n^2  v  v}{R^{4/3}} + \frac{1}{\Delta x} f \frac{ h  v}{2g} \right) = 0$ <p>・連続式</p> $\frac{\partial Q}{\partial x} = 0$ <p>t : 時間, Q : 流量, v : 流速, x : 管底に沿った座標, A : 流水断面積 H : 圧力水頭+位置水頭（管路の場合）、位置水頭（開水路の場合） x : 管底高, g : 重力加速度, n : マニングの粗度係数, R : 径深 <math>\Delta x</math> : 水路の流れ方向の長さ, f : 局所損失係数</p> <p>【水槽及び立坑部】 ・連続式</p> $A_p \frac{dH_p}{dt} = Q_s$ <p>ここに A<sub>p</sub> : 水槽の平面積（水位の関数となる） H<sub>p</sub> : 水槽水位 Q<sub>s</sub> : 水槽へ流入する流量の総和 t : 時間</p> <p>【開水路・管路の区别】 </p> <p>原子力発電所の津波評価技術 2016 (土木学会)より引用</p>	<p>※基礎方程式 管路解析では、非定常の開水路及び管路流の連続式・運動方程式を用いた。</p> <p>【開水路】 ・運動方程式</p> $\frac{\partial Q}{\partial t} + \frac{\partial}{\partial x} \left( \frac{Q^2}{A} \right) + gA \frac{\partial H}{\partial x} + gA \left( \frac{n^2  v  v}{R^{4/3}} + \frac{1}{\Delta x} f \frac{ h  v}{2g} \right) = 0$ <p>・連続式</p> $\frac{\partial A}{\partial t} + \frac{\partial Q}{\partial x} = 0$ <p>【管路】 ・運動方程式</p> $\frac{\partial Q}{\partial t} + gA \frac{\partial H}{\partial x} + gA \left( \frac{n^2  v  v}{R^{4/3}} + \frac{1}{\Delta x} f \frac{ h  v}{2g} \right) = 0$ <p>・連続式</p> $\frac{\partial Q}{\partial x} = 0$ <p>ここに, t : 時間, Q : 流量, v : 流速, x : 管底に沿った座標, A : 流水断面積 H : 圧力水頭+位置水頭（管路の場合）、位置水頭（開水路の場合） x : 管底高, g : 重力加速度, n : マニングの粗度係数, R : 径深 <math>\Delta x</math> : 水路の流れ方向の長さ, f : 局所損失係数</p> <p>【水槽及び立坑部】 ・連続式</p> $A_p \frac{dH_p}{dt} = Q_s$ <p>ここに A<sub>p</sub> : 水槽の平面積（水位の関数となる）, H<sub>p</sub> : 水槽水位 Q<sub>s</sub> : 水槽へ流入する流量の総和, t : 時間</p> <p>【開水路・管路の区别】 </p> <p>原子力発電所の津波評価技術 2016 (土木学会)より引用</p>	<p>【女川】 設計方針の相違 ・泊では、管路モデルにて管路解析を実施する（島根と同様）。 ・女川では、スロットモデルにて管路解析を実施しているため、資料構成全般が異なる。</p>	

泊発電所3号炉 DB基準適合性 比較表

実線・・設計方針又は設備構成等の相違  
波線・・記載表現、設備名称の相違（実質的な相違なし）

第5条 津波による損傷の防止

女川原子力発電所2号炉	島根原子力発電所2号炉	泊発電所3号炉	相違理由
			【女川、島根】施設構造の相違 ・各サイトで取放水施設の構造が異なる。
<b>図1 取放水路配置平面図</b>			
 — 貝付着考慮範囲	 — 貝付着考慮範囲	 — 貝付着考慮範囲	 — 貝付着考慮範囲
<b>図2(1) 1号炉取水路 ①-①断面図</b>	<b>図1 貝付着考慮範囲</b>	<b>図1 貝付着考慮範囲</b>	<b>図1 貝付着考慮範囲</b>
 — 貝付着考慮範囲			
<b>図2(2) 2号炉取水路 ②-②断面図</b>			
 — 貝付着考慮範囲			
<b>図2(3) 3号炉取水路 ③-③断面図</b>			
<small>枠囲みの内容は機密情報に属しますので公開できません。</small>			

## 泊発電所3号炉 DB基準適合性 比較表

実線・・設計方針又は設備構成等の相違

波線・・記載表現、設備名称の相違（実質的な相違なし）

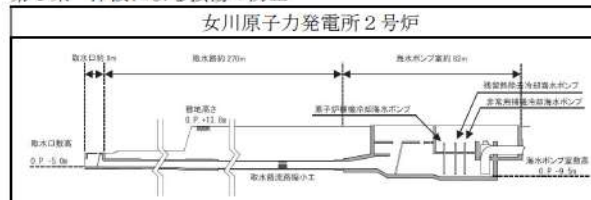
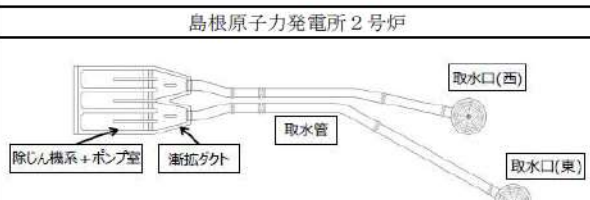
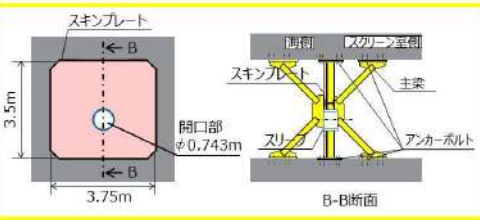
## 第5条 津波による損傷の防止

女川原子力発電所2号炉	島根原子力発電所2号炉	泊発電所3号炉	相違理由
 <p>図2(4) 1号炉放水路①'-①'断面図</p>			<p>【女川】施設構造の相違 ・各サイトで取放水施設の構造が異なる。</p>
 <p>図2(5) 2号炉放水路②'-②'断面図</p>			
 <p>図2(6) 3号炉放水路③'-③'断面図</p> <p>本図示す内容は防護上の観点から公開できません。</p>			

泊発電所3号炉 DB基準適合性 比較表

実線・・設計方針又は設備構成等の相違  
波線・・記載表現、設備名称の相違（実質的な相違なし）

第5条 津波による損傷の防止

女川原子力発電所2号炉	島根原子力発電所2号炉	泊発電所3号炉	相違理由
			<b>【女川】 設計方針の相違</b> <ul style="list-style-type: none"><li>泊では、管路モデルにて管路解析を実施する（島根と同様）。</li><li>女川では、スロットモデルにて管路解析を実施しているため、資料構成全般が異なる。</li></ul> <b>【女川、島根】 施設構造の相違</b> <ul style="list-style-type: none"><li>各サイトで取放水施設の構造が異なる。</li></ul>
<b>図3(1)</b> 水路縦断図（1号炉取水路 A-A断面図）	<b>図2-1</b> 1号炉取水施設平面図	<b>図2-1</b> 1号及び2号炉取水施設平面図	
			<b>【島根】 記載方針の相違</b> <ul style="list-style-type: none"><li>泊では、分かりやすさの観点で、モデルとして考慮する流路縮小工について、概念図を示す。</li></ul>
	<b>図2-2</b> 1号炉取水施設断面図	<b>図2-2</b> 1号及び2号炉取水施設断面図	
			<b>【島根】 記載方針の相違</b> <ul style="list-style-type: none"><li>泊では、分かりやすさの観点で、モデルとして考慮する流路縮小工について、概念図を示す。</li></ul>
		<b>図2-3</b> 1号及び2号炉取水路流路縮小工概念図	
			

泊発電所3号炉 DB基準適合性 比較表

実線・・設計方針又は設備構成等の相違  
波線・・記載表現、設備名称の相違（実質的な相違なし）

第5条 津波による損傷の防止

女川原子力発電所2号炉	島根原子力発電所2号炉	泊発電所3号炉	相違理由
			<p>【女川】 設計方針の相違</p> <ul style="list-style-type: none"><li>・泊では、管路モデルにて管路解析を実施する（島根と同様）。</li><li>・女川では、スロットモデルにて管路解析を実施しているため、資料構成全般が異なる。</li></ul> <p>【女川、島根】 施設構造の相違</p> <ul style="list-style-type: none"><li>・各サイトで取放水施設の構造が異なる。</li></ul>
			<p>図 2-4 3号炉取水施設平面図</p> <p>図 2-5 3号炉取水施設断面図</p>
			<p>■ 囲みの内容は機密情報に属しますので公開できません。</p>

泊発電所3号炉 DB基準適合性 比較表

実線・・設計方針又は設備構成等の相違

波線・・記載表現、設備名称の相違（実質的な相違なし）

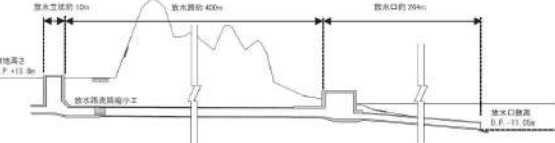
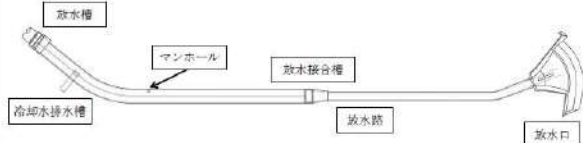
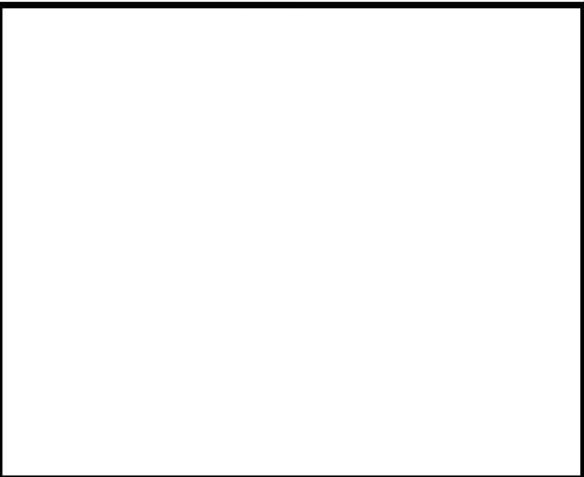
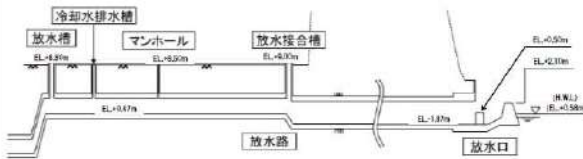
第5条 津波による損傷の防止

女川原子力発電所2号炉	島根原子力発電所2号炉	泊発電所3号炉	相違理由
<p>図3(3) 水路縦断図（3号炉取水路 C-C断面図）</p>	<p>図2-5 3号炉取水施設平面図</p>	<p>図2-6 3号炉取水施設断面図</p>	<p>【女川、島根】施設構造の相違 ・各サイトで取水施設の構造が異なる。</p>

泊発電所3号炉 DB基準適合性 比較表

実線・・設計方針又は設備構成等の相違  
波線・・記載表現、設備名称の相違（実質的な相違なし）

第5条 津波による損傷の防止

女川原子力発電所2号炉	島根原子力発電所2号炉	泊発電所3号炉	相違理由
			<p><b>【女川】 設計方針の相違</b></p> <ul style="list-style-type: none"> <li>泊では、管路モデルにて管路解析を実施する（島根と同様）。</li> <li>女川では、スロットモデルにて管路解析を実施しているため、資料構成全般が異なる。</li> </ul> <p><b>【女川、島根】 施設構造の相違</b></p> <ul style="list-style-type: none"> <li>各サイトで取放水施設の構造が異なる。</li> </ul>
<b>図 3(4) 水路縦断図（1号炉放水路 A'-A' 断面図）</b>	<b>図 2-7 1号炉放水施設平面図</b>	<b>図 2-6 1号及び2号炉放水施設平面図</b>	
			<p><b>図 2-7 1号及び2号炉放水施設断面図</b> (上図：1号炉放水施設、中図：2号炉放水施設、下図：放水口)</p> <p><b>図 2-8 1号及び2号炉放水路逆流防止設備概念図</b></p> <p>■ 桁組みの内容は機密情報に属しますので公開できません。</p>
	<b>図 2-8 1号炉放水施設断面図</b>	<b>図 2-7 1号及び2号炉放水施設断面図</b> (上図：1号炉放水施設、中図：2号炉放水施設、下図：放水口)	

泊発電所3号炉 DB基準適合性 比較表

実線・・設計方針又は設備構成等の相違  
波線・・記載表現、設備名称の相違（実質的な相違なし）

第5条 津波による損傷の防止

女川原子力発電所2号炉	島根原子力発電所2号炉	泊発電所3号炉	相違理由
			【女川】設計方針の相違 ・泊では、管路モデルにて管路解析を実施する（島根と同様）。 ・女川では、スロットモデルにて管路解析を実施しているため、資料構成全般が異なる。 【女川、島根】施設構造の相違 ・各サイトで取放水施設の構造が異なる。
			【女川】設計方針の相違 ・泊では、管路モデルにて管路解析を実施する（島根と同様）。 ・女川では、スロットモデルにて管路解析を実施しているため、資料構成全般が異なる。 【女川、島根】施設構造の相違 ・各サイトで取放水施設の構造が異なる。
			枠囲みの内容は機密情報に属しますので公開できません。

## 泊発電所3号炉 DB基準適合性 比較表

実線・・設計方針又は設備構成等の相違  
波線・・記載表現、設備名称の相違（実質的な相違なし）

## 第5条 津波による損傷の防止

女川原子力発電所2号炉	島根原子力発電所2号炉	泊発電所3号炉	相違理由
<p>図3(6) 水路縦断図（3号炉放水路 C'-C' 断面図）</p>	<p>図2-11 3号炉放水施設平面図</p>	<p>図2-12 3号炉放水施設断面図</p>	<p>【女川、島根】施設構造の相違 ・各サイトで取放水施設の構造が異なる。</p>

## 第5条 津波による損傷の防止

女川原子力発電所2号炉

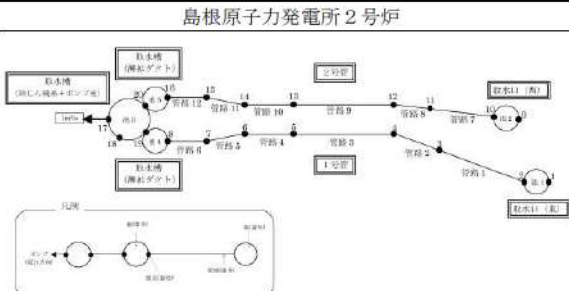


図3-1 1号炉取水施設の管路計算モデル図

泊発電所 3号炉

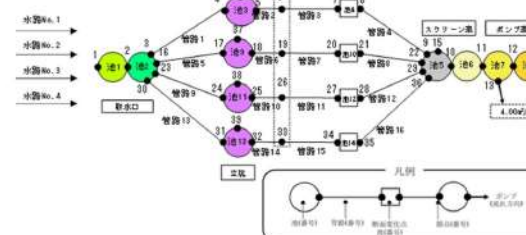


図3-1 1号及び2号炉取水施設の管路解析モデル図

### 相違理由

- ・泊では、管路モデルにて管路解析を実施する（島根と同様）。
  - ・女川では、スロットモデルにて管路解析を実施しているため、資料構成全般が異なる。

【島根】施設構造の相違

- ・各サイトで取放水施設の構造が異なる。(なお、比較のため、島根の図3-1～図3-6の掲載順を入れ替えている)

【島根】記載方針の相違

- 泊では、分かりやすさの観点で、各構造部におけるモデル設定の考え方について、表で補足する。

表3-1 1号及び2号炉取水施設のモデル設定の考え方

箇 所		設定の考え方
取水口	池 1, 2	貯留堰による水位差を再現するため、池 1と池 2に分けて設定している。 池 1は取水口における水位の時刻歴波形を入力条件として与えている。
立坑	池 3, 9, 11, 13	—
断面変化点	池 4, 10, 12, 14	断面変化点として、池を設定している。
流路縮小工	節点 6, 19, 36, 33	流路縮小工の水路形状はモデル化せず、流路縮小工による急縮・急拡および摩擦損失を、流路縮小工設置位置となる節点に断面換算した損失係数として考慮している。
スクリーン室 及びポンプ室	池 5, 6, 7, 8	スクリーン重及びポンプ室内の各地点の詳細を詳細に行うため、池 5～池 8に分けて設定している。 なお、トランシッシュピットは池 8の中で考慮している。

泊発電所3号炉 DB基準適合性 比較表

実線・・設計方針又は設備構成等の相違  
波線・・記載表現、設備名称の相違（実質的な相違なし）

第5条 津波による損傷の防止

女川原子力発電所2号炉	島根原子力発電所2号炉	泊発電所3号炉	相違理由
			<p><b>【女川】設計方針の相違</b></p> <ul style="list-style-type: none"> <li>泊では、管路モデルにて管路解析を実施する（島根と同様）。</li> <li>女川では、スロットモデルにて管路解析を実施しているため、資料構成全般が異なる。</li> </ul> <p><b>【島根】施設構造の相違</b></p> <ul style="list-style-type: none"> <li>各サイトで取放水施設の構造が異なる。</li> </ul> <p><b>【島根】記載方針の相違</b></p> <ul style="list-style-type: none"> <li>泊では、分かりやすさの観点で、各構造部におけるモデル設定の考え方について、表で補足する。</li> </ul>

図3-2 2号炉取水施設の管路計算モデル図

図3-2 3号炉取水施設の管路解析モデル図

表3-2 3号炉取水施設のモデル設定の考え方

箇 所	設定の考え方
取水口	池1, 2 貯留槽による水位差を再現するため、池1と池2に分けて設定している。 池1は取水口における水位の時刻歴波形を入力条件として与えている。
立坑	池3, 10 —
断面変化点	池4, 11 断面変化点として、池を設定している。
スクリーン室及びポンプ室	池5, 6, 7, 8 スクリーン室及びポンプ室内の各地点の評価を詳細に行うため、池5～池8に分けて設定している。 なお、トラッシュピットは池5の中で考慮している。
貯水プール	池9 <水位上昇時> スクリーン室（池5）の水位が上昇し、T.P.10.3mを超えた直後、貯水プール（池9）のT.P.10.3m以深に流入する。その後、貯水プール（池9）の水位がT.P.10.3mに到達した場合は、スクリーン室（池5）及び貯水プール（池9）の水位がT.P.10.3mから同時に上昇する（取水ピットスクリーン室防水壁内）設定をしている。 <水位下降時> T.P.10.3mに到達するまでは、スクリーン室（池5）及び貯水プール（池9）の水位が同時に下降し。その後、スクリーン室（池5）のみの水位がT.P.10.3m以深まで下降する。このとき、以下に示す排水管をモデル化せず、貯水プール（池9）の水位はT.P.10.3mのまま下降しない設定とすることで、保守的評価条件としている。 排水管仕様、ルートについては検討中であるが、取水ピットスクリーン室（池5）の鉛直方向の開口面積と比較して、十分に小さい設計とする。 そのため、排水管からの津波の流入の影響は十分に小さく、評価結果に影響しないと考えられるため、排水管はモデル化しない。
貯水プールから取水ピットスクリーン室へと繋がる排水管	—

## 泊発電所3号炉 DB基準適合性 比較表

実線・・設計方針又は設備構成等の相違  
波線・・記載表現、設備名称の相違（実質的な相違なし）

## 第5条 津波による損傷の防止

女川原子力発電所2号炉	島根原子力発電所2号炉	泊発電所3号炉	相違理由
			<p><b>【島根】施設構造の相違</b></p> <ul style="list-style-type: none"> <li>各サイトで取放水施設の構造が異なる。</li> </ul>

図3-3 3号炉取水施設の管路計算モデル図

泊発電所3号炉 DB基準適合性 比較表

実線・・設計方針又は設備構成等の相違  
波線・・記載表現、設備名称の相違（実質的な相違なし）

第5条 津波による損傷の防止

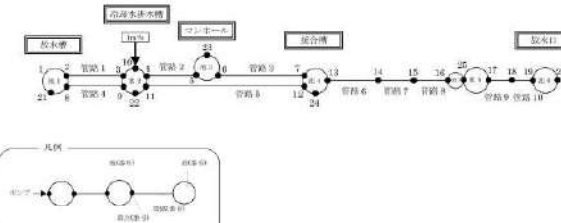
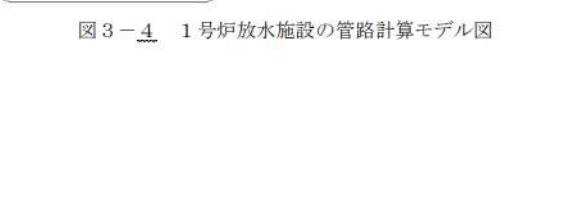
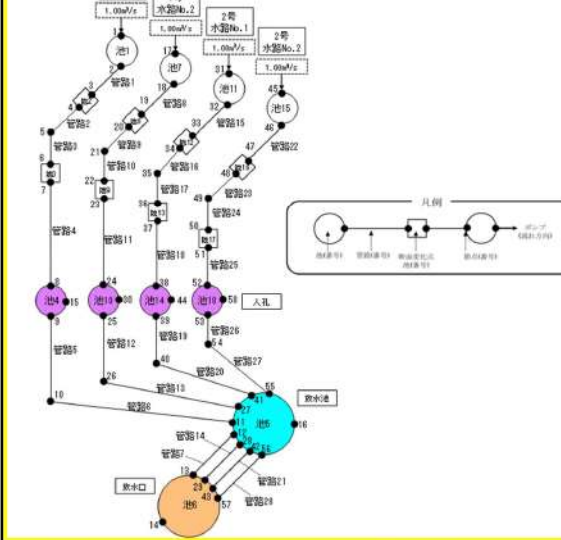
女川原子力発電所2号炉	島根原子力発電所2号炉	泊発電所3号炉	相違理由
 <p>図3-4 1号炉放水施設の管路計算モデル図</p>	 <p>図3-3 1号及び2号炉放水施設の管路解析モデル図</p>	 <p>図3-3 1号及び2号炉放水施設の管路解析モデル図</p>	<p><b>【女川】設計方針の相違</b></p> <ul style="list-style-type: none"> <li>泊では、管路モデルにて管路解析を実施する（島根と同様）。</li> <li>女川では、スロットモデルにて管路解析を実施しているため、資料構成全般が異なる。</li> </ul> <p><b>【島根】施設構造の相違</b></p> <ul style="list-style-type: none"> <li>各サイトで取放水施設の構造が異なる。</li> </ul>

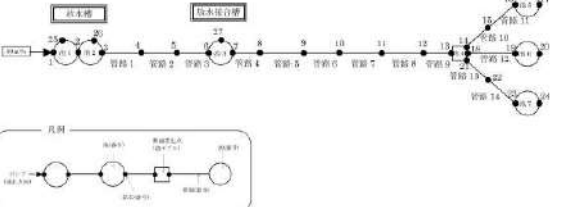
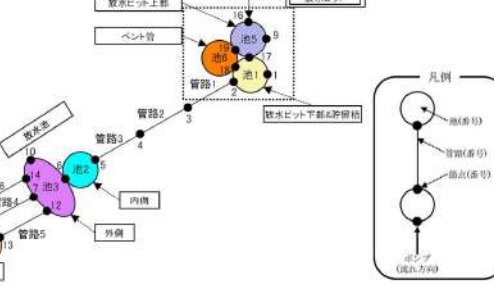
表3-3 1号及び2号炉放水施設のモデル設定の考え方

箇 所	設定の考え方
放水口	放水口における水位の時刻歴波形を入力条件として与える。
放水池	-
人孔	池4,10,14,18
断面変化点	池3,9,13,17 既設防潮堤下部に放水路の補強を実施しており、断面が変化するため、補強部前後に断面変化点として、池を設定している。 池2,8,12,16
逆流防止設備	池1,7,11,15 逆流防止設備設置位置における波压を算定するため、水頭を確認できるよう、池を設定している。
設置位置	-

泊発電所3号炉 DB基準適合性 比較表

実線・・設計方針又は設備構成等の相違  
波線・・記載表現、設備名称の相違（実質的な相違なし）

第5条 津波による損傷の防止

女川原子力発電所2号炉	島根原子力発電所2号炉	泊発電所3号炉	相違理由										
			<p><b>【女川】設計方針の相違</b></p> <ul style="list-style-type: none"> <li>泊では、管路モデルにて管路解析を実施する（島根と同様）。</li> <li>女川では、スロットモデルにて管路解析を実施しているため、資料構成全般が異なる。</li> </ul> <p><b>【島根】施設構造の相違</b></p> <ul style="list-style-type: none"> <li>各サイトで取放水施設の構造が異なる。</li> </ul>										
	<b>図3-5 2号炉放水施設の管路計算モデル図</b>	<b>図3-4 3号炉放水施設の管路解析モデル図</b>	<p><b>【島根】記載方針の相違</b></p> <ul style="list-style-type: none"> <li>泊では、分かりやすさの観点で、各構造部におけるモデル設定の考え方について、表で補足する。</li> </ul> <table border="1"> <thead> <tr> <th>箇 所</th><th>設定の考え方</th></tr> </thead> <tbody> <tr> <td>放水口</td><td>放水口における水位の時刻歴波形を入力条件として与える。</td></tr> <tr> <td>放水池</td><td>放水池内側と放水池外側の間にある堰による水位差を再現するため、池2と池3に分けて設定している。</td></tr> <tr> <td>放水ピット (3号炉放水ピット流路縮小工)</td><td>放水ピット下部～開口部～貯留槽を池1、放水ピット上部を池5として設定する。</td></tr> <tr> <td>3号炉放水ピット 流路縮小工におけるペント管</td><td>ペント管は約0.4mの2本を想定しているが、解析モデルでは1つの池モデルとして取り扱う。</td></tr> </tbody> </table> <p><b>【島根】施設構造の相違</b></p> <ul style="list-style-type: none"> <li>各サイトで取放水施設の構造が異なる。</li> </ul>	箇 所	設定の考え方	放水口	放水口における水位の時刻歴波形を入力条件として与える。	放水池	放水池内側と放水池外側の間にある堰による水位差を再現するため、池2と池3に分けて設定している。	放水ピット (3号炉放水ピット流路縮小工)	放水ピット下部～開口部～貯留槽を池1、放水ピット上部を池5として設定する。	3号炉放水ピット 流路縮小工におけるペント管	ペント管は約0.4mの2本を想定しているが、解析モデルでは1つの池モデルとして取り扱う。
箇 所	設定の考え方												
放水口	放水口における水位の時刻歴波形を入力条件として与える。												
放水池	放水池内側と放水池外側の間にある堰による水位差を再現するため、池2と池3に分けて設定している。												
放水ピット (3号炉放水ピット流路縮小工)	放水ピット下部～開口部～貯留槽を池1、放水ピット上部を池5として設定する。												
3号炉放水ピット 流路縮小工におけるペント管	ペント管は約0.4mの2本を想定しているが、解析モデルでは1つの池モデルとして取り扱う。												

## 泊発電所3号炉 DB基準適合性 比較表

実線・・設計方針又は設備構成等の相違  
波線・・記載表現、設備名称の相違（実質的な相違なし）

## 第5条 津波による損傷の防止

女川原子力発電所2号炉	島根原子力発電所2号炉	泊発電所3号炉	相違理由
		<p>※港内から放水池への入力波形抽出範囲は、放水池への津波流入方向を考慮し、放水池近傍の海域として設定した。</p>	<p>【島根】設計方針の相違</p> <ul style="list-style-type: none"> <li>泊では、基準津波の週上高が放水池天端を上回ることから、港内から放水池への流入を考慮し、放水池の外側に水位境界条件として与える。</li> </ul>

図4 入力波形の抽出位置

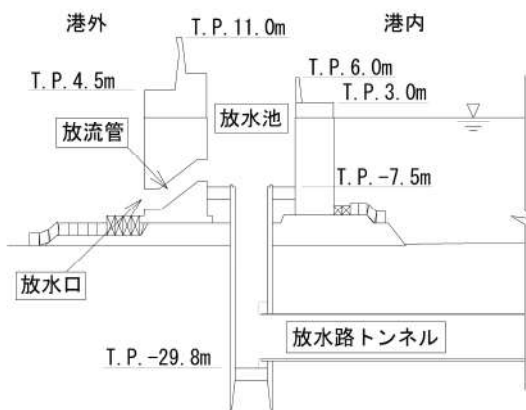


図5 放水池断面図（A-A断面）

泊発電所3号炉 DB基準適合性 比較表

実線・・設計方針又は設備構成等の相違  
波線・・記載表現、設備名称の相違（実質的な相違なし）

第5条 津波による損傷の防止

女川原子力発電所2号炉

表1 損失水頭算定公式

	公式	係数	根拠
流入損失	$h_{in} = f_{in} \frac{V_1^2}{2g}$	$f_{in}$ : 流入損失係数 [国際流入方程式と流入損失係数] $V_1$ : 流入時の流速 (m/s)	千秋信一 (1967) : p.61~62
流出損失	$h_{out} = f_{out} \frac{V^2}{2g}$	$f_{out}$ : 流出損失係数 (=1.0) $V$ : 流出時の流速 (m/s)	土木学会 (1999) : p.375
摩擦損失	$h_f = n^2 \cdot V^2 \cdot \frac{L}{R^{4/3}}$	$V$ : 平均流速 (m/s) $L$ : 水路の長さ (m) $R$ : 水路の径深 (m) $n$ : 粗度係数 ( $m^{1/2} \cdot s$ ) 〔式で粗度係数の算式が付いている粗度係数〕	電力土木技術協会 (1995) : p.788, p.829
急縮損失	$h_{sr} = f_{sr} \frac{V_1^2}{2g}$	$f_{sr}$ : 急縮損失係数 [表3急縮損失係数] $V_1$ : 急縮前の流速 (m/s) $D_1$ : 急縮前の管径 (m) $D_2$ : 急縮後の管径 (m)	千秋信一 (1967) : p.87
急拡損失	$h_{sw} = f_{sw} \frac{V_1^2}{2g}$	$f_{sw}$ : 急拡損失係数 [表4急拡損失係数] $V_1$ : 急拡前の流速 (m/s) $D_1$ : 急拡前の管径 (m) $D_2$ : 急拡後の管径 (m)	千秋信一 (1967) : p.83
渦れ損失	$h_{sw} = f_{sw} \cdot f_{sw} \frac{V_1^2}{2g}$	$f_{sw}$ : 渦れ損失係数 [式5渦れ損失係数] $V_1$ : 渦れ損失前の平均流速 (m/s) $D_1$ : 渦れ損失前の管径 (m) $D_2$ : 渦れ損失後の管径 (m)	千秋信一 (1967) : p.83
漸縮損失	$h_{sr} = f_{sr} \frac{V_2^2}{2g}$	$f_{sr}$ : 減縮損失係数 [表6漸縮損失係数] $V_2$ : 減縮前の平均流速 (m/s) $A_1$ : 減縮前の管断面積 ( $m^2$ ) $A_2$ : 減縮後の管断面積 ( $m^2$ )	千秋信一 (1967) : p.84
漸拡損失	$h_{sw} = f_{sw} \frac{V_2^2}{2g}$	$f_{sw}$ : 減拡損失係数 [表7漸拡損失係数] $V_2$ : 減拡後の平均流速 (m/s)	千秋信一 (1967) : p.88
曲がり損失	$h_{bend} = f_{bend} \times f_{bend} \frac{V^2}{2g}$	$f_{bend}$ : [式8]の曲率半径 $\rho$ と管径 $D$ の比に たどり出る曲がりの中心角 $\theta$ の場合の $f_{bend}$ (任意の曲がり中心角 $\theta$ の場合の損失と 中心角 $90^\circ$ の場合の損失との比) $V$ : 渡内平均流速 (m/s)	千秋信一 (1967) : p.86~88
スクリーン損失	$h_{screen} = f_{screen} \frac{V_1^2}{2g}$	$f_{screen}$ : スクリーン損失係数 $V_1$ : スクリーン上流側での平均流速 (m/s)	千秋信一 (1967) : p.94~96
トネリオングスクリーン損失	$h_{tunnel} = f_{tunnel} \frac{V_1^2}{2g}$	$f_{tunnel}$ : スクリーン損失係数 $V_1$ : スクリーン上流側での平均流速 (m/s)	電力土木技術協会 (1995) : p.832
折帶部	$k = \frac{1}{2g} \frac{V_p V_g}{\frac{V_p}{2g}} = \frac{1}{2g} \frac{V_p V_g}{2g(V_p V_g)} (f_v - Q)(f_v - Q)$	$V_p$ : 渡水口通過流速 (m/s) $V_g$ : 渡水口通過流速 $f_v$ : 渡水口内外の流速差 (m/s) $Q$ : 渡水用水量 ( $m^3/s$ )	千秋信一 (1967) : p.290~293

島根原子力発電所2号炉

表3-1 損失水頭算定公式

	公式	係数	根拠
①流入損失	$h_{in} = f_{in} \frac{V^2}{2g}$	$f_{in}$ : 流入損失係数 $V$ : 管内流速 (m/s)	土木学会水理公式集 (平成11年版) p.374-375 [図4参照]
②流出損失	$h_{out} = f_{out} \frac{V^2}{2g}$	$f_{out}$ : 流出損失係数 $V$ : 管内流速 (m/s)	土木学会水理公式集 (平成11年版) p.375
③摩擦損失	$h_f = n^2 V^2 \frac{L}{R^{4/3}}$	$V$ : 平均流速 (m/s) $L$ : 水路の長さ (m) $R$ : 水路の径深 (m) $n$ : 粗度係数 ( $m^{1/2} \cdot s$ )	火力原子力発電所土木構造物の設計 p.829
④急拡損失	$h_{sr} = f_{sr} \frac{V_1^2}{2g}$ $f_{sr} = \left(1 - \left(\frac{A_1}{A_2}\right)^2\right)$	$f_{sr}$ : 急縮損失係数 $V_1$ : 急縮前の平均流速 (m/s) $A_1$ : 急縮前の管断面積 ( $m^2$ ) $A_2$ : 急縮後の管断面積 ( $m^2$ )	火力原子力発電所土木構造物の設計 p.829
⑤漸縮損失	$h_{sw} = f_{sw} \frac{V_2^2}{2g}$	$f_{sw}$ : 減縮損失係数 $V_2$ : 急縮後の平均流速 (m/s)	火力原子力発電所土木構造物の設計 p.829-830 [図4参照]
⑥漸拡損失	$h_{sw} = f_{sw} \frac{V_1^2}{2g}$	$f_{sw}$ : 減拡損失係数 [式5漸拡損失係数] $V_1$ : 減拡前の平均流速 (m/s) $A_1$ : 減拡前の管断面積 ( $m^2$ ) $A_2$ : 減拡後の管断面積 ( $m^2$ )	火力原子力発電所土木構造物の設計 p.830 [図5参照]
⑦漸縮損失	$h_{sr} = f_{sr} \frac{V_2^2}{2g}$	$f_{sr}$ : 減縮損失係数 $V_2$ : 減縮後の平均流速 (m/s)	電気水力演習 p.84 [図6参照]
⑧屈折損失	$h_{bend} = f_{bend} \frac{V^2}{2g}$ $f_{bend} = 0.946 \sin^2 \frac{\alpha}{2} + 2.05 \sin^4 \frac{\alpha}{2}$	$f_{bend}$ : 屈折損失係数 $V$ : 管内流速 (m/s) $\alpha$ : 屈折角 (°)	電気水力演習 p.88 [図7参照]

泊発電所3号炉

表4 損失水頭算定公式

	公式	係数	根拠
流入損失	$h_{in} = f_{in} \frac{V^2}{2g}$	$f_{in}$ : 流入損失係数 (管路断面積による値) $V$ : 管内流速 (m/s)	土木学会 (1988) p.374-375 [図8参照]
流出損失	$h_{out} = f_{out} \frac{V^2}{2g}$	$f_{out}$ : 流出損失係数 (=1.0) $V$ : 管内流速 (m/s)	土木学会 (1988) p.375
摩擦損失	$h_f = n^2 \cdot V^2 \frac{L}{R^{4/3}}$	$V$ : 平均流速 (m/s) $L$ : 水路の長さ (m) $R$ : 水路の径深 (m) $n$ : 粗度係数 ( $m^{1/2} \cdot s$ )	電力土木技術協会 (1985) p.783, 808, 829 [表5及び表8参照]
急縮損失	$h_{sr} = f_{sr} \frac{V_1^2}{2g}$ $f_{sr} = \left(1 - \left(\frac{A_1}{A_2}\right)^2\right)$	$f_{sr}$ : 急縮損失係数 $V_1$ : 急縮前の平均流速 (m/s) $A_1$ : 急縮前の管断面積 ( $m^2$ ) $A_2$ : 急縮後の管断面積 ( $m^2$ )	電力土木技術協会 (1985) p.829
急拡損失	$h_{sw} = f_{sw} \frac{V_2^2}{2g}$	$f_{sw}$ : 急拡損失係数 (管路断面積による値) $V_2$ : 急拡後の平均流速 (m/s)	電力土木技術協会 (1985) p.829-830 [表7参照]
漸縮損失	$h_{sr} = f_{sr} \left(1 - \left(\frac{A_1}{A_2}\right)^2\right)^2 \frac{V_1^2}{2g}$	$f_{sr}$ : 減縮損失係数 $V_1$ : 減縮前の平均流速 (m/s) $A_1$ : 減縮前の管断面積 ( $m^2$ ) $A_2$ : 減縮後の管断面積 ( $m^2$ )	電力土木技術協会 (1985) p.830 [図7参照]
漸拡損失	$h_{sw} = f_{sw} \frac{V_2^2}{2g}$	$f_{sw}$ : 減拡損失係数 (管路断面積による値) $V_2$ : 減拡後の平均流速 (m/s)	千秋 (1987) p.83-84 [図8参照]
屈折損失	$h_{bend} = f_{bend} \frac{V^2}{2g}$ $f_{bend} = 0.946 \sin^2 \frac{\theta}{2} + 2.05 \sin^4 \frac{\theta}{2}$	$f_{bend}$ : 屈折損失係数 $V$ : 管内流速 (m/s) $\theta$ : 屈折角 (°)	千秋 (1987) p.88 [図9参照]
曲がり損失	$h_{bend} = f_{bend} \frac{V^2}{2g}$ $f_{bend} = 0.131 + 0.1632 \left(\frac{D}{\rho}\right)^{7/2}$	$f_{bend}$ : 曲がりの曲率半径 $\rho$ と管径 $D$ の比によって決まる損失係数 (90°の場合) $f_{bend}$ : 任意の曲がり中心角 $\theta$ の場合の損失と中心角 90° の場合の損失との比 $V$ : 管内平均流速 (m/s) $\theta$ : 曲がり中心角 (°)	千秋 (1987) p.88-89 [図10参照]
可動式スクリーン損失	$h_{screen} = f_{screen} \frac{V_0^2}{2g}$	$f_{screen}$ : 管内オリフィスの損失係数 $V_0$ : オリフィス通過流速 (m/s)	電力土木技術協会 (1985) p.832-833

※引用文献を以下に示す

- ・土木学会 (1999) : 土木学会水理公式集 (平成11年版)
- ・電力土木技術協会 (1995) : 火力原子力発電所土木構造物の設計
- ・千秋信一 (1967) : 発電水力演習

【島根】記載方針の相違

- ・泊では、参考文献について、本箇所及び本資料の巻末に示す (女川と同様)。

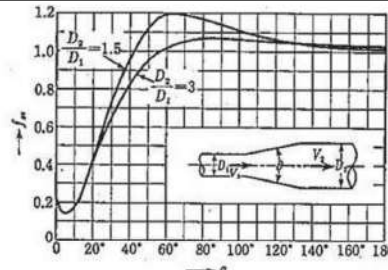
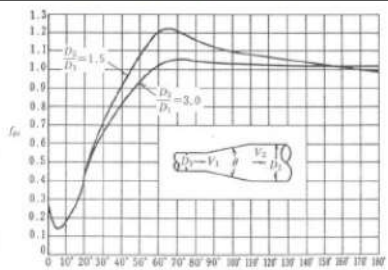
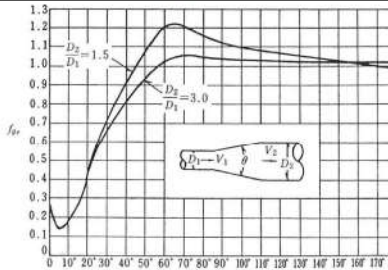
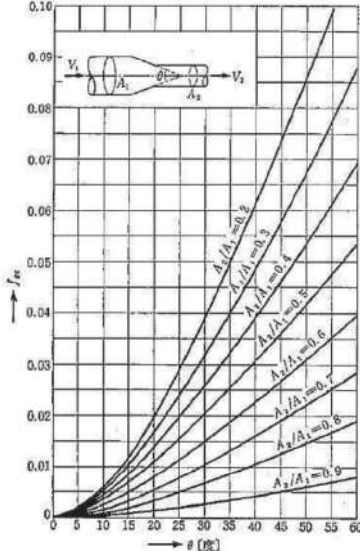
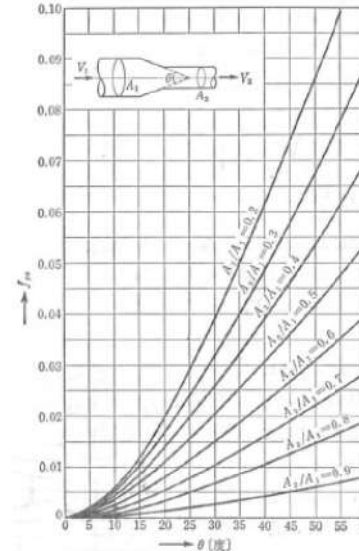
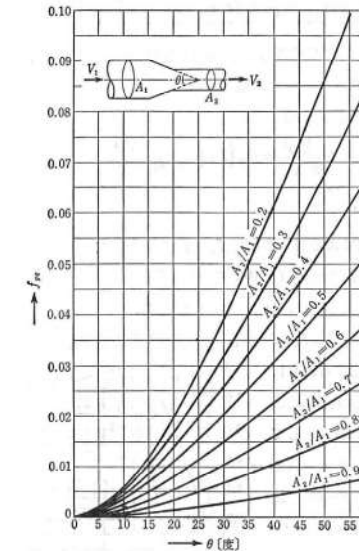
## 第5条 津波による損傷の防止

女川原子力発電所2号炉	島根原子力発電所2号炉	泊発電所3号炉	相違理由						
<b>表3-2 損失水頭算定公式</b>									
⑨ 曲がり損失	<table border="1" style="width: 100%; border-collapse: collapse;"> <tr> <td style="width: 15%;">公式</td> <td style="width: 35%;">係数</td> <td style="width: 50%;">根拠</td> </tr> <tr> <td><math>h_s = f_{s1} \cdot f_{s2} \frac{V^2}{2g}</math></td> <td><math>V</math>:管内平均流速(m/s) <math>f_{s1}</math>:曲がりの曲率半径<math>\rho</math>と管径<math>D</math>との比によって決まる損失係数 <math>f_{s2} = (\theta / 90)^{1/2}</math></td> <td>発電水力演習 p.86-87 【図8参照】</td> </tr> </table>	公式	係数	根拠	$h_s = f_{s1} \cdot f_{s2} \frac{V^2}{2g}$	$V$ :管内平均流速(m/s) $f_{s1}$ :曲がりの曲率半径 $\rho$ と管径 $D$ との比によって決まる損失係数 $f_{s2} = (\theta / 90)^{1/2}$	発電水力演習 p.86-87 【図8参照】		【島根】設計方針の相違 ・取放水施設に係る構造の相違により、管路解析にて考慮する損失が異なる。
公式	係数	根拠							
$h_s = f_{s1} \cdot f_{s2} \frac{V^2}{2g}$	$V$ :管内平均流速(m/s) $f_{s1}$ :曲がりの曲率半径 $\rho$ と管径 $D$ との比によって決まる損失係数 $f_{s2} = (\theta / 90)^{1/2}$	発電水力演習 p.86-87 【図8参照】							
⑩ ビヤーによる損失	<table border="1" style="width: 100%; border-collapse: collapse;"> <tr> <td style="width: 15%;">公式</td> <td style="width: 35%;">係数</td> <td style="width: 50%;">根拠</td> </tr> <tr> <td><math>\Delta h_p' = \left[ \frac{1}{C^2} \left( \frac{b_1}{b_2} \right)^2 - 1 \right] \frac{V_1^2}{2g}</math></td> <td><math>V_1</math>:ビヤー上流側の流速(m/s) <math>C</math>:ビヤーの水平断面形状による係数 <math>b_1</math>:ビヤー直前の水路幅(m) <math>b_2</math>:水路幅からビヤー幅の総計を控除した幅(m)</td> <td>発電水力演習 p.92-98 【図9参照】</td> </tr> </table>	公式	係数	根拠	$\Delta h_p' = \left[ \frac{1}{C^2} \left( \frac{b_1}{b_2} \right)^2 - 1 \right] \frac{V_1^2}{2g}$	$V_1$ :ビヤー上流側の流速(m/s) $C$ :ビヤーの水平断面形状による係数 $b_1$ :ビヤー直前の水路幅(m) $b_2$ :水路幅からビヤー幅の総計を控除した幅(m)	発電水力演習 p.92-98 【図9参照】		
公式	係数	根拠							
$\Delta h_p' = \left[ \frac{1}{C^2} \left( \frac{b_1}{b_2} \right)^2 - 1 \right] \frac{V_1^2}{2g}$	$V_1$ :ビヤー上流側の流速(m/s) $C$ :ビヤーの水平断面形状による係数 $b_1$ :ビヤー直前の水路幅(m) $b_2$ :水路幅からビヤー幅の総計を控除した幅(m)	発電水力演習 p.92-98 【図9参照】							
⑪ 分流による損失	<table border="1" style="width: 100%; border-collapse: collapse;"> <tr> <td style="width: 15%;">公式</td> <td style="width: 35%;">係数</td> <td style="width: 50%;">根拠</td> </tr> <tr> <td><math>H_a - H_f = f_{d,s} \times \frac{V_a^2}{2g}</math> <math>H_a - H_g = f_{d,g} \times \frac{V_g^2}{2g}</math></td> <td><math>H_a, H_f</math>:分流前後の本管動水位(位置水頭と圧力水頭の和)(m) <math>H_g</math>:支管動水位(m) <math>V_a</math>:分流前の本管内流速(m/s) <math>f_{d,s}, f_{d,g}</math>:分流損失係数</td> <td>土木学会水理公式集(平成11年版) p.376-377 【図10参照】</td> </tr> </table>	公式	係数	根拠	$H_a - H_f = f_{d,s} \times \frac{V_a^2}{2g}$ $H_a - H_g = f_{d,g} \times \frac{V_g^2}{2g}$	$H_a, H_f$ :分流前後の本管動水位(位置水頭と圧力水頭の和)(m) $H_g$ :支管動水位(m) $V_a$ :分流前の本管内流速(m/s) $f_{d,s}, f_{d,g}$ :分流損失係数	土木学会水理公式集(平成11年版) p.376-377 【図10参照】		
公式	係数	根拠							
$H_a - H_f = f_{d,s} \times \frac{V_a^2}{2g}$ $H_a - H_g = f_{d,g} \times \frac{V_g^2}{2g}$	$H_a, H_f$ :分流前後の本管動水位(位置水頭と圧力水頭の和)(m) $H_g$ :支管動水位(m) $V_a$ :分流前の本管内流速(m/s) $f_{d,s}, f_{d,g}$ :分流損失係数	土木学会水理公式集(平成11年版) p.376-377 【図10参照】							
⑫ 合流による損失	<table border="1" style="width: 100%; border-collapse: collapse;"> <tr> <td style="width: 15%;">公式</td> <td style="width: 35%;">係数</td> <td style="width: 50%;">根拠</td> </tr> <tr> <td><math>H_a - H_f = f_{c,a} \times \frac{V_f^2}{2g}</math> <math>H_g - H_f = f_{c,g} \times \frac{V_f^2}{2g}</math></td> <td><math>H_a, H_f</math>:合流前後の本管動水位(m) <math>H_g</math>:支管動水位(m) <math>V_f</math>:合流後の本管内流速(m/s) <math>f_{c,a}, f_{c,g}</math>:合流損失係数</td> <td>土木学会水理公式集(平成11年版) p.377 【図10参照】</td> </tr> </table>	公式	係数	根拠	$H_a - H_f = f_{c,a} \times \frac{V_f^2}{2g}$ $H_g - H_f = f_{c,g} \times \frac{V_f^2}{2g}$	$H_a, H_f$ :合流前後の本管動水位(m) $H_g$ :支管動水位(m) $V_f$ :合流後の本管内流速(m/s) $f_{c,a}, f_{c,g}$ :合流損失係数	土木学会水理公式集(平成11年版) p.377 【図10参照】		
公式	係数	根拠							
$H_a - H_f = f_{c,a} \times \frac{V_f^2}{2g}$ $H_g - H_f = f_{c,g} \times \frac{V_f^2}{2g}$	$H_a, H_f$ :合流前後の本管動水位(m) $H_g$ :支管動水位(m) $V_f$ :合流後の本管内流速(m/s) $f_{c,a}, f_{c,g}$ :合流損失係数	土木学会水理公式集(平成11年版) p.377 【図10参照】							
⑬ 分岐による損失	<table border="1" style="width: 100%; border-collapse: collapse;"> <tr> <td style="width: 15%;">公式</td> <td style="width: 35%;">係数</td> <td style="width: 50%;">根拠</td> </tr> <tr> <td><math>h_g = f_g \times \frac{V_0^2}{2g}</math></td> <td><math>V_0</math>:分岐前の水圧管内の平均流速(m/s) <math>f_g</math>:分岐による損失係数(Y分岐: 0.75、三分岐: 0.69)</td> <td>発電水力演習 p.120-123</td> </tr> </table>	公式	係数	根拠	$h_g = f_g \times \frac{V_0^2}{2g}$	$V_0$ :分岐前の水圧管内の平均流速(m/s) $f_g$ :分岐による損失係数(Y分岐: 0.75、三分岐: 0.69)	発電水力演習 p.120-123		
公式	係数	根拠							
$h_g = f_g \times \frac{V_0^2}{2g}$	$V_0$ :分岐前の水圧管内の平均流速(m/s) $f_g$ :分岐による損失係数(Y分岐: 0.75、三分岐: 0.69)	発電水力演習 p.120-123							

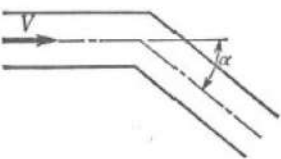
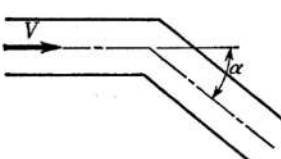
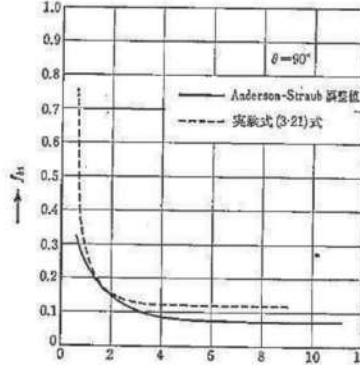
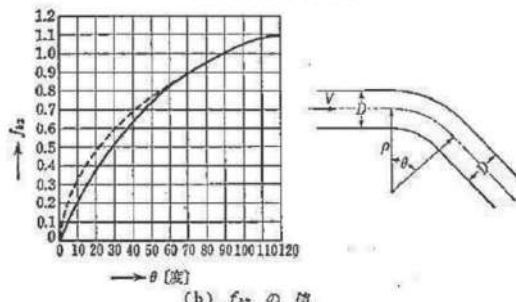
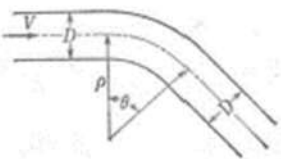
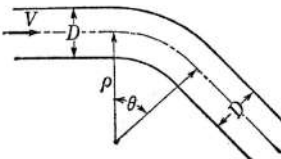
## 第5条 津波による損傷の防止

泊発電所3号炉 DB基準適合性 比較表												
女川原子力発電所2号炉				島根原子力発電所2号炉				泊発電所3号炉				相違理由
角端	隅切り	丸味つき		角端	隅切り	丸味つき	ベルマウス	突出し	角端	隅切り	丸味つき	ベルマウス
$f_t = 0.5$	$f_t = 0.25$	$f_t = 0.1 \text{ (円形)} \\ -0.2 \text{ (方形)}$		$f_t = 0.5$	$f_t = 0.25$	$f_t = 0.1 \text{ (円形)} \\ 0.2 \text{ (方形)}$	$f_t = 0.01 \sim 0.05$	$\theta$	$f_t = 0.5$	$f_t = 0.25$	$f_t = 0.1 \text{ (円形)} \\ 0.2 \text{ (方形)}$	$f_t = 0.01 \sim 0.05$
		$f_t = 0.05 \sim 0.01$				$f_t = 0.5 + 0.3 \cos \theta \\ + 0.2 \cos^2 \theta$				$f_t = 0.5 + 0.3 \cos \theta \\ + 0.2 \cos^2 \theta$		
		$f_t = 1.0$				$f_t = 0.5 + 0.3 \cos \theta \\ + 0.2 \cos^2 \theta$				$f_t = 1.0$		
図4 流入口形状と流入損失係数				図4 流入口形状と流入損失係数 (土木学会水理公式集(平成11年版) p. 375)				図6 流入口形状と損失係数 (土木学会(1999)p. 375)				
表2 取水路の貝等の付着代と粗度係数 (電力土木技術協会(1995) p. 788)				表5 取水路の貝等の付着代と粗度係数 (電力土木技術協会(1995)p. 788)				表6 放水路の貝等の付着代と粗度係数 (電力土木技術協会(1995)p. 806)				
取水路の形式	断面流速	貝等の付着代	粗度係数	取水路の形式	断面流速	貝等の付着代	粗度係数	取水路の形式	断面流速	貝等の付着代	粗度係数	
暗渠	0.8~2.2m/s	0~20cm (0, 5, 10cmが多い)	0.014~0.027 (0.015, 0.020が多い)	暗渠	0.8~2.2m/s	0~20cm (0, 5, 10cmが多い)	0.014~0.027 (0.015, 0.020が多い)	暗渠	1.6~3.6m/s	0~20cm (0 cmが多い)	0.014~0.027	
管路	2.0~3.6m/s	0~10cm	0.015~0.018	管路	2.0~3.6m/s	0~10cm	0.015~0.018	トネル	1.8~3.0m/s	0~20cm (0 cmが多い)	0.014~0.027	
表3 急拡損失係数 (千秋信一(1967), p82)				表4 急縮損失係数 (火力原子力発電所土木構造物の設計 p. 830)				表7 急縮損失係数 (電力土木技術協会(1995)p. 830)				
$D_1/D_2$	0	0.1	0.2	0.3	0.4	0.5	0.6	0.7	0.8	0.9	(1.0)	
$f_{se}$	1.00	0.98	0.92	0.82	0.70	0.56	0.41	0.26	0.13	0.04	(0)	
$D_1$ : 急拡前の管径(m), $D_2$ : 急拡後の管径(m)												
表4 急縮損失係数 (千秋信一(1967), p82~83)				表4 急縮損失係数 (火力原子力発電所土木構造物の設計 p. 830)				表7 急縮損失係数 (電力土木技術協会(1995)p. 830)				
$D_2/D_1$	0	0.1	0.2	0.3	0.4	0.5	0.6	0.7	0.8	0.9	(1.0)	
$f_{se}$	0.50	0.50	0.49	0.49	0.46	0.43	0.38	0.29	0.18	0.07	0	
$D_1$ : 急縮前の管径(m), $D_2$ : 急縮後の管径(m)												
【島根】記載方針の相違 ・泊では、解析条件を明確化するため、貝等の付着代と粗度係数を一覧で示す(女川と同様)。				【女川】記載方針の相違 ・島根実績の反映。				【女川】記載方針の相違 ・泊では、急縮損失係数について、電力土木技術協会(1995)より引用する(島根と同様)。				

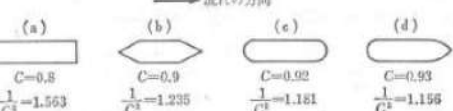
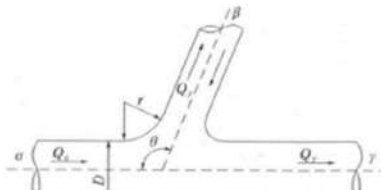
## 第5条 津波による損傷の防止

女川原子力発電所2号炉	島根原子力発電所2号炉	泊発電所3号炉	相違理由
			
図5 漸拡損失係数 (千秋信一 (1967), p83)	図5 漸拡損失係数 (火力原子力発電所土木構造物の設計 p. 830)	図7 漸拡損失係数 (電力土木技術協会(1995)p. 830)	
$D_1, D_2$ : 漸拡前後の管径(m), $V_1, V_2$ : 漸拡前後の平均流速(m/s), $\theta$ : 漸拡部の開き (※本施設では矩形断面管の漸拡に上記の図による値を適用する。矩形断面と同様の断面積を持つ円管を仮定して、半径 $D_1, D_2$ を算出した。)	$D_1, D_2$ : 漸拡前後の管径(m), $V_1, V_2$ : 漸拡前後の平均流速(m/s), $\theta$ : 漸拡部の開き(°) (※本施設では、円形断面管と矩形断面管の漸拡に上記の図による値を適用する。矩形断面管の場合、矩形断面と同様の断面積を持つ円管を仮定して、管径 $D_1, D_2$ を算出した。)	$D_1, D_2$ : 漸拡前後の管径(m), $V_1, V_2$ : 漸拡前後の平均流速(m/s), $\theta$ : 漸拡部の開き(°) (※本施設では、円形断面管と矩形断面管の漸拡に上記の図による値を適用する。矩形断面管の場合、矩形断面と同様の断面積を持つ円管を仮定して、管径 $D_1, D_2$ を算出した。)	
			
図6 漸縮損失係数 (千秋信一 (1967), p83~84)	図6 漸縮損失係数 (発電水力演習 p. 84)	図8 漸縮損失係数 (千秋(1967)p. 84)	
$A_1, A_2$ : 漸縮前後の管断面積(m <sup>2</sup> ), $V_1, V_2$ : 漸縮前後の平均流速(m/s), $\theta$ : 漸縮部の開き (※本施設では矩形断面管の漸拡に上記の図による値を適用する。矩形断面と同様の断面積を持つ円管を仮定して、管断面積 $A_1, A_2$ を算出した。)	$A_1, A_2$ : 漸縮前後の管断面積(m <sup>2</sup> ), $V_1, V_2$ : 漸縮前後の平均流速(m/s), $\theta$ : 漸縮部の開き(°) (※本施設では、円形断面管と矩形断面管の漸縮に上記の図による値を適用する。)	$A_1, A_2$ : 漸縮前後の管断面積(m <sup>2</sup> ), $V_1, V_2$ : 漸縮前後の平均流速(m/s), $\theta$ : 漸縮部の開き(°) (※本施設では、円形断面管と矩形断面管の漸縮に上記の図による値を適用する。)	

## 第5条 津波による損傷の防止

女川原子力発電所2号炉	島根原子力発電所2号炉	泊発電所3号炉	相違理由														
<b>表5 屈折損失係数 (千秋信二 (1967), p88)</b> <table border="1"> <thead> <tr> <th><math>\alpha^\circ</math></th><th>15</th><th>30</th><th>45</th><th>60</th><th>90</th><th>120</th></tr> </thead> <tbody> <tr> <td><math>f_{bt}</math></td><td>0.022</td><td>0.073</td><td>0.183</td><td>0.365</td><td>0.99</td><td>1.86</td></tr> </tbody> </table> <p><math>\alpha</math> : 屈折角</p>	$\alpha^\circ$	15	30	45	60	90	120	$f_{bt}$	0.022	0.073	0.183	0.365	0.99	1.86	 <p>図7 屈折角 (発電水力演習 p. 88)</p>	 <p>図9 屈折角 (千秋(1967)p. 88)</p>	<p>【女川】記載方針の相違 ・島根実績の反映。</p>
$\alpha^\circ$	15	30	45	60	90	120											
$f_{bt}$	0.022	0.073	0.183	0.365	0.99	1.86											
 <p>(a) <math>f_{bt}</math> の値 (<math>\theta=90^\circ</math>)</p>																	
 <p>(b) <math>f_{bt}</math> の値</p>	 <p>図8 曲がり, 曲率半径 (発電水力演習 p. 87)</p>	 <p>図10 曲がり, 曲率半径 (千秋(1967)p. 87)</p>	<p>【女川】記載方針の相違 ・島根実績の反映。</p>														
<p><math>f_{b1}</math>: 曲がりの曲率半径 <math>\rho</math> と管径 <math>D</math> との比によって決まる損失係数。 ただし、曲がりの中心角が <math>90^\circ</math> の場合</p> <p><math>f_{b2}</math>: 任意の曲がり中心角 <math>\theta</math> の場合の損失と中心角が <math>90^\circ</math> の場合の損失との比</p>																	

## 第5条 津波による損傷の防止

女川原子力発電所2号炉	島根原子力発電所2号炉	泊発電所3号炉	相違理由
	 <p>(a) <math>C=0.8</math>, <math>\frac{1}{C^2}=1.563</math>      (b) <math>C=0.9</math>, <math>\frac{1}{C^2}=1.235</math>      (c) <math>C=0.92</math>, <math>\frac{1}{C^2}=1.181</math>      (d) <math>C=0.93</math>, <math>\frac{1}{C^2}=1.156</math></p> <p>図9 ピヤーの形状による係数Cの値（発電水力演習 p. 92）</p>  <p>図10 分・合流管（土木学会水理公式集（平成11年版）p. 377）</p> <p>(a) 分流による損失係数</p> $f_{d,\beta} = 0.58q_\beta^2 - 0.26q_\beta + 0.03$ $f_{d,\beta} = 0.95(1-q_\beta)^2 + q_\beta^2 \left( 1.3 \cot \frac{\theta}{2} - 0.3 + \frac{0.4 - 0.1\varphi}{\varphi^2} \right) \cdot \left( 1 - 0.9 \sqrt{\frac{\rho}{\varphi}} \right)$ $+ 0.4q_\beta(1-q_\beta) \left( 1 + \frac{1}{\varphi} \right) \cot \frac{\theta}{2}$ <p>ここに, <math>f_{d,\beta}</math>, <math>f_{d,\theta}</math>: 分流損失係数, <math>\theta</math>: 本管と支管の交角, <math>\varphi</math>: 本管断面積に対する支管断面積の比, <math>\rho = r/D</math>: 支管と本管の接続部面取り半径rの本管直径に対する比, <math>q_\beta = Q_\beta/Q_a</math>: 分流前の本管流量<math>Q_a</math>に対する支管流量<math>Q_\beta</math>の比</p> <p>(b) 合流による損失係数</p> $f_{c,a} = -q_\beta^2 \left[ 2.59 + (1.62 - \sqrt{\rho}) \left( \frac{\cos \theta}{\varphi} - 1 \right) - 0.62\varphi \right] - q_\beta(1.94 - \varphi) + 0.03$ $f_{c,\beta} = -q_\beta^2 \left[ (1.2 - \sqrt{\rho}) \left( \frac{\cos \theta}{\varphi} - 1 \right) + 0.8 \left( 1 - \frac{1}{\varphi^2} \right) - (1-\varphi) \frac{\cos \theta}{\varphi} \right] - (1+q_\beta) [0.92 + q_\beta(2.92 - \varphi)]$ <p>ここに, <math>f_{c,a}</math>, <math>f_{c,\beta}</math>: 合流損失係数, <math>\theta</math>: 本管と支管の交角, <math>\varphi</math>: 本管断面積に対する支管断面積の比, <math>\rho = r/D</math>: 支管と本管の接続部面取り半径rの本管直径に対する比, <math>q_\beta = Q_\beta/Q_a</math>: 合流後の本管流量<math>Q_a</math>に対する支管流量<math>Q_\beta</math>の比</p>		<p>【島根】設計方針の相違</p> <ul style="list-style-type: none"> <li>取放水施設に係る構造の相違により、泊にはピヤー及び分・合流管がない。</li> </ul>

泊発電所 3号炉 DB基準適合性 比較表

実線 : - 設計方針又は設備構成等の相違  
波線 : - 記載表現、設備名称の相違（実質的な相違なし）

## 第5条 津波による損傷の防止